

DE TA PROHM AU BAYON
(ANNEXE I)

Documents graphiques



THÈSE
Pour l'obtention du

Doctorat de l'Institut National Polytechnique de Lorraine
Discipline : Sciences de l'Architecture

Présentée et soutenue publiquement par
Olivier CUNIN

Le 29 octobre 2004

Directeur de Thèse :
Jean-Claude PAUL

Co-directeur de Thèse :
Jean-Pierre PERRIN

Composition du Jury :

Rapporteurs :

Mme. Joëlle BURNOUF (Présidente) Professeure d'archéologie médiévale à l'Université de Paris I Panthéon Sorbonne

M. Kamaleswar BHATTACHARYA Sanskritiste et épigraphiste du Cambodge ancien, Docteur ès Lettres de la Sorbonne et Directeur de Recherche retraité du CNRS

Examineurs :

M. Thomas Stuart MAXWELL Professeur d'art et d'architecture ancienne d'Asie du Sud et du Sud-Est, directeur du département d'histoire de l'art oriental de l'Université de Bonn (Allemagne)

M. Jean-Pierre PERRIN Professeur à l'école d'architecture de Nancy et directeur scientifique du CRAI (U.M.R. CNRS/MCC n° 694 MAP)

M. Jean-Marie PIERREL Professeur à l'Université Henri Poincaré Nancy 1, directeur de l'ATILF UMR 7118 CNRS-Université Nancy 2

SOMMAIRE DE LA PREMIÈRE ANNEXE

(Troisième volume sur quatre)

Tome I, Chapitre II :	Cartes.....	p. 1 à p. 3
Tome I, Chapitre II :	Documents graphiques des monument du style du Bayon.....	p. 4 à p. 58
Tome I, Chapitre III :	Analyse structurelle des monuments du style du Bayon.....	p. 59 à p. 114
Tome I, Chapitre III :	Inventaires des critères stylistiques et architectoniques des monuments du style du Bayon.....	p. 115 à p. 177
Tome I, Chapitre III	Traitement des données de l'inventaires des critères stylistiques et architectoniques.....	p. 178 à p. 190
Tome I, Chapitre III	Données et traitement de la susceptibilité magnétique moyenne du grès des monuments du style du Bayon à Angkor.....	p. 191 à p. 216
Tome I, Chapitre III	Chronologies relatives des principaux monuments du style du Bayon.....	p. 217 à p. 293
Tome I, Chapitre IV	Classement typologique des principaux monuments du style du Bayon.....	p. 294 à p. 295
Tome II, Chapitre III	Documentations pour la restitution du Bayon dans son dernier état.....	p. 296 à p. 304
Tome II, Chapitre IV	Sondages du Bayon.....	p. 305 à p. 313

Distribution spatiale des monuments du style du Bayon en Asie du Sud-Est.....	p. 2
Répartition géographique des monuments prospectés pour l'étude des monuments du style du Bayon.....	p. 3

Liste et répartition géographique des monuments prospectés pour l'étude des monuments du style du Bayon

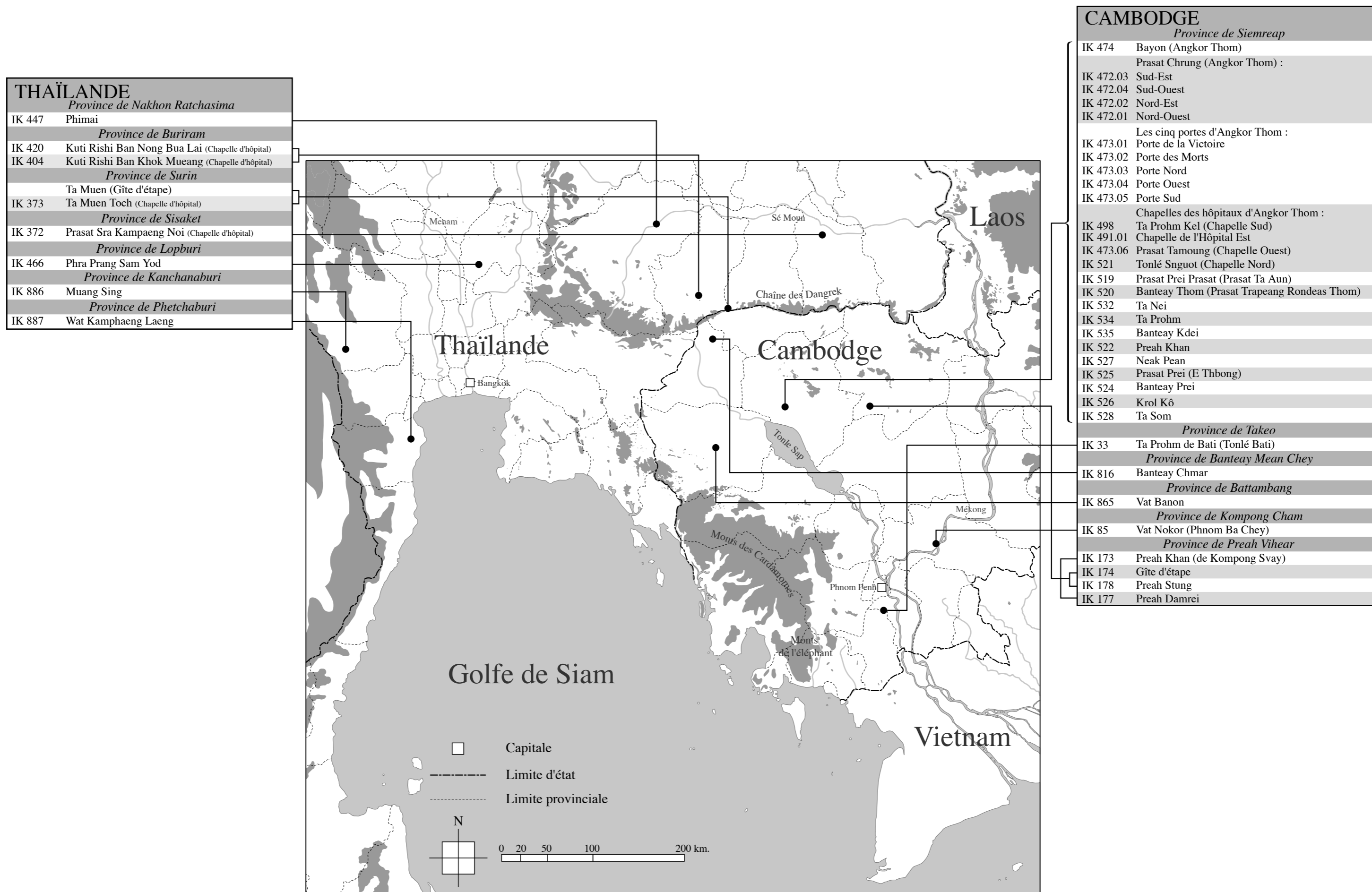


Fig. I-2-1.2 : Liste et répartition géographique des monuments prospectés pour l'étude des monuments du style du Bayon

DOCUMENTS GRAPHIQUES DES MONUMENTS DU STYLE DU BAYON

Plan des principales structures monumentales sur le site d'Angkor.....	p. 5
Ta Prohm.....	p. 6 à p. 10
Banteay Kdei.....	p. 11 à p. 13
Ta Nei.....	p. 14 à p. 15
Preah Khan d'Angkor.....	p. 16 à p. 18
Neak Pean.....	p. 19 à p. 20
Banteay Prei.....	p. 21
Prasat Prei & Krol Kô.....	p. 22
Ta Som.....	p. 23
Banteay Thom & Prasat Prei Prasat.....	p. 24
Angkor Thom.....	p. 25
Chapelle de l'hôpital Est d'Angkor Thom, Porte des Morts, Mangalârtha, Prasat Chrung Sud-Ouest et Sud-Est	p. 26
Place royale d'Angkor Thom.....	p. 27
Bayon.....	p. 28 à p. 41
Banteay Chmar.....	p. 42 à p. 44
Vat Nokor.....	p. 45 à p. 46
Ta Prohm de Bati.....	p. 47
Vat Banon.....	p. 48
Site du Preah Khan de Kompong Svay.....	p. 49
Prasat Preah Stung, Prasat Preah Thkol & Prasat Damrei.....	p. 50
Preah Khan de Kompong Svay.....	p. 51 à p. 52
Muan Sing.....	p. 53 à p. 54
Wat Kamphaeng Laeng & Phra Prang Sam Yod.....	p. 71 à p. 72
Phimai.....	p. 56 à p. 58

Yaçodharapura / Angkor

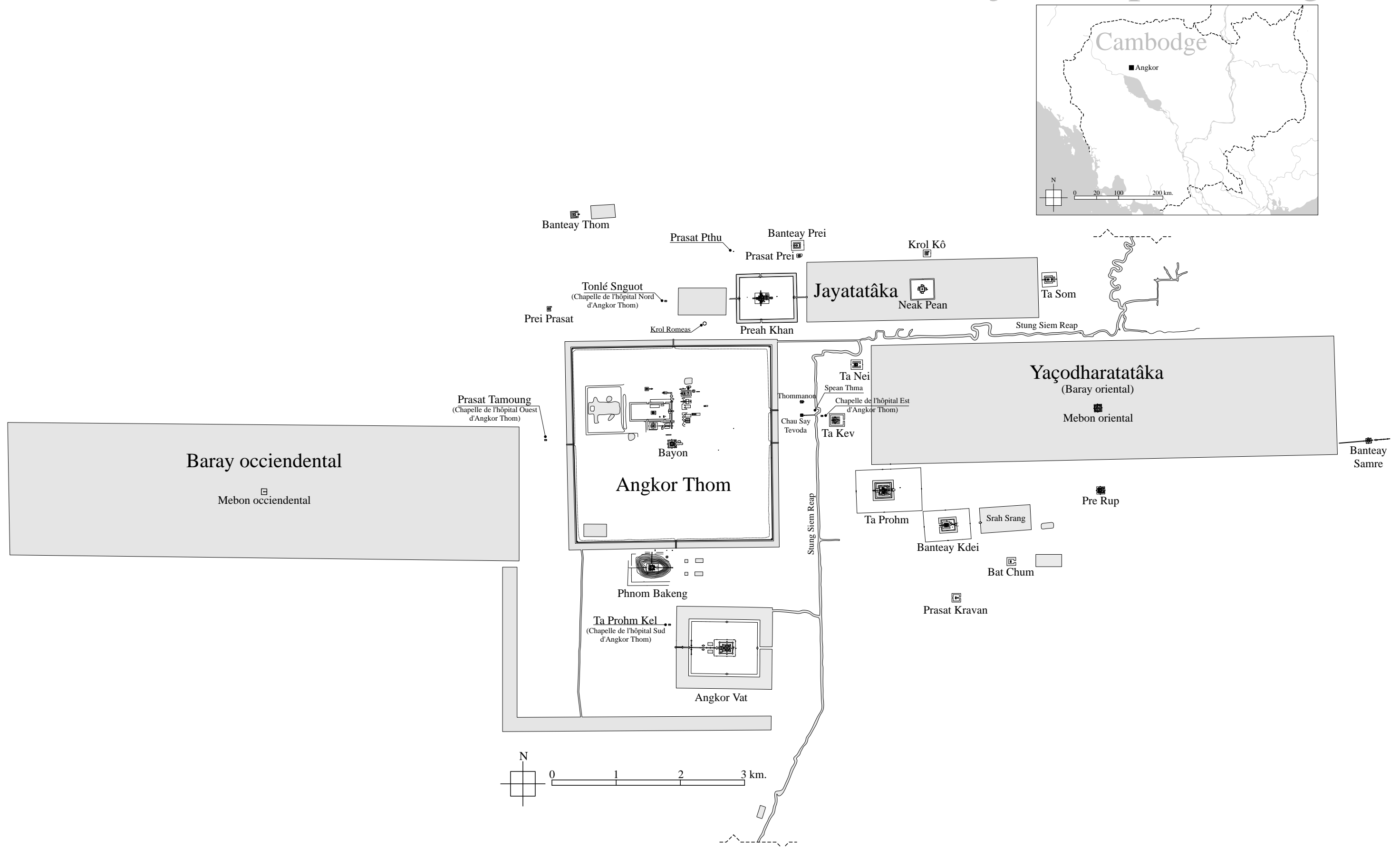


Fig. I-2-3 : Plan des principales structures monumentales sur le site d'Angkor

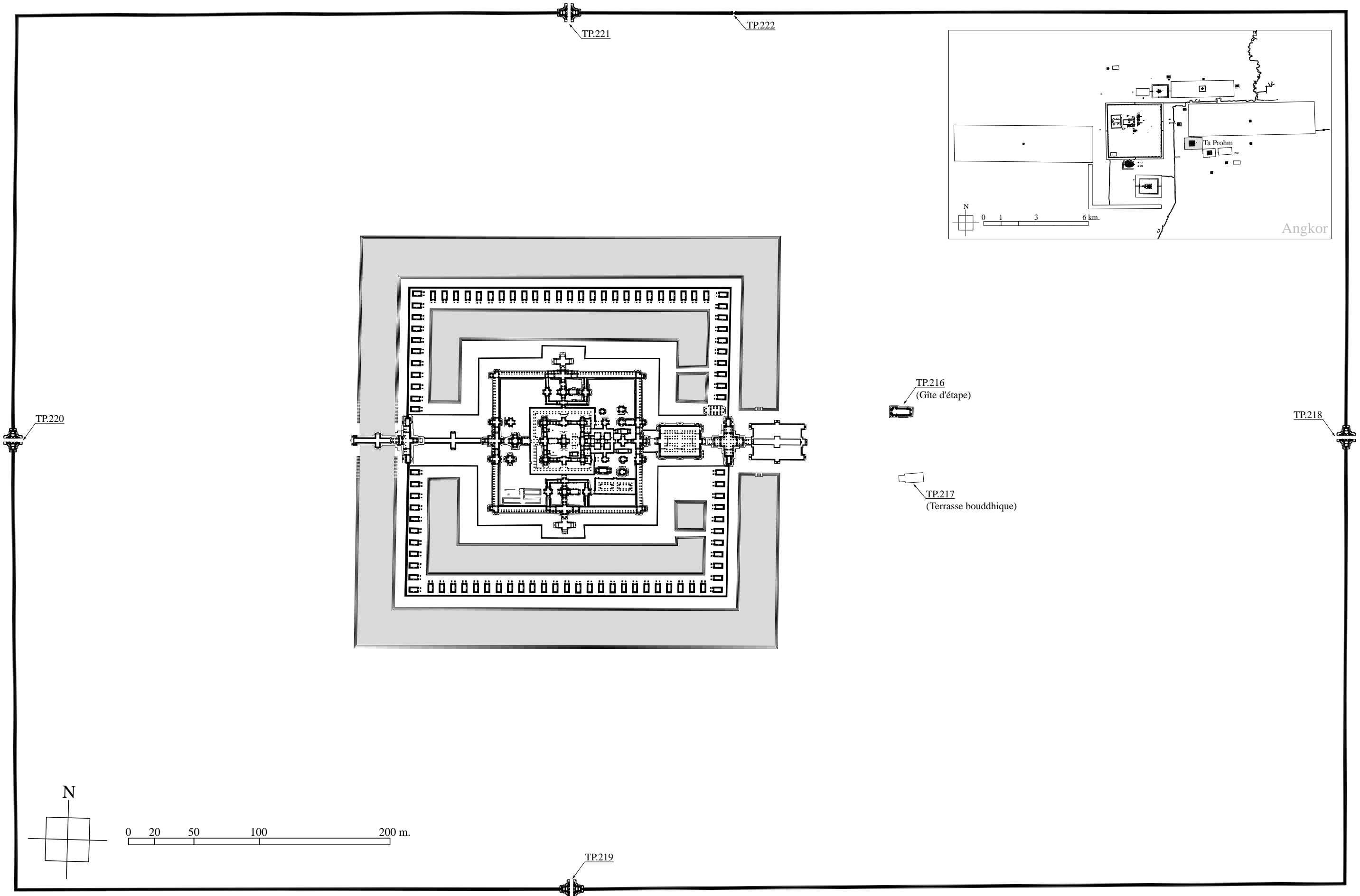


Fig. I-2-3-1.1 : Plan du domaine de Rājavihāra (Ta Prohm)
— Cinquième enceinte —

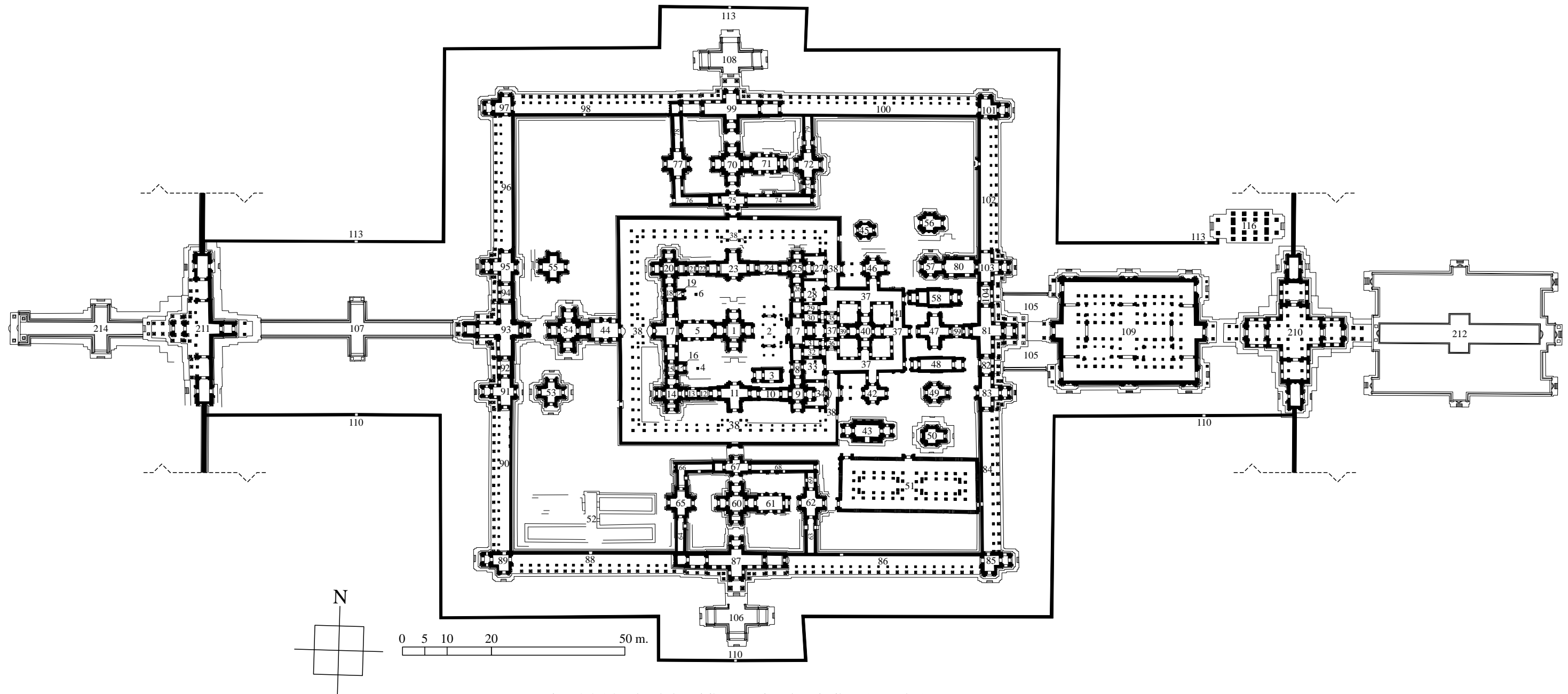


Fig. I-2-3-1.3 : Plan de la troisième enceinte de Rājavihāra (Ta Prohm)

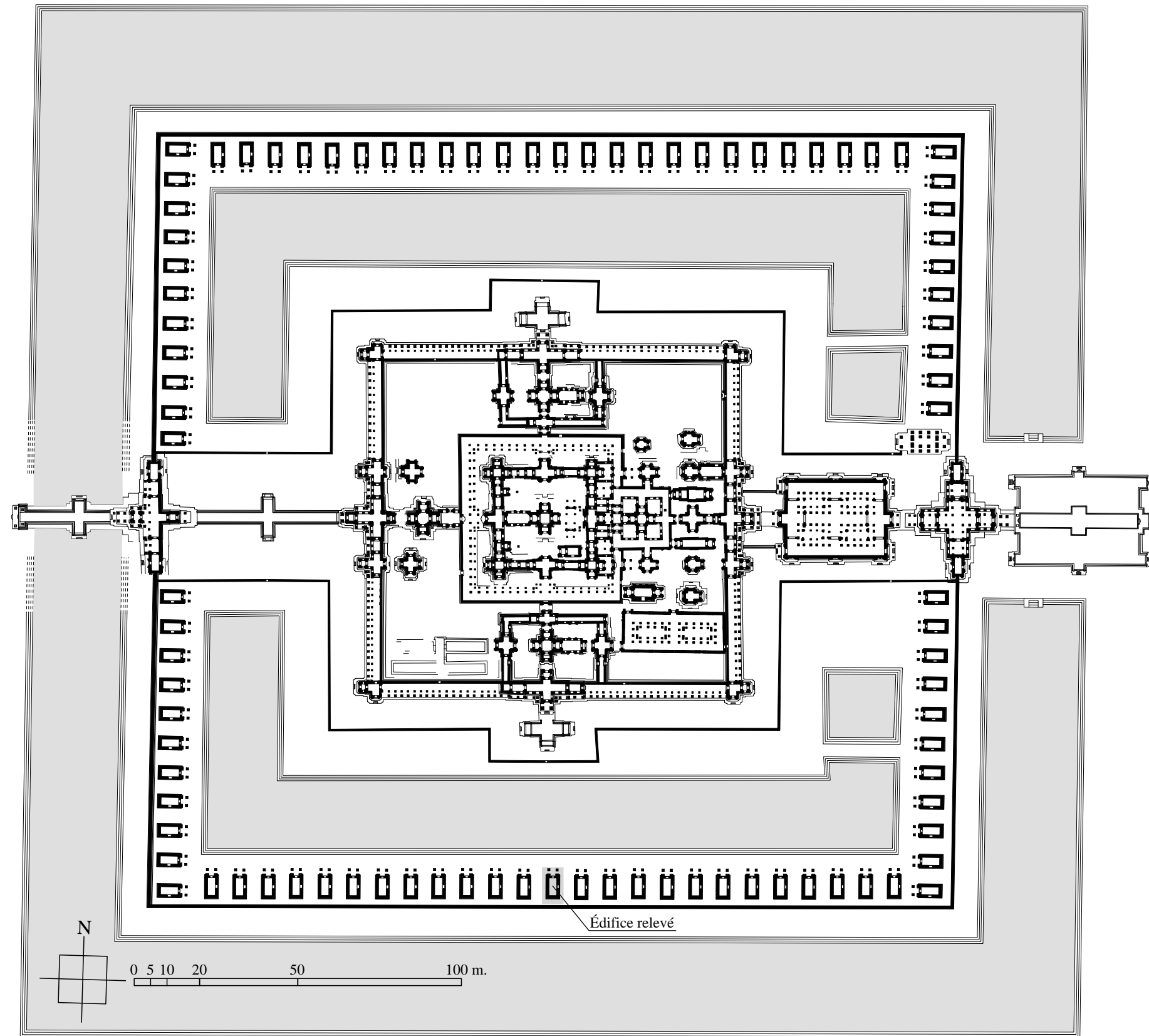


Fig. I-2-3-1.4 : Plan d'ensemble du complexe culturel de Ta Prohm

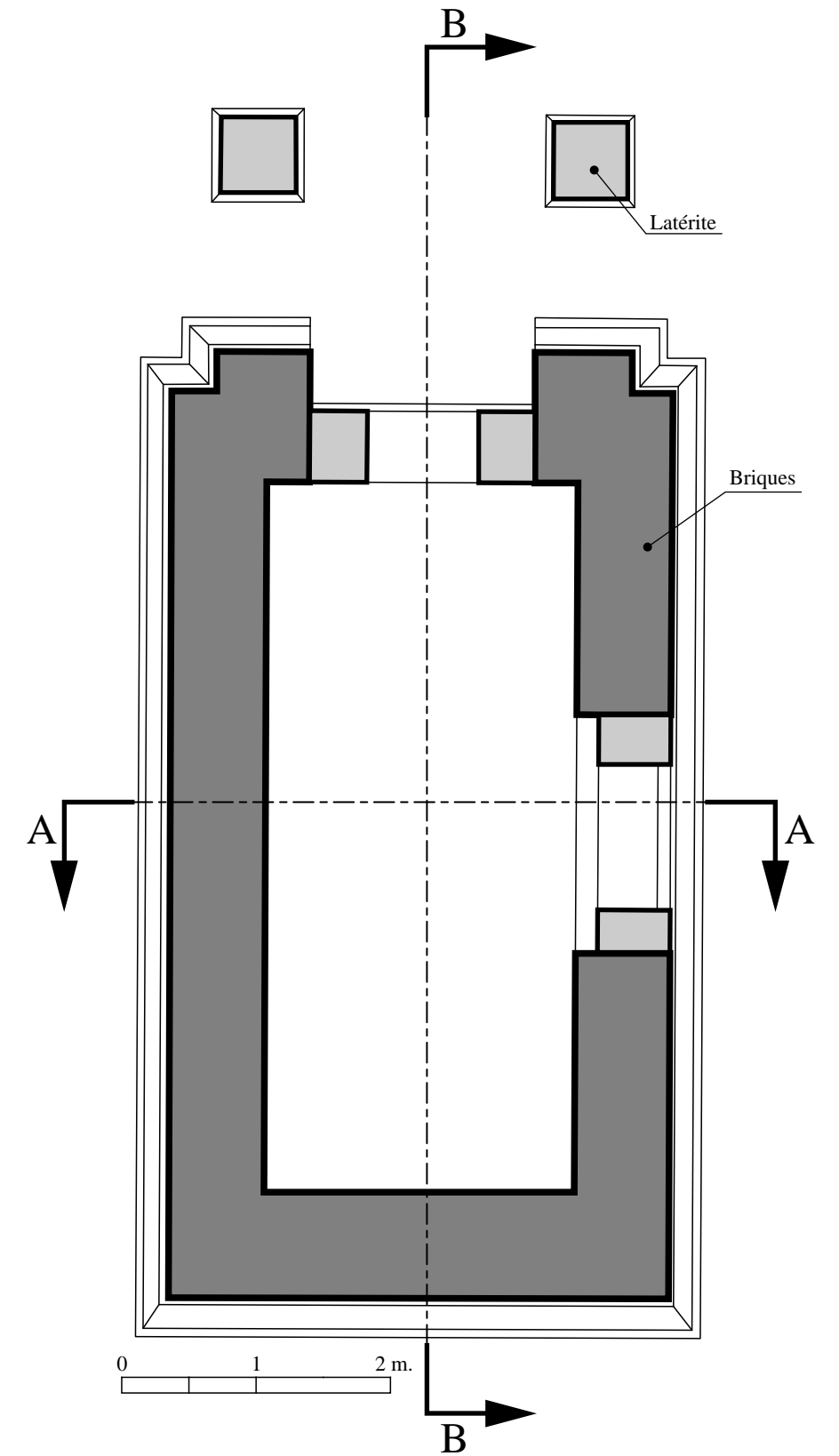
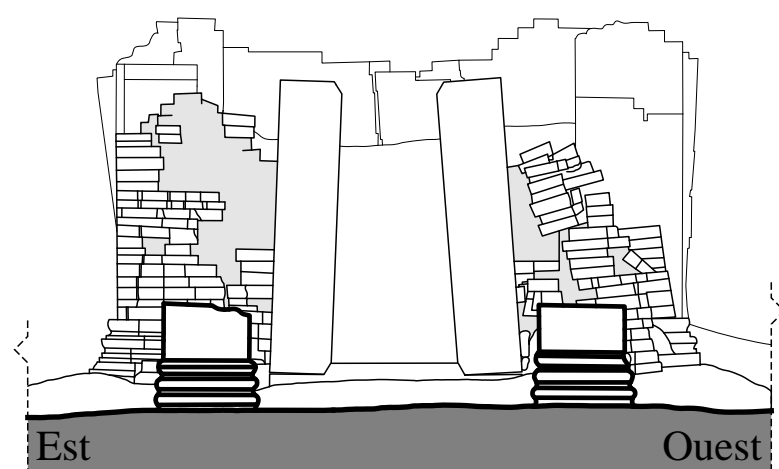
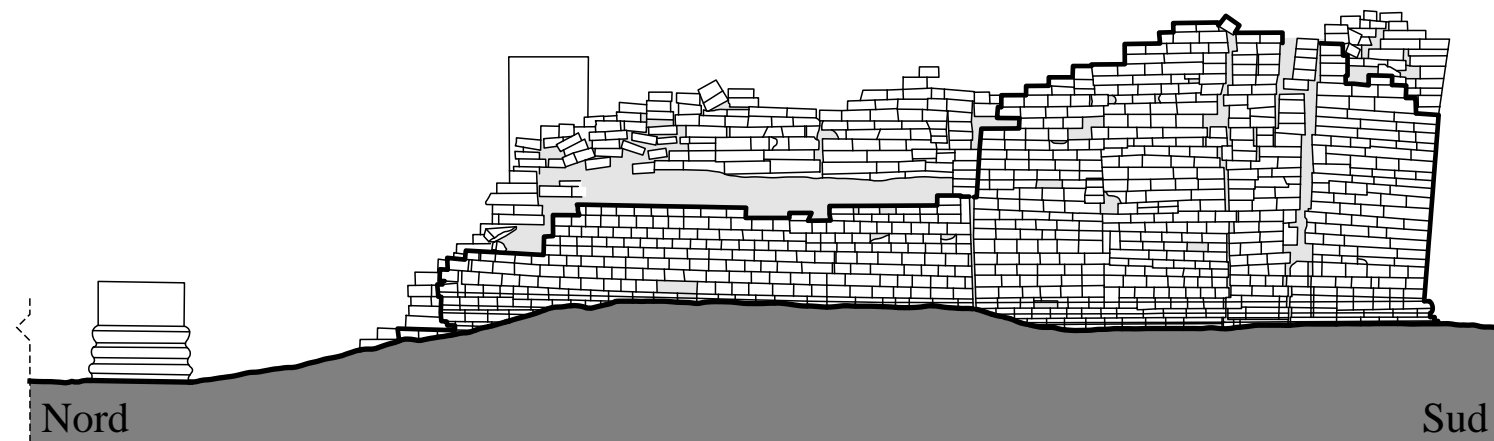


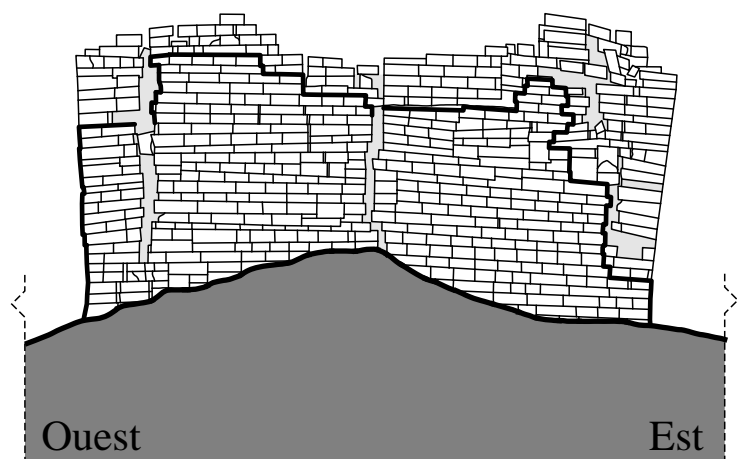
Fig. I-2-3-1.5 : Plan d'un des édifices en briques



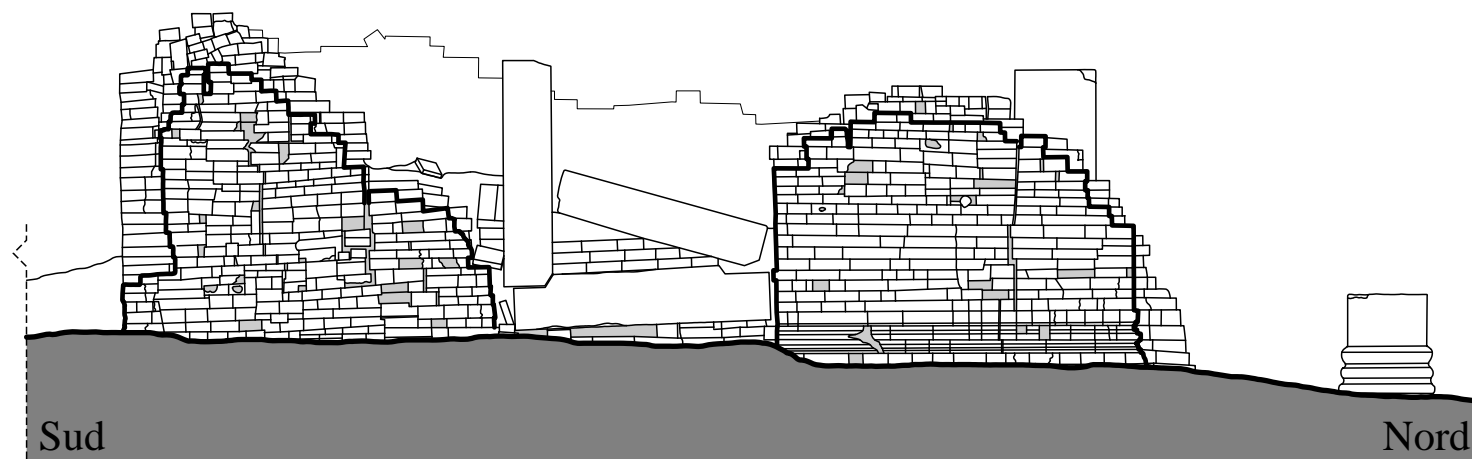
Élévation Nord



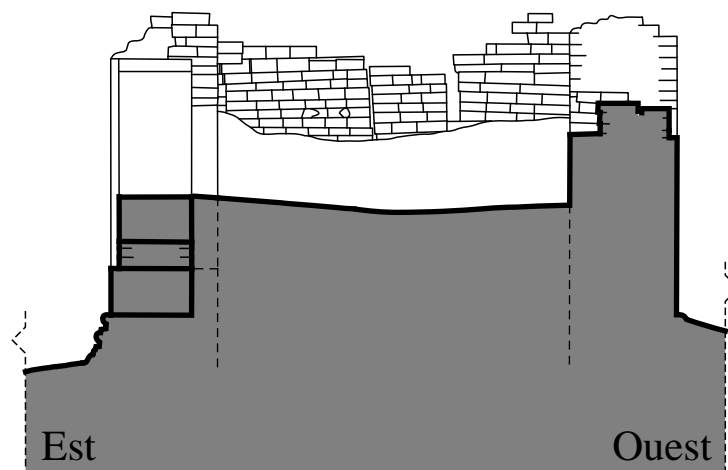
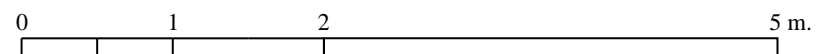
Élévation Ouest



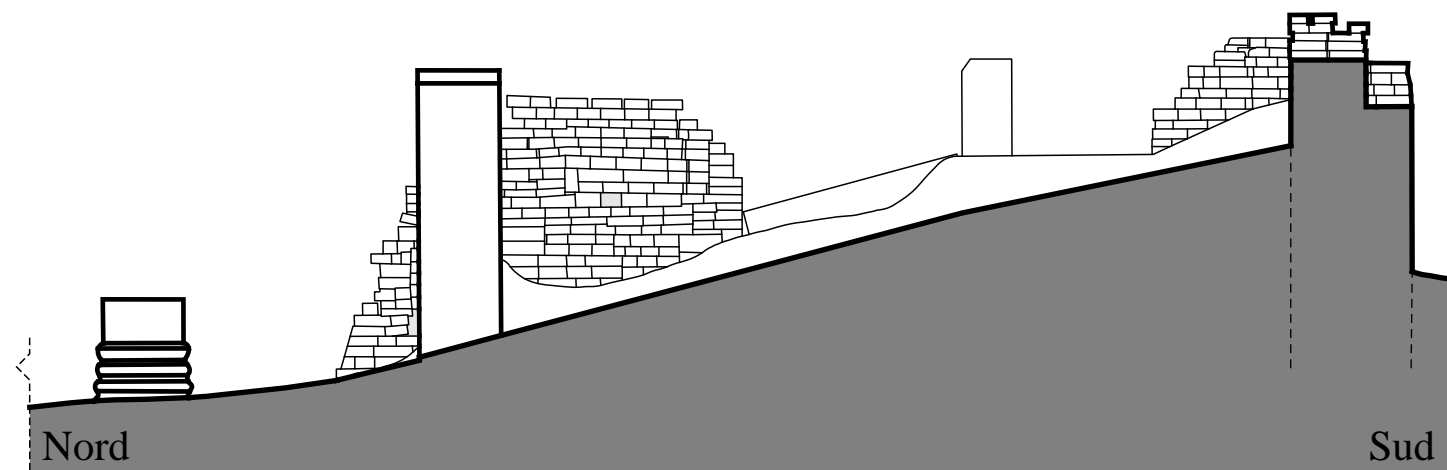
Élévation Sud



Élévation Est



Coupe transversale Est-Ouest
A-A



Coupe longitudinale Nord-Sud
B-B

Fig. I-2-3-1.6 : Relevés d'un des quatre-vingt-treize édifices en briques de la quatrième enceinte de Ta Prohm

Banteay Kdei & Srah Srang

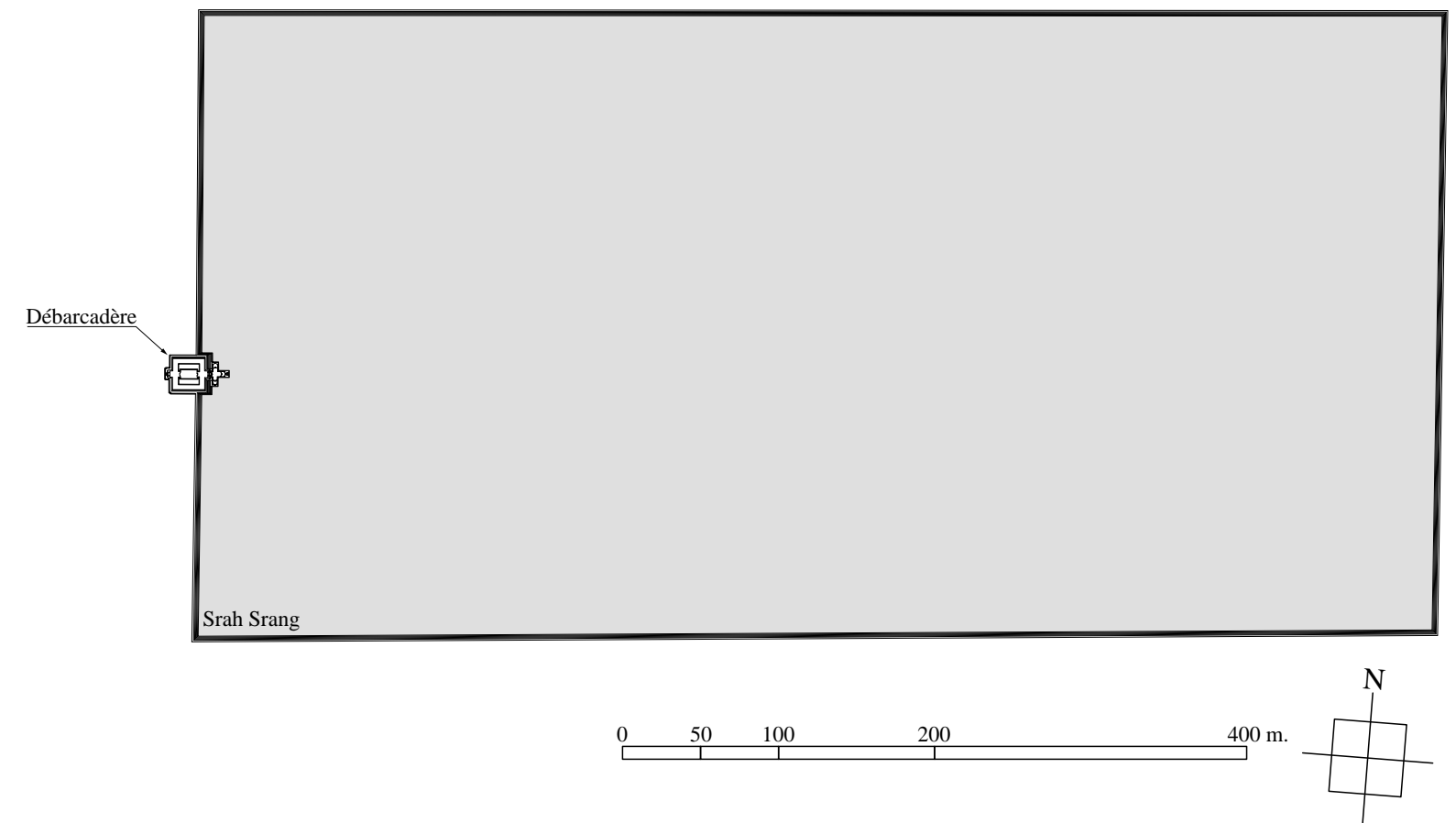
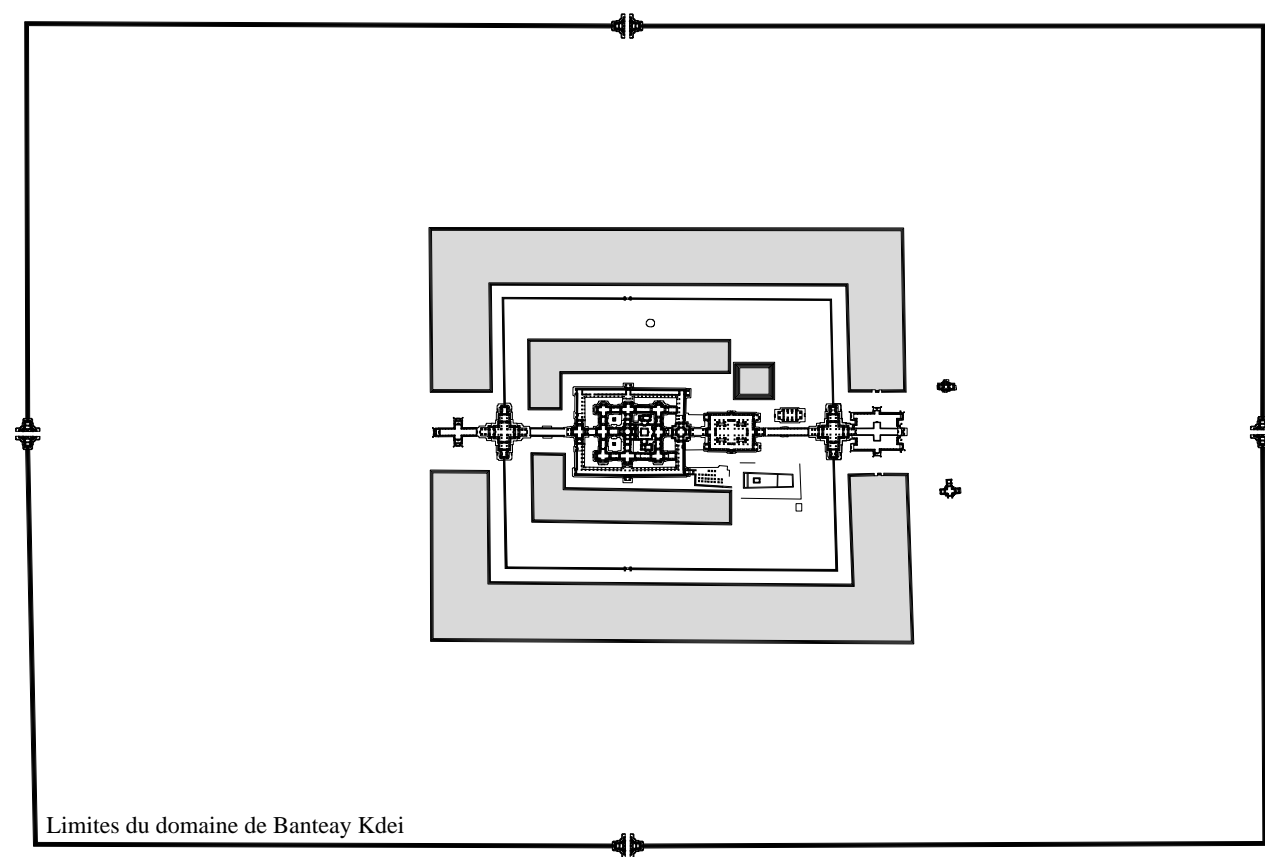
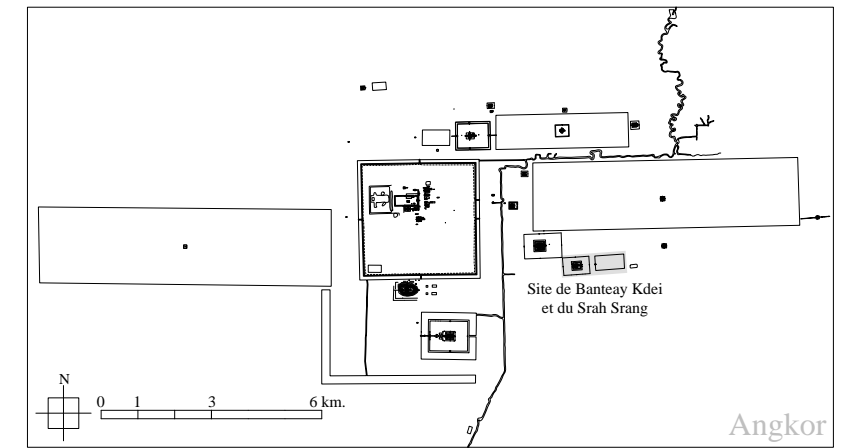


Fig. I-2-3-2.1 : Plan d'ensemble de Banteay Kdei et du Srah Srang

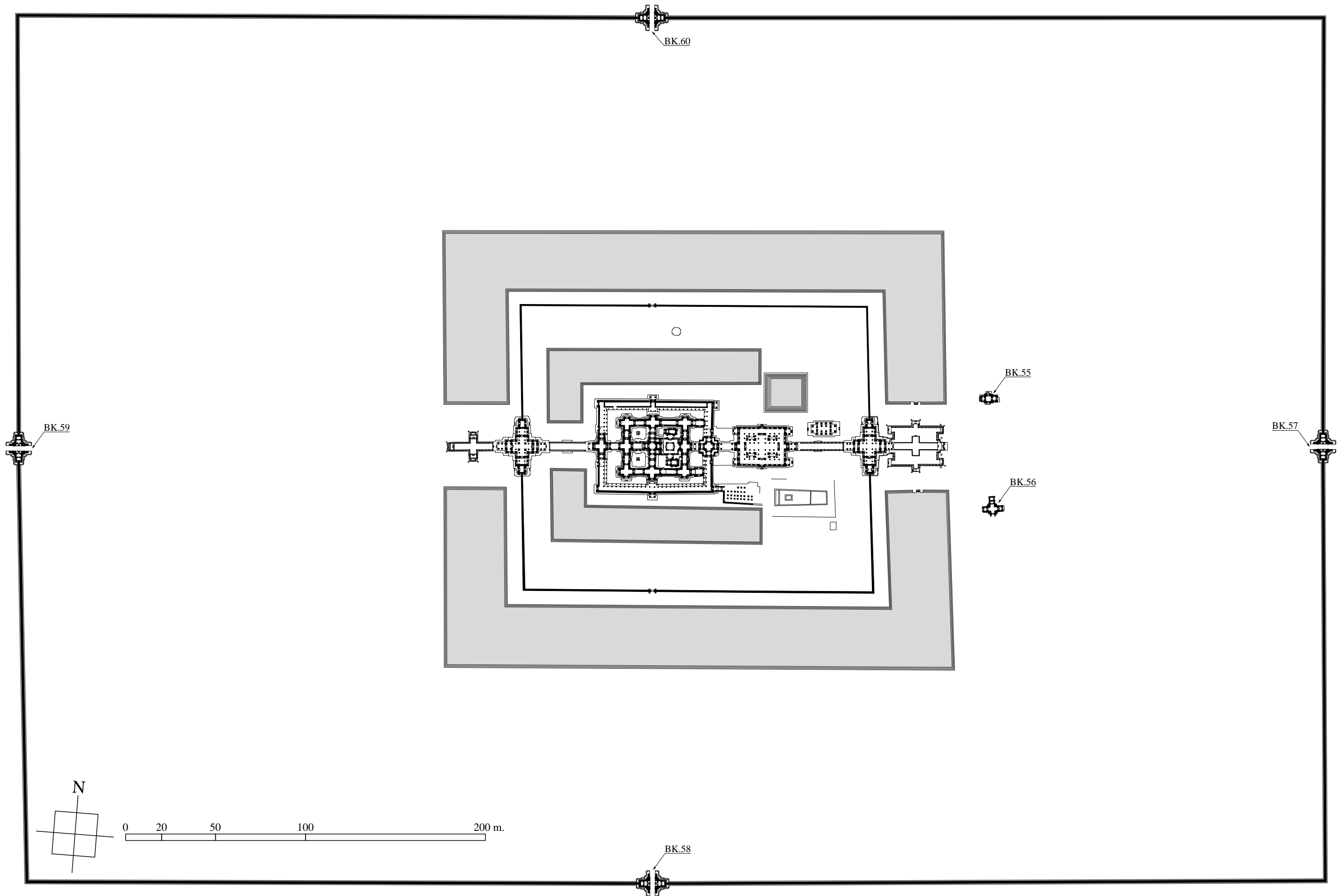


Fig. I-2-3-2.2 : Plan du domaine de Banteay Kdei
— Quatrième enceinte —

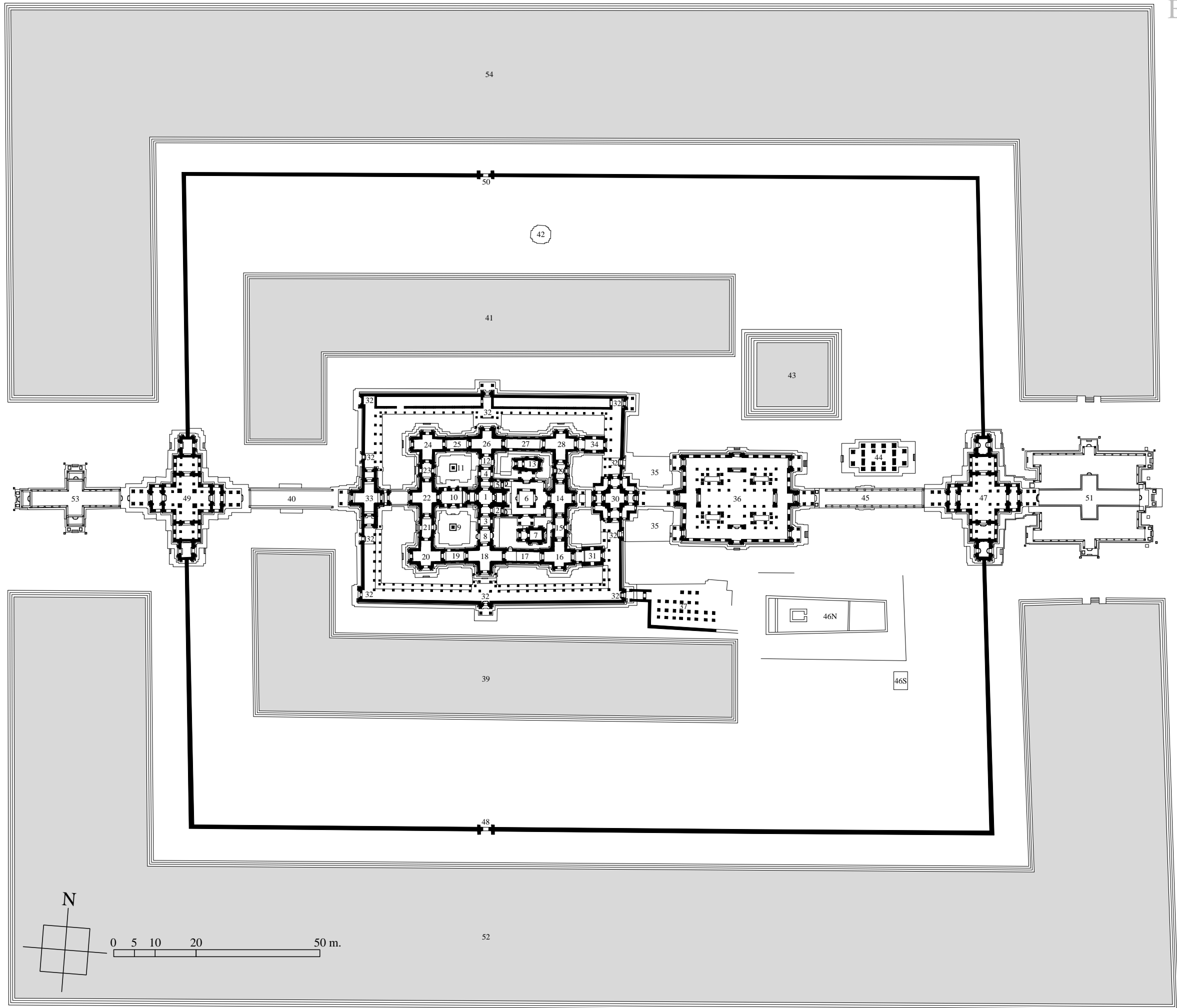


Fig. I-2-3-2.3 : Plan du complexe culturel de Banteay Kdei
— Troisième enceinte —

Ta Nei

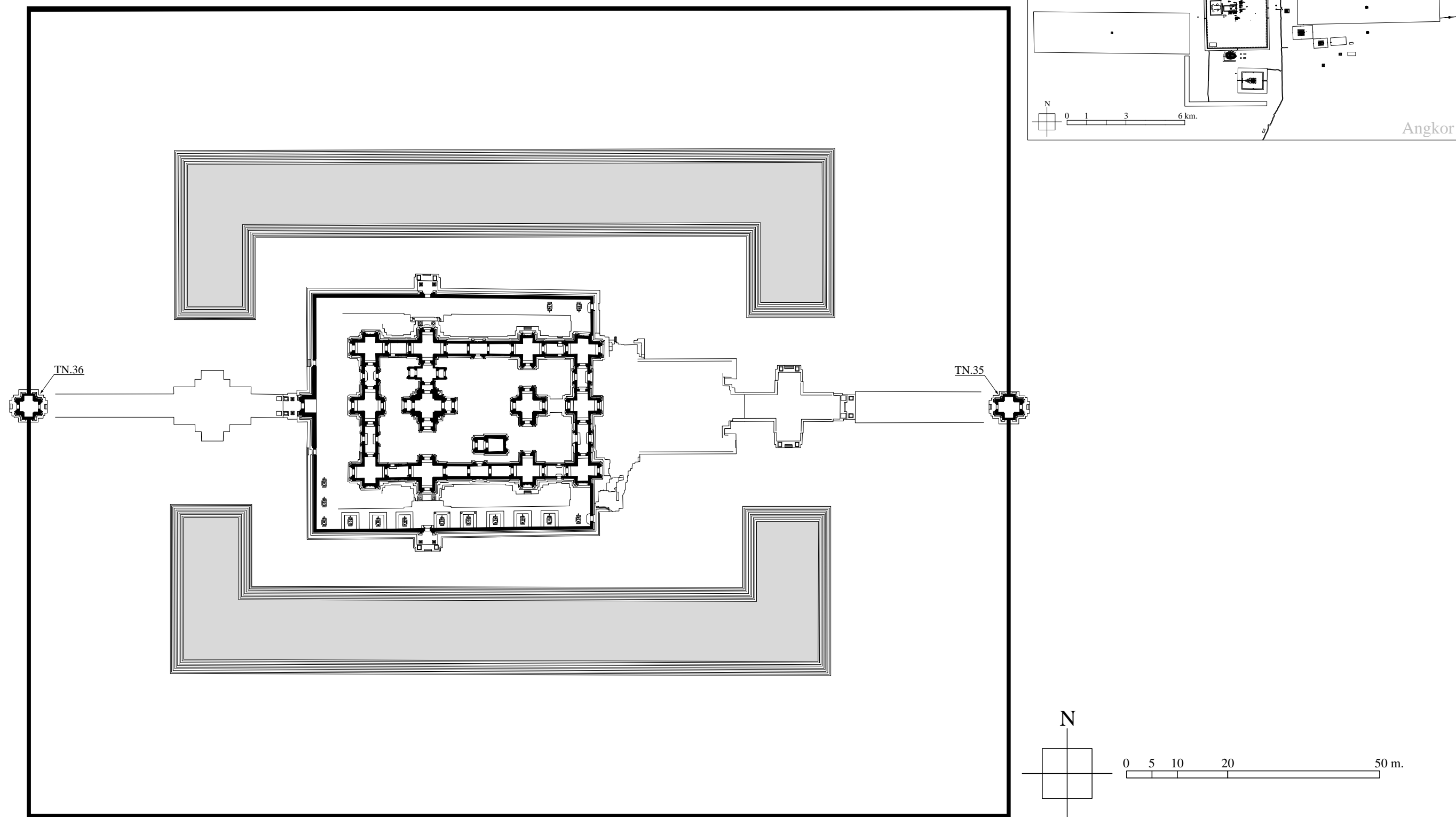


Fig. I-2-3-3.1 : Plan du domaine de Ta Nei

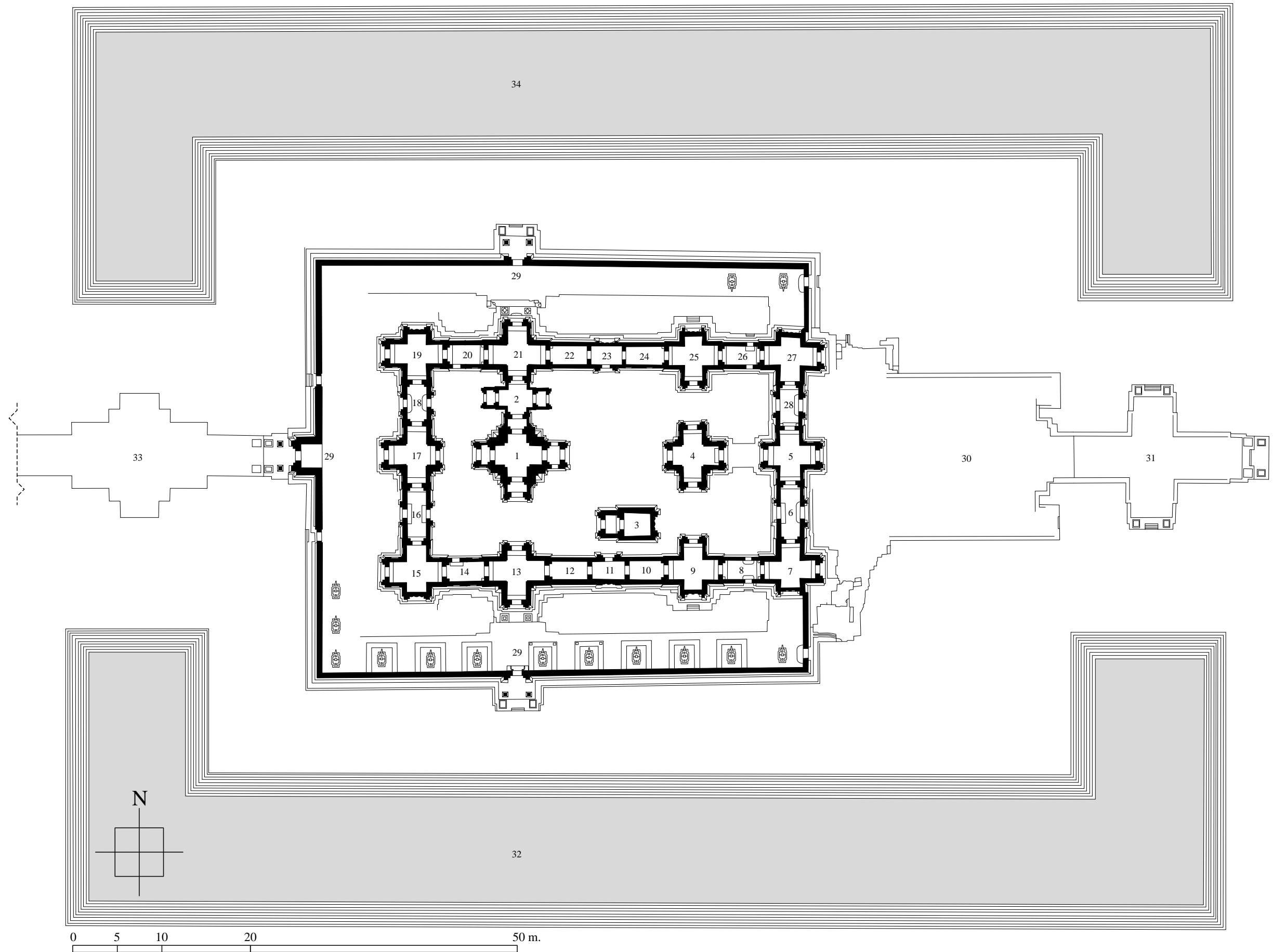


Fig. I-2-3-3.2 : Plan du complexe culturel de Ta Nei

Jayaçrī / Preah Khan

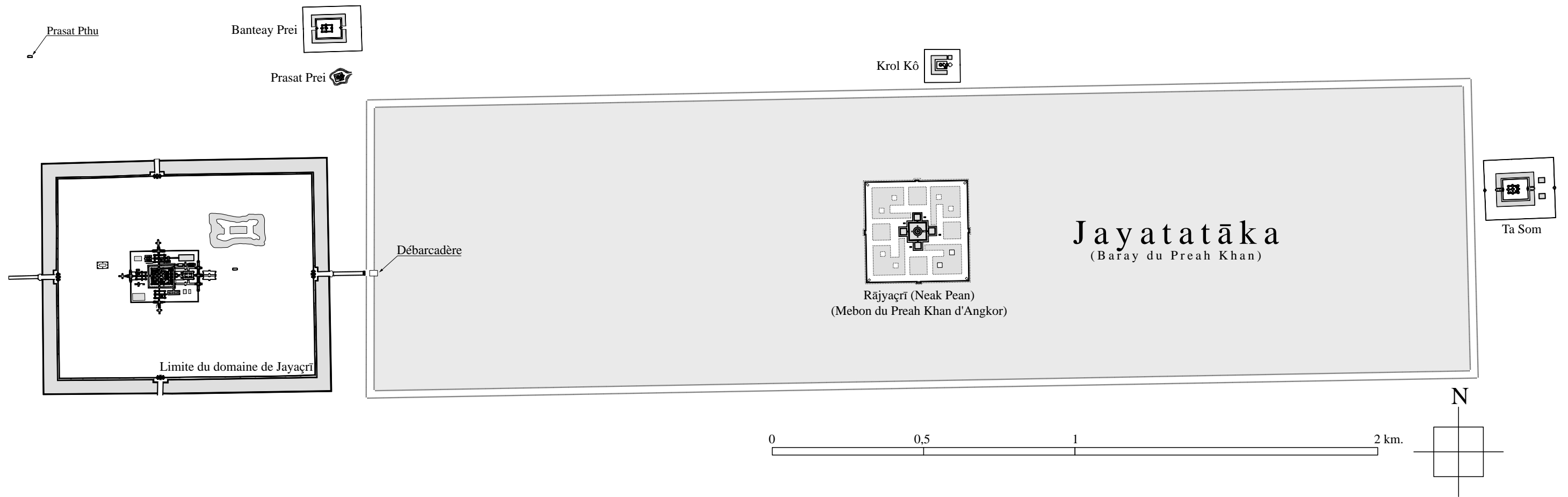
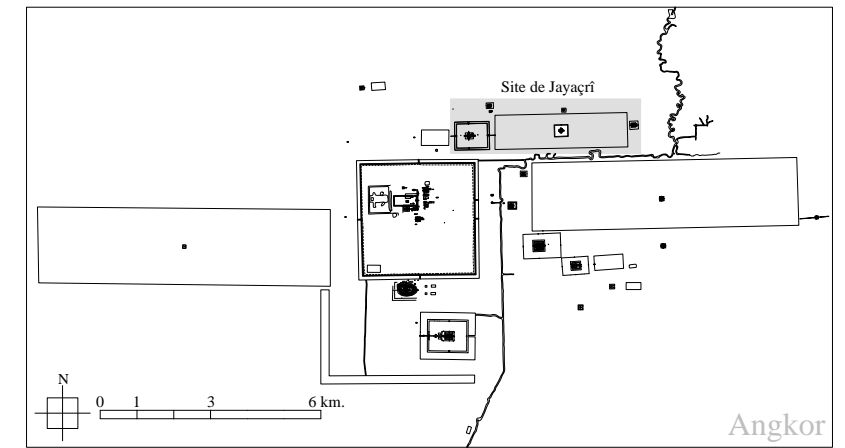


Fig. I-2-3-4.1 : Plan d'ensemble du site de Jayaçrī (Preah Khan d'Angkor)

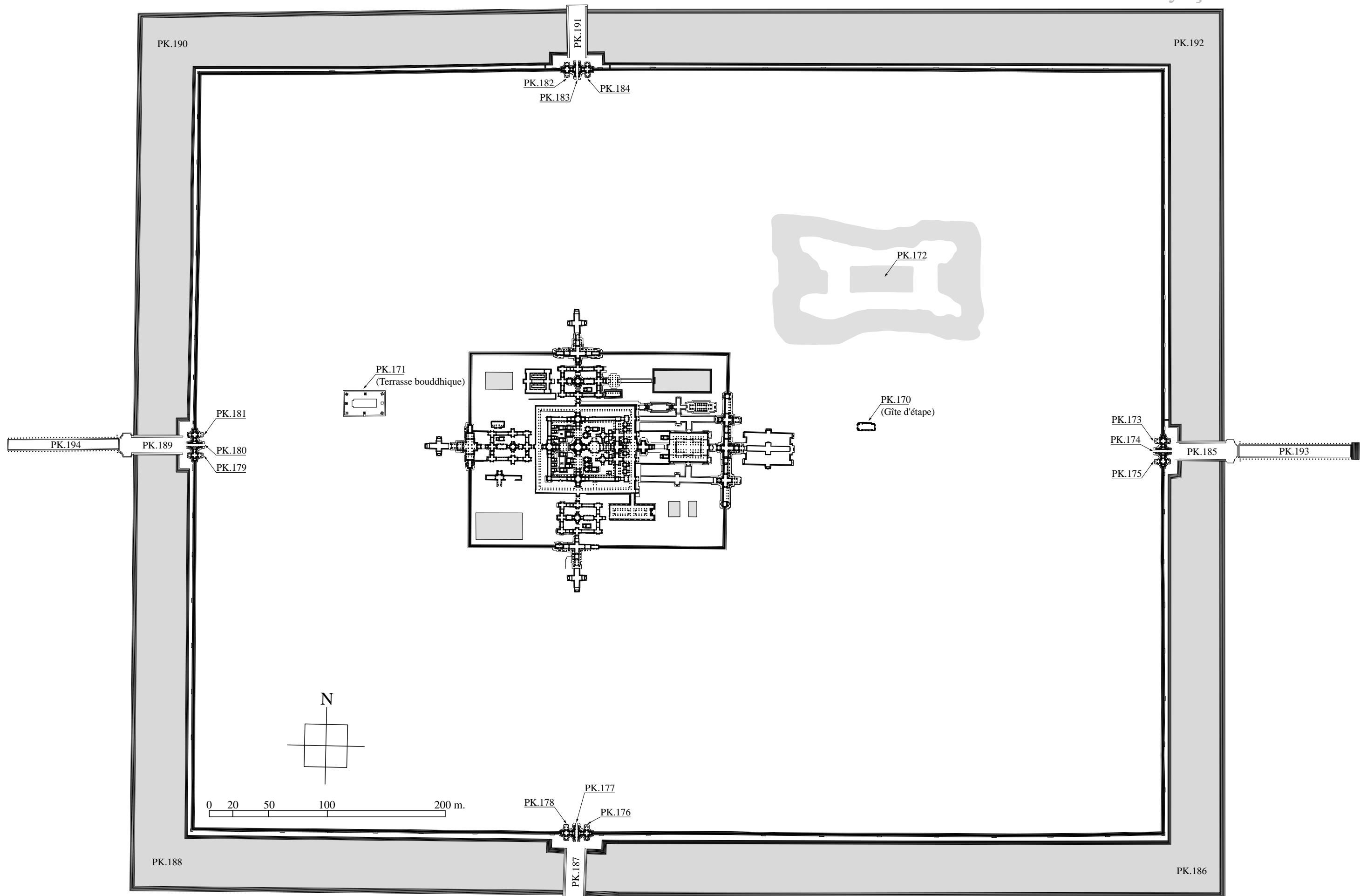


Fig. I-2-3-4.2 : Plan du domaine de Jayaçrī (Preah Khan d'Angkor)
— Quatrième enceinte —

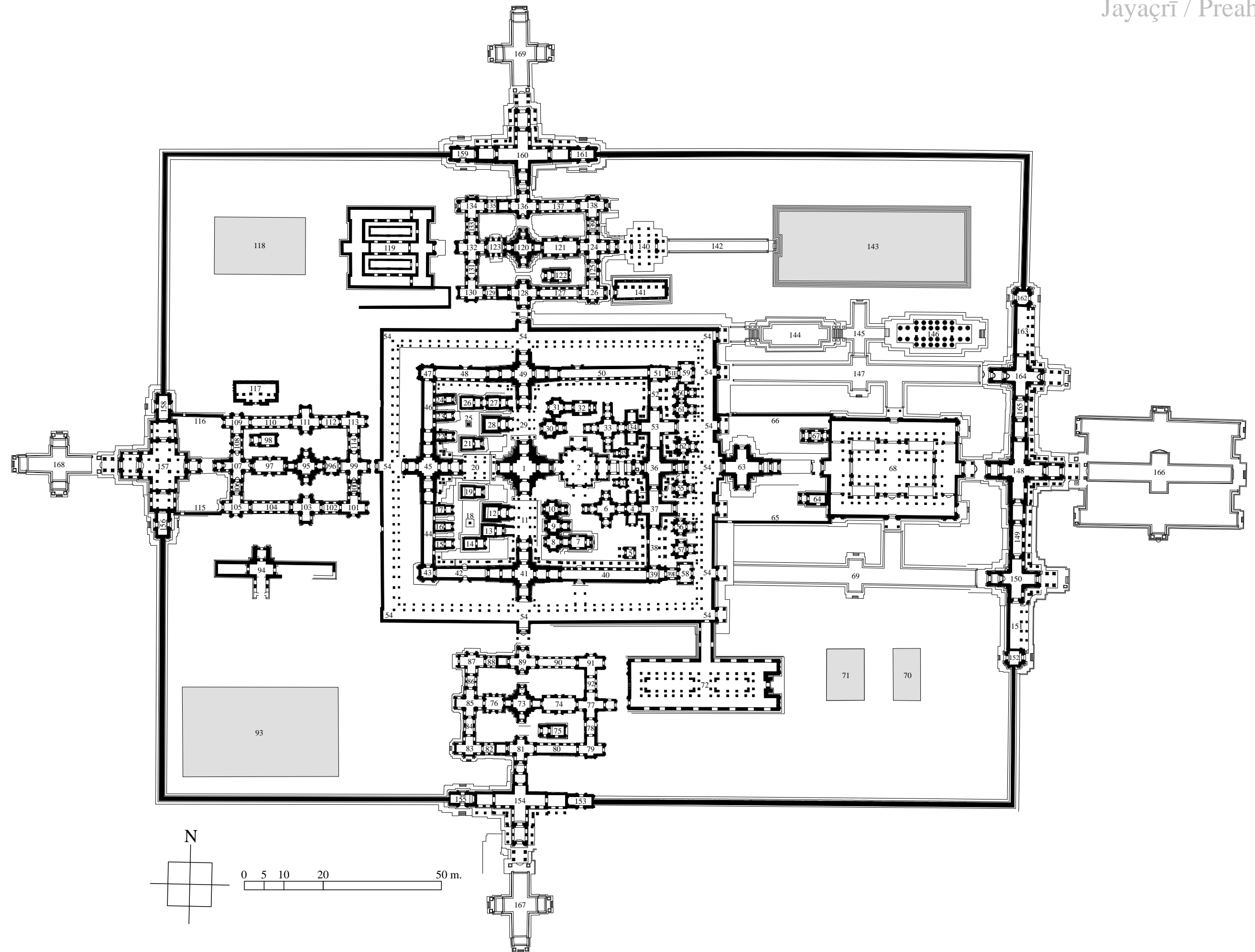


Fig. I-2-3-4.3 : Plan du complexe culturel de Jayaçrī (Preah Khan d'Angkor)
— troisième enceinte —

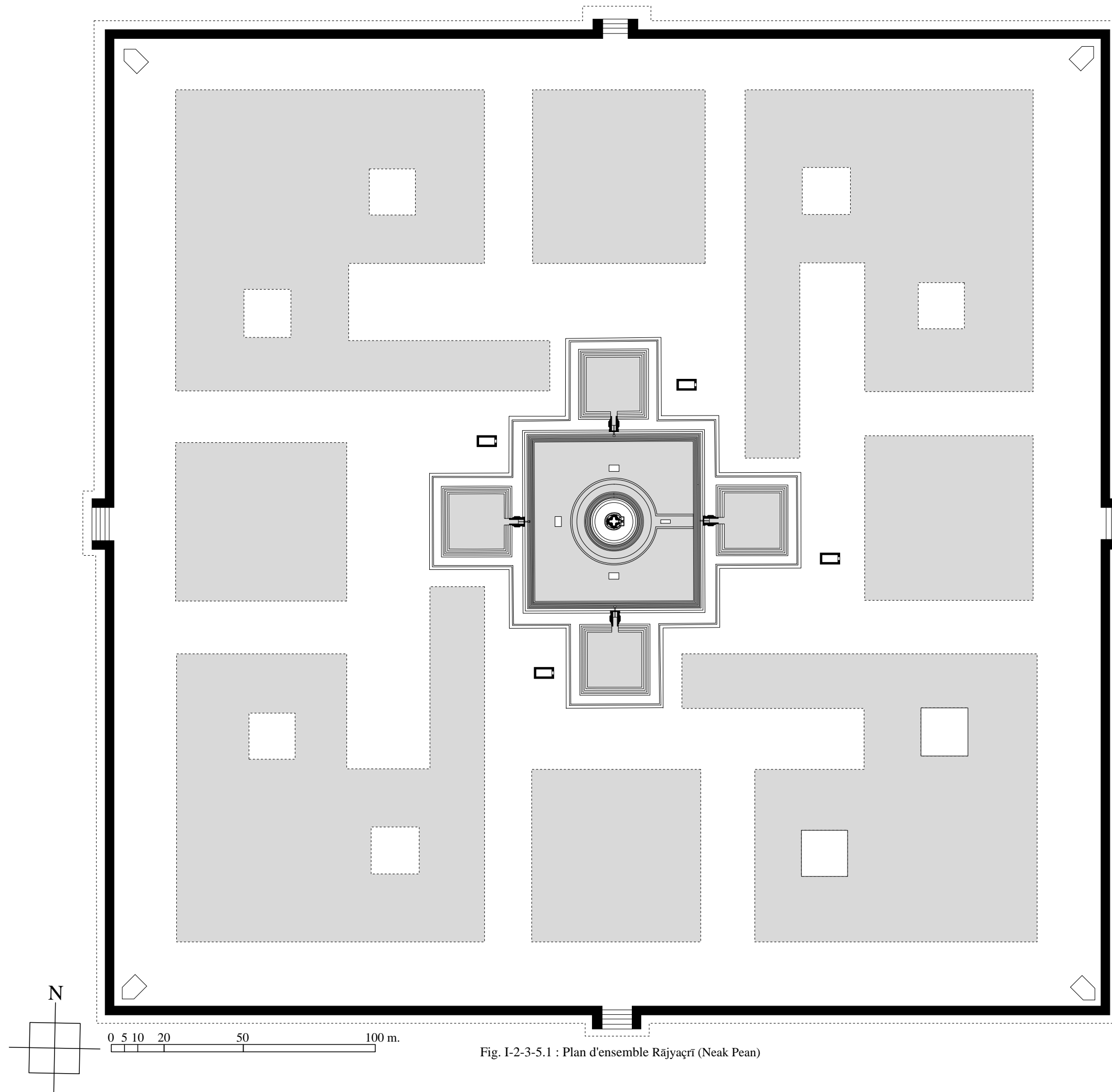


Fig. I-2-3-5.1 : Plan d'ensemble Rājyaçrī (Neak Pean)

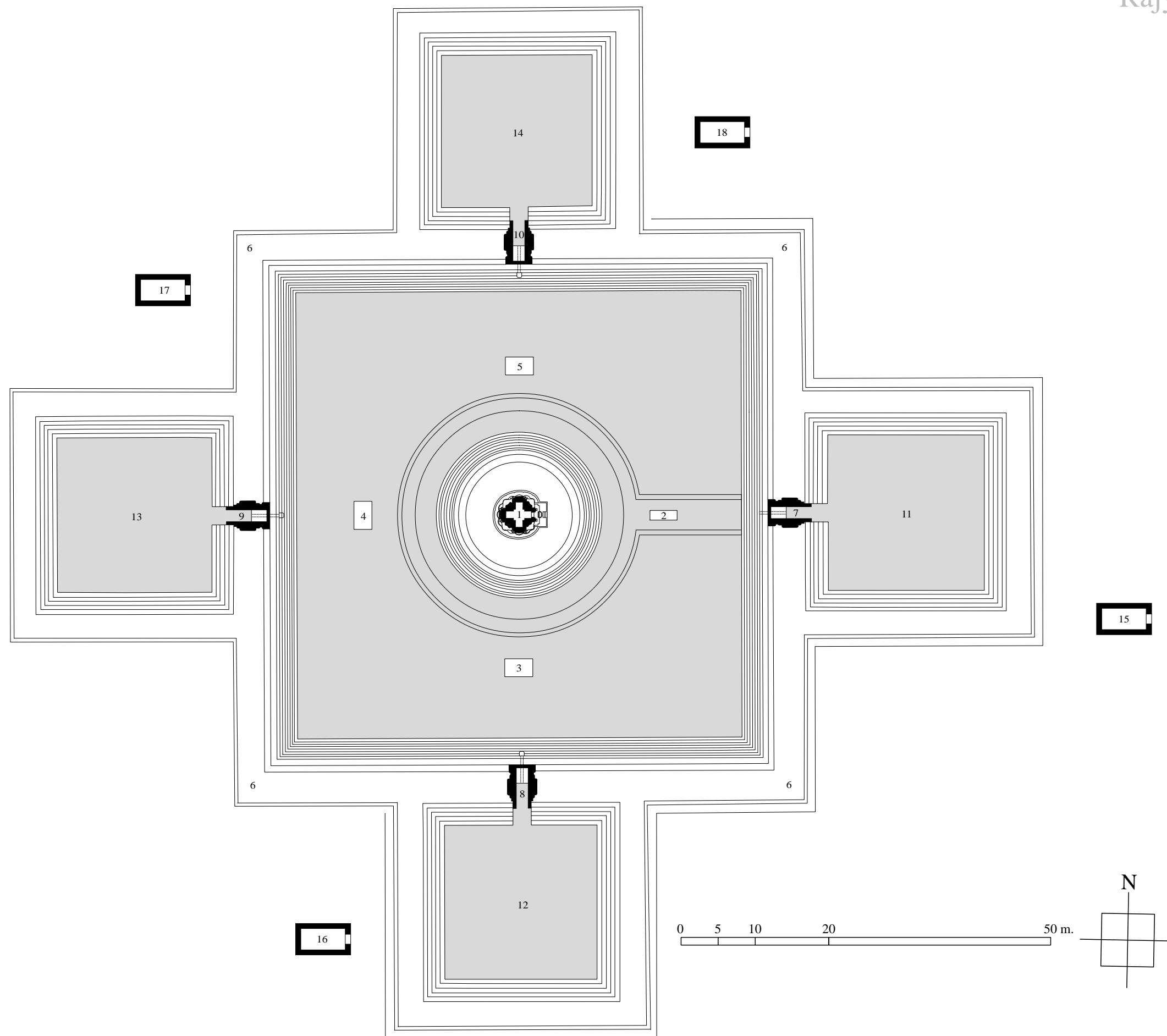


Fig. I-2-3-5.2 : Plan du complexe culturel de Rājyaṅṅrī (Neak Pean)

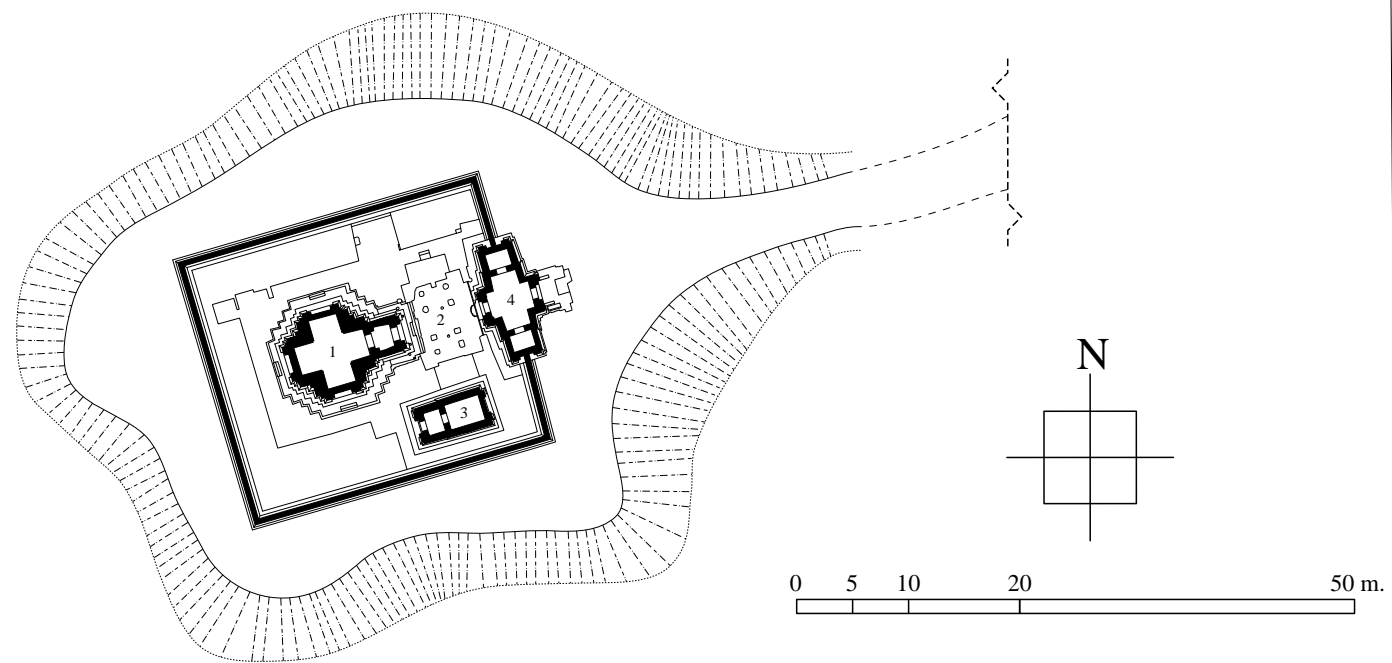


Fig. I-2-3-6.2 : Plan de Prasat Prei

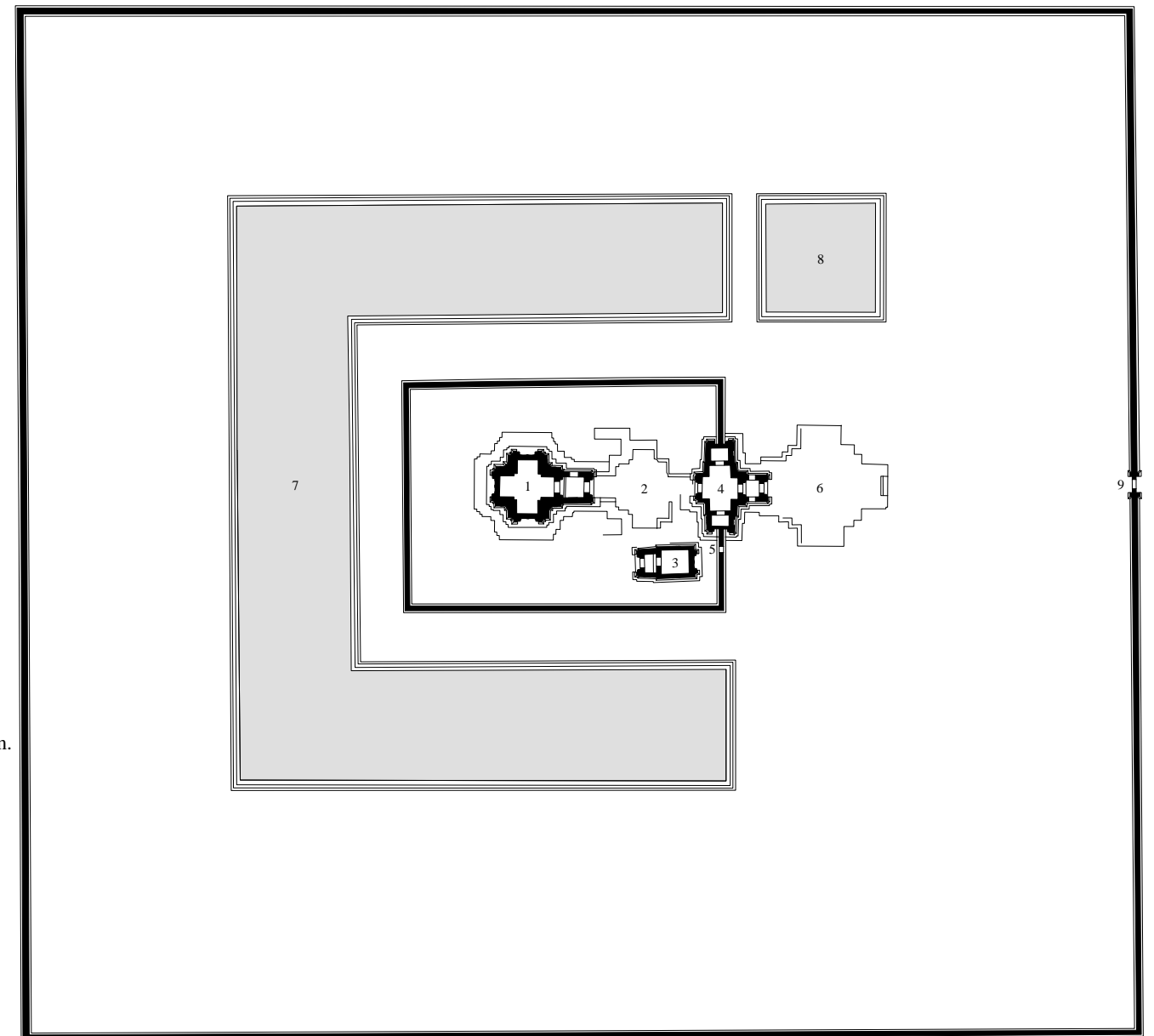


Fig. I-2-3-7 : Plan du domaine de Krol Kô
— Deuxième enceinte —

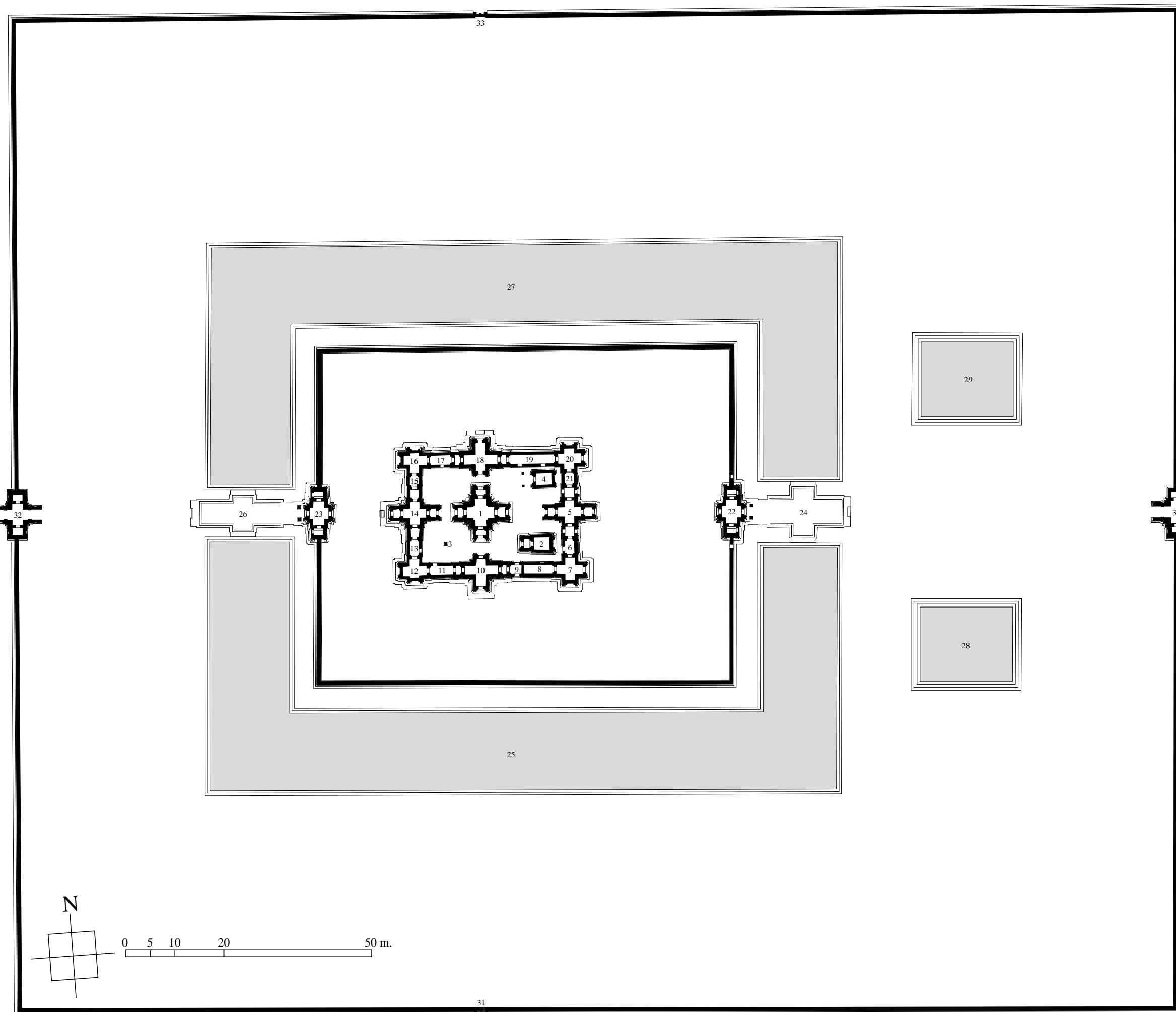


Fig. I-2-3-8 : Plan du domaine de Ta Som
— Troisième enceinte —

Banteay Thom & Prasat Prei Prasat

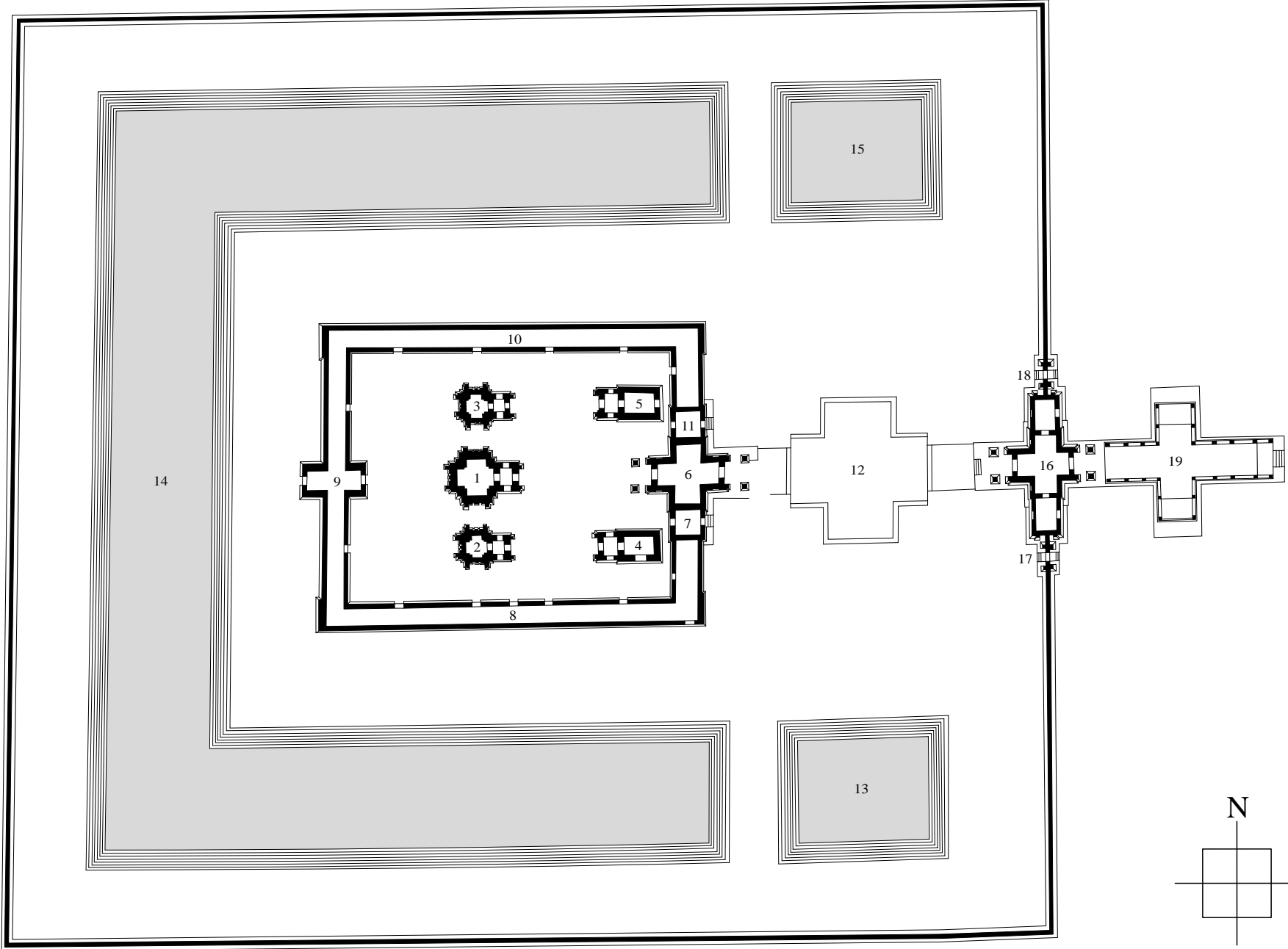
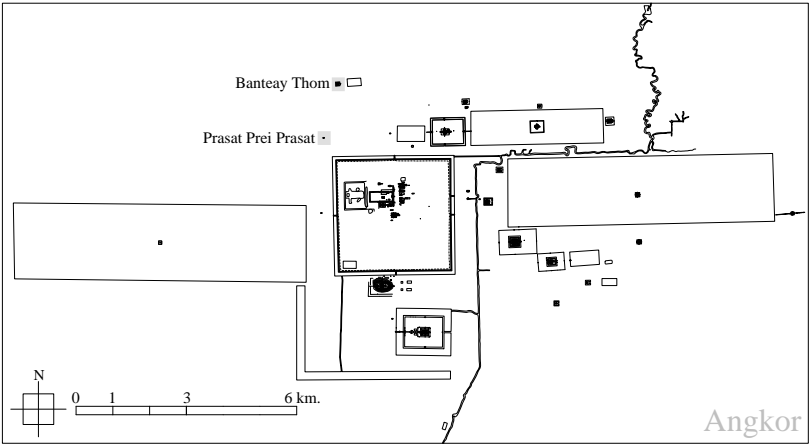


Fig. I-2-3-9 : Plan d'ensemble de Banteay Thom

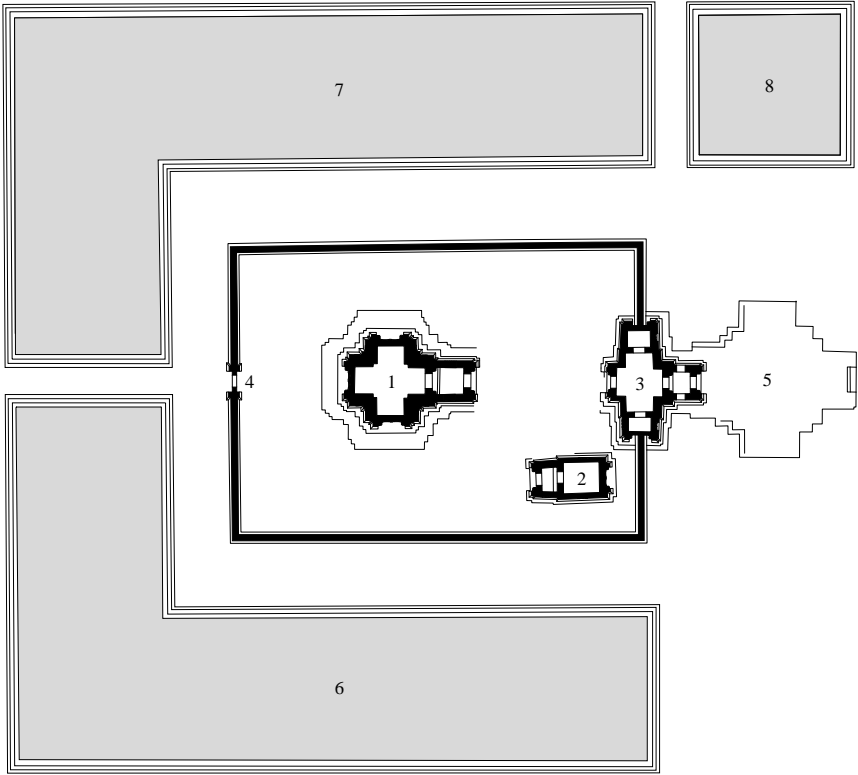
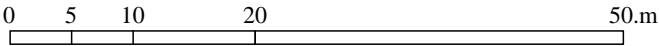
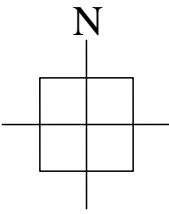


Fig. I-2-3-10 : Plan d'ensemble du Prasat Prei Prasat



Angkor Thom

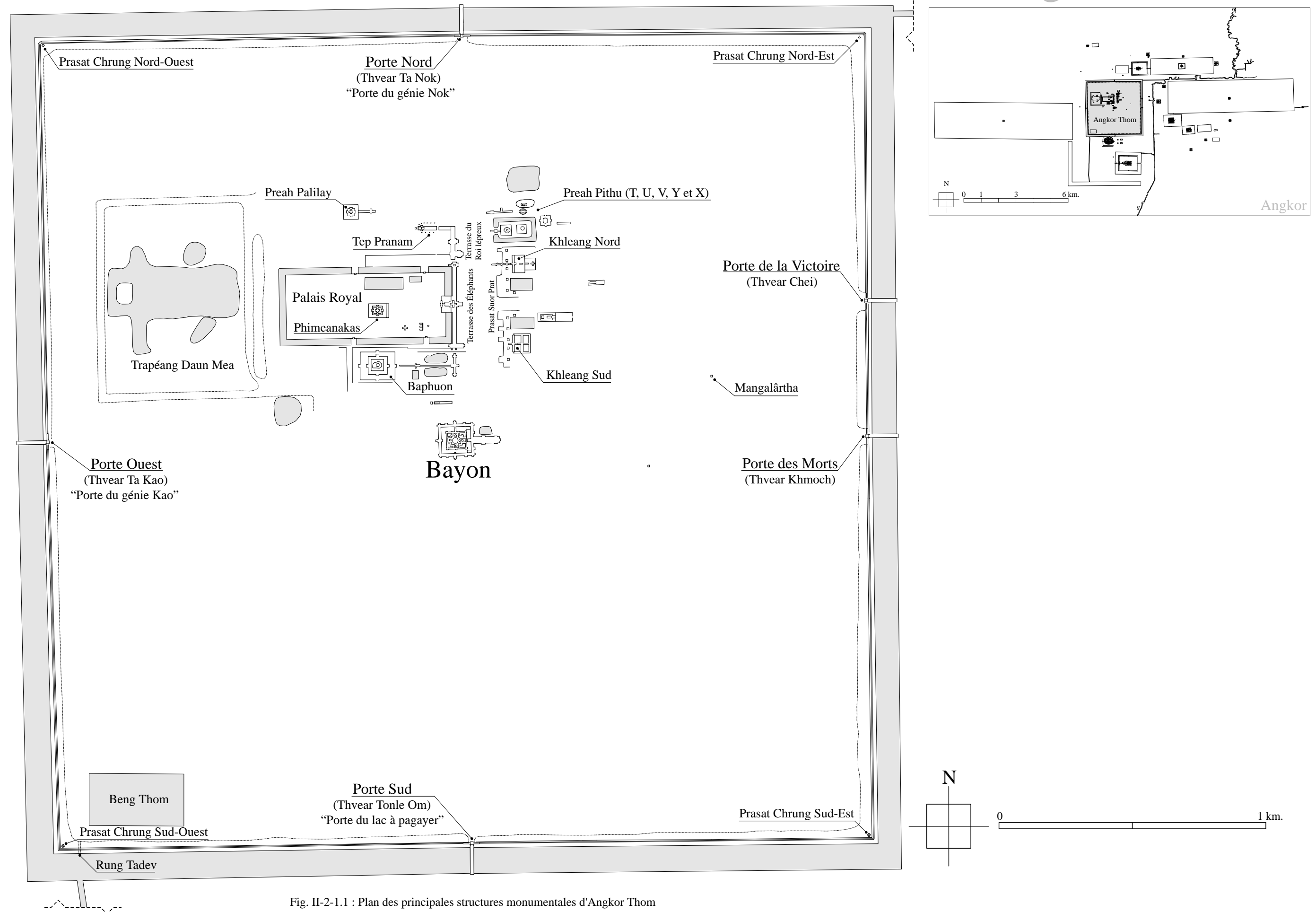


Fig. II-2-1.1 : Plan des principales structures monumentales d'Angkor Thom

Chapelle de l'hôpital Est d'Angkor Thom,
 Porte des Morts, Mangalârtha,
 Prasat Chrung Sud-Ouest et Sud-Est

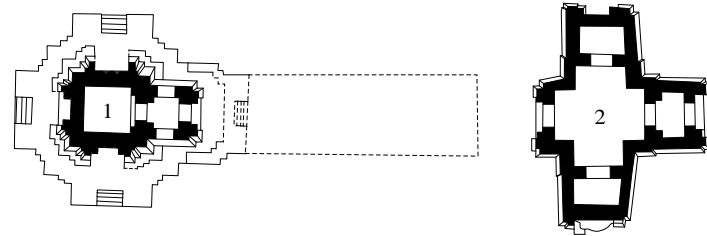


Fig. II-2-1.2 : Plan de la chapelle de l'hôpital Est d'Angkor Thom

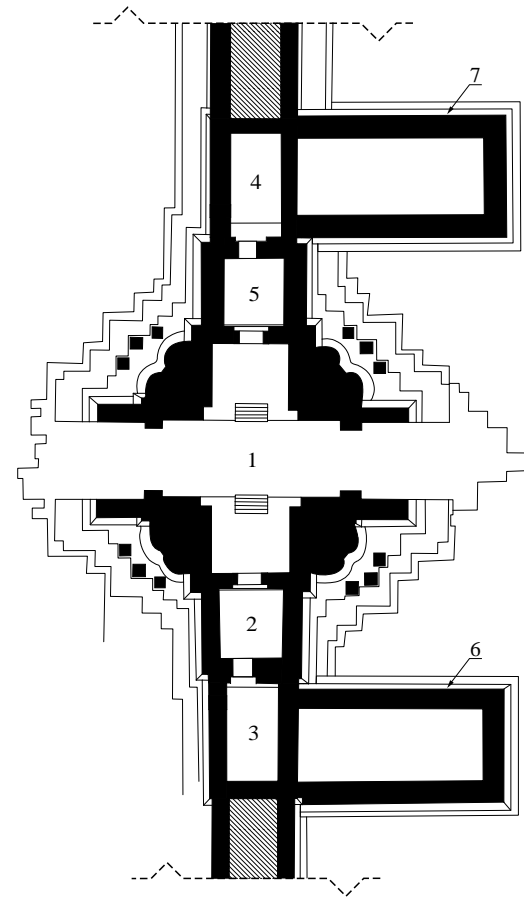


Fig. II-2-1.3 : Plan de la porte des Morts d'Angkor
 (Thear Khmoch)

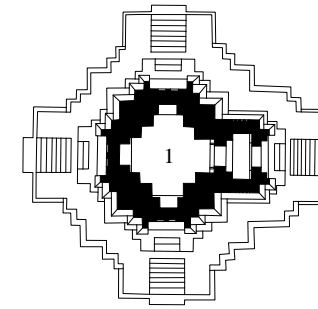


Fig. II-2-1.4 : Plan du Mangalârtha dans Angkor Thom
 (Monument n° 487 ou Prasat Top Est)

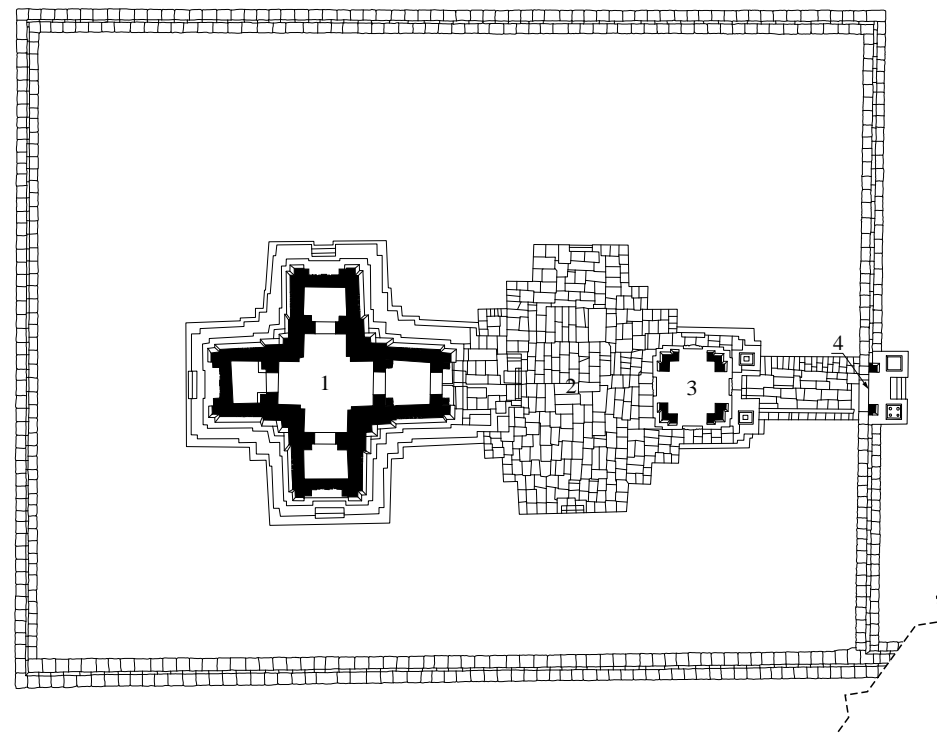


Fig. II-2-1.5 : Plan du Prasat Chrung Sud-Ouest d'Angkor Thom

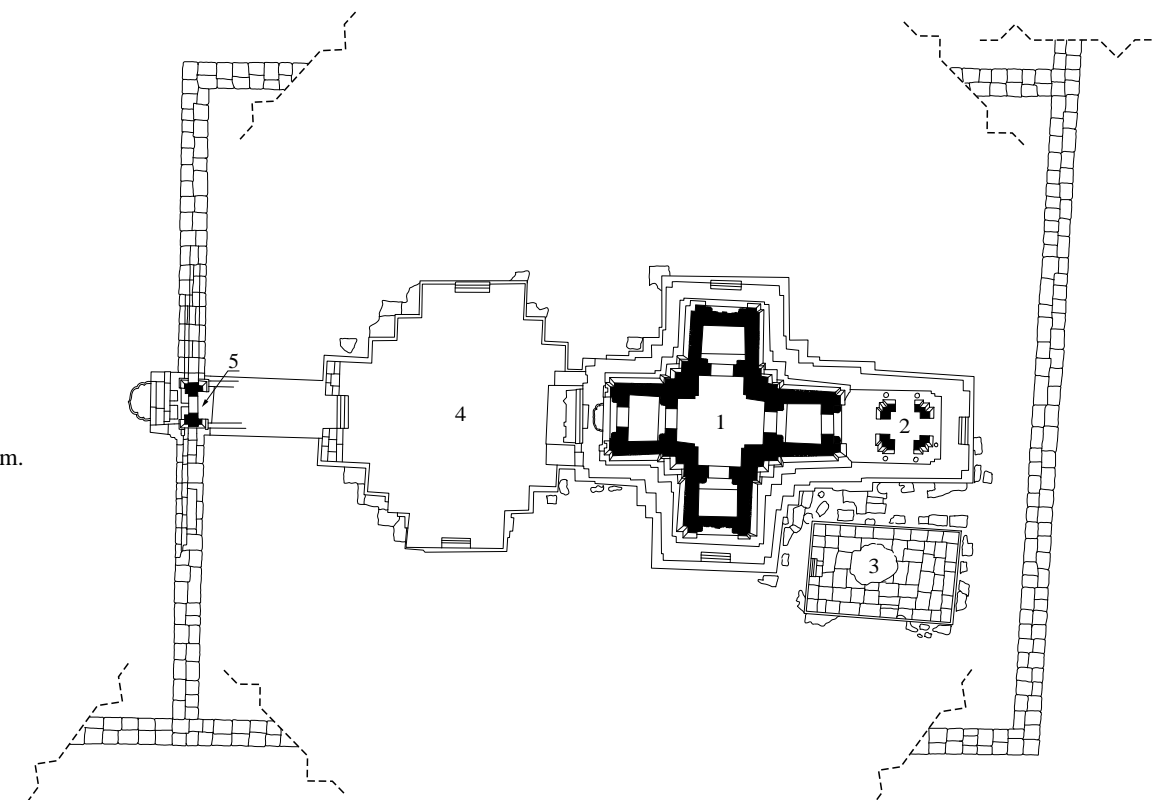
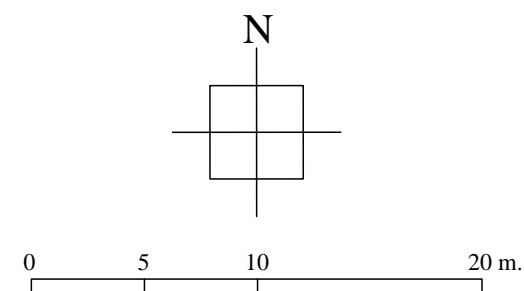


Fig. II-2-1.6 : Plan du Prasat Chrung Sud-Est d'Angkor Thom

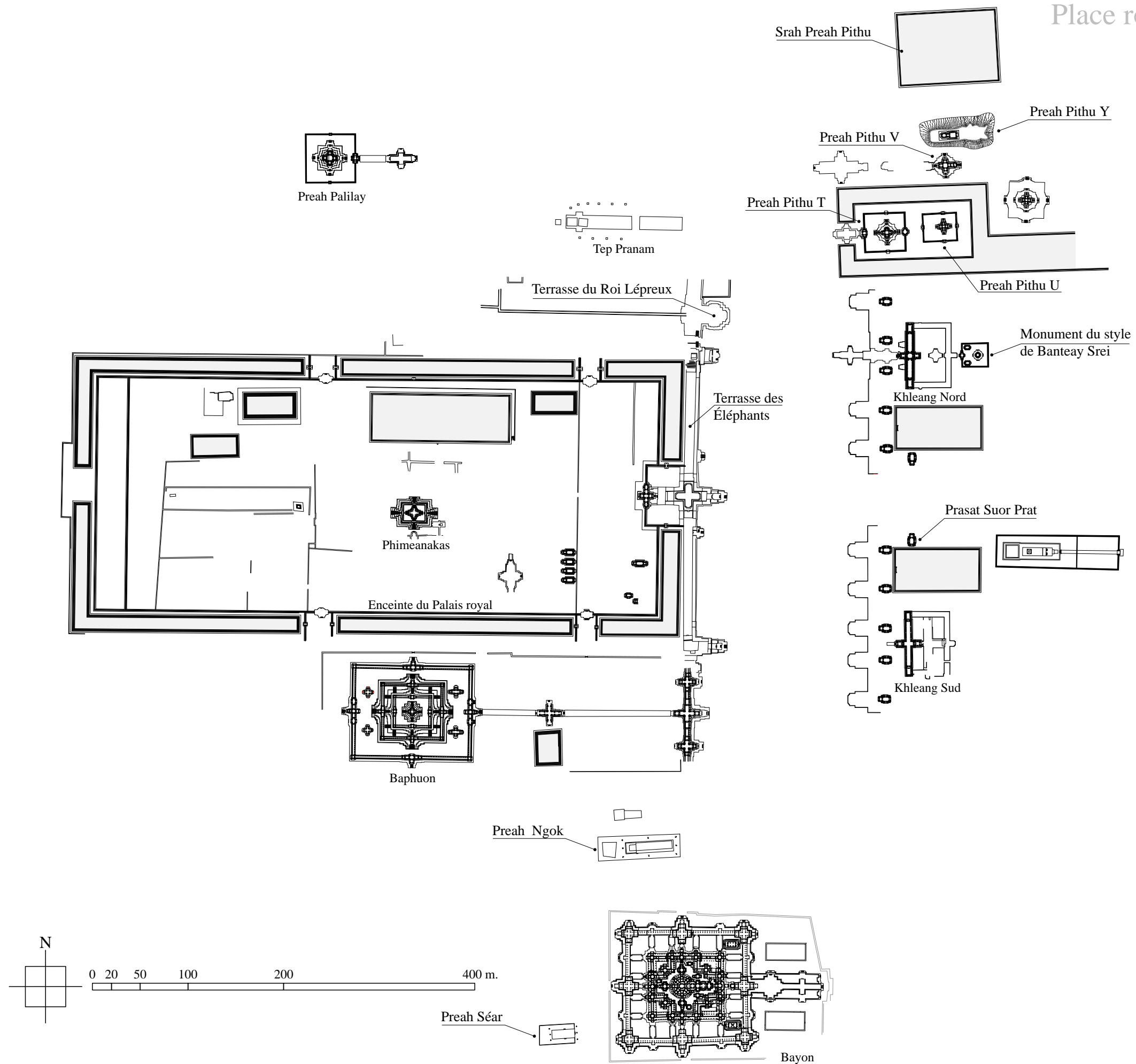


Fig. II-2-1.7 : Plan de la place royale d'Angkor Thom

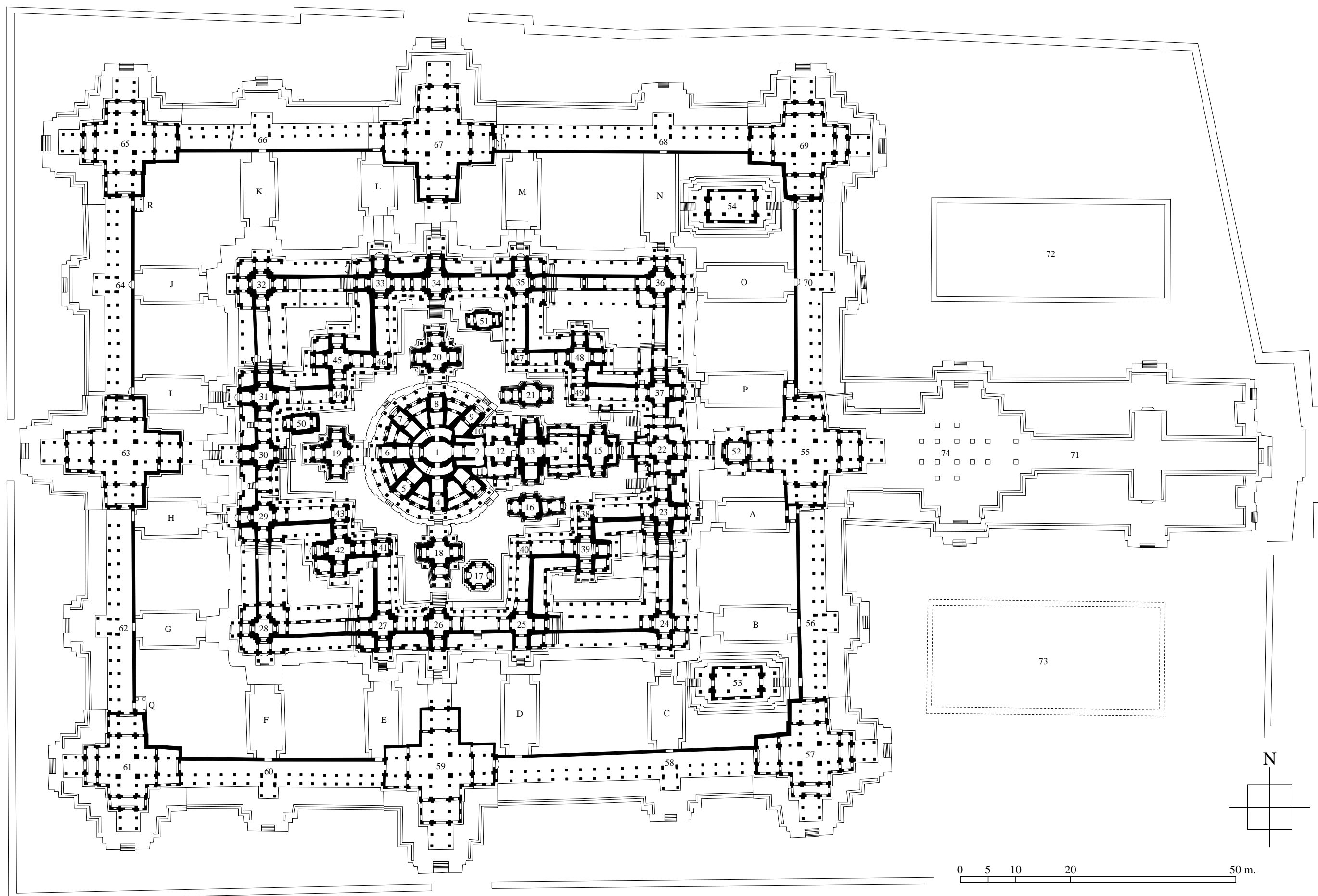


Fig. II-2-2.1 : Plan d'ensemble du Bayon

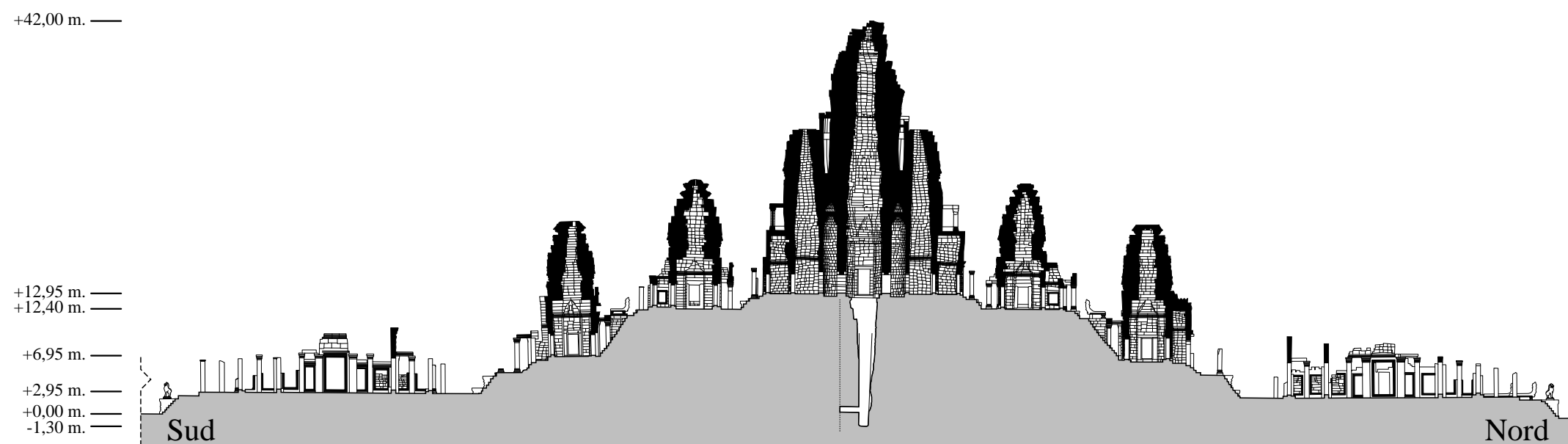


Fig. II-2-2.2 : Coupe transversale du Bayon sur l'axe Nord-Sud vers l'Ouest

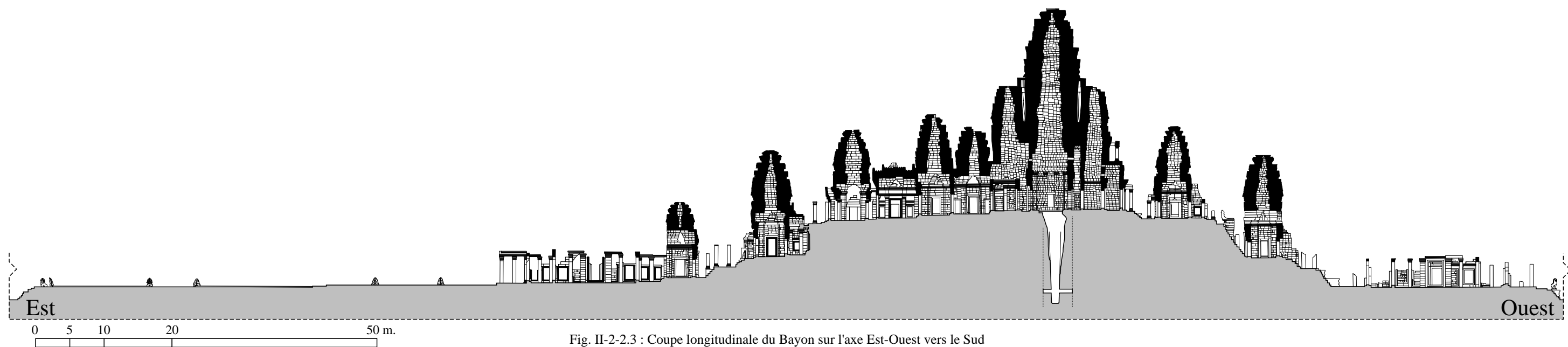


Fig. II-2-2.3 : Coupe longitudinale du Bayon sur l'axe Est-Ouest vers le Sud

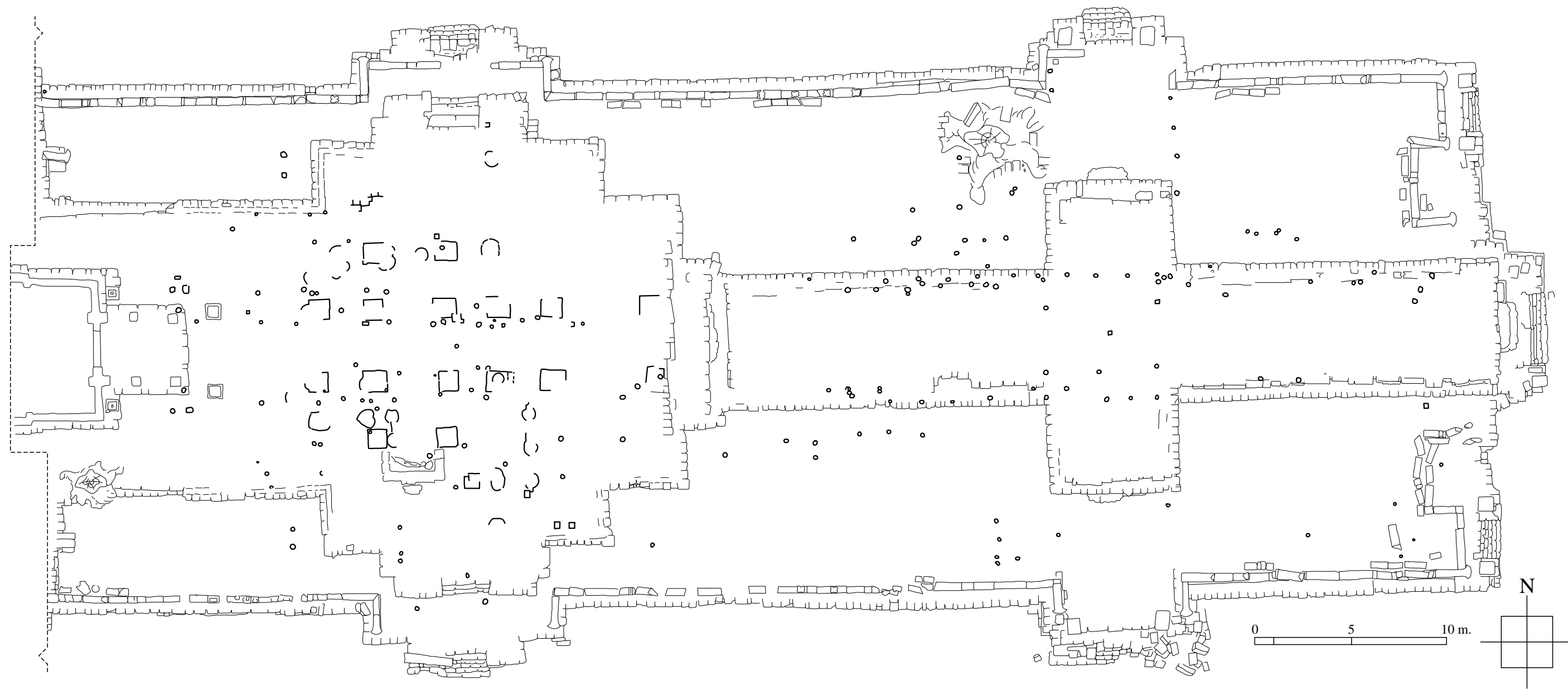


Fig. II-2-6.1 : Relevé de la chaussée-parvis **BY.71**

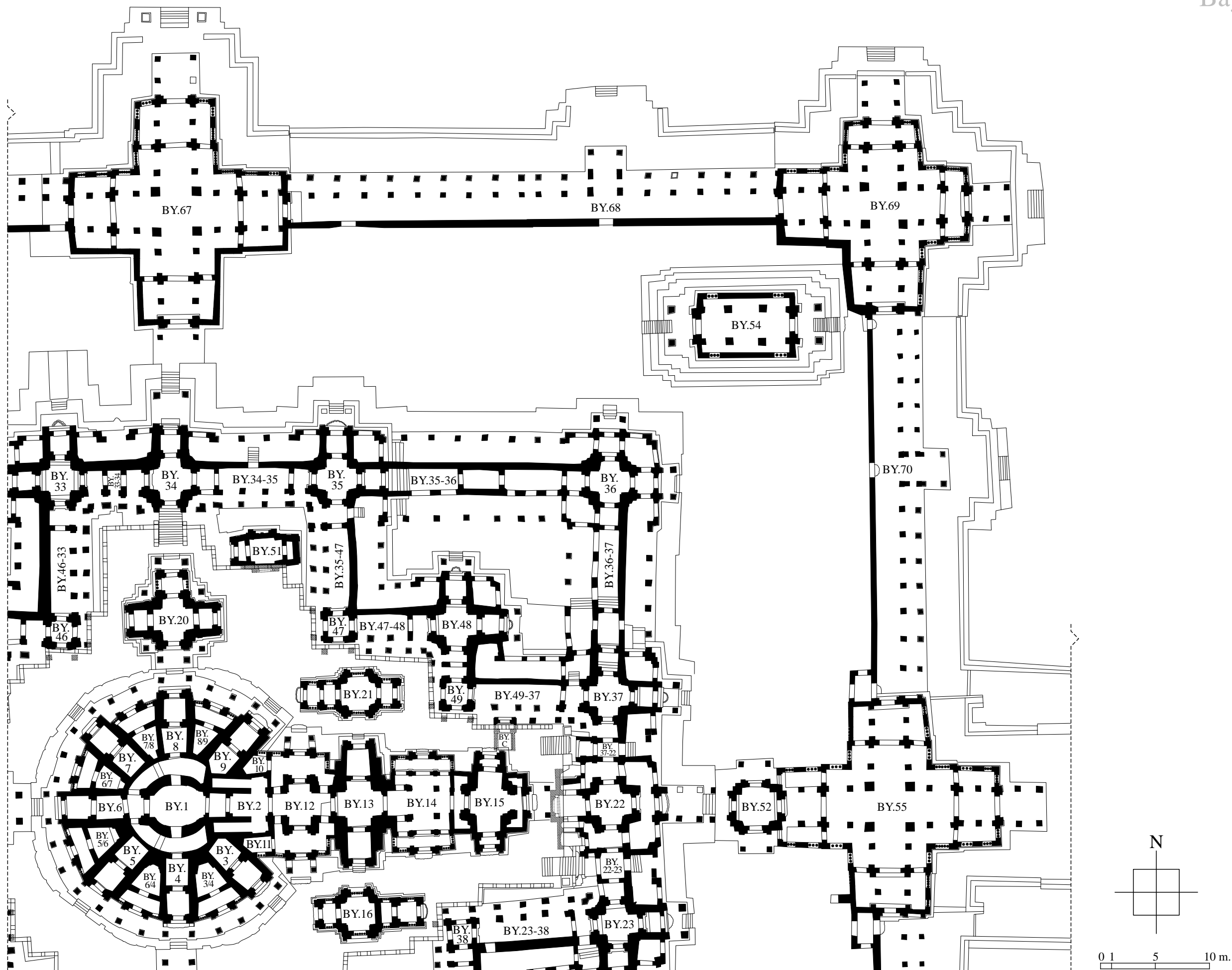


Fig. II-2-6.2 : Plan du quart Nord-Est du Bayon

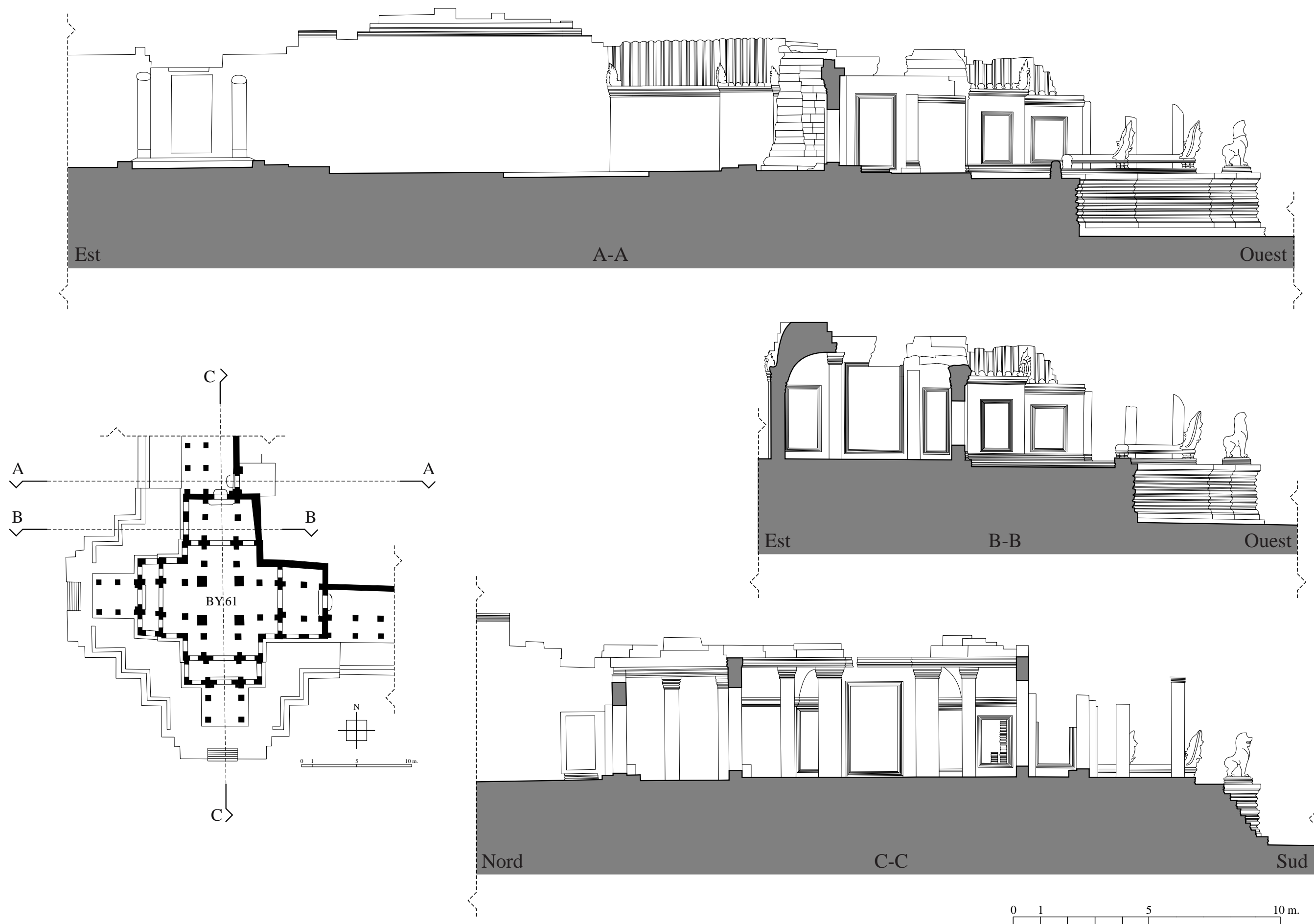
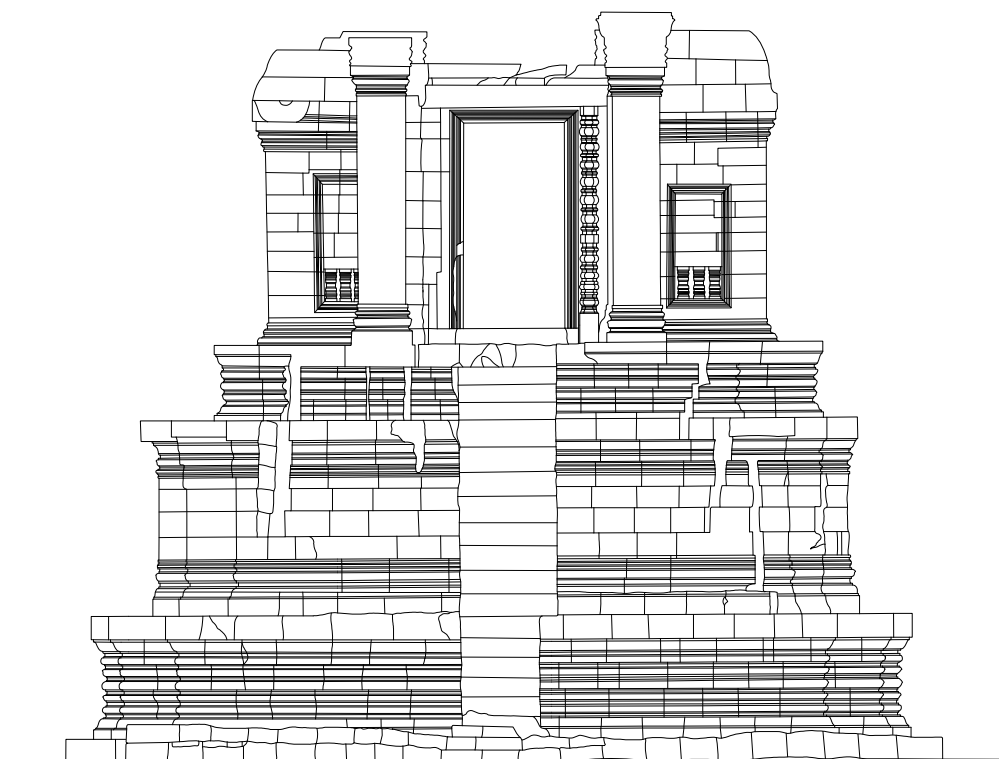
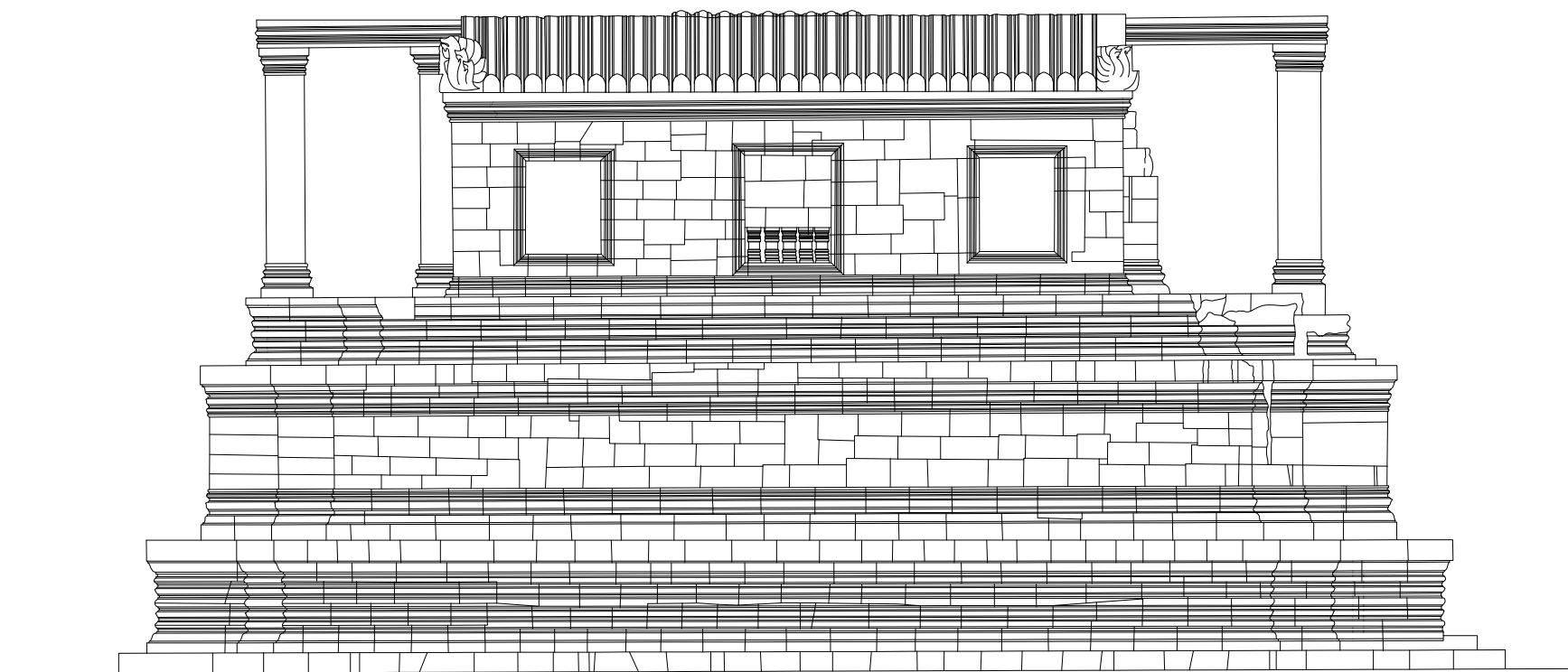


Fig. II-2-6.3 : Coupes sur les vestiges du pavillon d'angle **BY.61**



Élévation Ouest



Élévation Sud

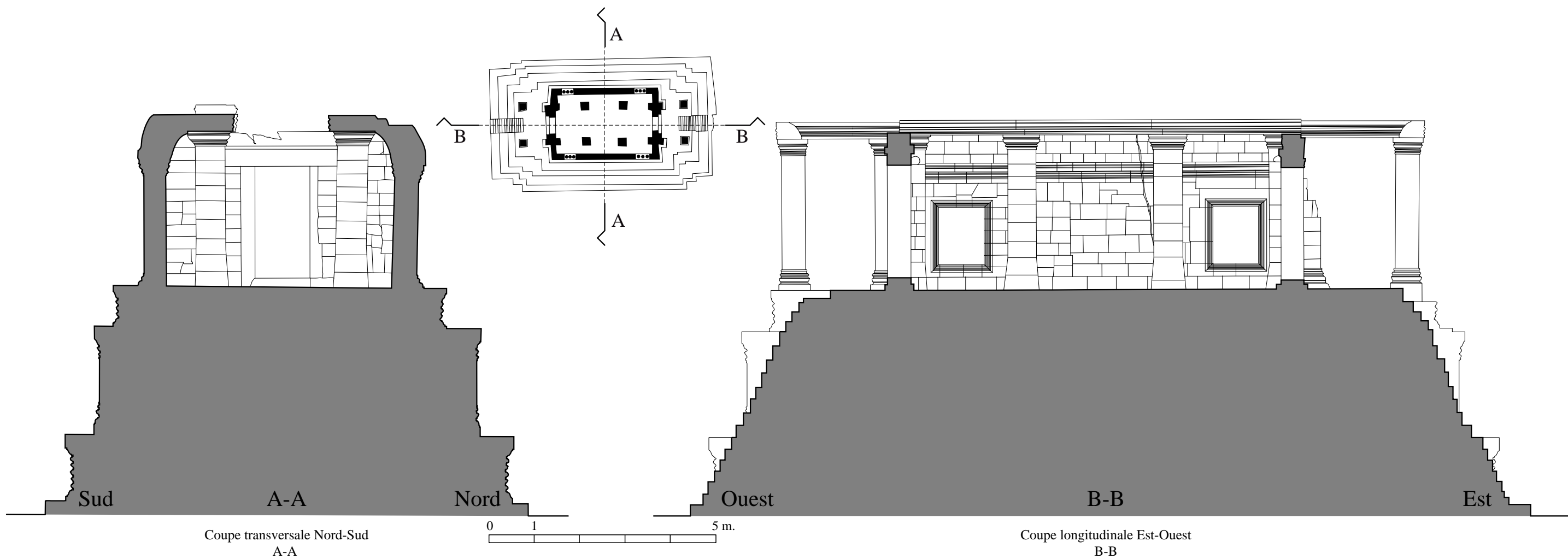


Fig. II-2-6.4 : Relevés de la "bibliothèque" Nord BY.54

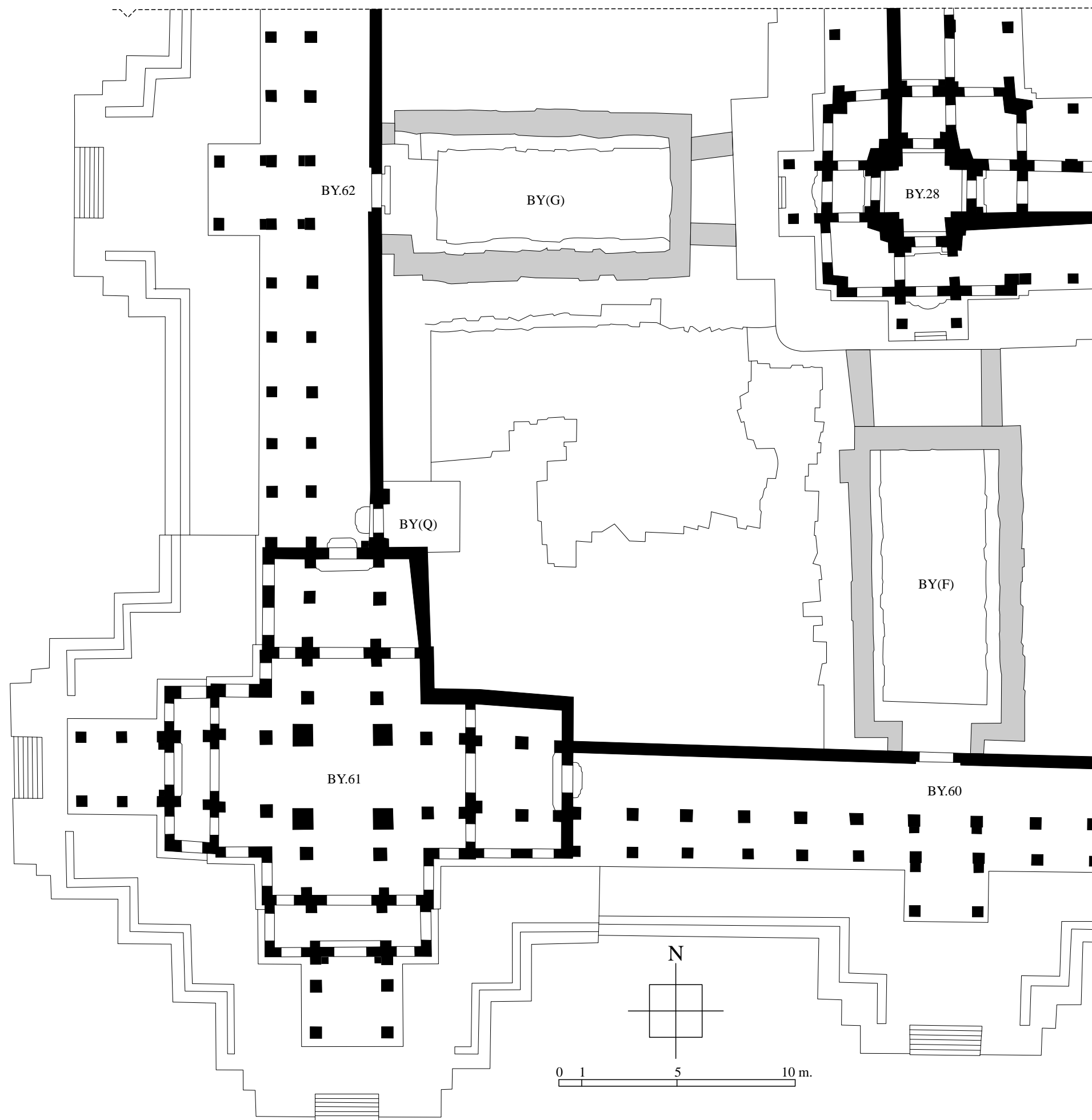


Fig. II-2-6.5 : Plan du quart Sud-Ouest du Bayon

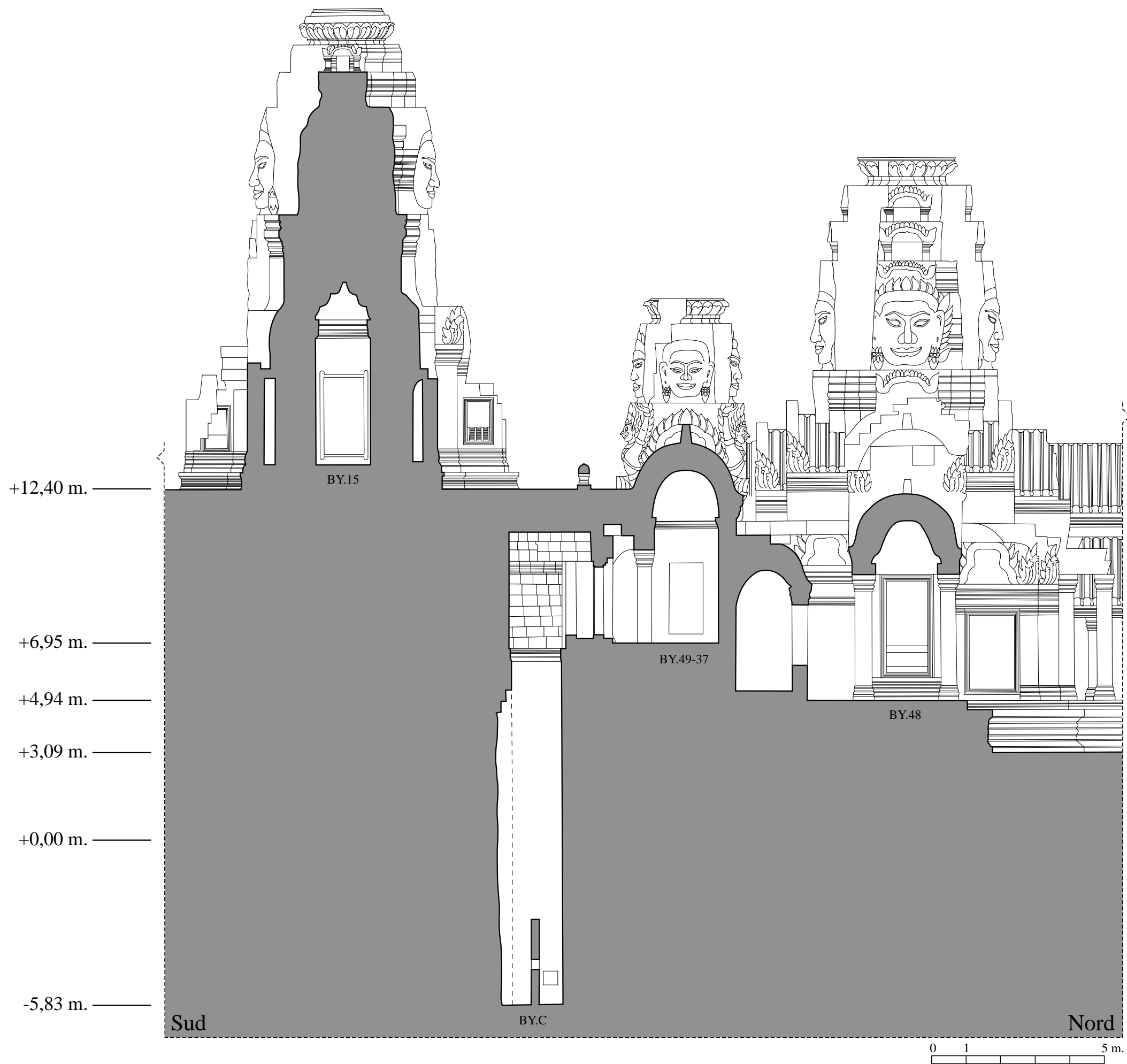


Fig. II-2-6.6 : Coupe Nord-Sud vers l'Ouest sur la "citerne" **BY.C**

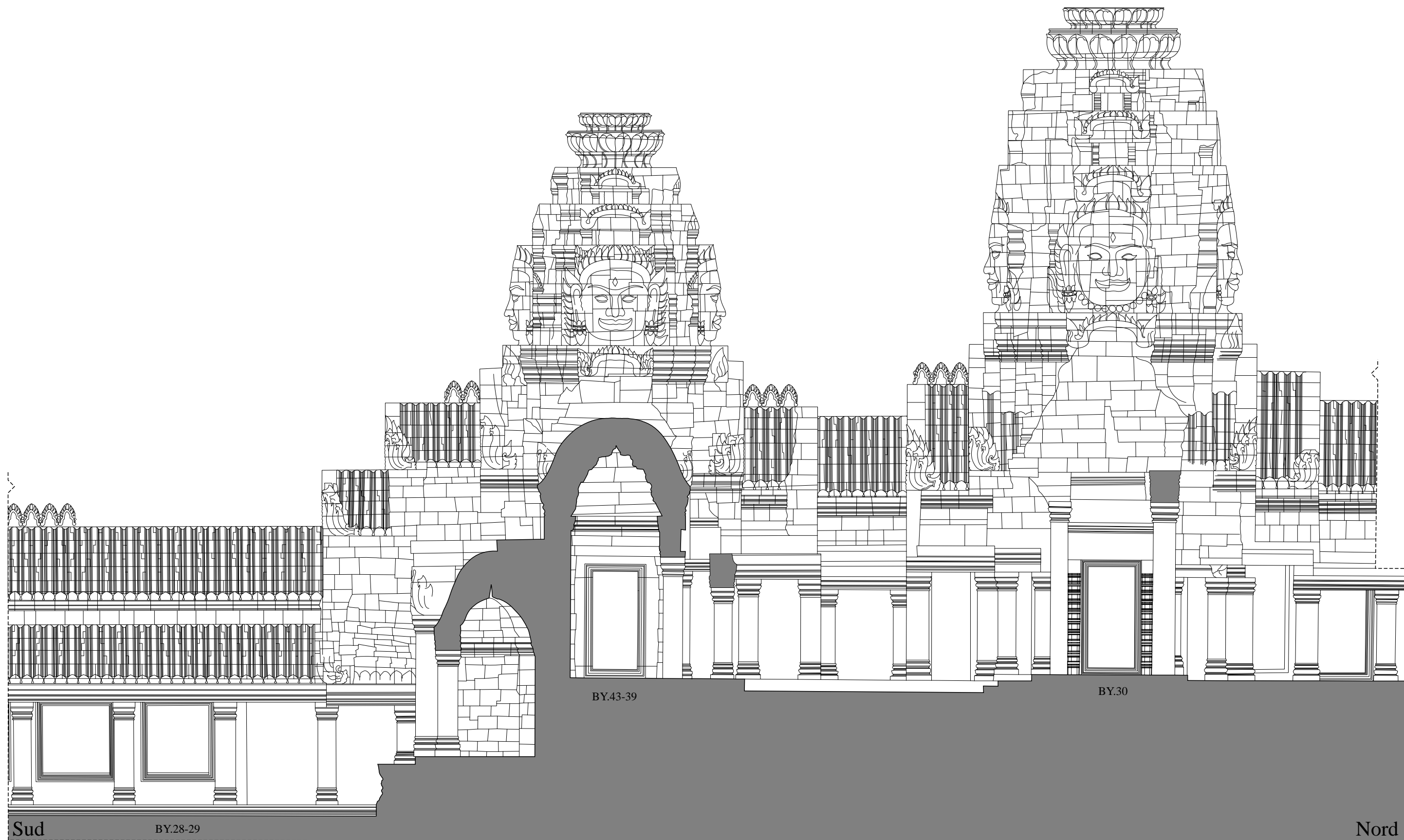


Fig. II-2-6.7 : Coupe Nord-Sud vers l'Ouest sur la galerie **BY.43-29** et élévations des tours **BY.29** et **BY.30**

0 1 5 m.

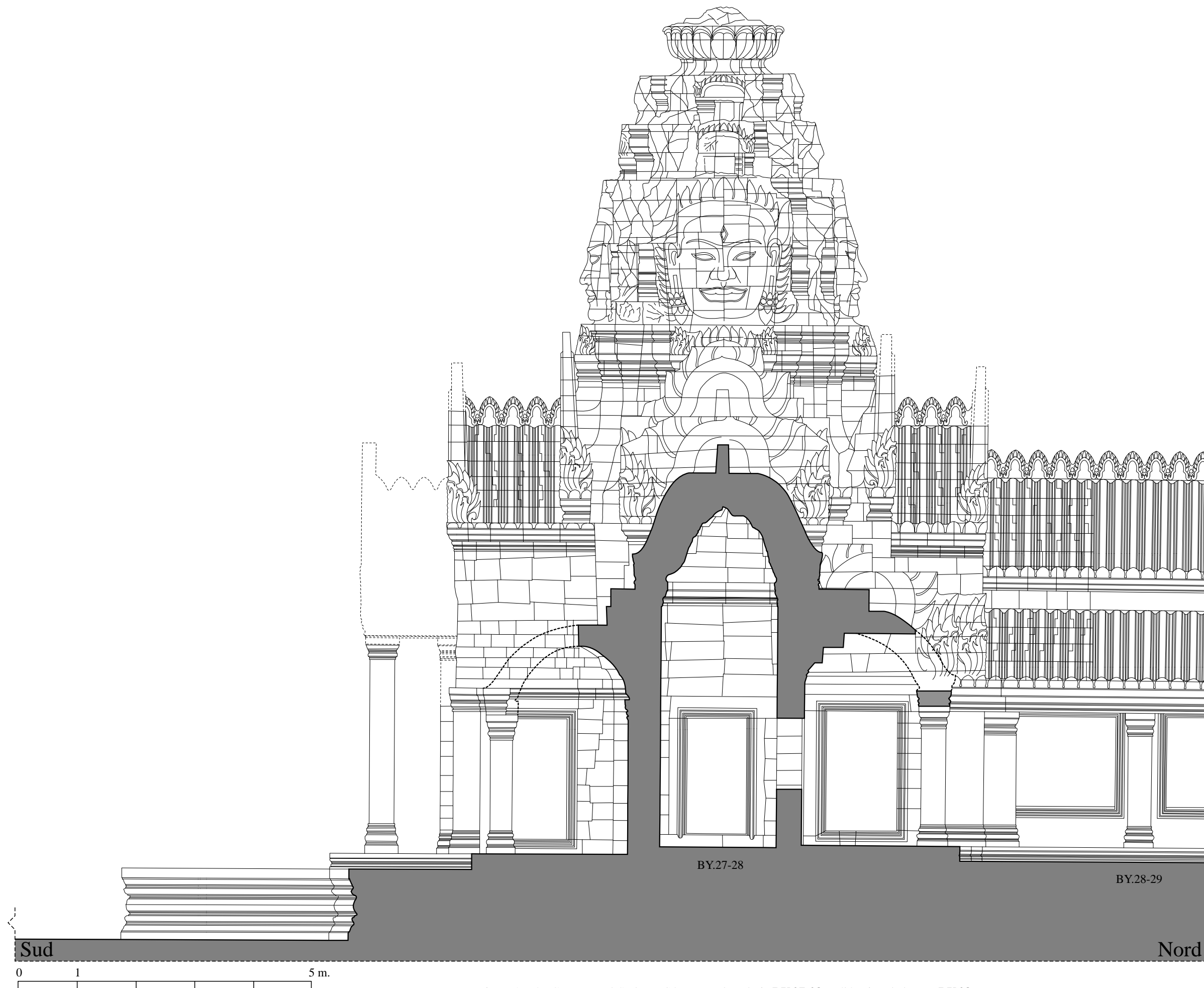


Fig. II-2-6.8 : Coupe Nord-Sud vers l'Ouest sur la galerie **BY.27-28** et élévation de la tour **BY.28**



Fig. II-2-6.9 : Coupe Nord-Sud vers l'Ouest des tours **BY.42** et **BY.43**

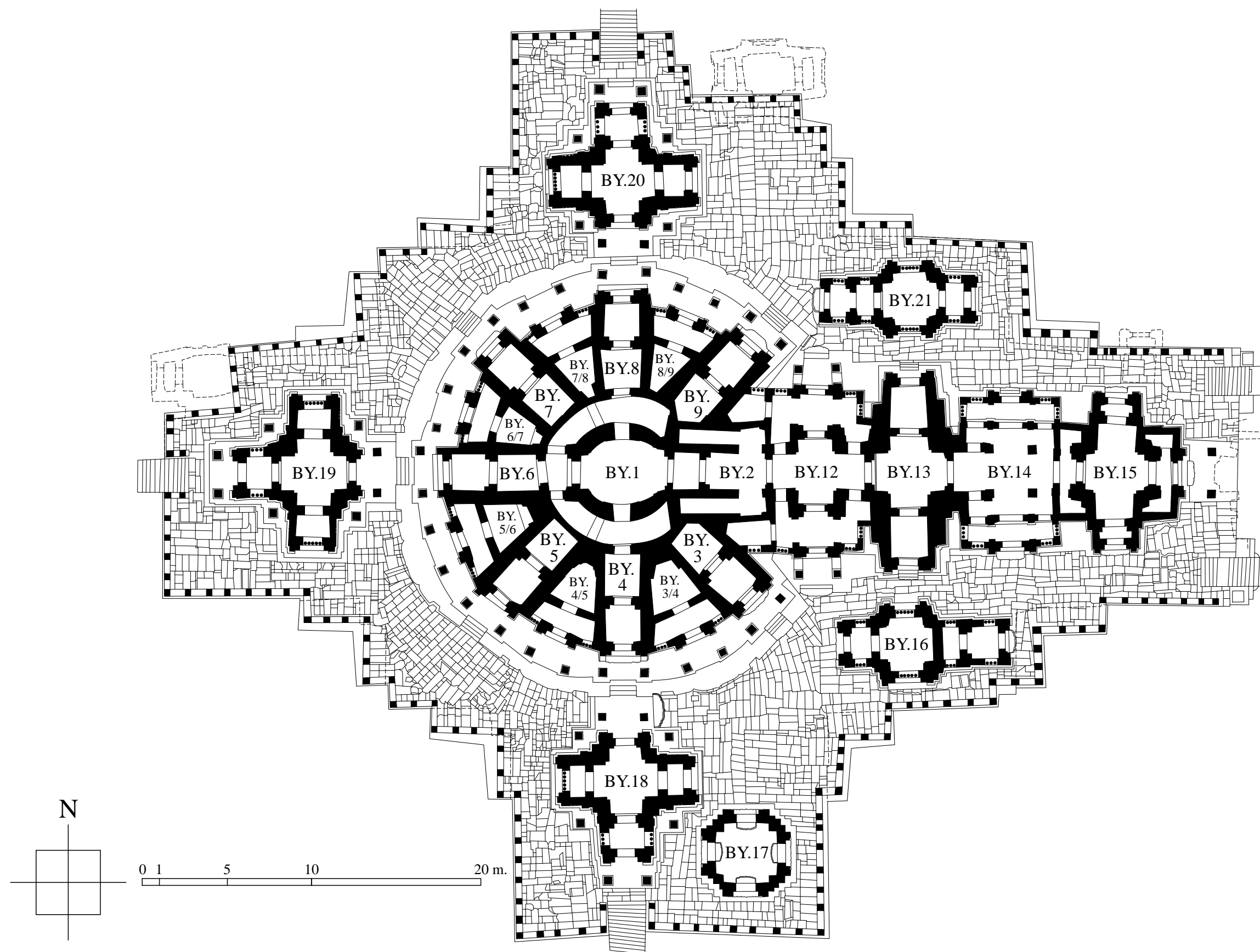


Fig. II-2-6.10 : Plan du troisième étage du Bayon



Fig. II-2-6.11 : Élévation Nord du massif central et de ses antichambres

0 1 5 10 m.

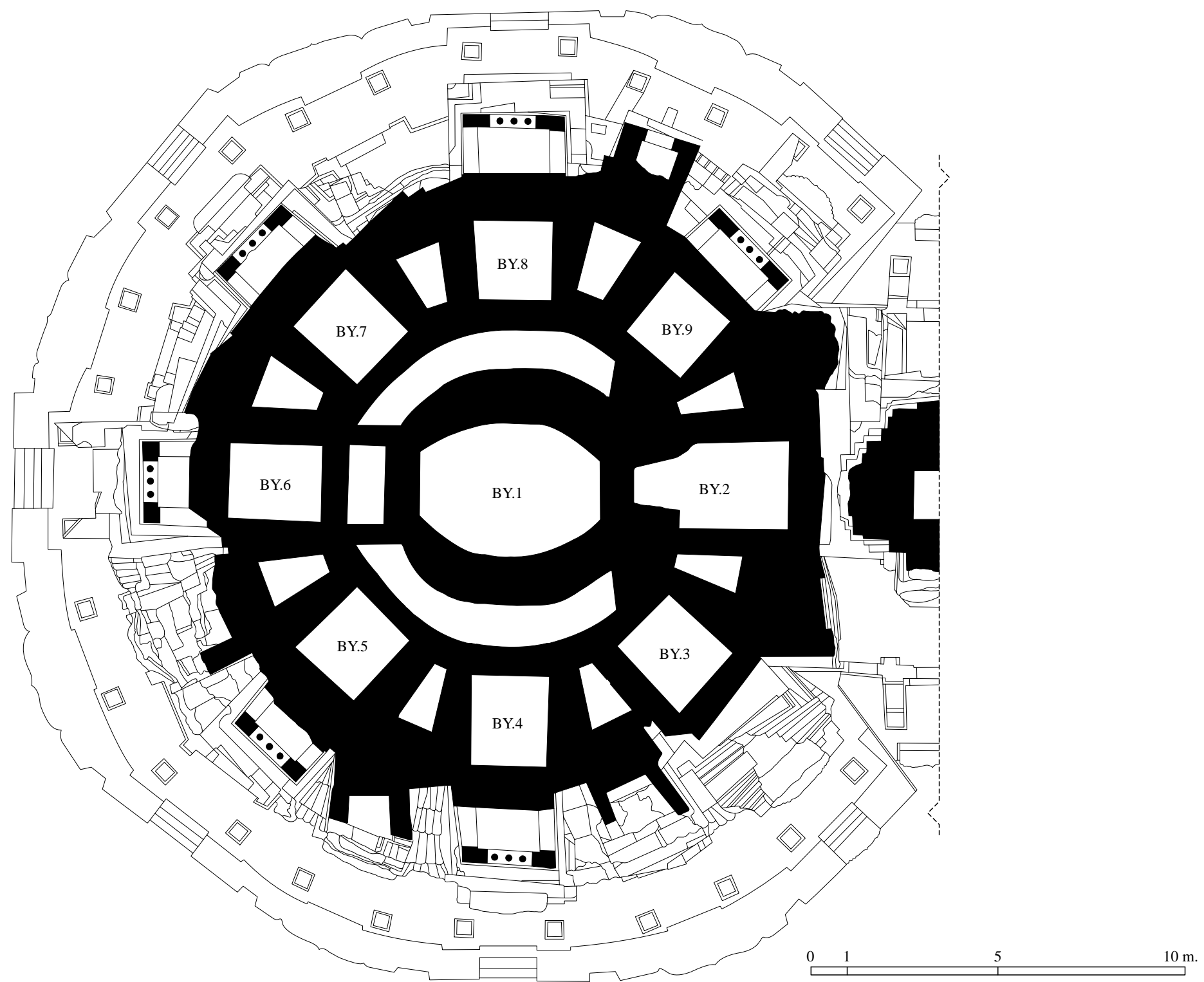


Fig. II-2-6.12 : Plan du massif central horizontal à hauteur des faux-porches des tours adjacentes

Banteay Chmar

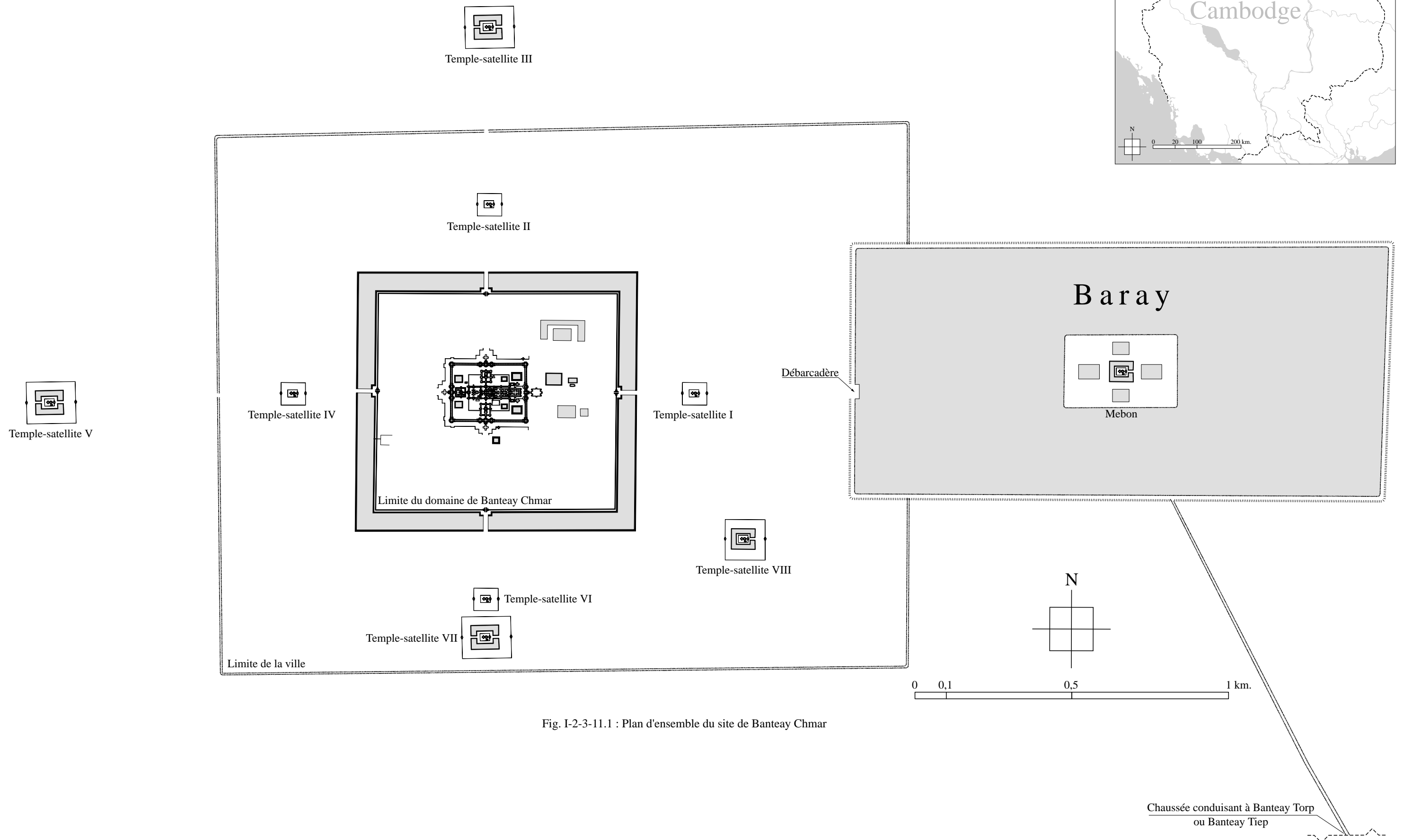
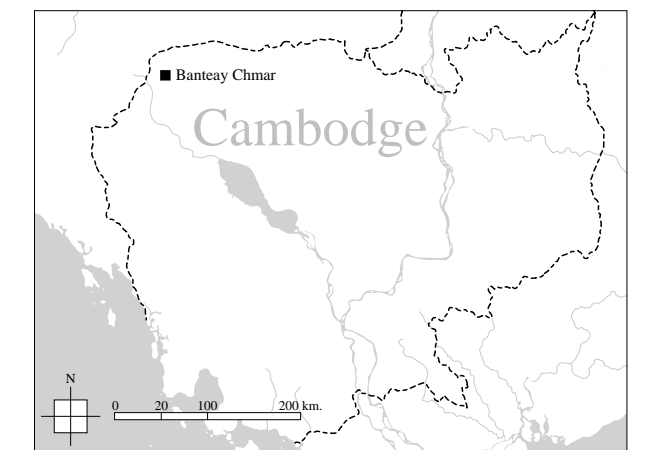


Fig. I-2-3-11.1 : Plan d'ensemble du site de Banteay Chmar

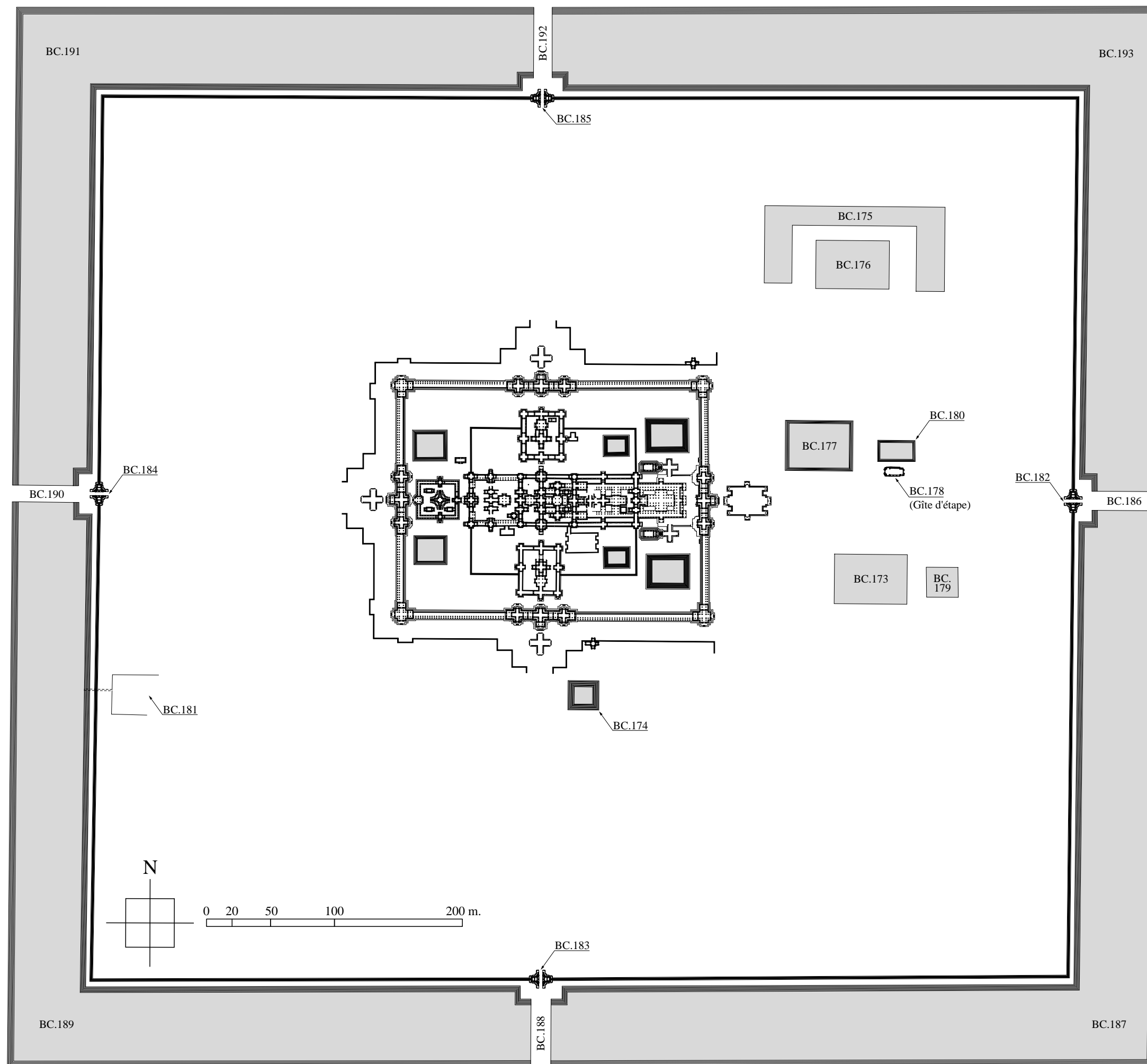


Fig. I-2-3-11.2 : Plan du domaine de Banteay Chmar
— Quatrième enceinte —

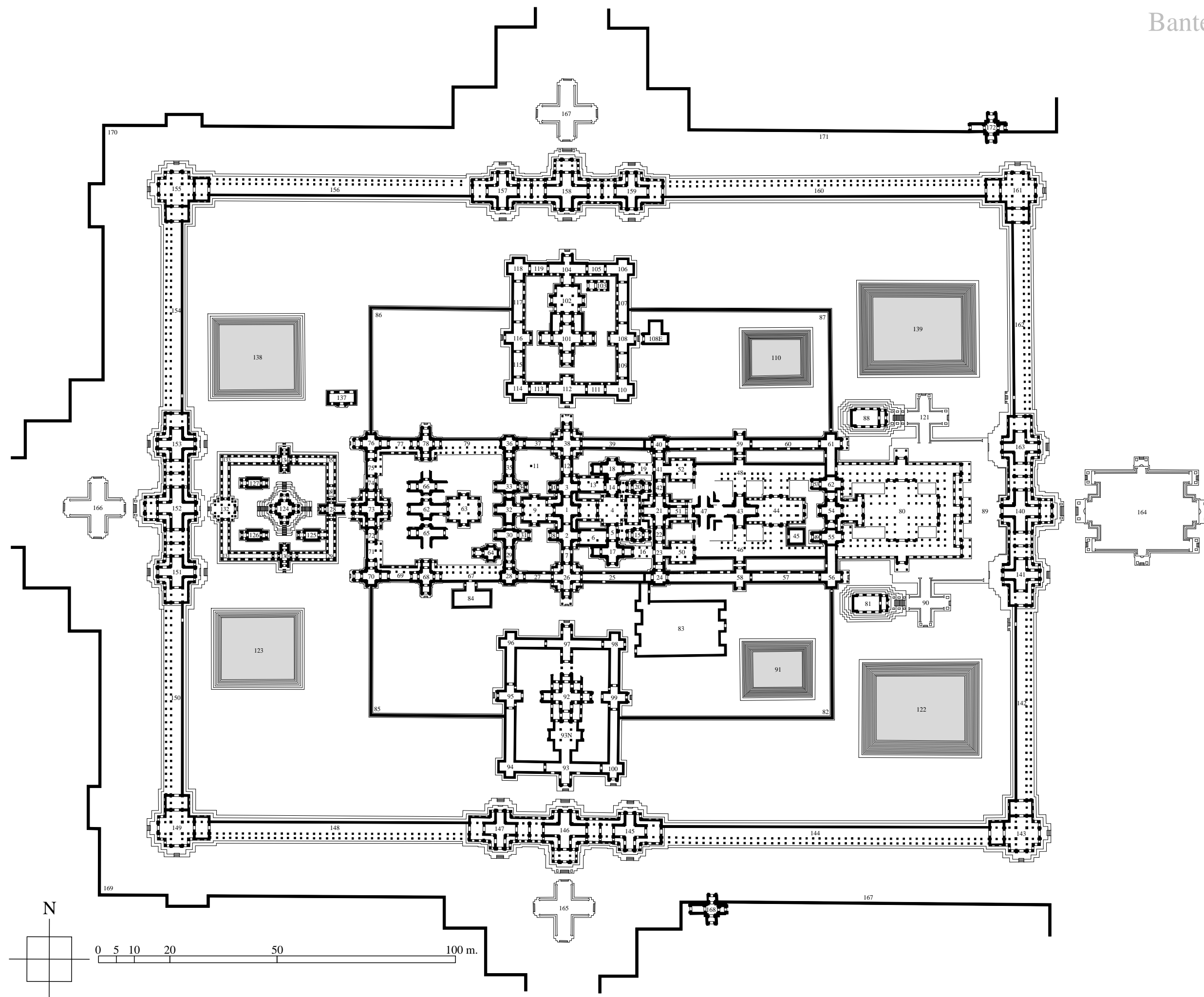


Fig. I-2-3-11.3 : Plan du complexe culturel de Banteay Chmar
— Troisième enceinte —

Vat Nokor

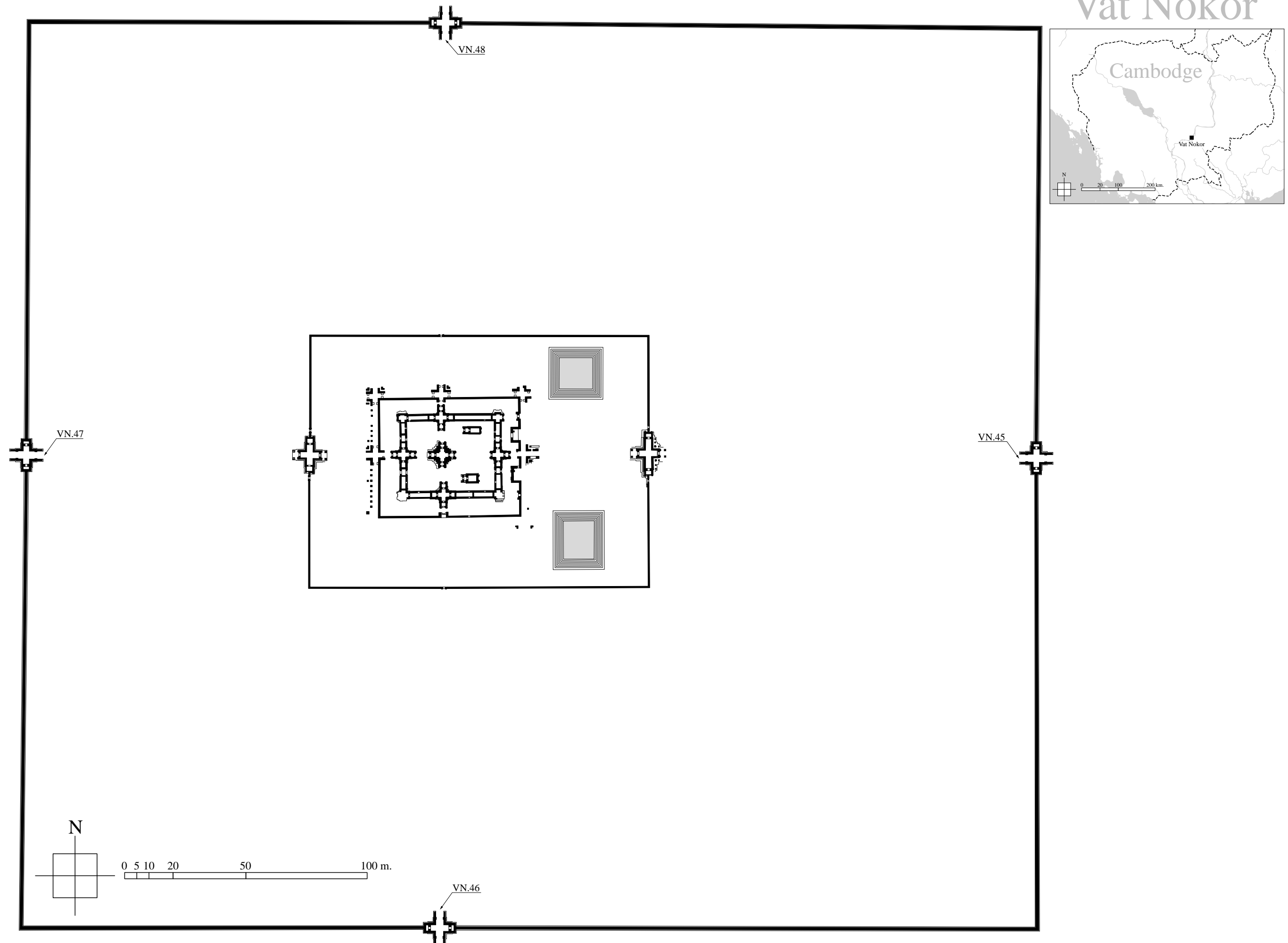


Fig. I-2-3-12.1 : Plan du domaine de Vat Nokor
— Quatrième enceinte —

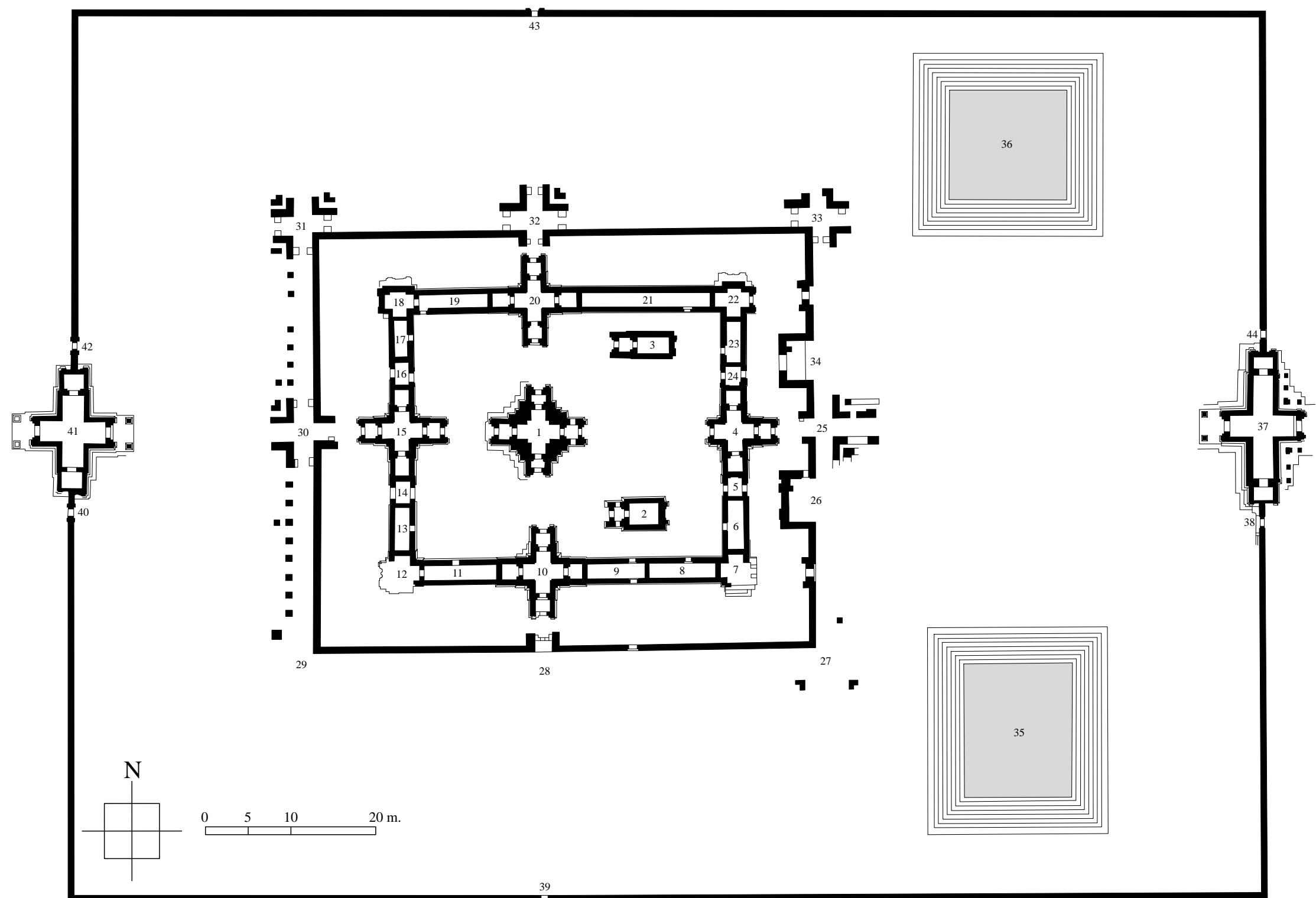
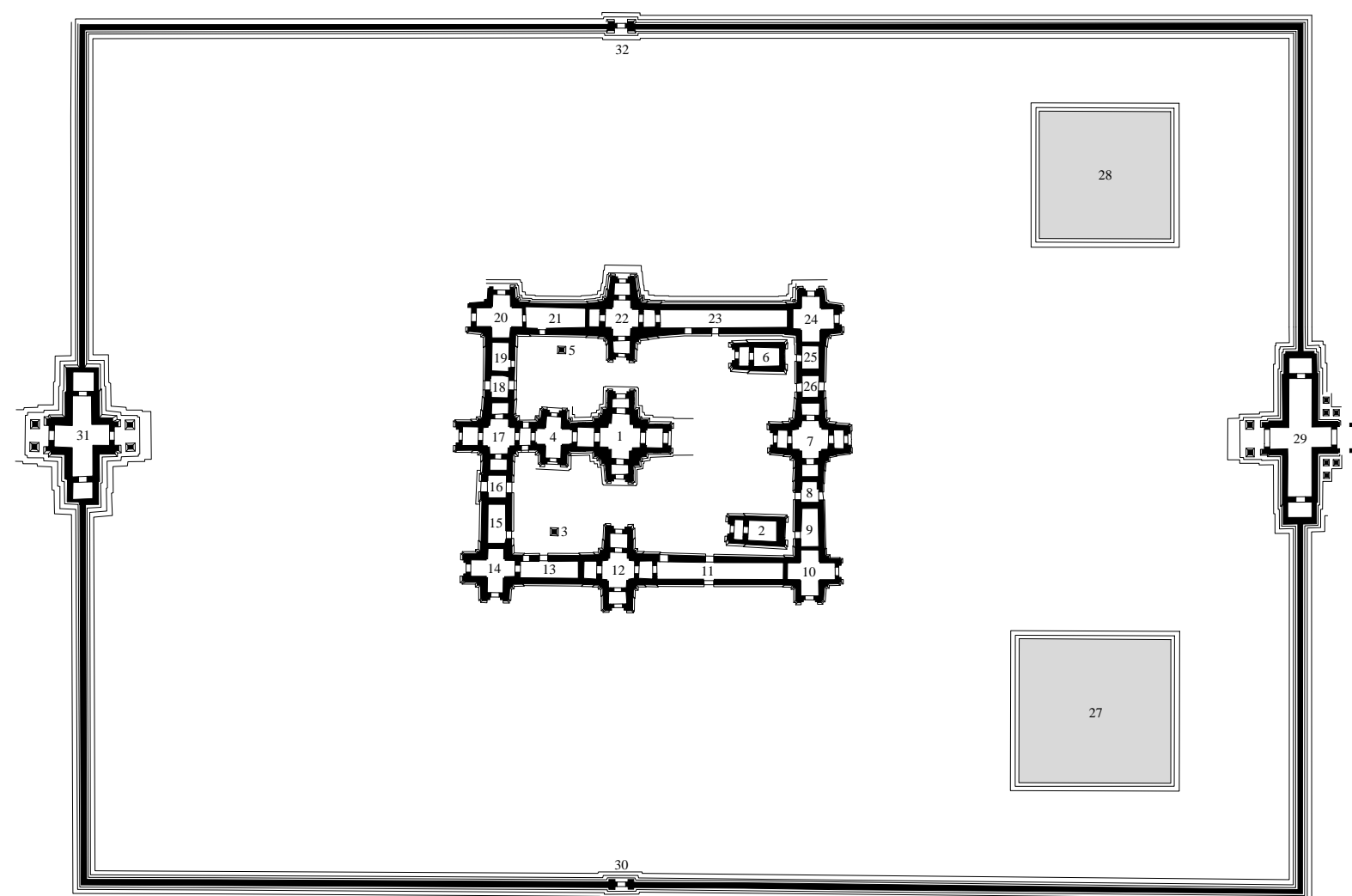
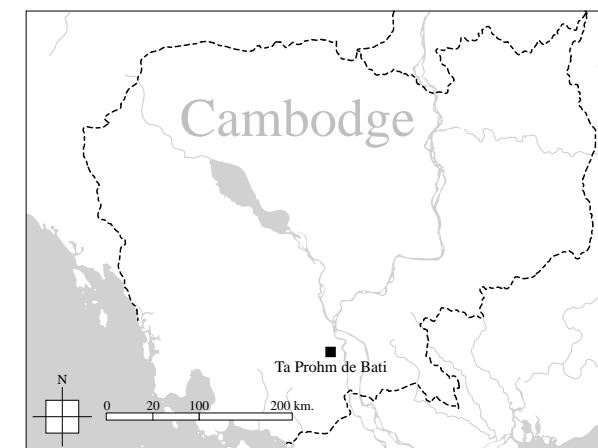


Fig. I-2-3-12.2 : Plan du complexe cultuel de Vat Nokor
— Troisième enceinte —

Ta Prohm de Bati



TPB.32
(Gîte d'étape de Ta Prohm de Bati)
Localisation approximative

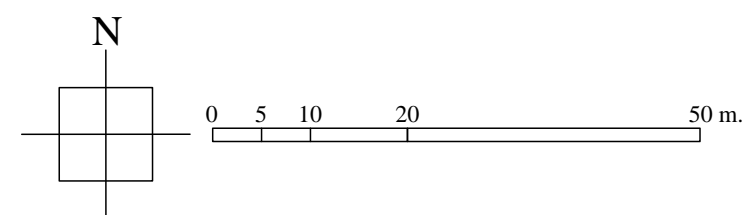


Fig. I-2-3-13 : Plan d'ensemble de Ta Prohm de Bati

Vat Banon

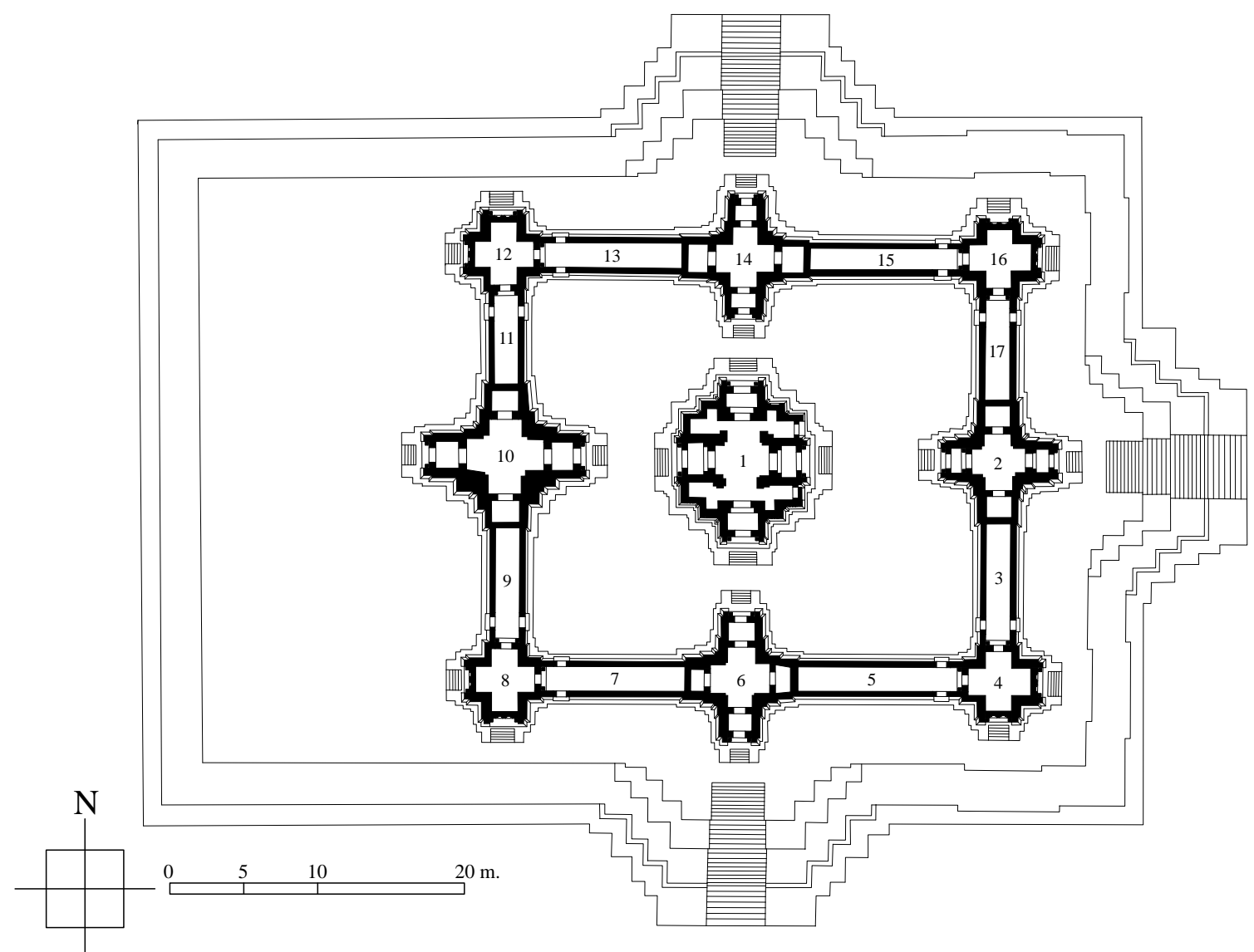
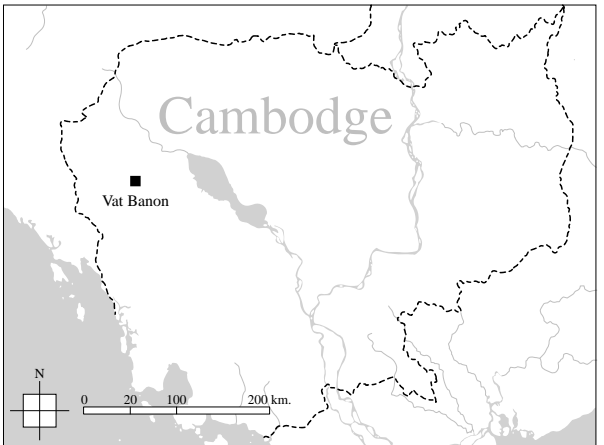


Fig. I-2-3-14 : Plan d'ensemble de Vat Banon

Preah Khan de Kompong Svay

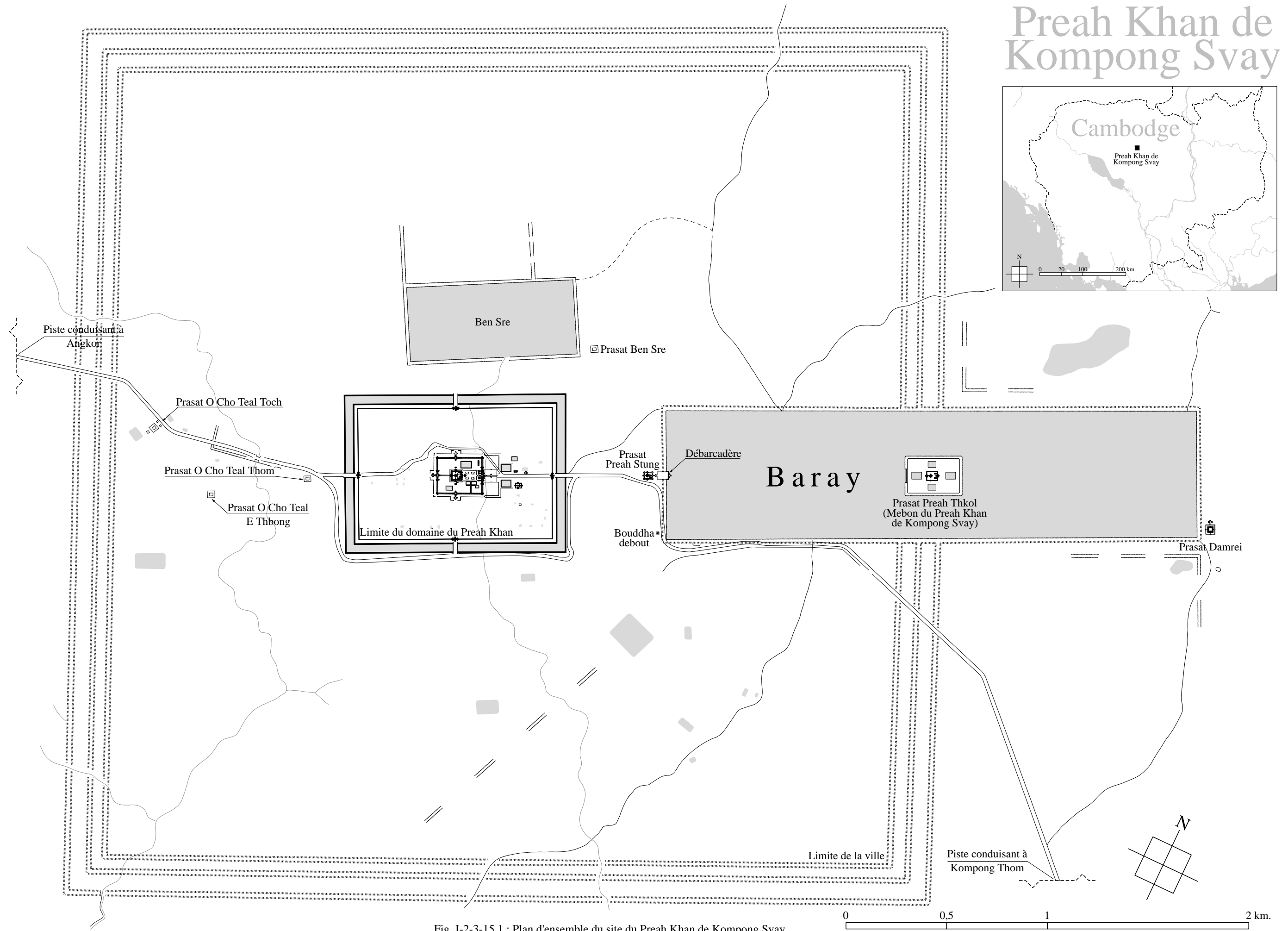


Fig. I-2-3-15.1 : Plan d'ensemble du site du Preah Khan de Kompong Svay

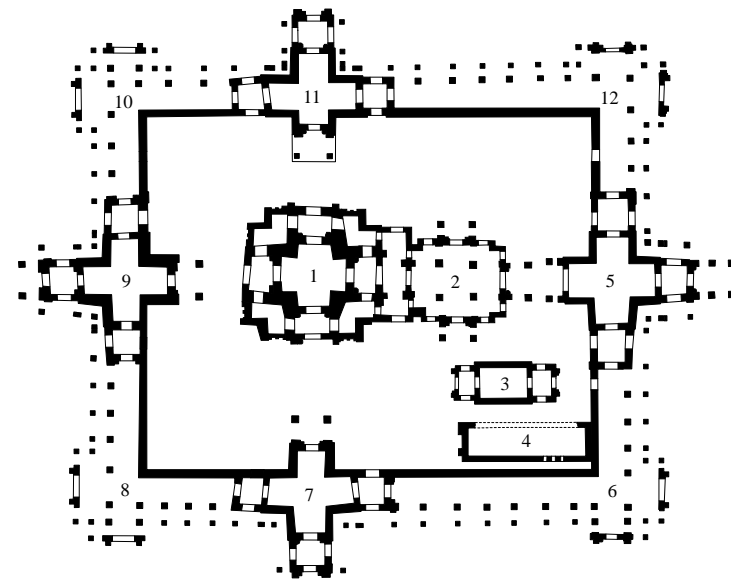
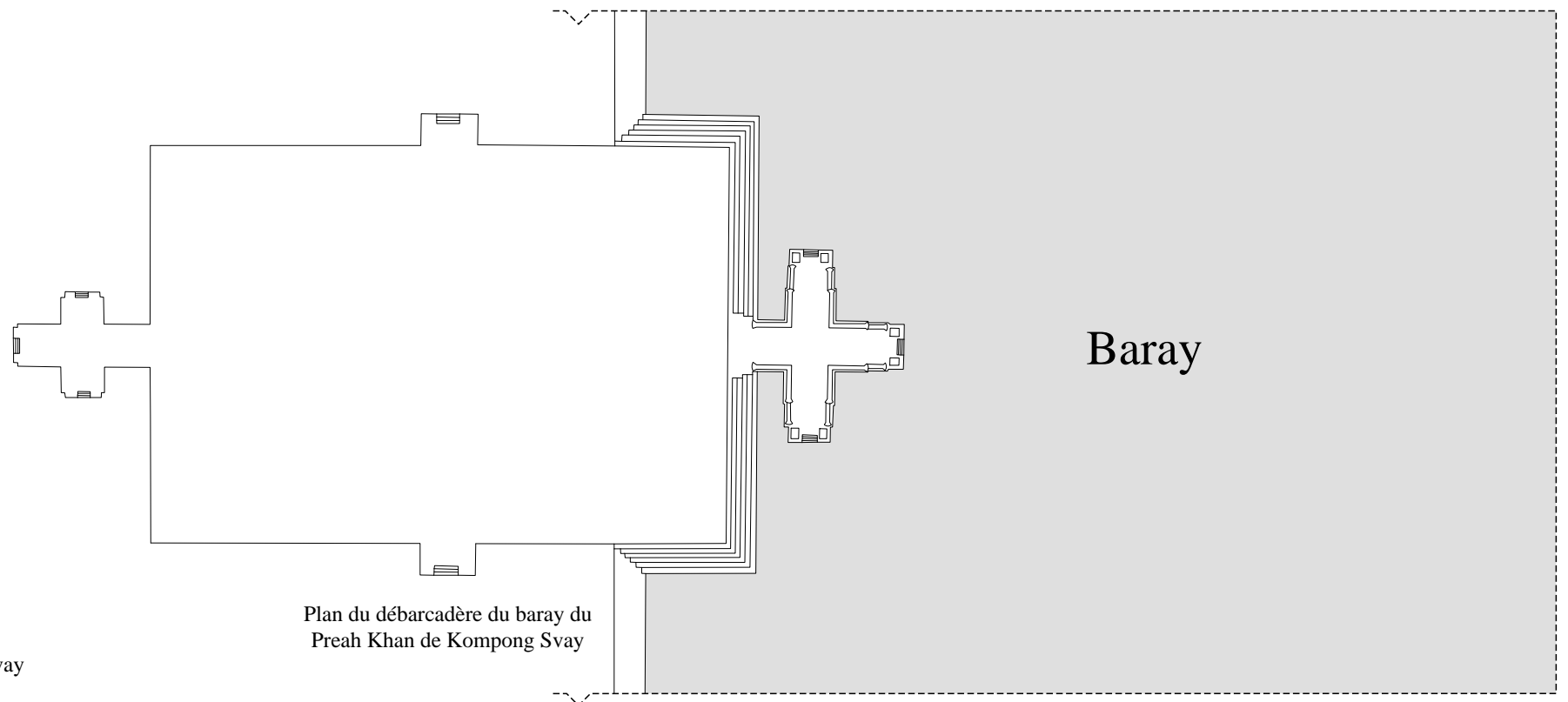


Fig. I-2-3-15.2 : Plan du Prasat Preah Stung du Preah Khan de Kompong Svay



Plan du débarcadère du baray du Preah Khan de Kompong Svay

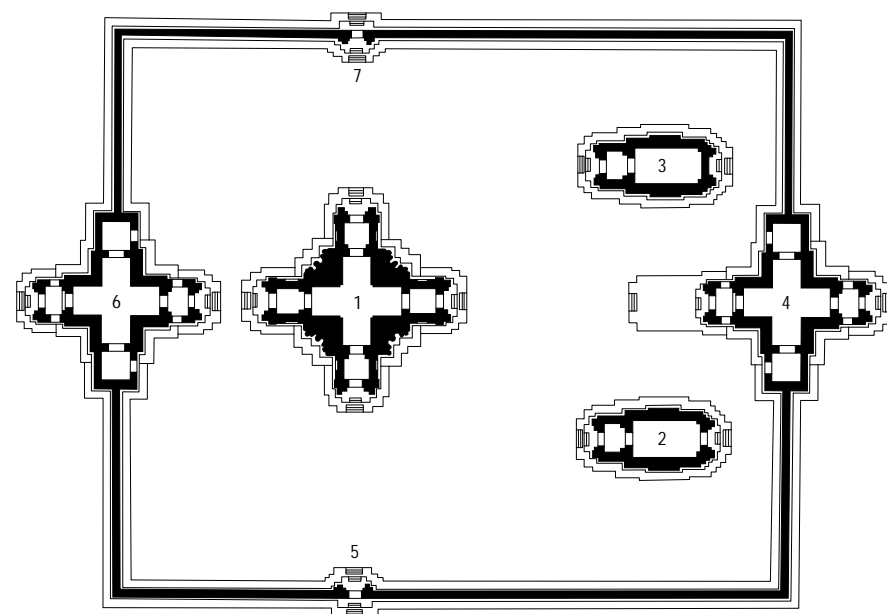
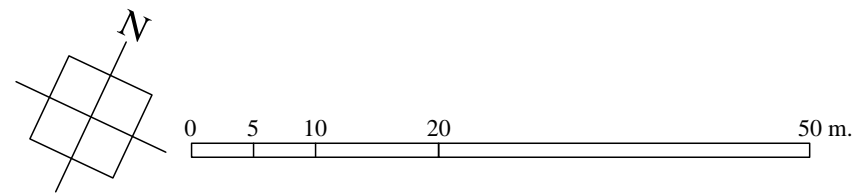


Fig. I-2-3-15.3 : Plan du Prasat Preah Thkol (Mebon du Preah Khan de Kompong Svay)

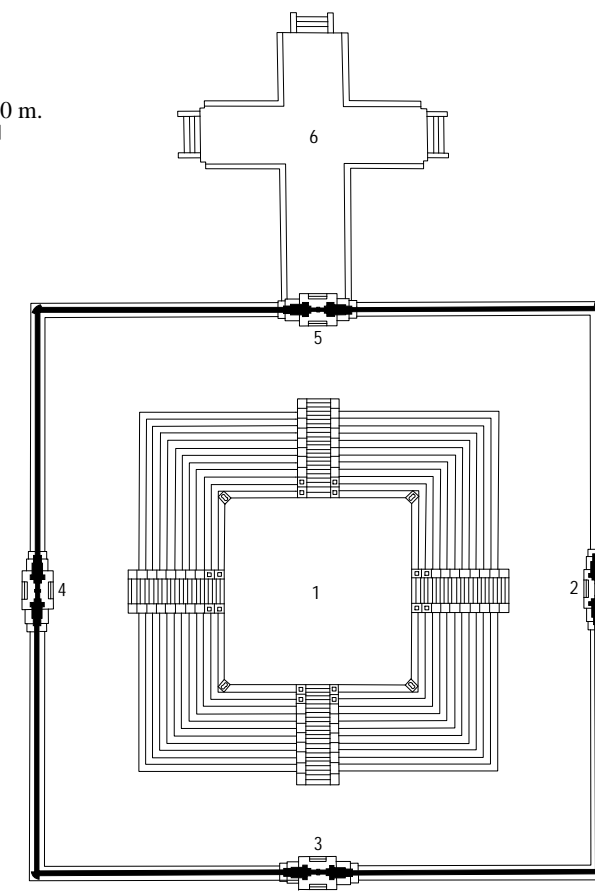


Fig. I-2-3-15.4 : Plan du Prasat Damrei du Preah Khan de Kompong Svay

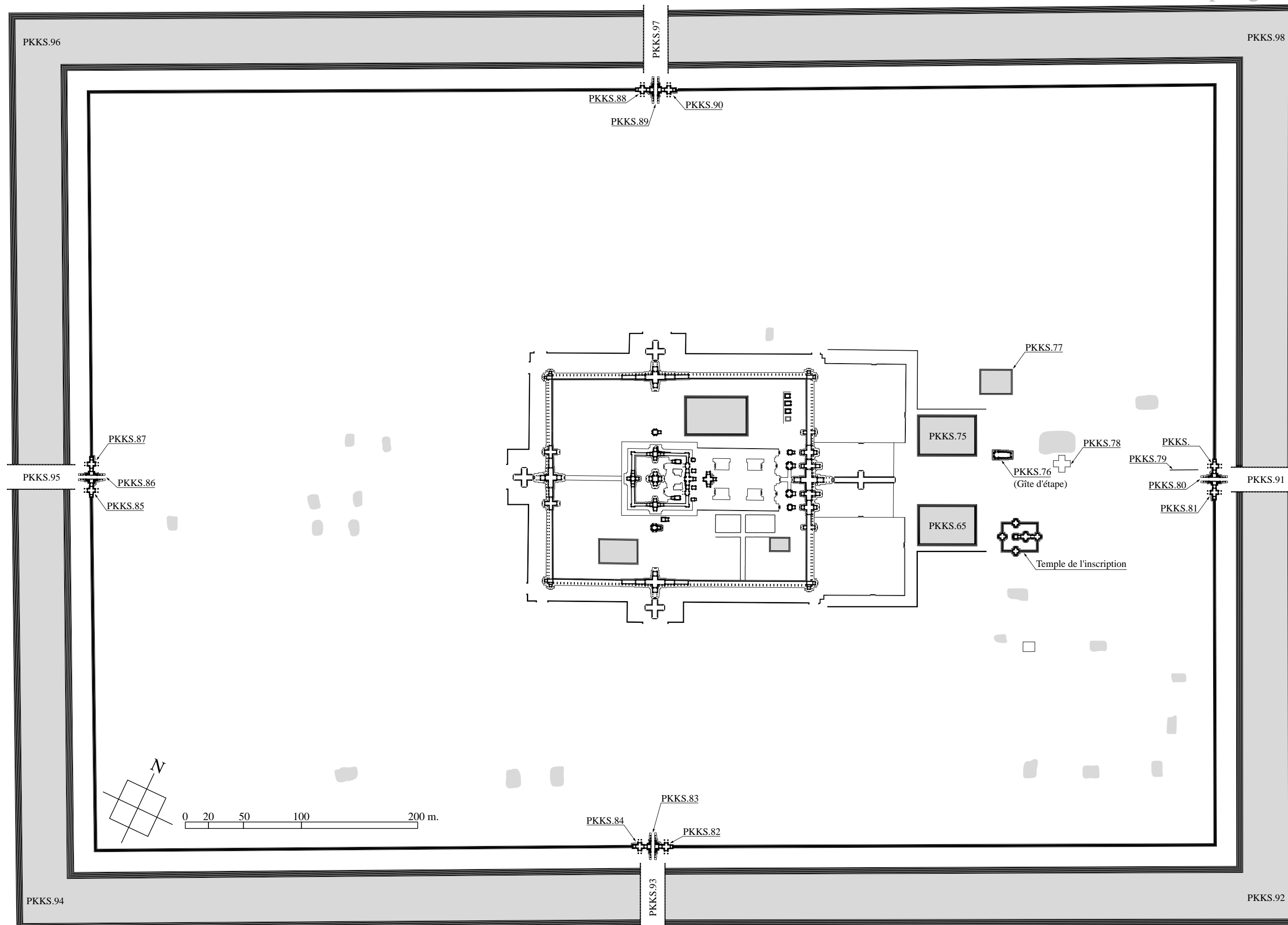


Fig. I-2-3-15.5 : Plan du domaine du Preah Khan de Kompong Svay — Troisième enceinte —

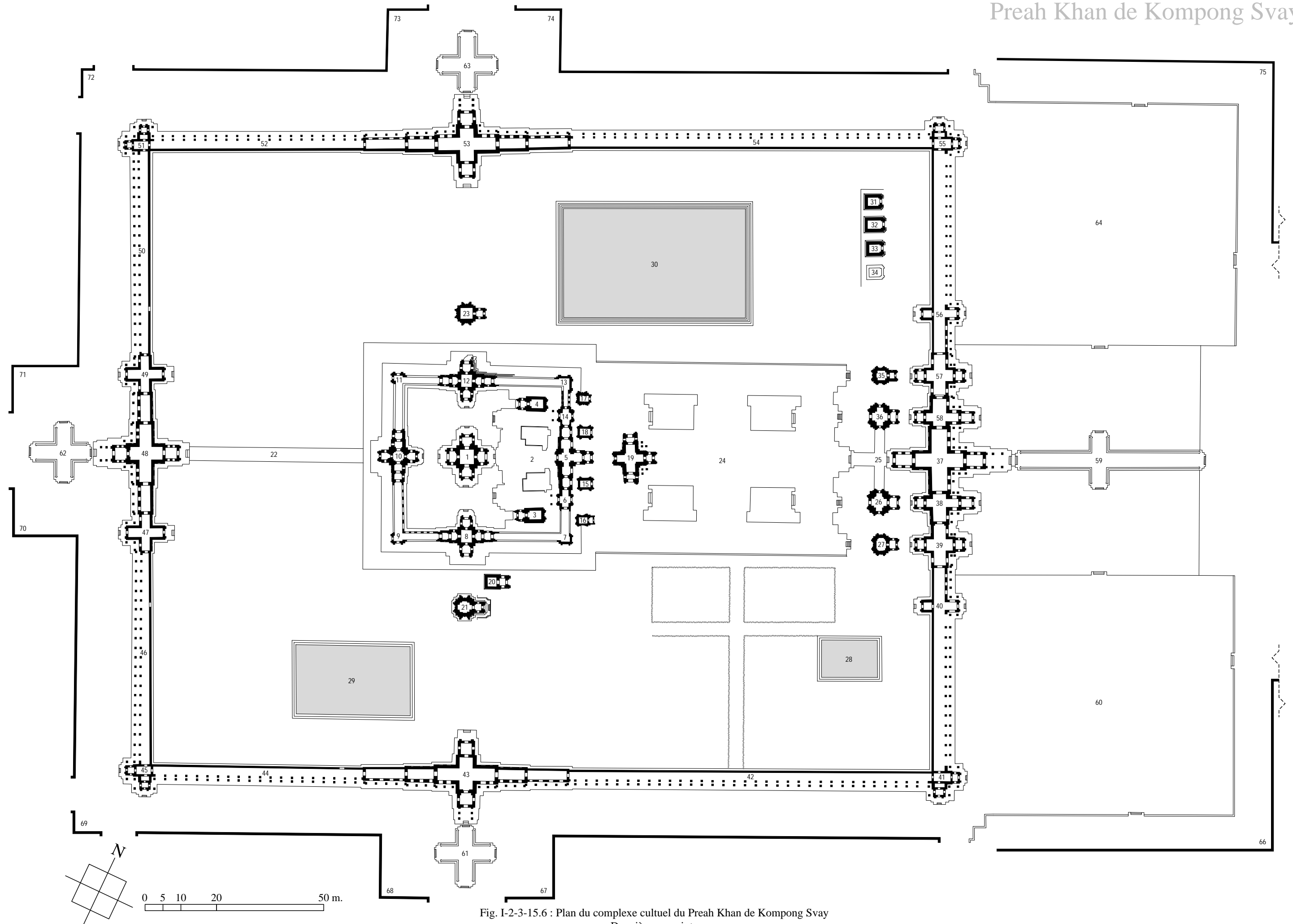


Fig. I-2-3-15.6 : Plan du complexe culturel du Preah Khan de Kompong Svay
— Deuxième enceinte —

Muang Sing

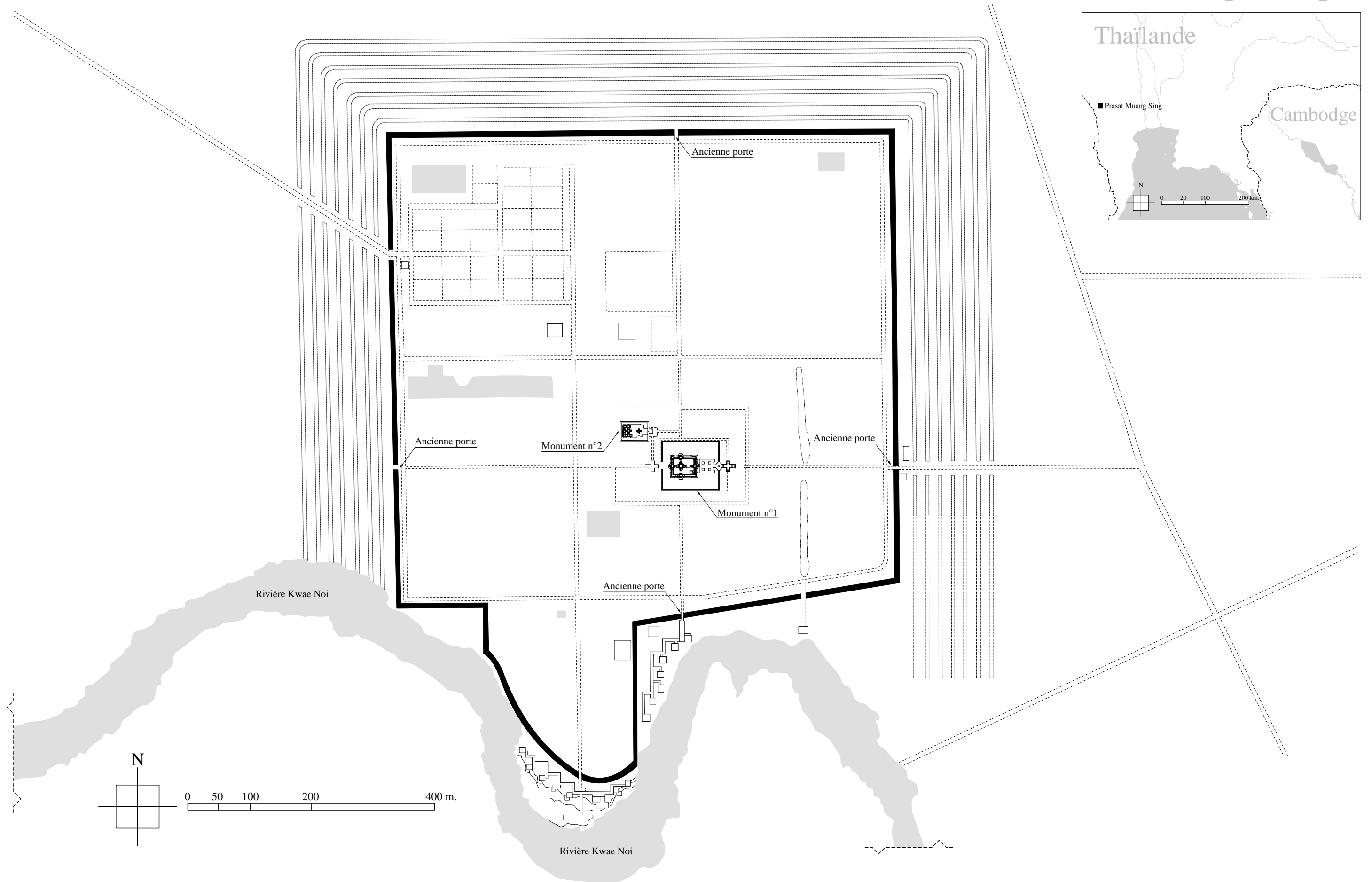


Fig. I-2-3-16.1 : Plan d'ensemble du site de Muang Sing

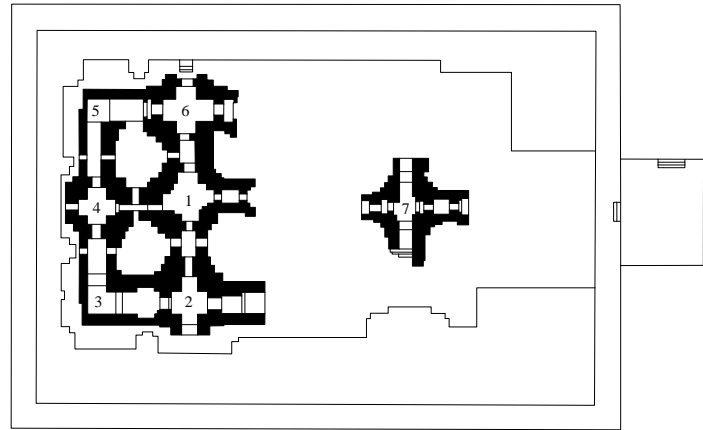


Fig. I-2-3-16.3 : Plan d'ensemble du monument n°2

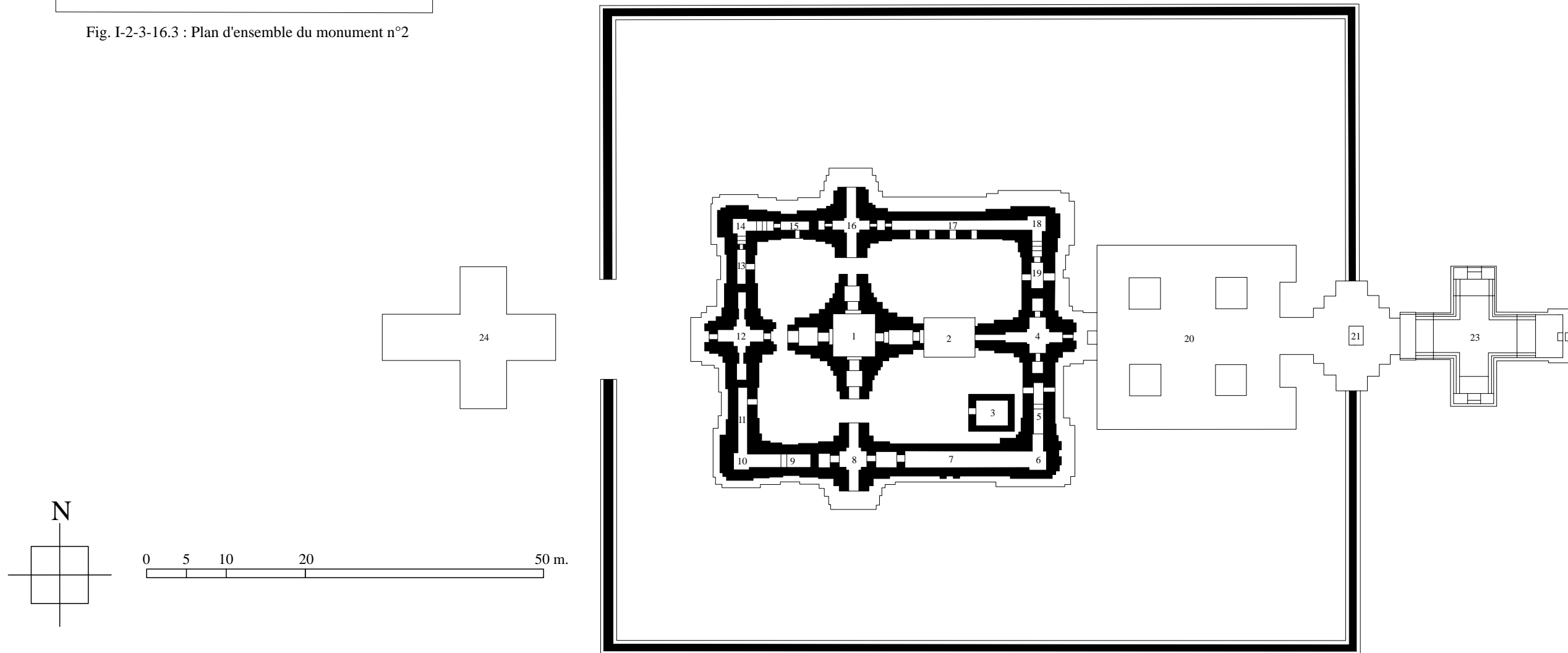


Fig. I-2-3-16.2 : Plan d'ensemble du Prasat Muang Sing (Monument n°1)

Wat Kamphaeng Laeng & Prang Sam Yod

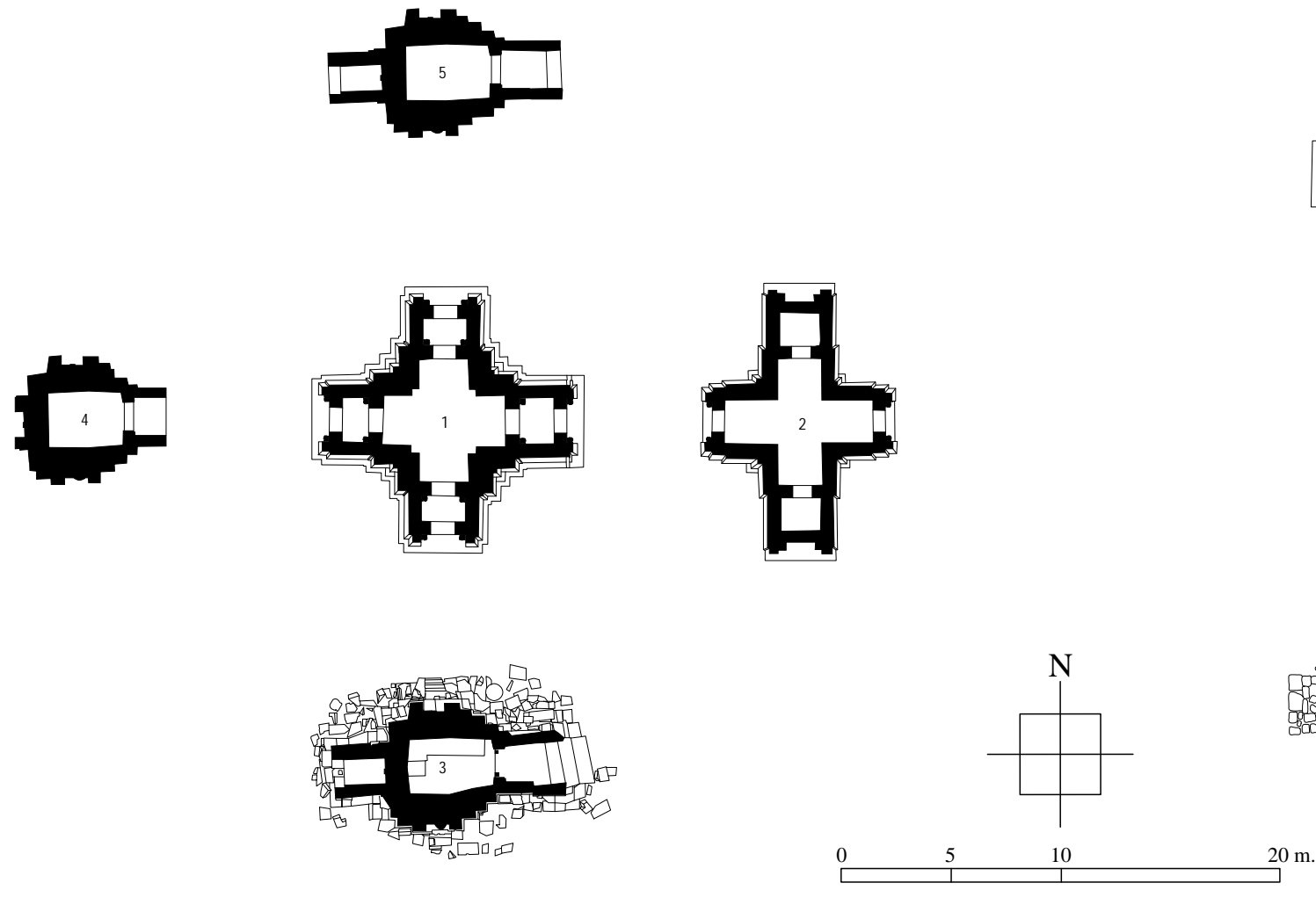
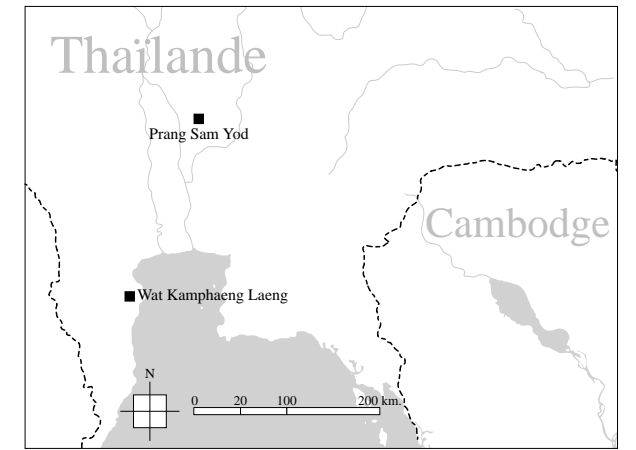


Fig. I-2-3-17 : Plan d'ensemble de Wat Kamphaeng Laeng

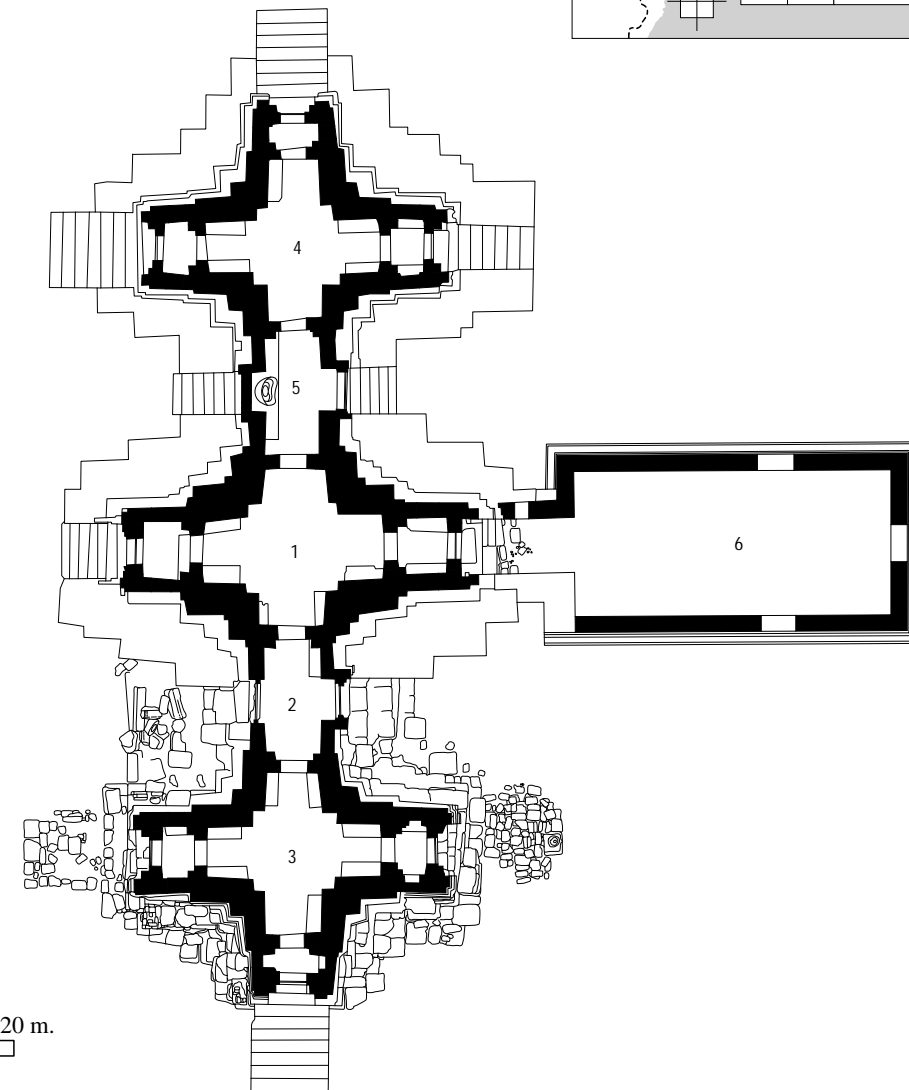


Fig. I-2-3-18 : Plan d'ensemble du Prang Sam Yod

Vimaya / Phimai

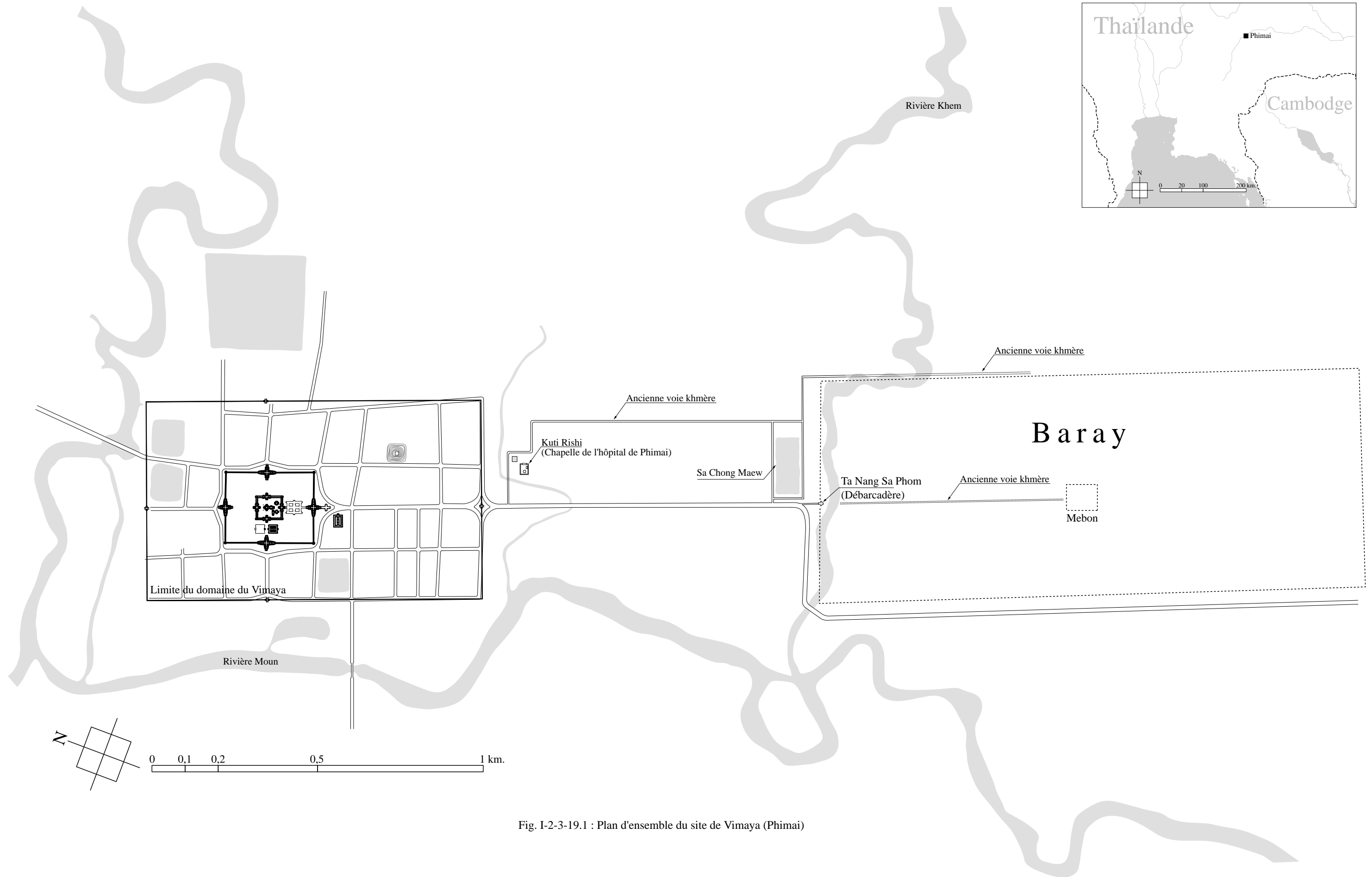


Fig. I-2-3-19.1 : Plan d'ensemble du site de Vimaya (Phimai)

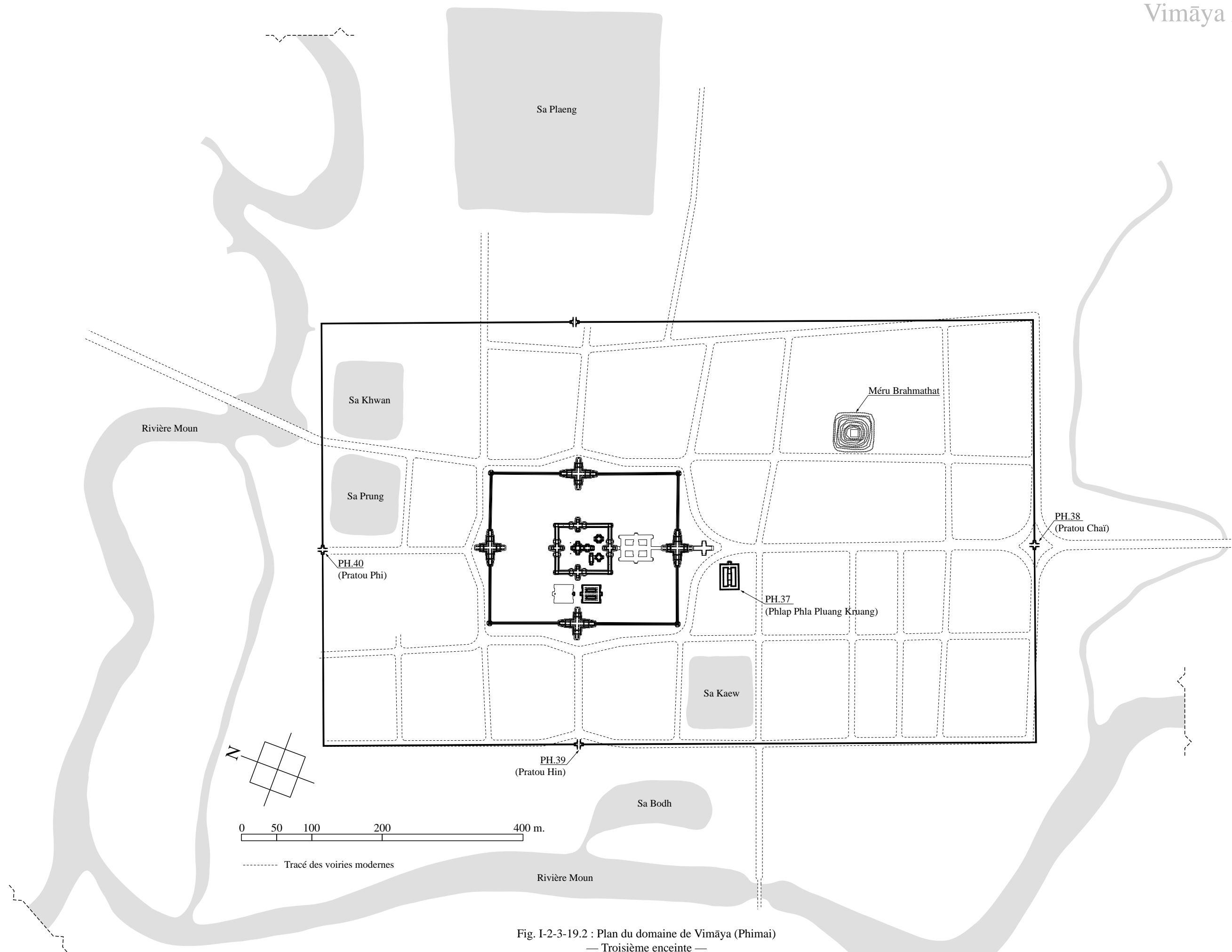


Fig. I-2-3-19.2 : Plan du domaine de Vimāya (Phimai)
— Troisième enceinte —

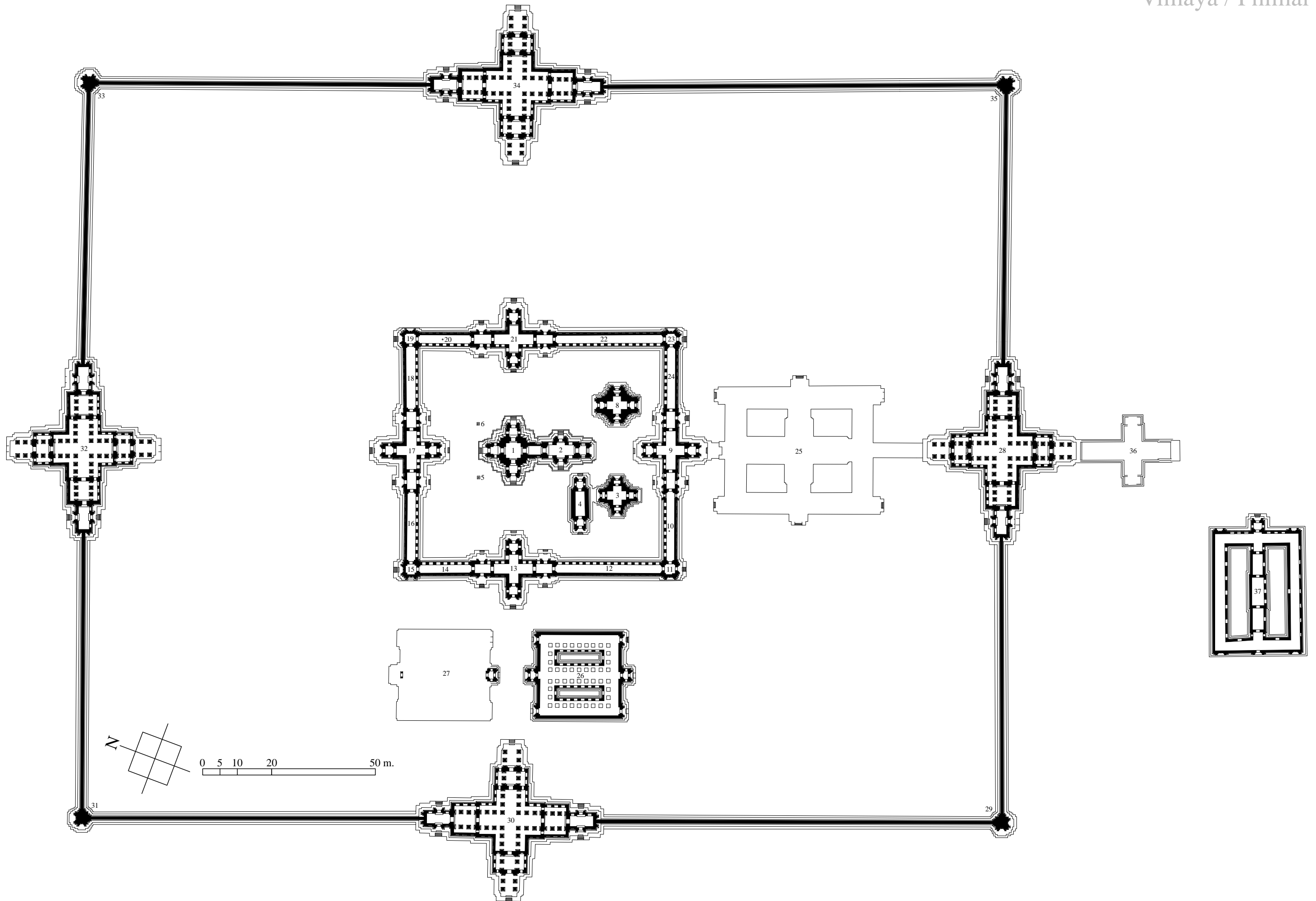


Fig. I-2-3-19.3 : Plan du complexe culturel de Vimāya (Phimai)
— Deuxième enceinte —

ANALYSES STRUCTURELLES DES MONUMENTS DU STYLE DU BAYON

Ta Prohm.....	p. 60 à p. 68
Preah Khan d'Angkor.....	p. 69 à p. 76
Banteay Kdei.....	p. 77 à p.79
Neak Pean & Ta Nei.....	p. 80 à p. 83
Ta Som, Banteay Prei, Banteay Thom, Prasat Prei, Prasat Prei Prasat & Krol Kô.....	p. 84 à p. 88
Prasat Chrung Sud-Est et Sud-Ouest d'Angkor Thom & Porte des Morts.....	p. 89 à p. 90
Bayon.....	p. 91 à p. 99
Banteay Chmar.....	p. 100 à p. 106
Vat Nokor, Ta Prohm de Bati & Vat Banon.....	p. 109 à p. 111
Wat Kamphaeng Laeng & Phra Prang Sam Yod.....	p. 112 à p. 114

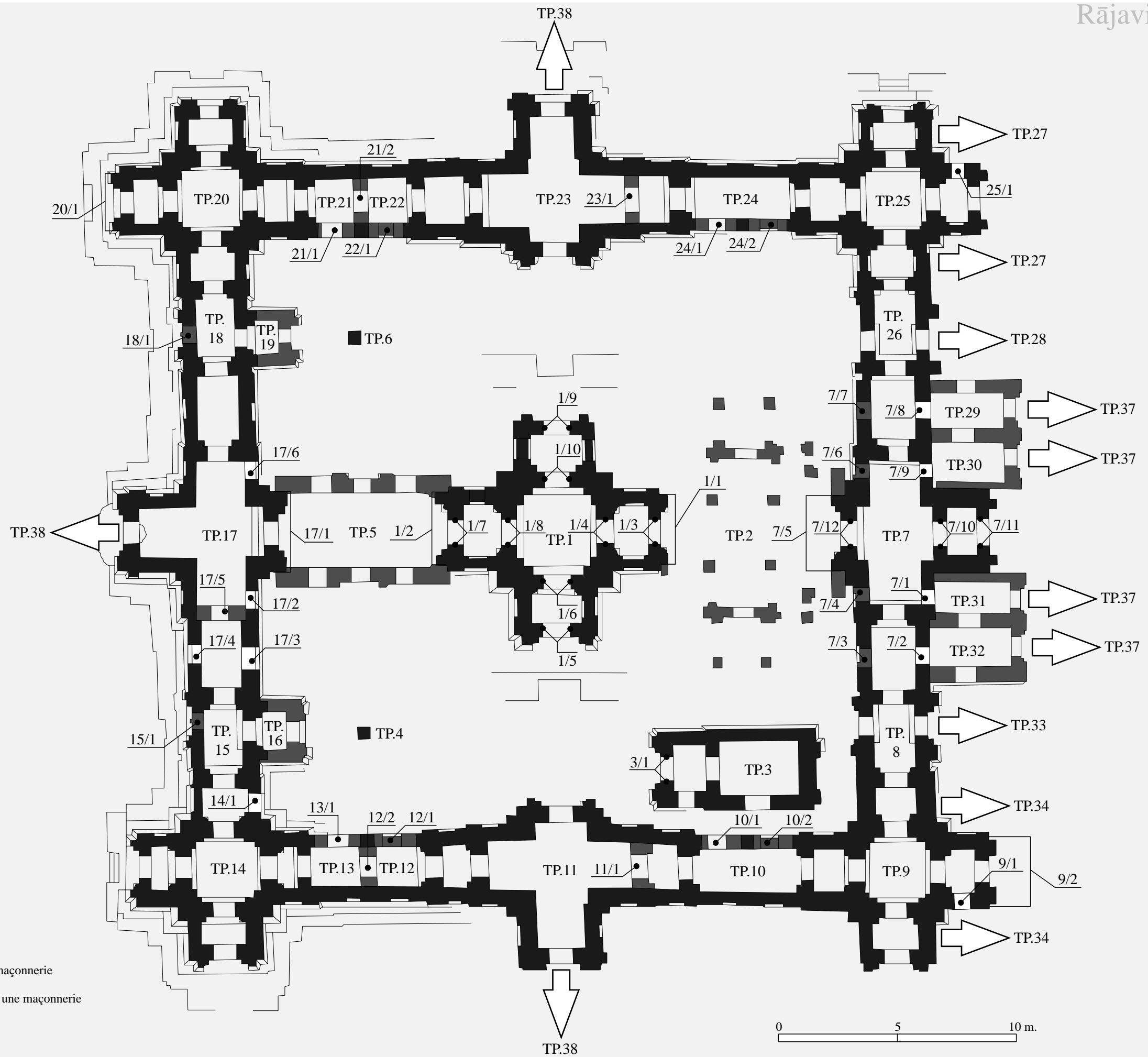


Fig. I-3-1-2.1 : Index des unités stratigraphiques construites de la première enceinte de Ta Prohm

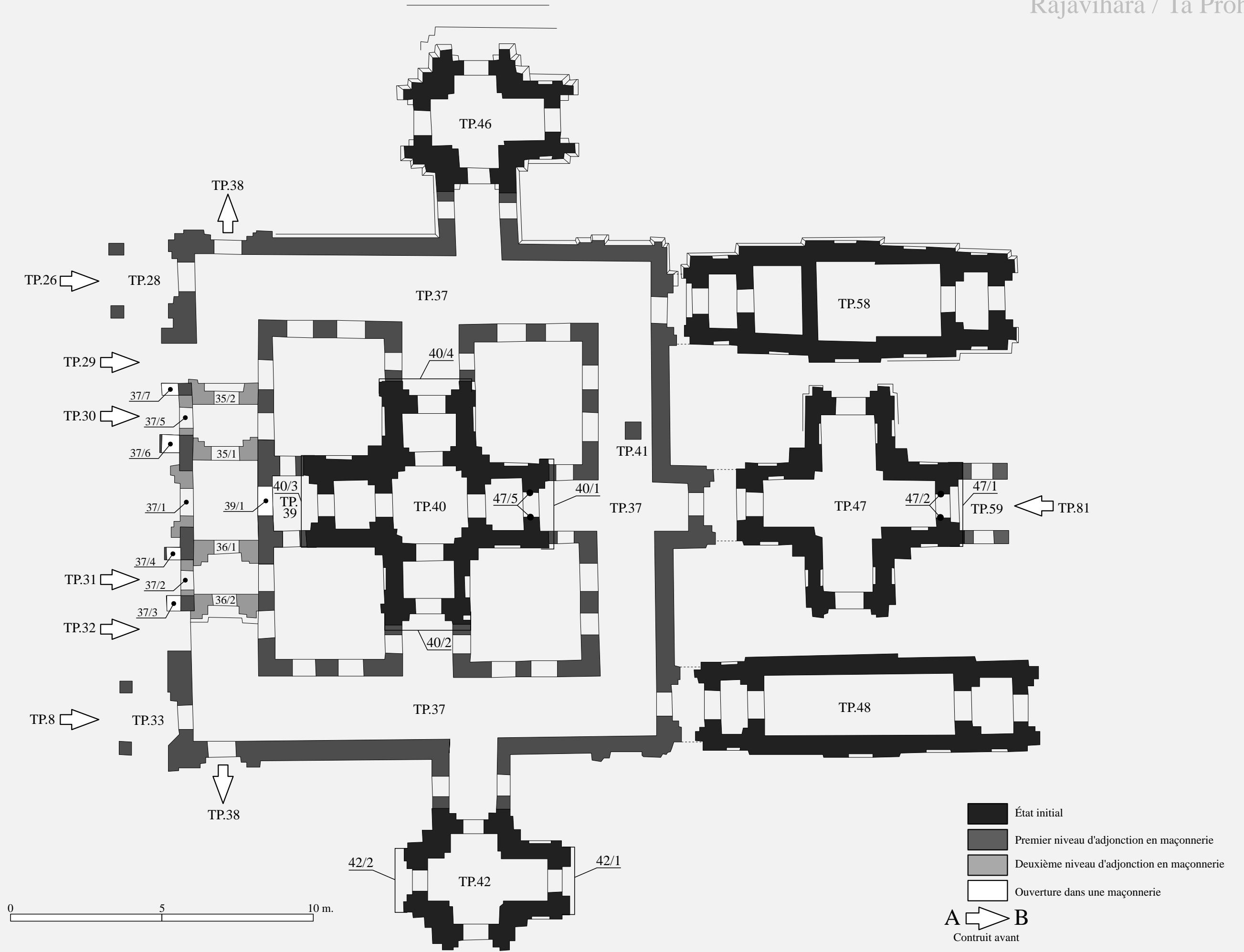


Fig. I-3-1-2.2 : Index des unités stratigraphiques construites du cloître Est (TP.37) de Ta Prohm

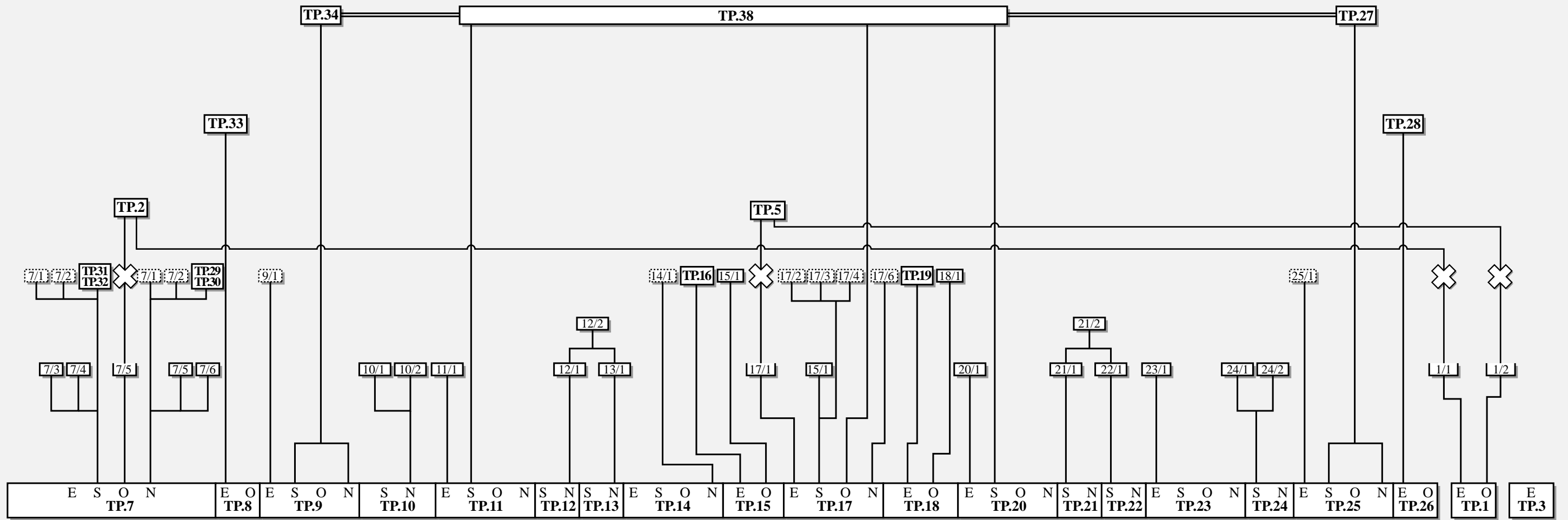
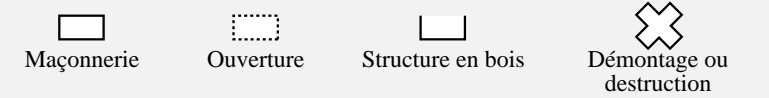


Fig. I-3-1-2.4 : Diagramme stratigraphique de la première enceinte de Ta Prohm



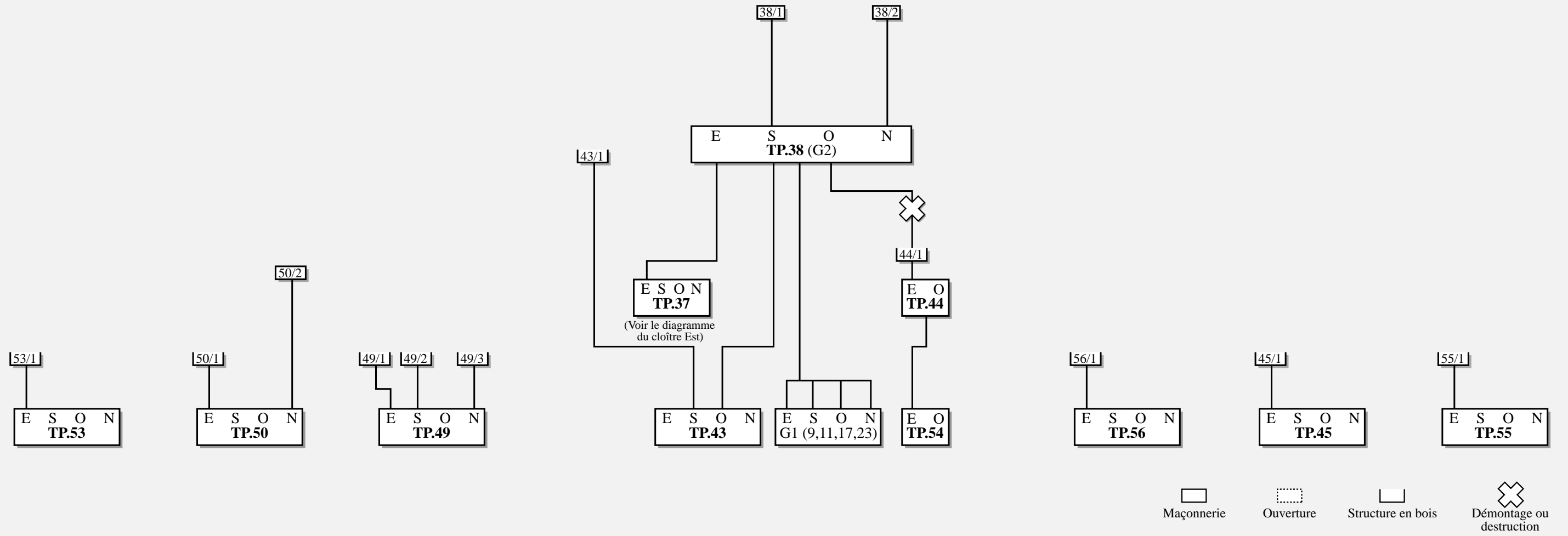


Fig. I-3-1-2.5 : Diagrammes stratigraphiques de la deuxième enceinte de Ta Prohm et des édifices **TP.45**, **TP.49**, **TP.50**, **TP.53**, **TP.55**, **TP.56**

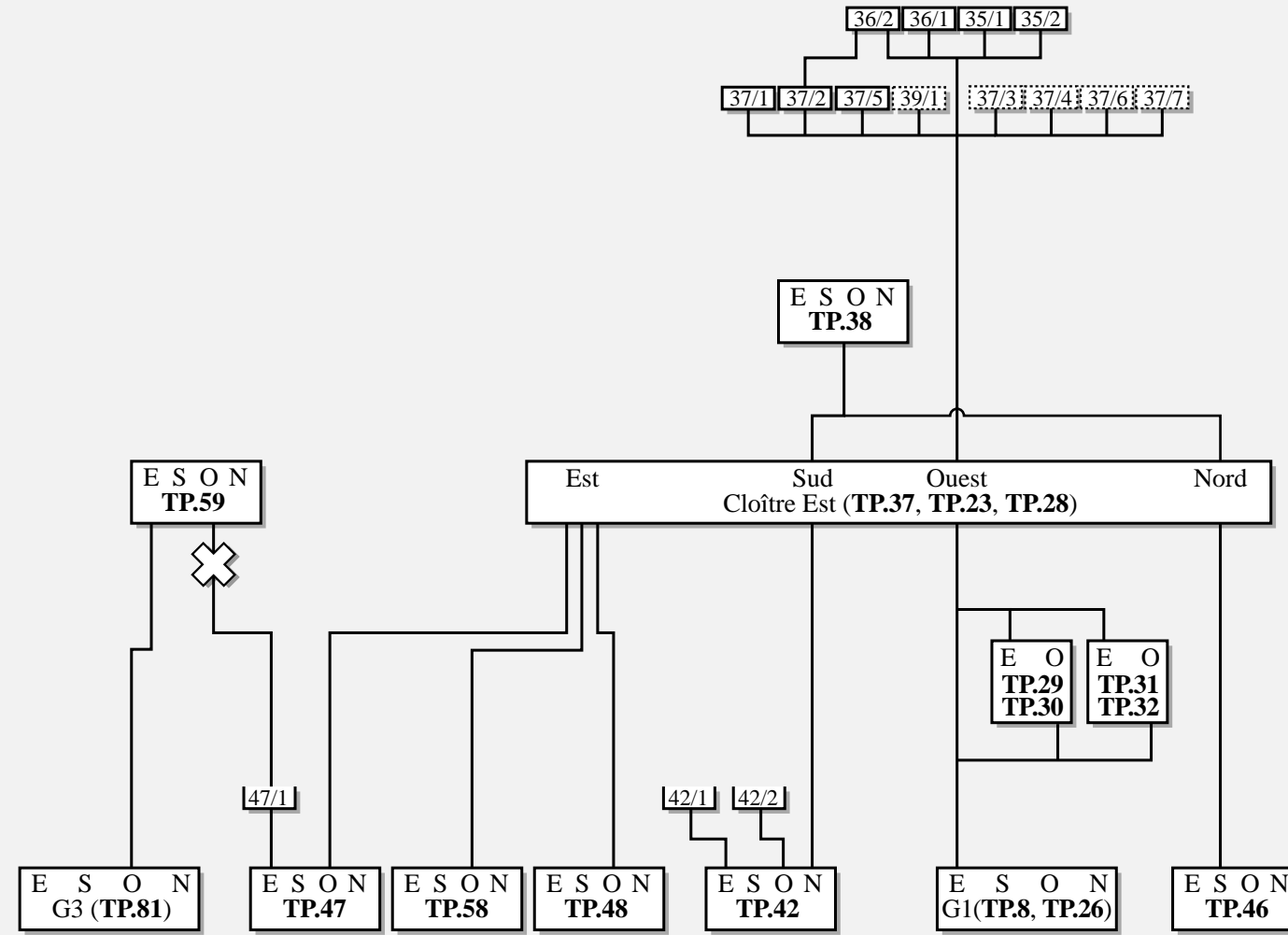
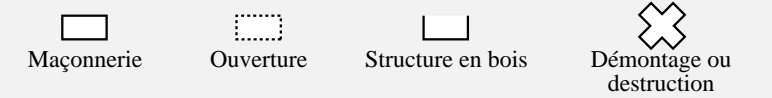


Fig. I-3-1-2.6 : Diagramme stratigraphique du cloître oriental de Ta Prohm



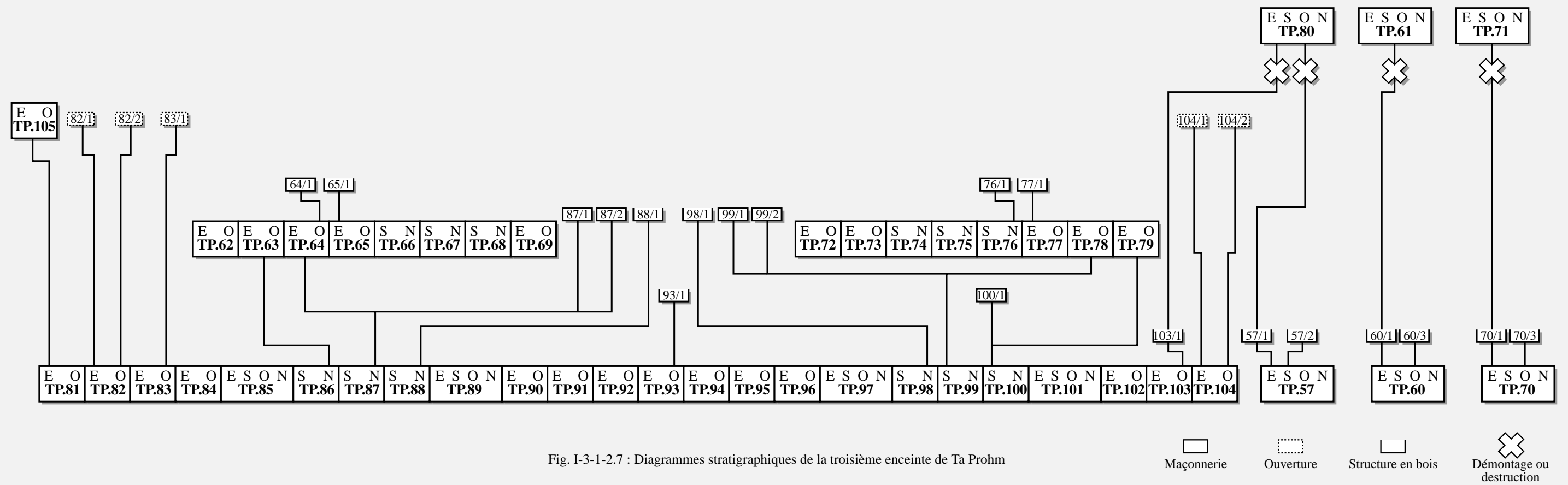
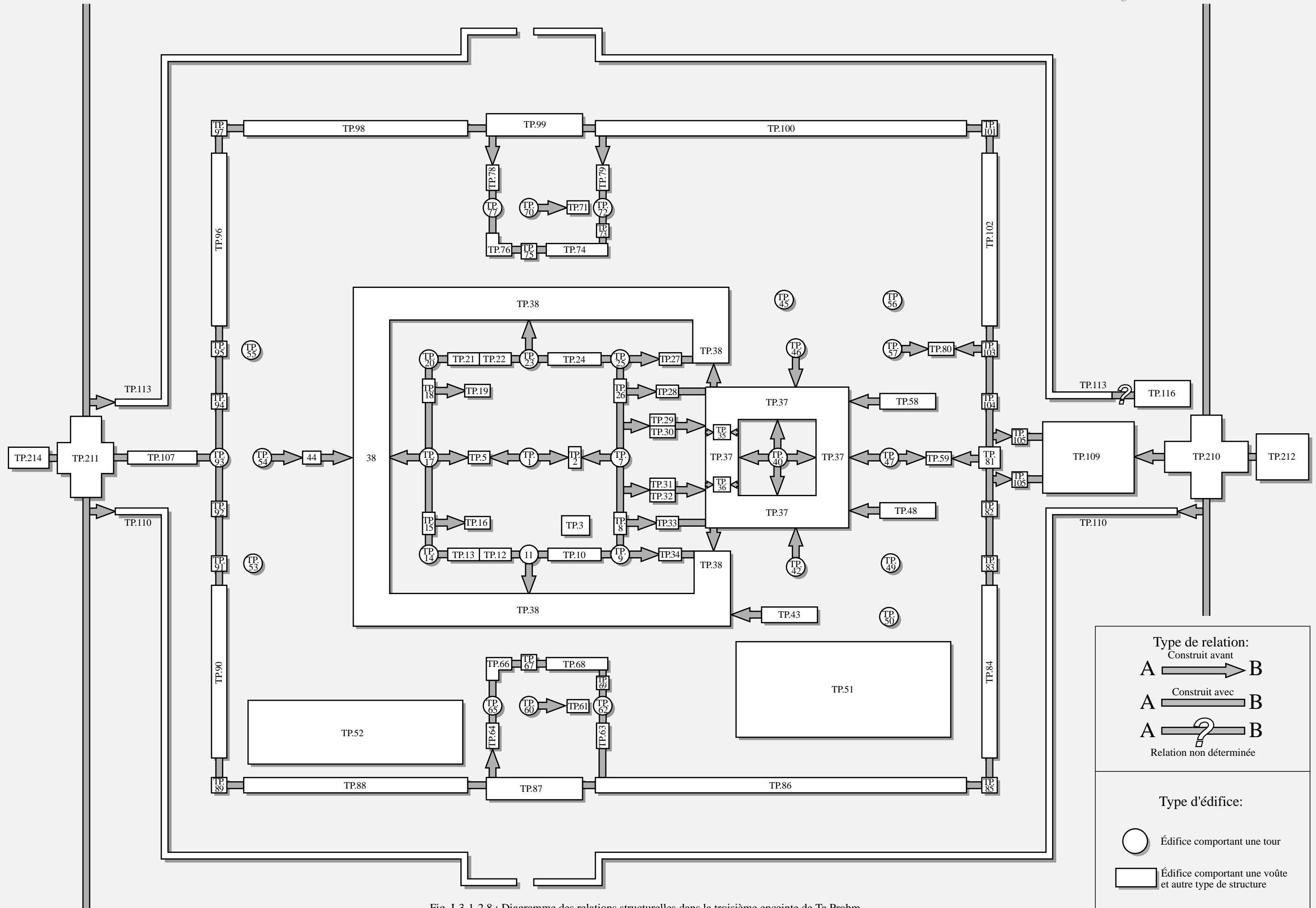


Fig. I-3-1-2.7 : Diagrammes stratigraphiques de la troisième enceinte de Ta Prohm



Type de relation:

Construit avant
 A → B

Construit avec
 A - - B

Relation non déterminée
 A ? B

Type d'édifice:

○ Édifice comportant une tour

▭ Édifice comportant une voûte et autre type de structure

Fig. I-3-1-2.8 : Diagramme des relations structurelles dans la troisième enceinte de Ta Prohm

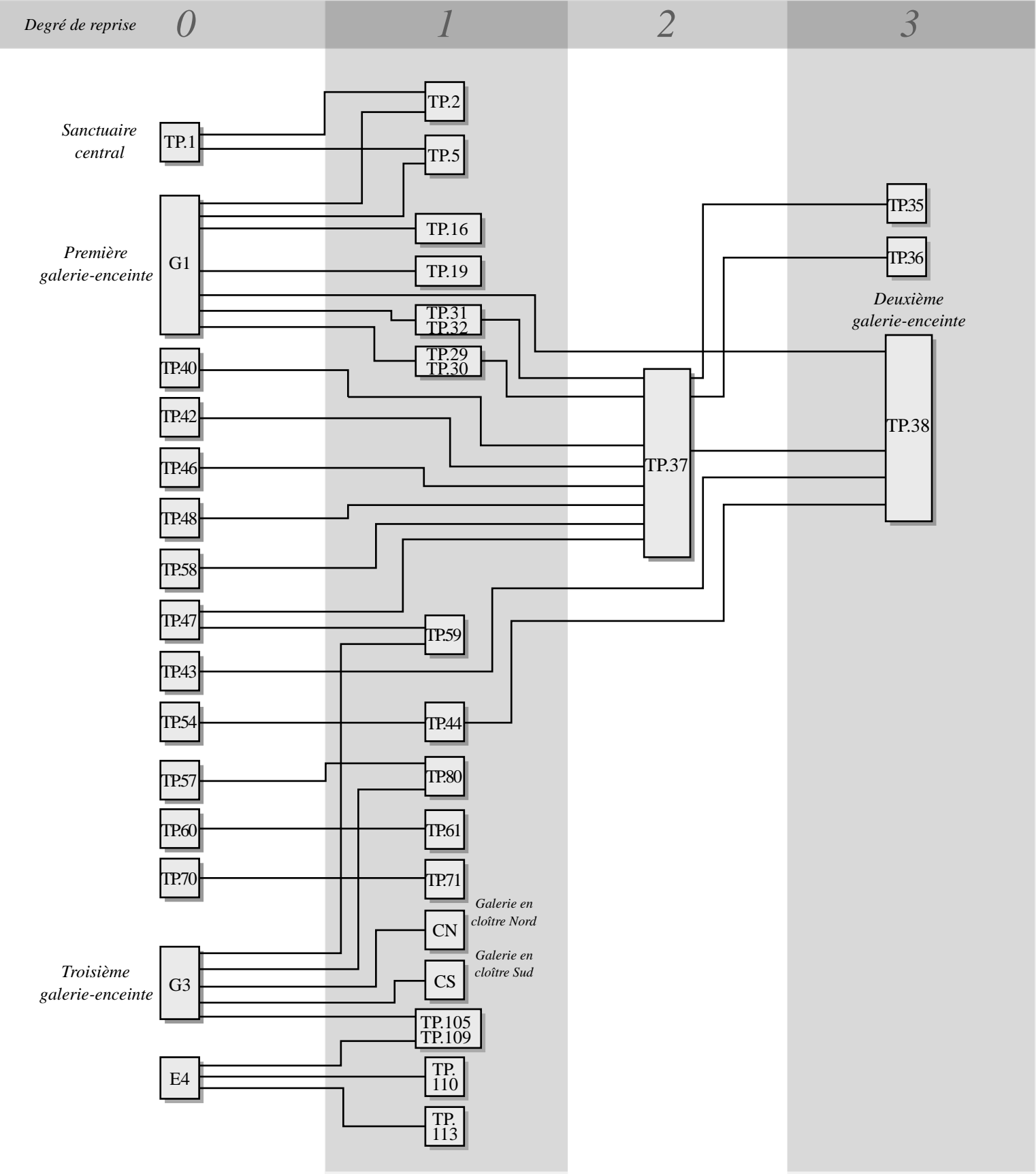


Fig. I-3-1-2.9 : Séquences des reprises de Ta Prohm

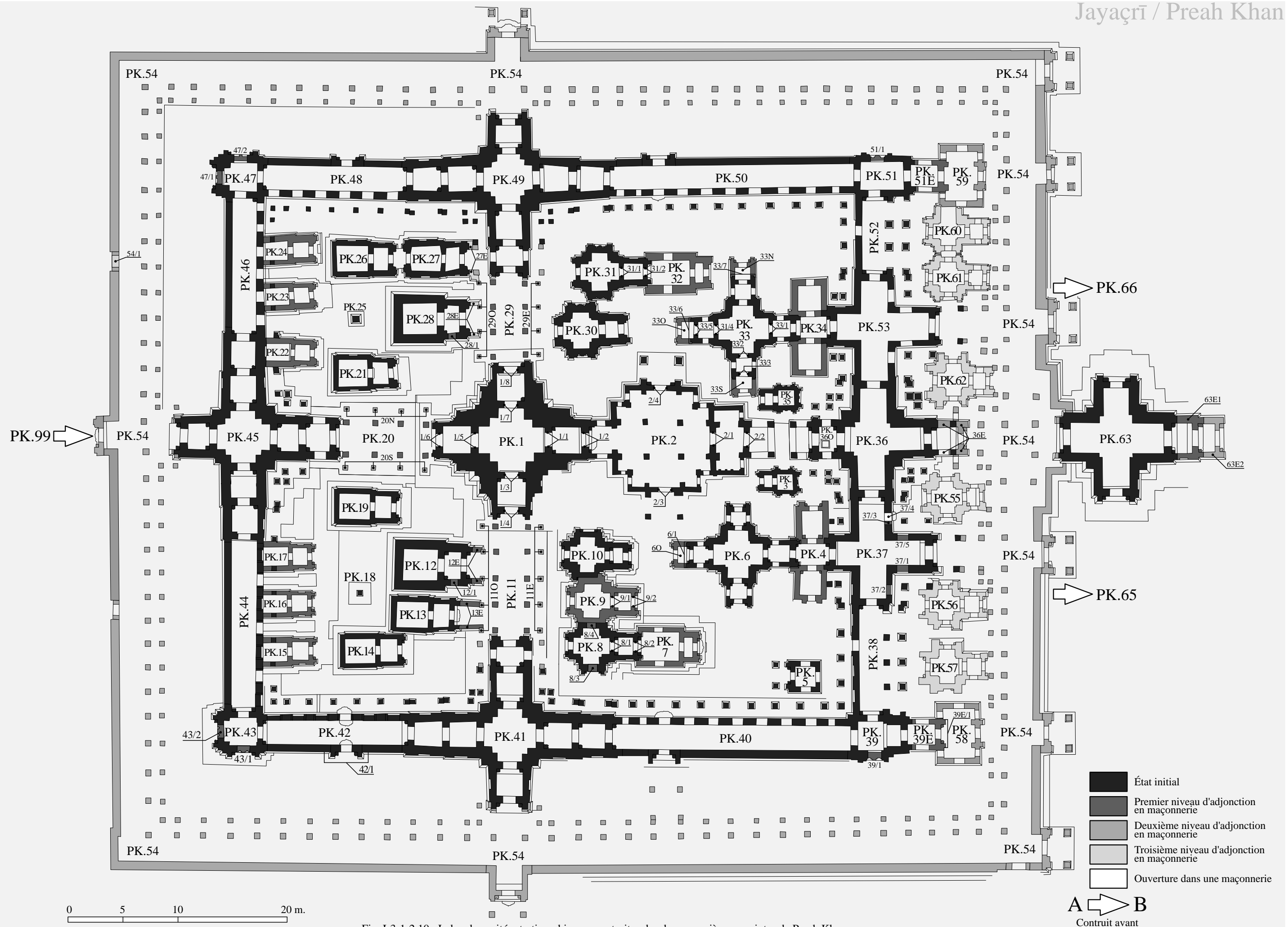


Fig. I-3-1-2.10 : Index des unités stratigraphiques construites des deux premières enceintes de Preah Khan

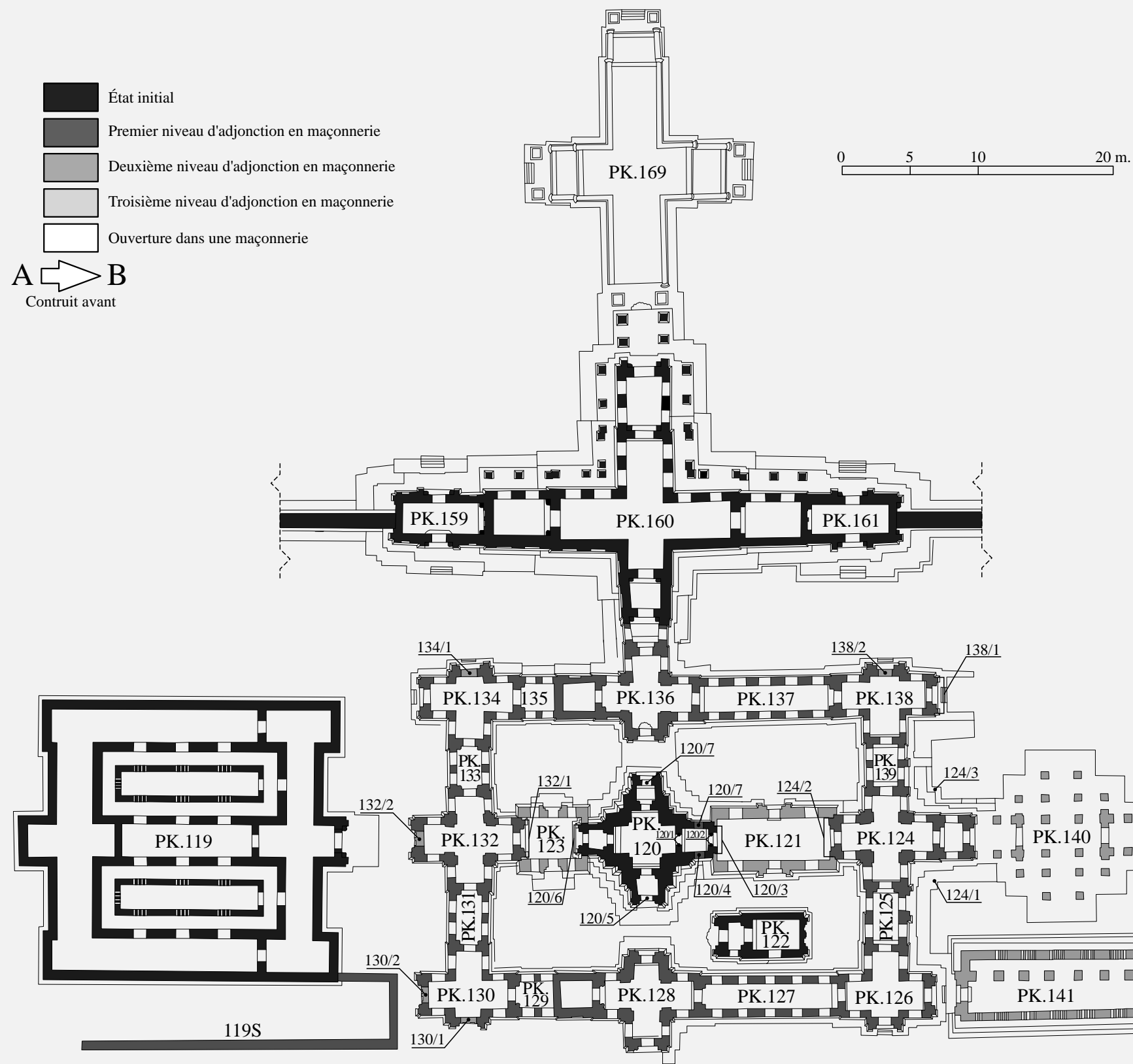


Fig. I-3-1-2.11 : Index des unités stratigraphiques construites du complexe Nord de Preah Khan (troisième enceinte)

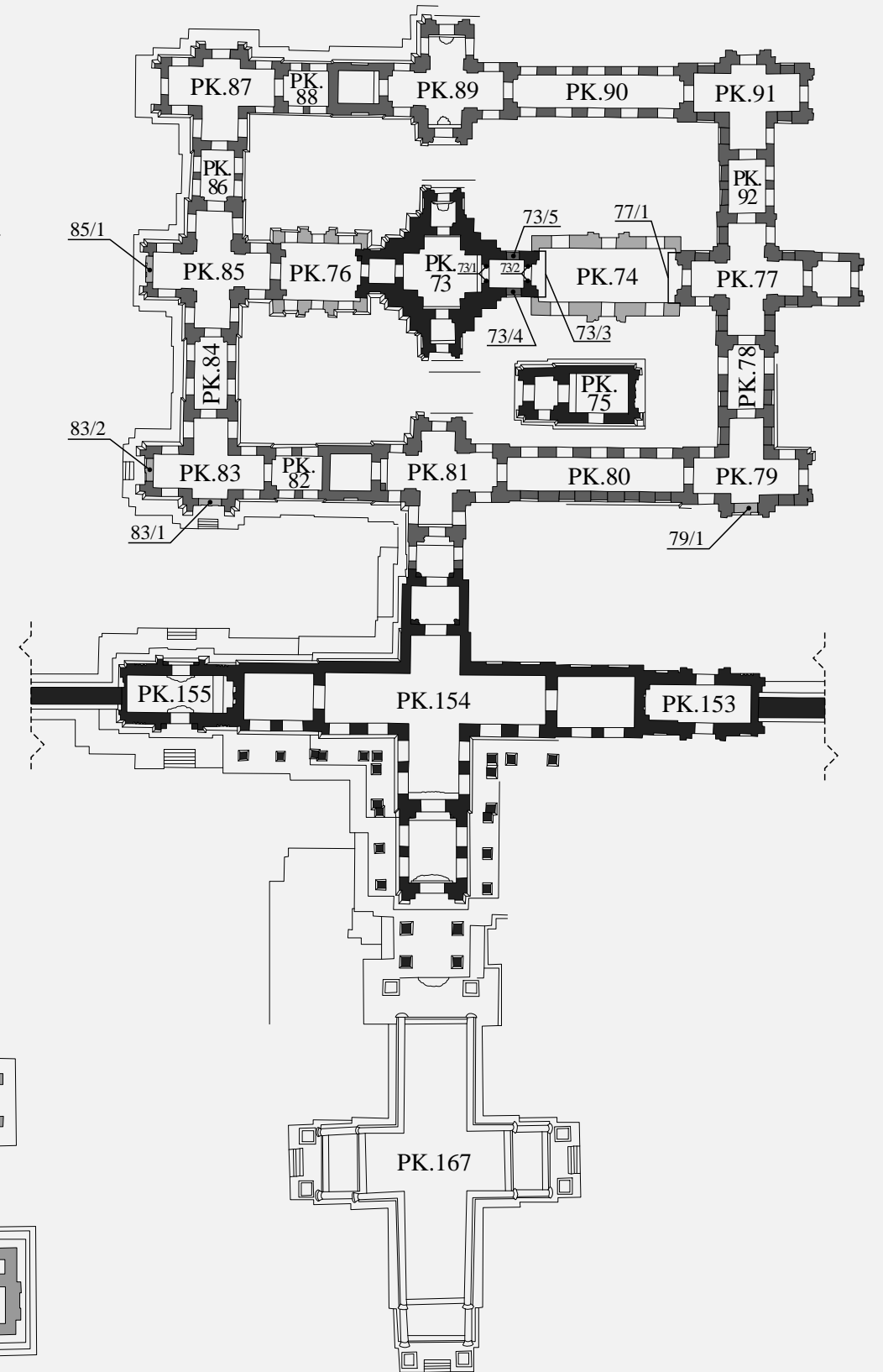


Fig. I-3-1-2.12 : Index des unités stratigraphiques construites du complexe Sud de Preah Khan (troisième enceinte)

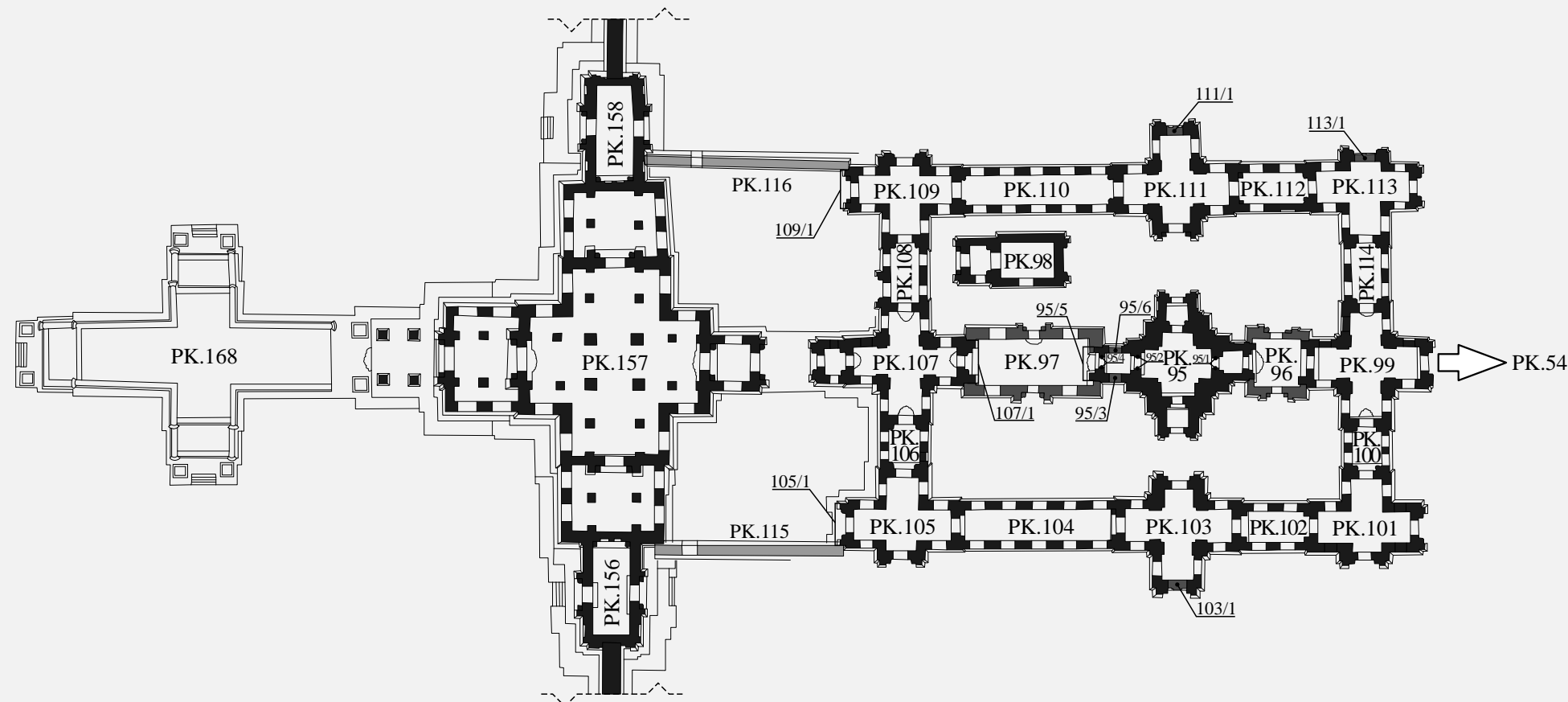


Fig. I-3-1-2.13 : Index des unités stratigraphiques construites du complexe Ouest de Preah Khan (troisième enceinte)

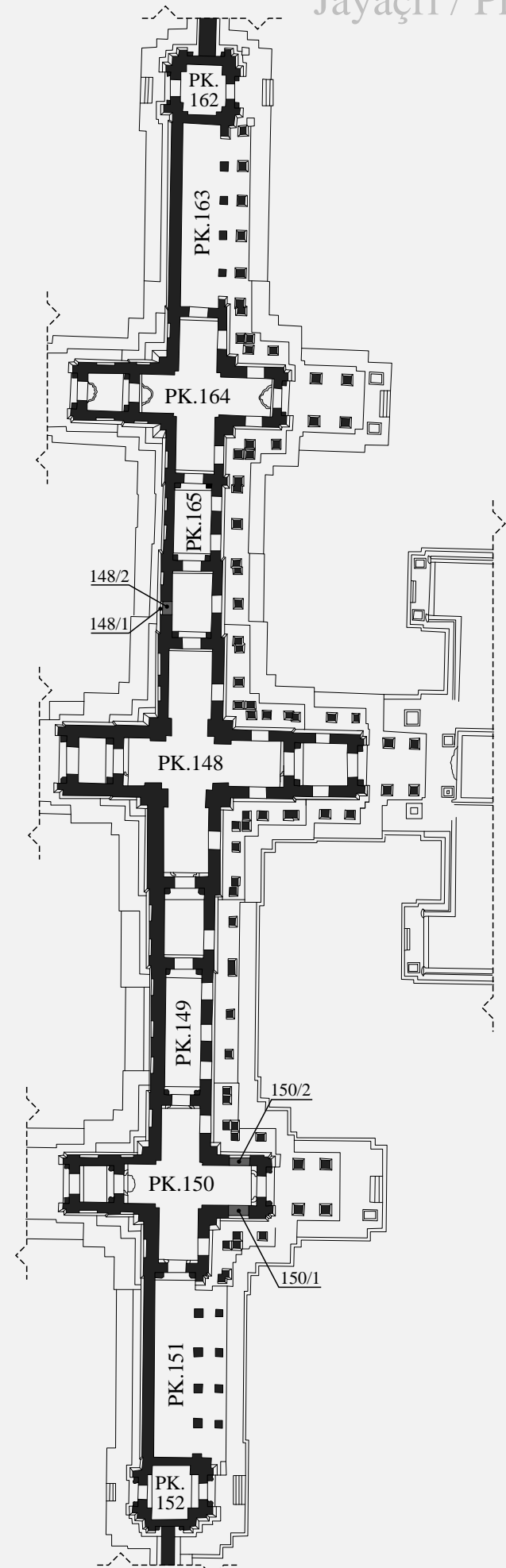


Fig. I-3-1-2.15 : Index des unités stratigraphiques construites des pavillons d'entrées Est de la troisième enceinte de Preah Khan

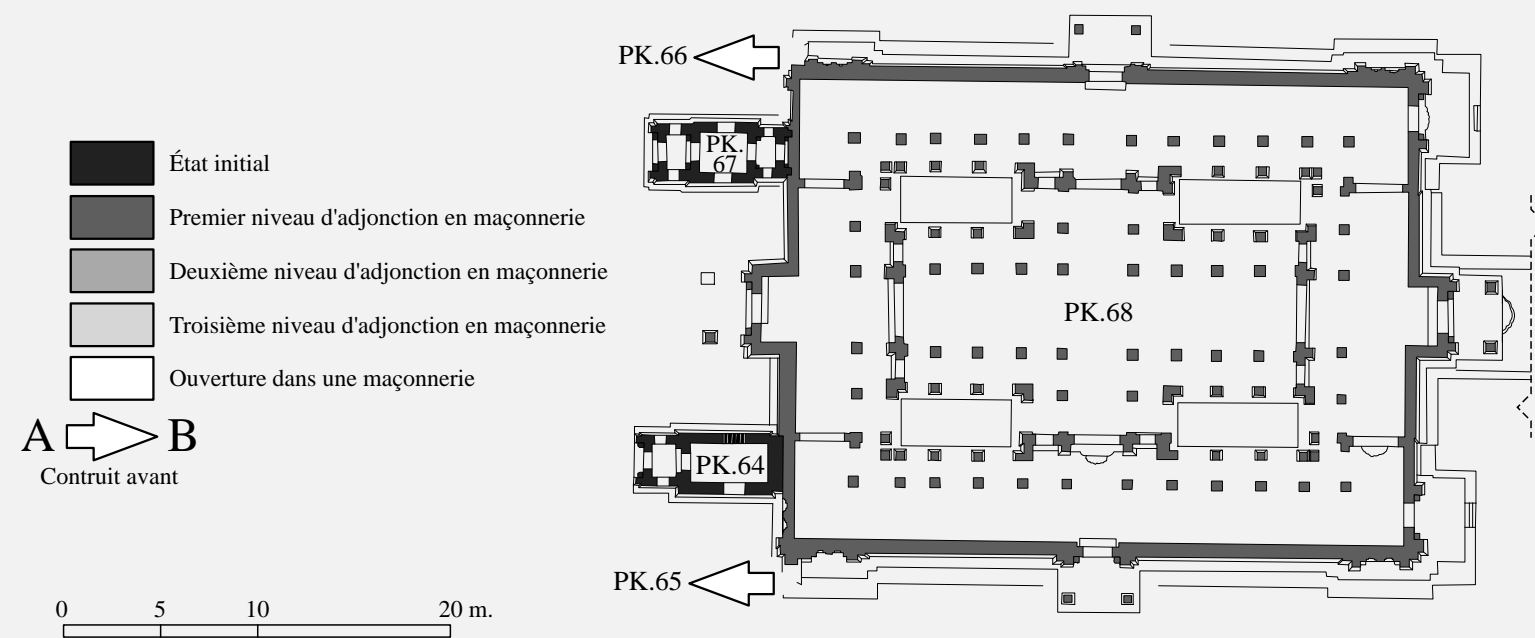


Fig. I-3-1-2.14 : Index des unités stratigraphiques construites de la "salle aux danseuses" (troisième enceinte)

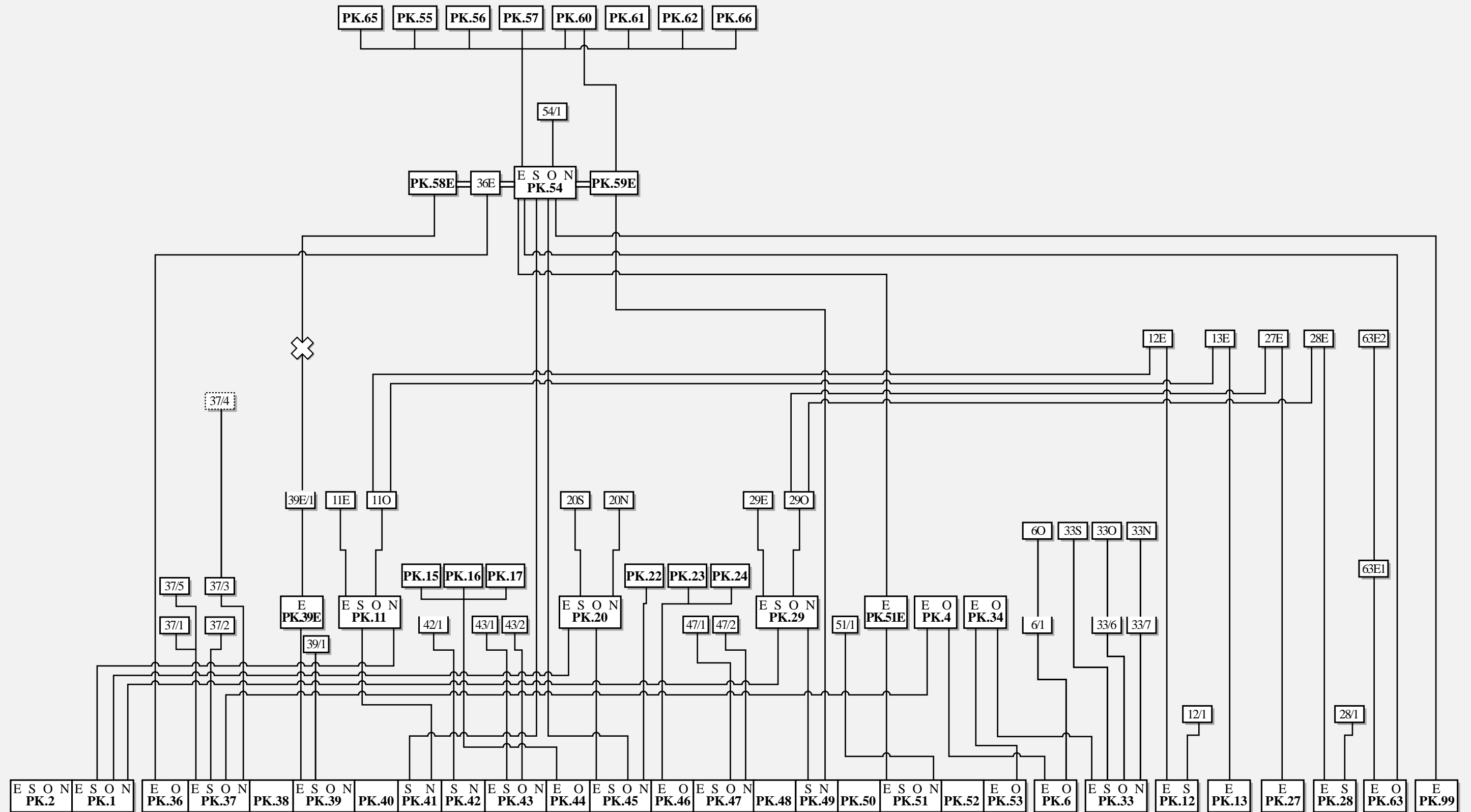
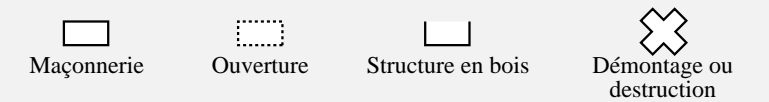


Fig. I-3-1-2.16 : Diagramme stratigraphique de la première et seconde enceintes de Preah Khan



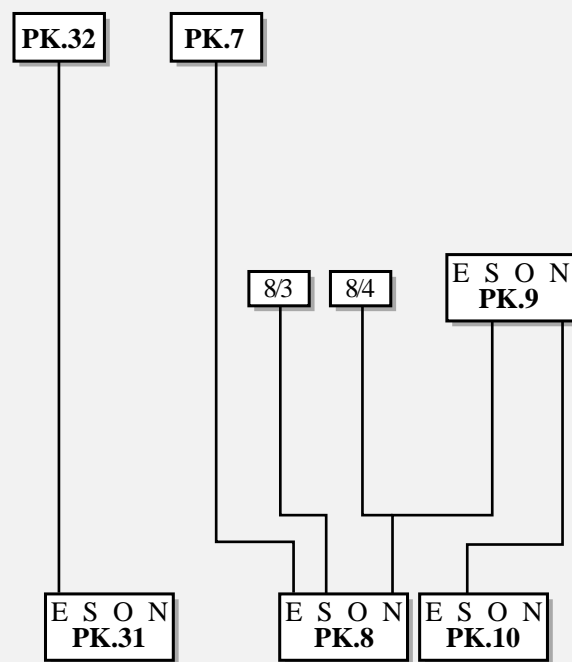


Fig. I-3-1-2.17 : Diagramme stratigraphique des tours PK.8, PK.10 et PK.31

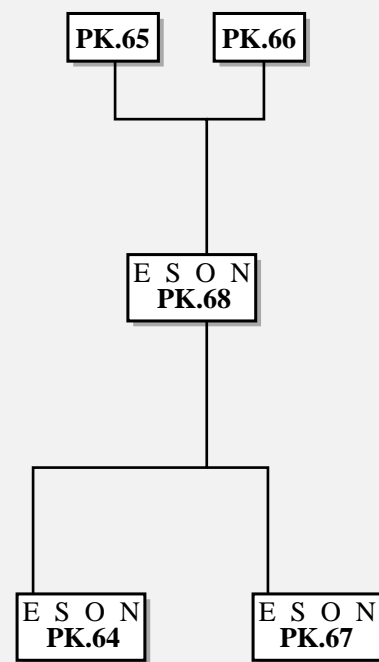


Fig. I-3-1-2.18 : Diagramme stratigraphique de la "salle aux danseuses"

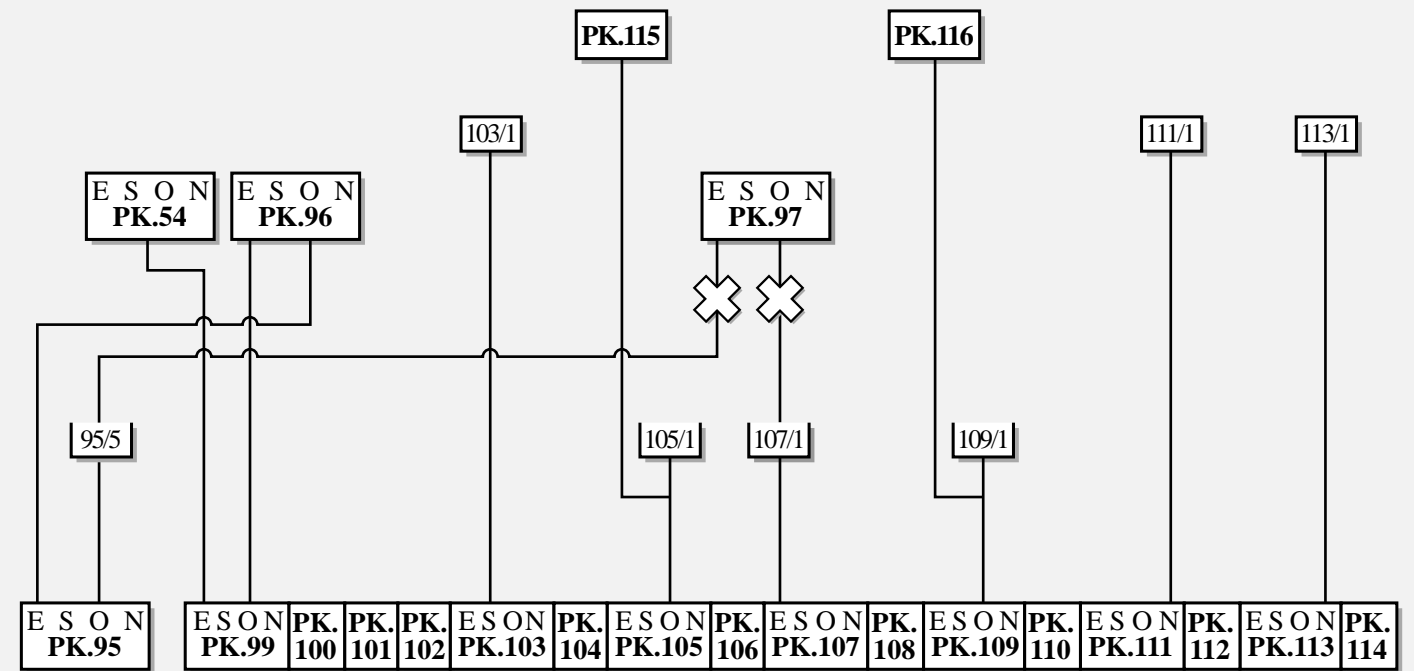
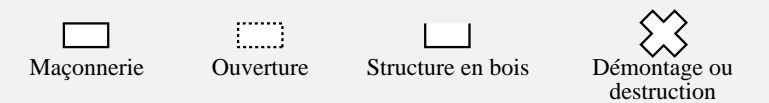


Fig. I-3-1-2.19 : Diagramme stratigraphique du complexe Ouest de Preah Khan



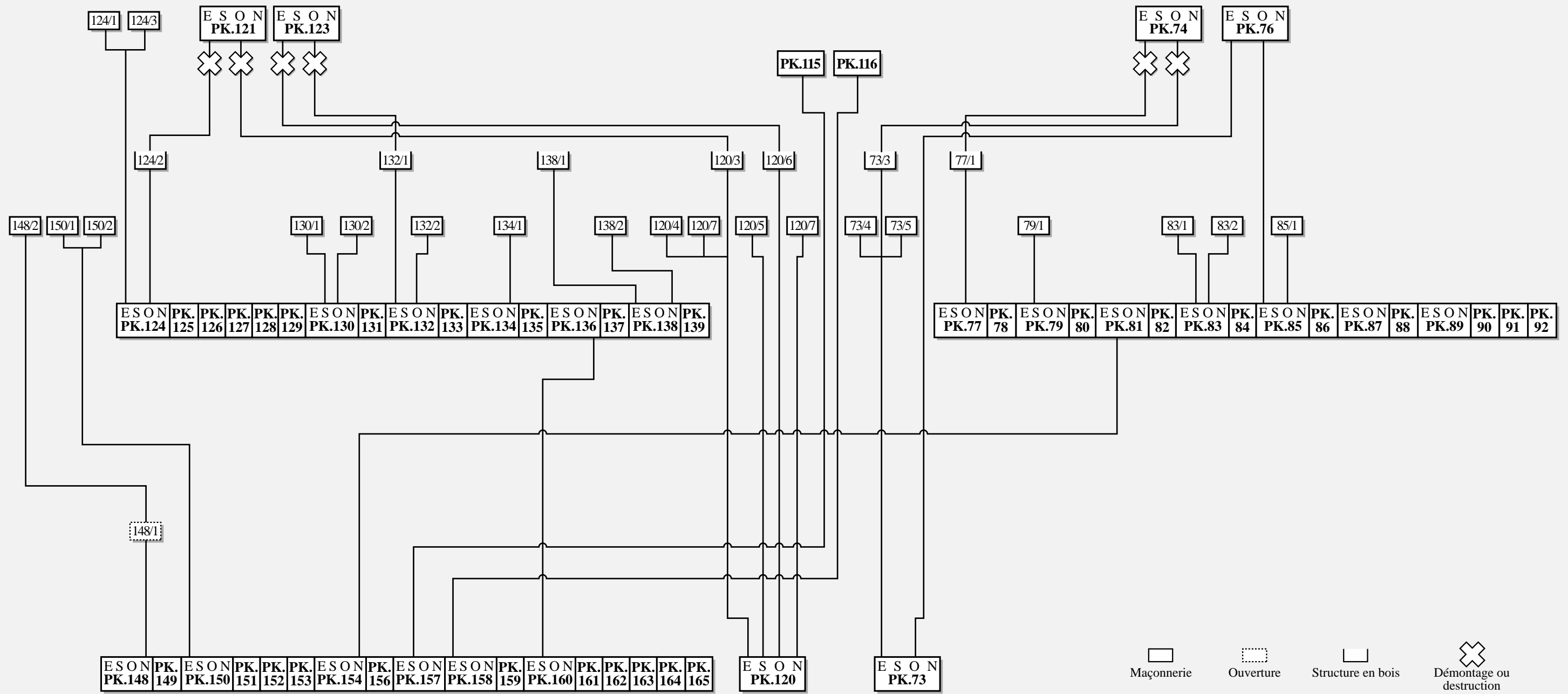


Fig. I-3-1-2.20 : Diagramme stratigraphique de la troisième enceinte de Preah Khan

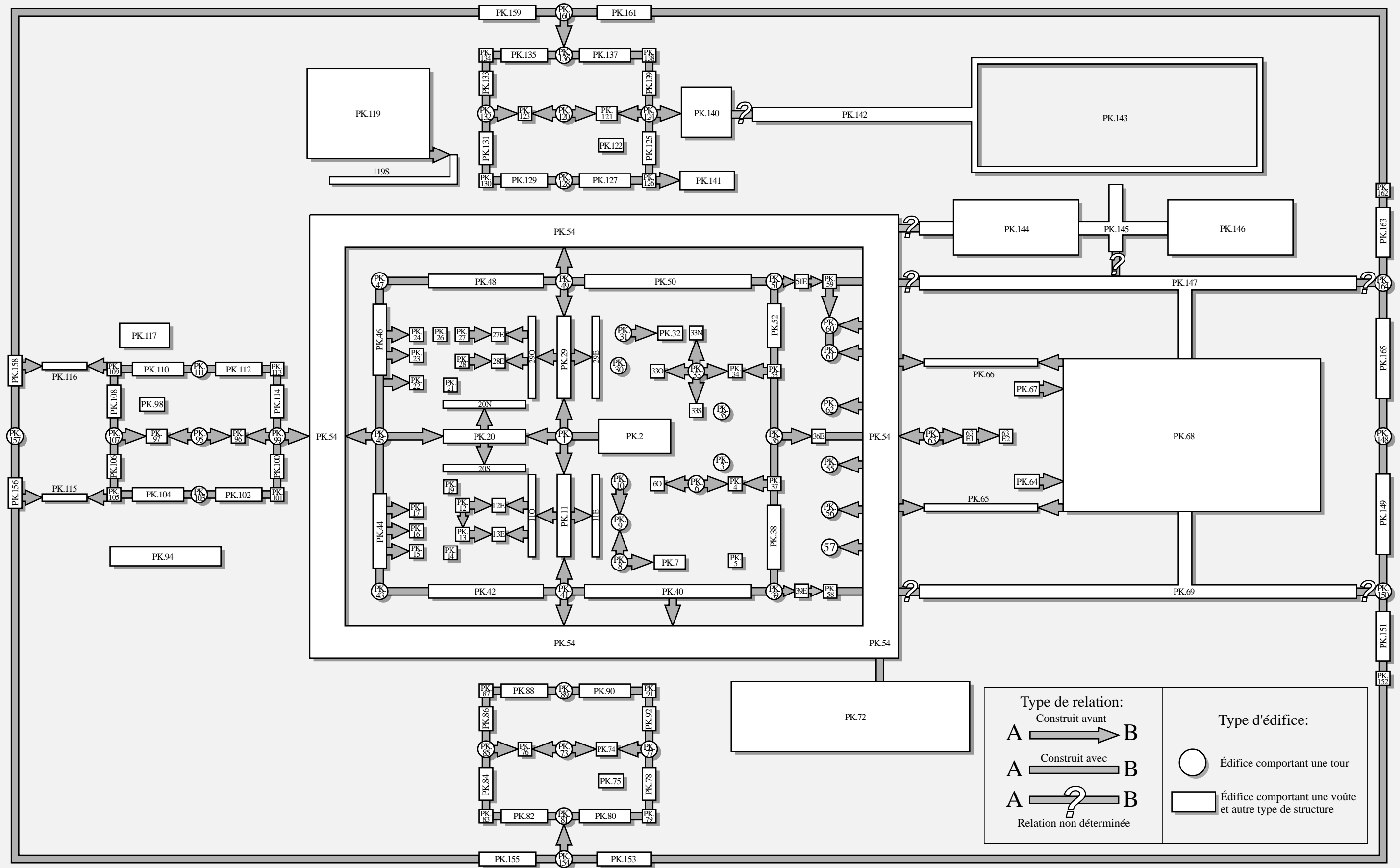


Fig. I-3-1-2.21 : Diagramme des relations structurelles dans la troisième enceinte de Preah Khan

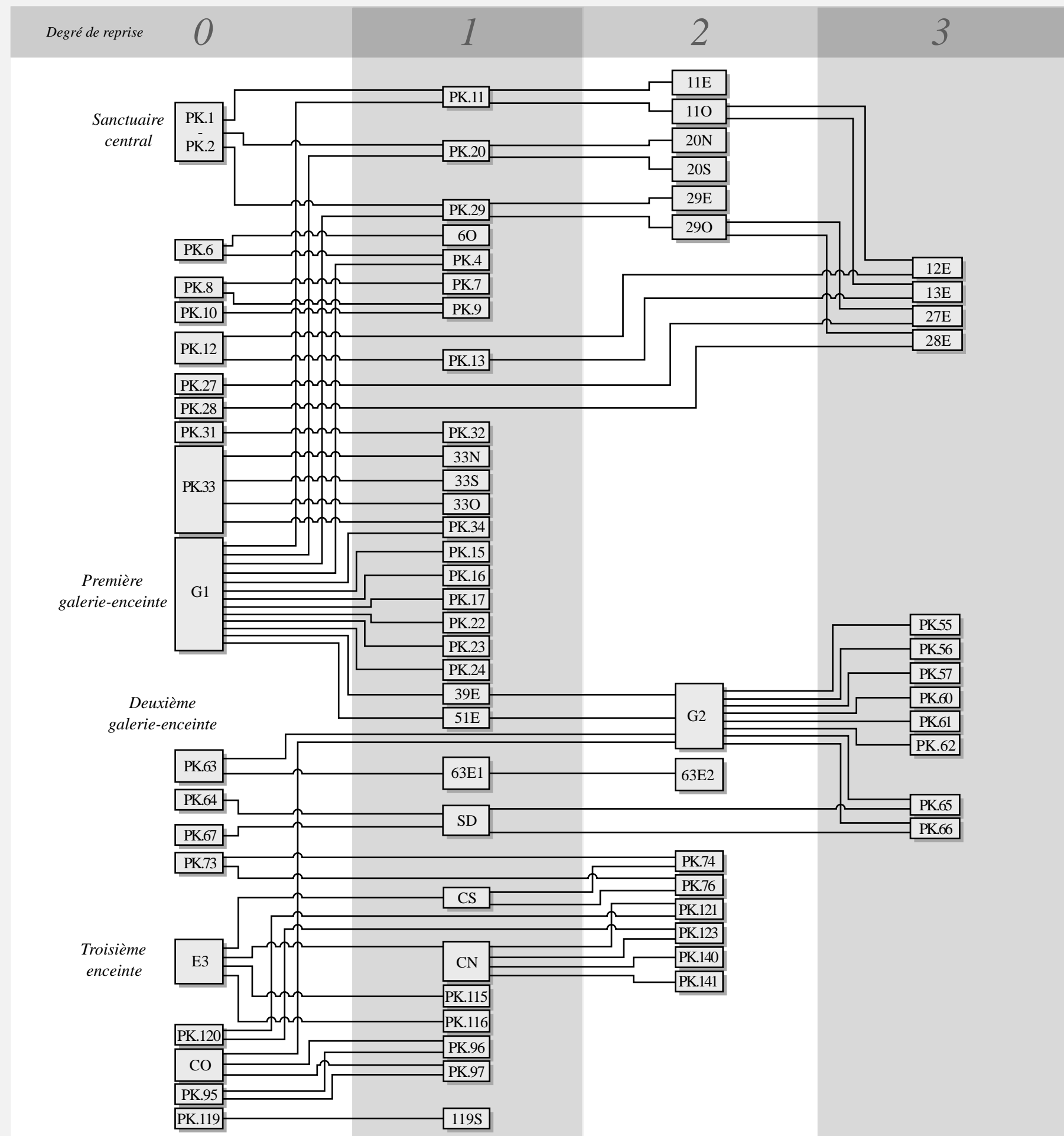


Fig. I-3-1-2.22 : Séquences des reprises de Preah Khan

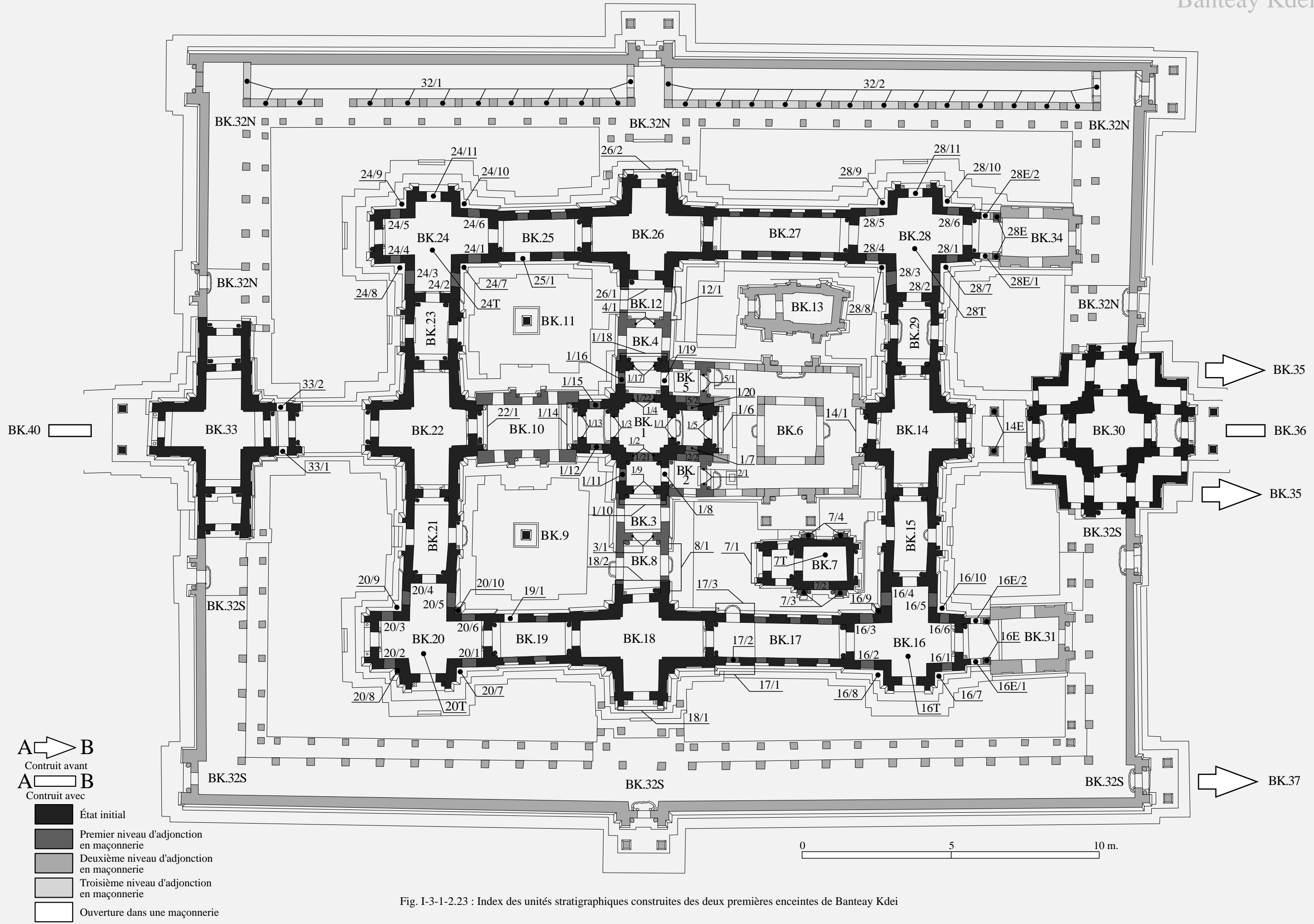


Fig. I-3-1-2.23 : Index des unités stratigraphiques construites des deux premières enceintes de Banteay Kdei

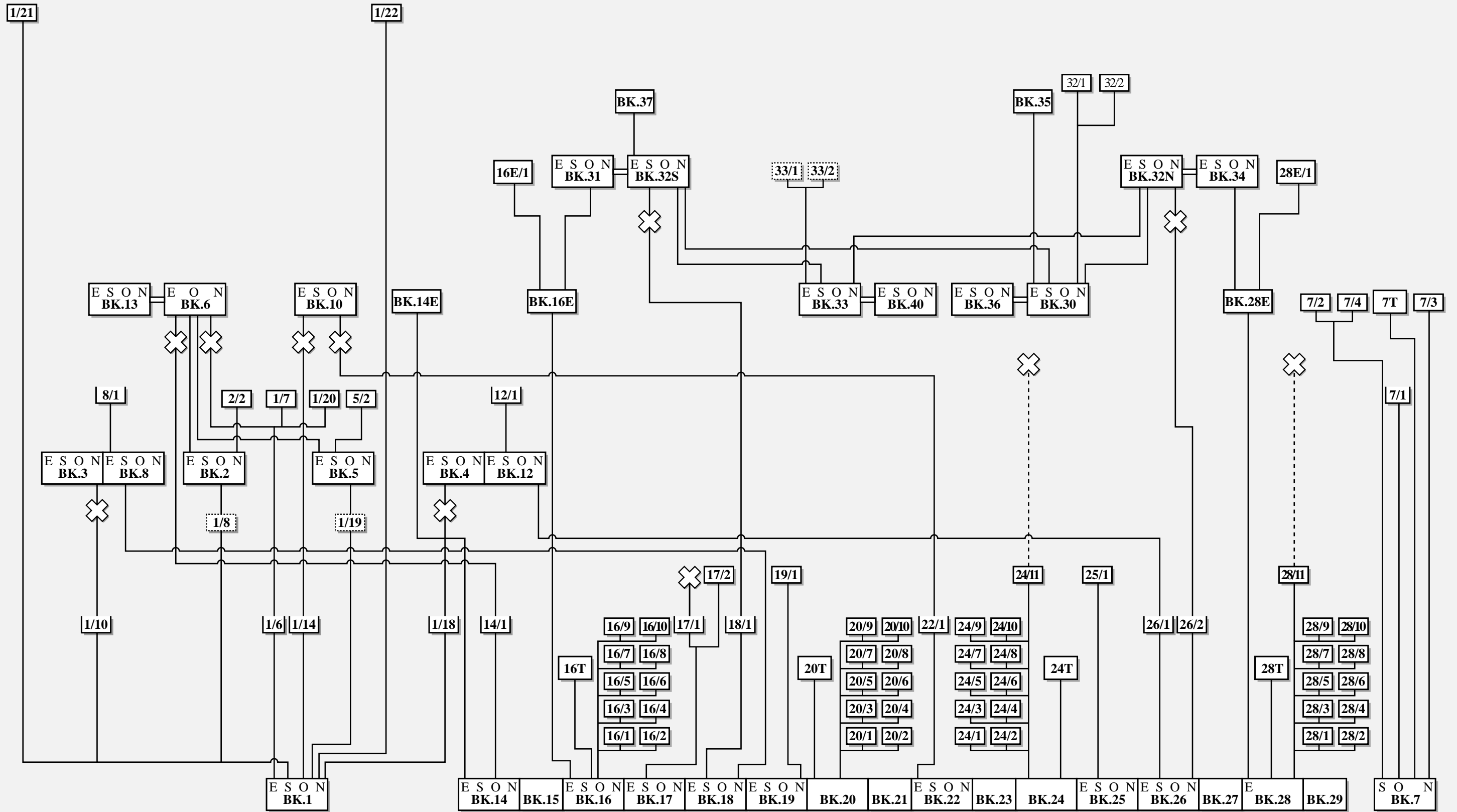
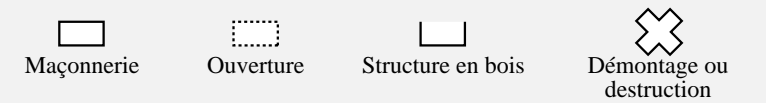


Fig. I-3-1-2.24 : Diagramme stratigraphique de la première et seconde enceintes de Banteay Kdei



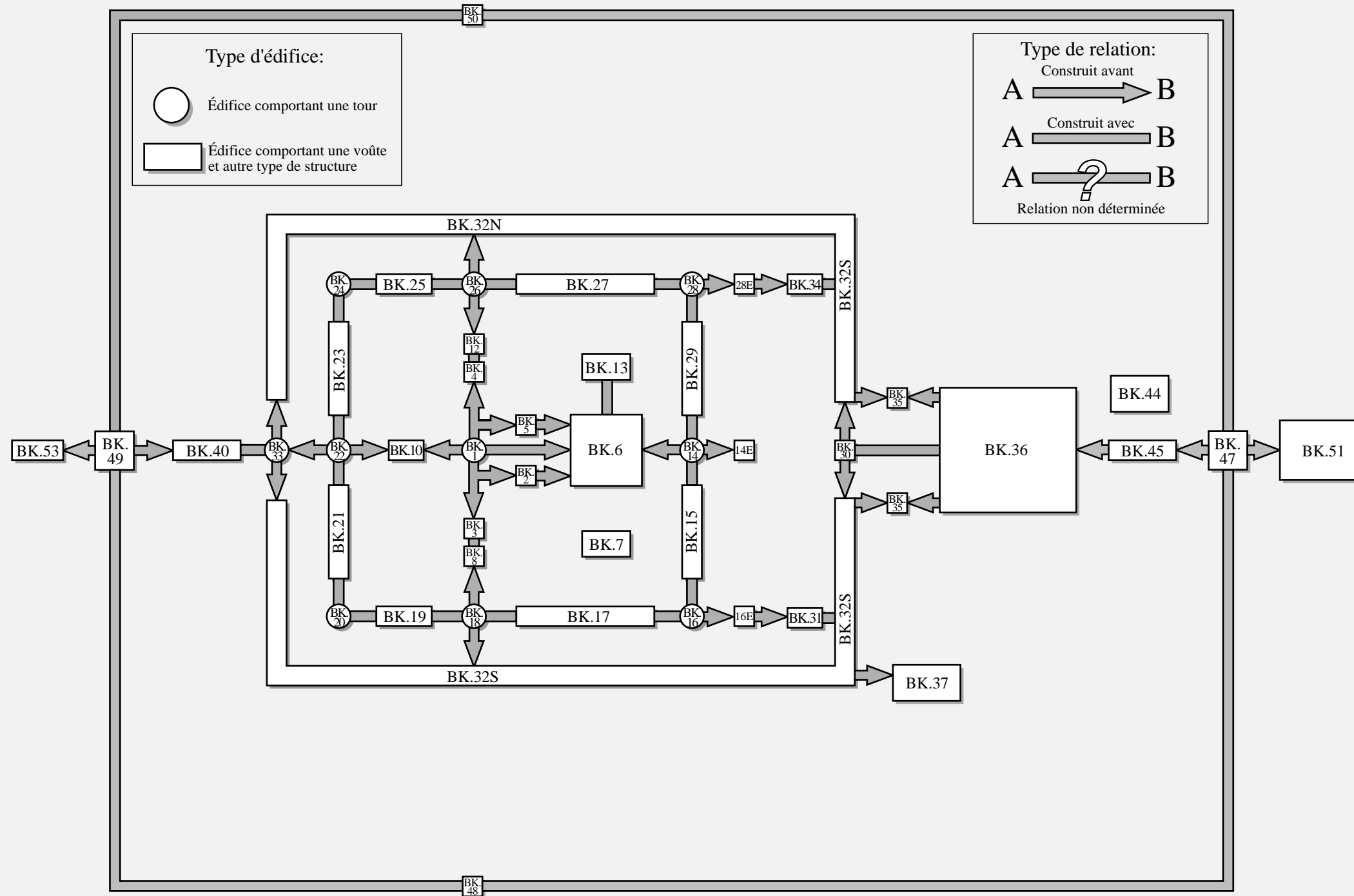


Fig. I-3-1-2.25 : Diagramme des relations structurelles dans la deuxième enceinte de Banteay Kdei

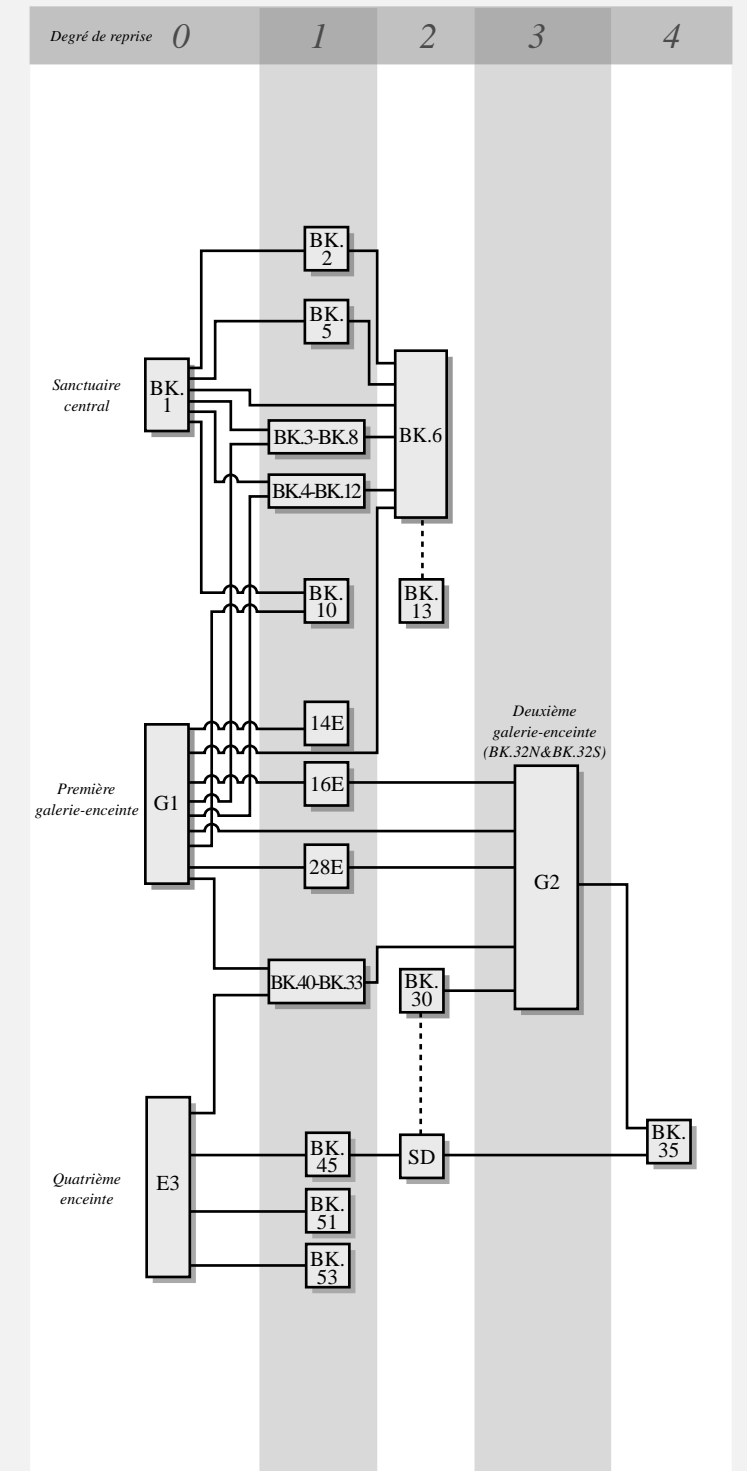


Fig. I-3-1-2.26 : Séquences des reprises de Banteay Kdei

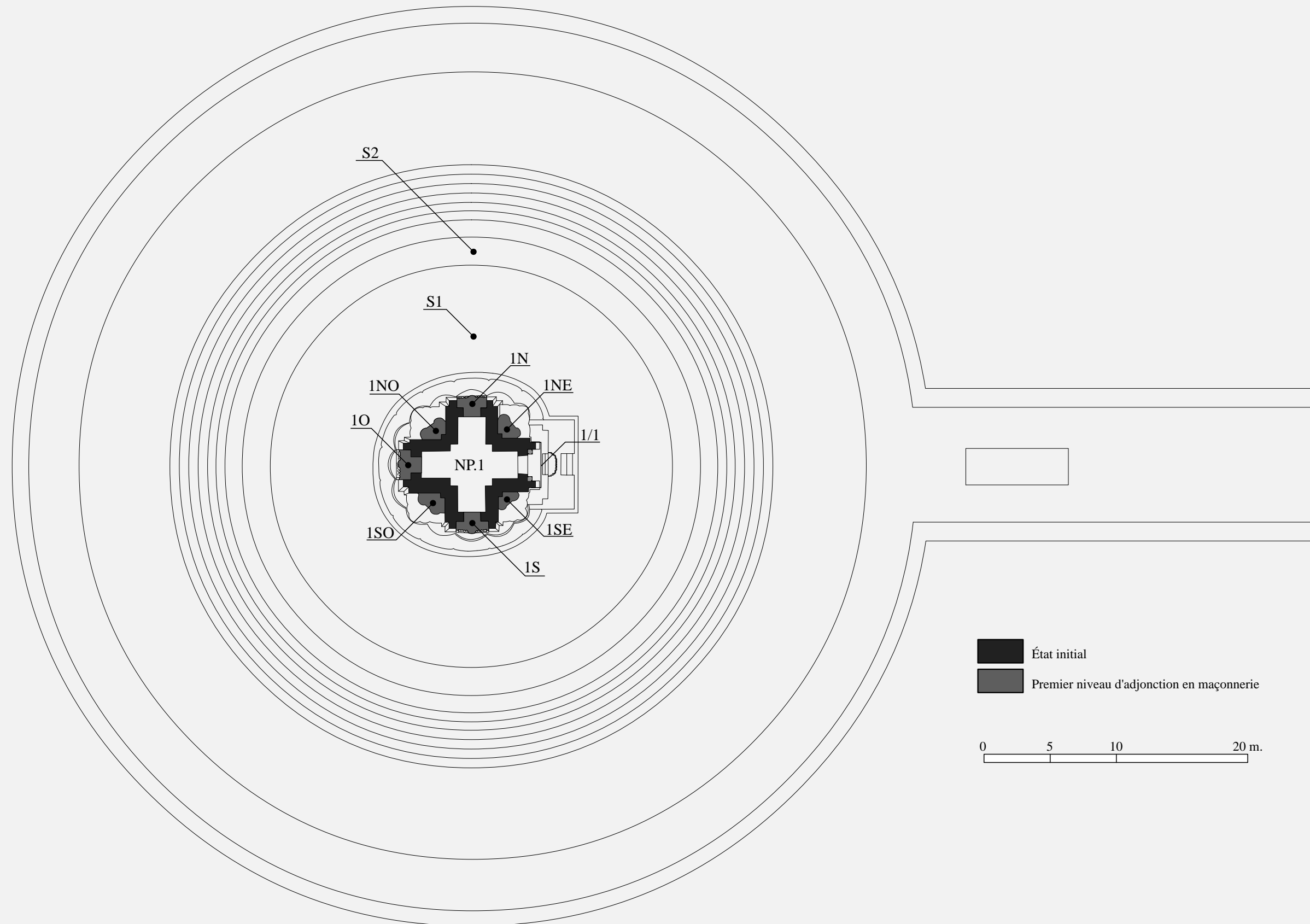


Fig. I-3-1-2.27 : Index des unités stratigraphiques construites de la partie centrale du Neak Pean

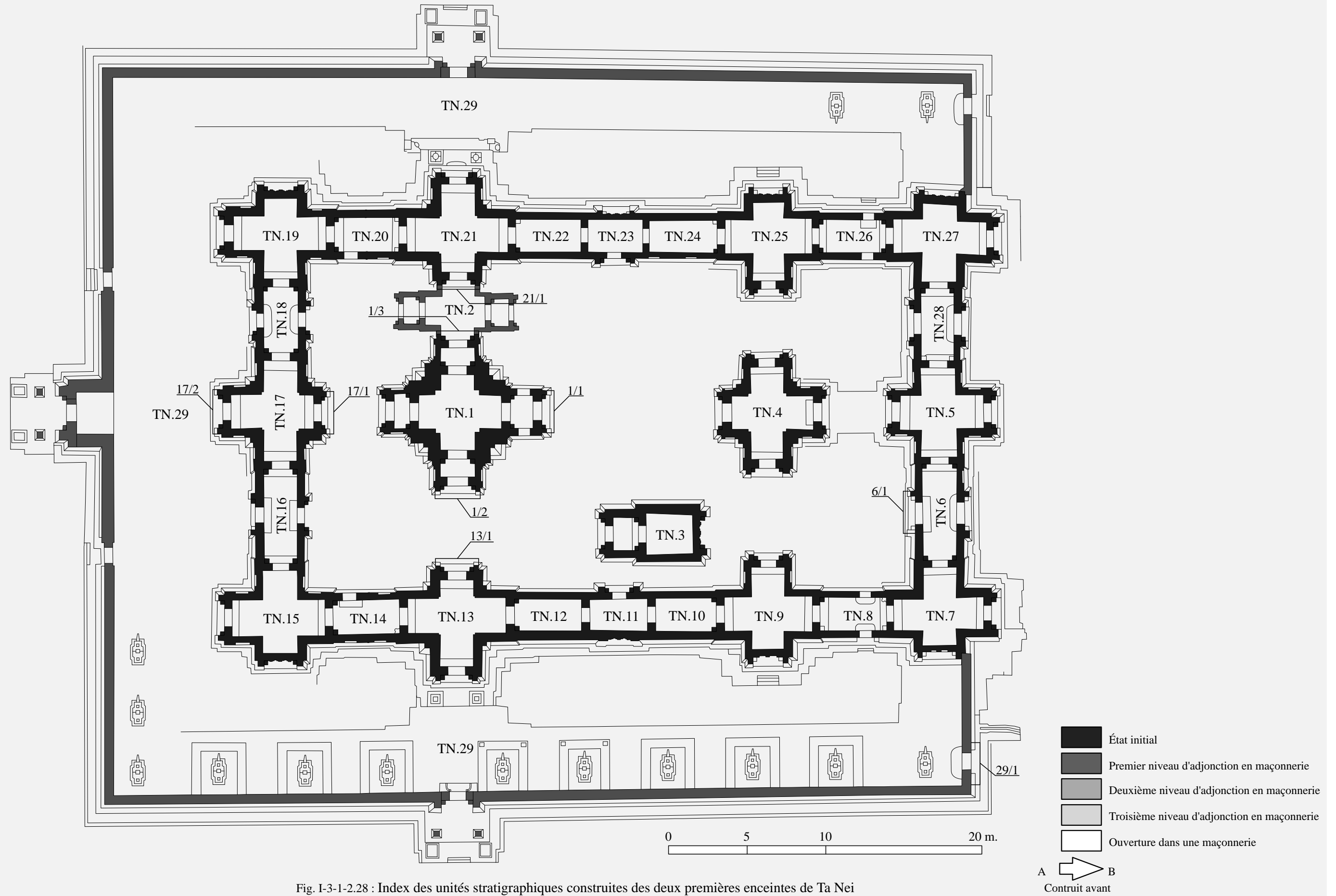


Fig. I-3-1-2.28 : Index des unités stratigraphiques construites des deux premières enceintes de Ta Nei

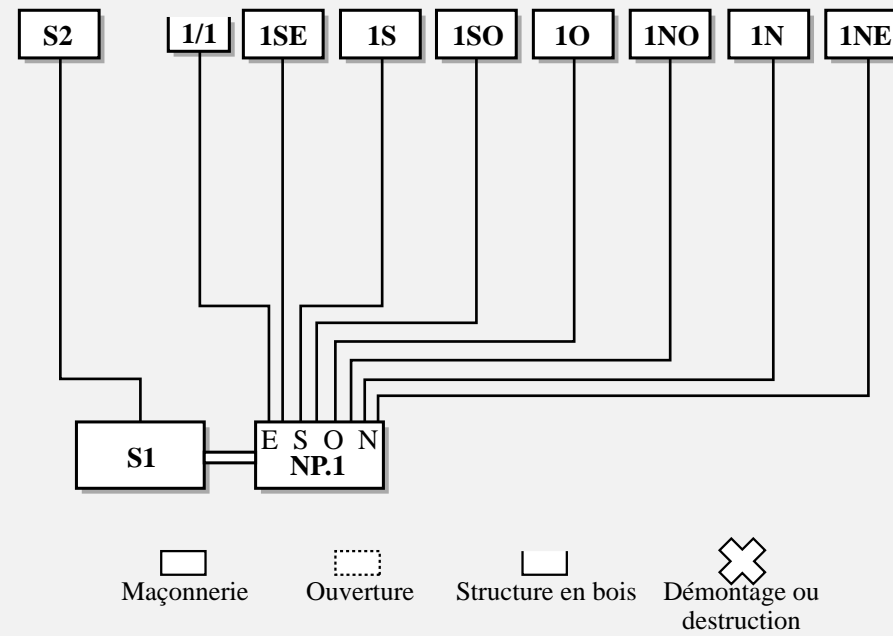


Fig. I-3-1-2.29 : Diagramme stratigraphique de la partie centrale du Neak Pean.

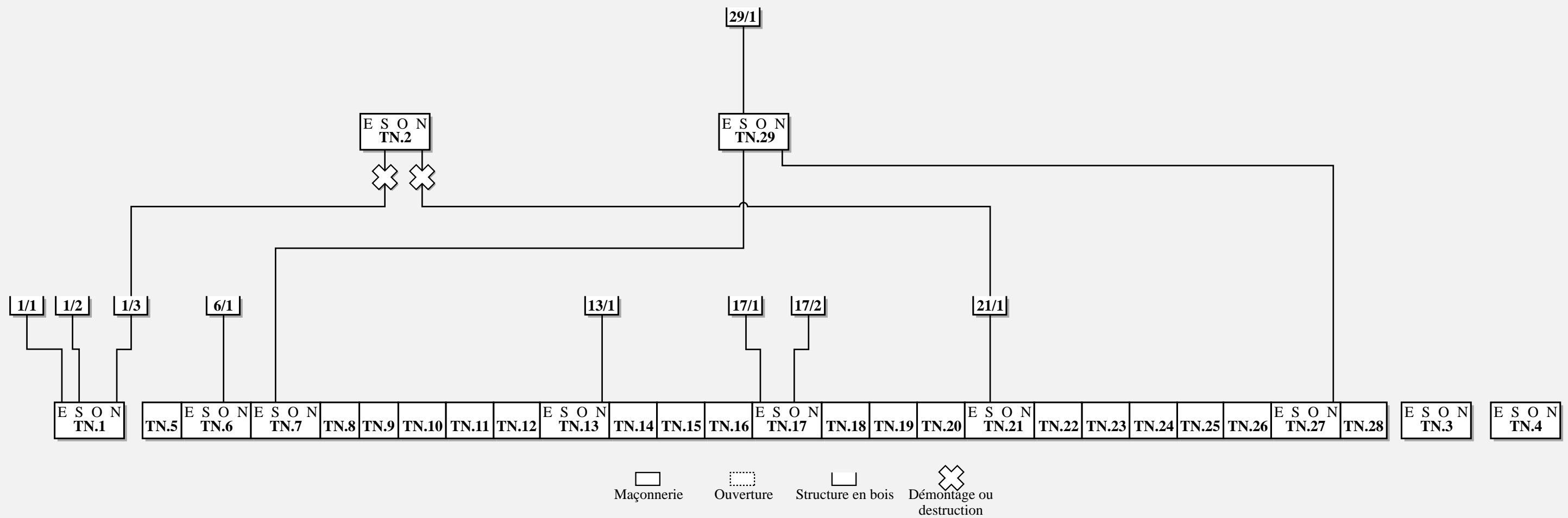


Fig. I-3-1-2.30 : Diagramme stratigraphique de la première et seconde enceintes de Ta Nei.

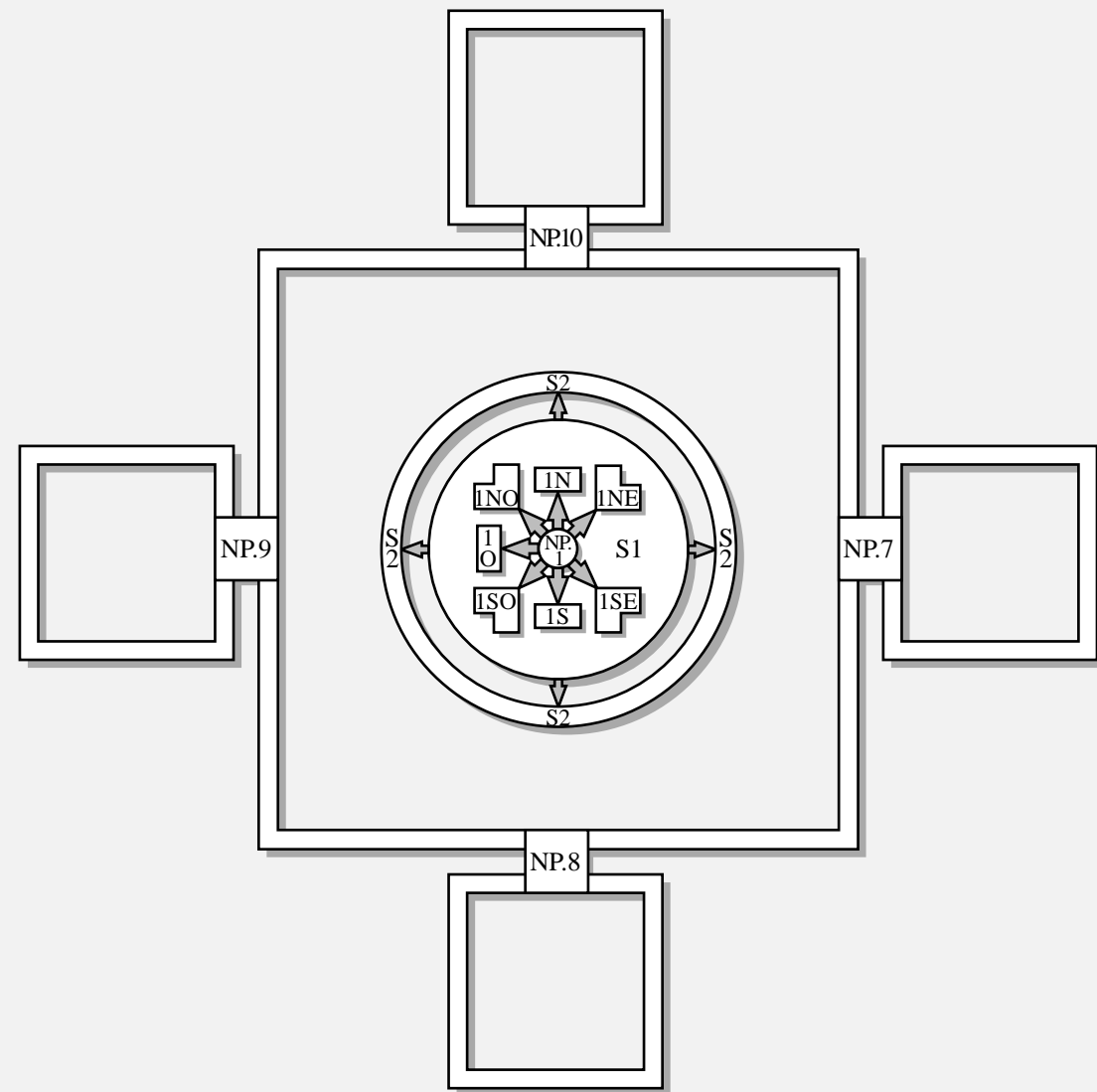


Fig. I-3-1-2.31 : Diagramme des relations structurelles du Neak Pean

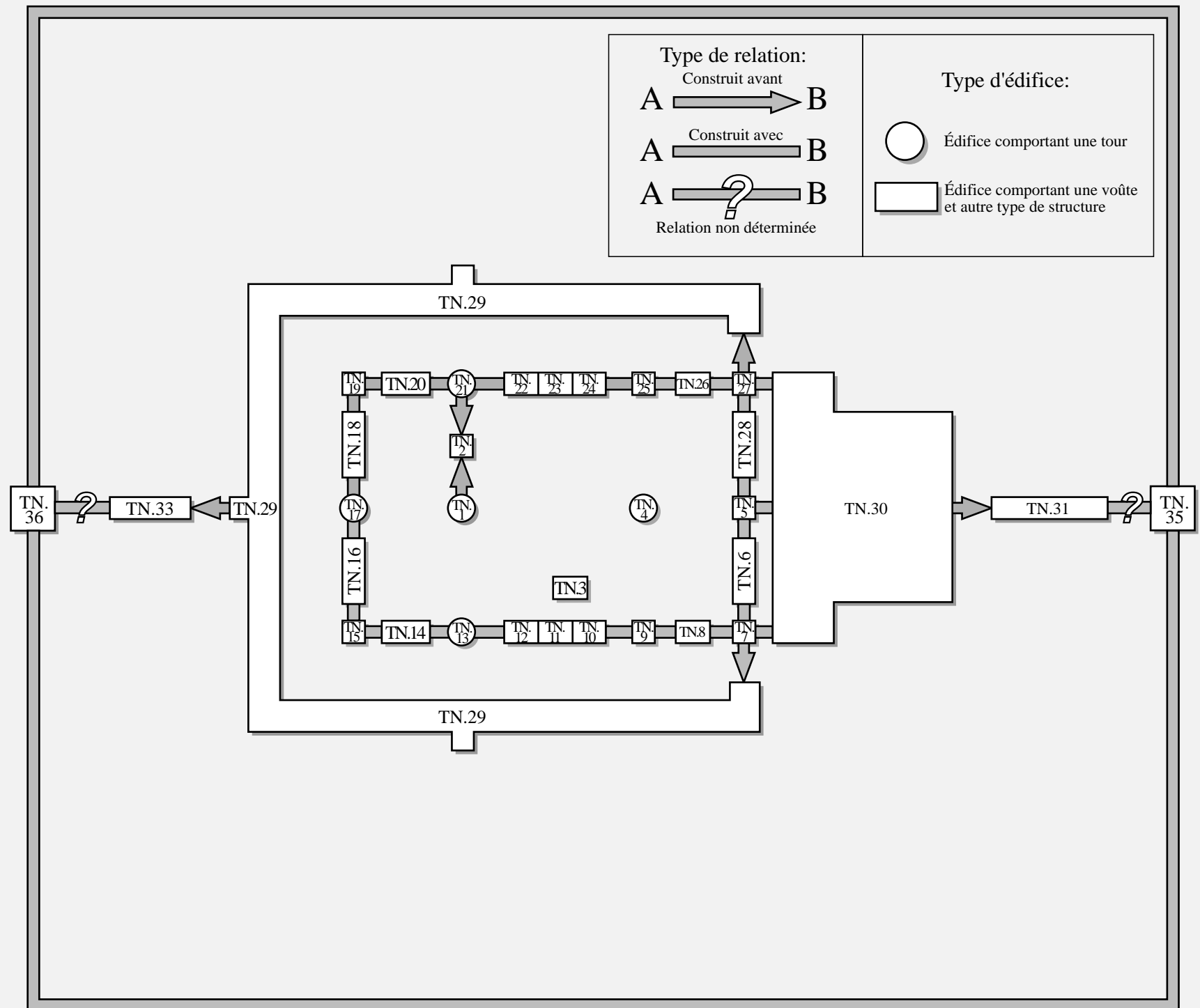


Fig. I-3-1-2.33 : Diagramme des relations structurelles dans la troisième enceinte de Ta Nei

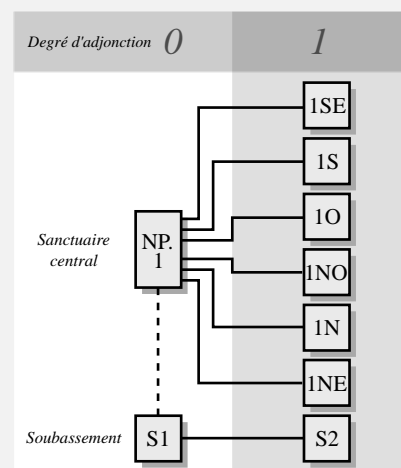


Fig. I-3-1-2.32 : Séquences d'adjonctions du Neak Pean

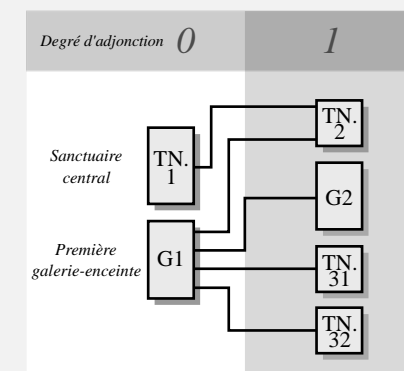


Fig. I-3-1-2.34 : Séquences d'adjonctions de Ta Nei

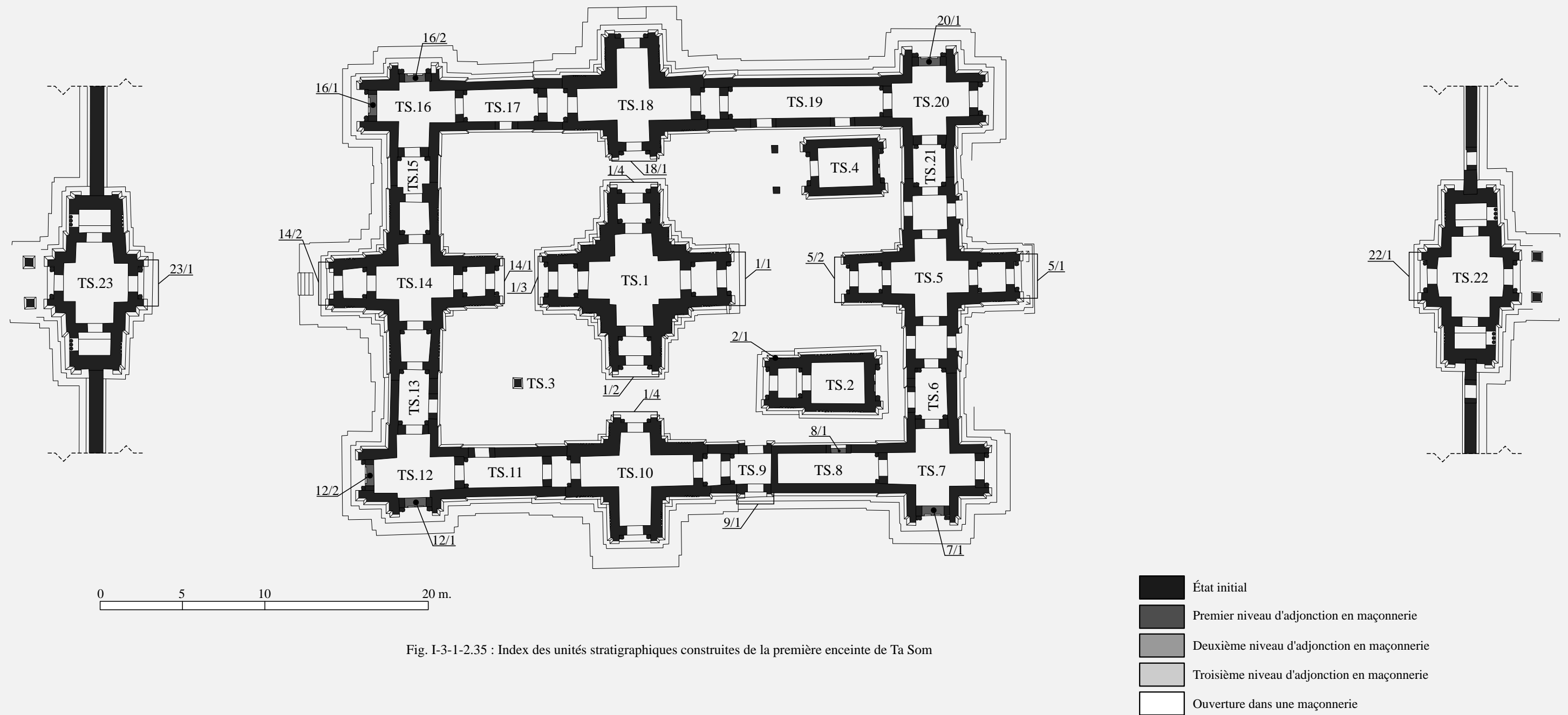


Fig. I-3-1-2.35 : Index des unités stratigraphiques construites de la première enceinte de Ta Som

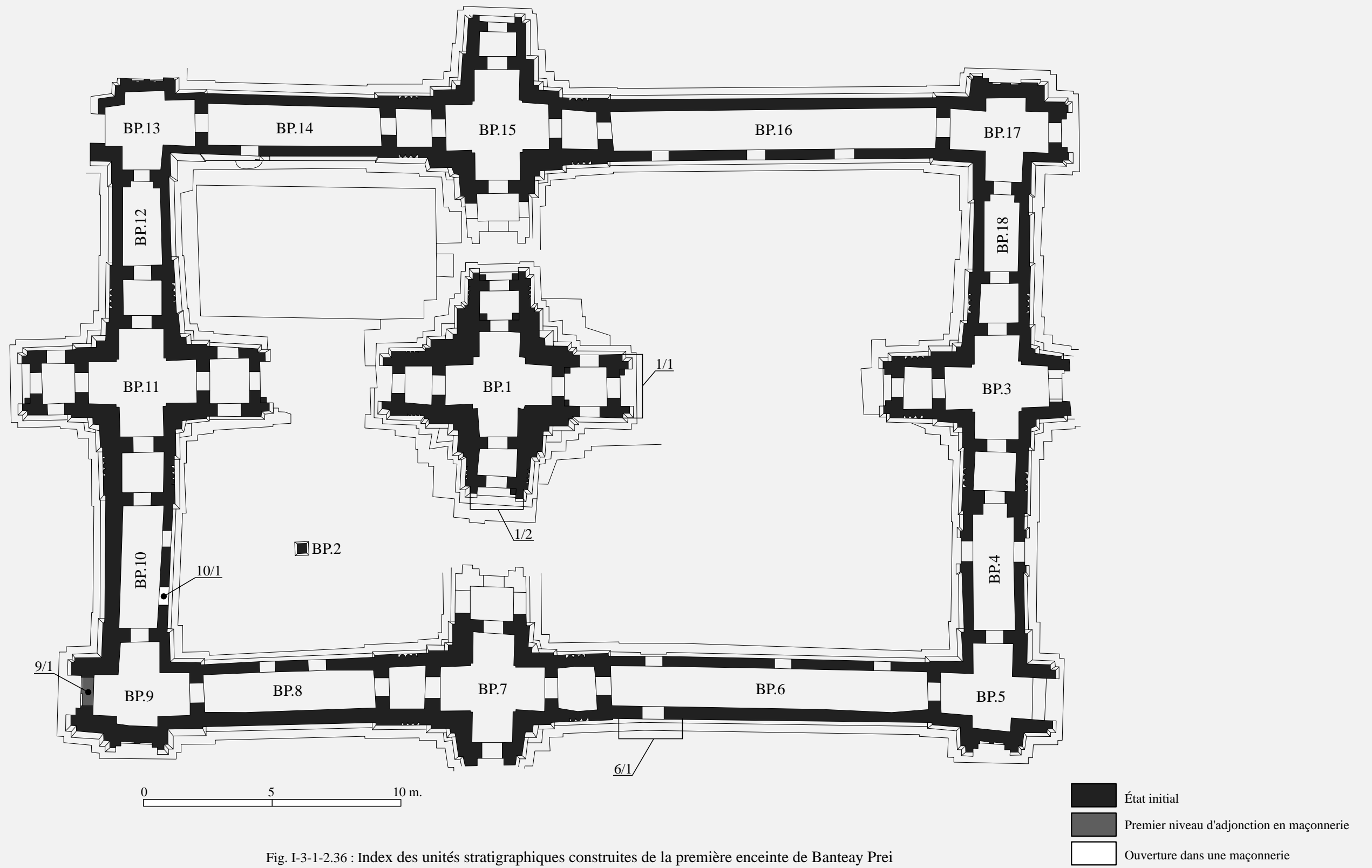


Fig. I-3-1-2.36 : Index des unités stratigraphiques construites de la première enceinte de Banteay Prei

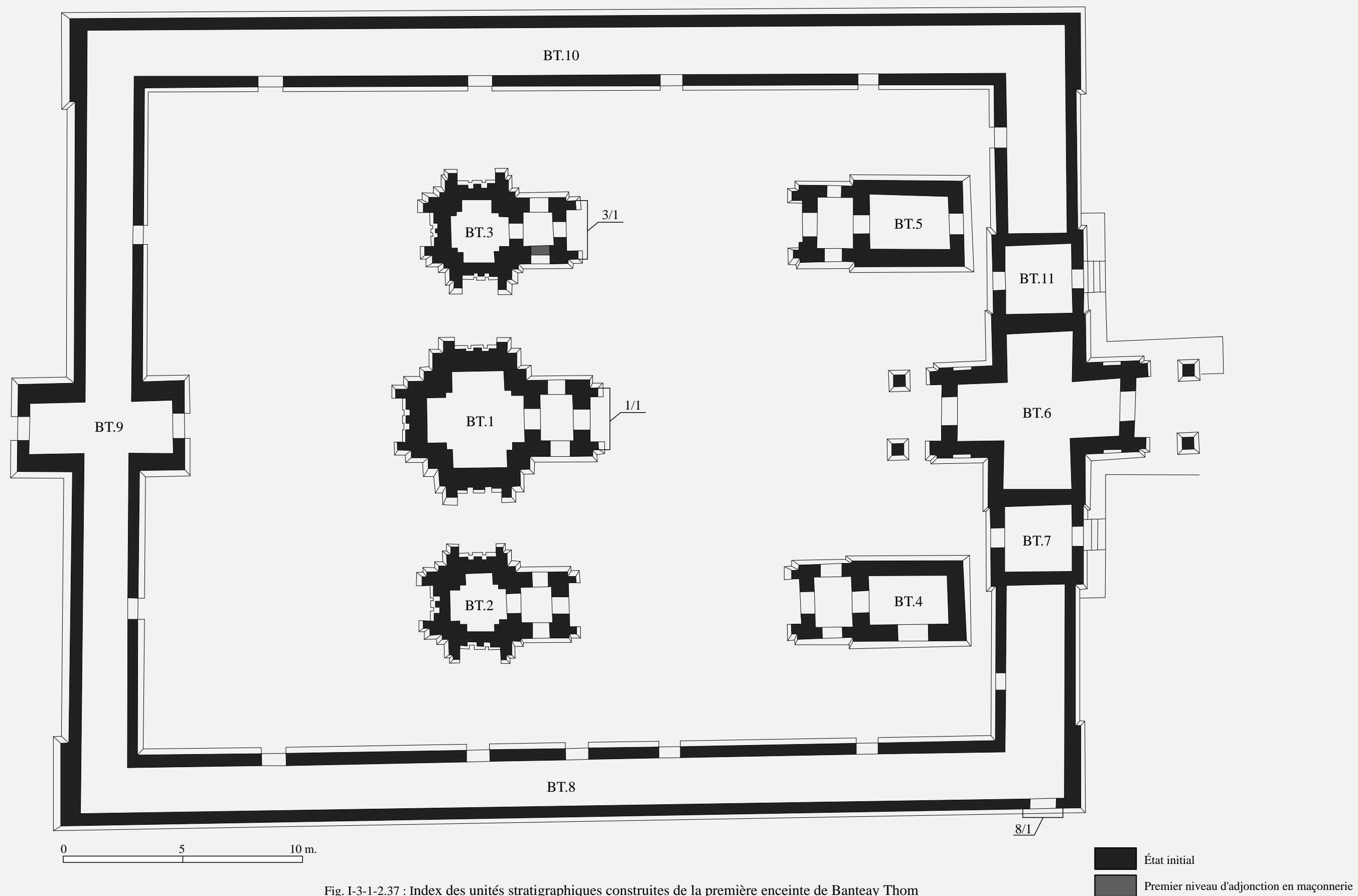


Fig. I-3-1-2.37 : Index des unités stratigraphiques construites de la première enceinte de Banteay Thom

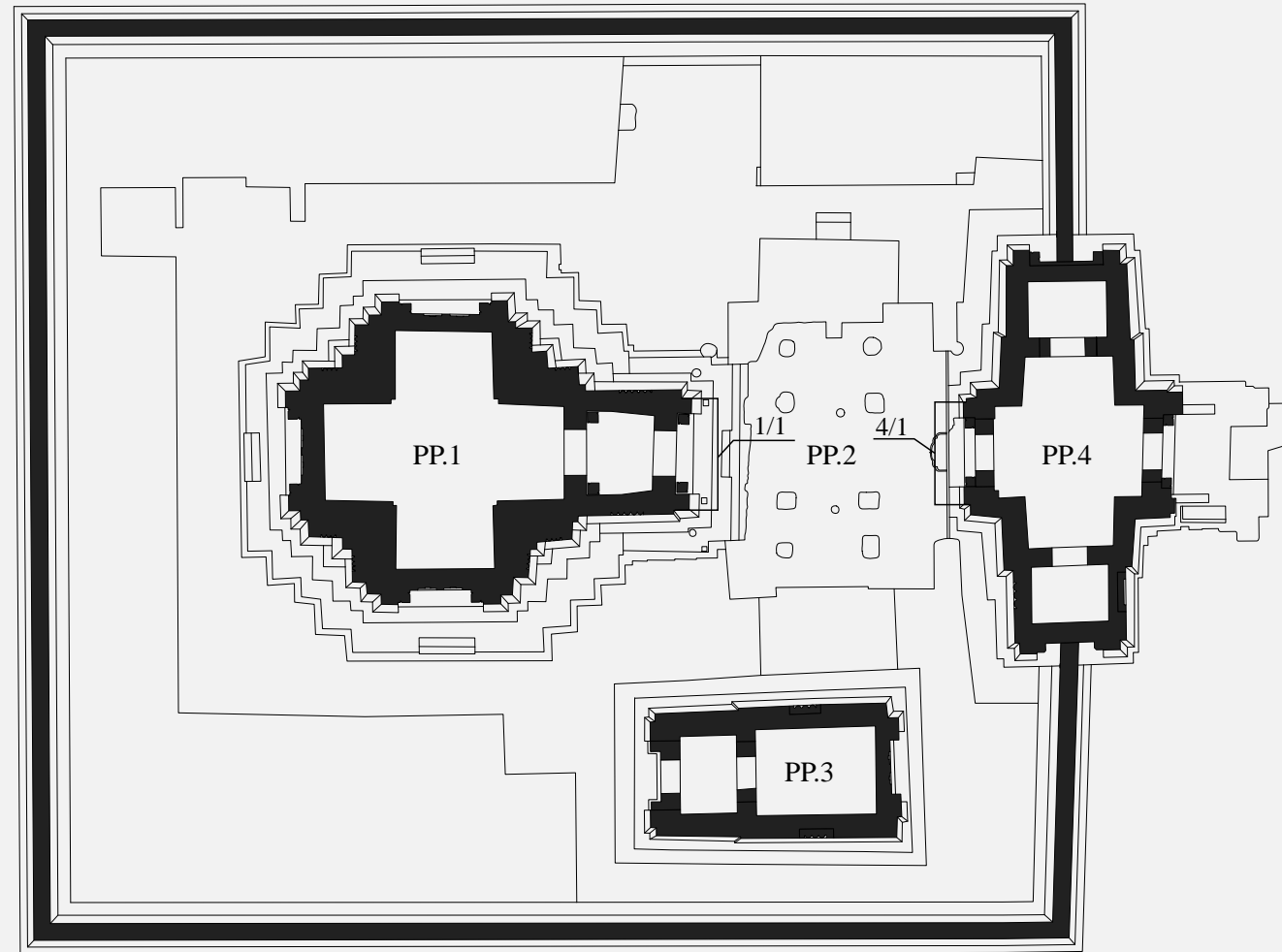


Fig. I-3-1-2.38 : Index des unités stratigraphiques construites de la première enceinte de Prasat Prei

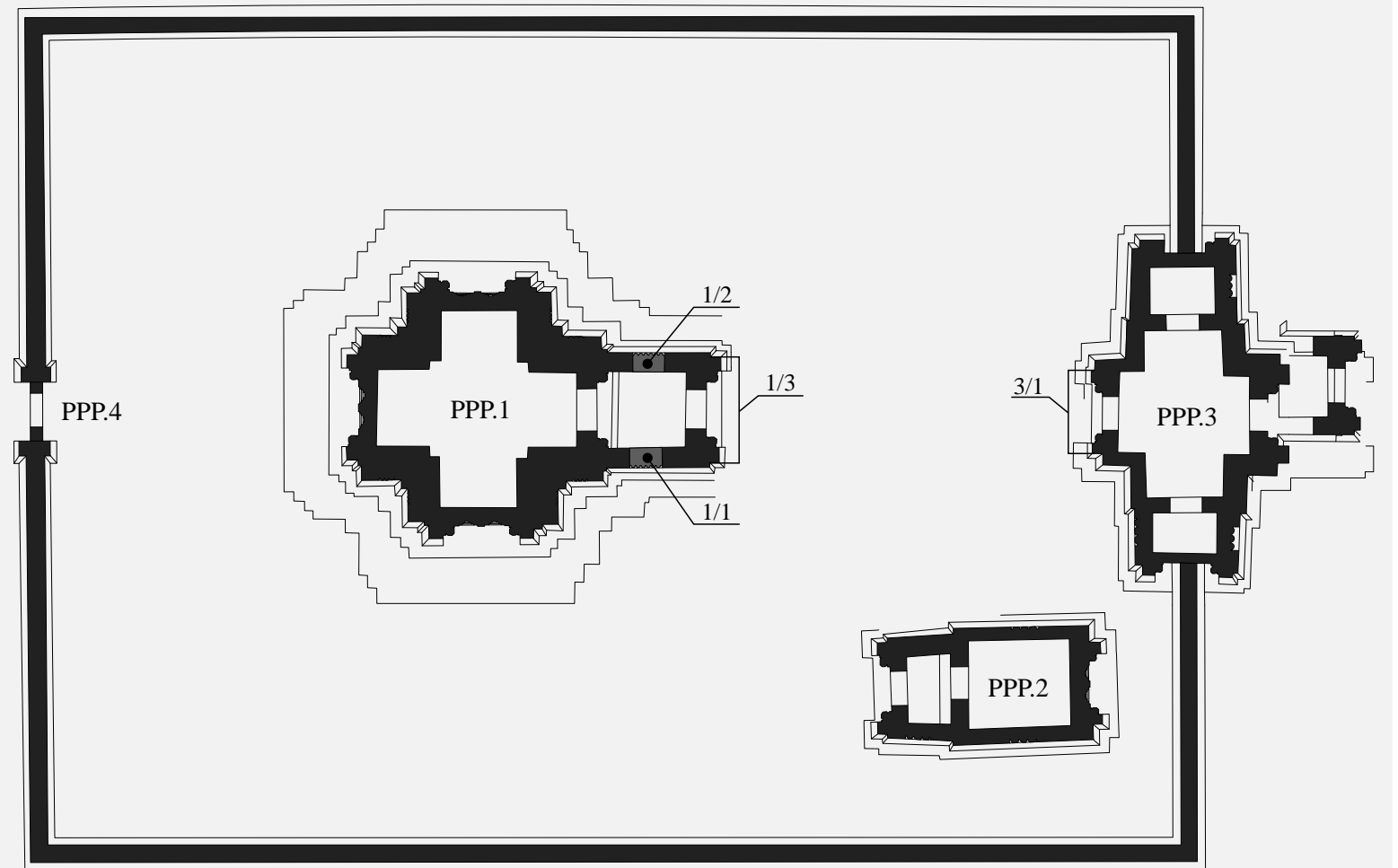


Fig. I-3-1-2.39 : Index des unités stratigraphiques construites de la première enceinte de Prasat Prei Prasat

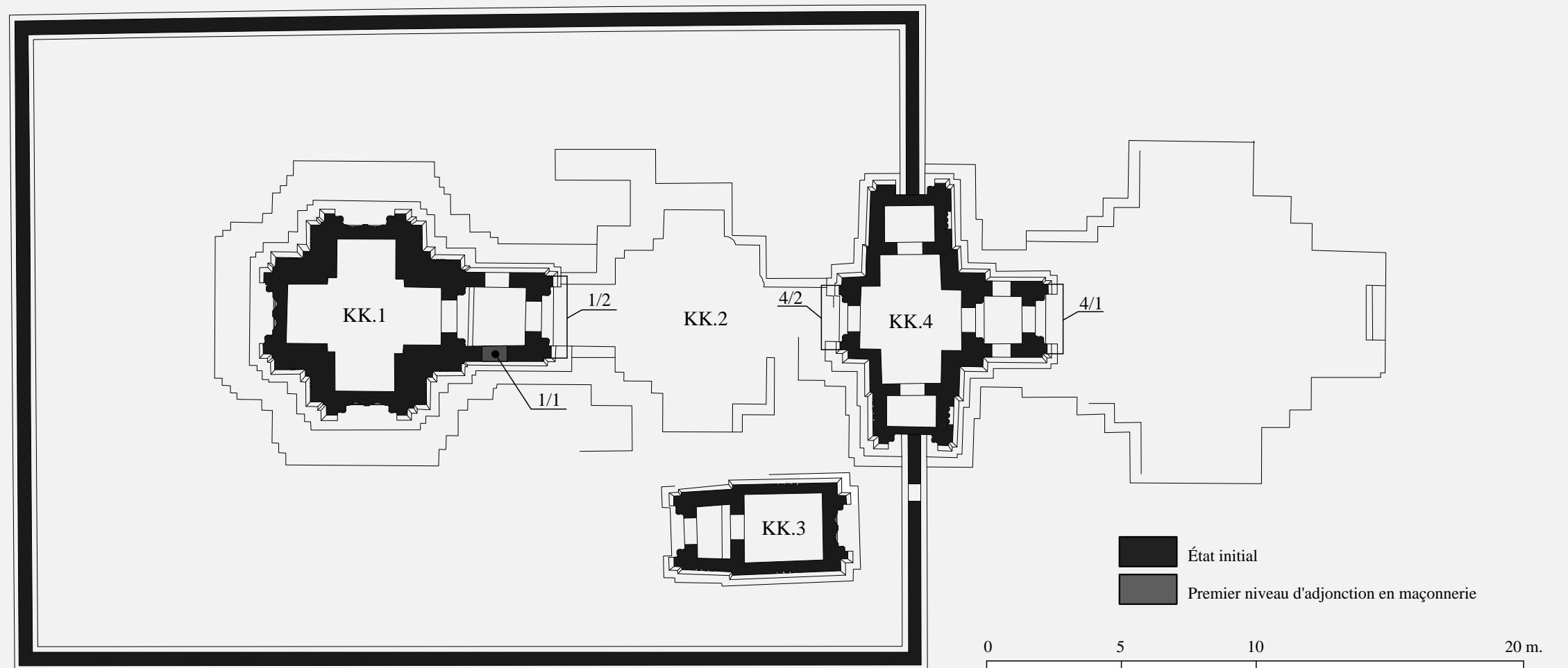


Fig. I-3-1-2.40 : Index des unités stratigraphiques construites de la première enceinte de Krol Kô

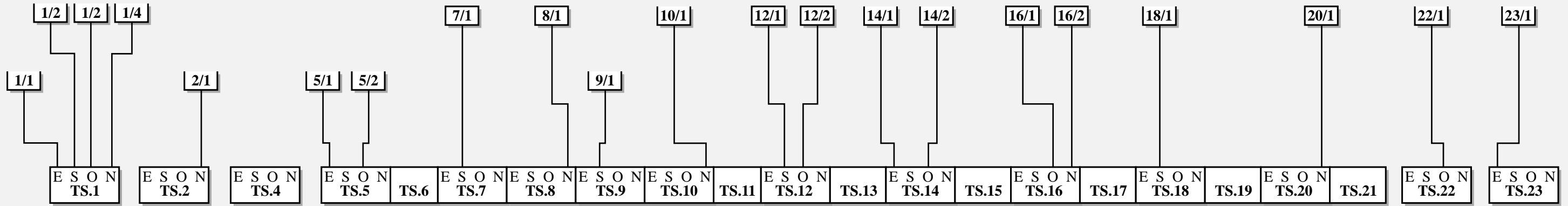


Fig. I-3-1-2.41 : Diagramme stratigraphique des deux premières enceintes de Ta Som

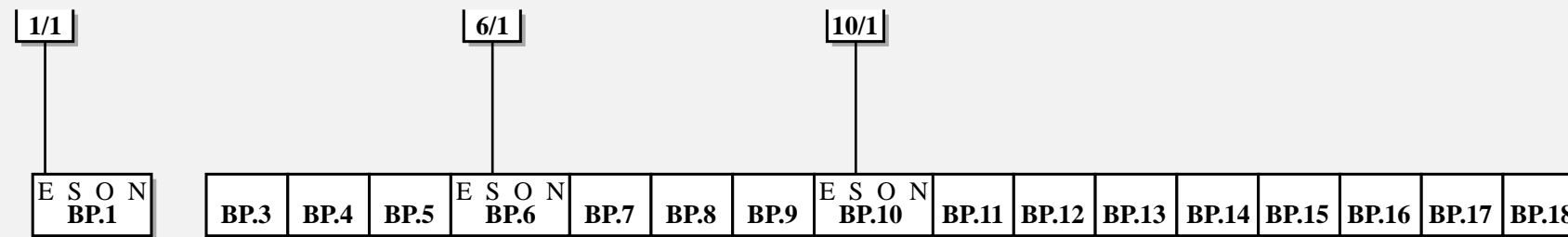


Fig. I-3-1-2.42 : Diagramme stratigraphique de la première enceinte de Banteay Prei

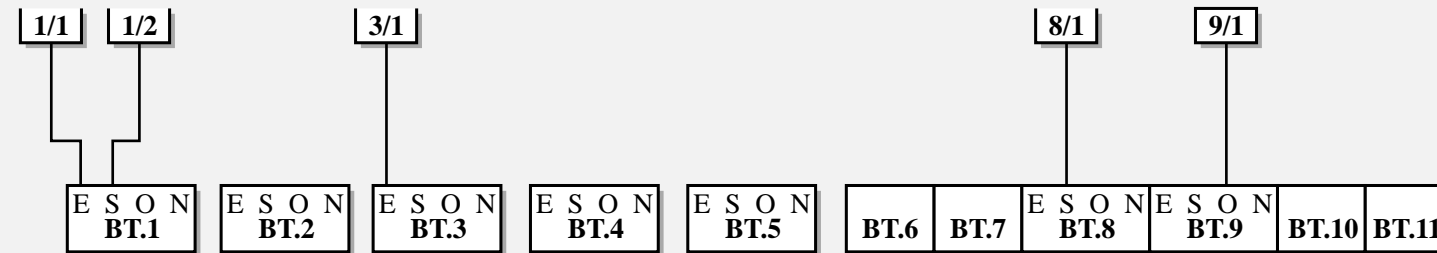


Fig. I-3-1-2.43 : Diagramme stratigraphique de la première enceinte de Banteay Thom

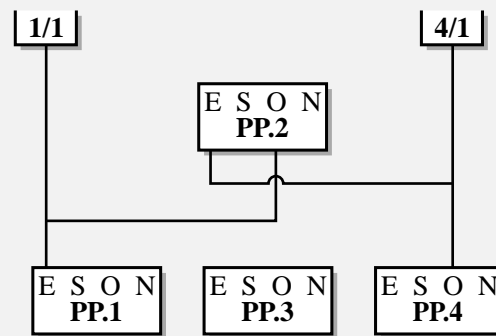


Fig. I-3-1-2.44 : Diagramme stratigraphique de la première enceinte de Prasat Prei

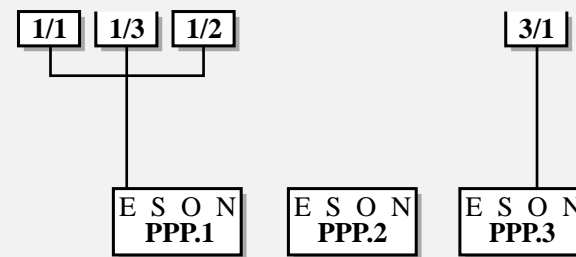


Fig. I-3-1-2.45 : Diagramme stratigraphique de la première enceinte de Prasat Prei Prasat

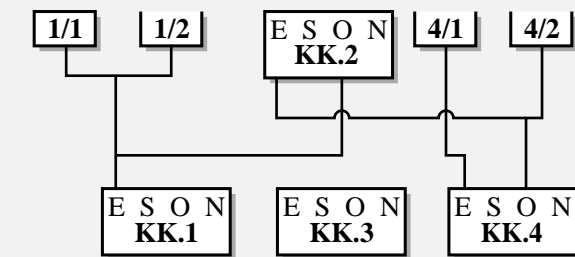


Fig. I-3-1-2.46 : Diagramme stratigraphique de la première enceinte de Krol Kô

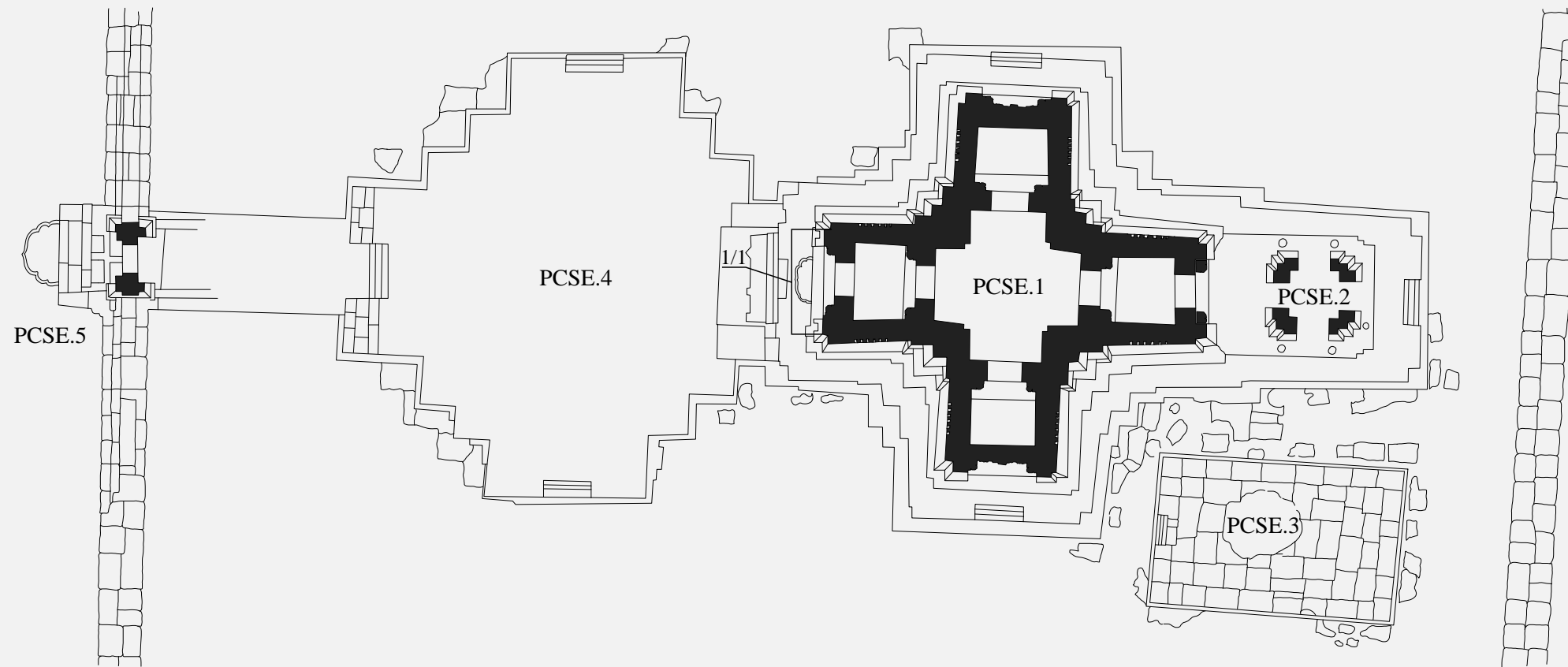


Fig. I-3-1-2.47 : Index des unités stratigraphiques construites du Prasat Chrung Sud-Est

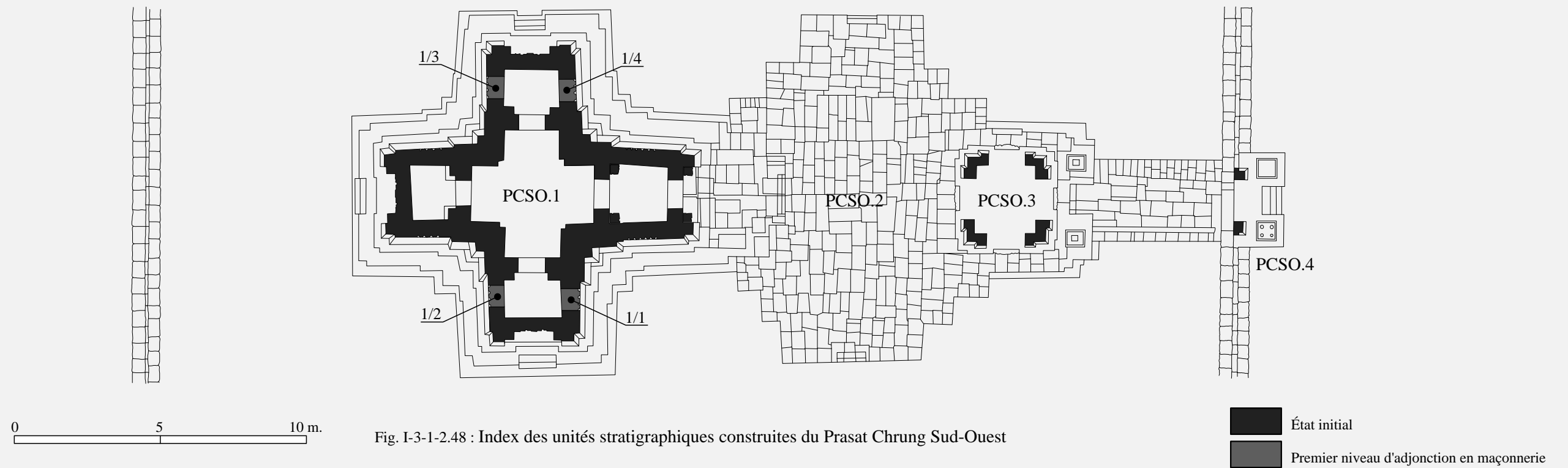


Fig. I-3-1-2.48 : Index des unités stratigraphiques construites du Prasat Chrung Sud-Ouest

Porte des Morts d'Angkor Thom

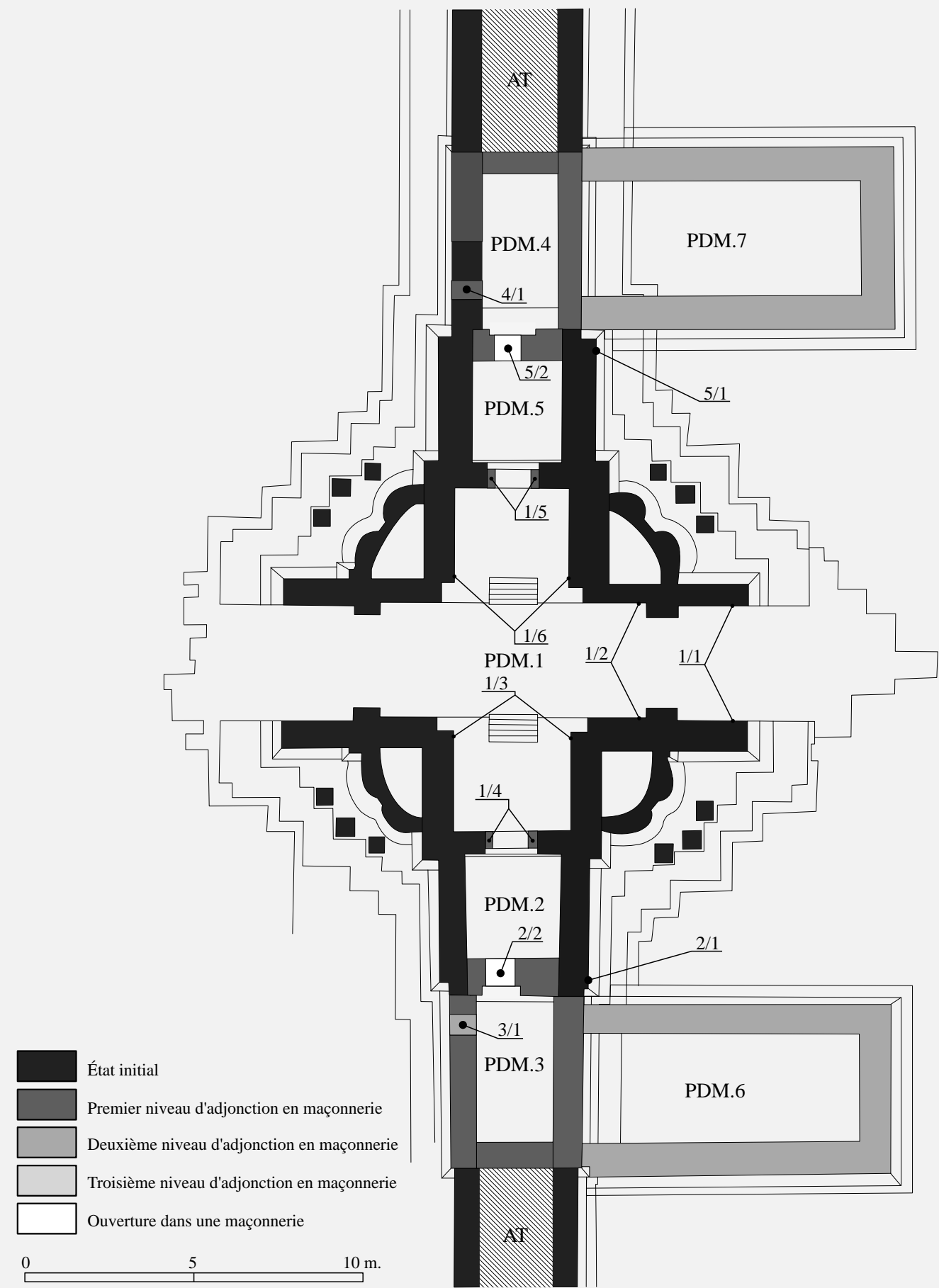


Fig. I-3-1-2.49 : Index des unités stratigraphiques construites de la porte des Morts d'Angkor Thom

Prasat Chrung et porte des Morts d'Angkor Thom

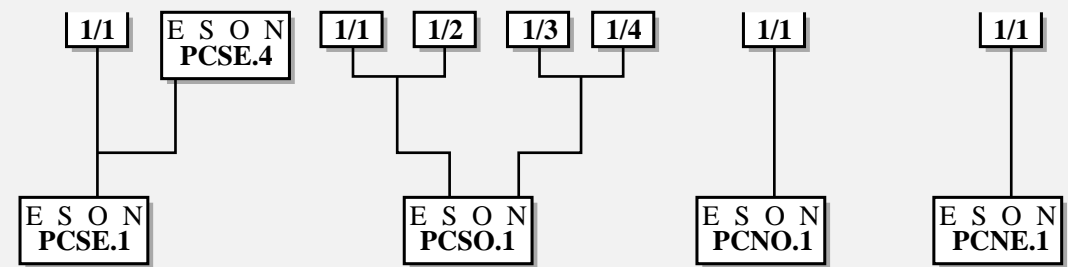


Fig. I-3-1-2.50 : Diagramme stratigraphique des Prasat Chrung Sud-Est, Sud-Ouest, Nord-Ouest et Nord-Est

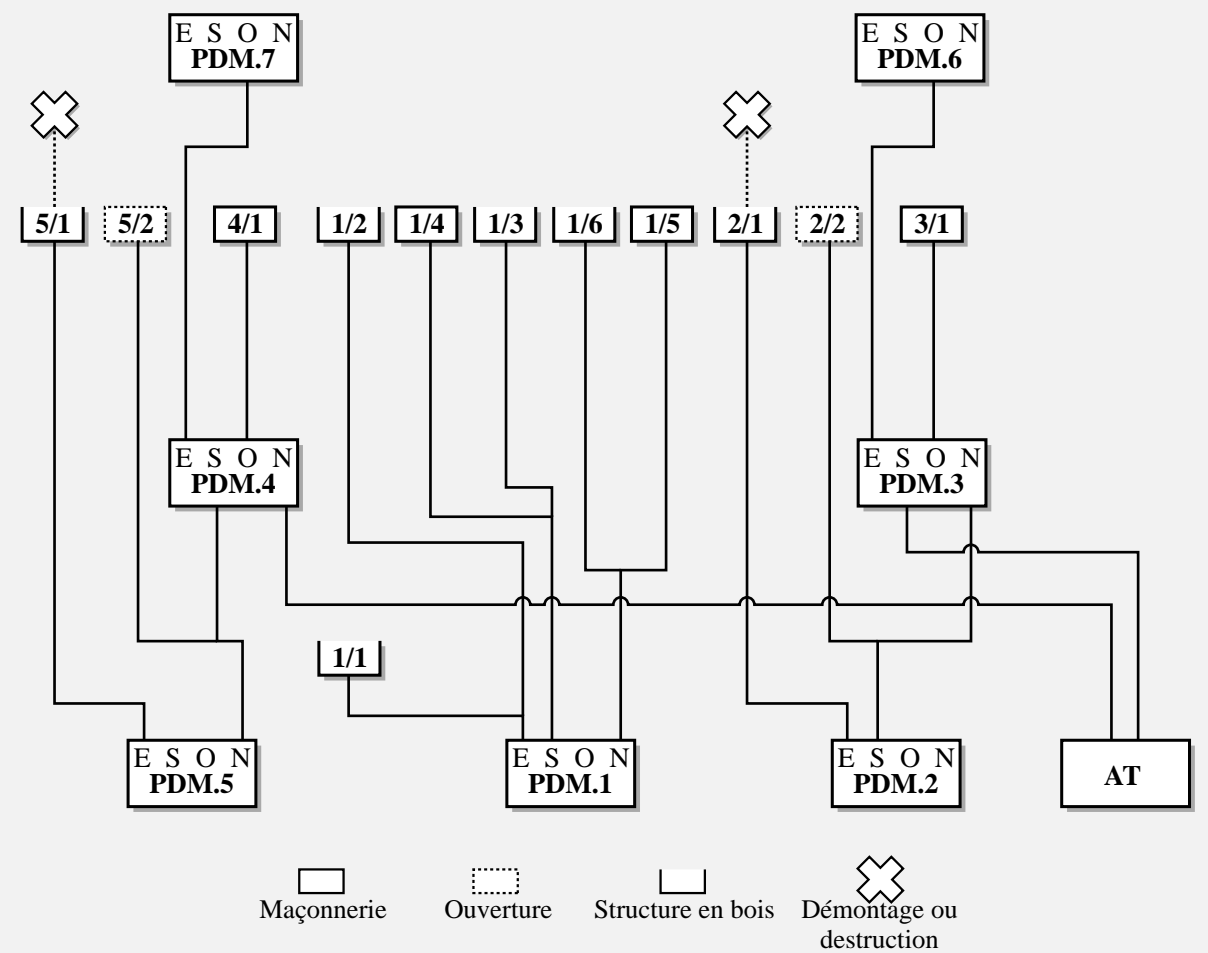


Fig. I-3-1-2.51 : Diagramme stratigraphique de la porte des Morts d'Angkor Thom

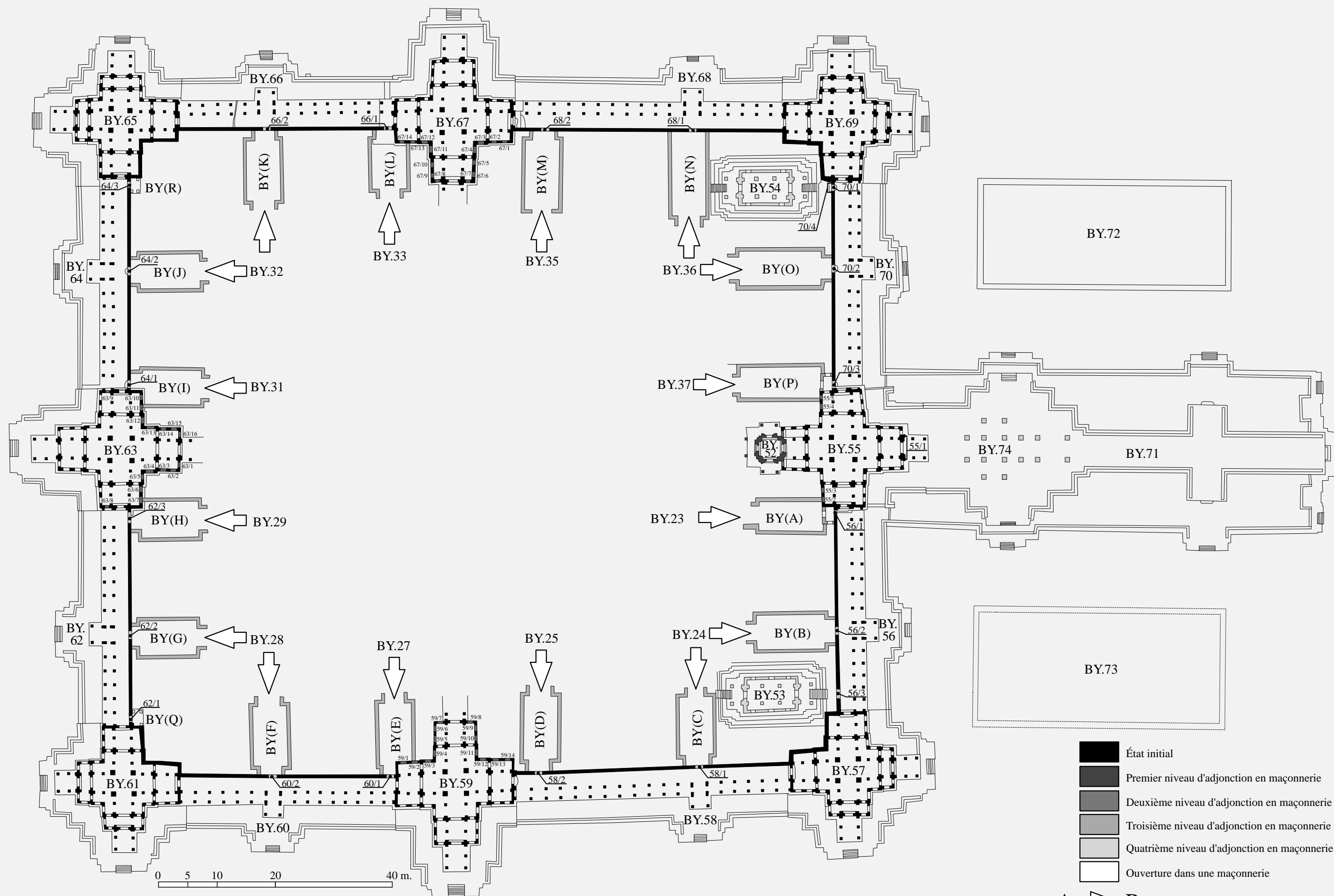


Fig. I-3-1-2.52 : Index des unités stratigraphiques construites du premier étage du Bayon

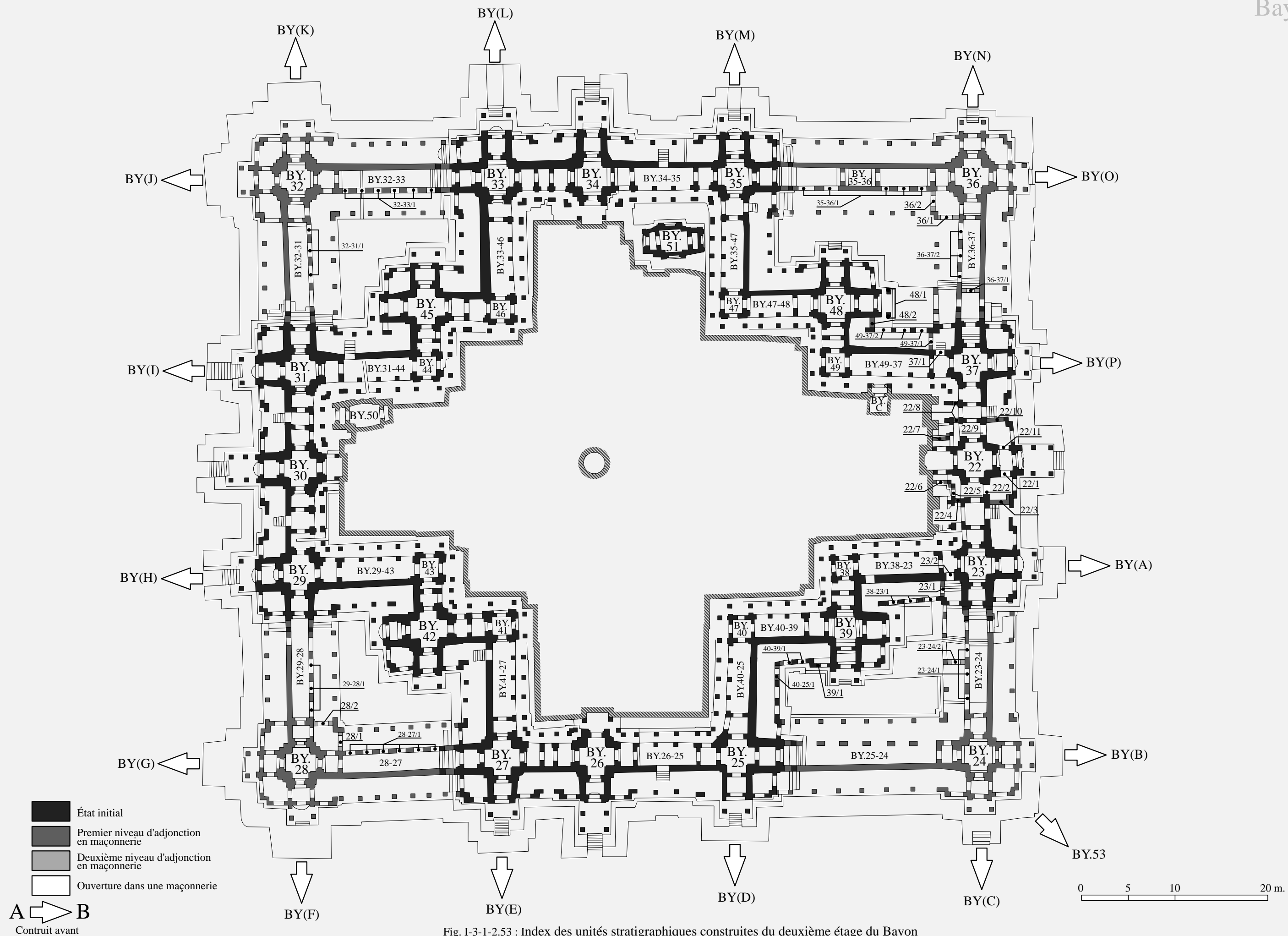


Fig. I-3-1-2.53 : Index des unités stratigraphiques construites du deuxième étage du Bayon

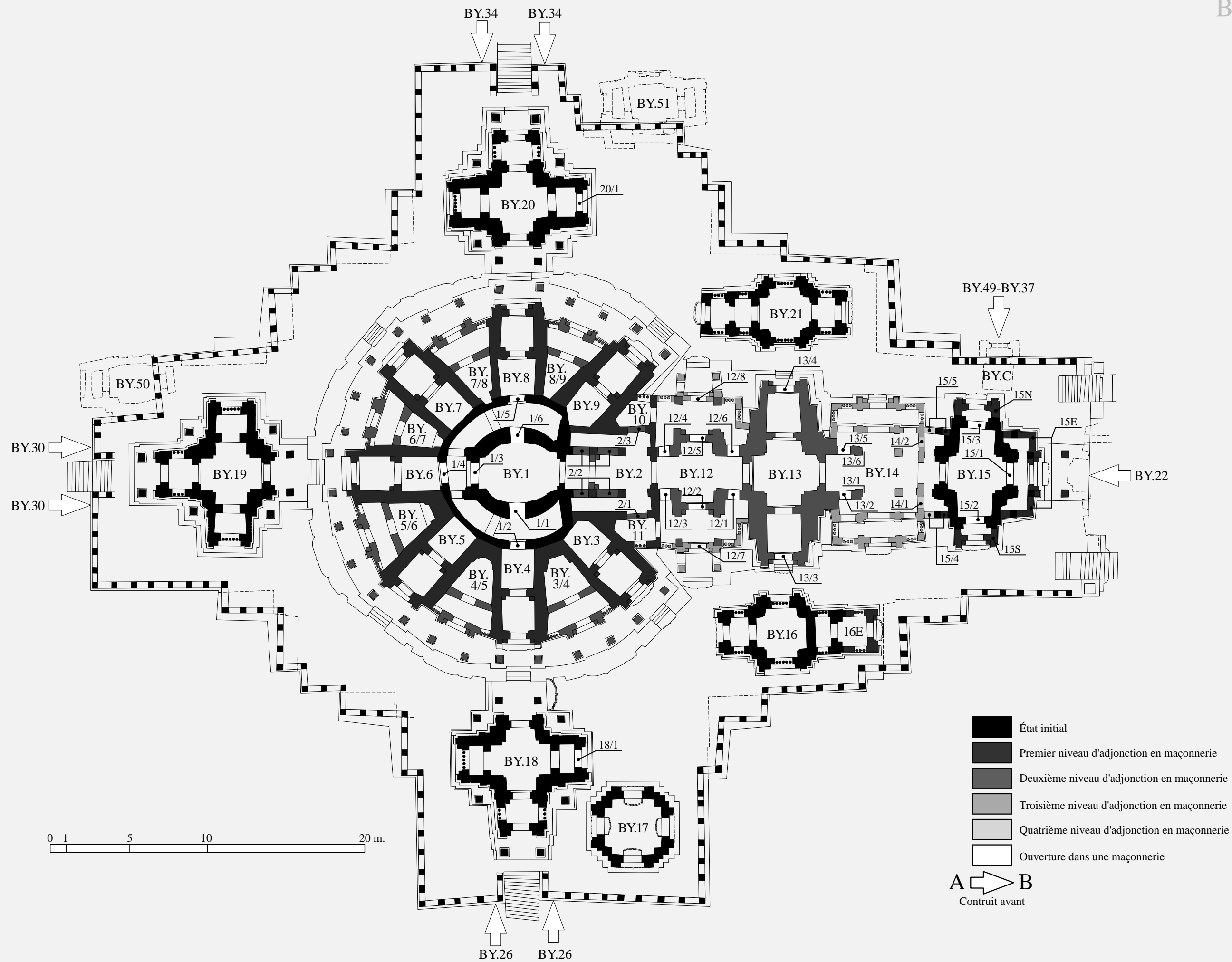


Fig. I-3-1-2.55 : Index des unités stratigraphiques construites du troisième étage du Bayon

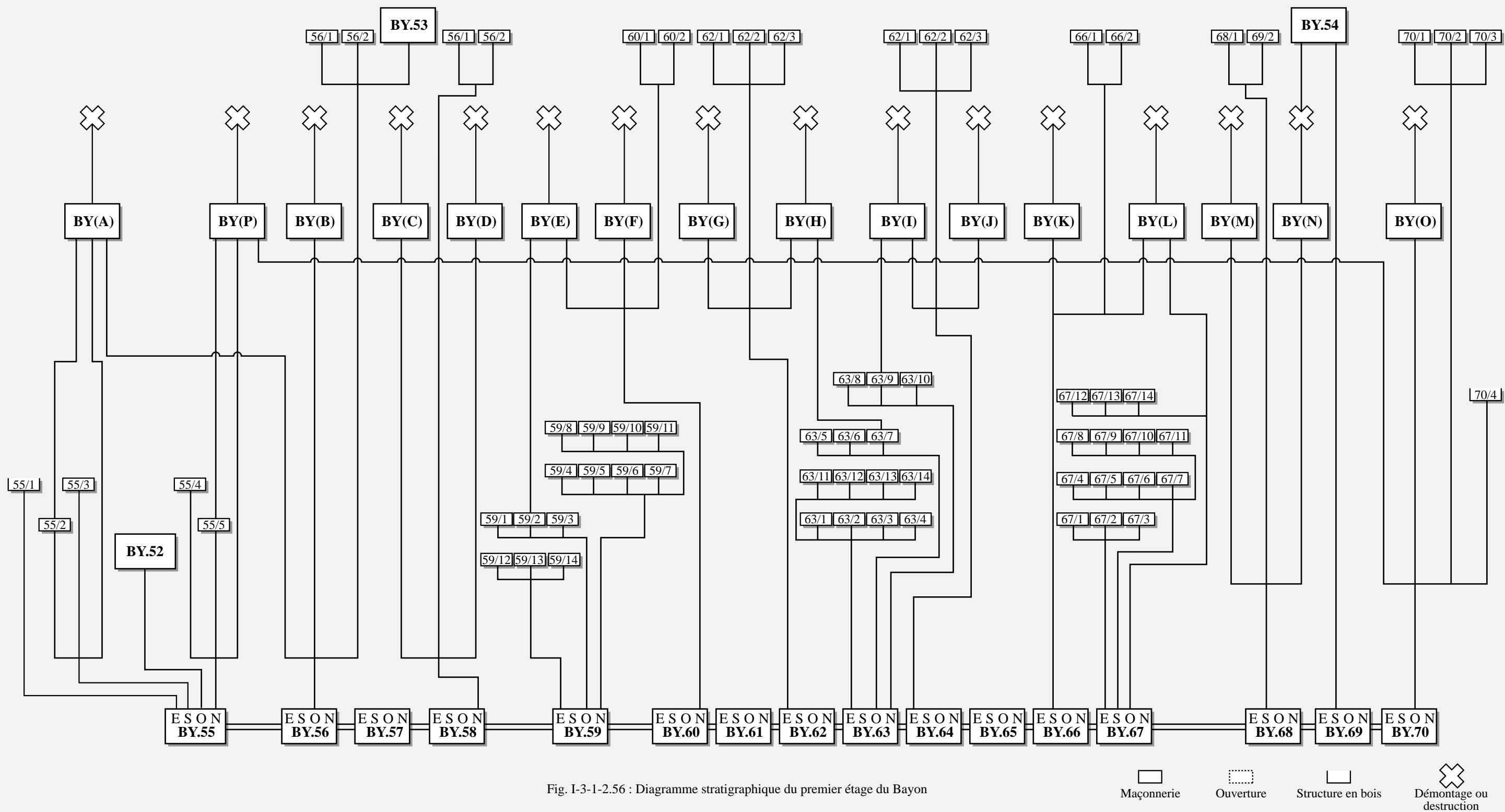


Fig. I-3-1-2.56 : Diagramme stratigraphique du premier étage du Bayon

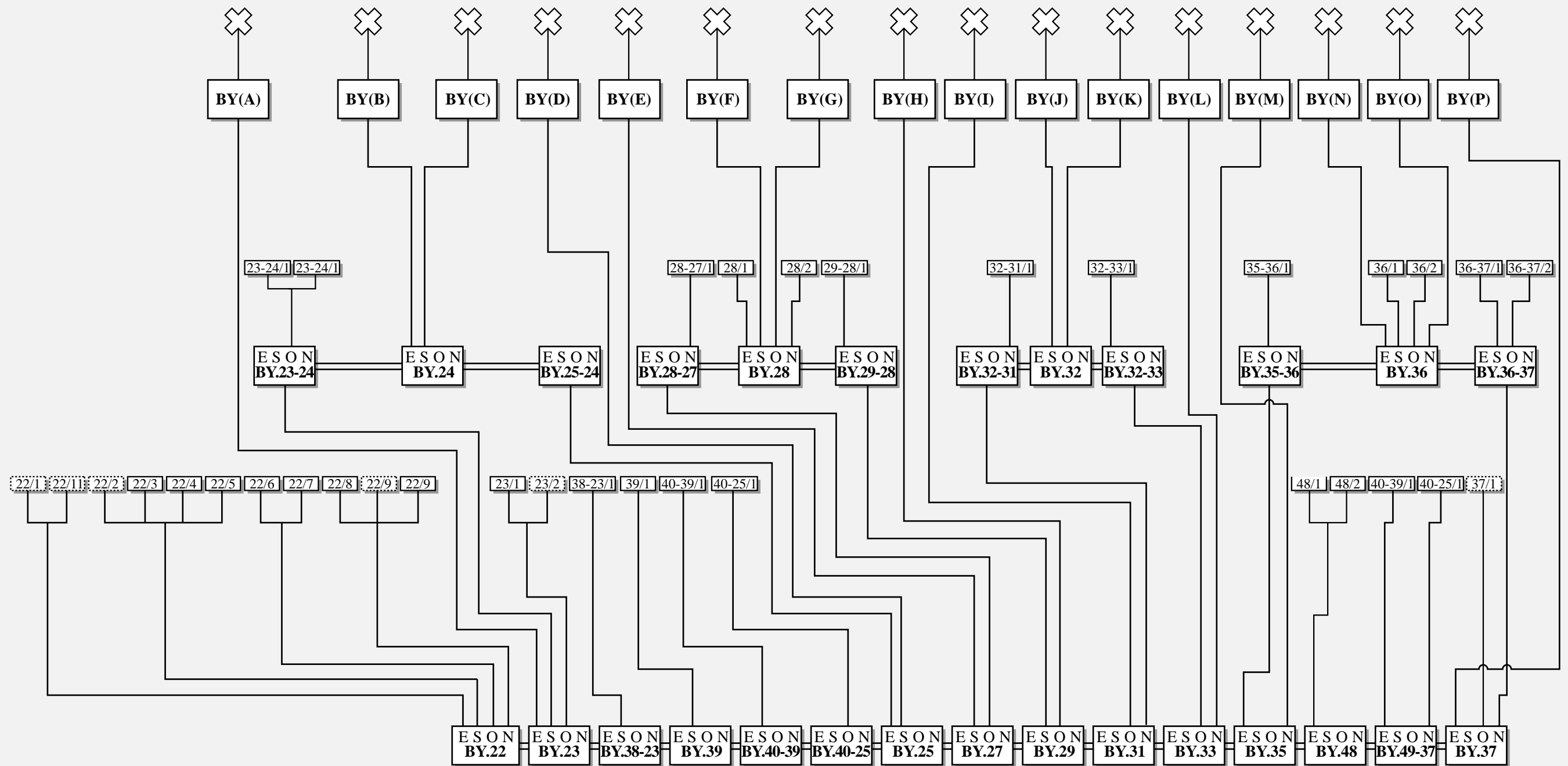
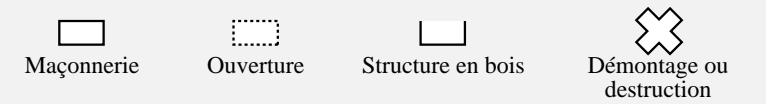


Fig. I-3-1-2.57 : Diagramme stratigraphique du seconde étage du Bayon



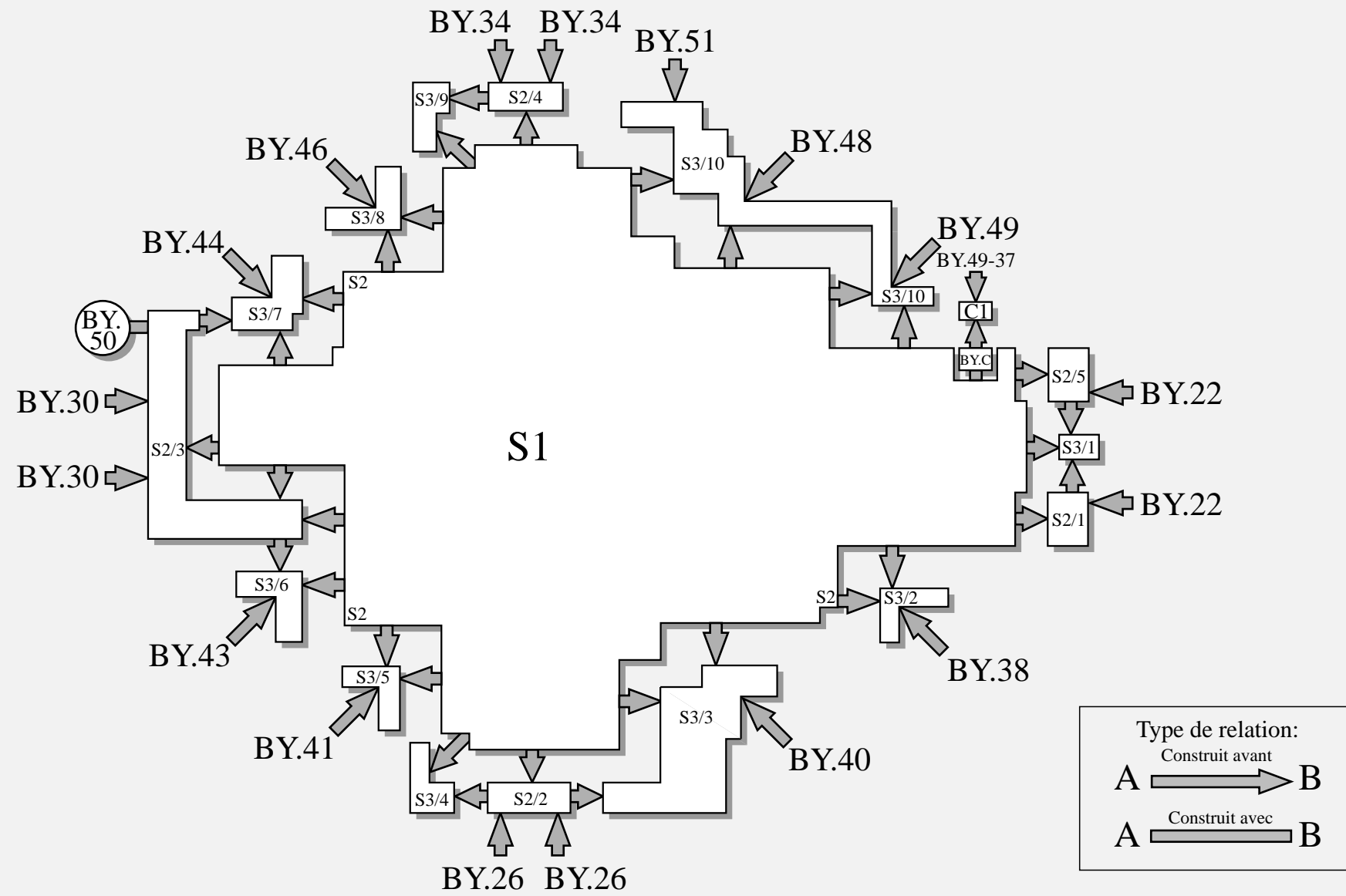


Fig. I-3-1-2.58 : Diagramme des relations structurelles du sous-bassement du troisième étage du Bayon

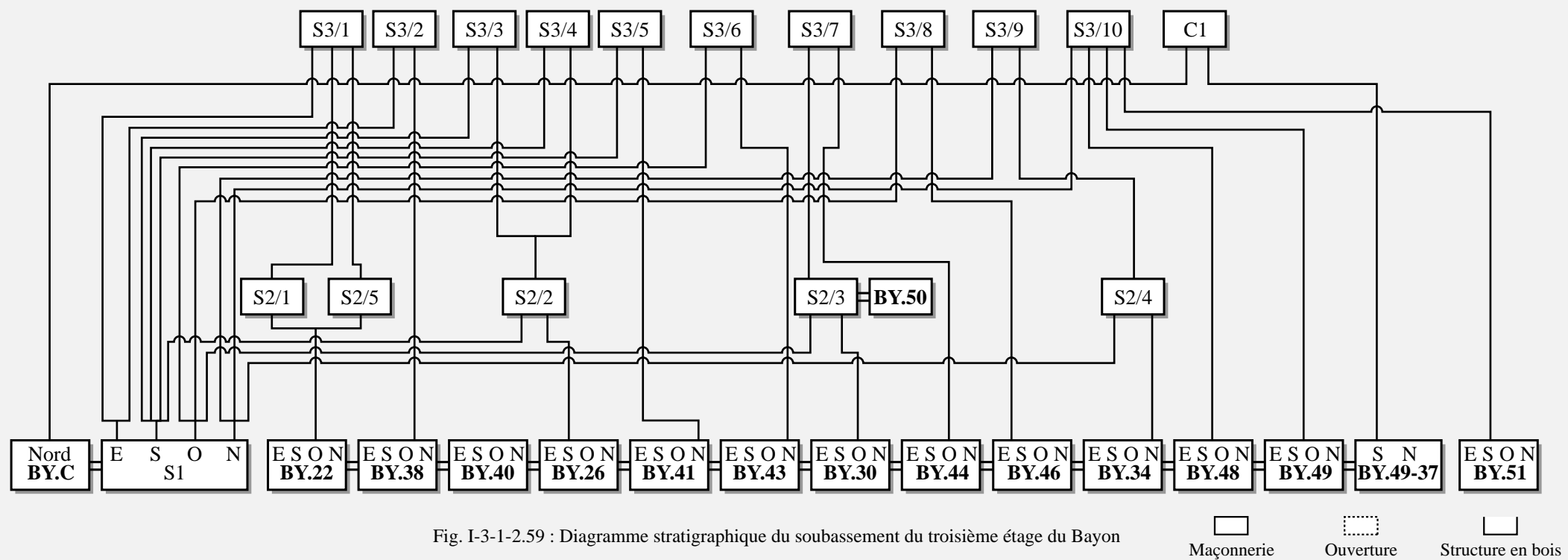


Fig. I-3-1-2.59 : Diagramme stratigraphique du sous-bassement du troisième étage du Bayon

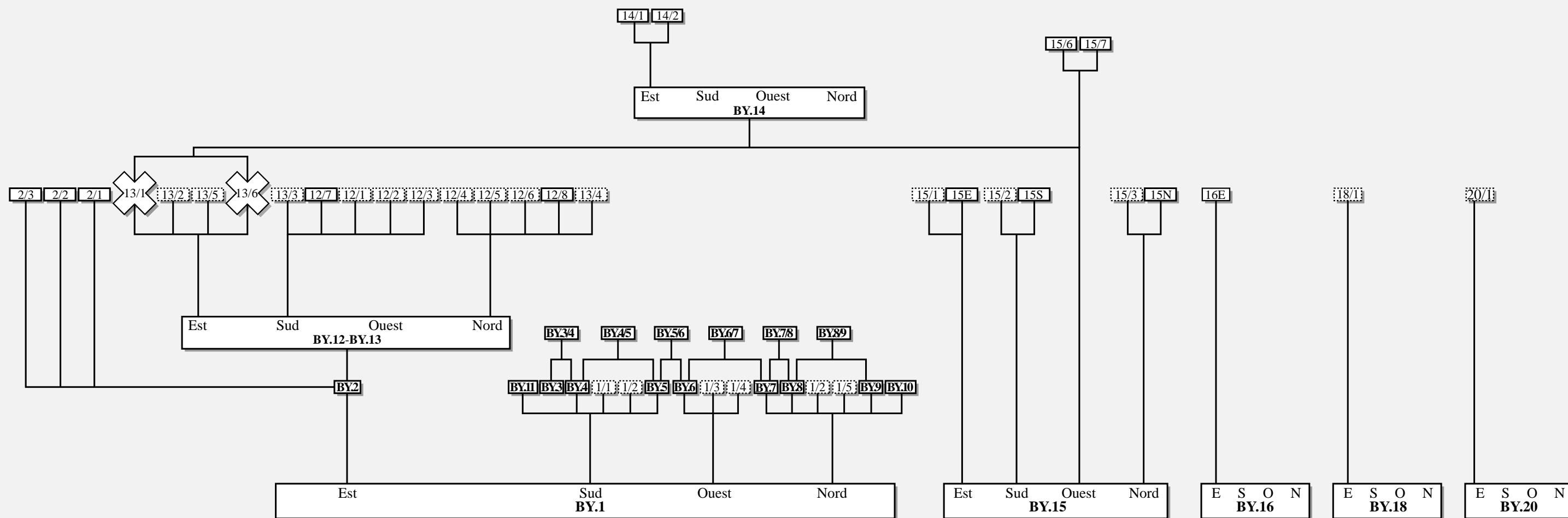
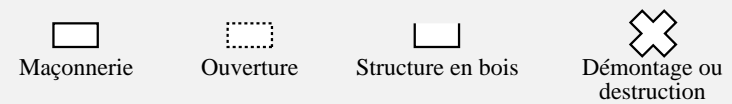


Fig. I-3-1-2.60 : Diagramme stratigraphique du massif central du Bayon

Fig. I-3-1-2.61 : Diagrammes stratigraphiques des tours **BY.16**, **BY.18** et **BY.20** du Bayon



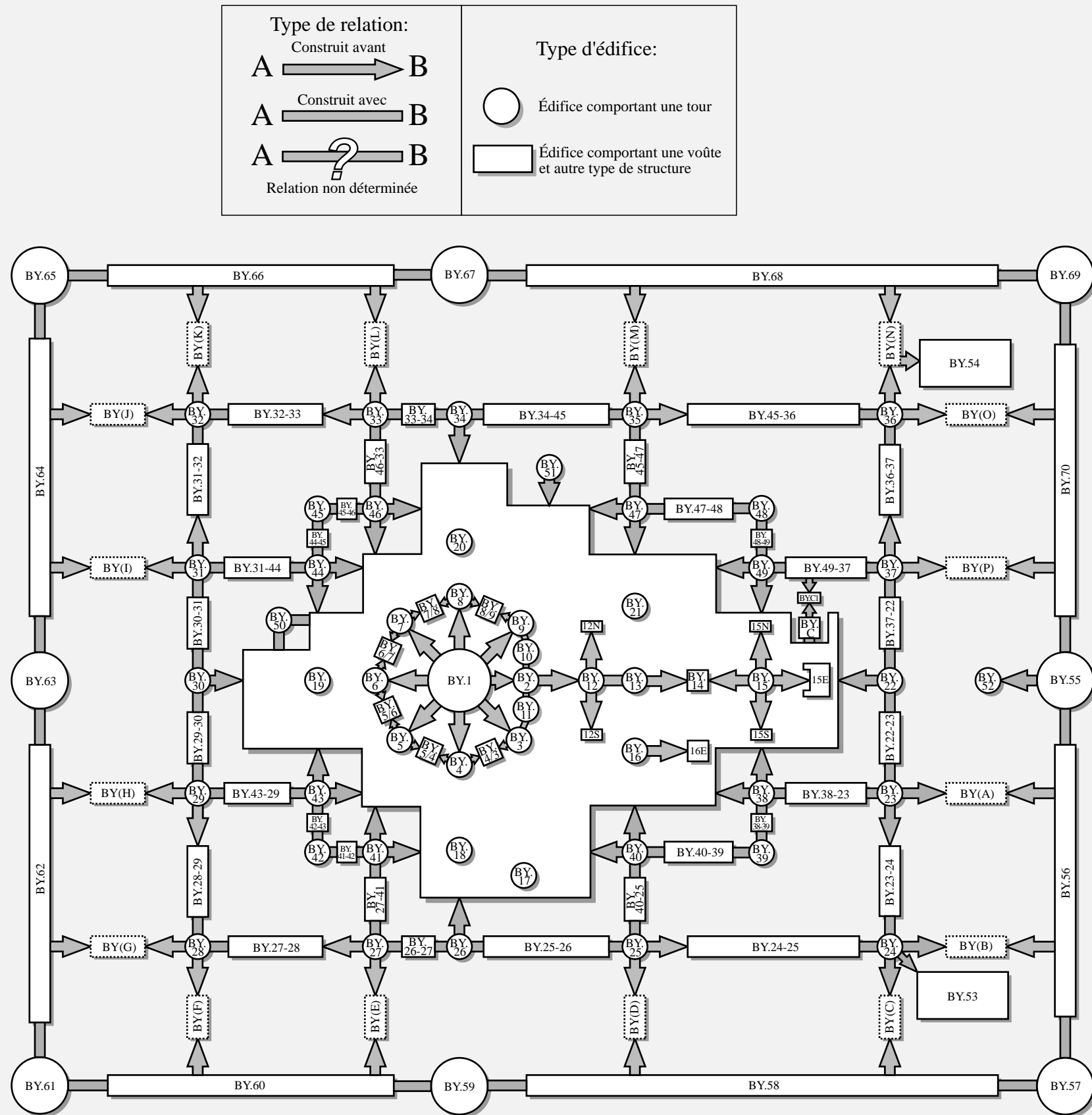


Fig. I-3-1-2.62 : Diagramme des relations structurelles du Bayon

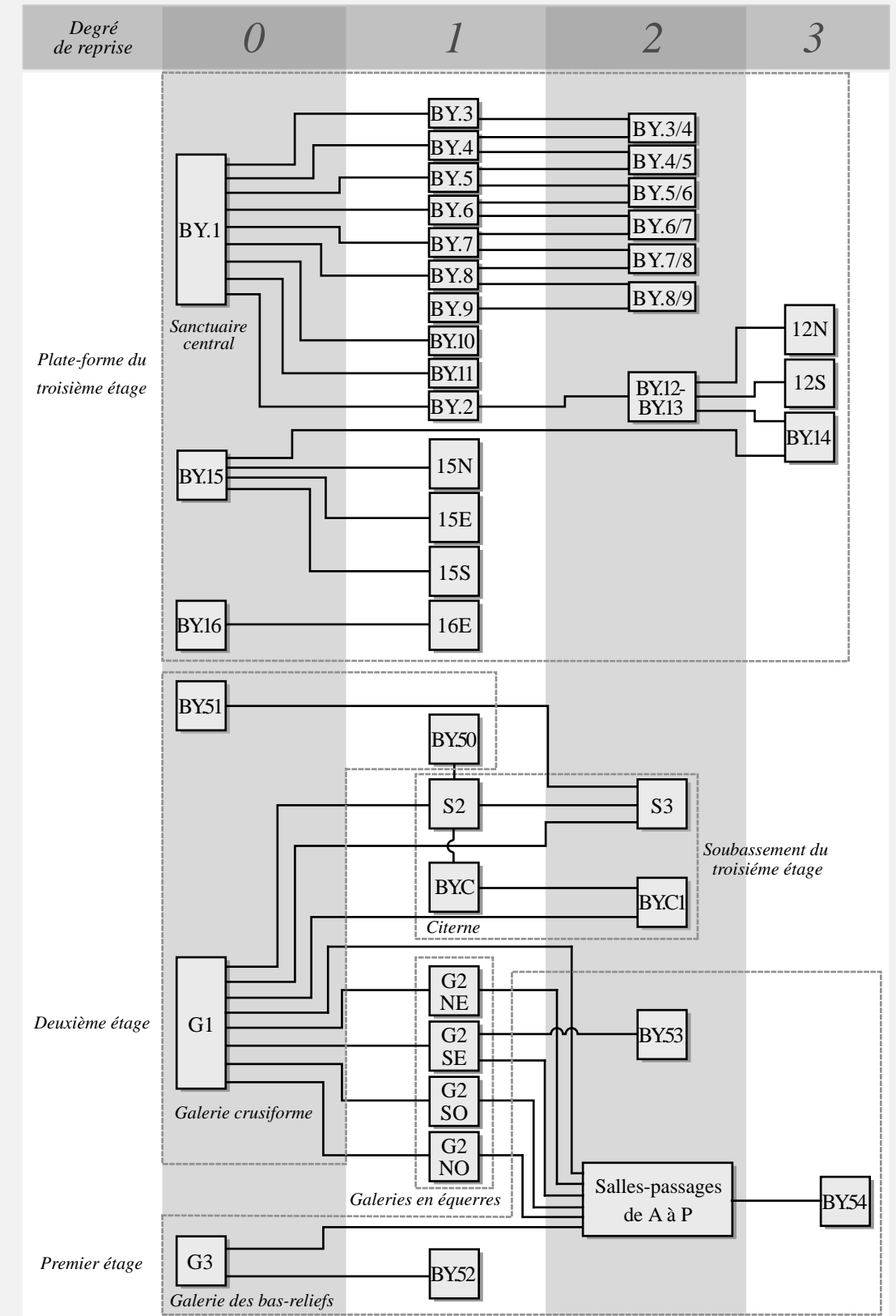


Fig. I-3-1-2.63 : Séquences des reprises du Bayon

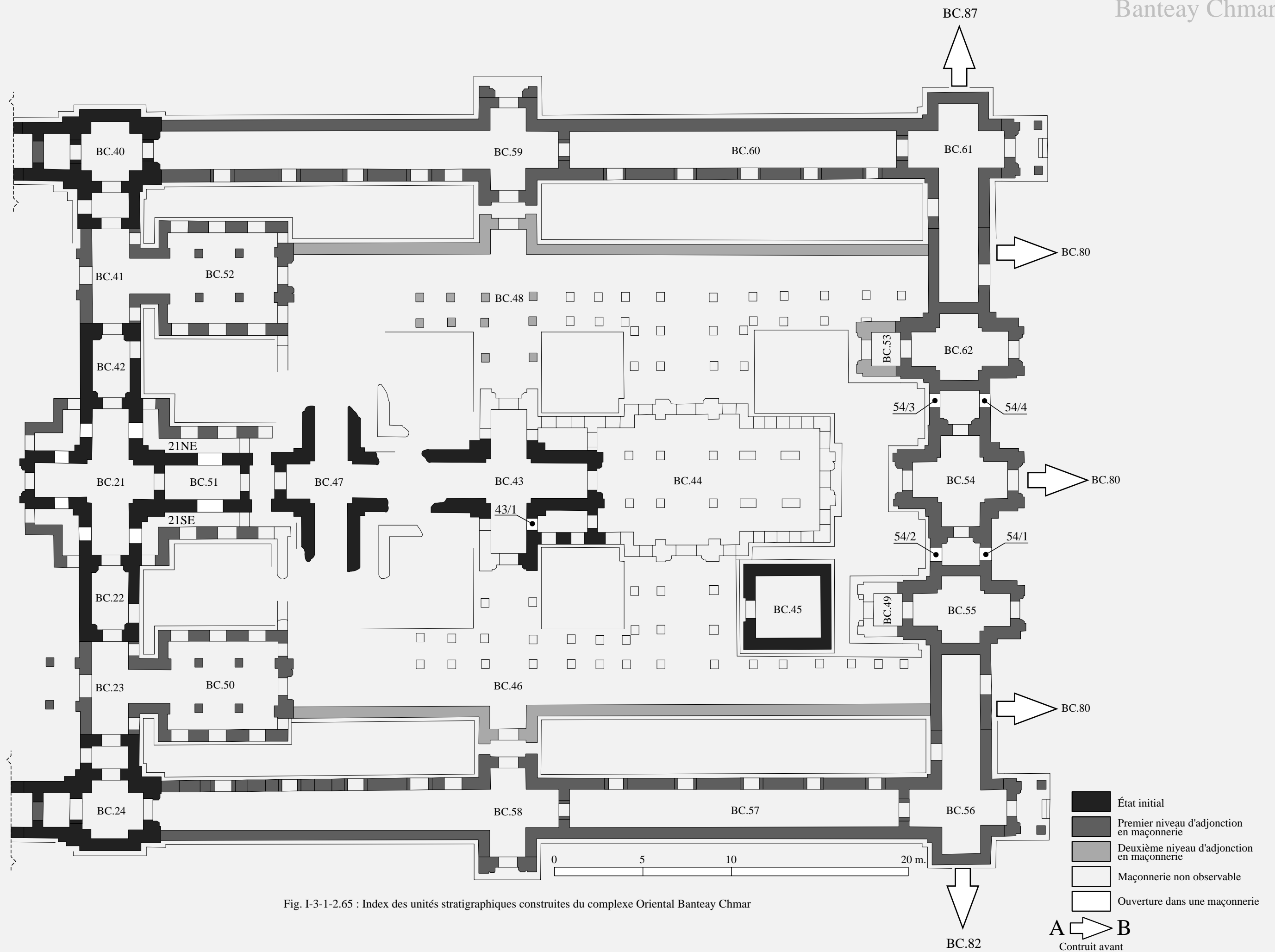


Fig. I-3-1-2.65 : Index des unités stratigraphiques construites du complexe Oriental Banteay Chmar

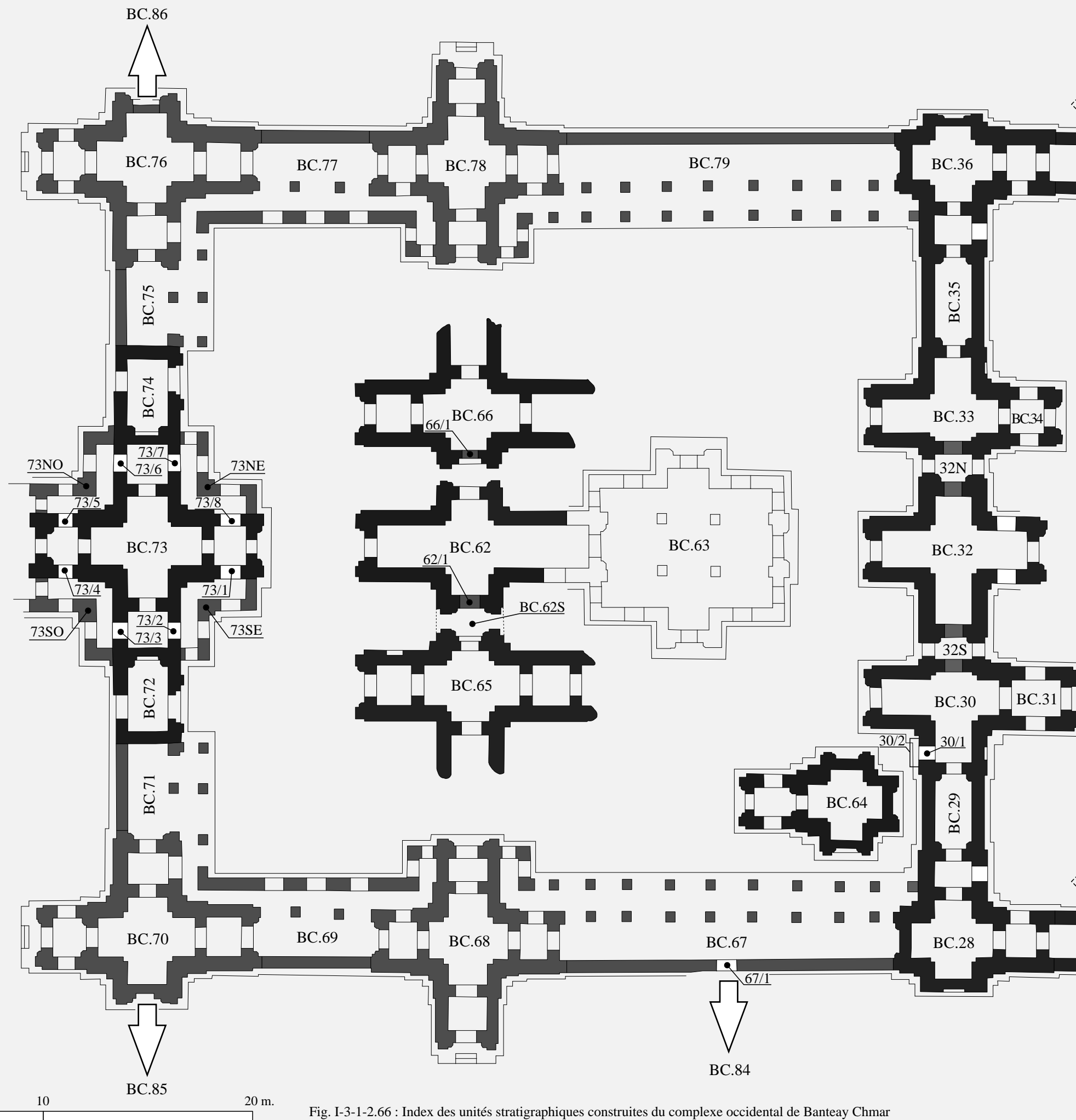


Fig. I-3-1-2.66 : Index des unités stratigraphiques construites du complexe occidental de Banteay Chmar

- État initial
 - Premier niveau d'adjonction en maçonnerie
 - Deuxième niveau d'adjonction en maçonnerie
 - Maçonnerie non observable
 - Ouverture dans une maçonnerie
- A ➤ B
Construit avant

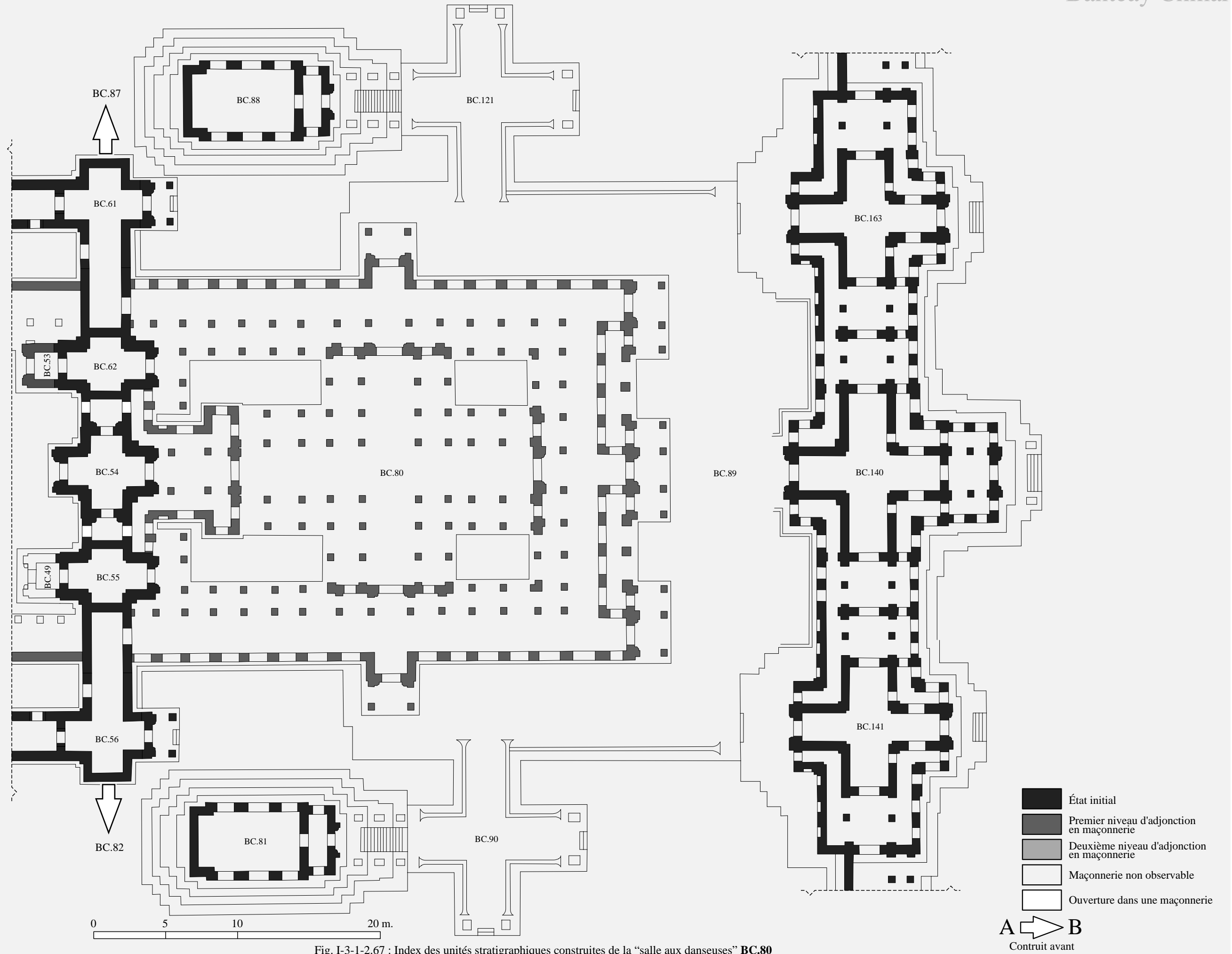


Fig. I-3-1-2.67 : Index des unités stratigraphiques construites de la "salle aux danseuses" BC.80

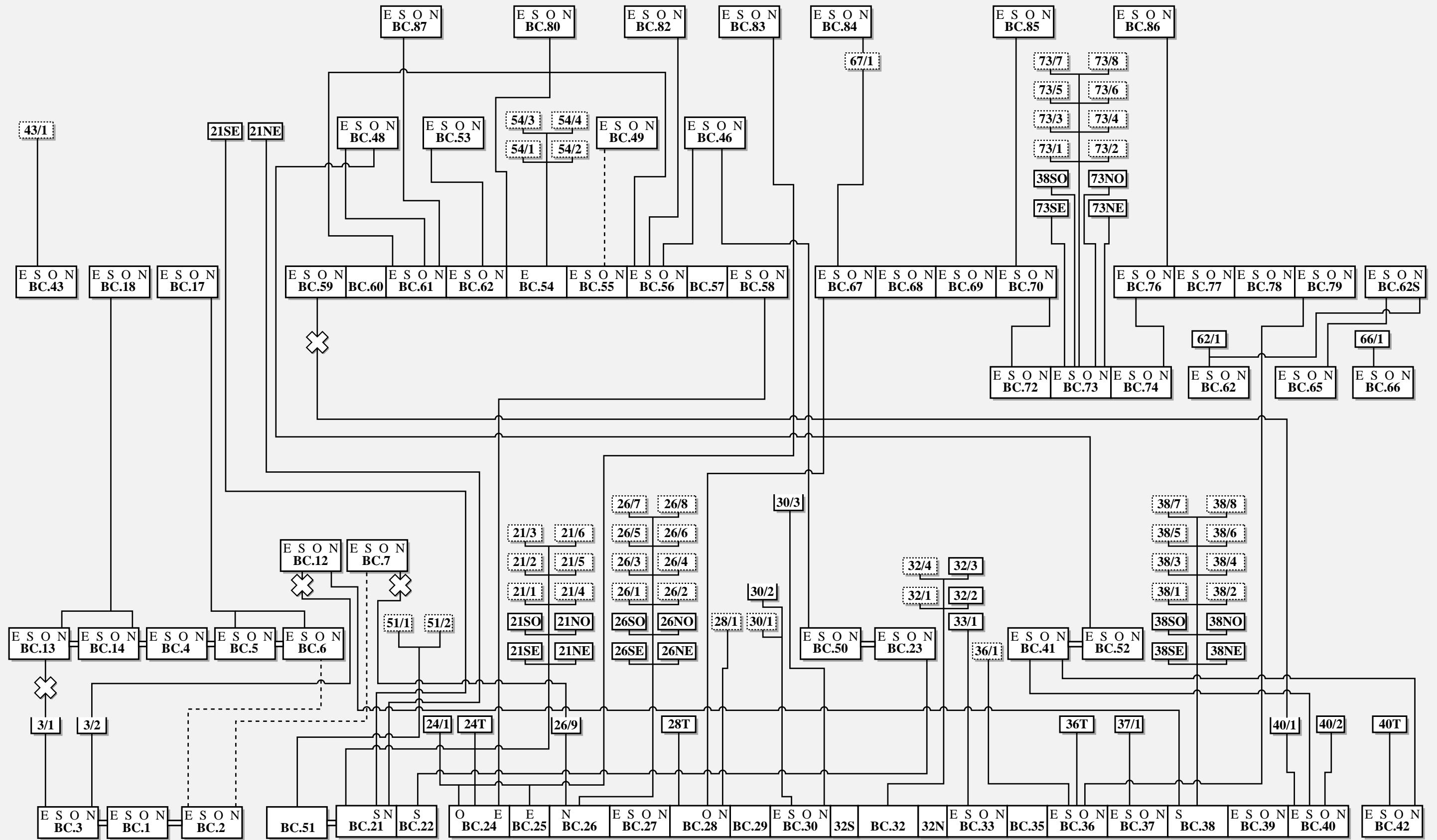
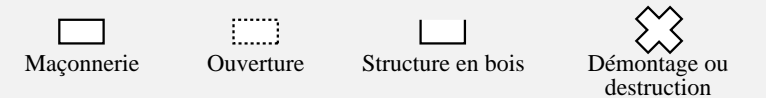


Fig. I-3-1-2.68 : Diagrammes stratigraphiques de la première enceinte et du complexe oriental et occidental de Banteay Chmar



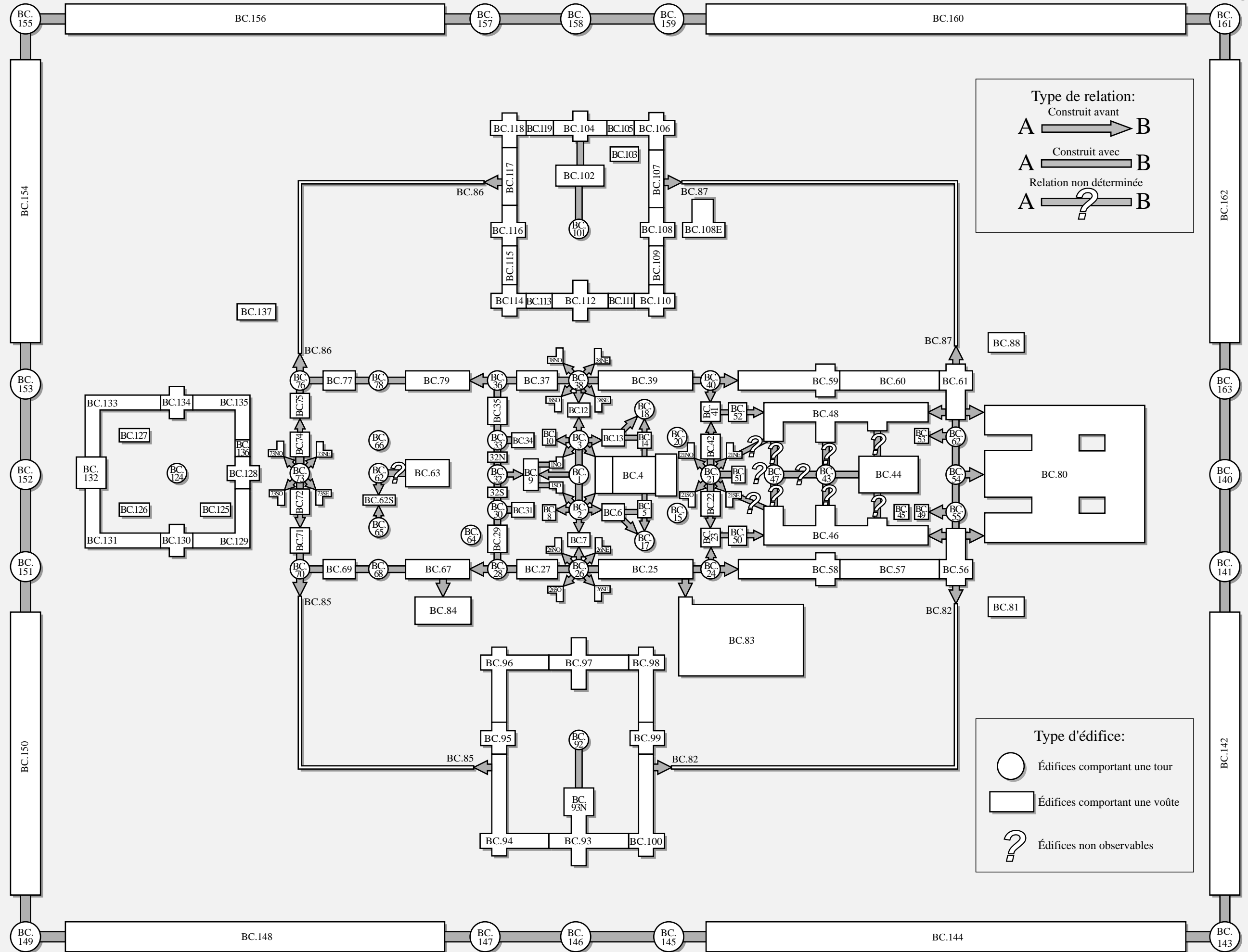


Fig. I-3-1-2.69 : Diagramme des relations structurelles dans la troisième enceinte de Banteay Chmar

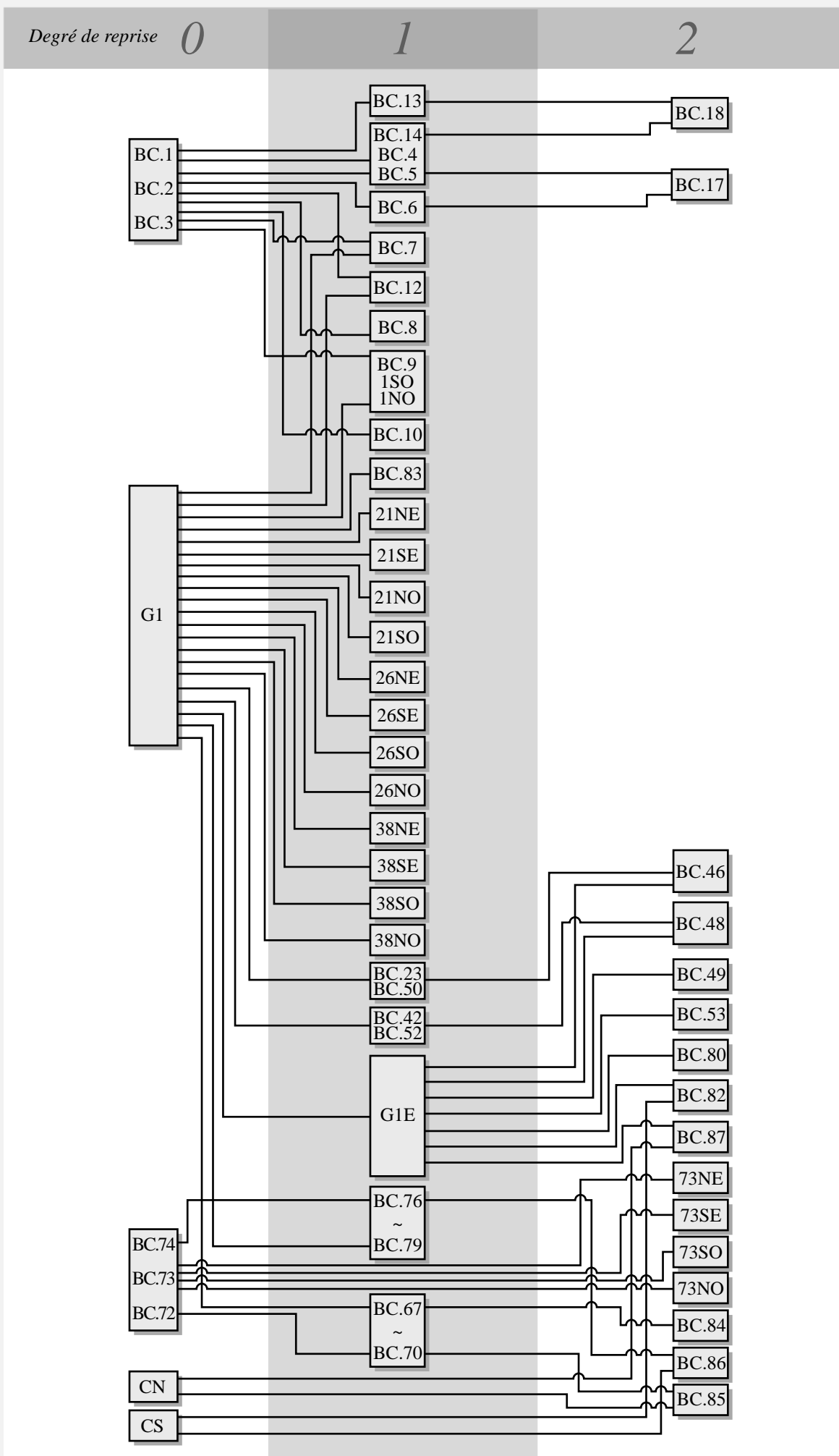


Fig. I-3-1-2.70 : Séquences des reprises de la partie centrale de Banteay Chmar.

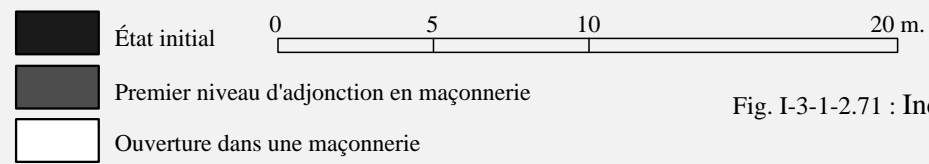
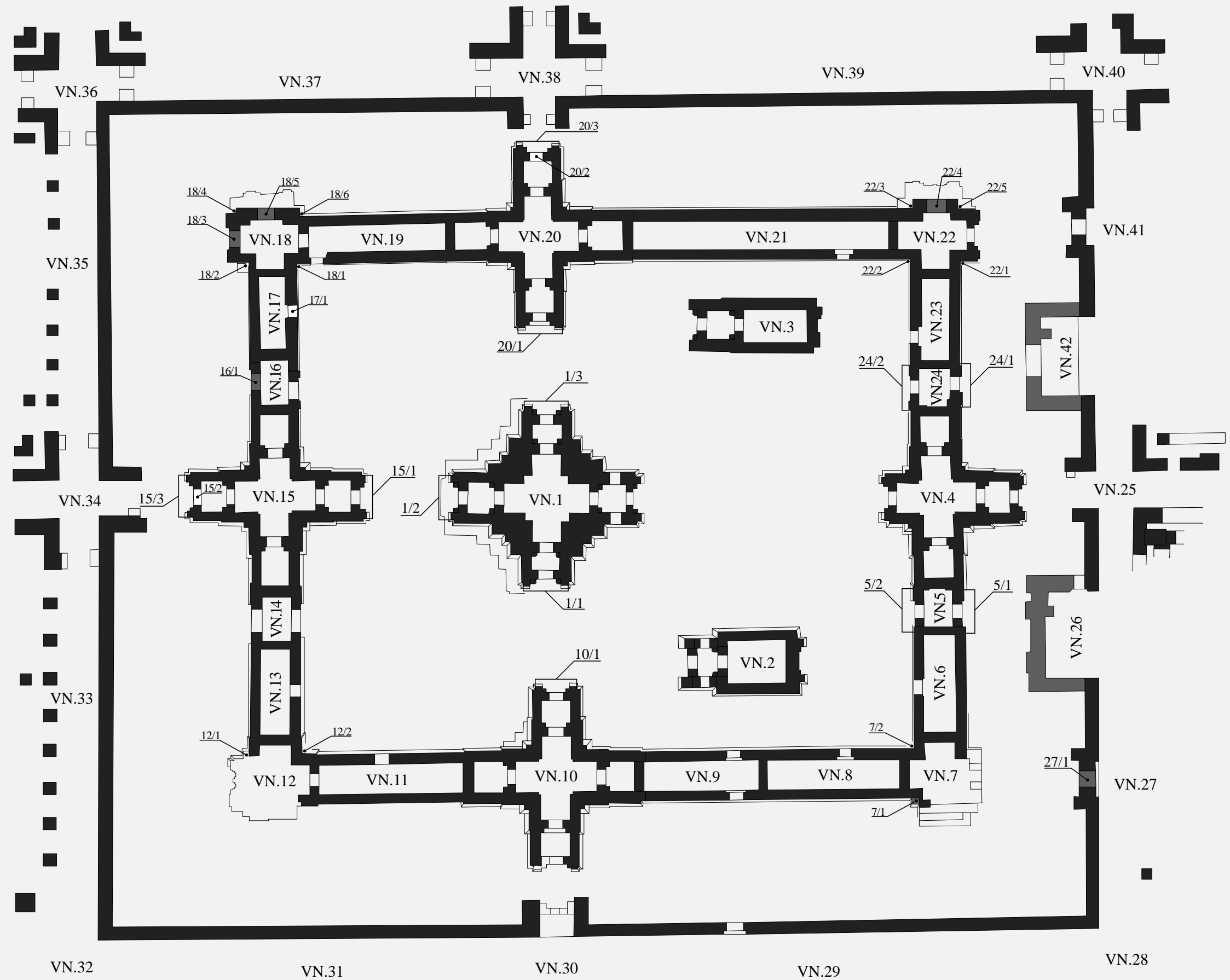


Fig. I-3-1-2.71 : Index des unités stratigraphiques construites des deux premières enceintes de Vat Nokor

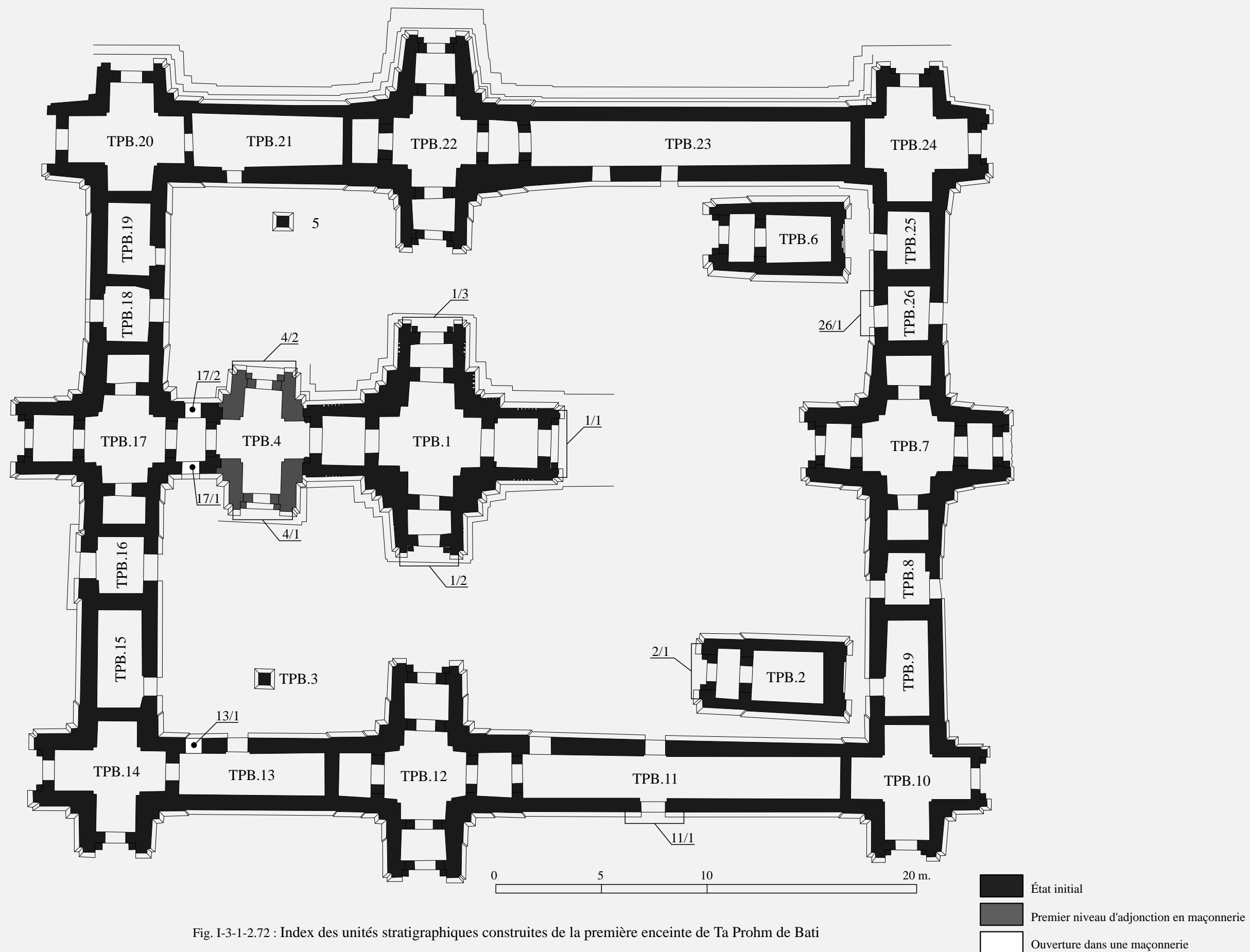


Fig. I-3-1-2.72 : Index des unités stratigraphiques construites de la première enceinte de Ta Prohm de Bati

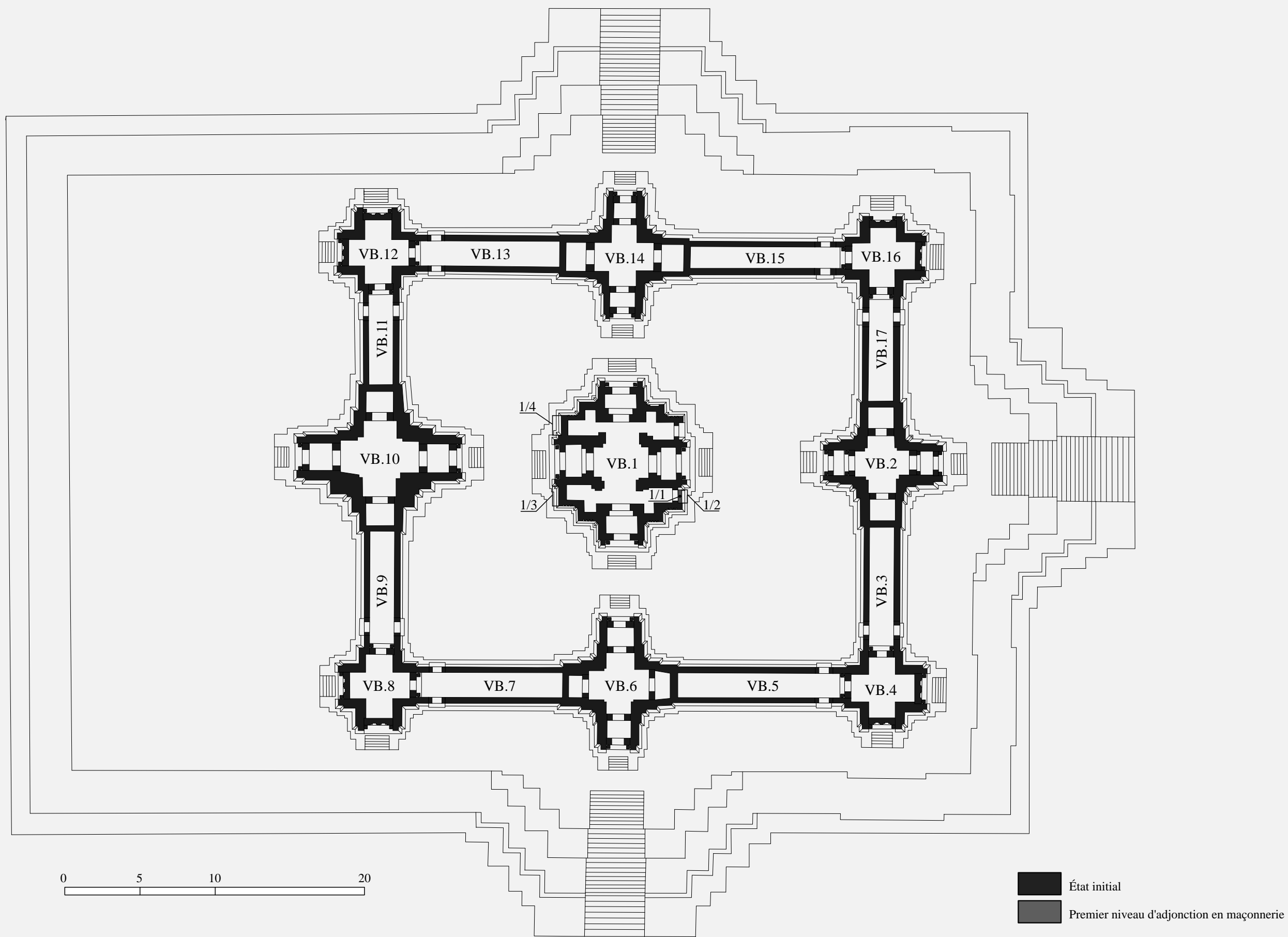


Fig. I-3-1-2.73 : Index des unités stratigraphiques construites de la première enceinte de Vat Banon

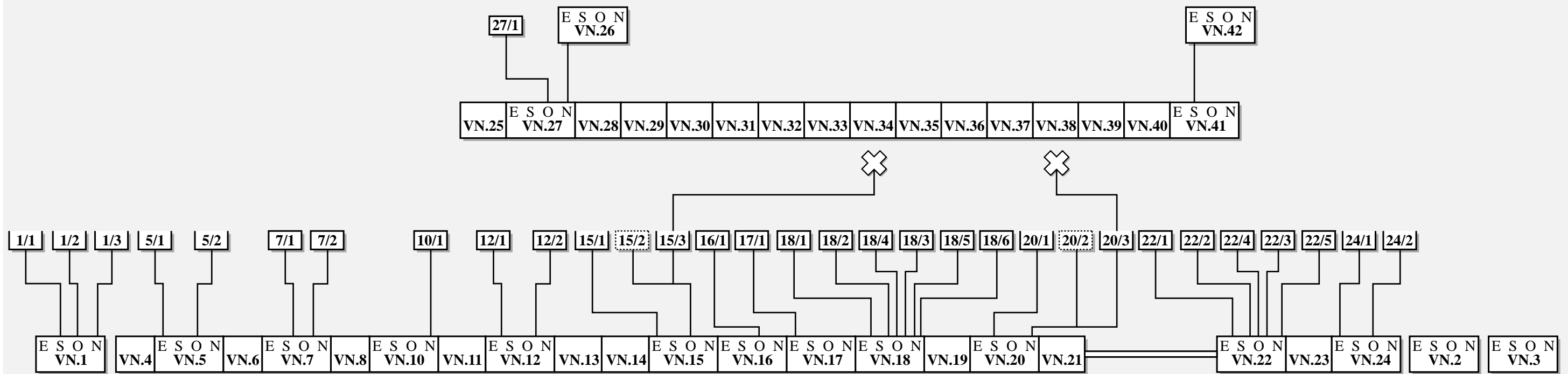


Fig. I-3-1-2.74 : Diagrammes stratigraphiques de la première et la seconde enceintes de Vat Nokor

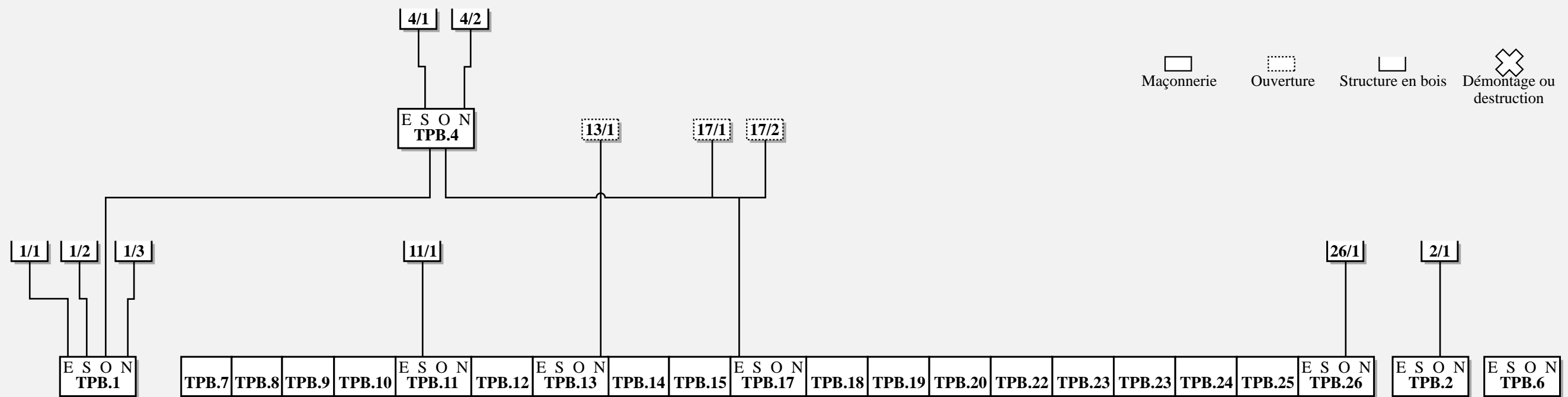


Fig. I-3-1-2.75 : Diagramme stratigraphique de la première enceinte de Ta Prohm de Bati

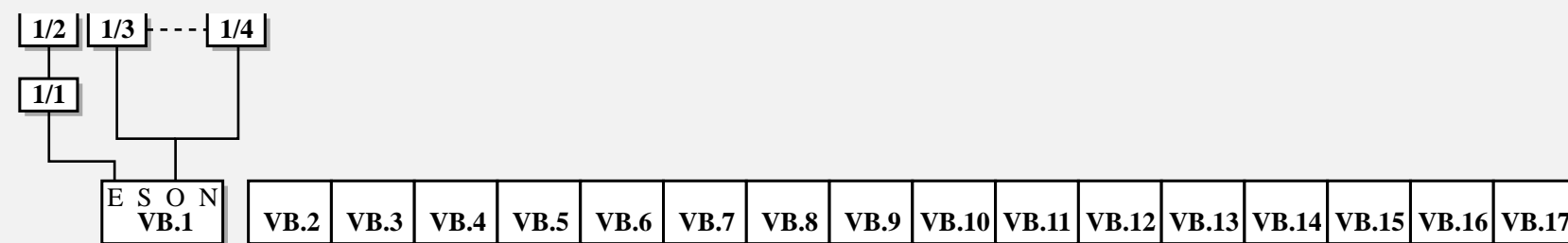


Fig. I-3-1-2.76 : Diagramme stratigraphique de Vat Banon

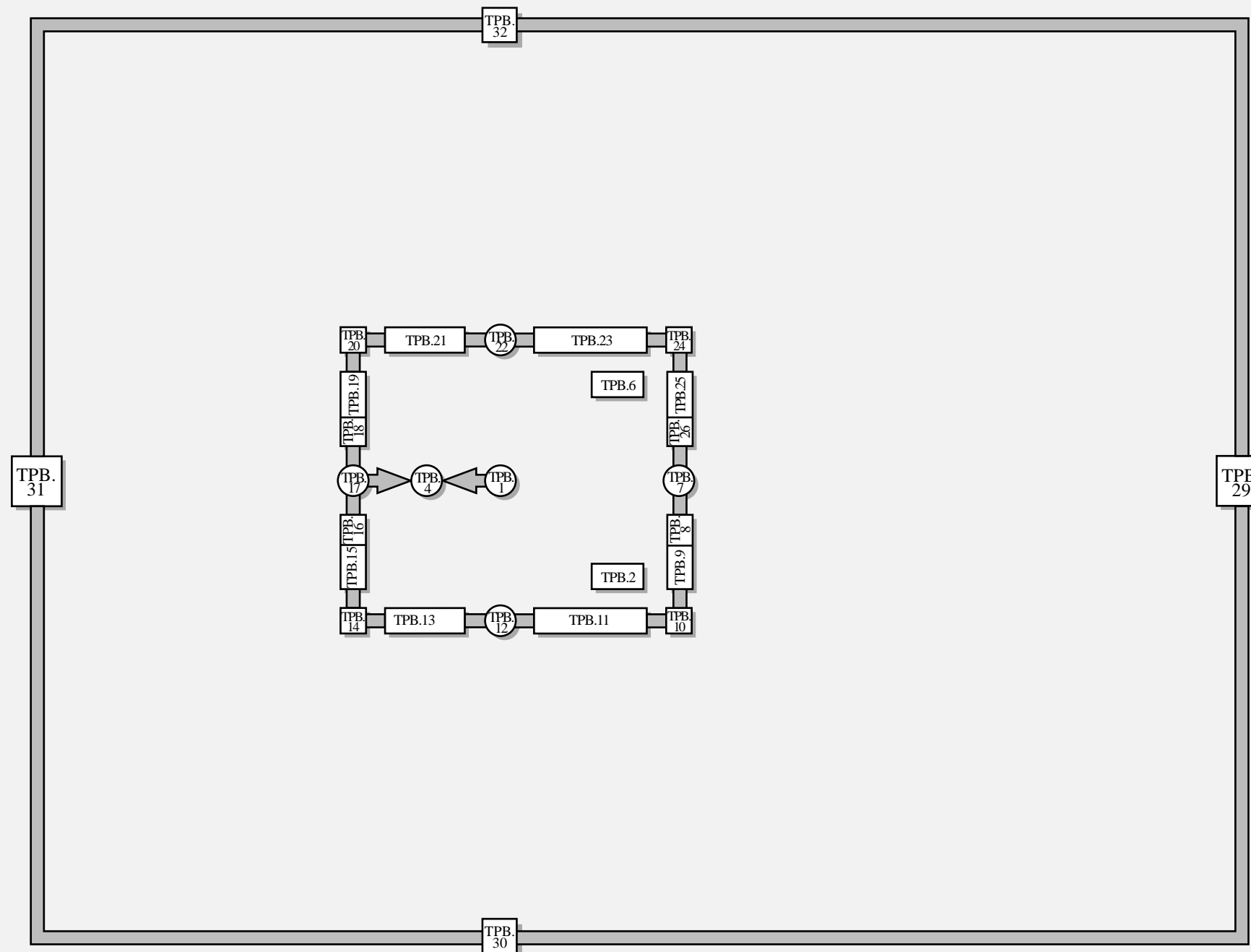
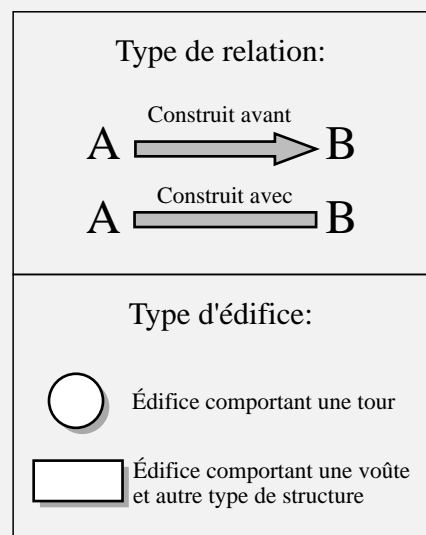


Fig. I-3-1-2.77 : Diagramme des relations structurelles dans la deuxième enceinte de Ta Prohm de Bati

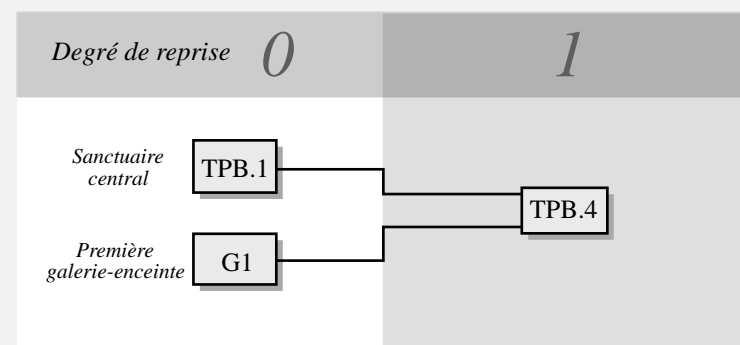


Fig. I-3-1-2.78 : Séquences d'adjonctions de Ta Prohm de Bati

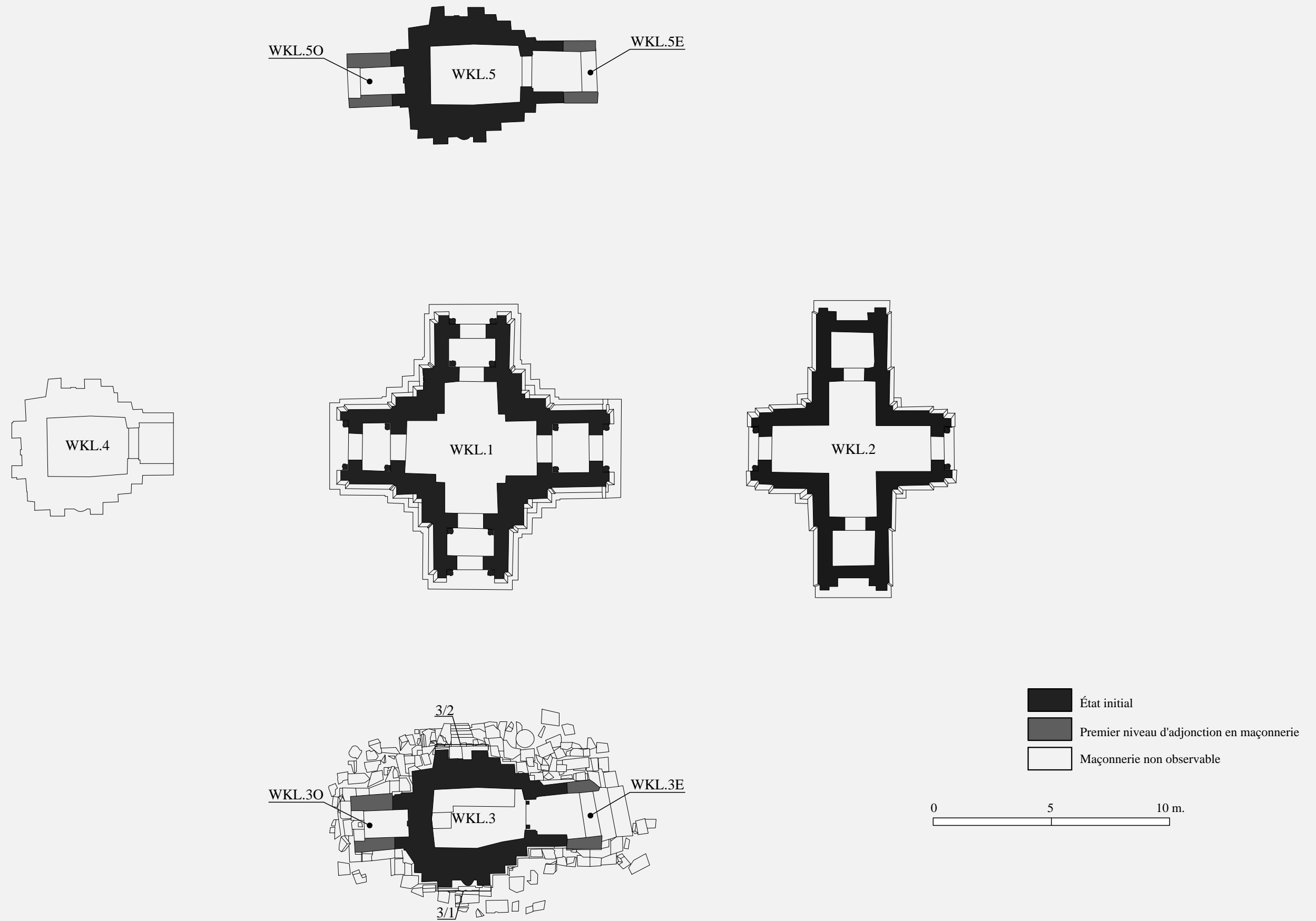


Fig. I-3-1-2.79 : Index des unités stratigraphiques construites du Wat Kamphaeng Laeng

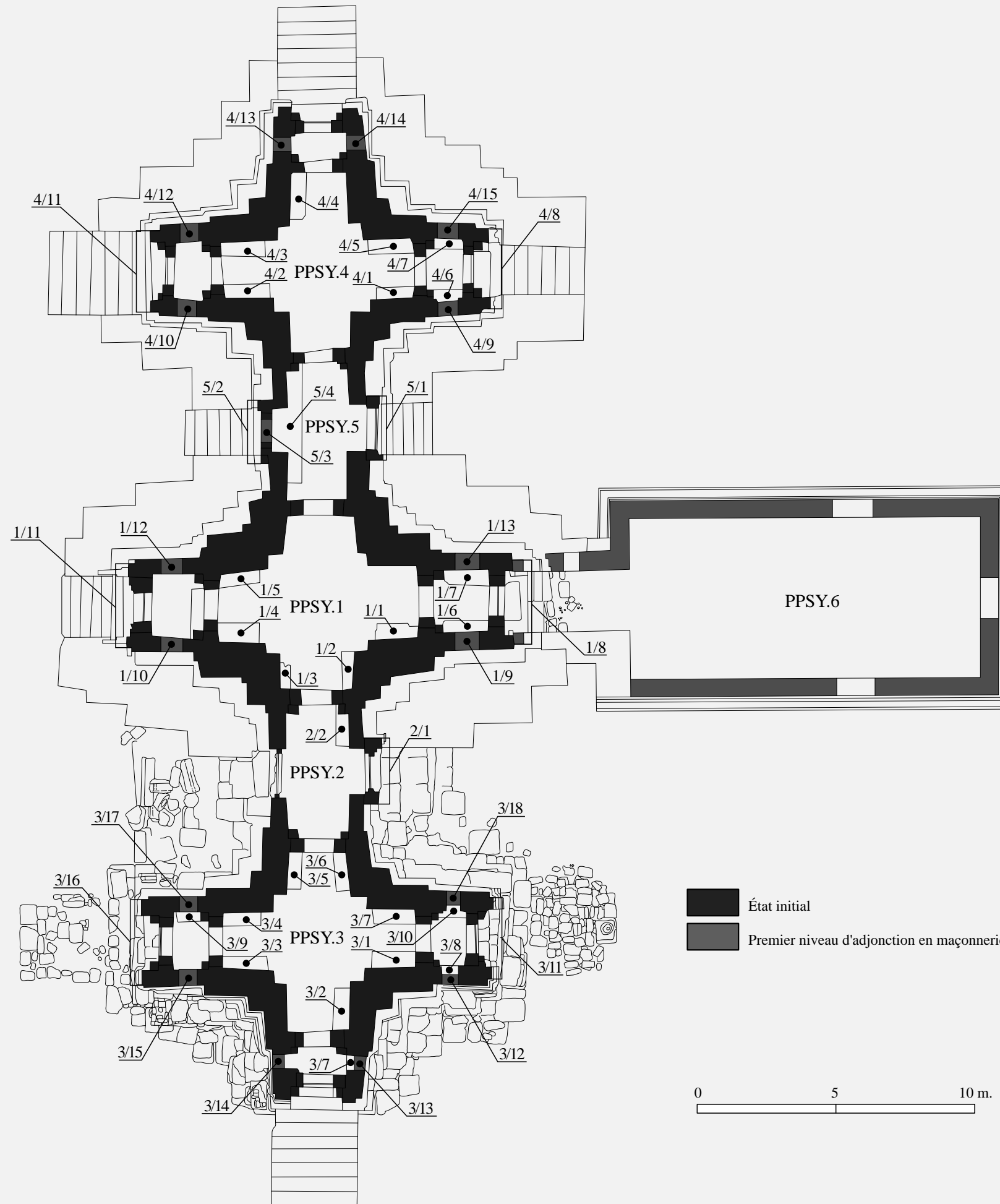


Fig. I-3-1-2.80 : Index des unités stratigraphiques construites du Phra Prang Sam Yod

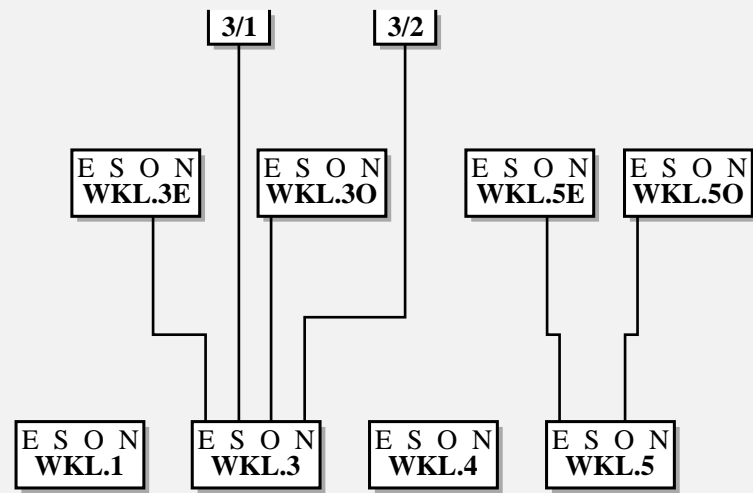


Fig. I-3-1-2.81 : Diagramme stratigraphique de Wat Kamphaeng Laeng

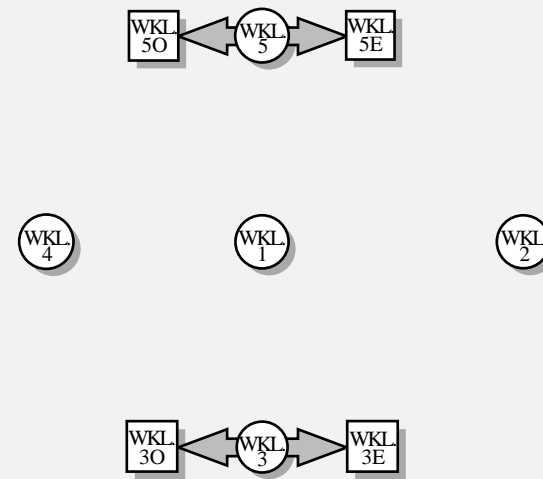


Fig. I-3-1-2.82 : Diagramme des relations structurales de Wat Kamphaeng Laeng.

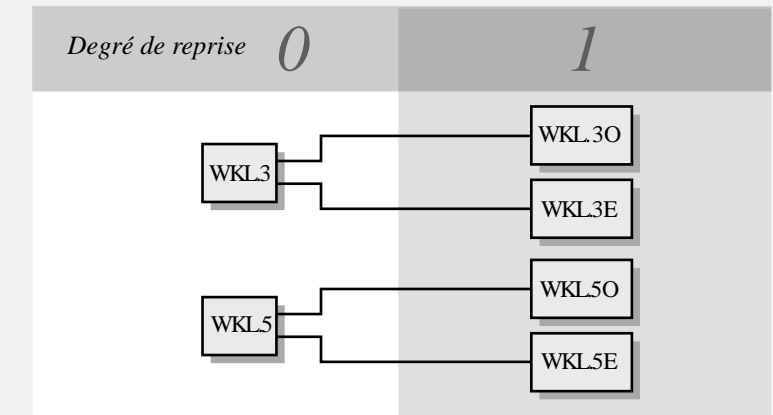


Fig. I-3-1-2.83 : Séquences d'adjonctions de Wat Kamphaeng Laeng.

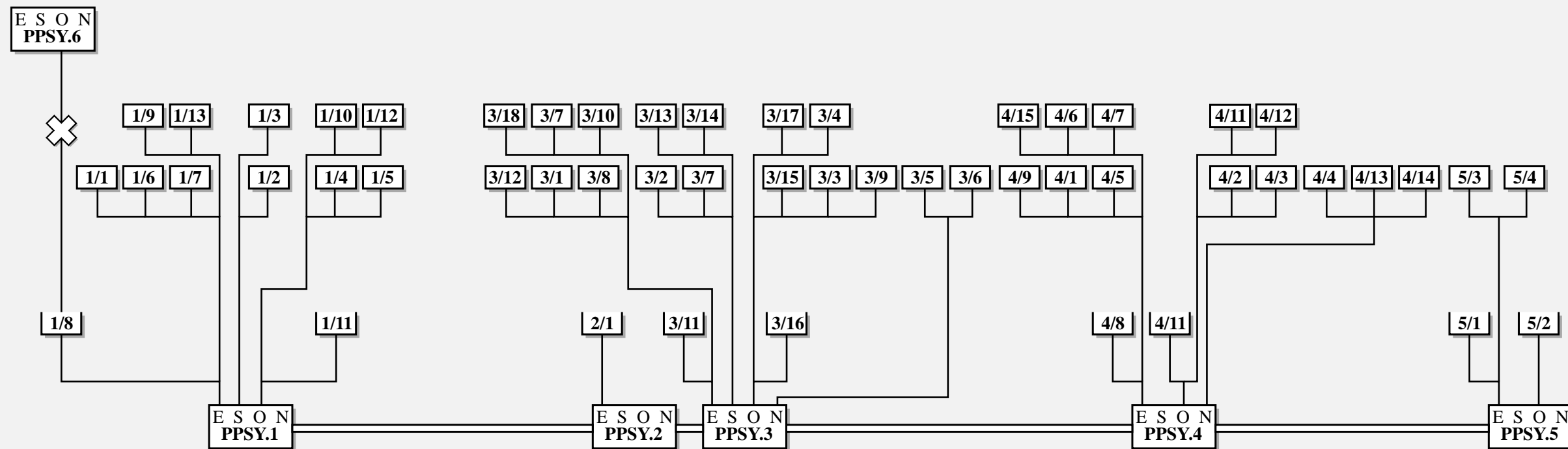
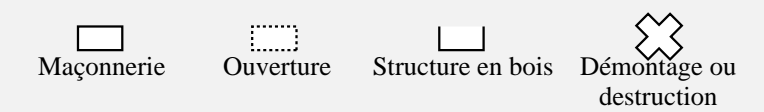


Fig. I-3-1-2.84 : Diagramme stratigraphique de Phra Prang Sam Yod



INVENTAIRES DES CRITÈRES STYLISTIQUES ET ARCHITECTONIQUES DES MONUMENTS DU STYLE DU BAYON

Ta Prohm	p. 116 à p. 123
Banteay Kdei	p. 124 à p. 130
Ta Nei.....	p. 131 à p.135
Preah Khan d'Angkor	p. 136 à p. 142
Neak Pean, Banteay Prei, Prasat Prei & Krol Kô.....	p. 143 à p. 147
Ta Som.....	p. 148 à p. 152
Banteay Thom, Prasat Prei Prasat ; Chapelles de hôpitaux, portes et Prasat Chung d'Angkor Thom	p. 153 à p. 157
Bayon	p. 158 à p. 163
Banteay Chmar.....	p. 164 à p. 168
Vat Nokor, Ta Prohm de Bati, Vat Banon, Prasat Preah Stung, Prasat Thkol & Damrei.....	p. 169 à p. 174
Muang Sing, Wat Kamphaeng Laeng & Phra Prang Sam Yod	p. 175 à p. 177

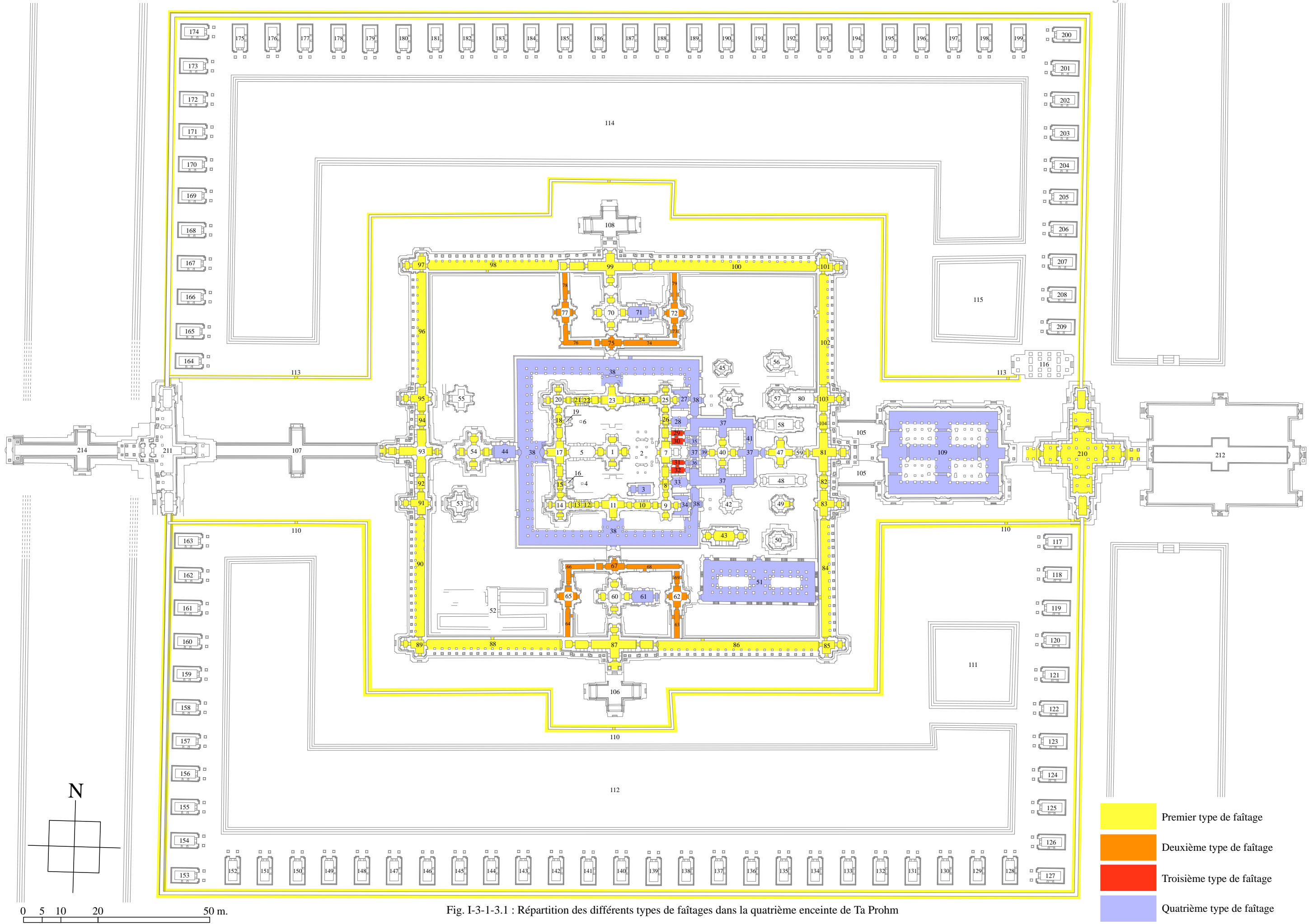


Fig. I-3-1-3.1 : Répartition des différents types de faitages dans la quatrième enceinte de Ta Prohm

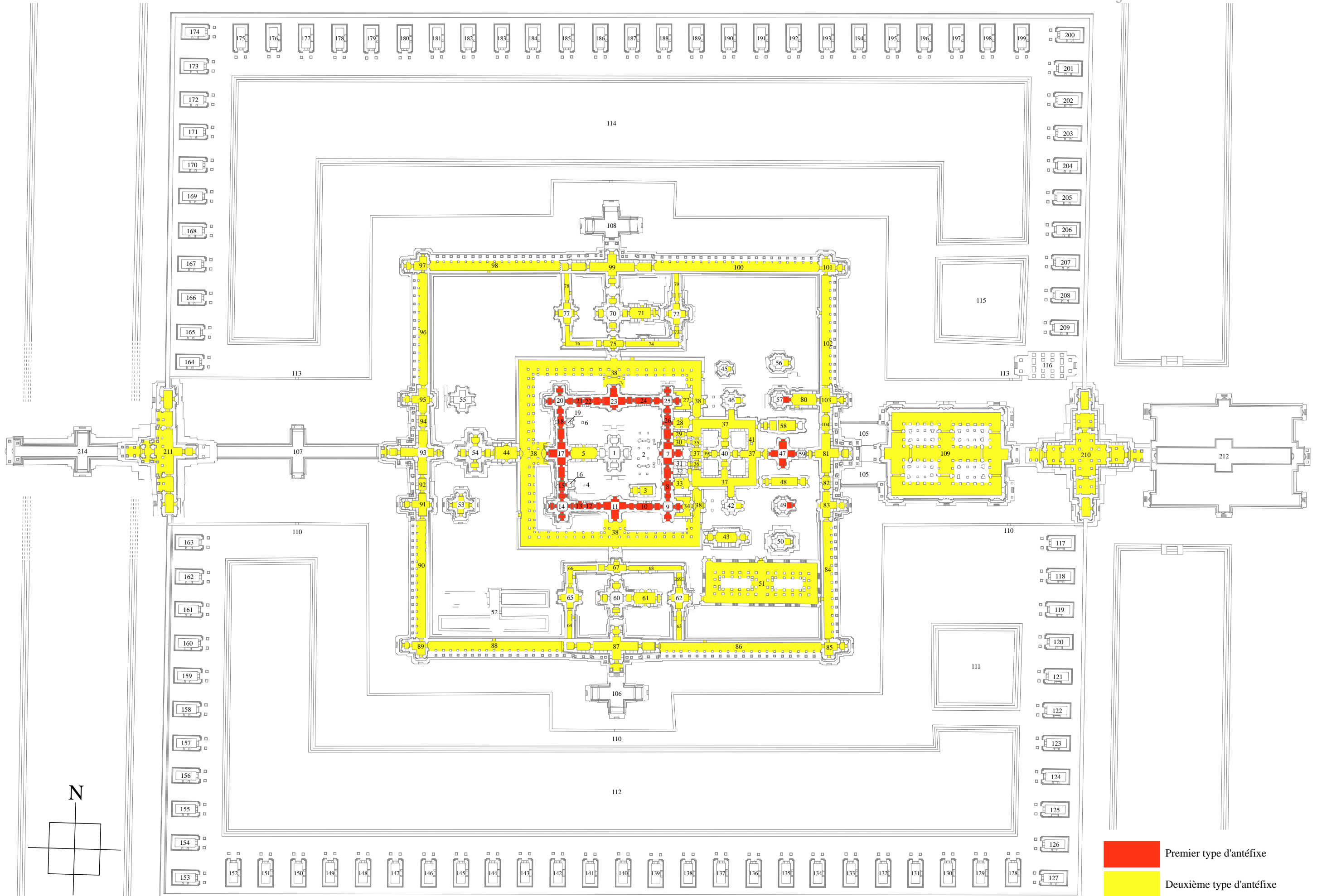


Fig. I-3-1-3.2 : Répartition des différents types d'antéfixes dans la quatrième enceinte de Ta Prohm

- Premier type d'antéfixe
- Deuxième type d'antéfixe

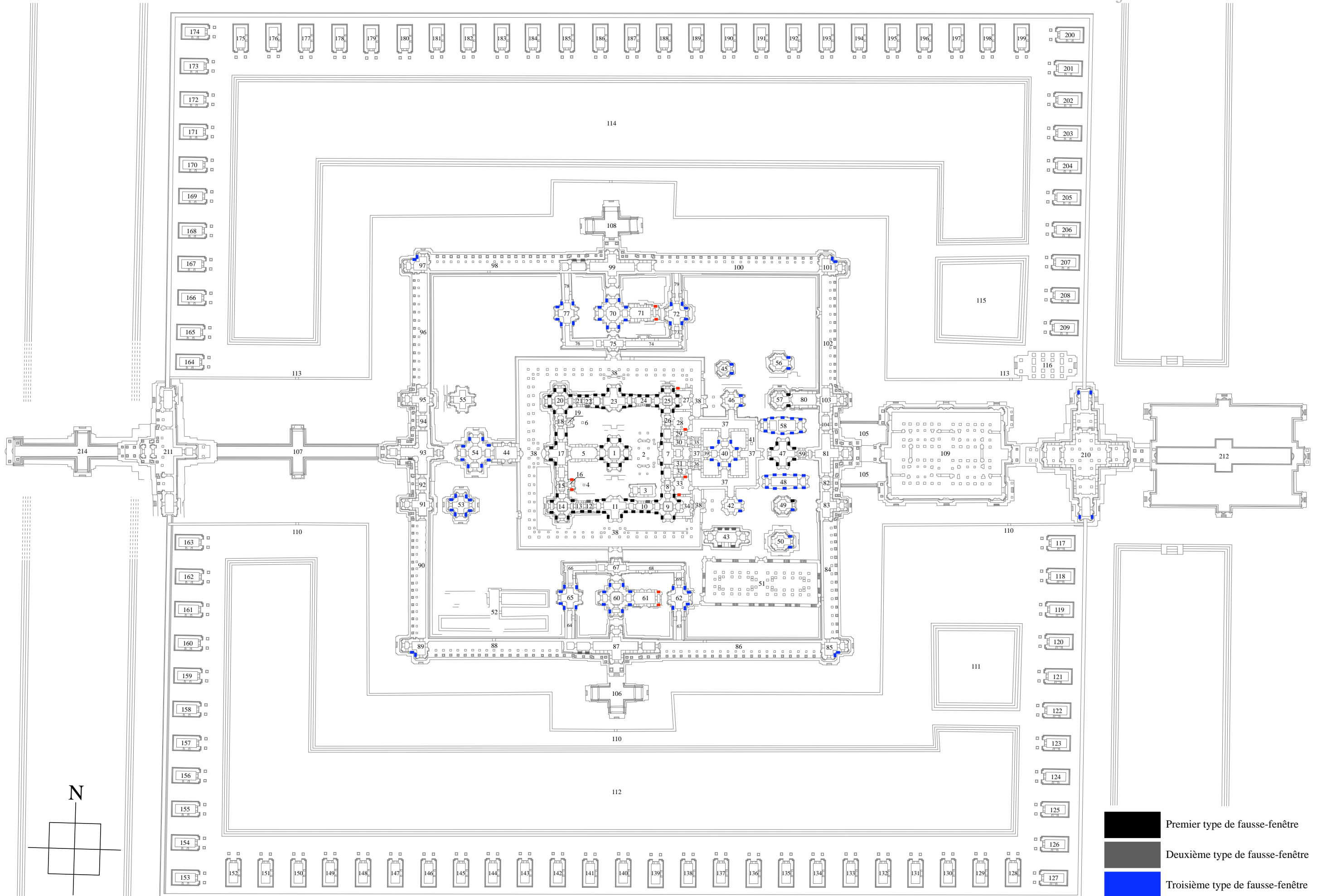


Fig. I-3-1-3.3 : Répartition des différents types de fausses-fenêtres dans la quatrième enceinte de Ta Prohm

- Premier type de fausse-fenêtre
- Deuxième type de fausse-fenêtre
- Troisième type de fausse-fenêtre
- Quatrième type de fausse-fenêtre

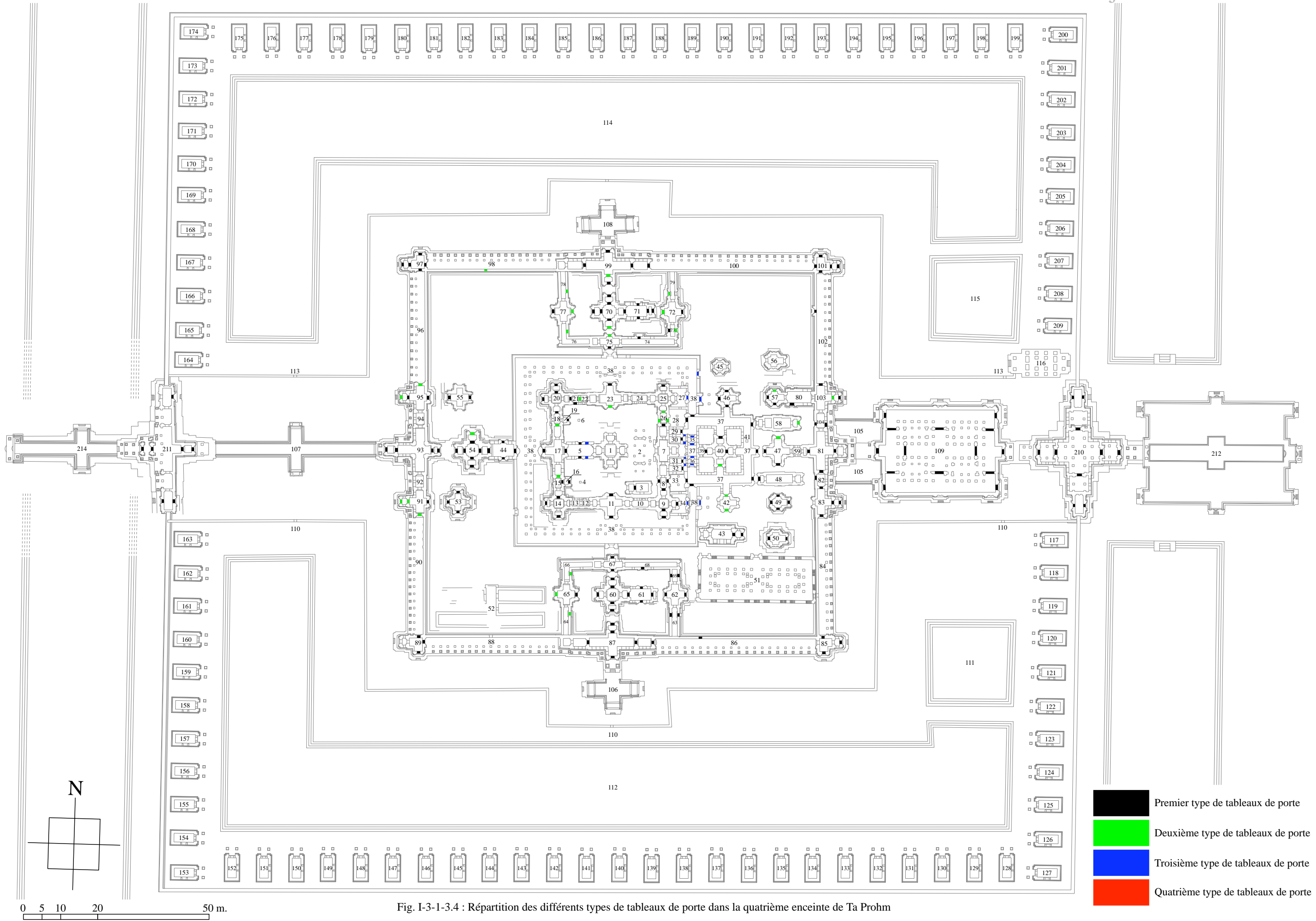


Fig. I-3-1-3.4 : Répartition des différents types de tableaux de porte dans la quatrième enceinte de Ta Prohm

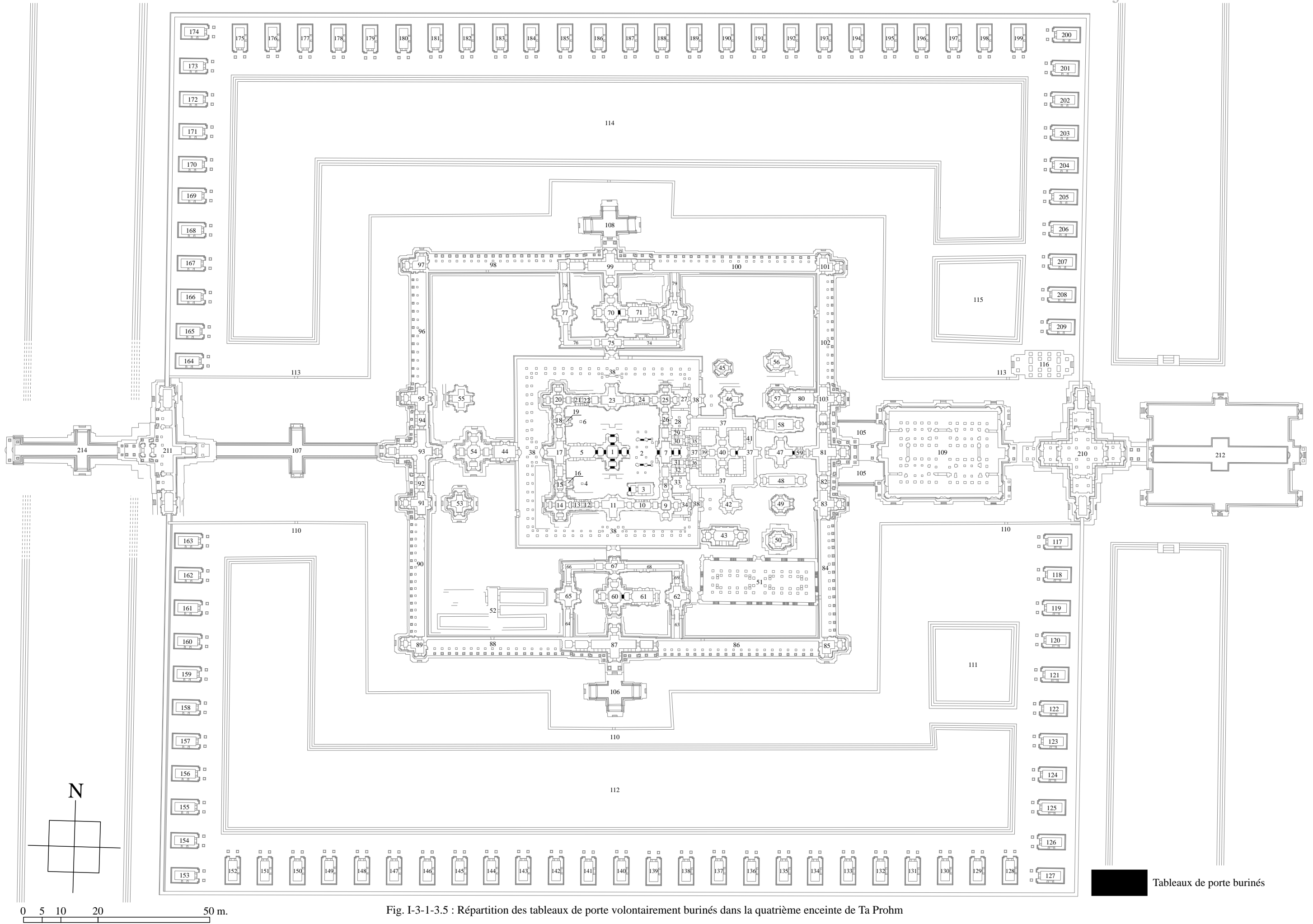


Fig. I-3-1-3.5 : Répartition des tableaux de porte volontairement burinés dans la quatrième enceinte de Ta Prohm

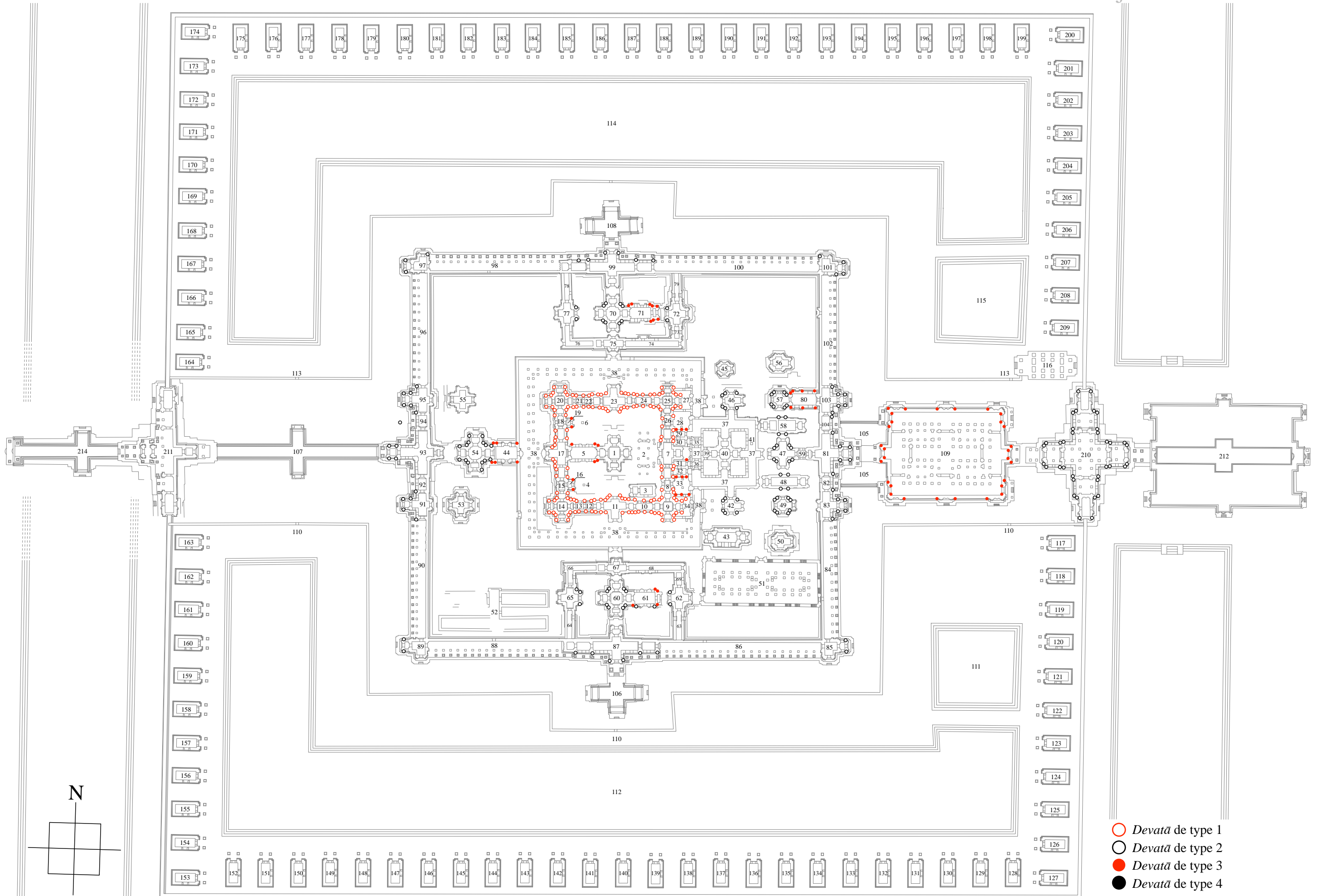


Fig. I-3-1-3.6 : Répartition des différents types de devatā dans la quatrième enceinte de Ta Prohm

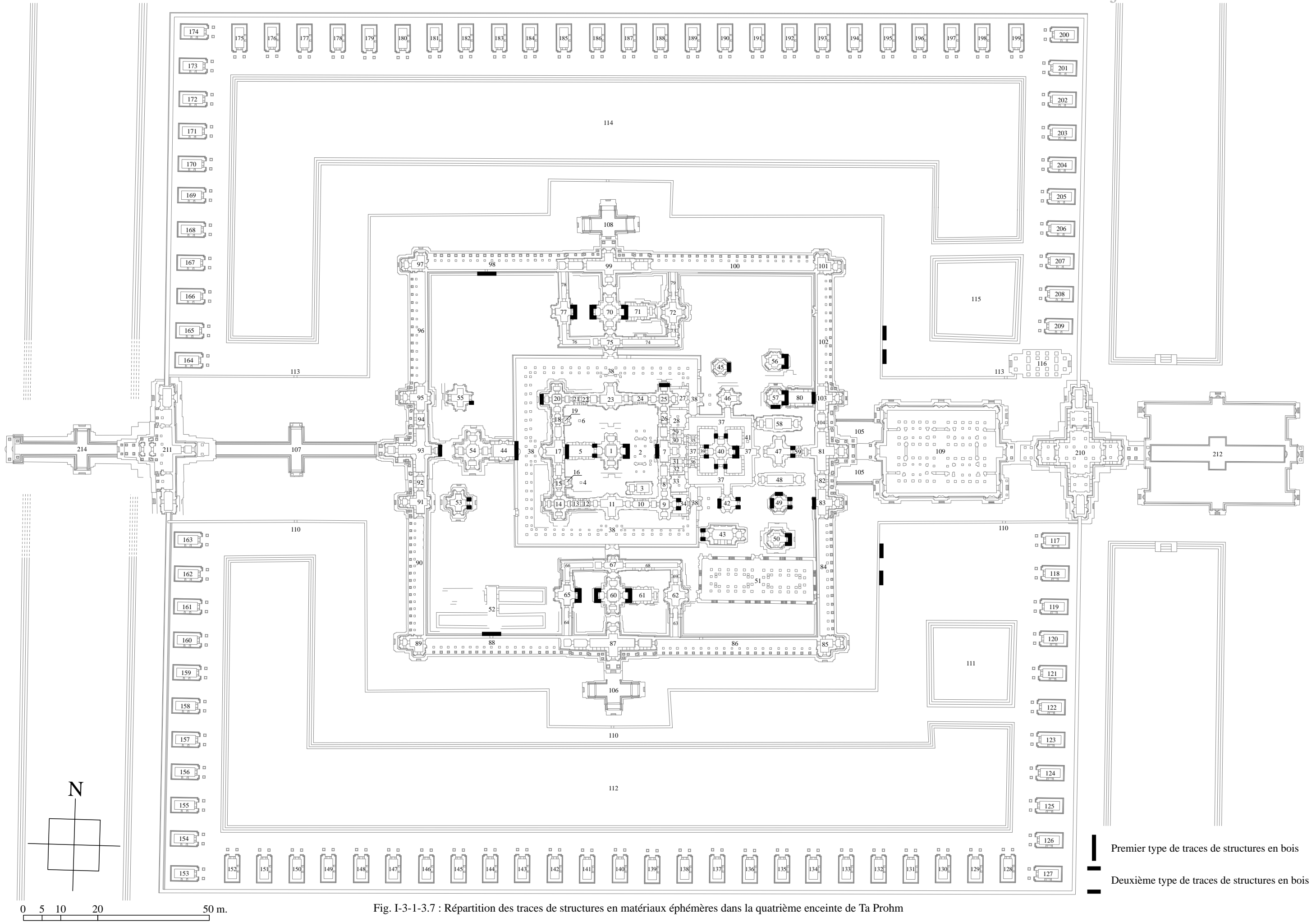


Fig. I-3-1-3.7 : Répartition des traces de structures en matériaux éphémères dans la quatrième enceinte de Ta Prohm

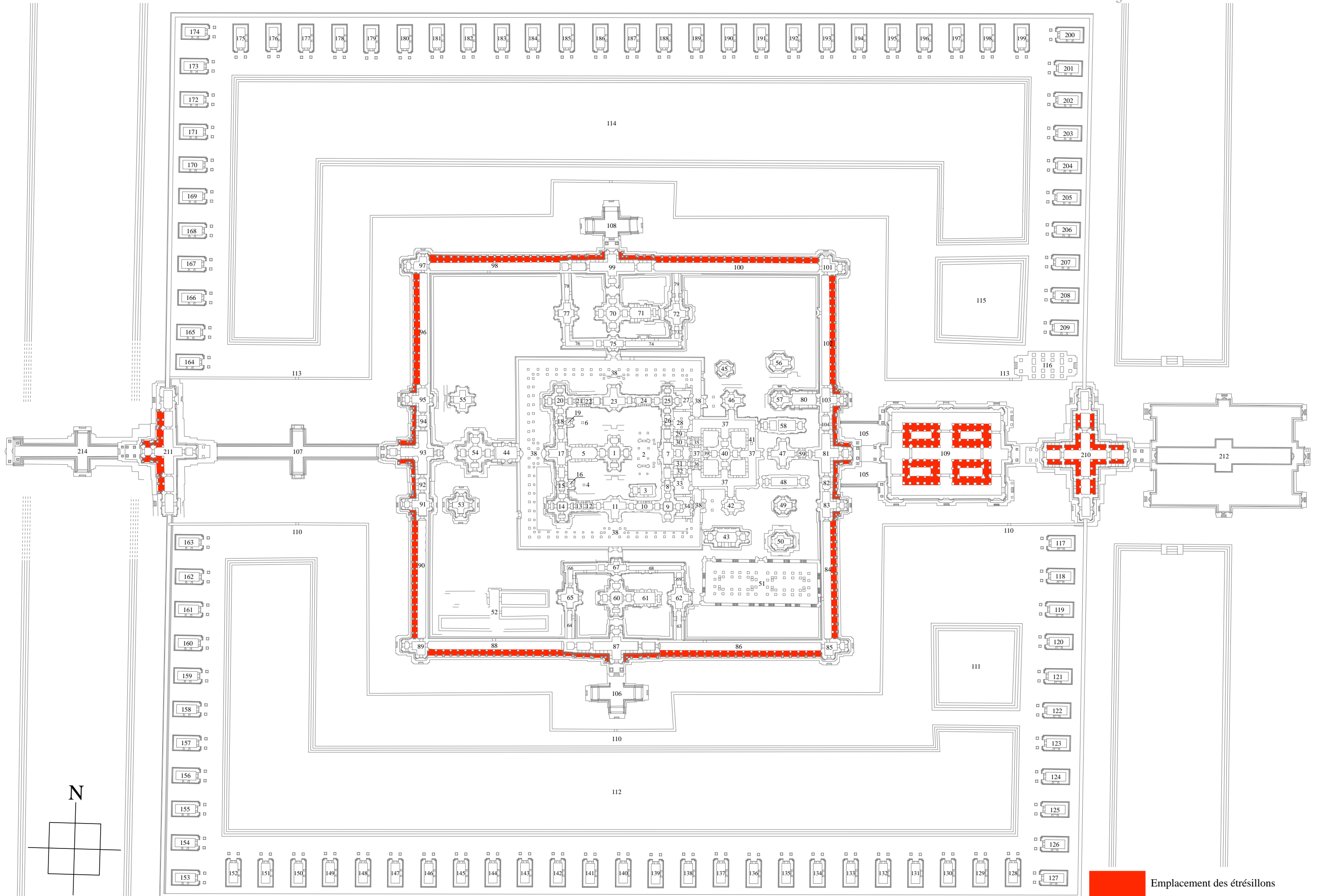


Fig. I-3-1-3.8 : Répartition des édifices présentant des étrépillons dans la quatrième enceinte de Ta Prohm

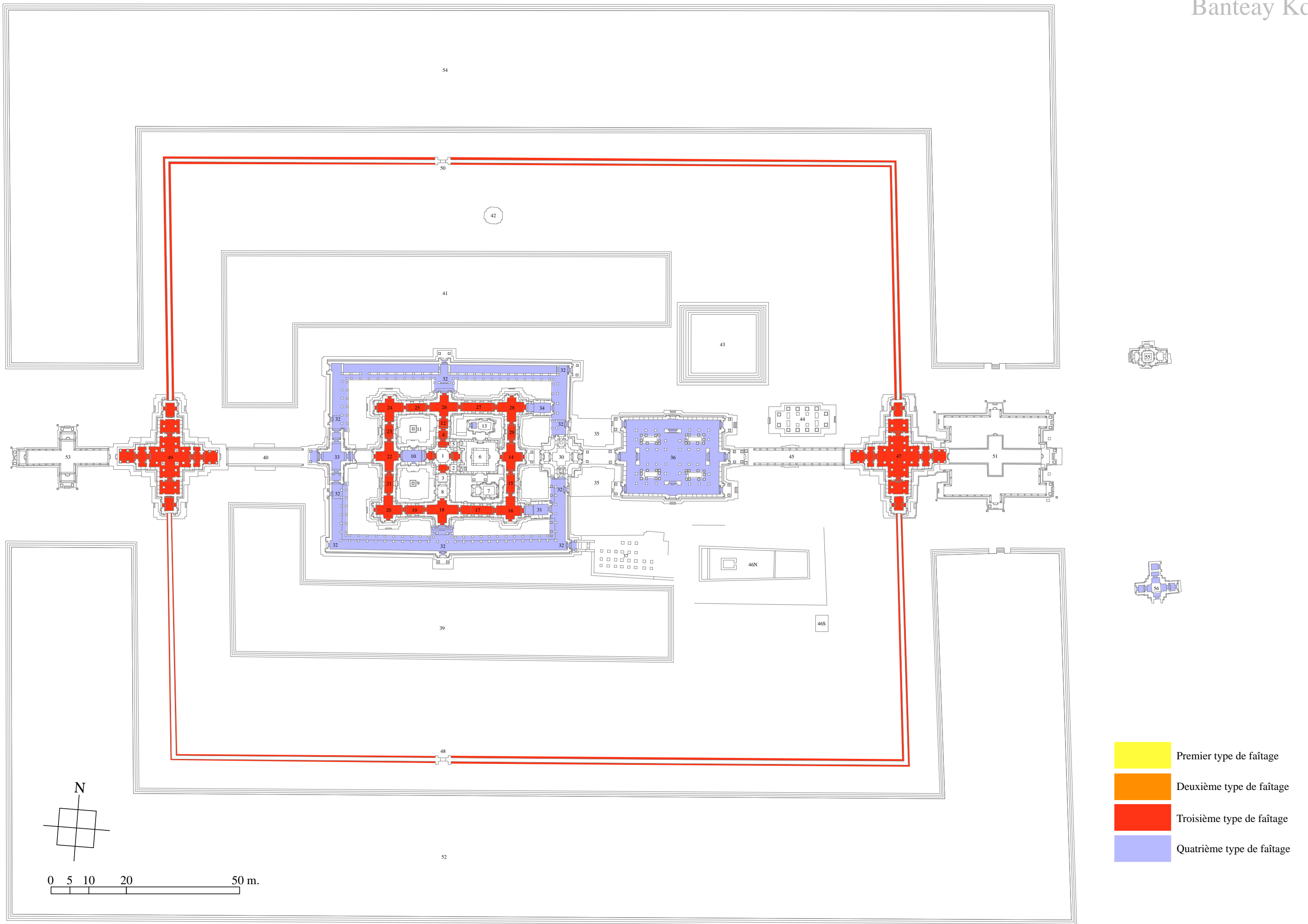


Fig. I-3-1-3.9 : Répartition des différents types de faîtages dans la troisième enceinte de Banteay Kdei

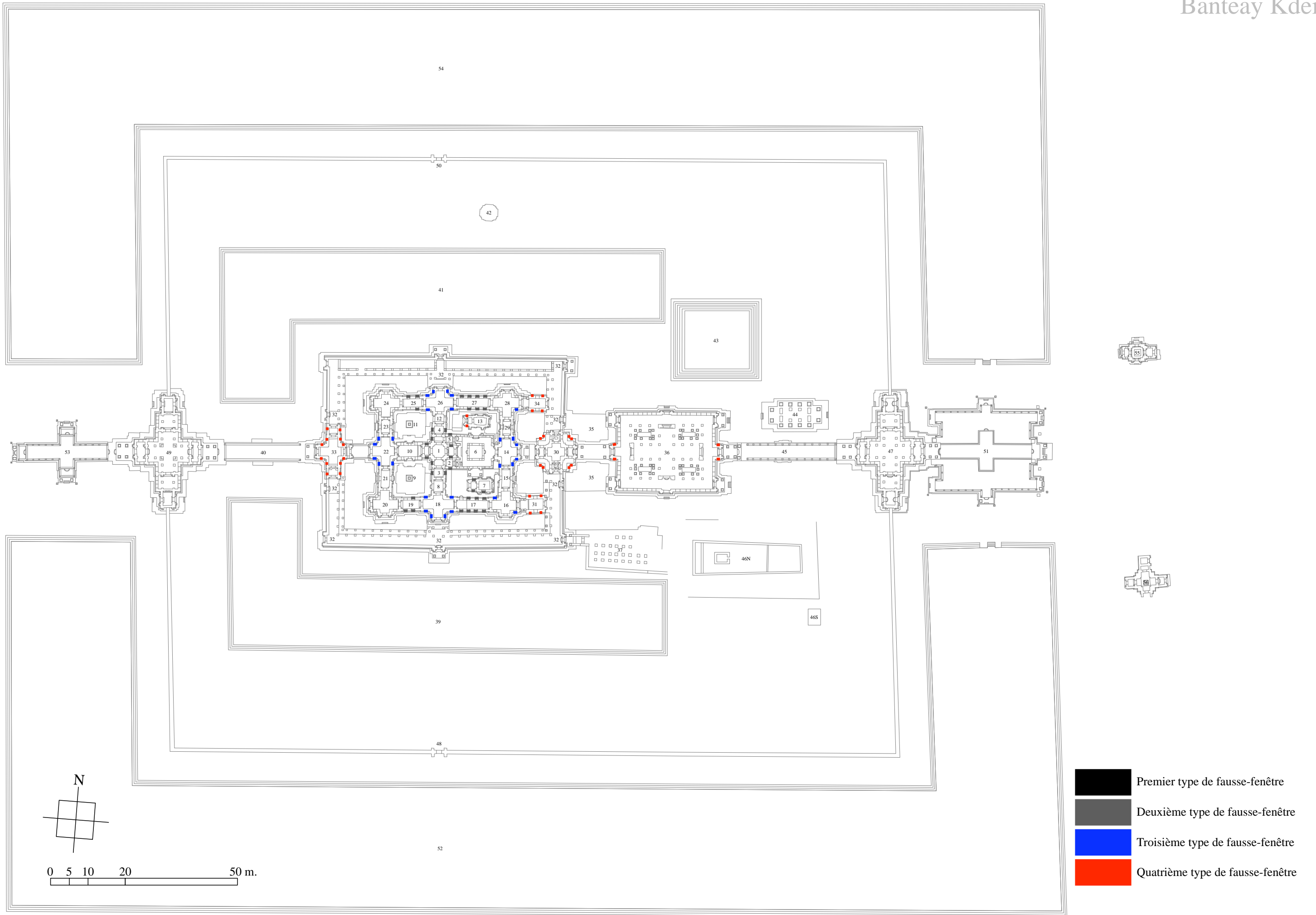


Fig. I-3-1-3.10 : Répartition des différents types de fausses-fenêtres dans la troisième enceinte de Banteay Kdei

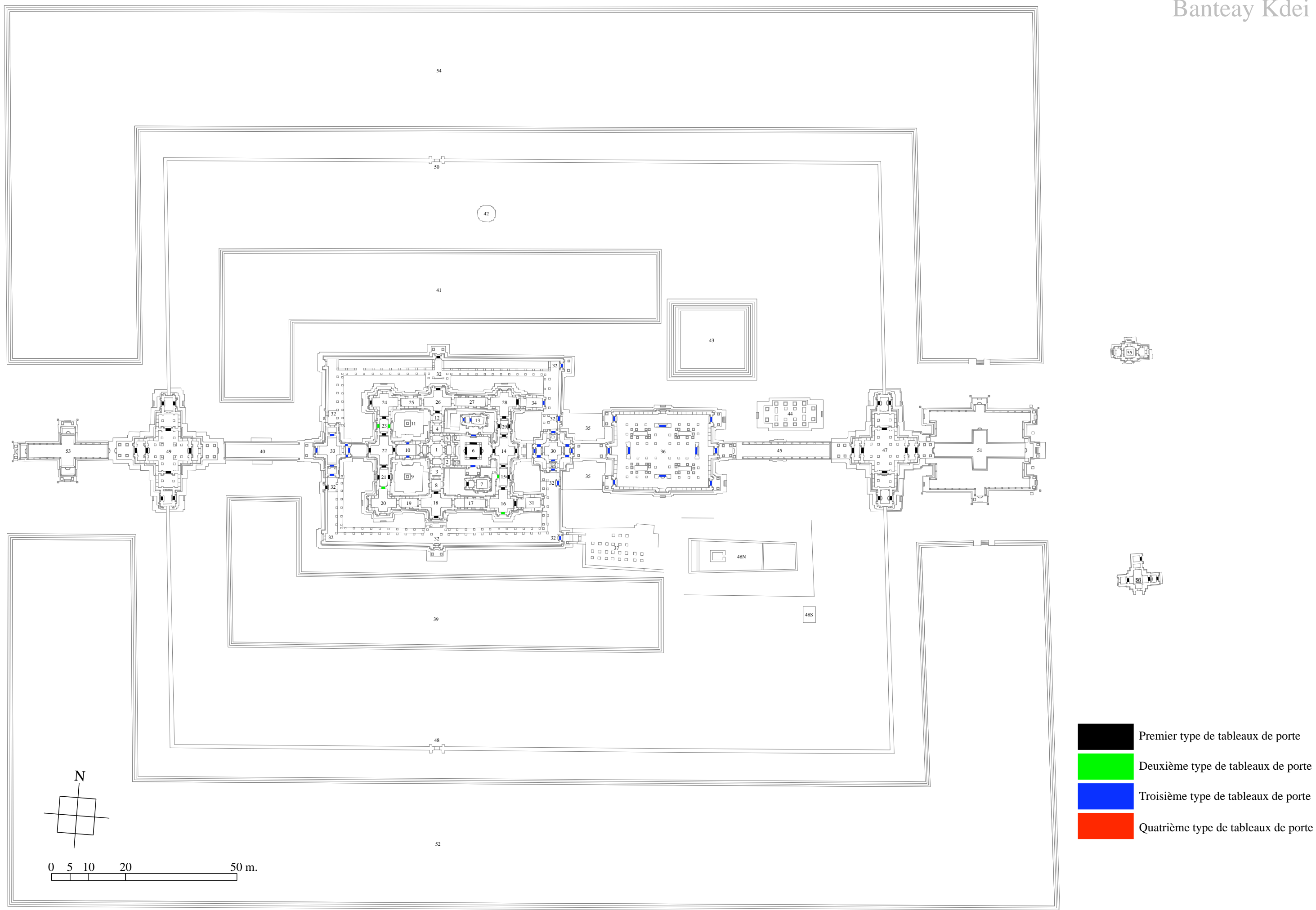


Fig. I-3-1-3.11 : Répartition des différents types de motifs décoratifs des tableaux de porte dans la troisième enceinte de Banteay Kdei

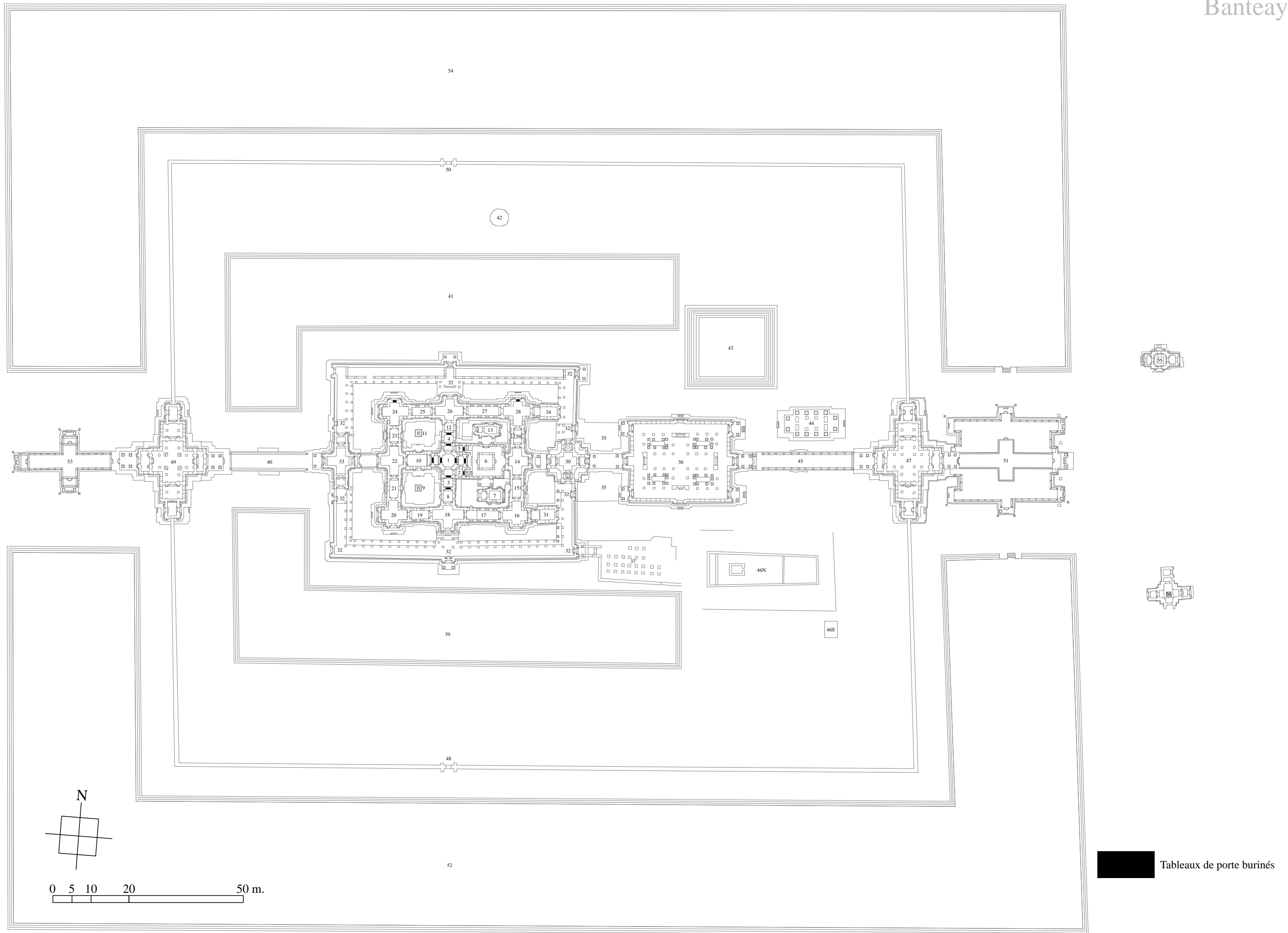


Fig. I-3-1-3.12 : Répartition des tableaux de porte volontairement burinés dans la troisième enceinte de Banteay Kdei

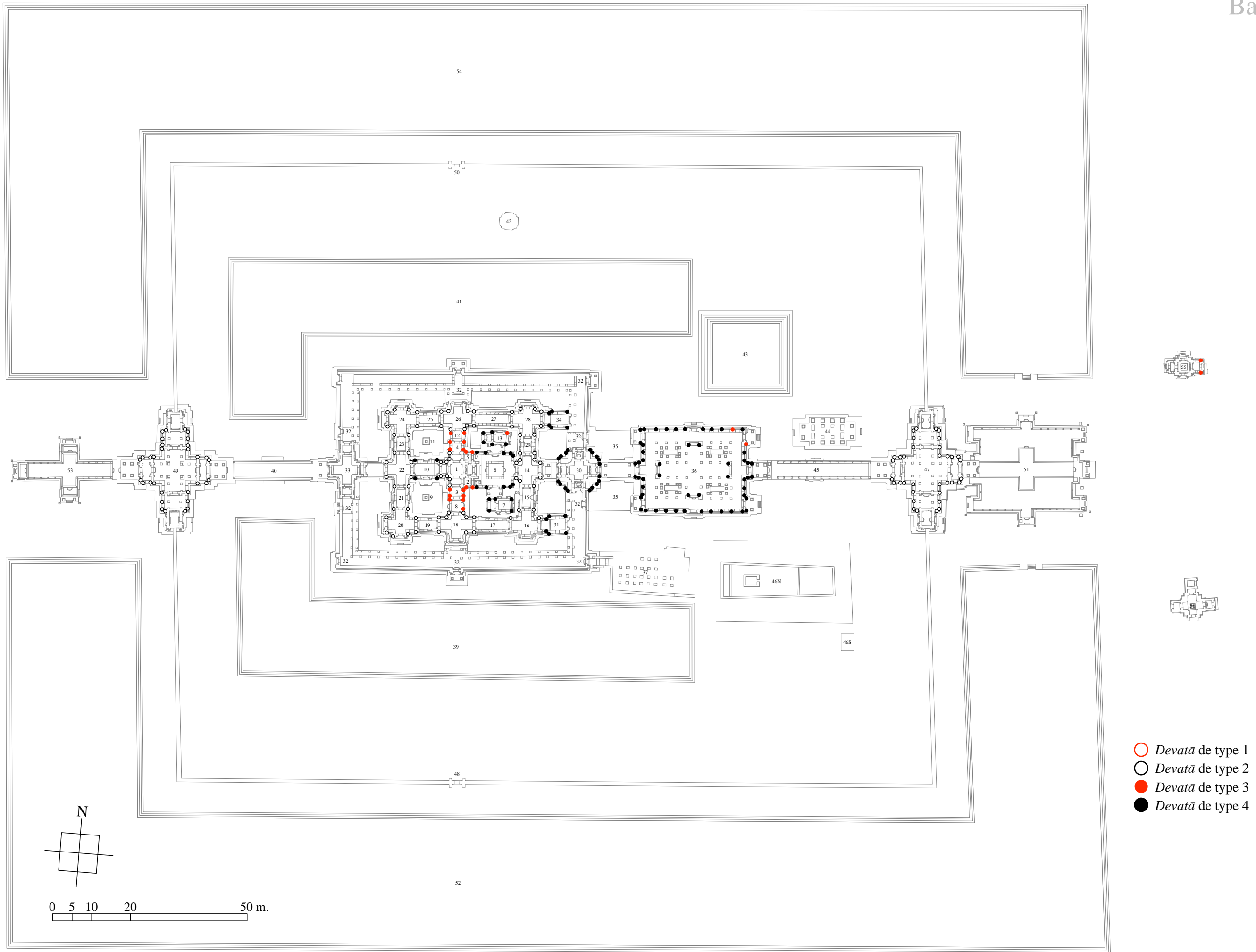


Fig. I-3-1-3.13 : Répartition des différents types de *devatā* dans la troisième enceinte de Banteay Kdei

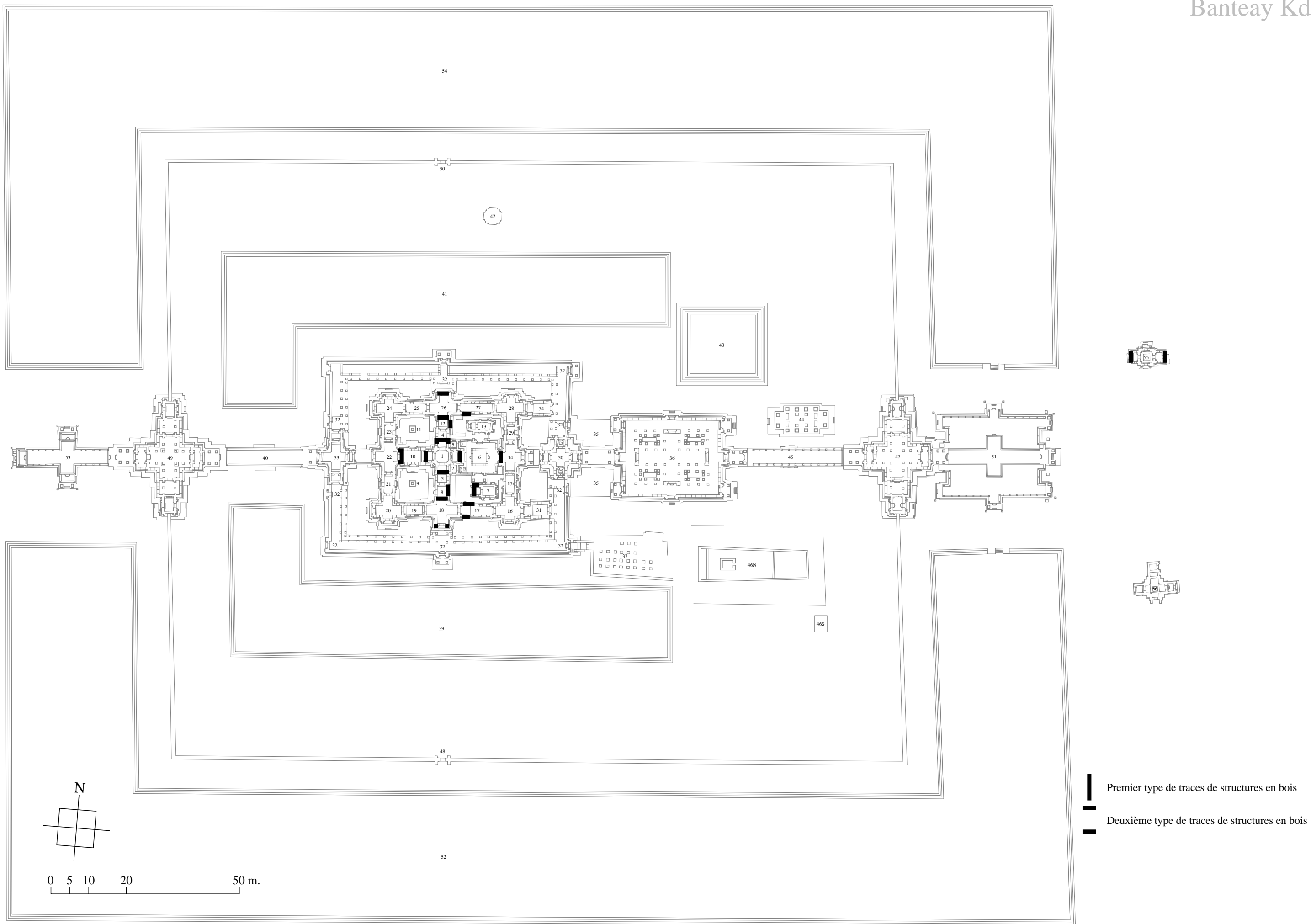


Fig. I-3-1-3.14 : Répartition des traces de structures en matériaux éphémères dans la troisième enceinte de Banteay Kdei

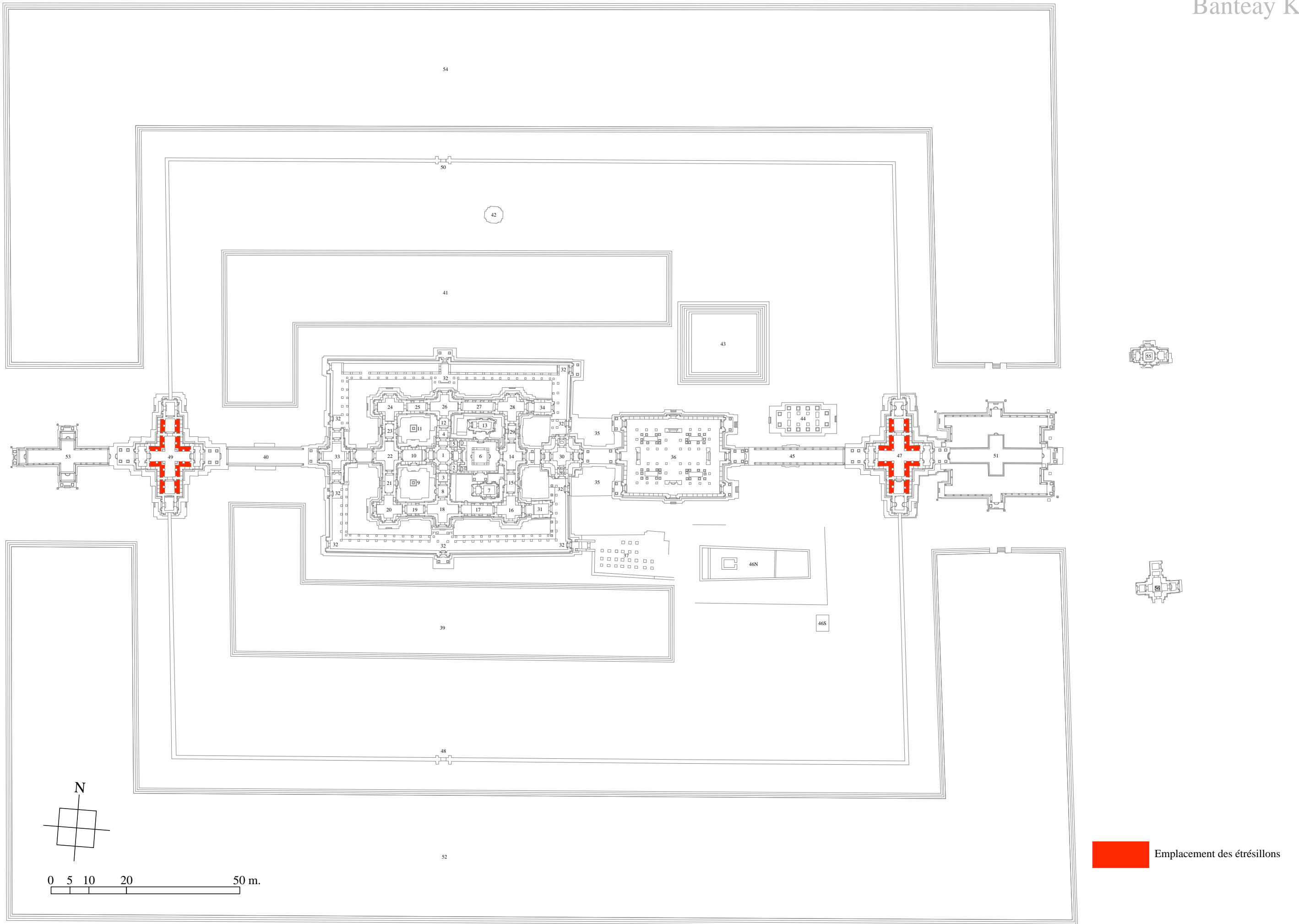


Fig. I-3-1-3.15 : Répartition des édifices présentant des étrépillons dans la troisième enceinte de Banteay Kdei

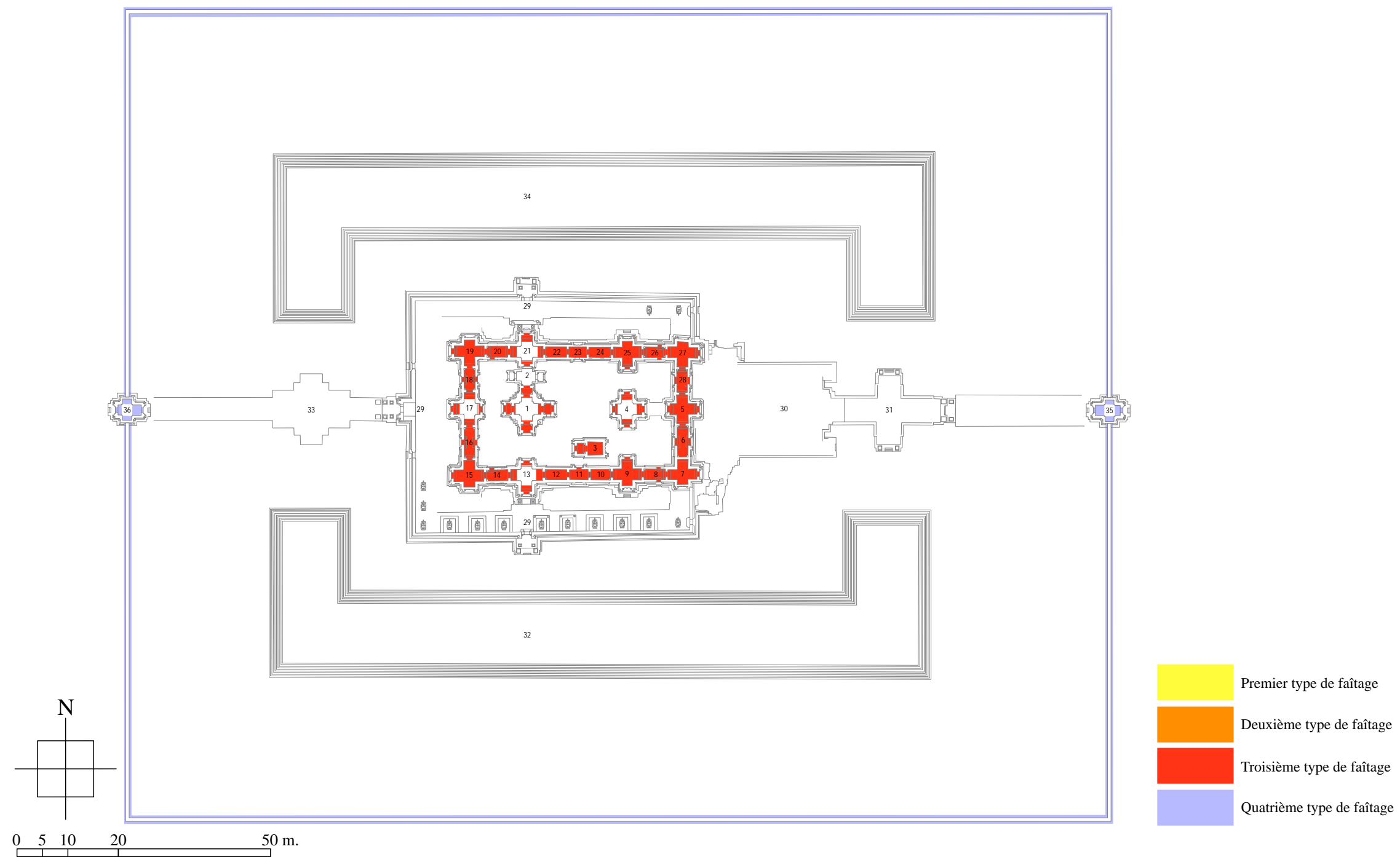


Fig. I-3-1-3.16 : Répartition des différents types de faîtages dans la troisième enceinte de Ta Nei

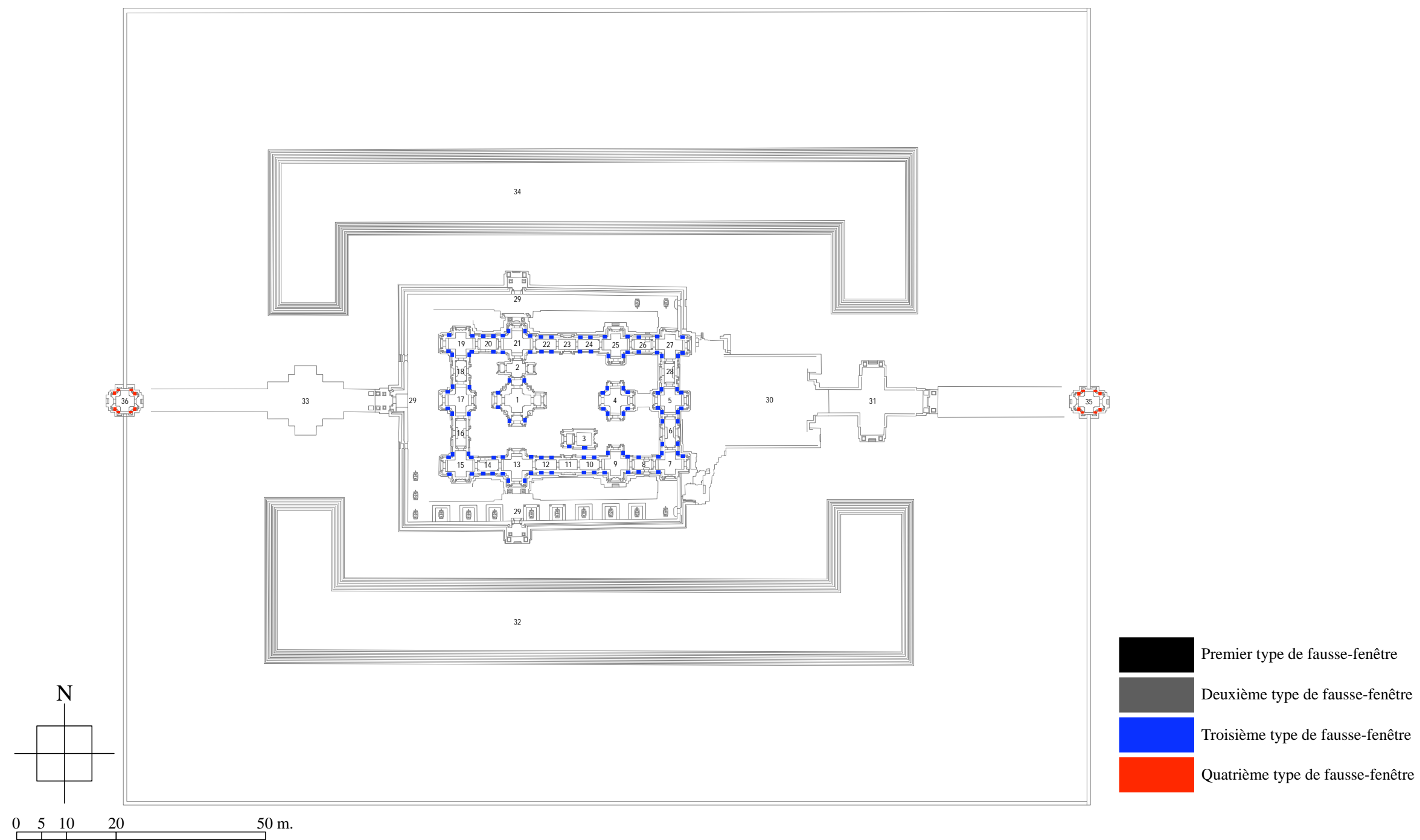


Fig. I-3-1-3.17 : Répartition des différents types de fausses-fenêtres dans la troisième enceinte de Ta Nei

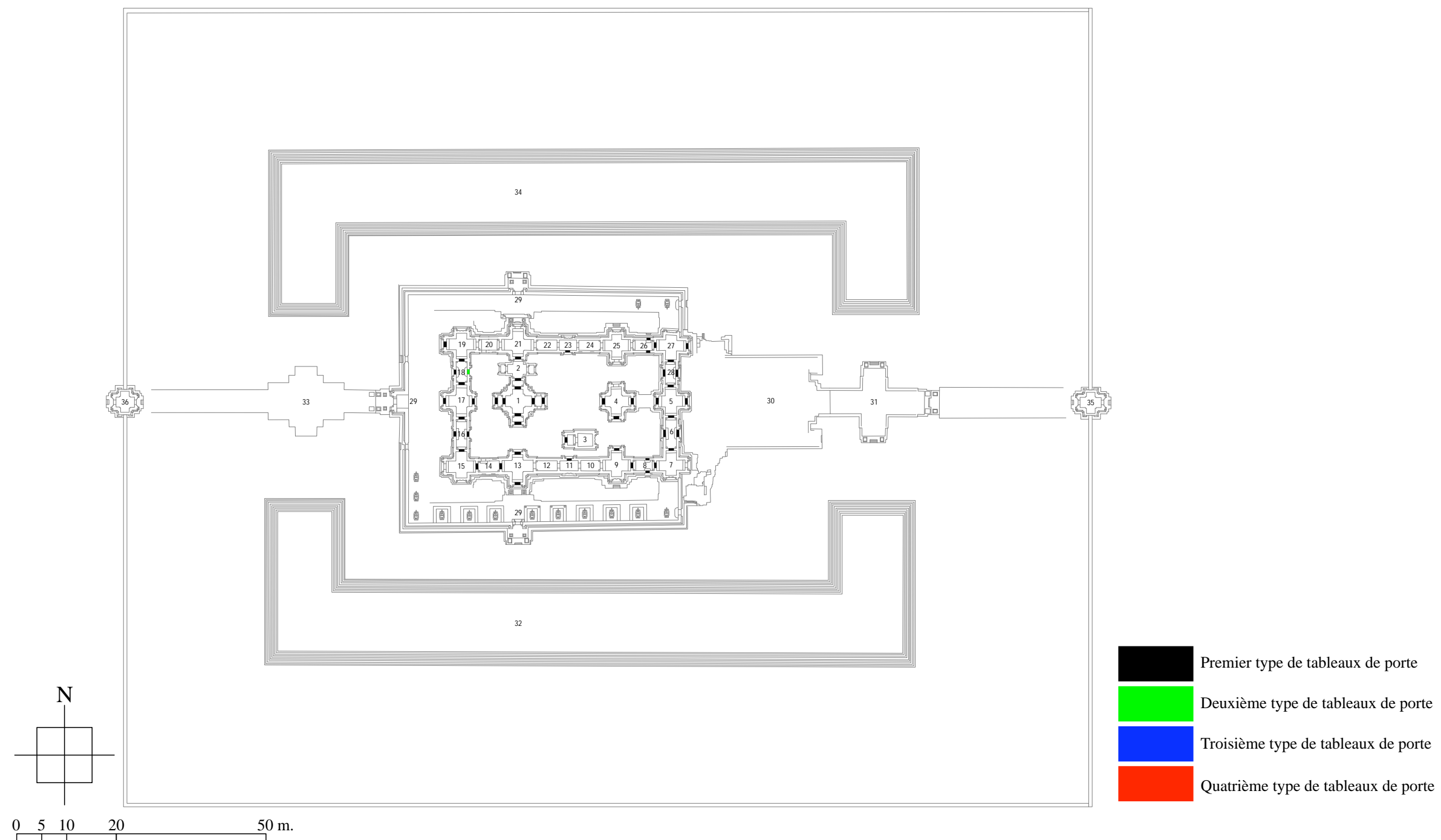


Fig. I-3-1-3.18 : Répartition des différents types de motifs décoratifs des tableaux de porte dans la troisième enceinte de Ta Nei

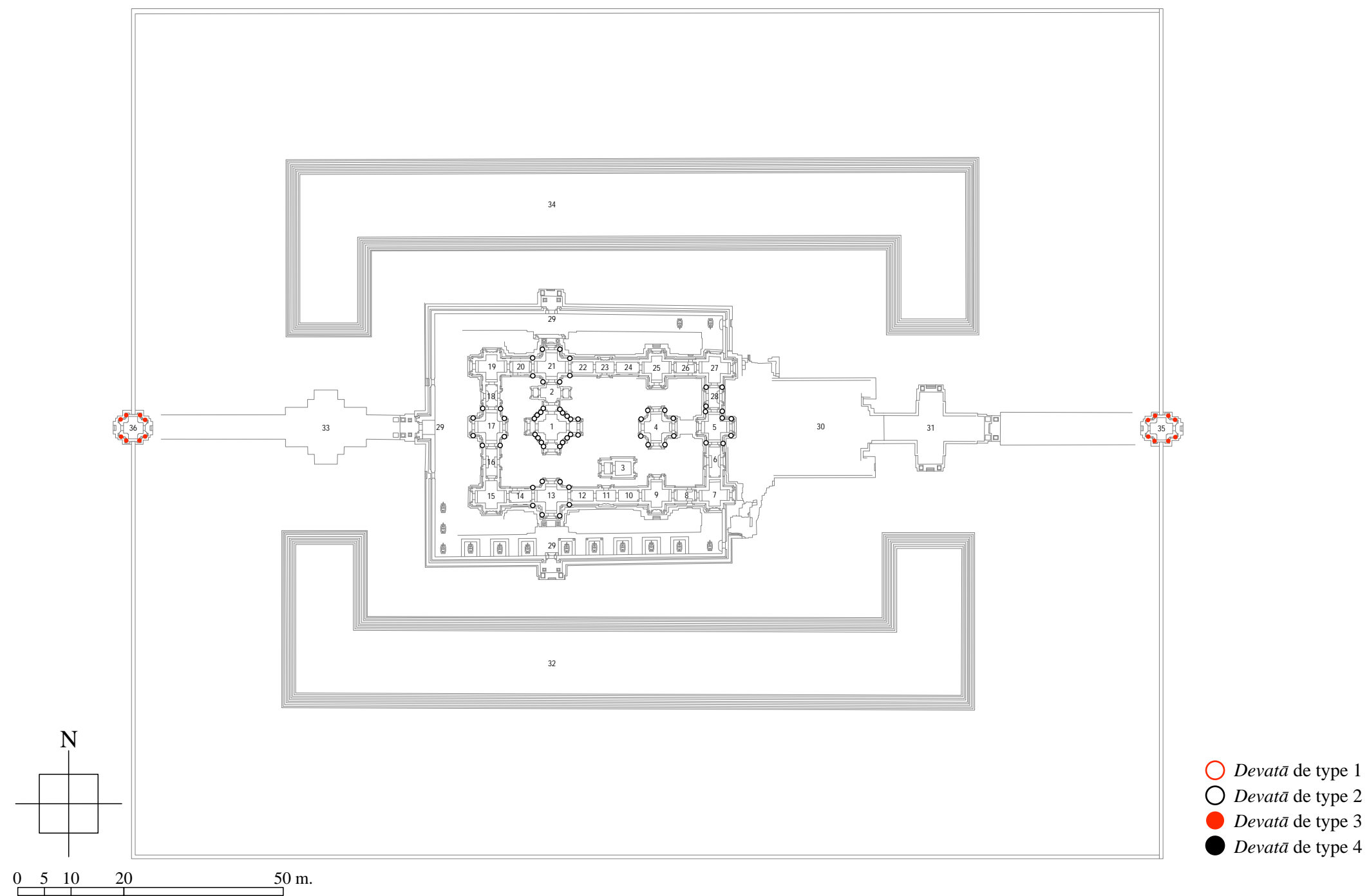


Fig. I-3-1-3.19 : Répartition des différents types de *devatā* dans la troisième enceinte de Ta Nei

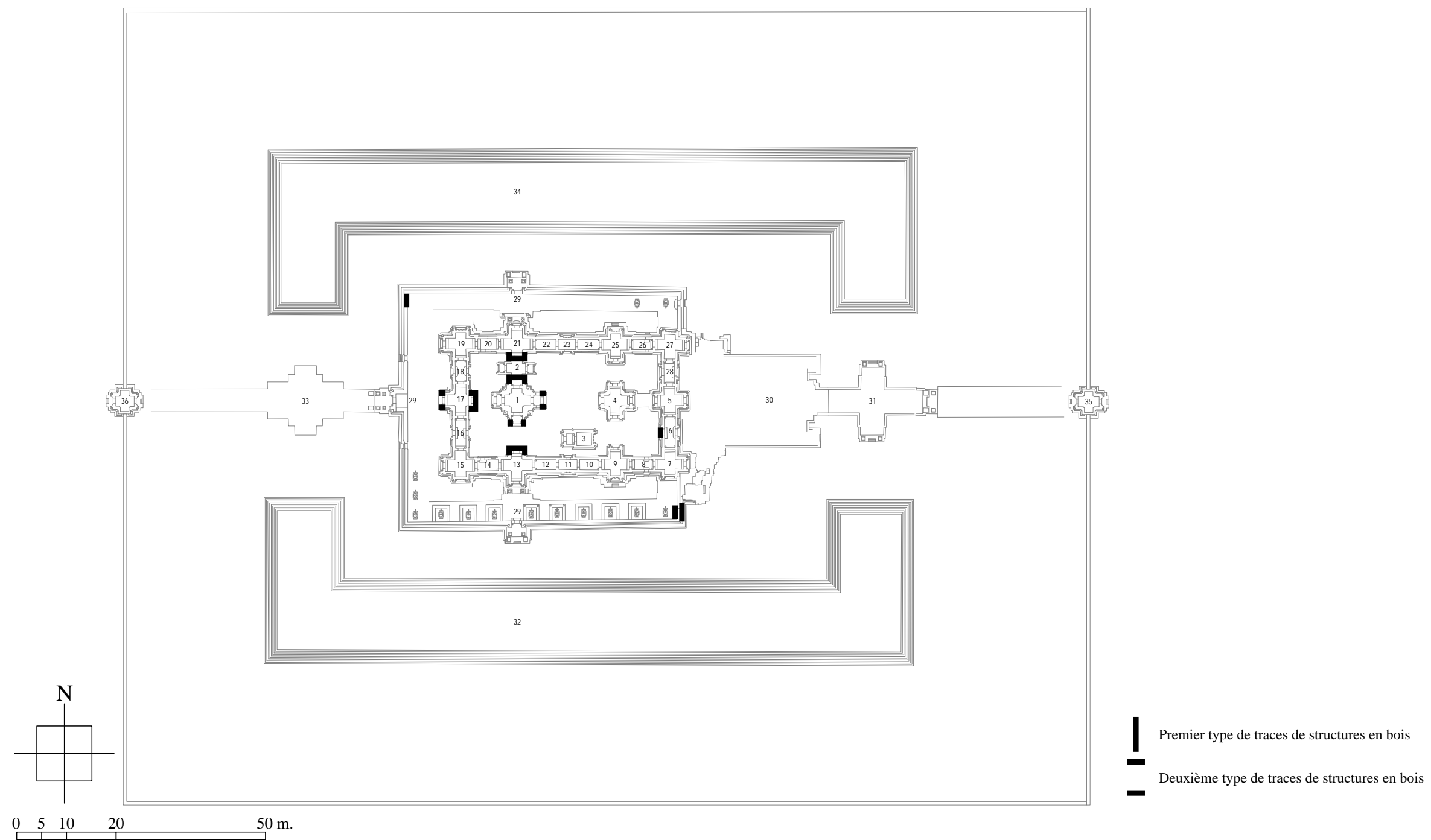


Fig. I-3-1-3.20 : Répartition des traces de structures en matériaux éphémères dans la troisième enceinte de Ta Nei

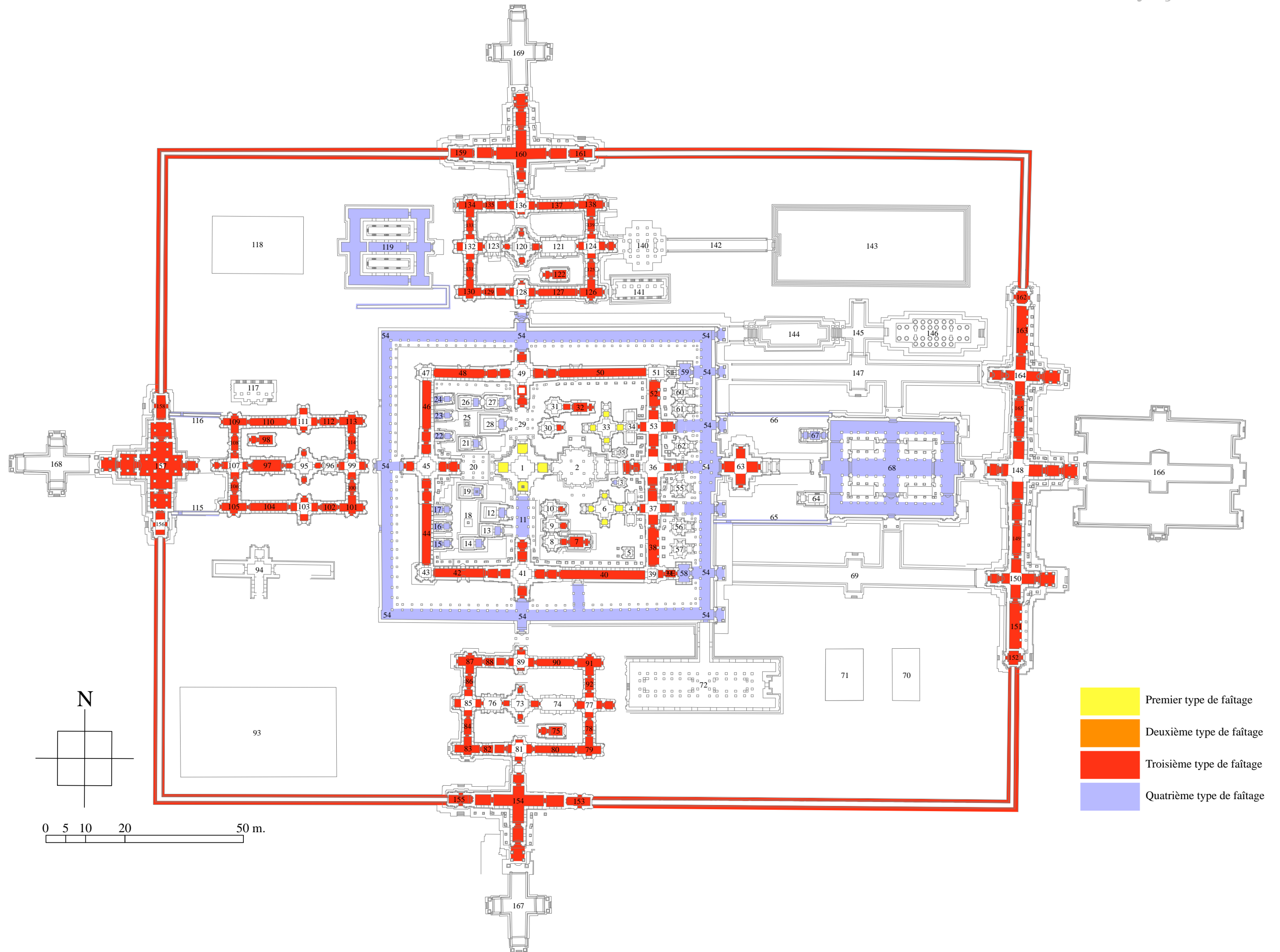


Fig. I-3-1-3.21 : Répartition des différents types de faîtages dans la troisième enceinte du Preah Khan d'Angkor

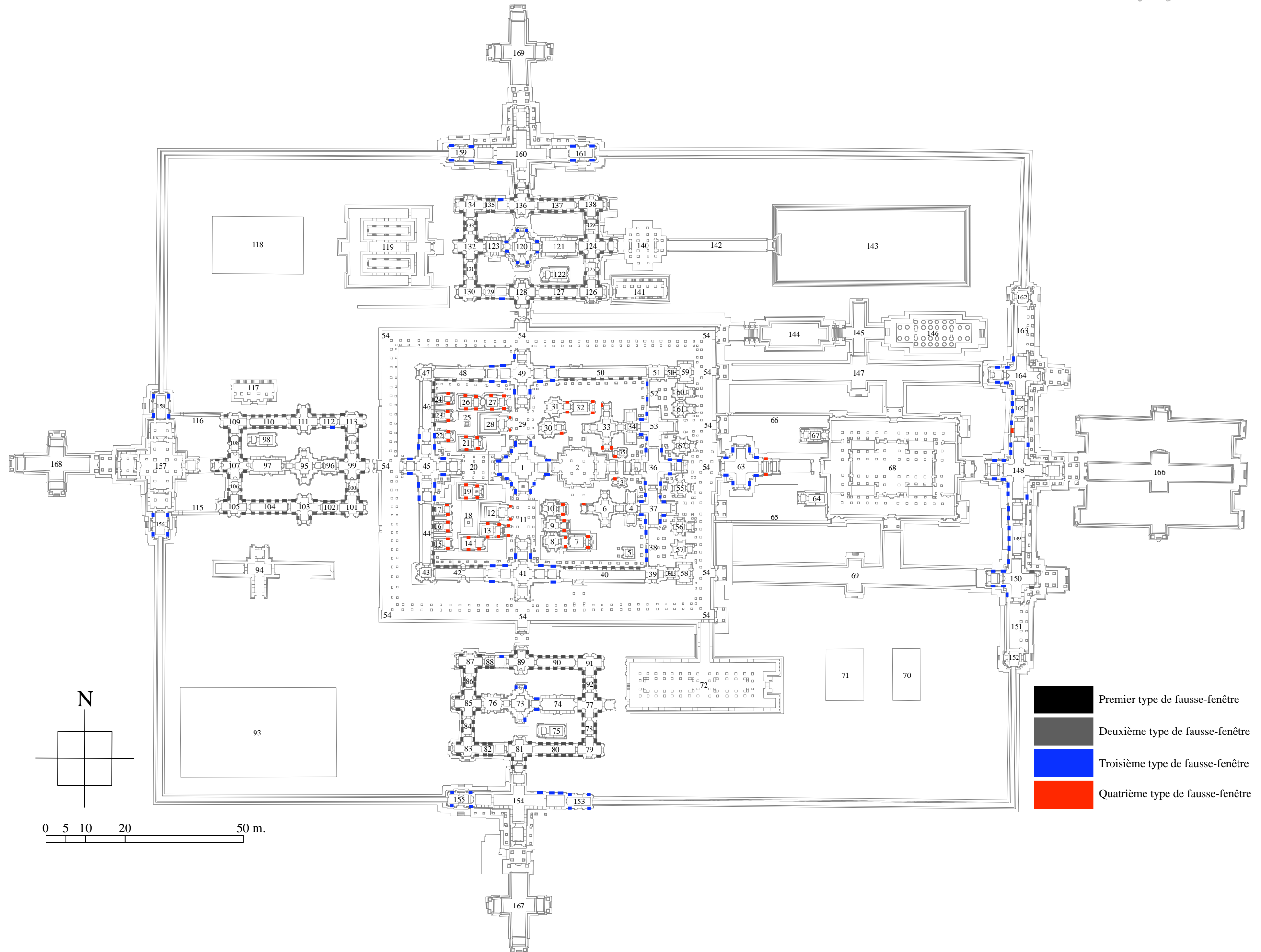


Fig. I-3-1-3.22 : Répartition des différents types de fausses-fenêtres dans la troisième enceinte du Preah Khan d'Angkor

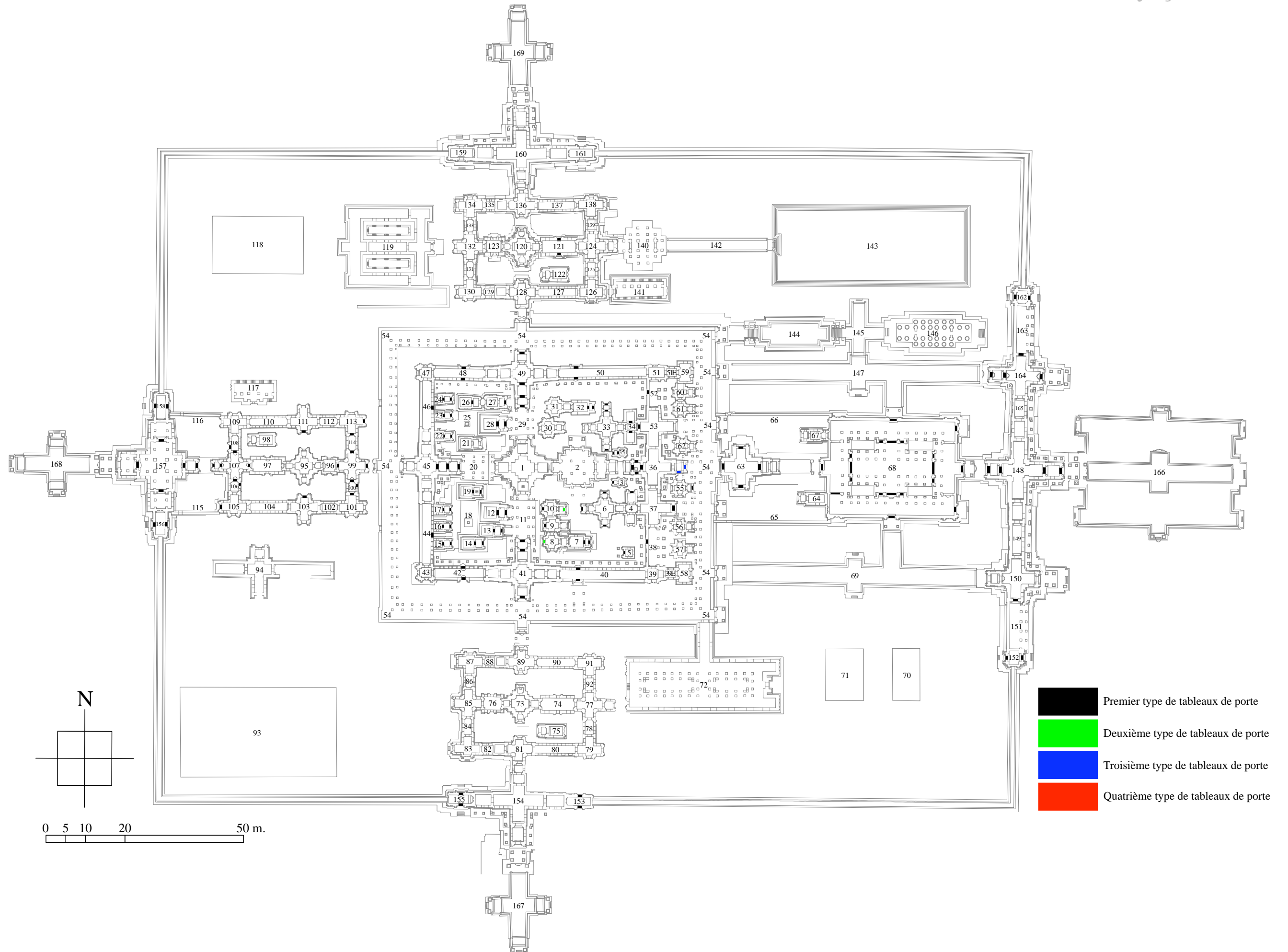


Fig. I-3-1-3.23 : Répartition des différents types de tableaux de porte dans la troisième enceinte du Preah Khan d'Angkor

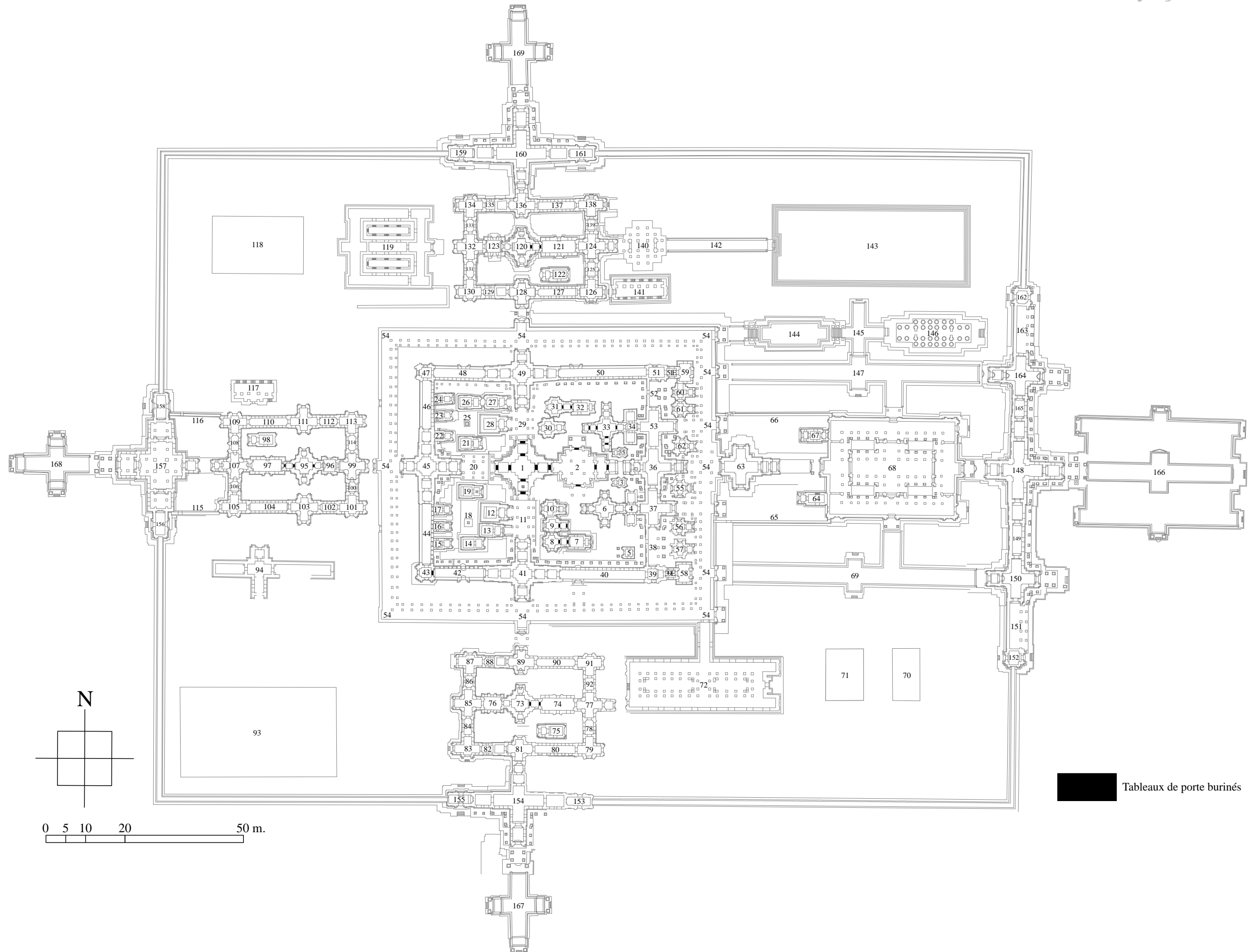


Fig. I-3-1-3.24 : Répartition des tableaux de porte volontairement burinés dans la troisième enceinte du Preah Khan d'Angkor

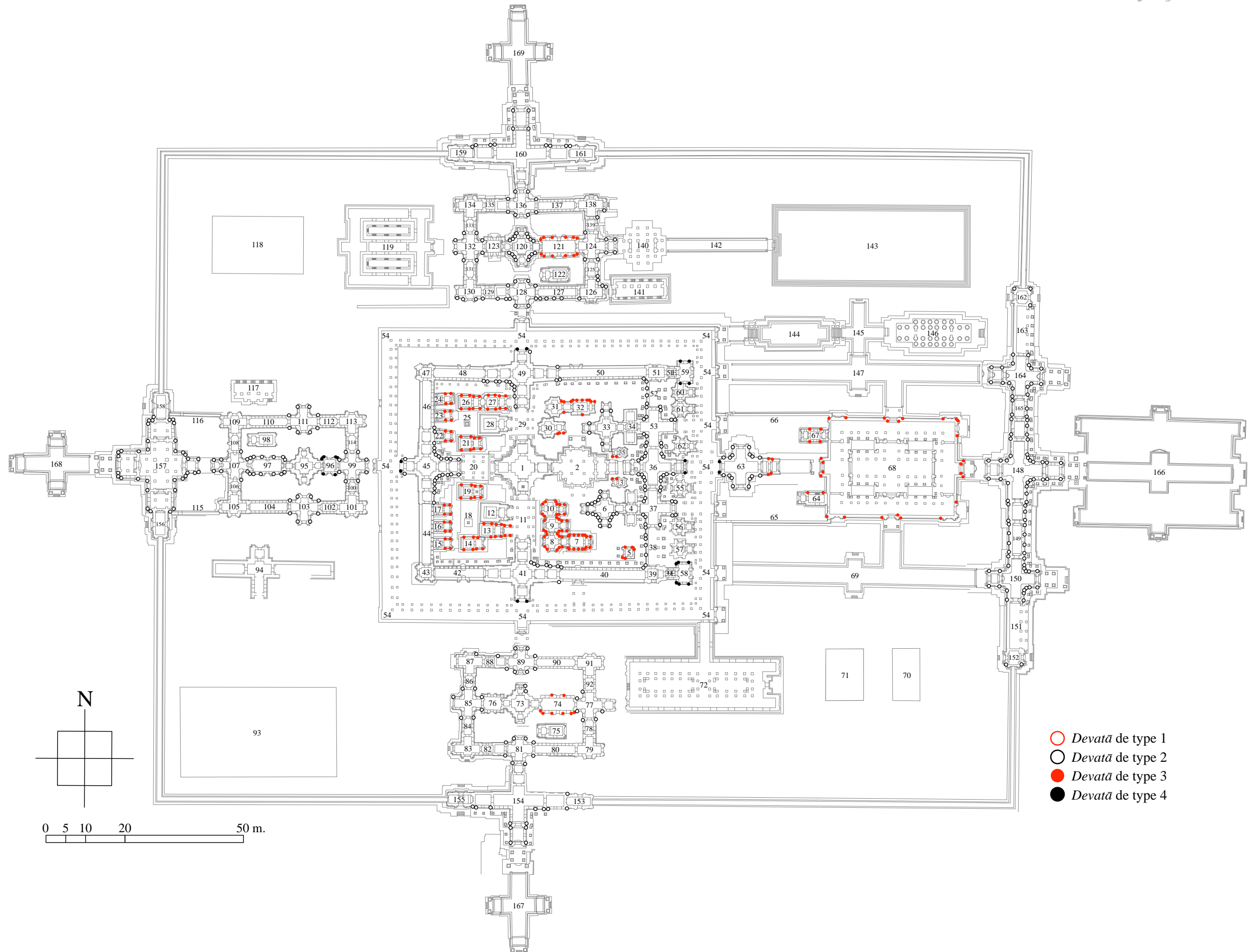


Fig. I-3-1-3.25 : Répartition des différents types de *devatā* dans la troisième enceinte du Preah Khan d'Angkor

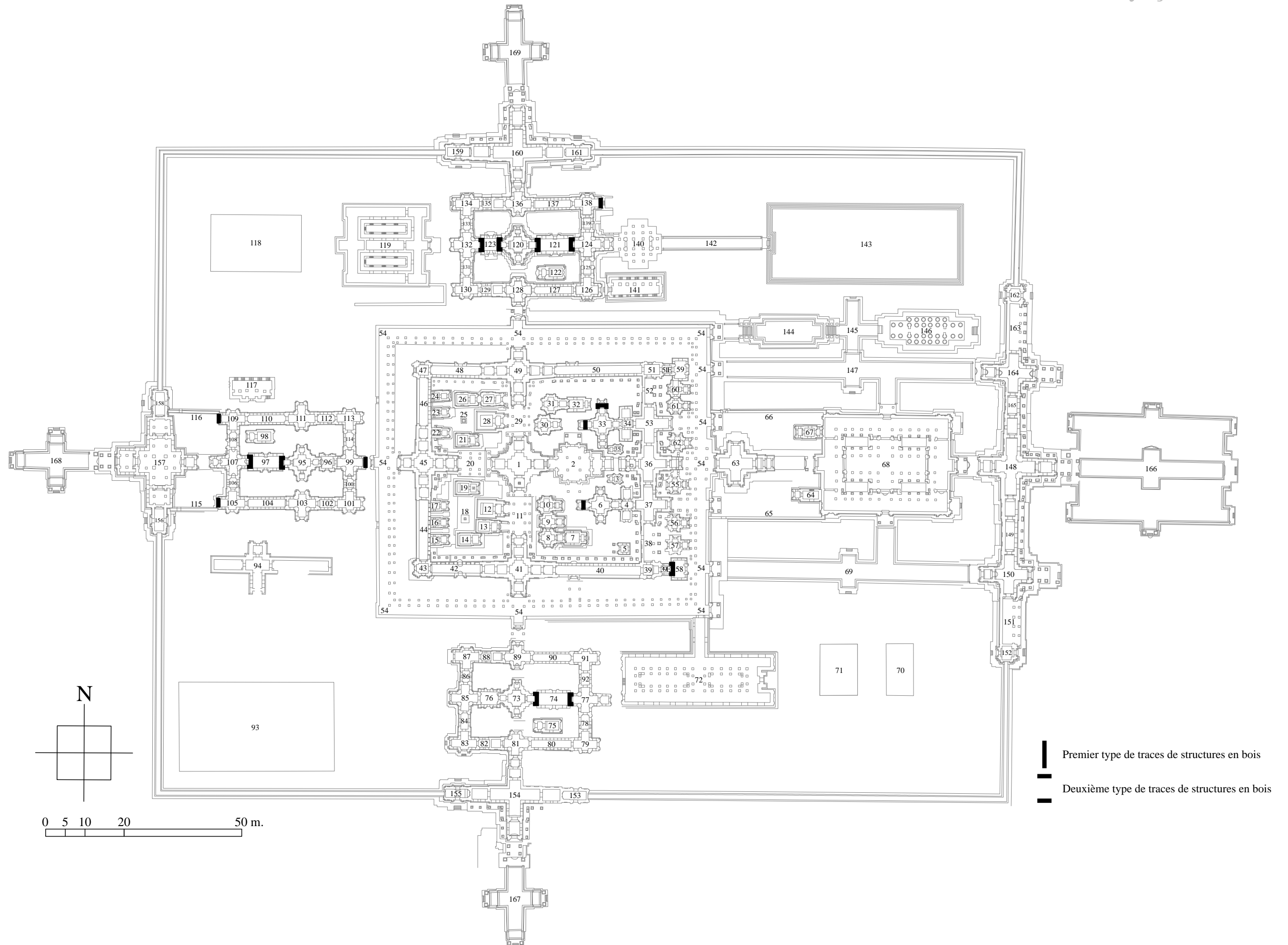


Fig. I-3-1-3.26 : Répartition des traces de structures en matériaux éphémères dans la troisième enceinte du Preah Khan d'Angkor

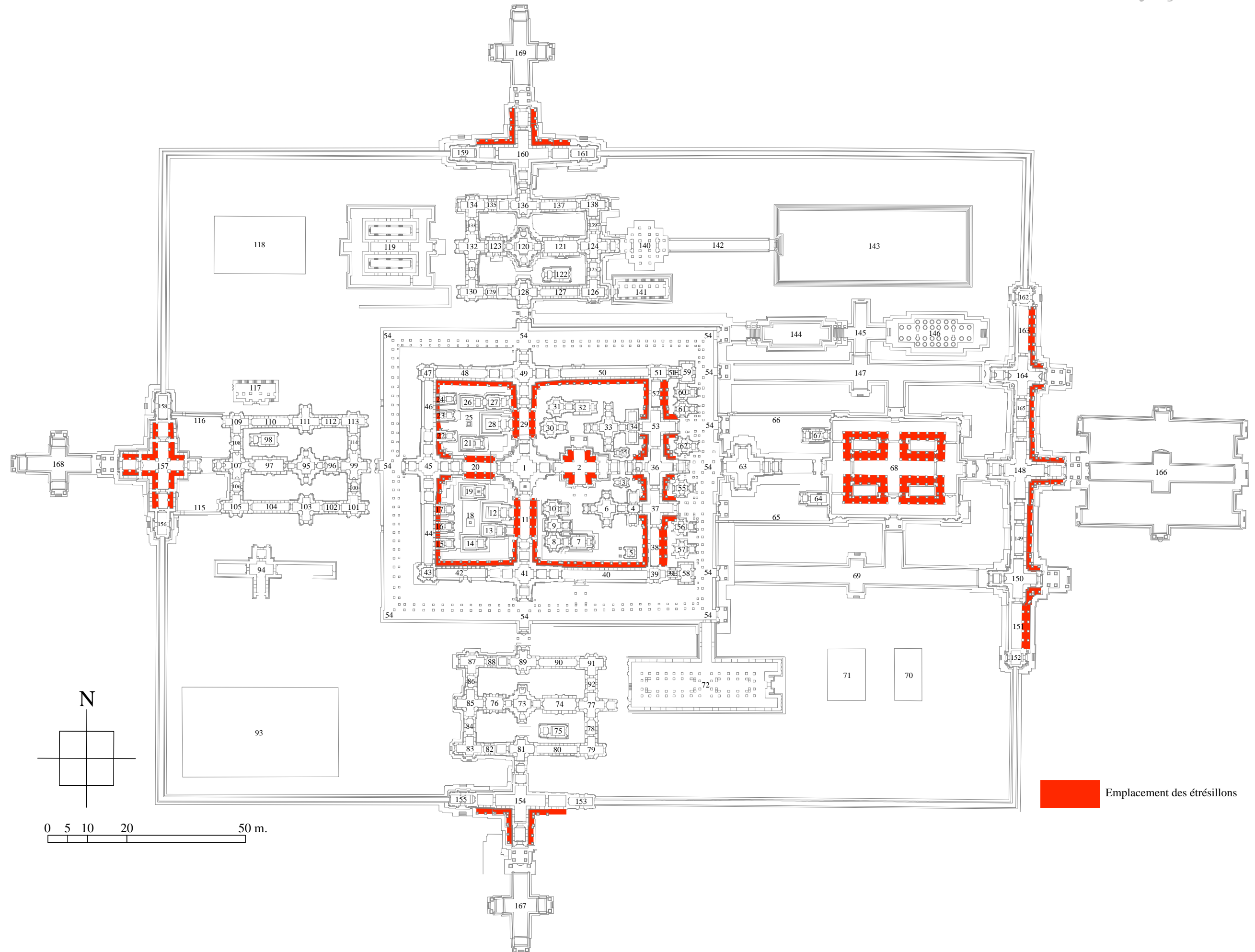


Fig. I-3-1-3.27 : Répartition des édifices présentant des étrépillons dans la troisième enceinte du Preah Khan d'Angkor

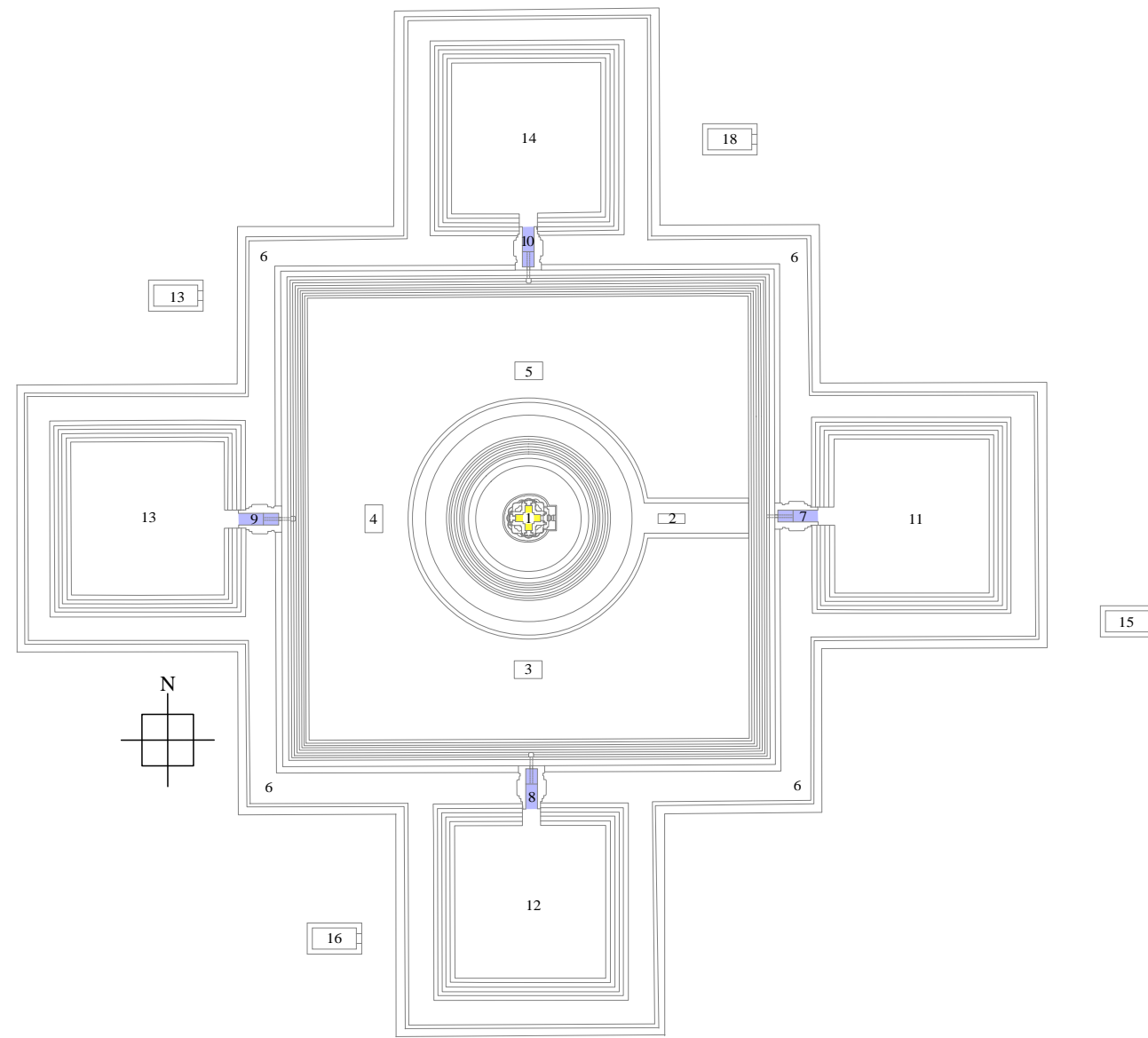


Fig. I-3-1-3.28 : Répartition des différents types de faîtages au Neak Pean

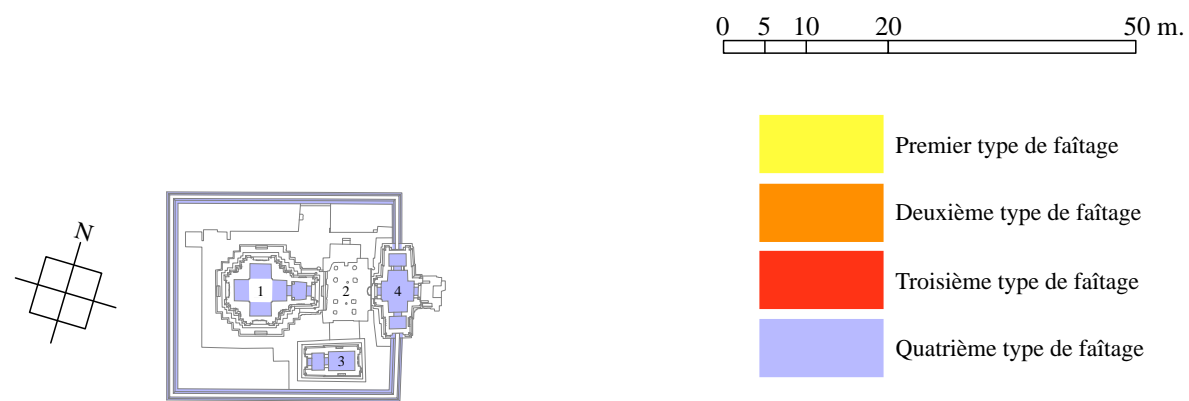


Fig. I-3-1-3.30 : Répartition des différents types de faîtages à Prasat Prei

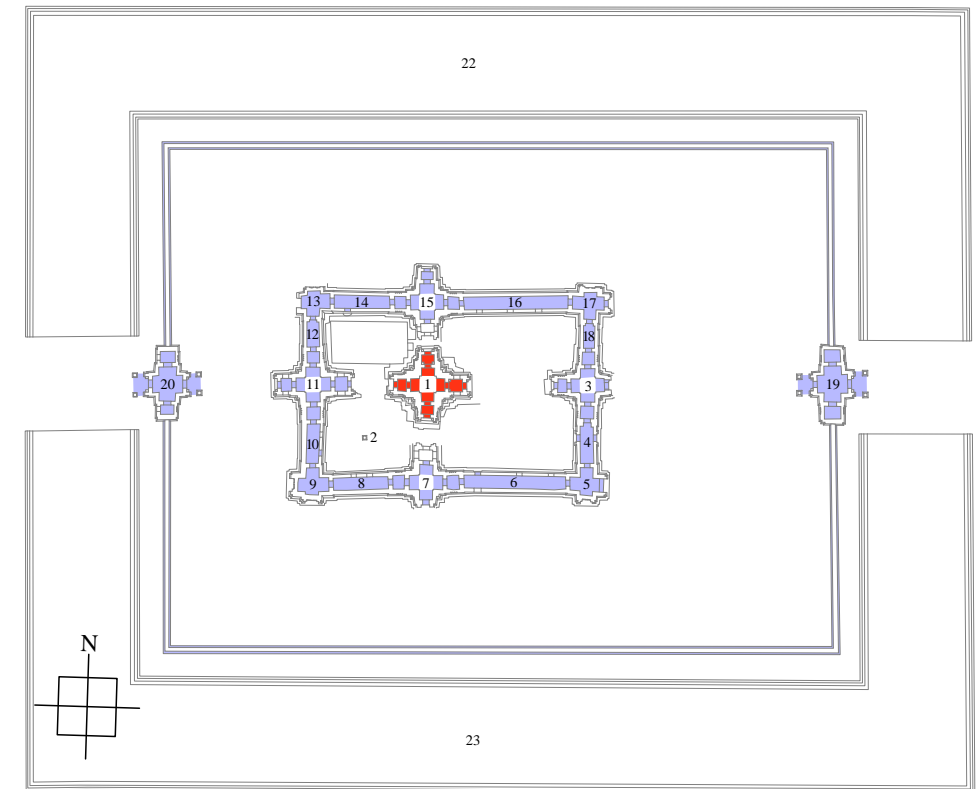


Fig. I-3-1-3.29 : Répartition des différents types de faîtages dans la deuxième enceinte de Banteay Prei

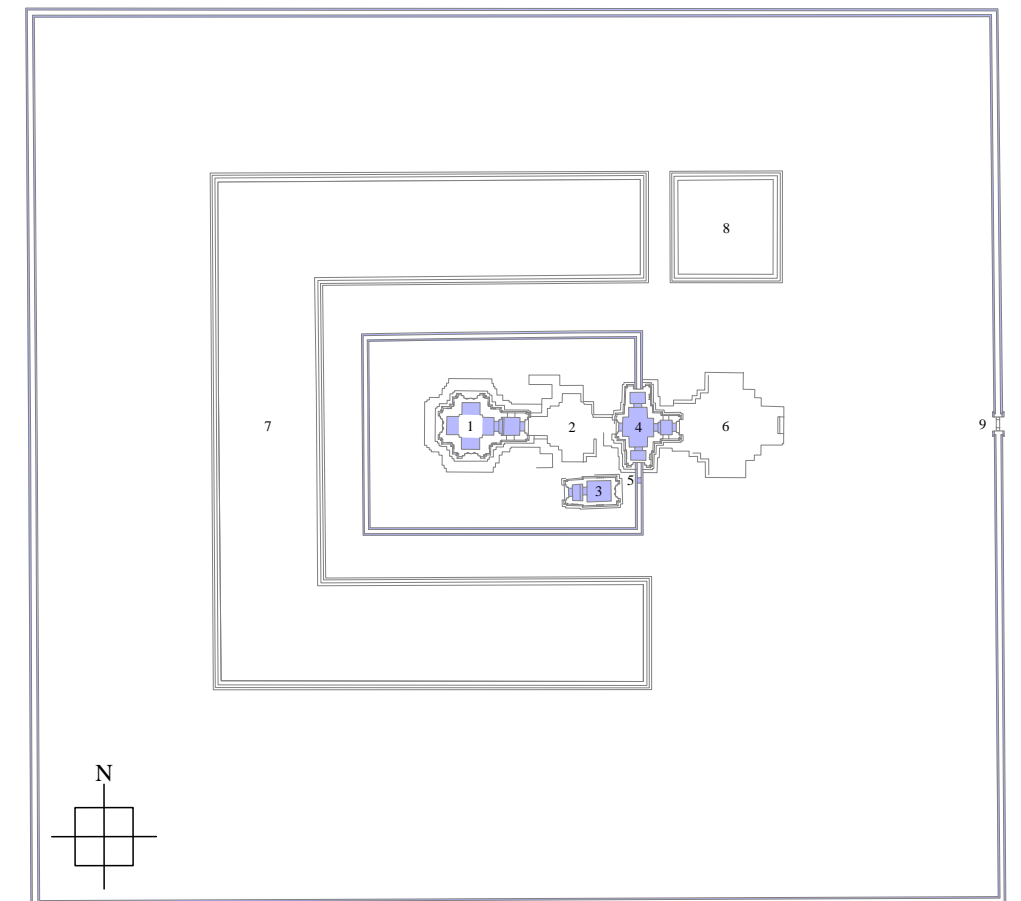


Fig. I-3-1-3.31 : Répartition des différents types de faîtages dans la deuxième enceinte de Krol Kô

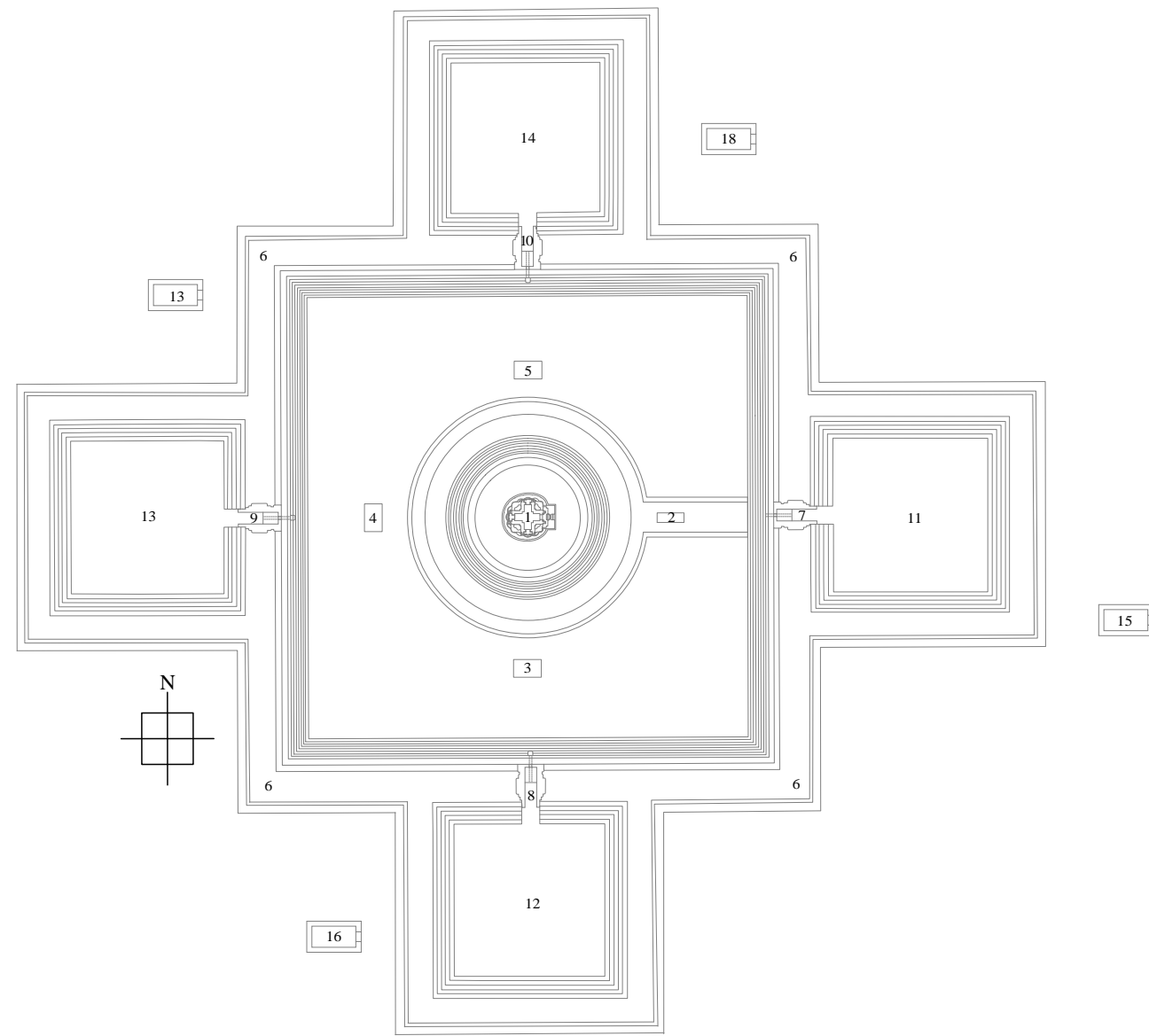


Fig. I-3-1-3.32 : Répartition des différents types de fausses-fenêtres au Neak Pean

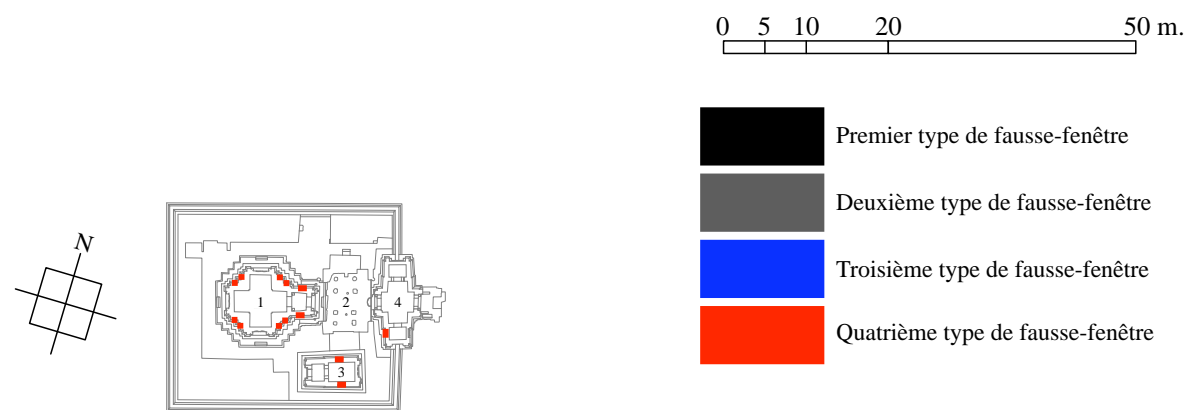


Fig. I-3-1-3.34 : Répartition des différents types de fausses-fenêtres à Prasat Prei

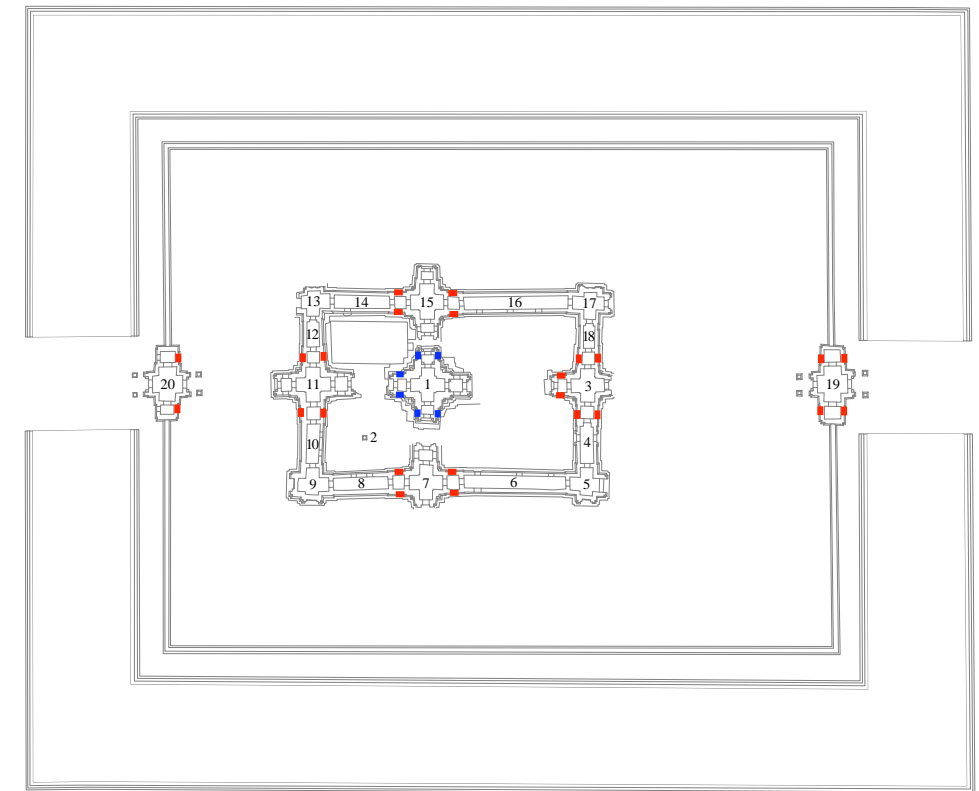


Fig. I-3-1-3.33 : Répartition des différents types de fausses-fenêtres dans la deuxième enceinte de Banteay Prei

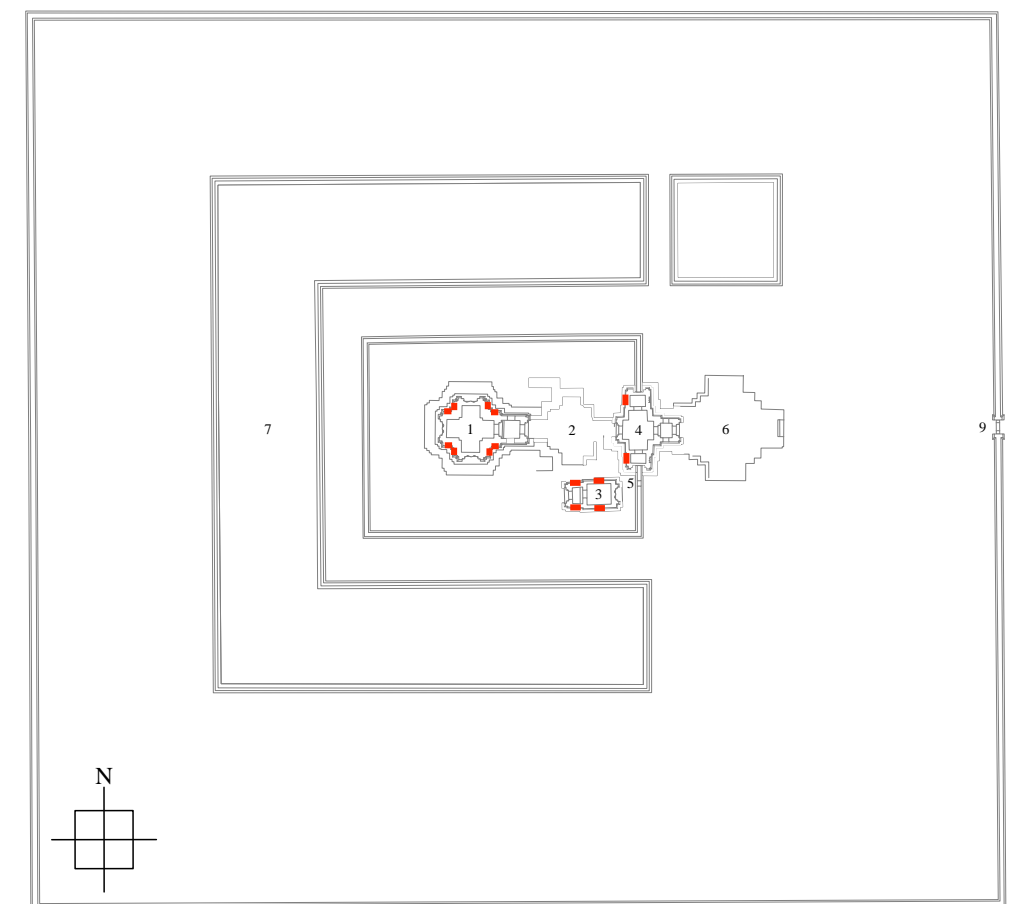


Fig. I-3-1-3.35 : Répartition des différents types de fausses-fenêtres dans la deuxième enceinte de Krol Kô

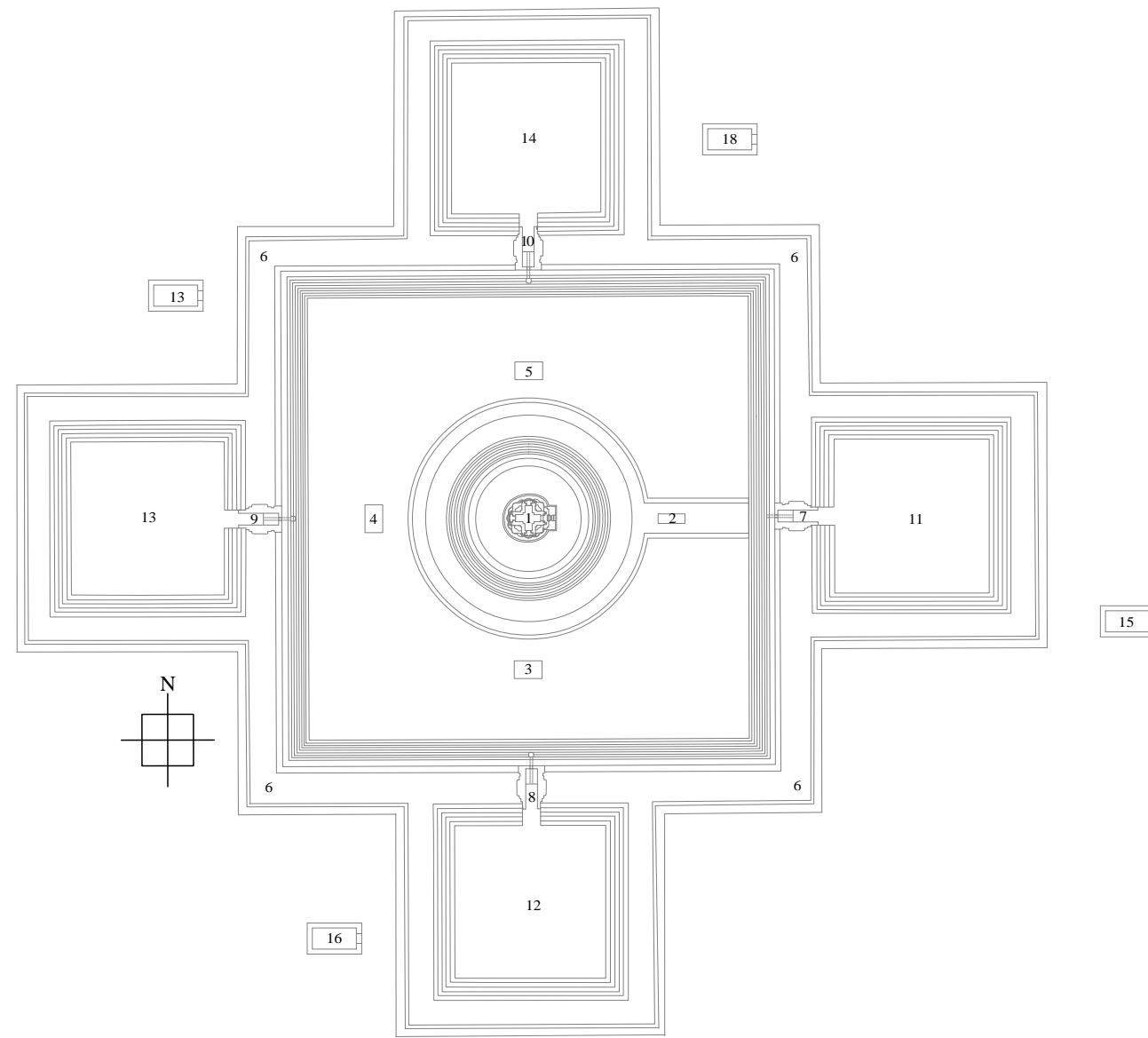


Fig. I-3-1-3.36 : Répartition des différents types de tableaux de porte au Neak Pean

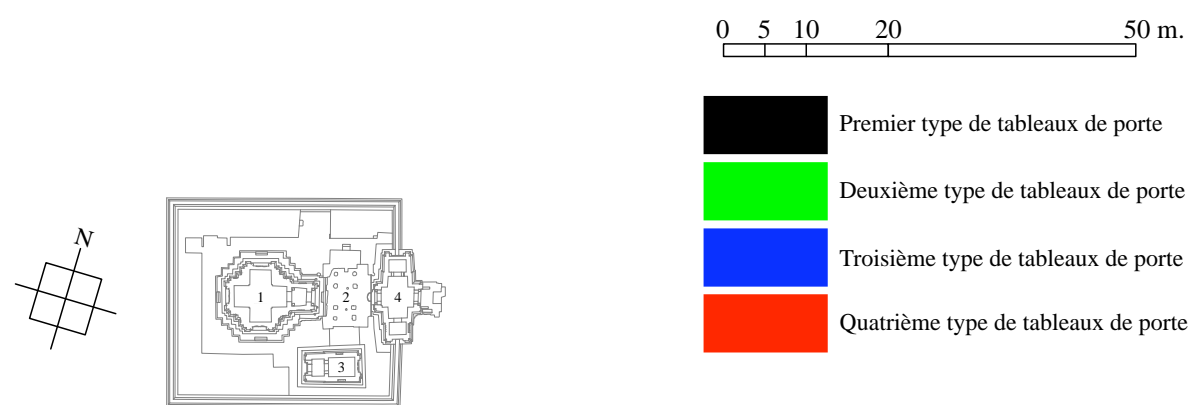


Fig. I-3-1-3.38 : Répartition des différents types de tableaux de porte à Prasat Prei

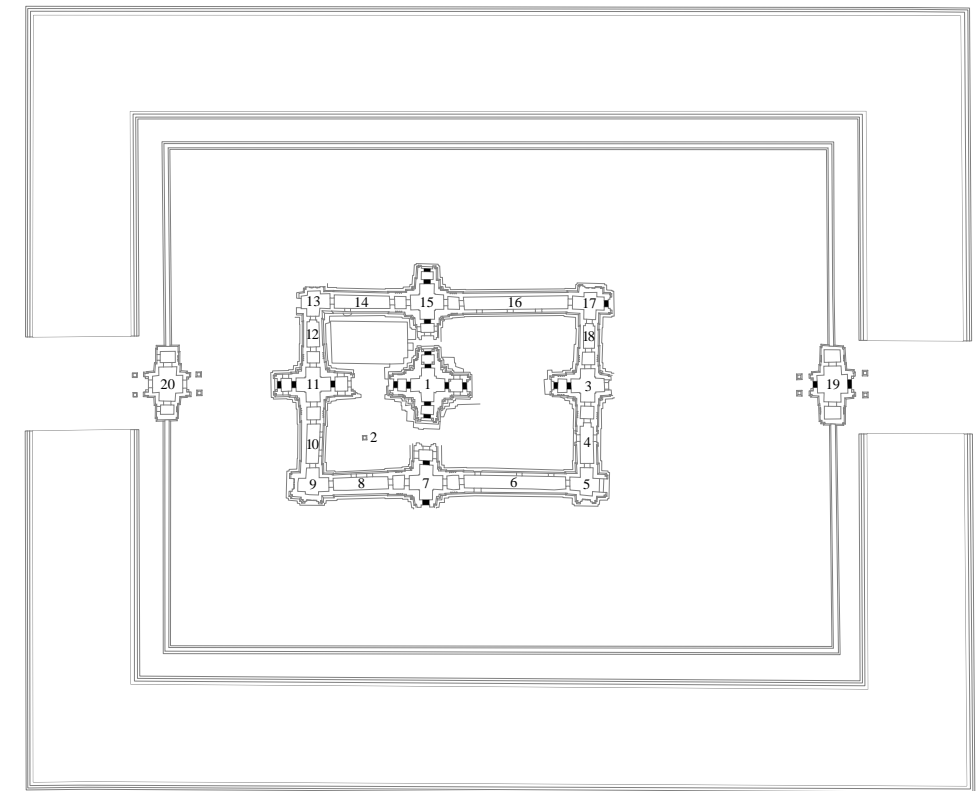


Fig. I-3-1-3.37 : Répartition des différents types de tableaux de porte dans la deuxième enceinte de Banteay Prei

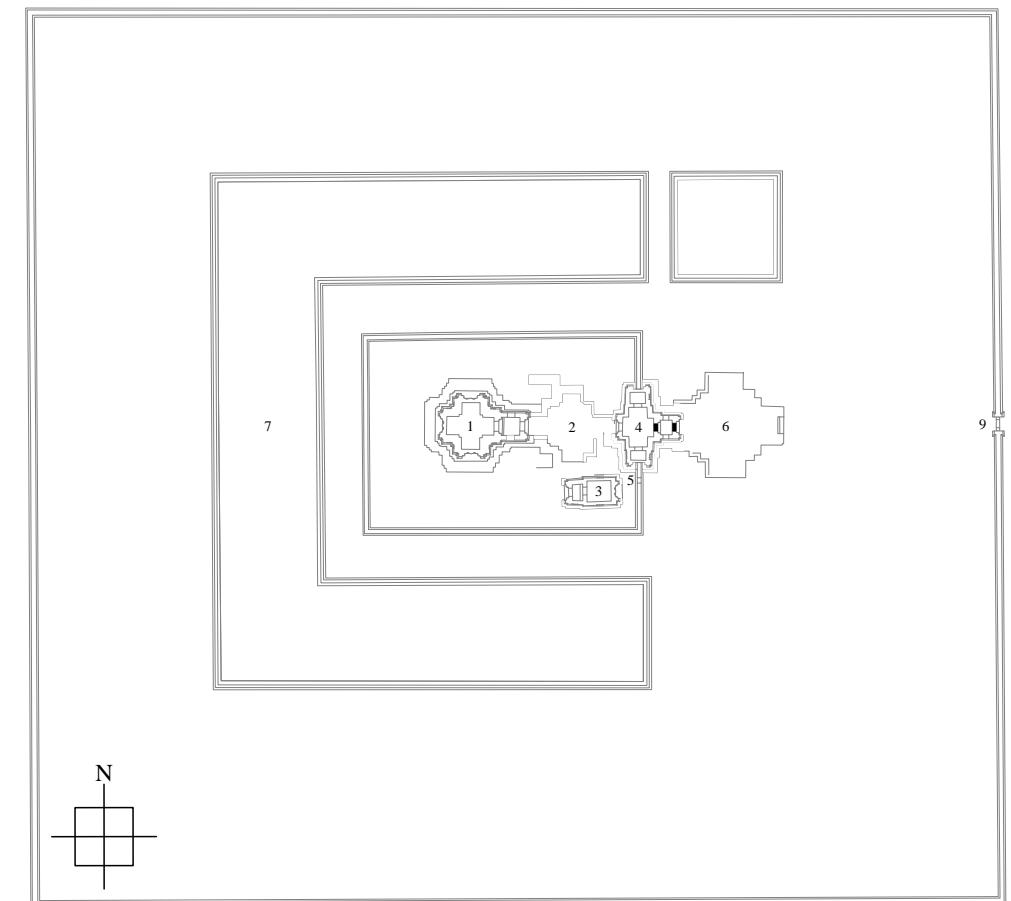


Fig. I-3-1-3.39 : Répartition des différents types de tableaux de porte dans la deuxième enceinte de Krol Kô

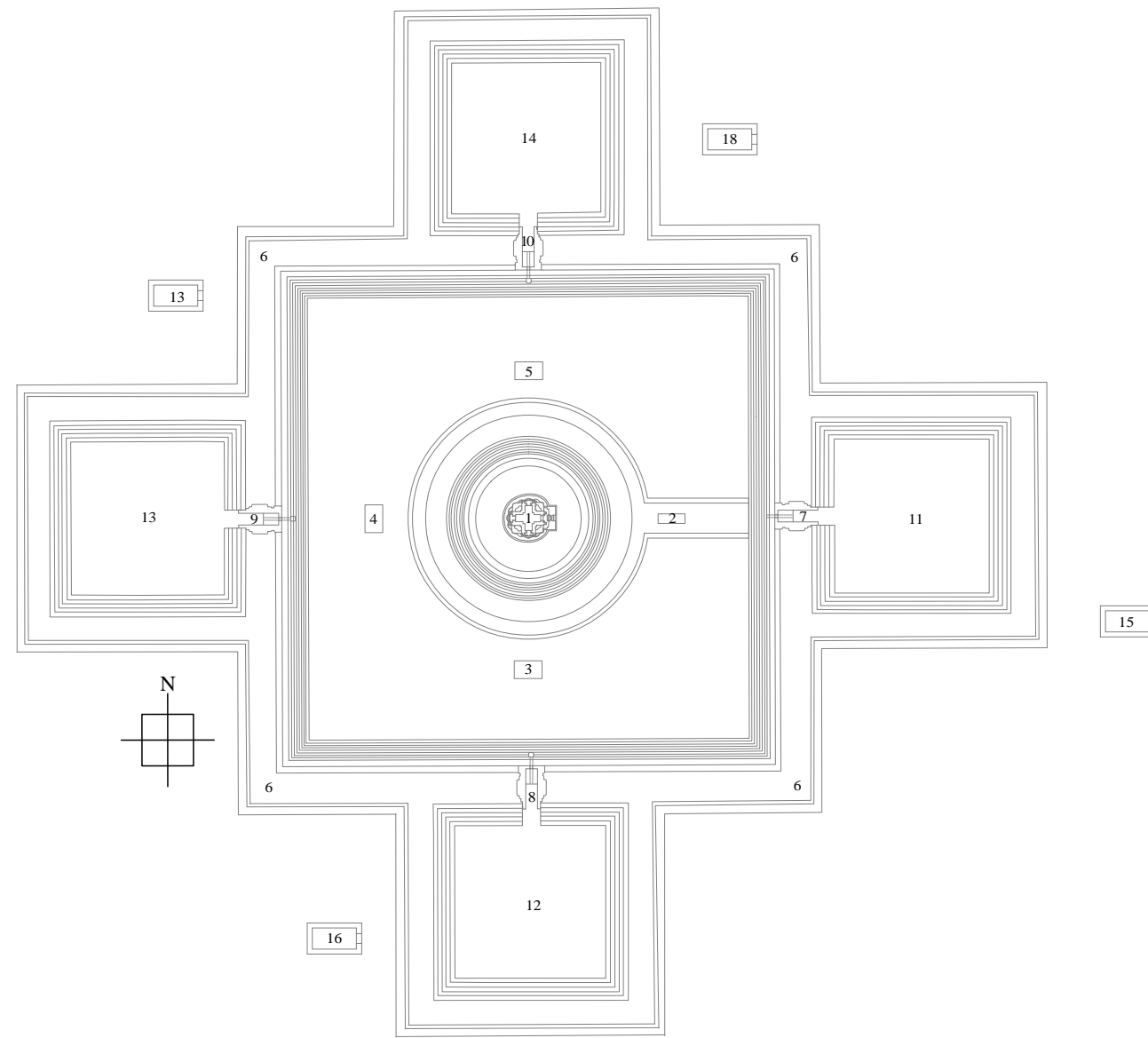
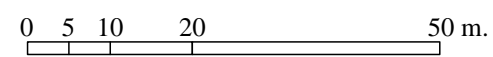


Fig. I-3-1-3.40 : Répartition des différents types de *devatā* au Neak Pean



- *Devatā* de type 1
- *Devatā* de type 2
- *Devatā* de type 3
- *Devatā* de type 4

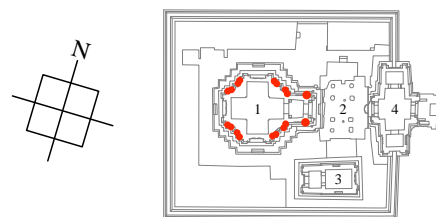


Fig. I-3-1-3.42 : Répartition des différents types de *devatā* à Prasat Prei

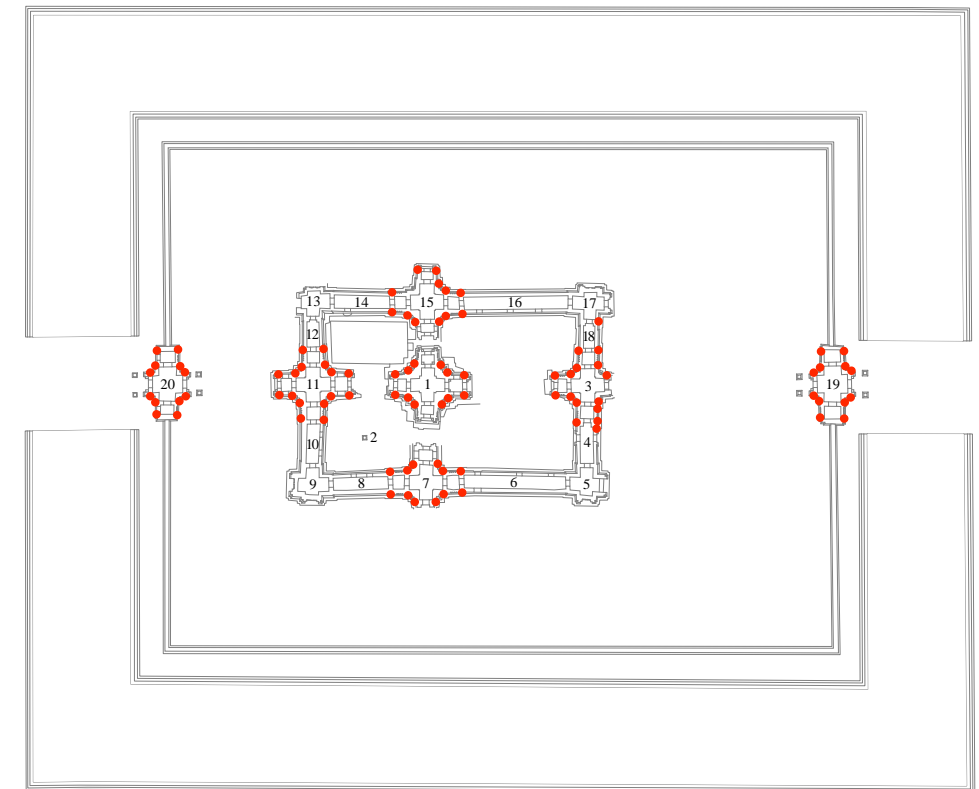


Fig. I-3-1-3.41 : Répartition des différents types de *devatā* dans la deuxième enceinte de Banteay Prei

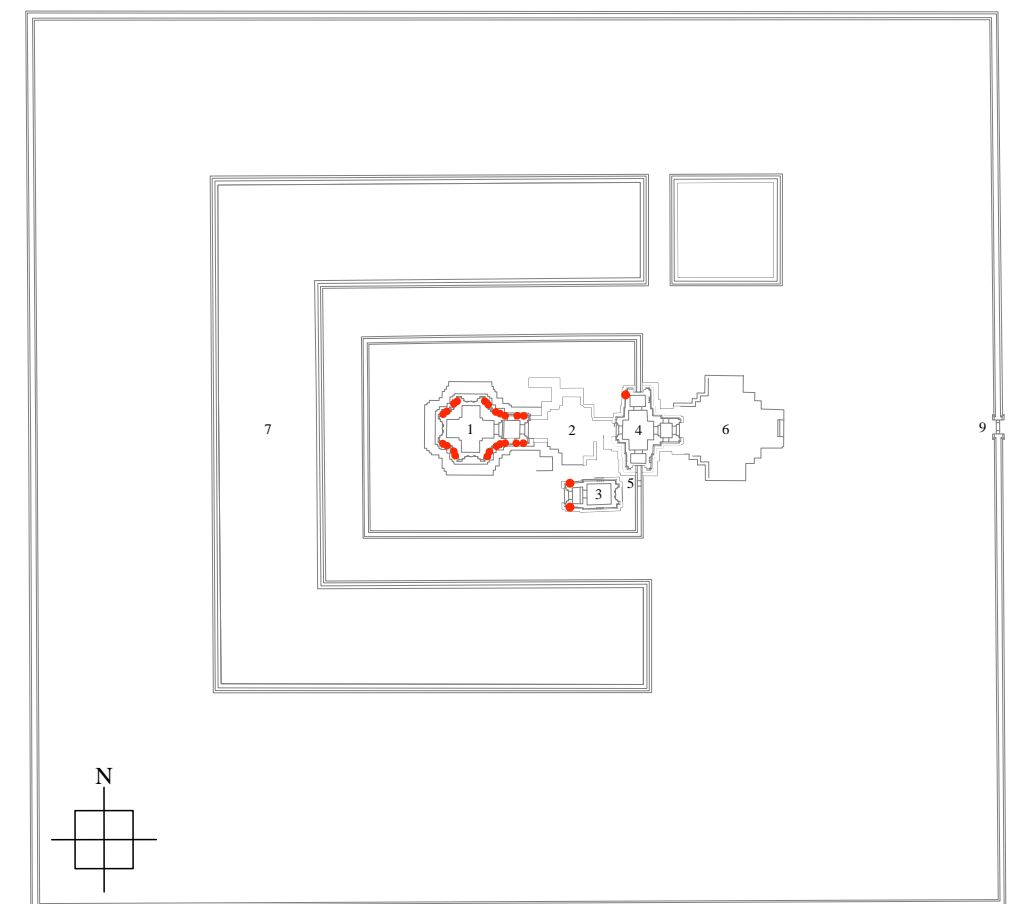


Fig. I-3-1-3.43 : Répartition des différents types de *devatā* dans la deuxième enceinte de Krol Kô

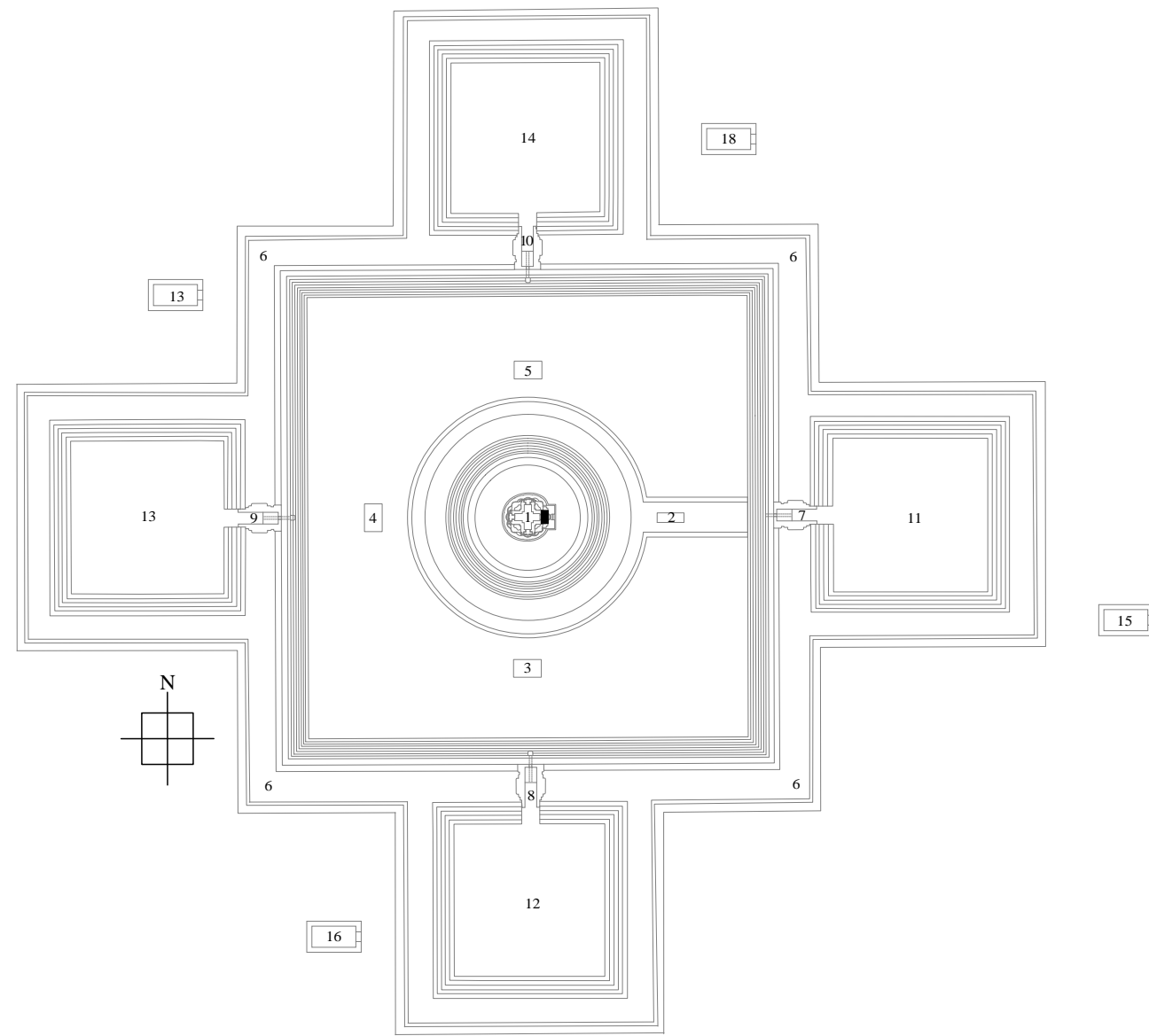


Fig. I-3-1-3.44 : Répartition des traces de structures en matériaux éphémères au Neak Pean

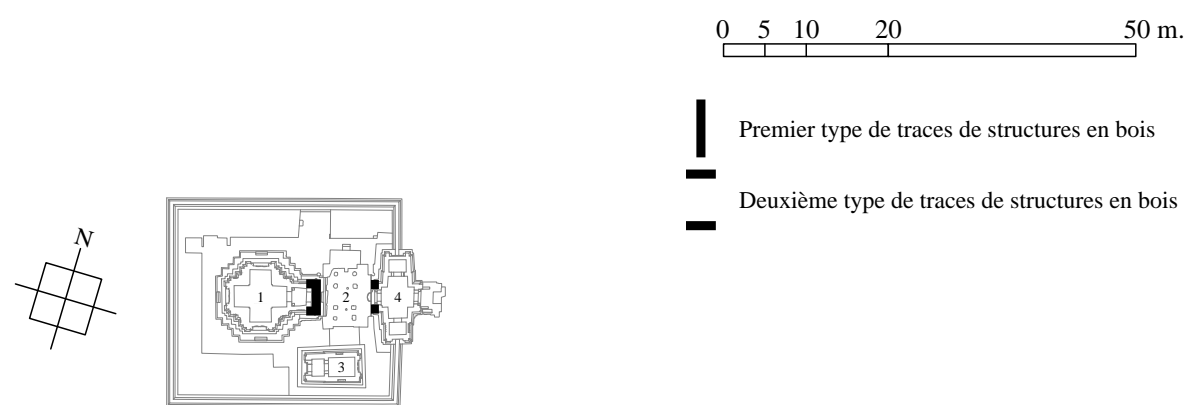


Fig. I-3-1-3.46 : Répartition des traces de structures en matériaux éphémères à Prasat Prei

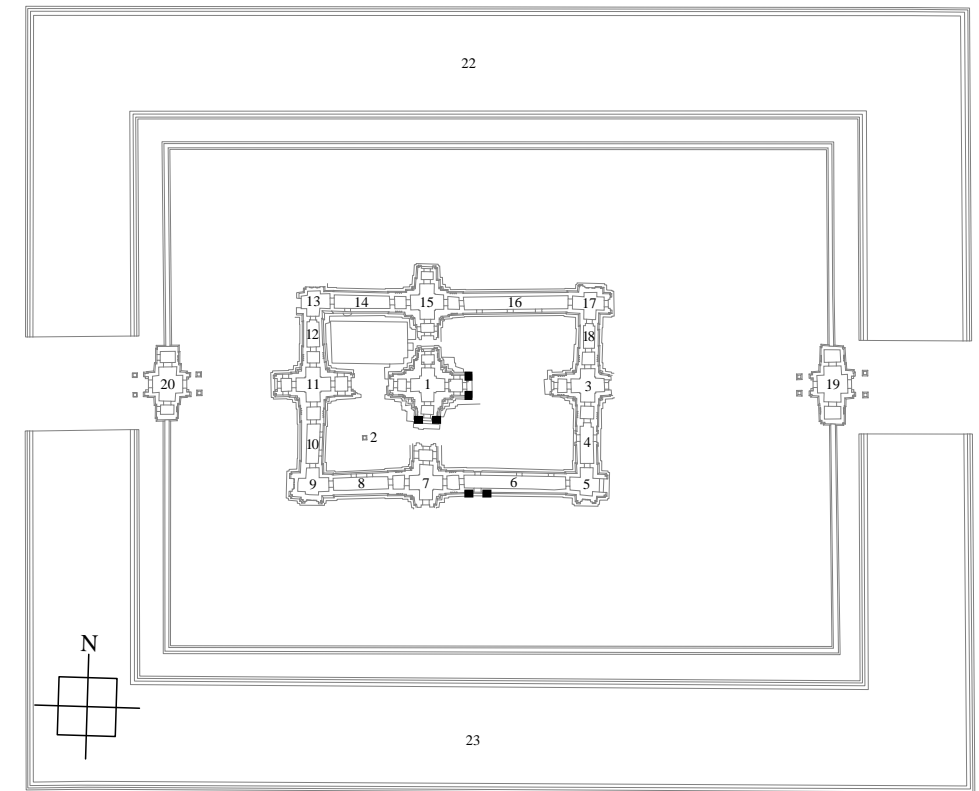


Fig. I-3-1-3.45 : Répartition des traces de structures en matériaux éphémères dans la deuxième enceinte de Banteay Prei

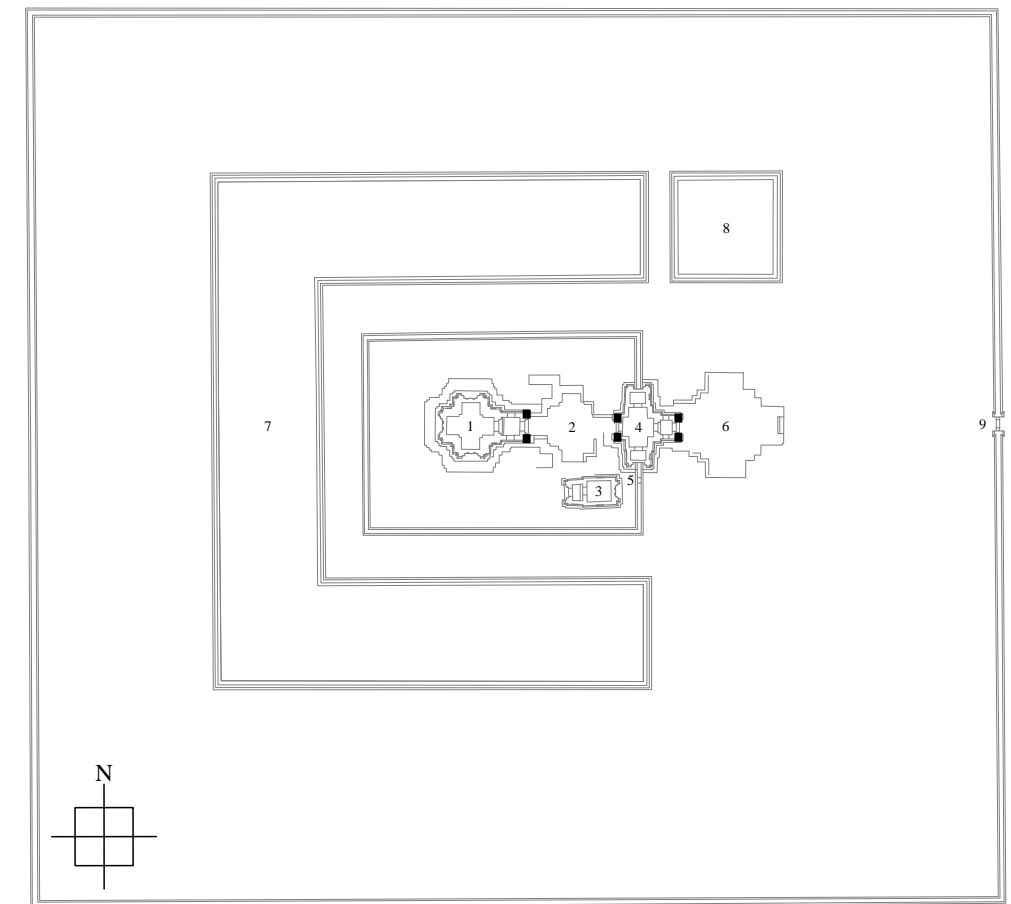


Fig. I-3-1-3.47 : Répartition des traces de structures en matériaux éphémères dans la deuxième enceinte de Krol Kô

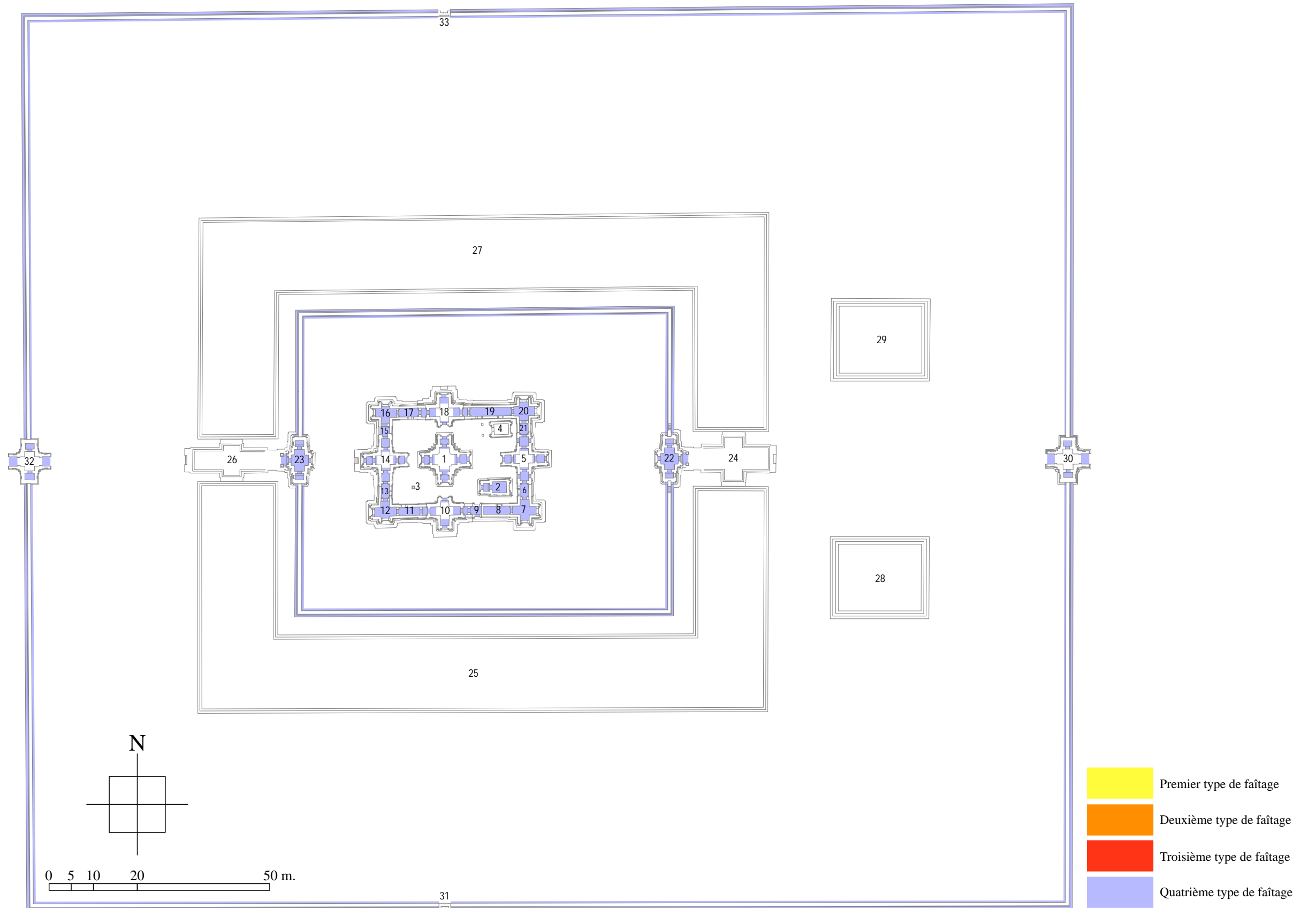


Fig. I-3-1-3.48 : Répartition des différents types de fâitages dans la troisième enceinte de Ta Som

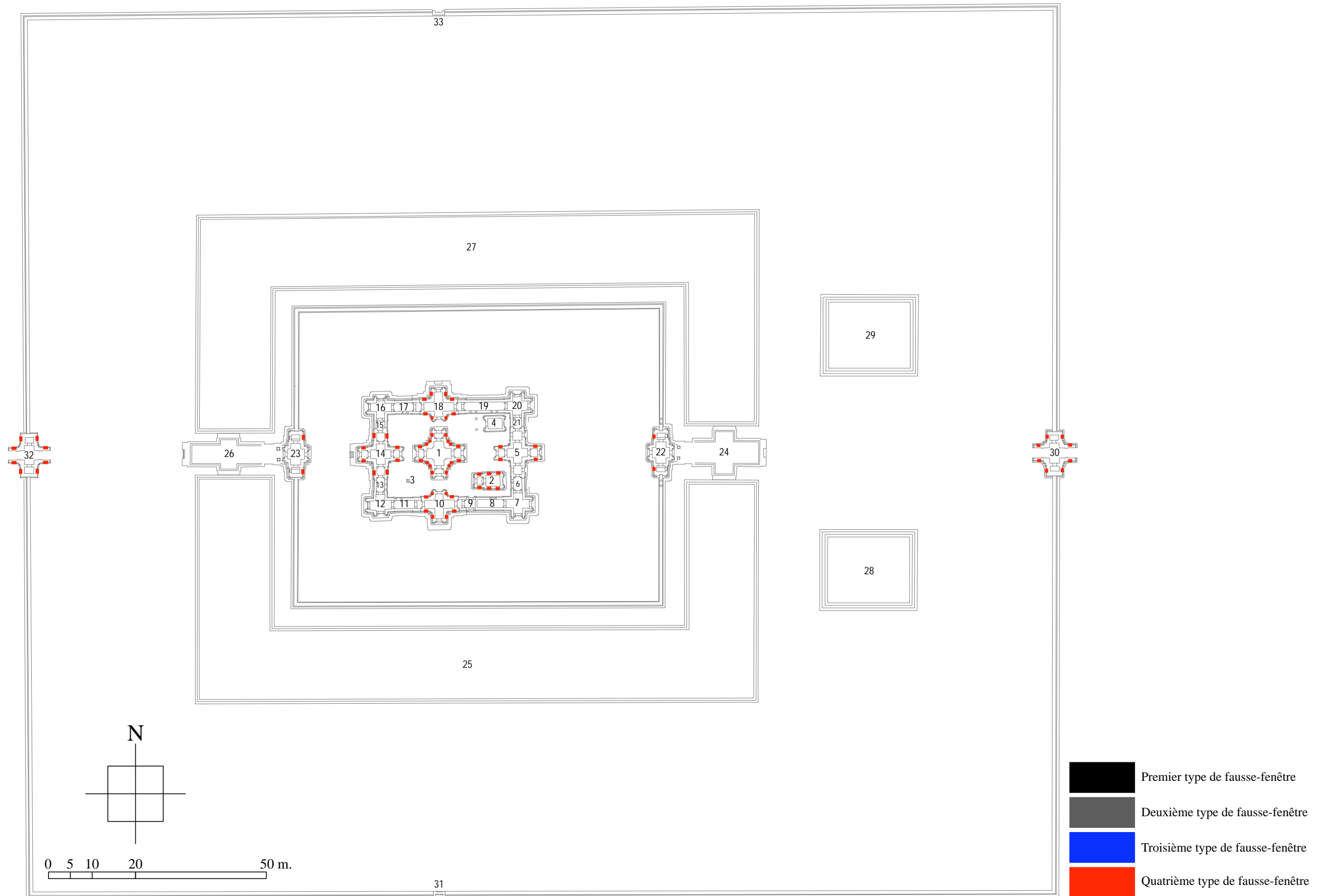


Fig. I-3-1-3.49 : Répartition des différents types de fausses-fenêtres dans la troisième enceinte de Ta Som

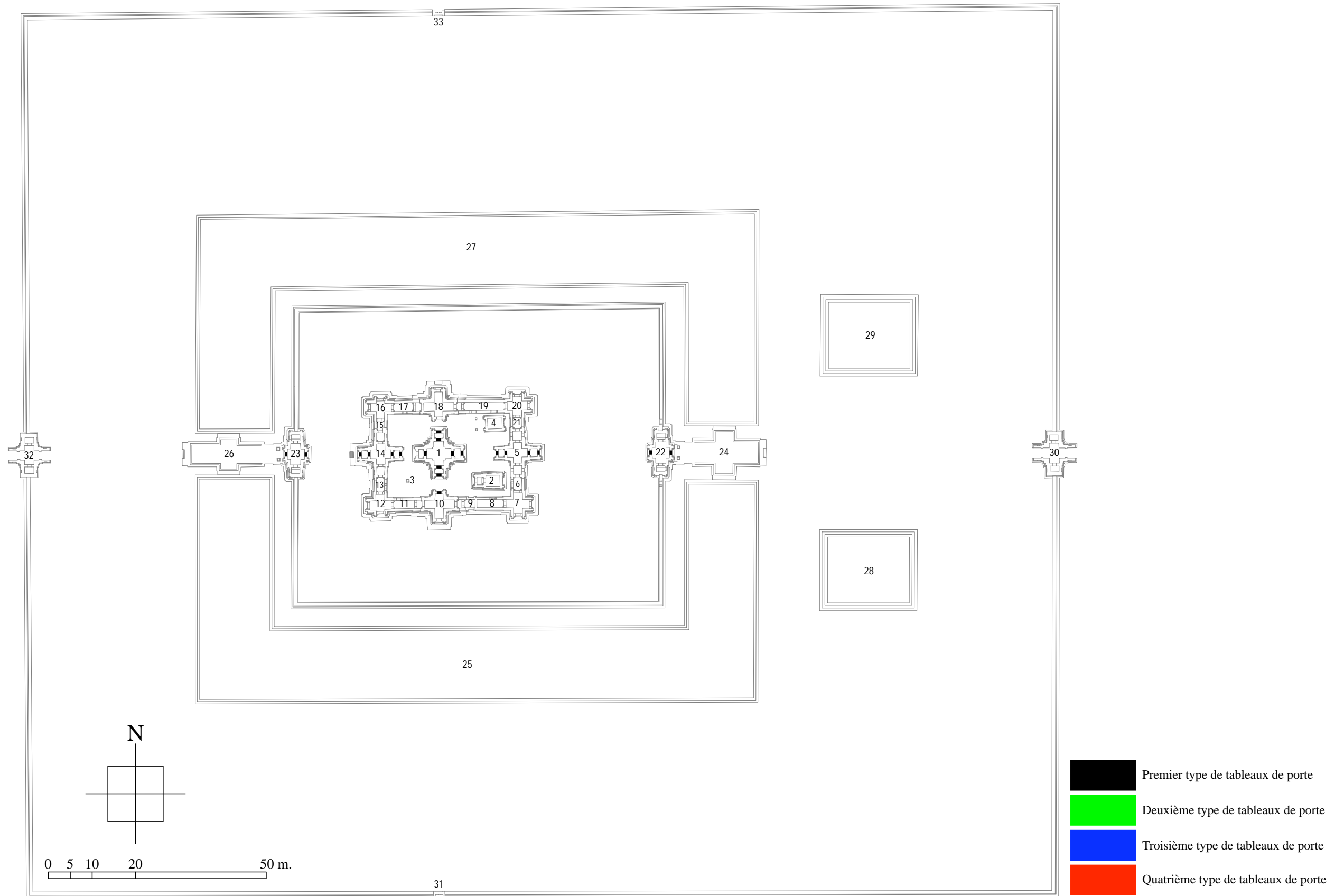


Fig. I-3-1-3.50 : Répartition des différents types de tableaux de porte dans la troisième enceinte de Ta Som

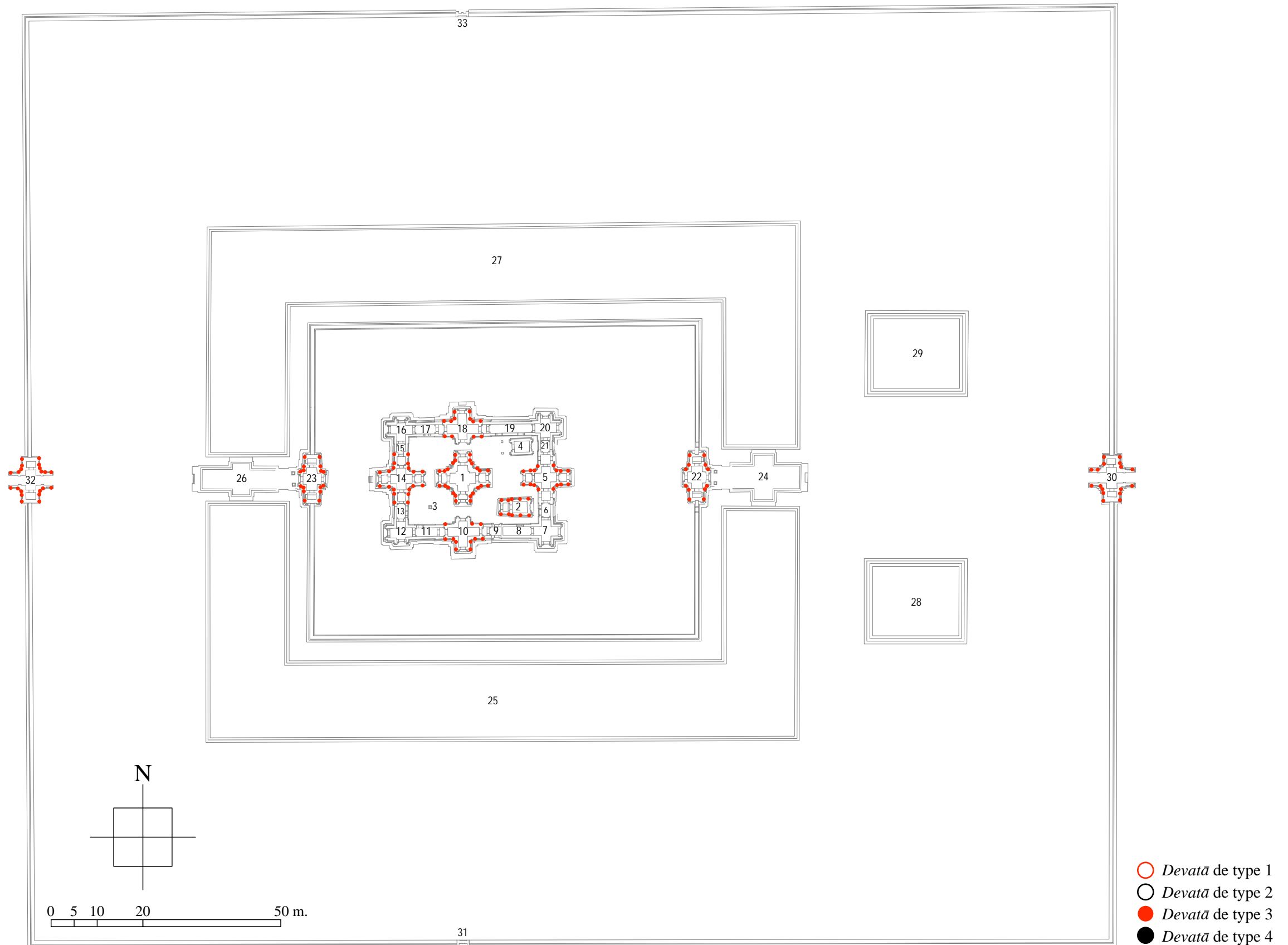


Fig. I-3-1-3.51 : Répartition des différents types de *devatā* dans la troisième enceinte de Ta Som

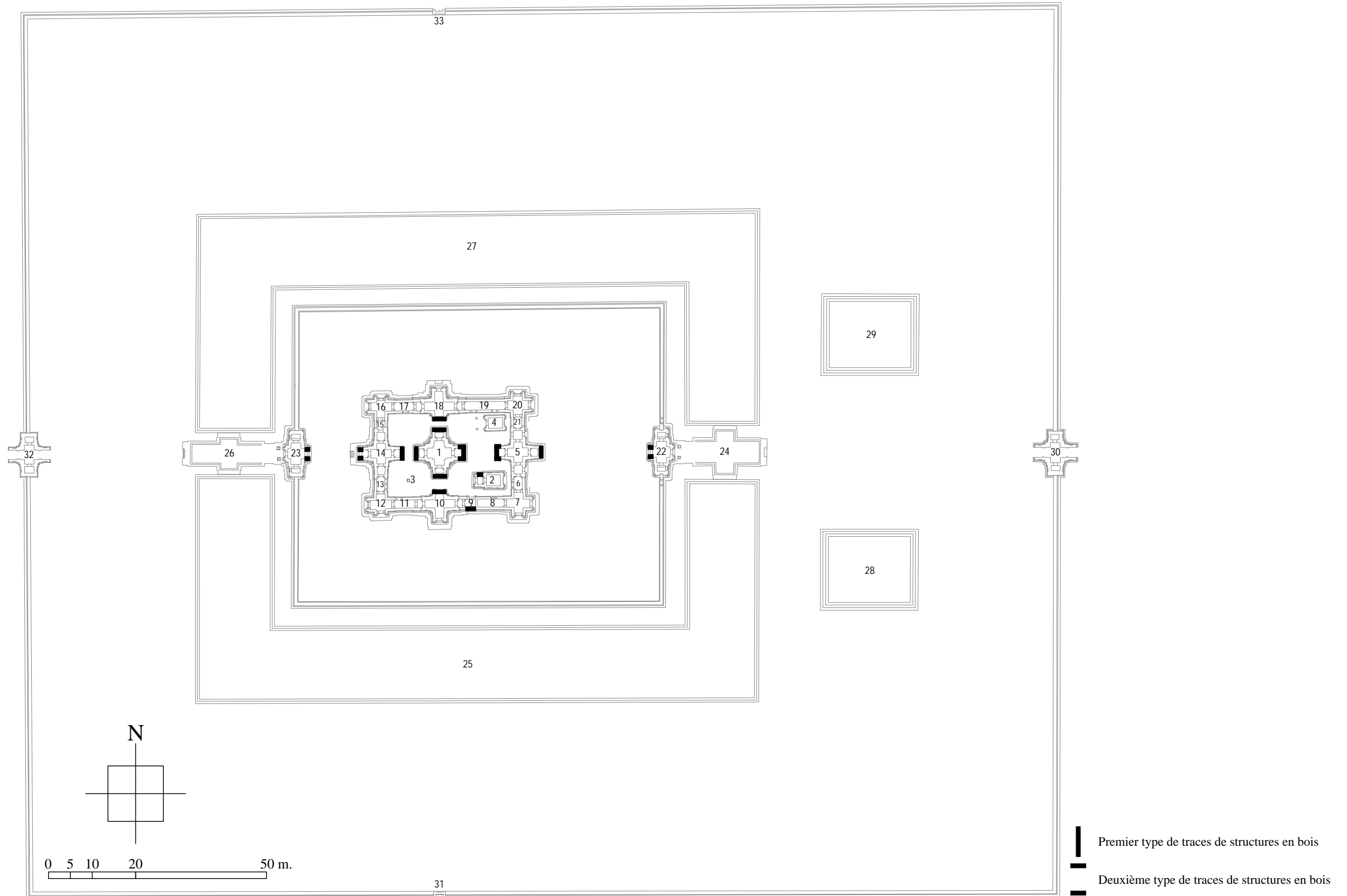


Fig. I-3-1-3.52 : Répartition des traces de structures en matériaux éphémères dans la troisième enceinte de Ta Som

Banteay Thom, Prasat Prei Prasat ; Chapelles des hôpitaux, portes et Prasat Chrung d'Angkor Thom

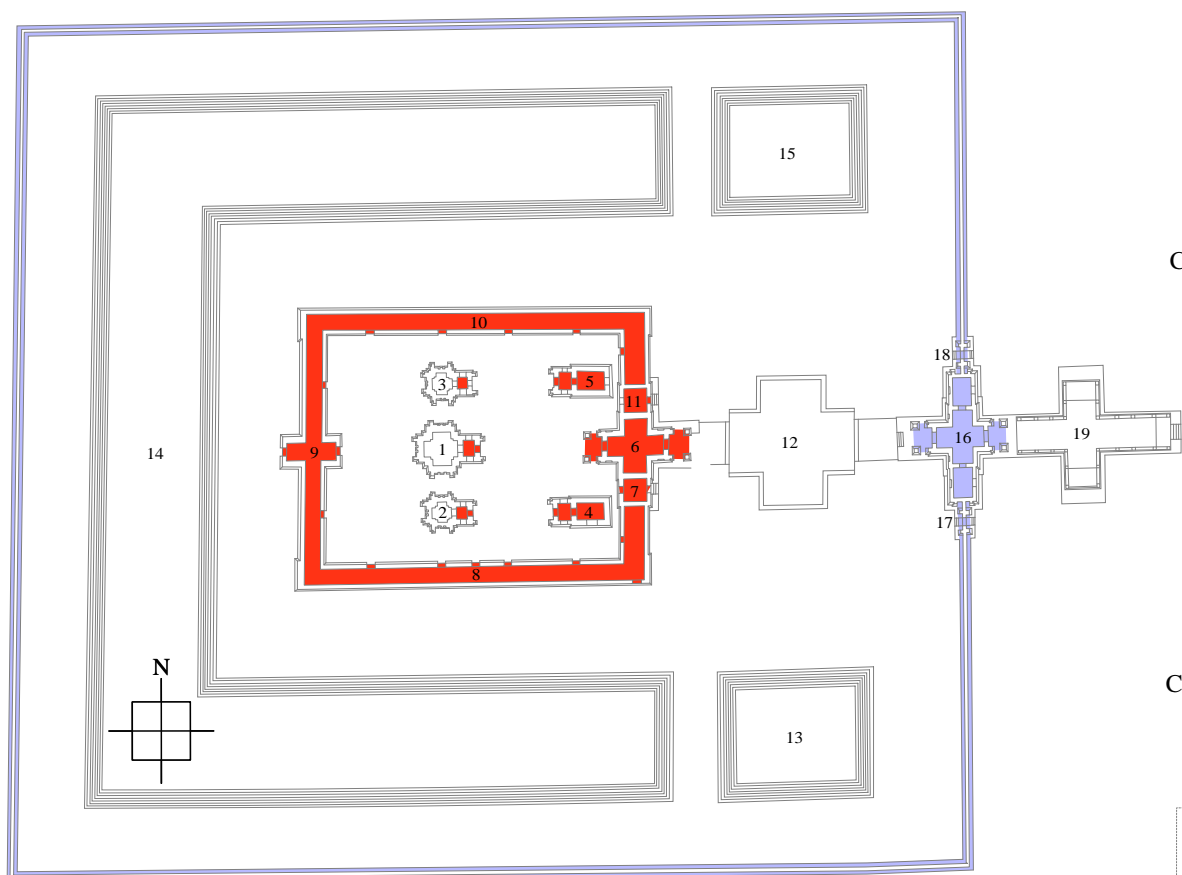
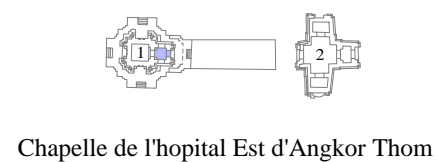


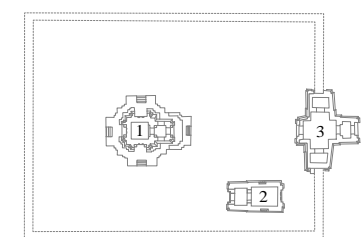
Fig. I-3-1-3.53 : Répartition des différents types de faîtages dans la deuxième enceinte de Banteay Thom



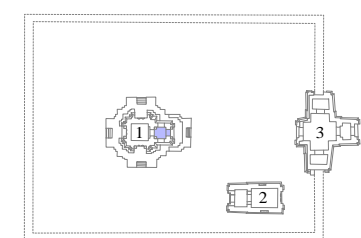
Chapelle de l'hôpital Est d'Angkor Thom



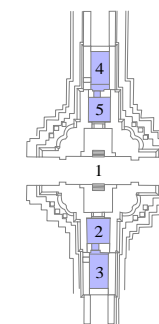
Ta Prohm Kel
Chapelle de l'hôpital Sud d'Angkor Thom



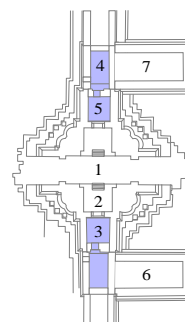
Chapelle de l'hôpital Ouest d'Angkor Thom



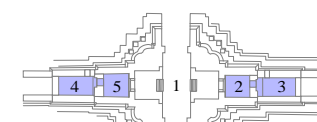
Chapelle de l'hôpital Nord d'Angkor Thom



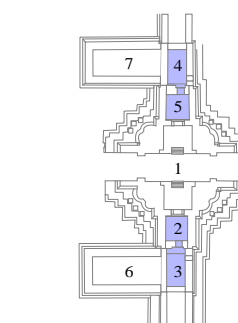
Porte de la Victoire d'Angkor Thom



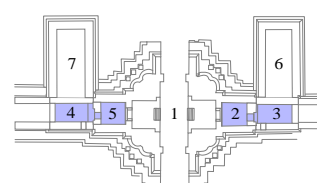
Porte des Morts d'Angkor Thom



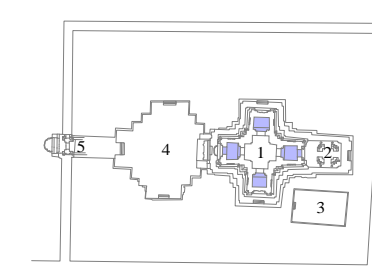
Porte Sud d'Angkor Thom



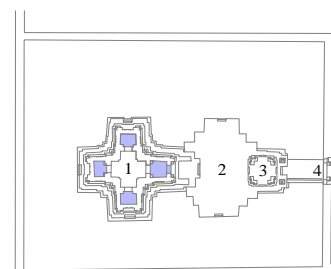
Porte Ouest d'Angkor Thom



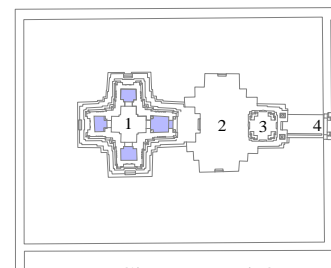
Porte Nord d'Angkor Thom



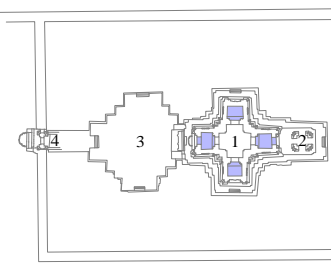
Prasat Chrung Sud-Est



Prasat Chrung Sud-Ouest



Prasat Chrung Nord-Ouest



Prasat Chrung Nord-Est

Fig. I-3-1-3.57 : Répartition des différents types de faîtages aux Prasat Chrung d'Angkor Thom

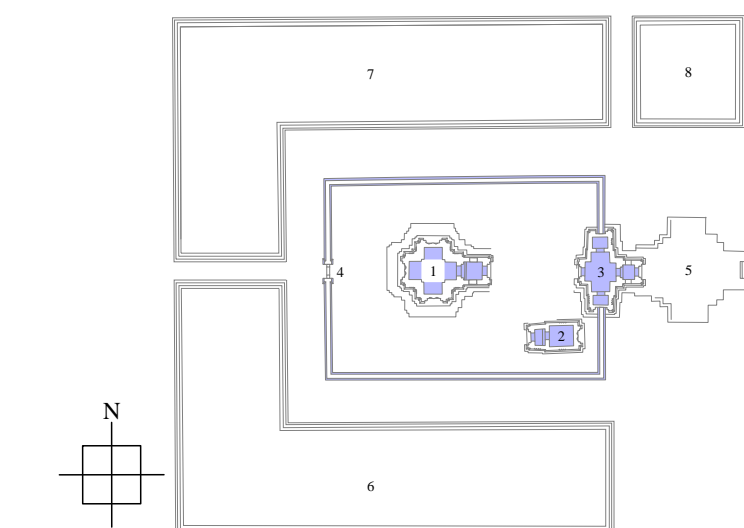
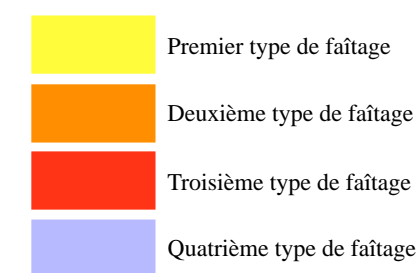


Fig. I-3-1-3.54 : Répartition des différents types de faîtages à Prasat Prei Prasat

Fig. I-3-1-3.55 : Répartition des différents types de faîtages aux chapelles des hôpitaux d'Angkor Thom

Fig. I-3-1-3.56 : Répartition des différents types de faîtages aux portes d'Angkor Thom



Banteay Thom, Prasat Prei Prasat ; Chapelles des hôpitaux, portes et Prasat Chrung d'Angkor Thom

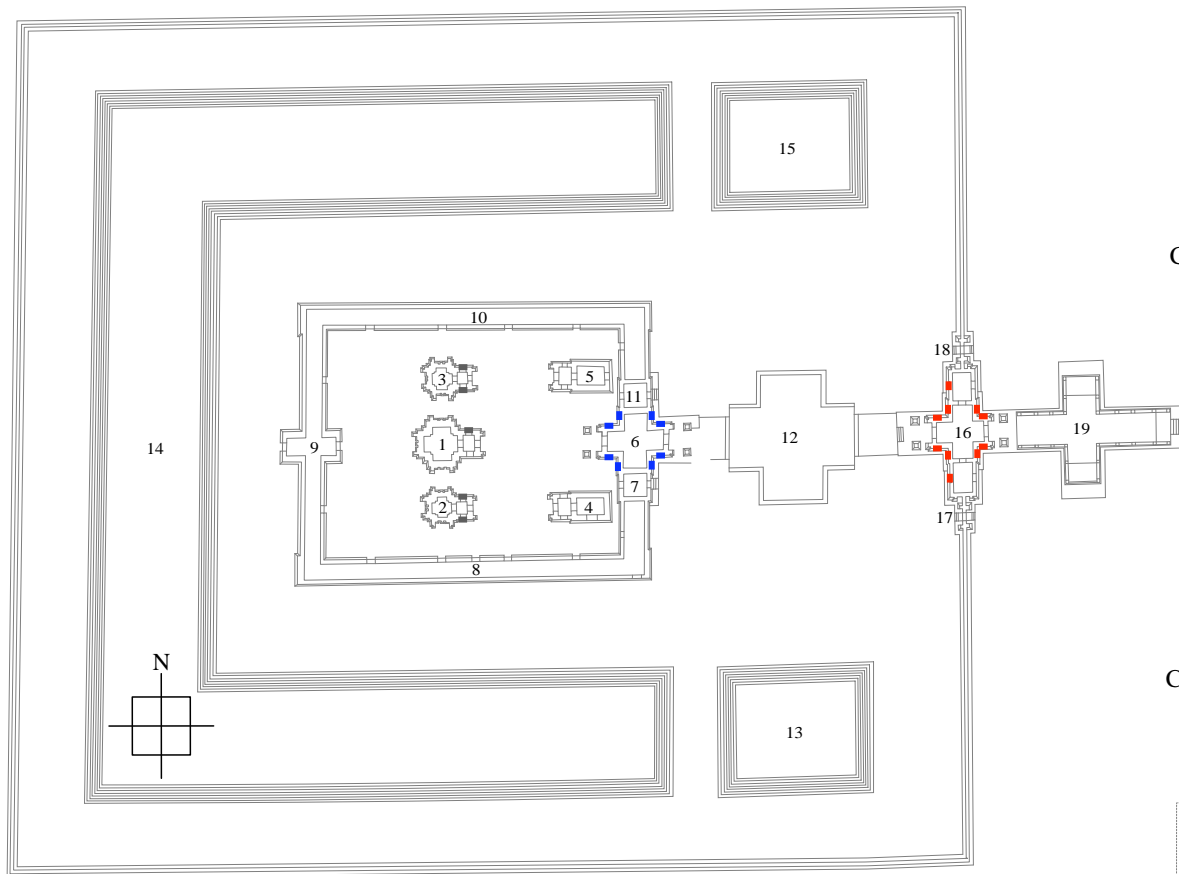
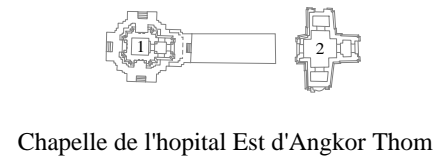
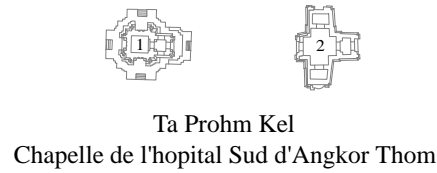


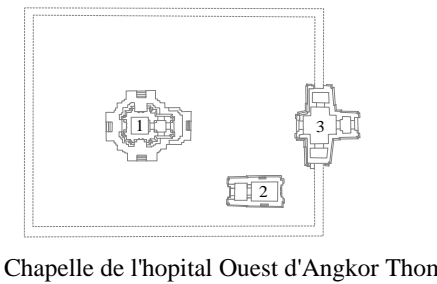
Fig. I-3-1-3.58 : Répartition des différents types de fausses-fenêtres dans la deuxième enceinte de Banteay Thom



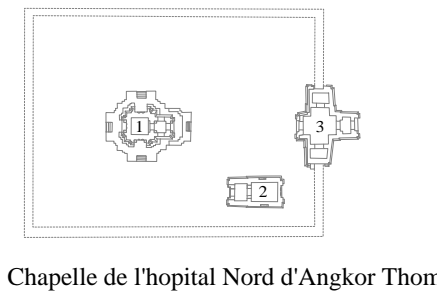
Chapelle de l'hôpital Est d'Angkor Thom



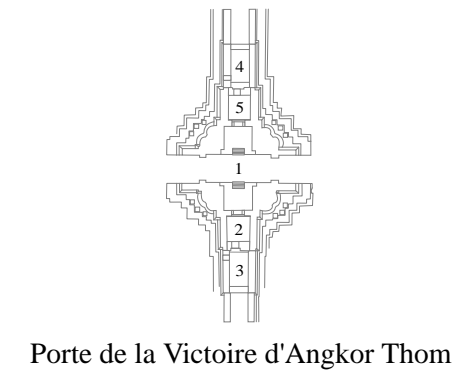
Ta Prohm Kel
Chapelle de l'hôpital Sud d'Angkor Thom



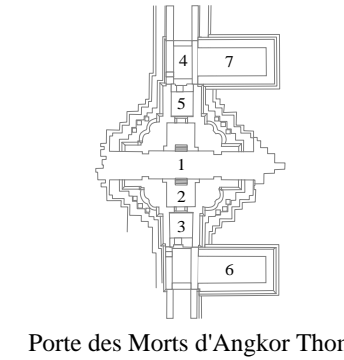
Chapelle de l'hôpital Ouest d'Angkor Thom



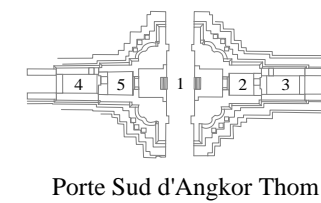
Chapelle de l'hôpital Nord d'Angkor Thom



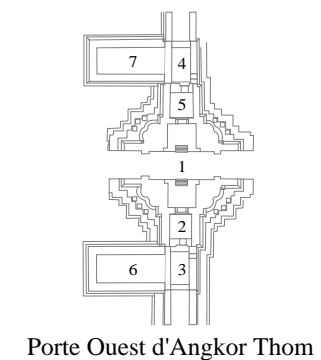
Porte de la Victoire d'Angkor Thom



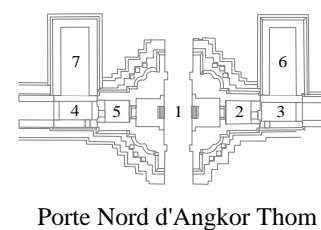
Porte des Morts d'Angkor Thom



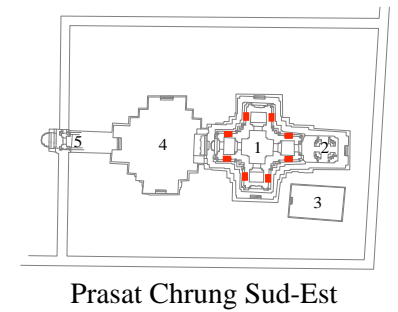
Porte Sud d'Angkor Thom



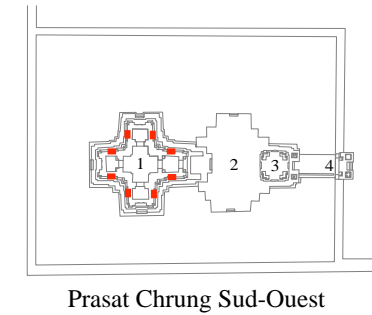
Porte Ouest d'Angkor Thom



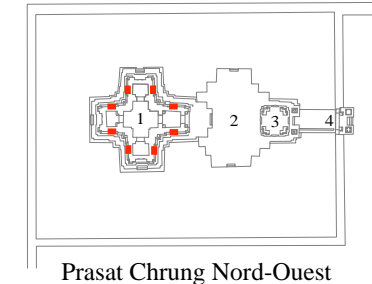
Porte Nord d'Angkor Thom



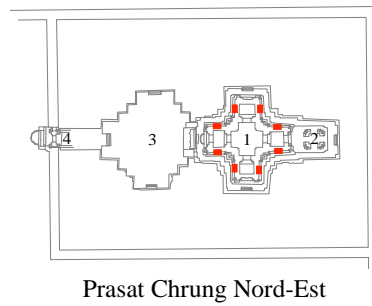
Prasat Chrung Sud-Est



Prasat Chrung Sud-Ouest



Prasat Chrung Nord-Ouest



Prasat Chrung Nord-Est

Fig. I-3-1-3.62 : Répartition des différents types de fausses-fenêtres aux Prasat Chrung d'Angkor Thom

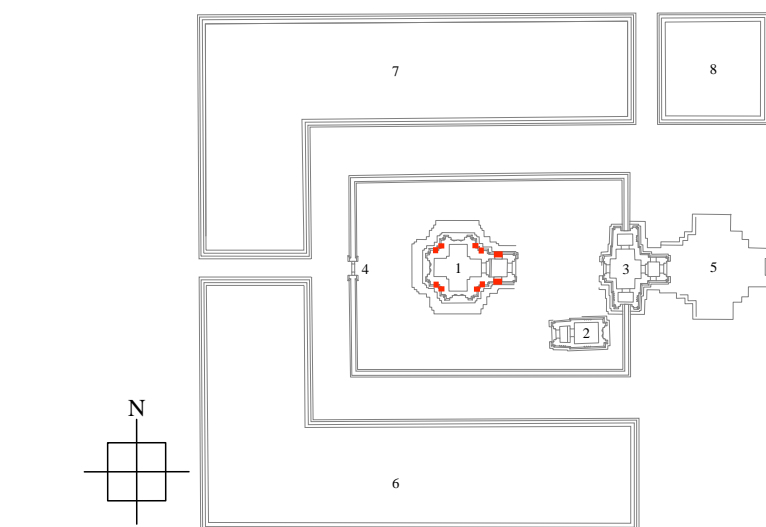
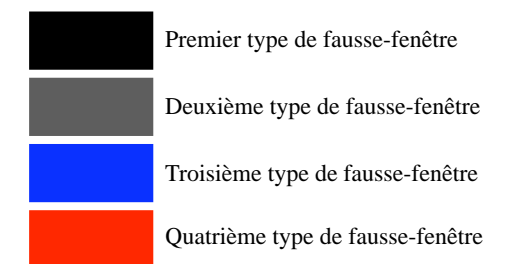


Fig. I-3-1-3.59 : Répartition des différents types de fausses-fenêtres à Prasat Prei Prasat

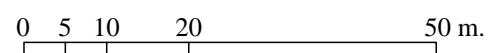


Fig. I-3-1-3.60 : Répartition des différents types de fausses-fenêtres aux chapelles des hôpitaux d'Angkor Thom

Fig. I-3-1-3.61 : Répartition des différents types de fausses-fenêtres aux portes d'Angkor Thom

Banteay Thom, Prasat Prei Prasat ; Chapelles des hôpitaux, portes et Prasat Chrung d'Angkor Thom

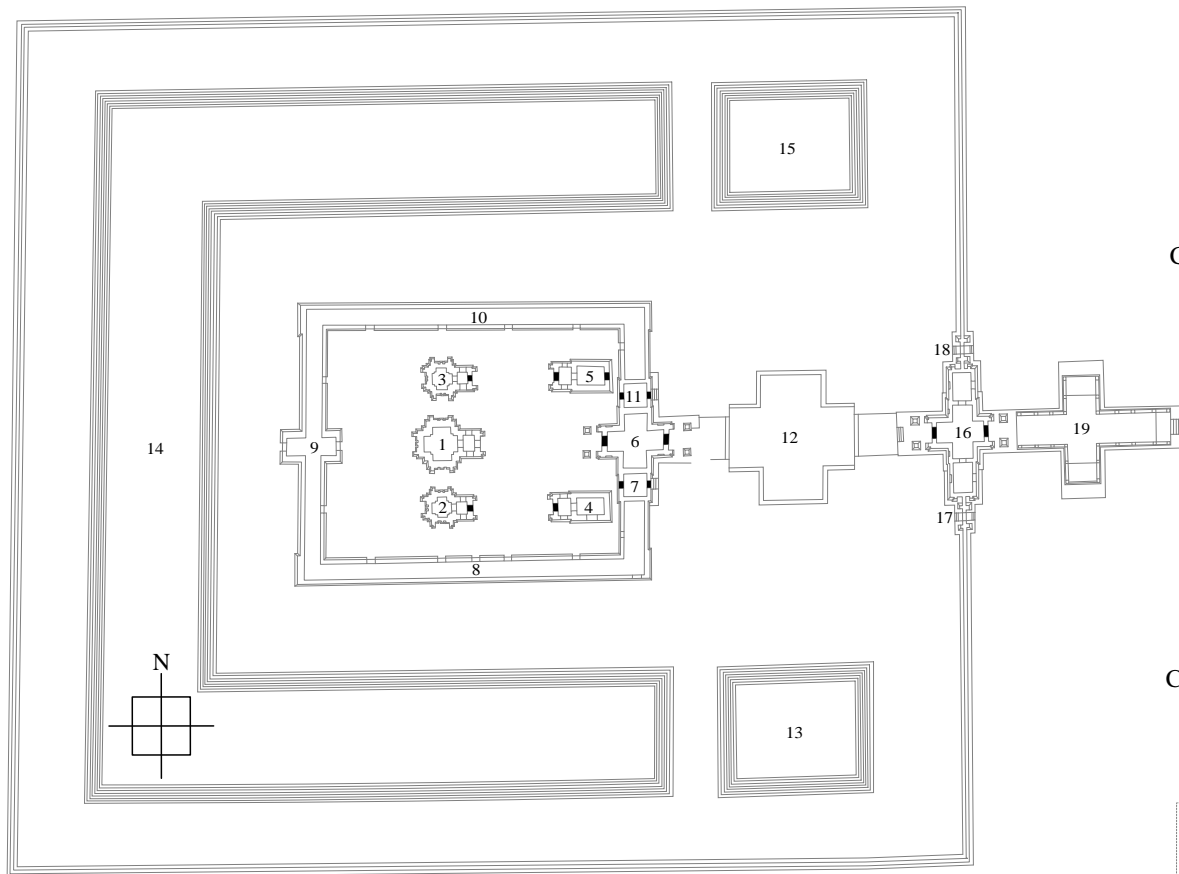


Fig. I-3-1-3.63 : Répartition des différents types de tableaux de porte dans la deuxième enceinte de Banteay Thom

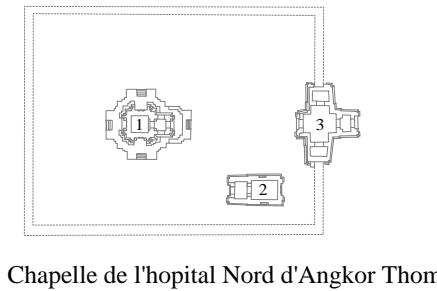
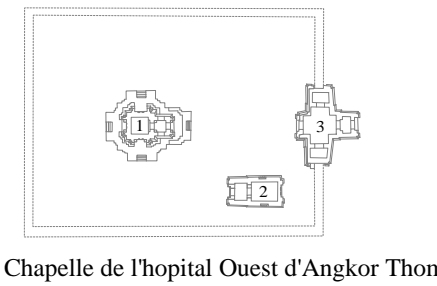
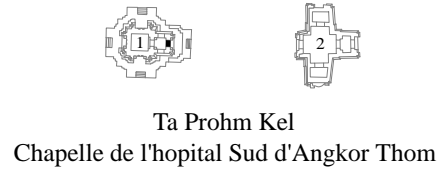
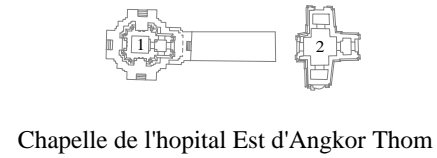


Fig. I-3-1-3.65 : Répartition des différents types de tableaux de porte aux chapelles des hôpitaux d'Angkor Thom

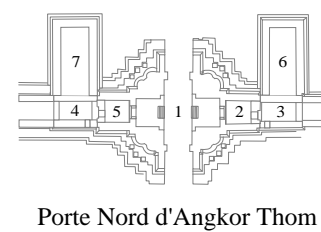
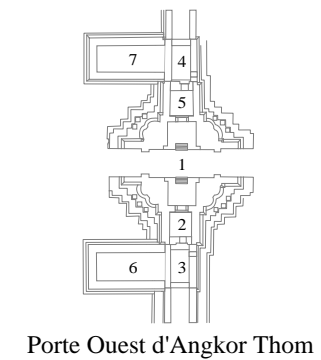
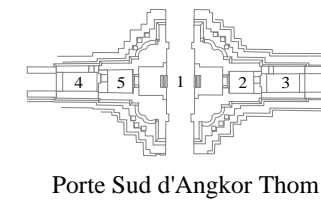
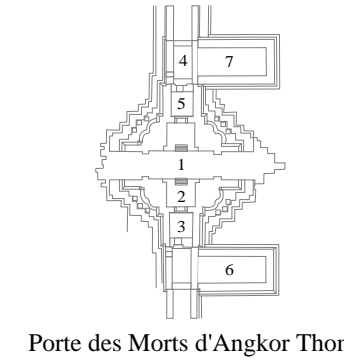
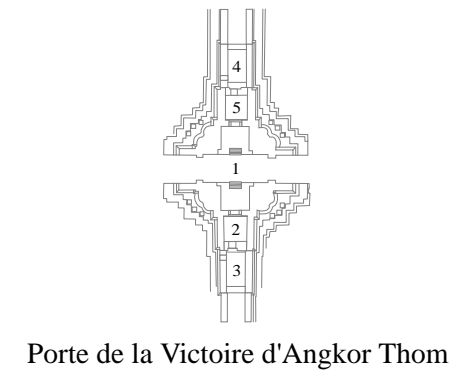


Fig. I-3-1-3.66 : Répartition des différents types de tableaux de porte aux portes d'Angkor Thom

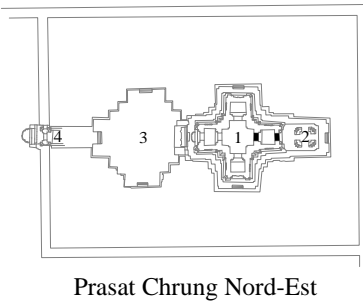
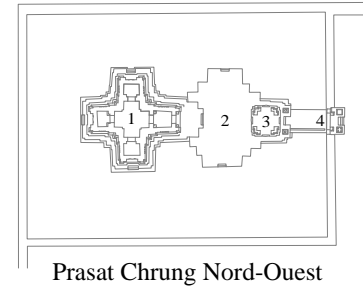
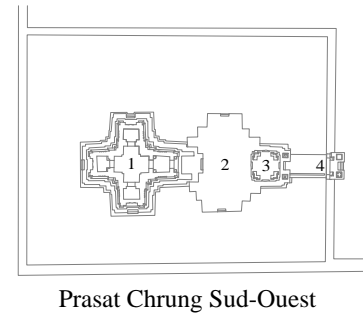
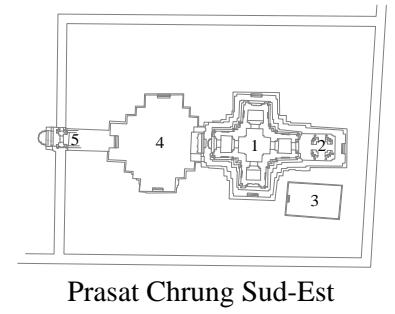
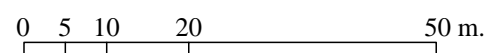
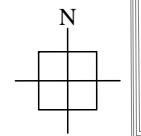
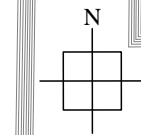


Fig. I-3-1-3.67 : Répartition des différents types de tableaux de porte aux Prasat Chrung d'Angkor Thom

- Premier type de tableaux de porte
- Deuxième type de tableaux de porte
- Troisième type de tableaux de porte
- Quatrième type de tableaux de porte



Banteay Thom, Prasat Prei Prasat ; Chapelles des hôpitaux, portes et Prasat Chrung d'Angkor Thom

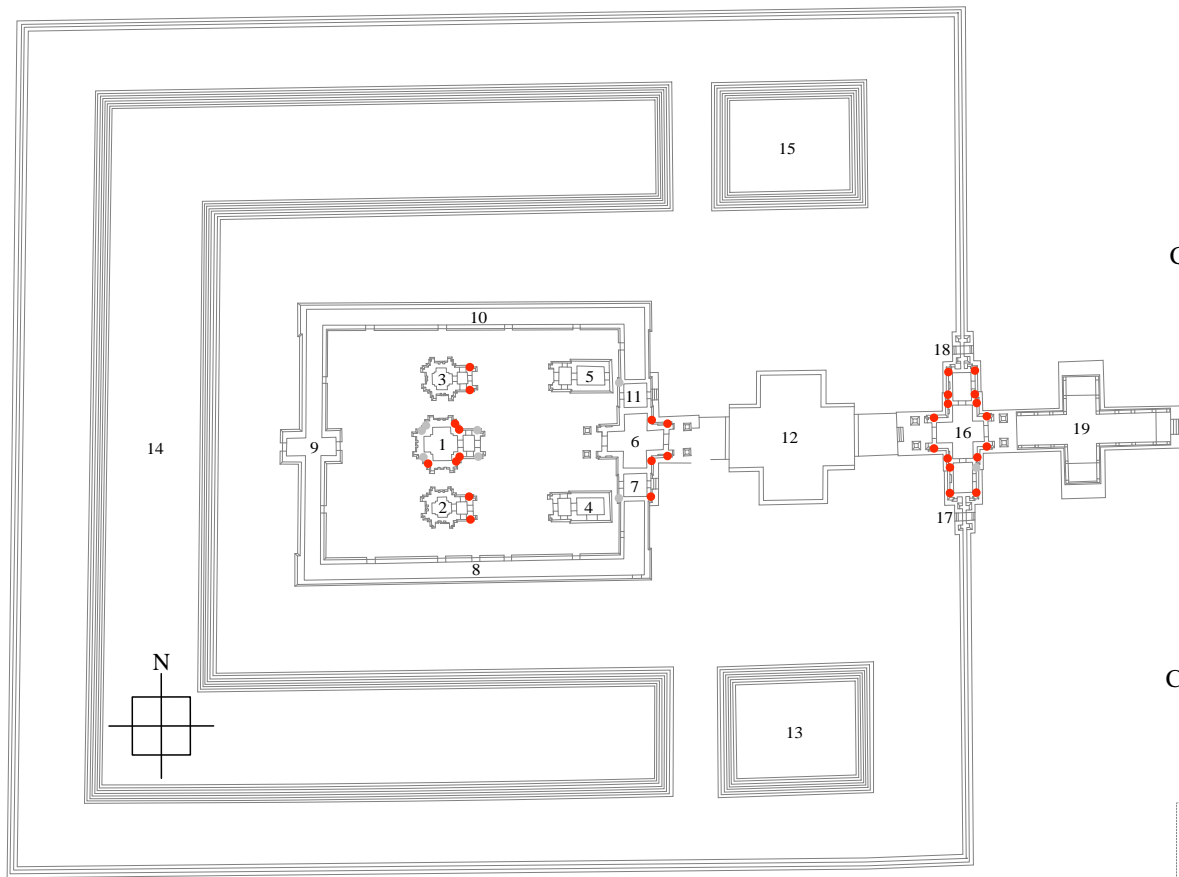
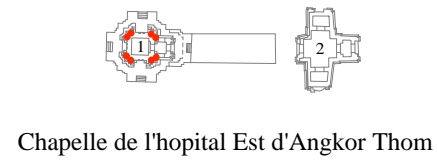
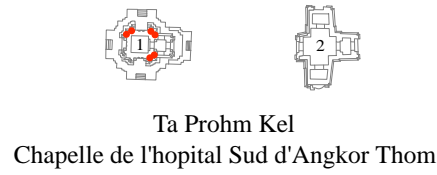


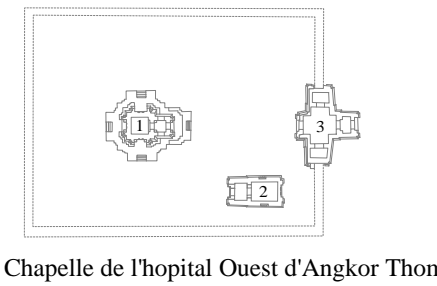
Fig. I-3-1-3.68 : Répartition des différents types de *devatā* dans la deuxième enceinte de Banteay Thom



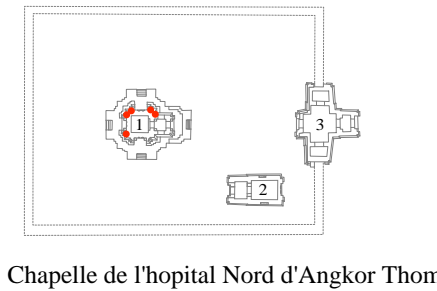
Chapelle de l'hôpital Est d'Angkor Thom



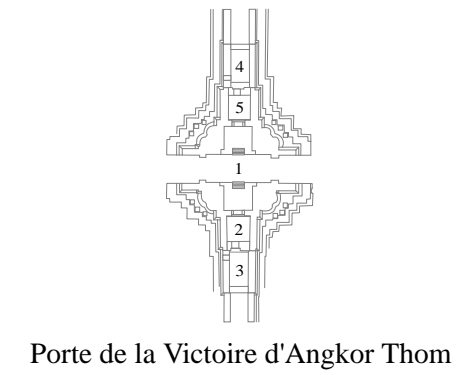
Ta Prohm Kel
Chapelle de l'hôpital Sud d'Angkor Thom



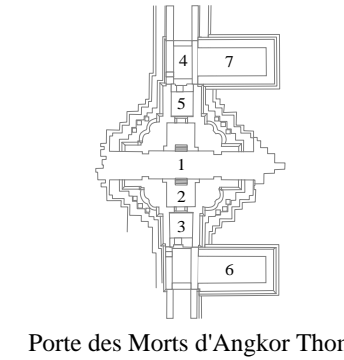
Chapelle de l'hôpital Ouest d'Angkor Thom



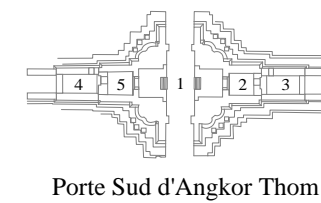
Chapelle de l'hôpital Nord d'Angkor Thom



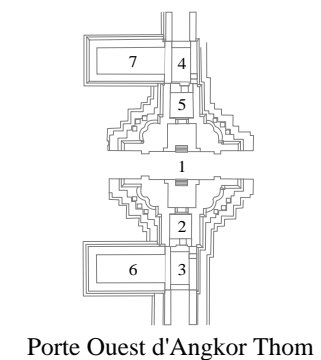
Porte de la Victoire d'Angkor Thom



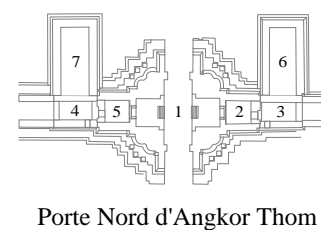
Porte des Morts d'Angkor Thom



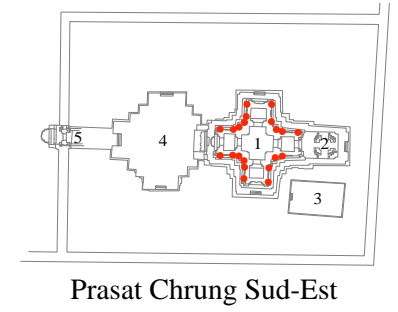
Porte Sud d'Angkor Thom



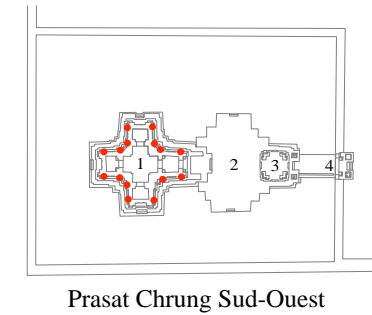
Porte Ouest d'Angkor Thom



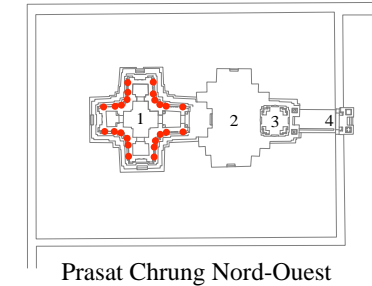
Porte Nord d'Angkor Thom



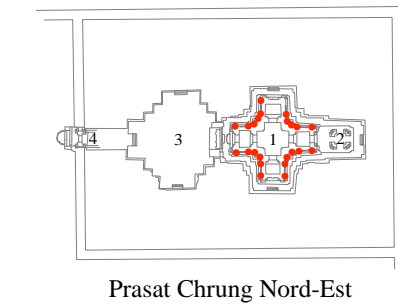
Prasat Chrung Sud-Est



Prasat Chrung Sud-Ouest



Prasat Chrung Nord-Ouest



Prasat Chrung Nord-Est

Fig. I-3-1-3.72 : Répartition des différents types de *devatā* aux Prasat Chrung d'Angkor Thom

- *Devatā* de type 1
- *Devatā* de type 2
- *Devatā* de type 3
- *Devatā* de type 4

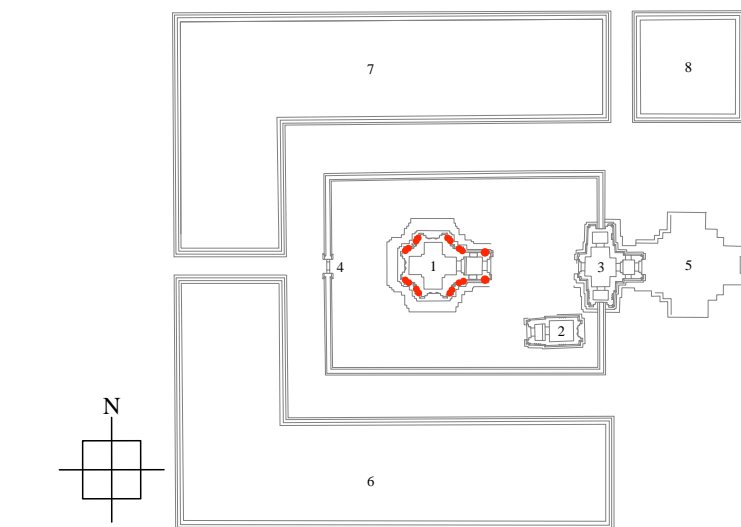
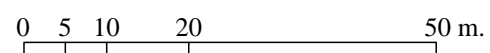


Fig. I-3-1-3.69 : Répartition des différents types de *devatā* à Prasat Prei Prasat

Fig. I-3-1-3.70 : Répartition des différents types de *devatā* aux chapelles des hôpitaux d'Angkor Thom

Fig. I-3-1-3.71 : Répartition des différents types de *devatā* aux portes d'Angkor Thom



Banteay Thom, Prasat Prei Prasat ; Chapelles des hôpitaux, portes et Prasat Chrung d'Angkor Thom

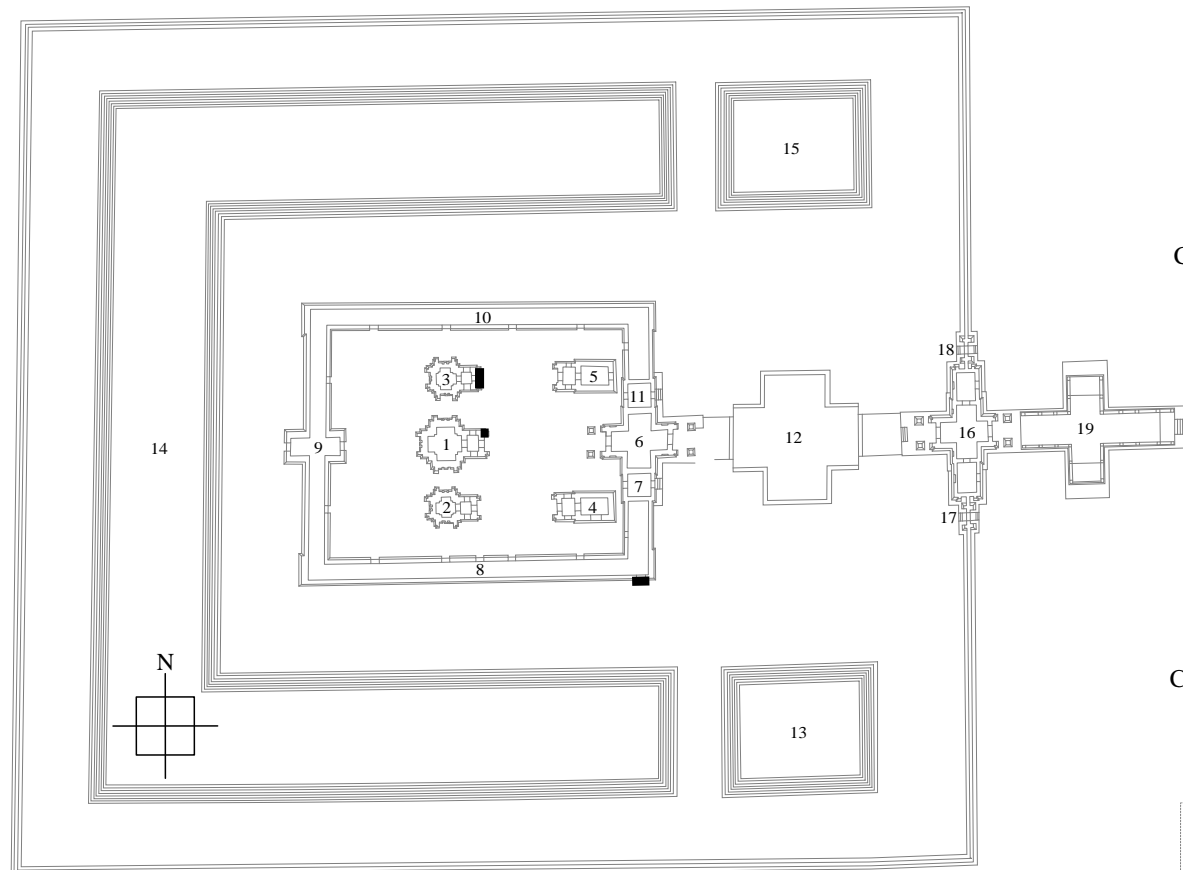
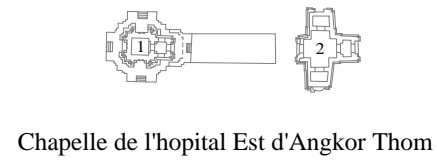


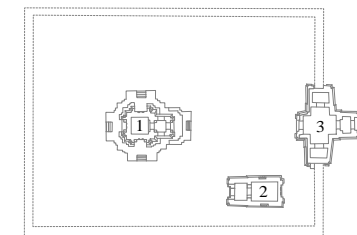
Fig. I-3-1-3.73 : Répartition des traces de structures en matériaux éphémères dans la deuxième enceinte de Banteay Thom



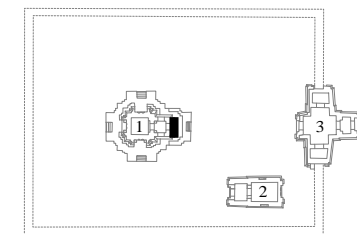
Chapelle de l'hôpital Est d'Angkor Thom



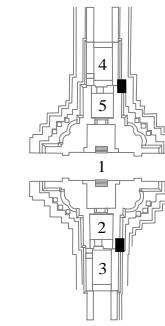
Ta Prohm Kel
Chapelle de l'hôpital Sud d'Angkor Thom



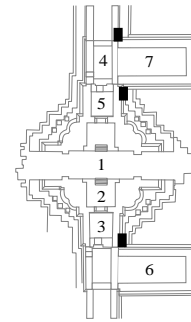
Chapelle de l'hôpital Ouest d'Angkor Thom



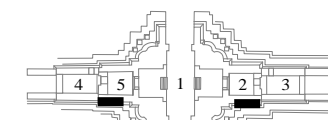
Chapelle de l'hôpital Nord d'Angkor Thom



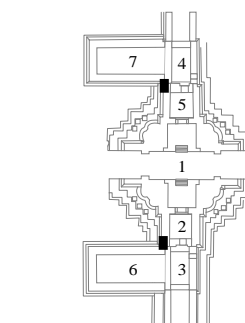
Porte de la Victoire d'Angkor Thom



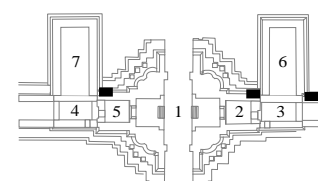
Porte des Morts d'Angkor Thom



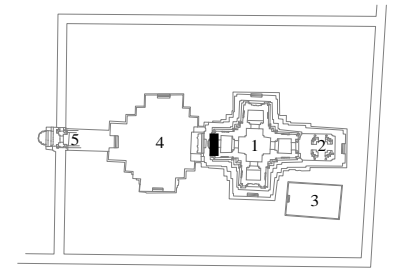
Porte Sud d'Angkor Thom



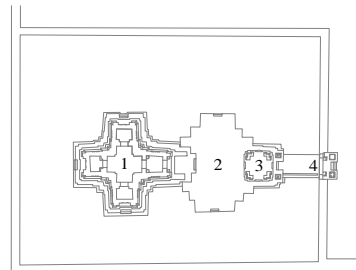
Porte Ouest d'Angkor Thom



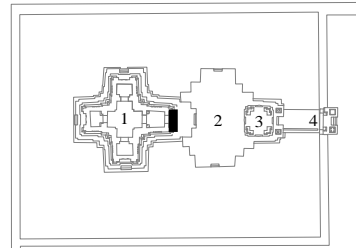
Porte Nord d'Angkor Thom



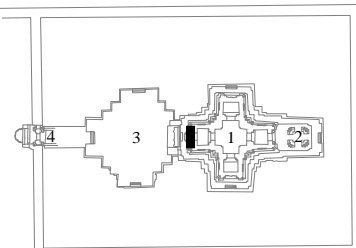
Prasat Chrung Sud-Est



Prasat Chrung Sud-Ouest



Prasat Chrung Nord-Ouest



Prasat Chrung Nord-Est

Fig. I-3-1-3.77 : Répartition des traces de structures en matériaux éphémères aux Prasat Chrung d'Angkor Thom

- Premier type de traces de structures en bois
- Deuxième type de traces de structures en bois

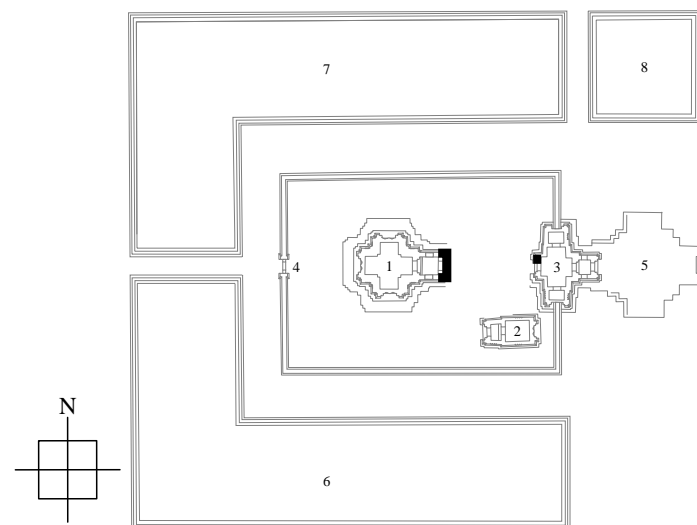


Fig. I-3-1-3.74 : Répartition des traces de structures en matériaux éphémères à Prasat Prei Prasat

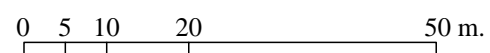


Fig. I-3-1-3.75 : Répartition des traces de structures en matériaux éphémères aux chapelles des hôpitaux d'Angkor Thom

Fig. I-3-1-3.76 : Répartition des traces de structures en matériaux éphémères aux portes d'Angkor Thom

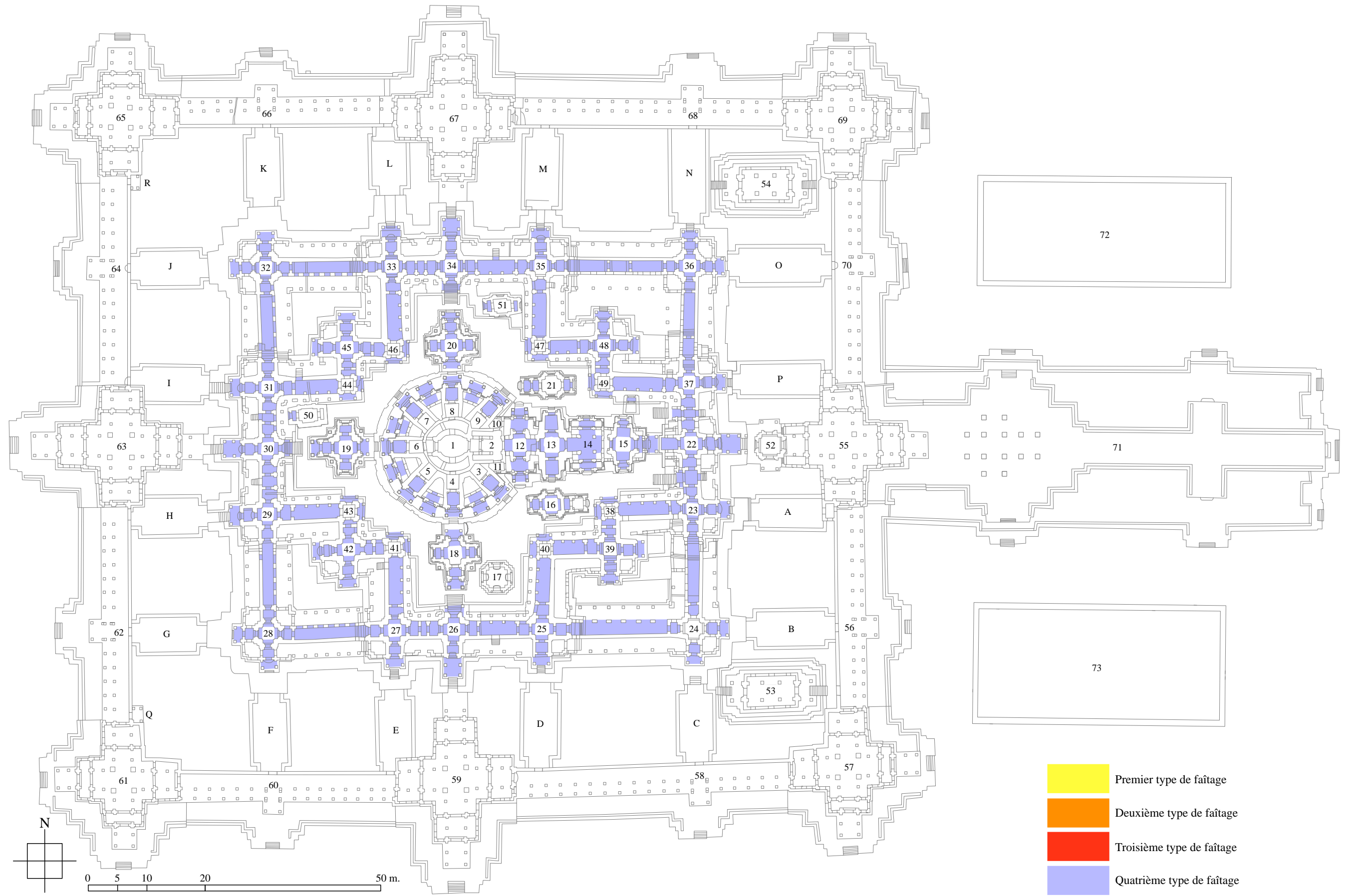


Fig. I-3-1-3.78 : Répartition des différents types de faitages au Bayon

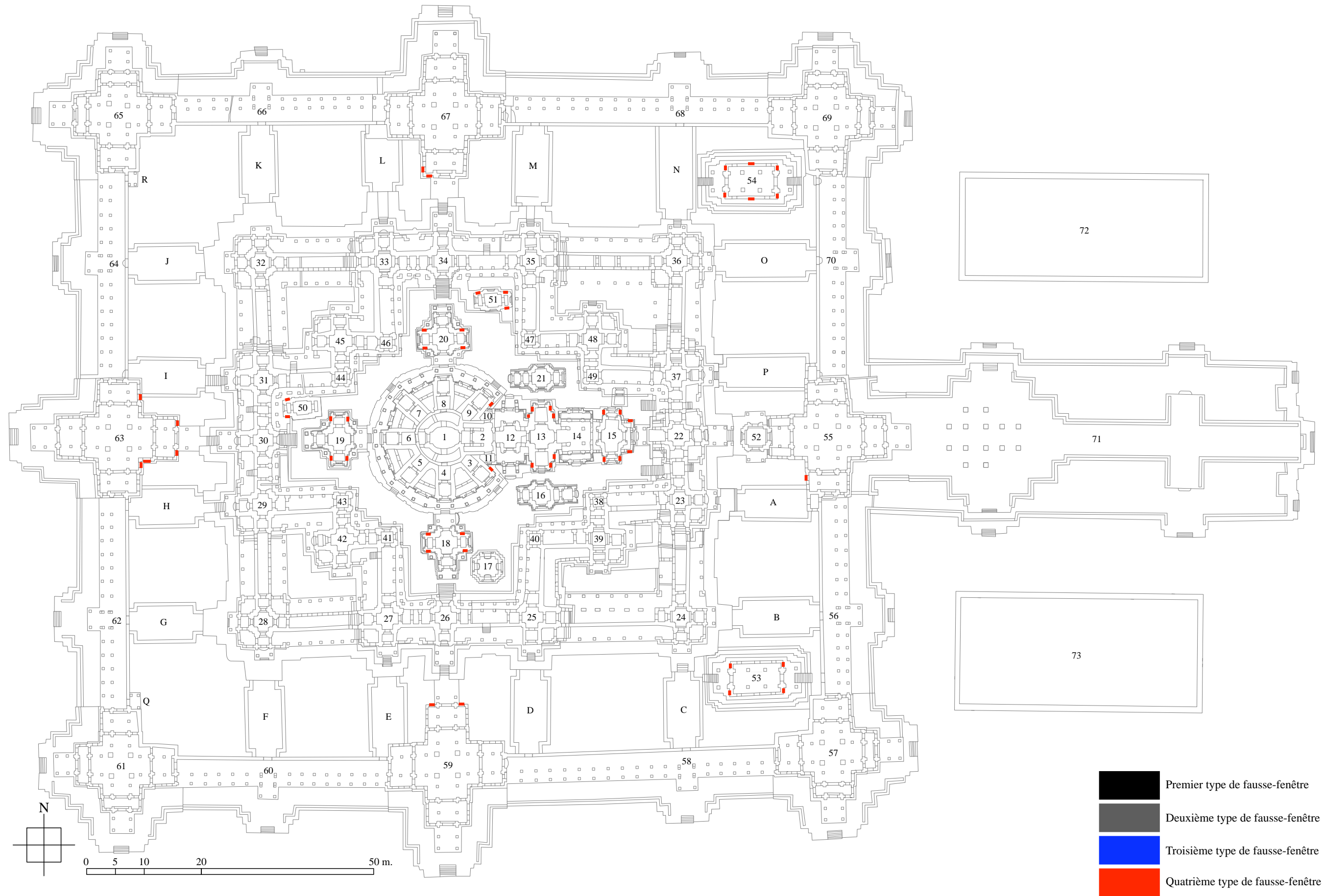


Fig. I-3-1-3.79 : Répartition des différents types de fausses-fenêtres au Bayon

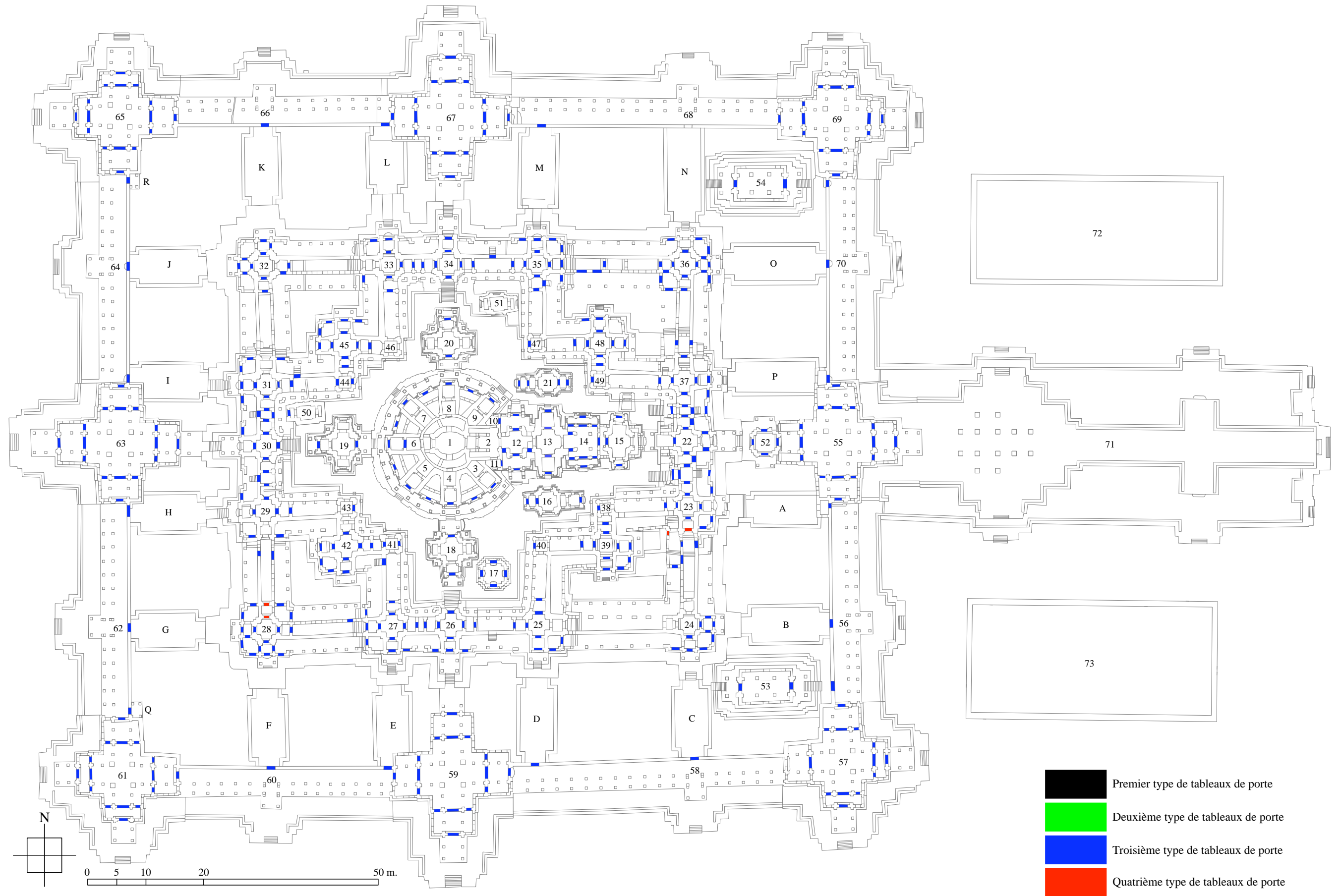


Fig. I-3-1-3.80 : Répartition des différents types de tableaux de porte au Bayon

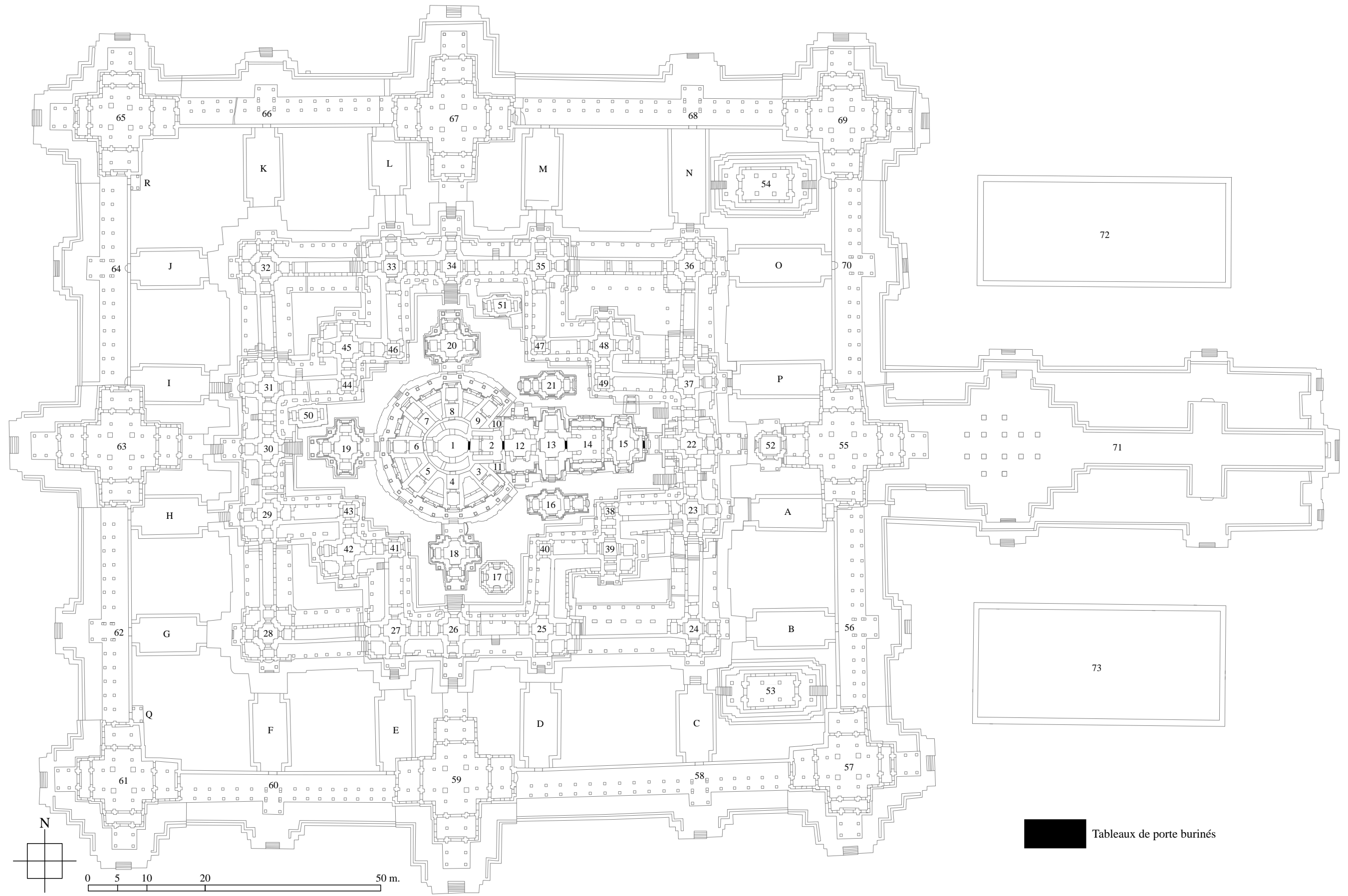


Fig. I-3-1-3.81 : Répartition des tableaux de porte volontairement burinés au Bayon

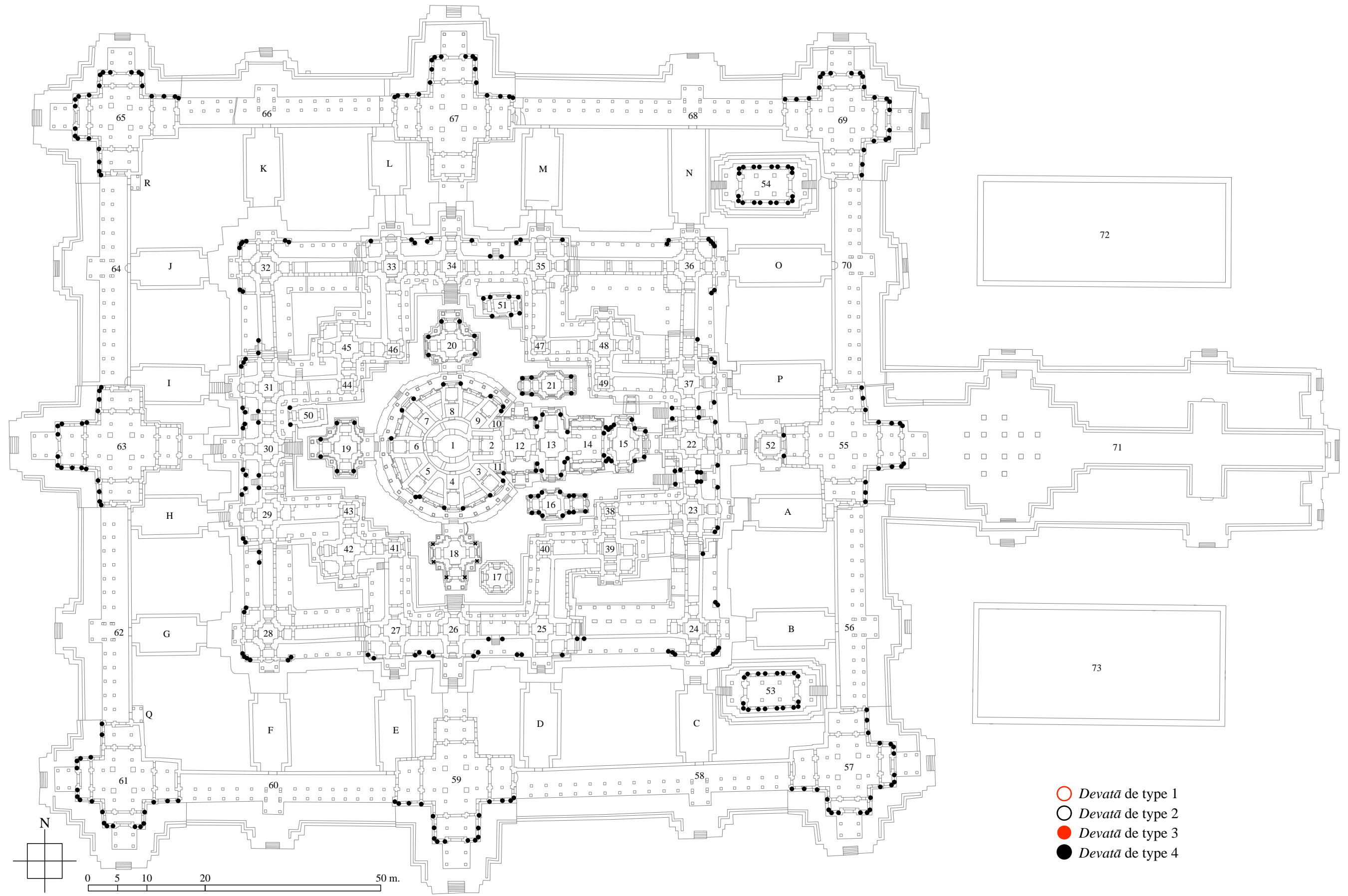


Fig. I-3-1-3.82 : Répartition des différents types de *devatā* au Bayon

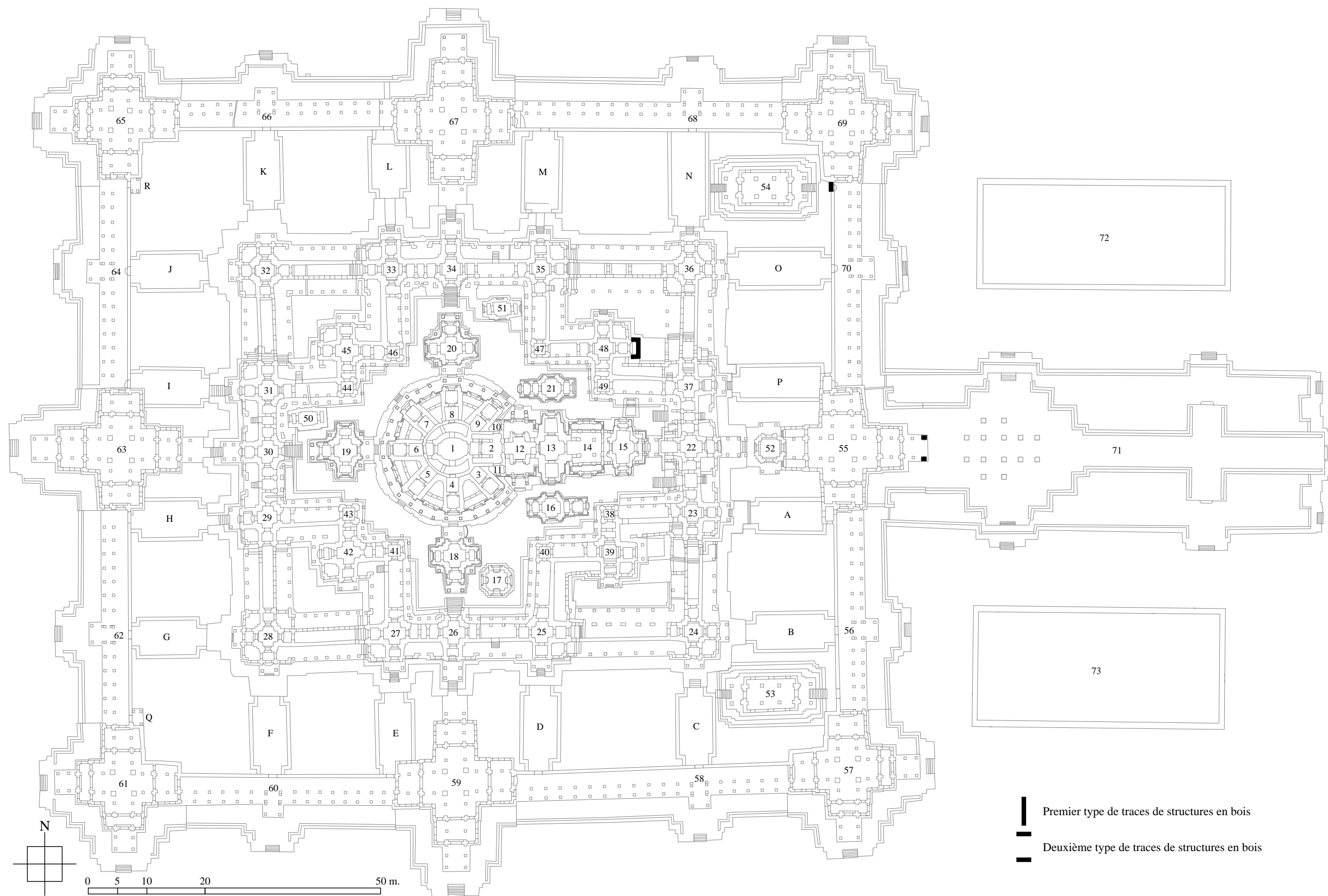


Fig. I-3-1-3.83 : Répartition des traces de structures en matériaux éphémères au Bayon

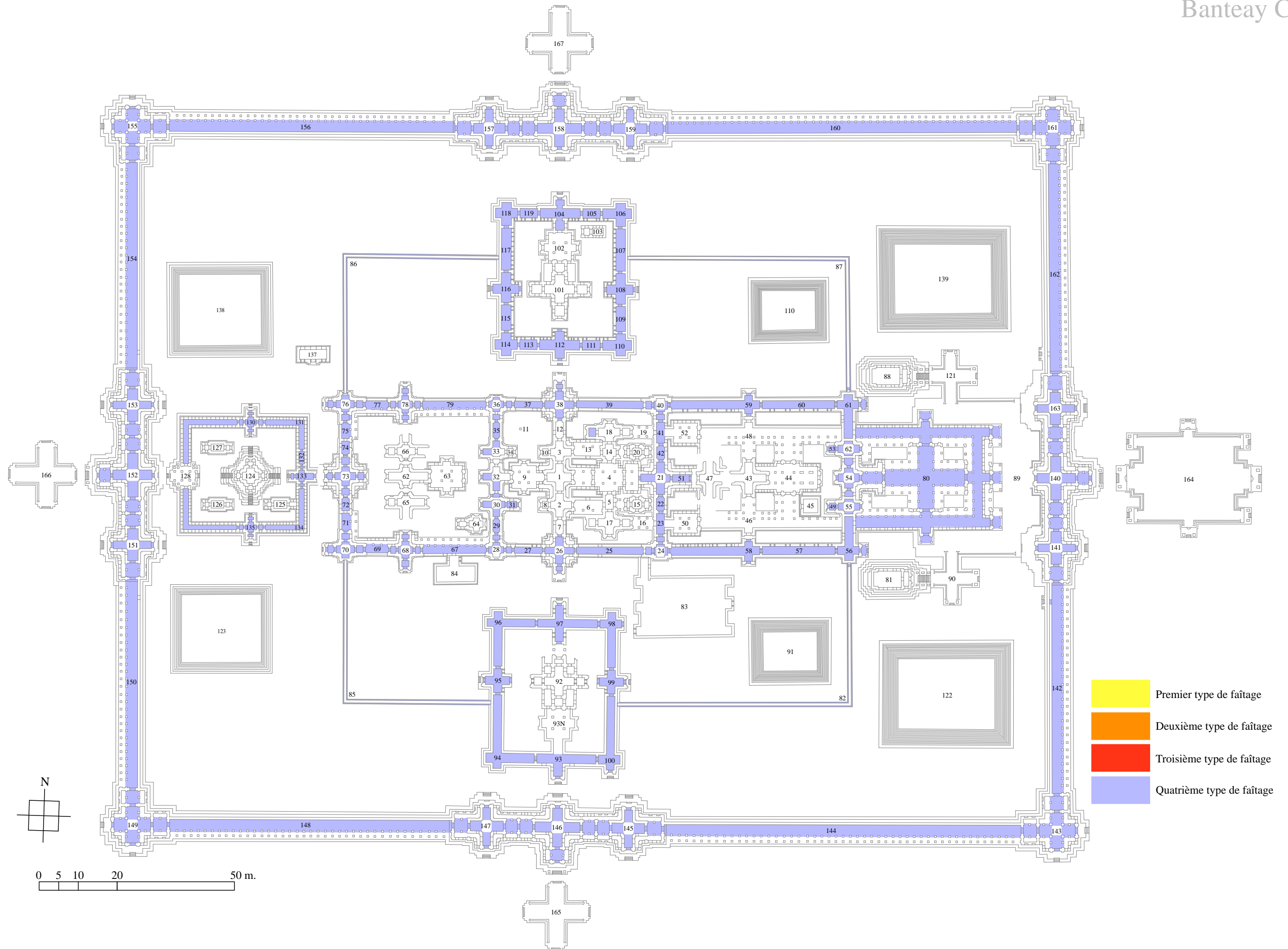


Fig. I-3-1-3.84 : Répartition des différents types de faîtage dans la troisième enceinte de Banteay Chmar

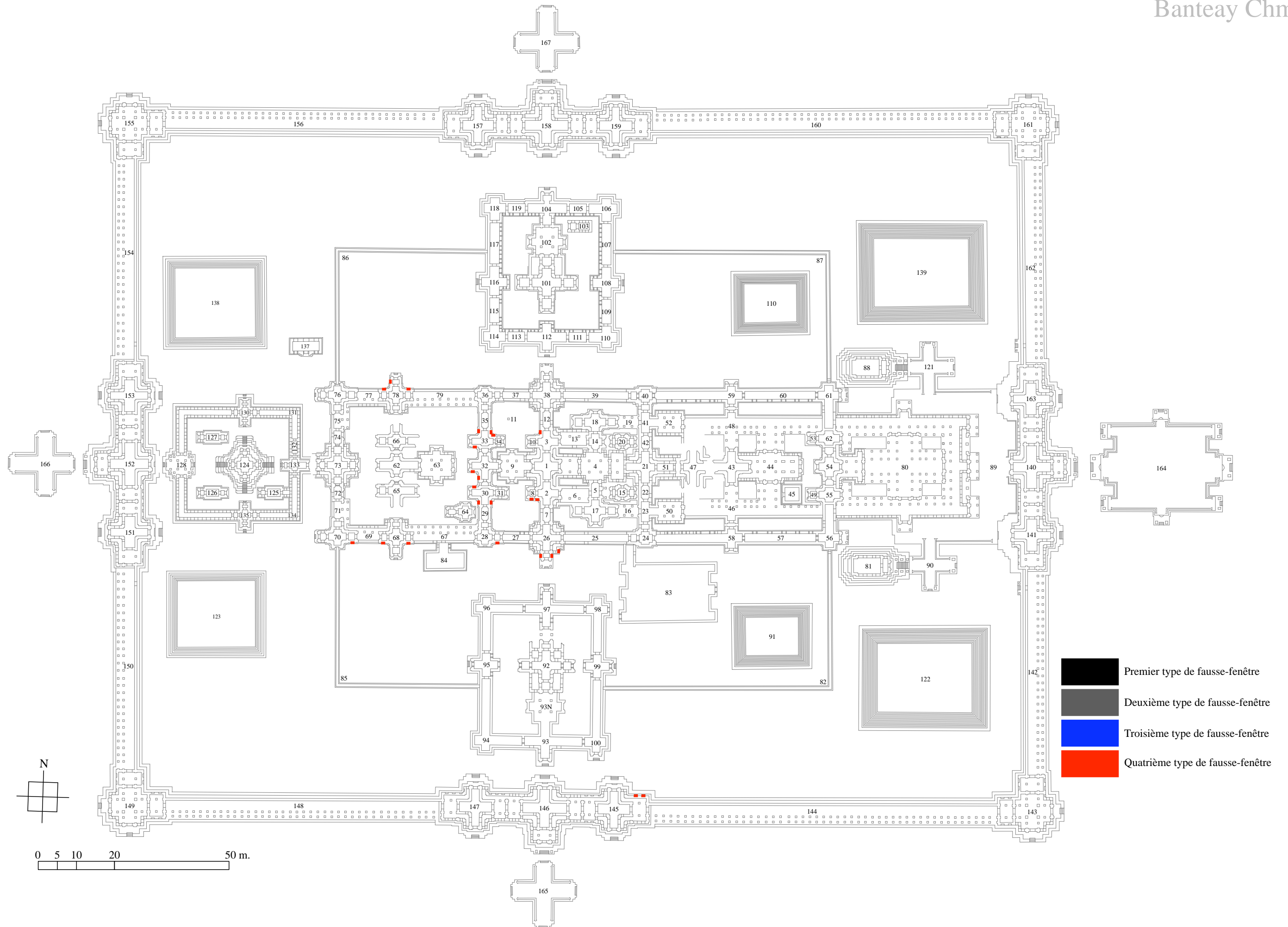


Fig. I-3-1-3.85 : Répartition des différents types de fausses-fenêtres dans la troisième enceinte de Banteay Chmar

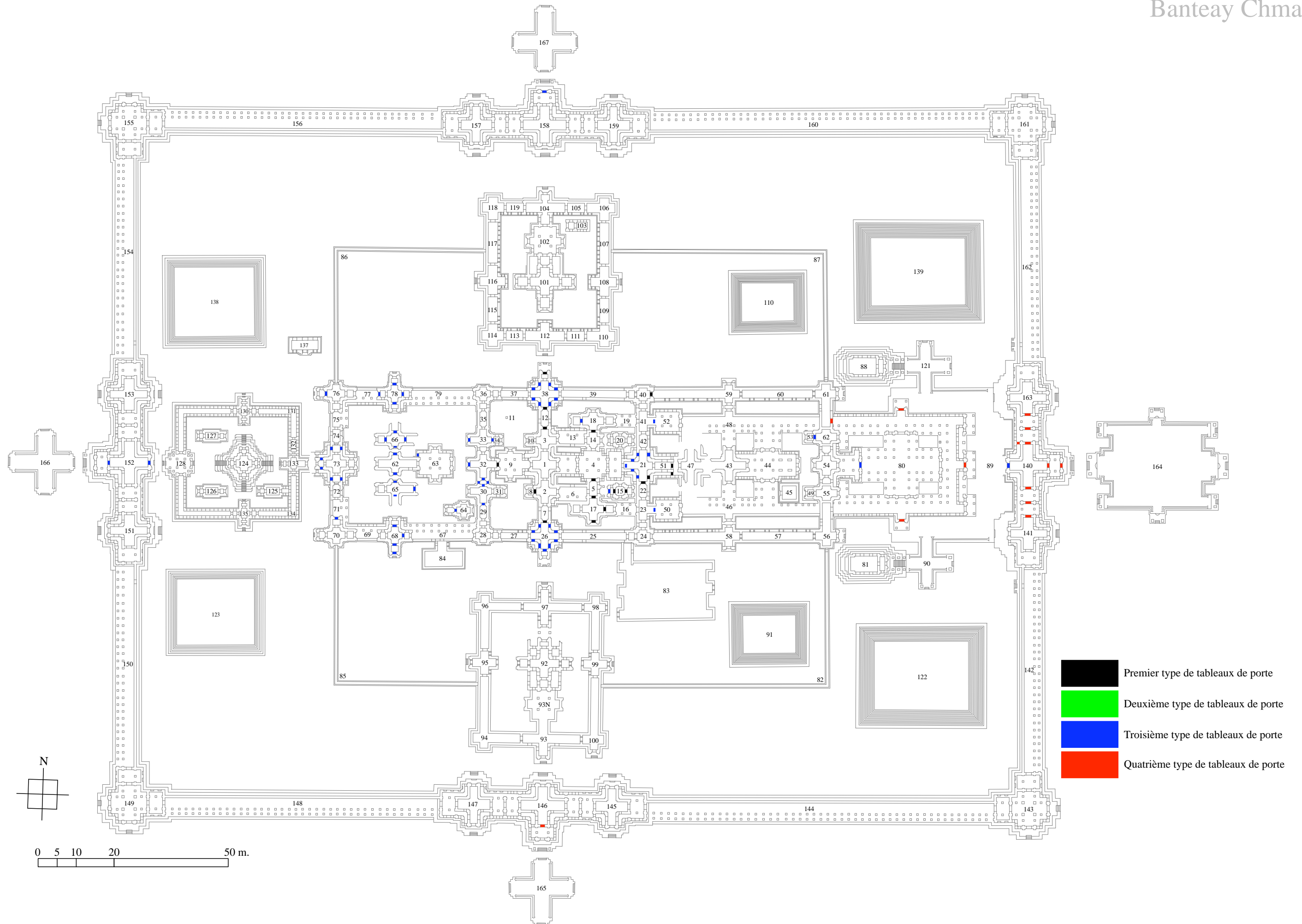
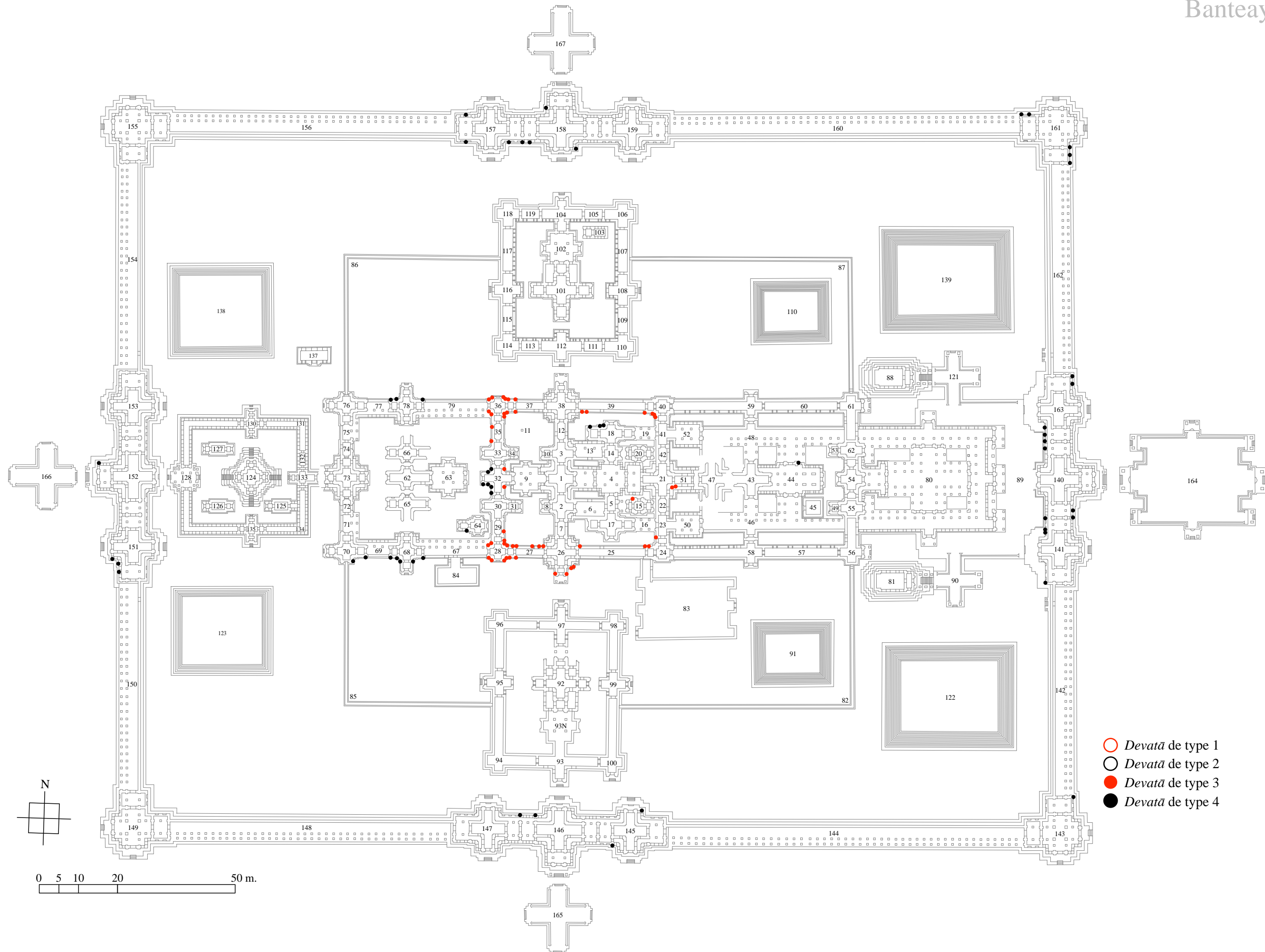


Fig. I-3-1-3.86 : Répartition des différents types de tableaux de porte dans la troisième enceinte de Banteay Chmar



- Devatā de type 1
- Devatā de type 2
- Devatā de type 3
- Devatā de type 4

Fig. I-3-1-3.87 : Répartition des différents types de devatā dans la troisième enceinte de Banteay Chmar

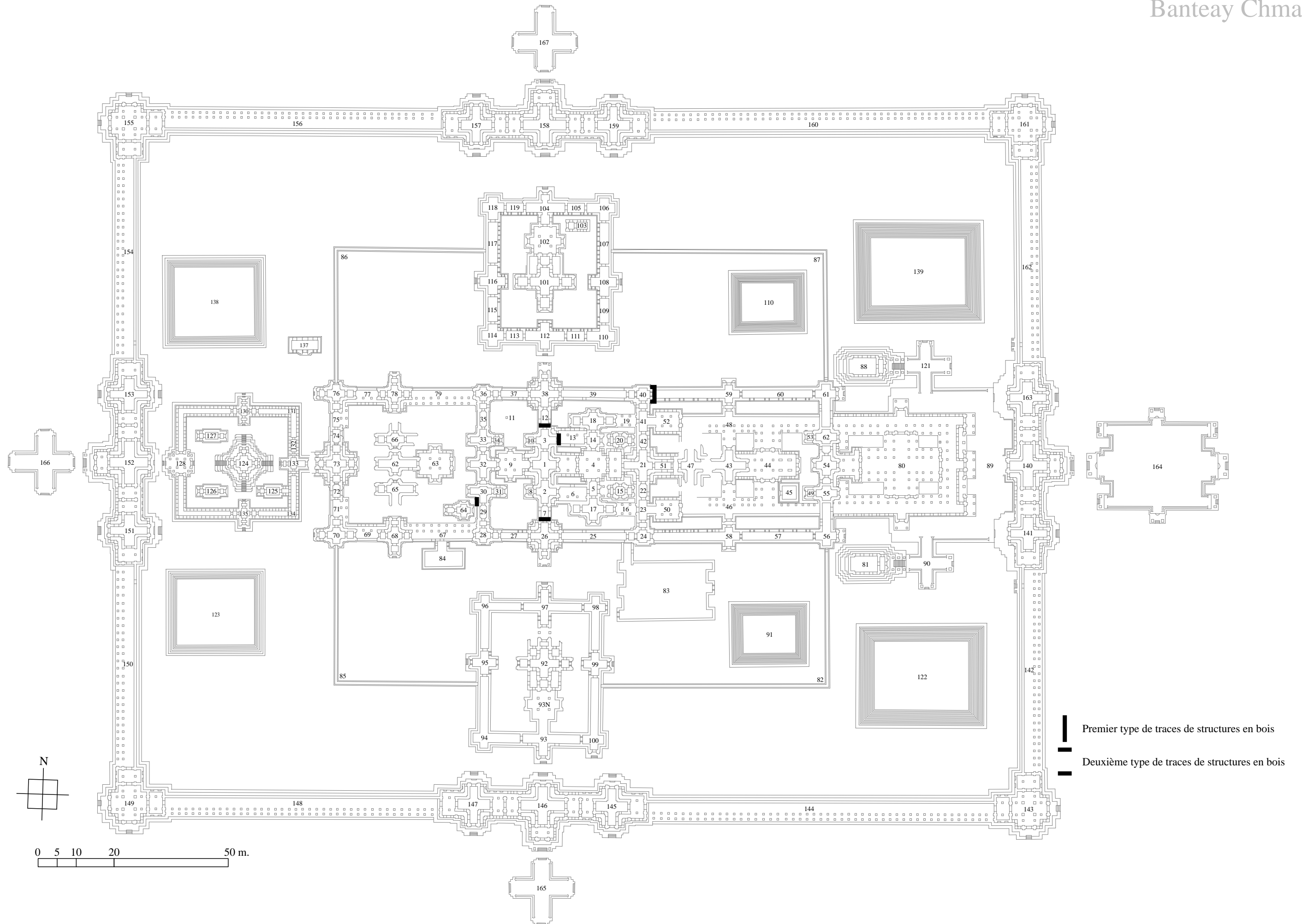


Fig. I-3-1-3.88 : Répartition des traces de structures en matériaux éphémères dans la troisième enceinte de Banteay Chmar

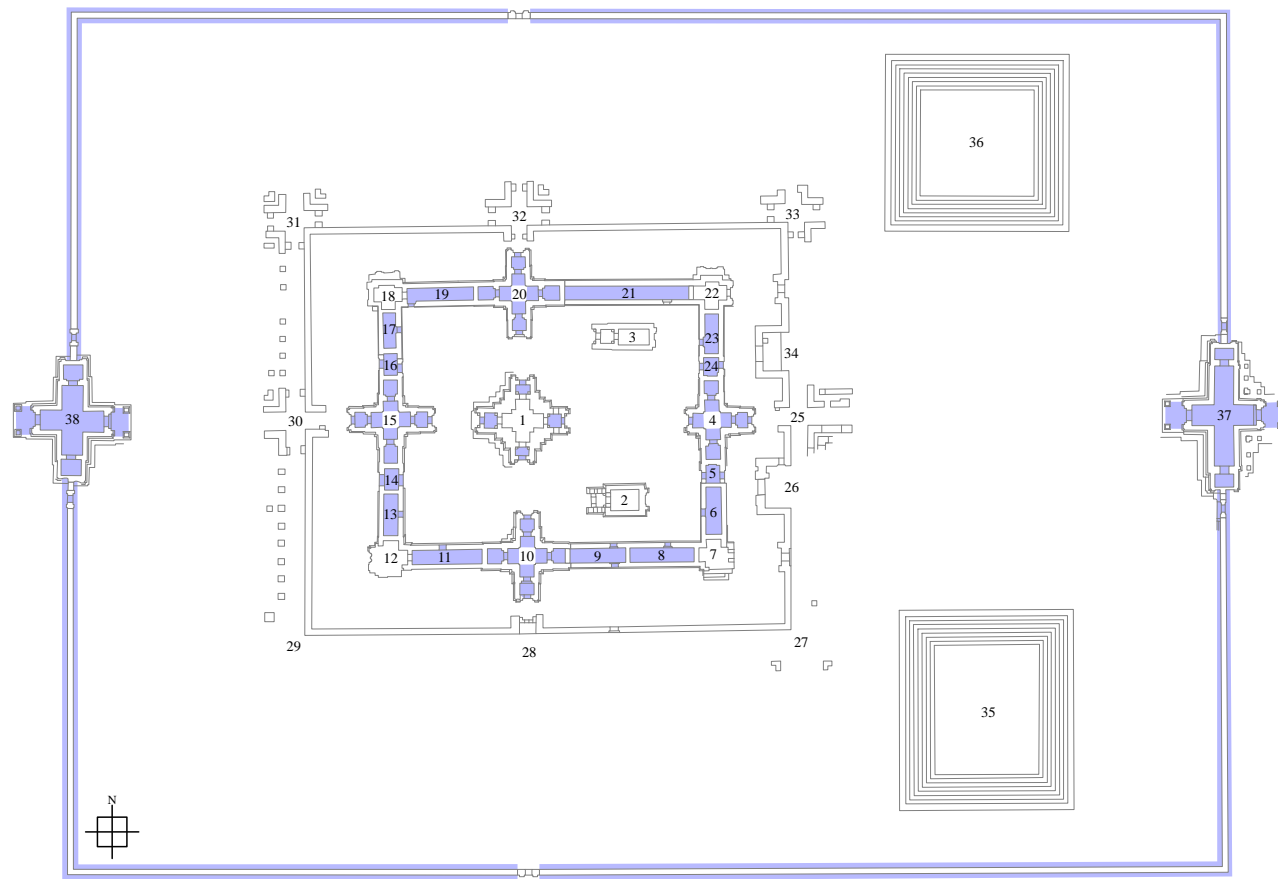


Fig. I-3-1-3.89 : Répartition des différents types de faîtages dans la troisième enceinte de Vat Nokor

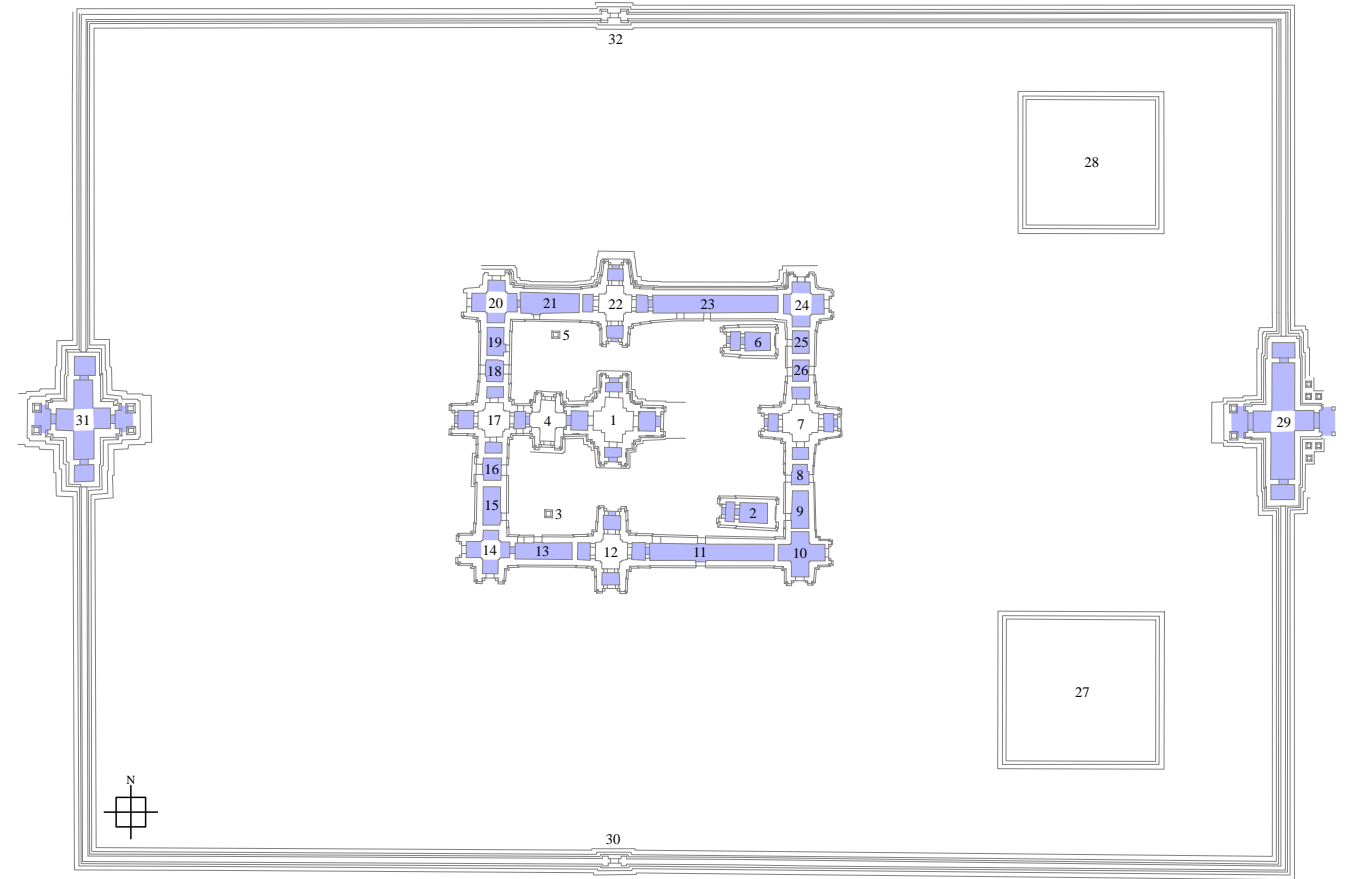
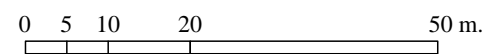


Fig. I-3-1-3.90 : Répartition des différents types de faîtages dans la deuxième enceinte de Ta Prohm de Bati



- Premier type de faîtage
- Deuxième type de faîtage
- Troisième type de faîtage
- Quatrième type de faîtage

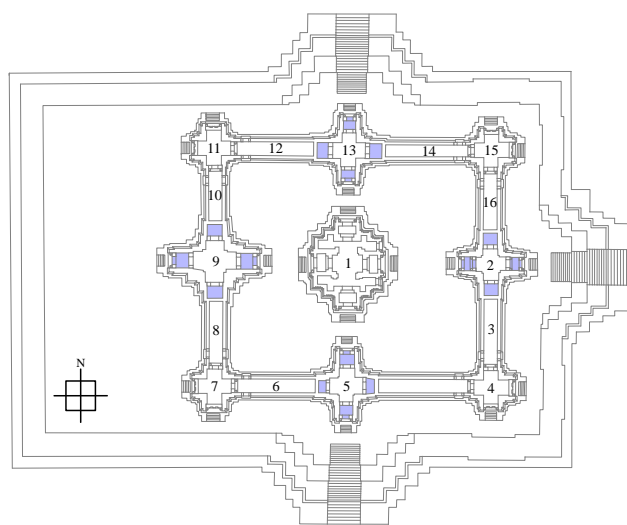


Fig. I-3-1-3.91 : Répartition des différents types de faîtages à Vat Banon

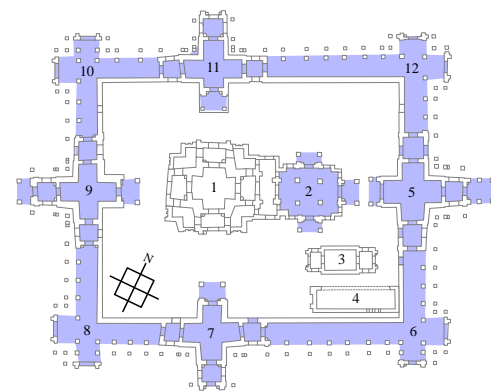


Fig. I-3-1-3.92 : Répartition des différents types de faîtages à Prasat Preah Stung

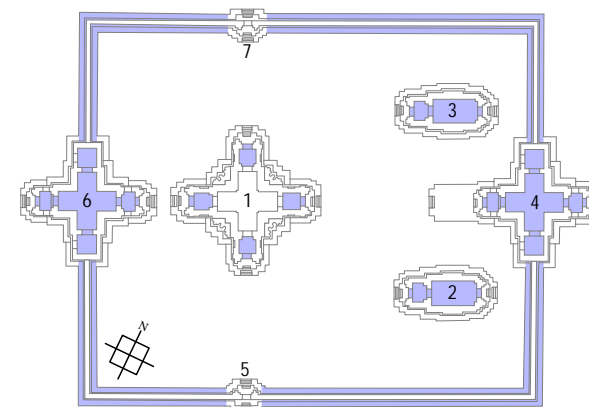


Fig. I-3-1-3.93 : Répartition des différents types de faîtages à Prasat Preah Thkol

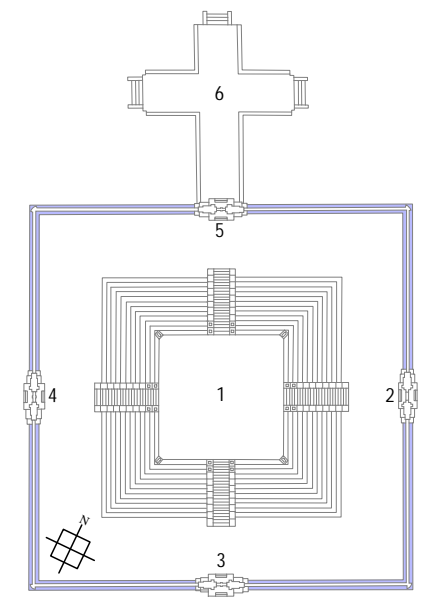


Fig. I-3-1-3.94 : Répartition des différents types de faîtages à Prasat Damrei

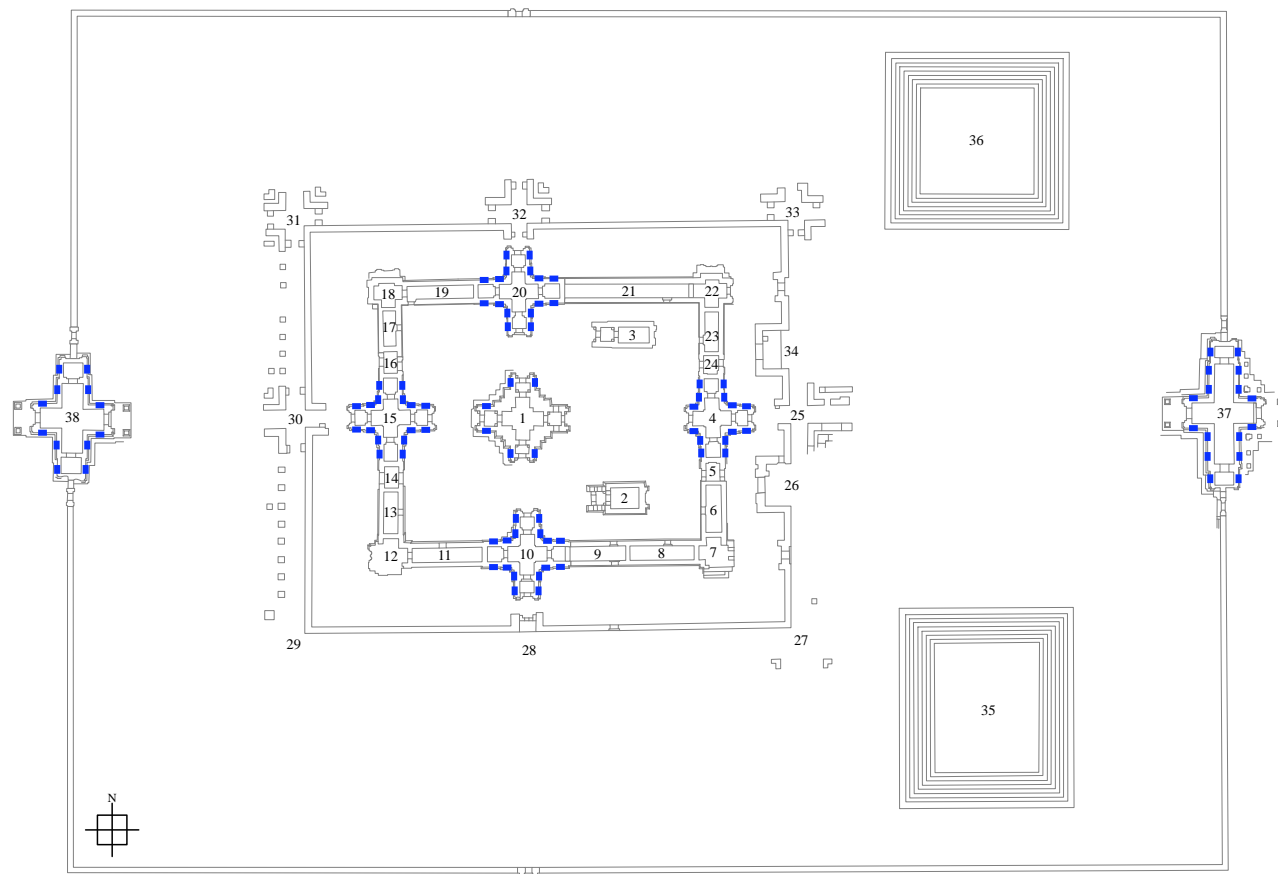


Fig. I-3-1-3.94 : Répartition des différents types de fausses-fenêtres dans la troisième enceinte de Vat Nokor

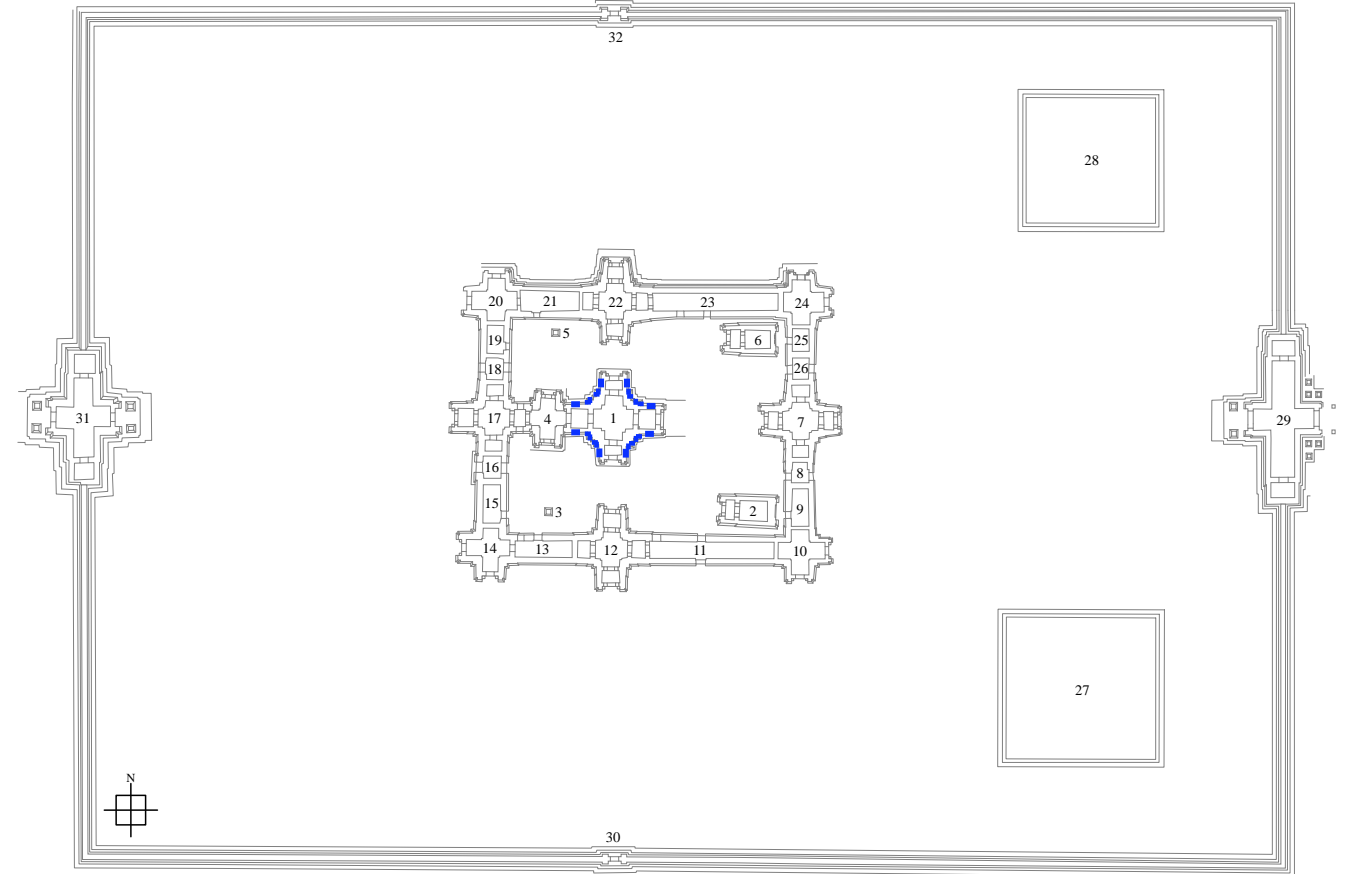


Fig. I-3-1-3.95 : Répartition des différents types de fausses-fenêtres dans la deuxième enceinte de Ta Prohm de Bati

0 5 10 20 50 m.

- Premier type de fausse-fenêtre
- Deuxième type de fausse-fenêtre
- Troisième type de fausse-fenêtre
- Quatrième type de fausse-fenêtre

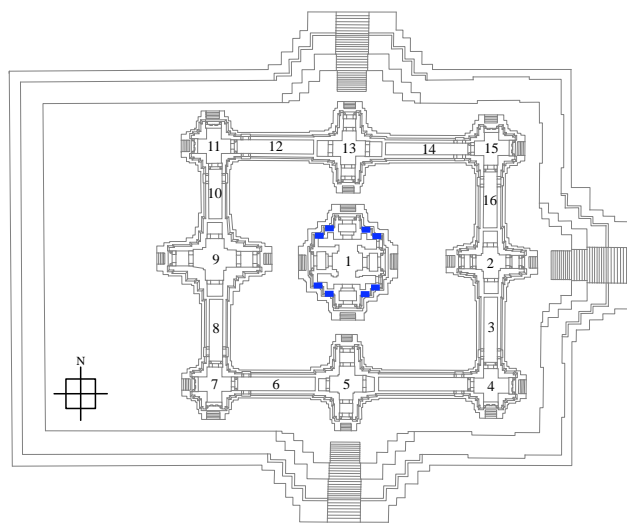


Fig. I-3-1-3.96 : Répartition des différents types de fausses-fenêtres à Vat Banon

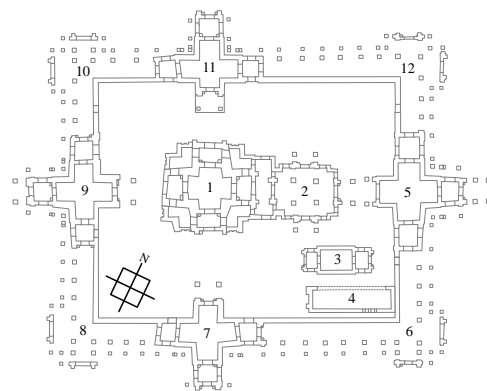


Fig. I-3-1-3.97 : Répartition des différents types de fausses-fenêtres à Prasat Preah Stung

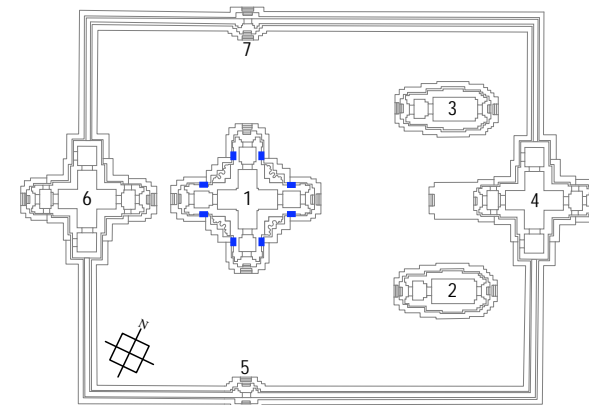


Fig. I-3-1-3.98 : Répartition des différents types de fausses-fenêtres à Prasat Preah Thkol

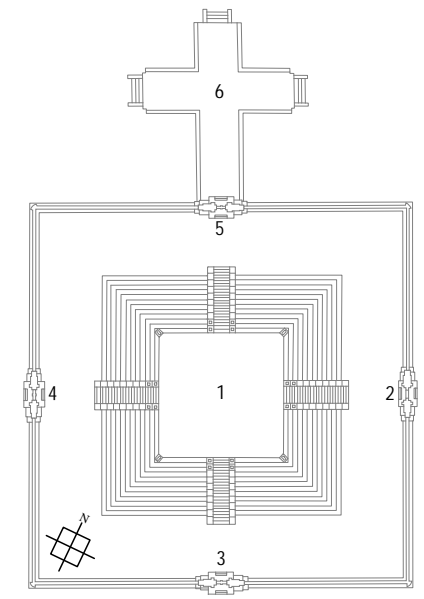


Fig. I-3-1-3.99 : Répartition des différents types de fausses-fenêtres à Prasat Damrei

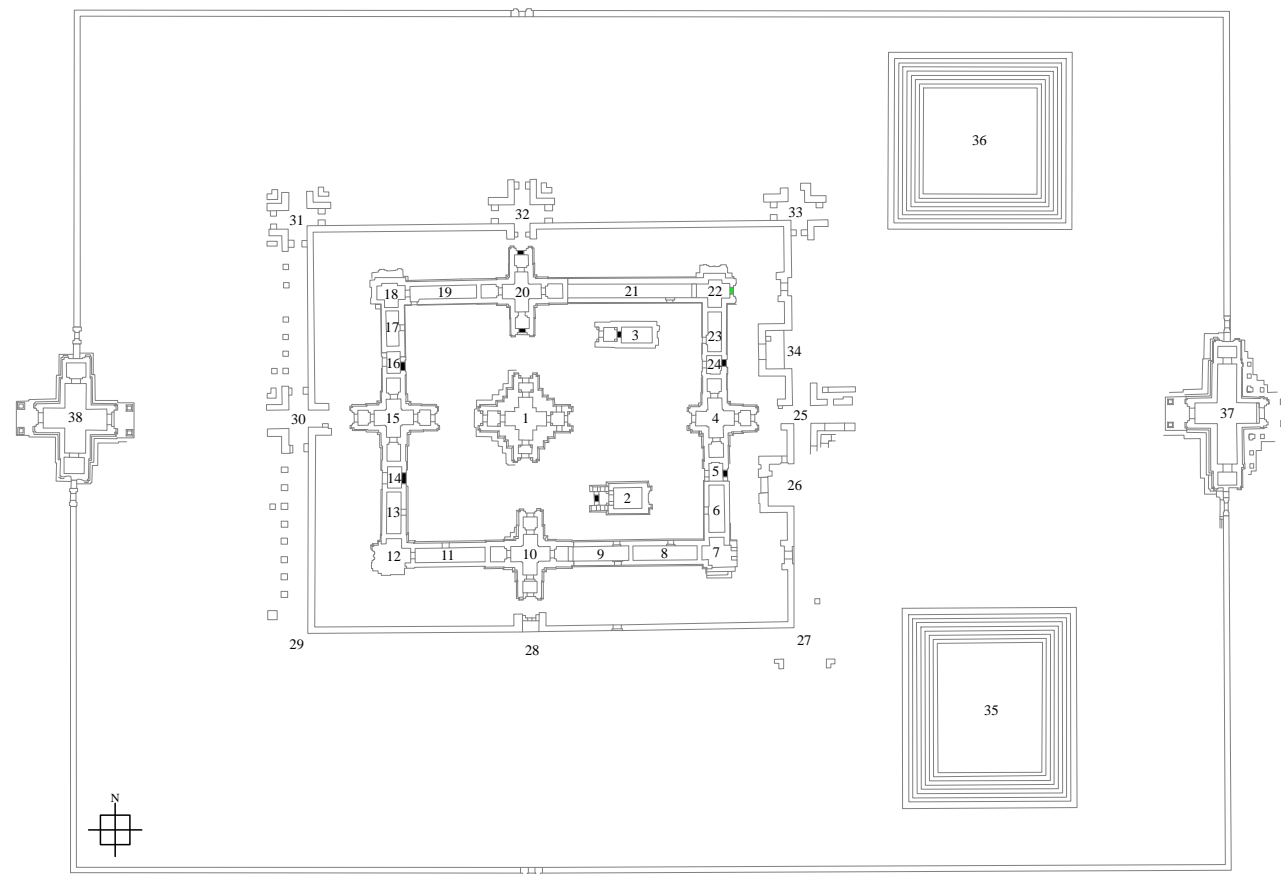


Fig. I-3-1-3.100 : Répartition des différents types de tableaux de porte dans la troisième enceinte de Vat Nokor

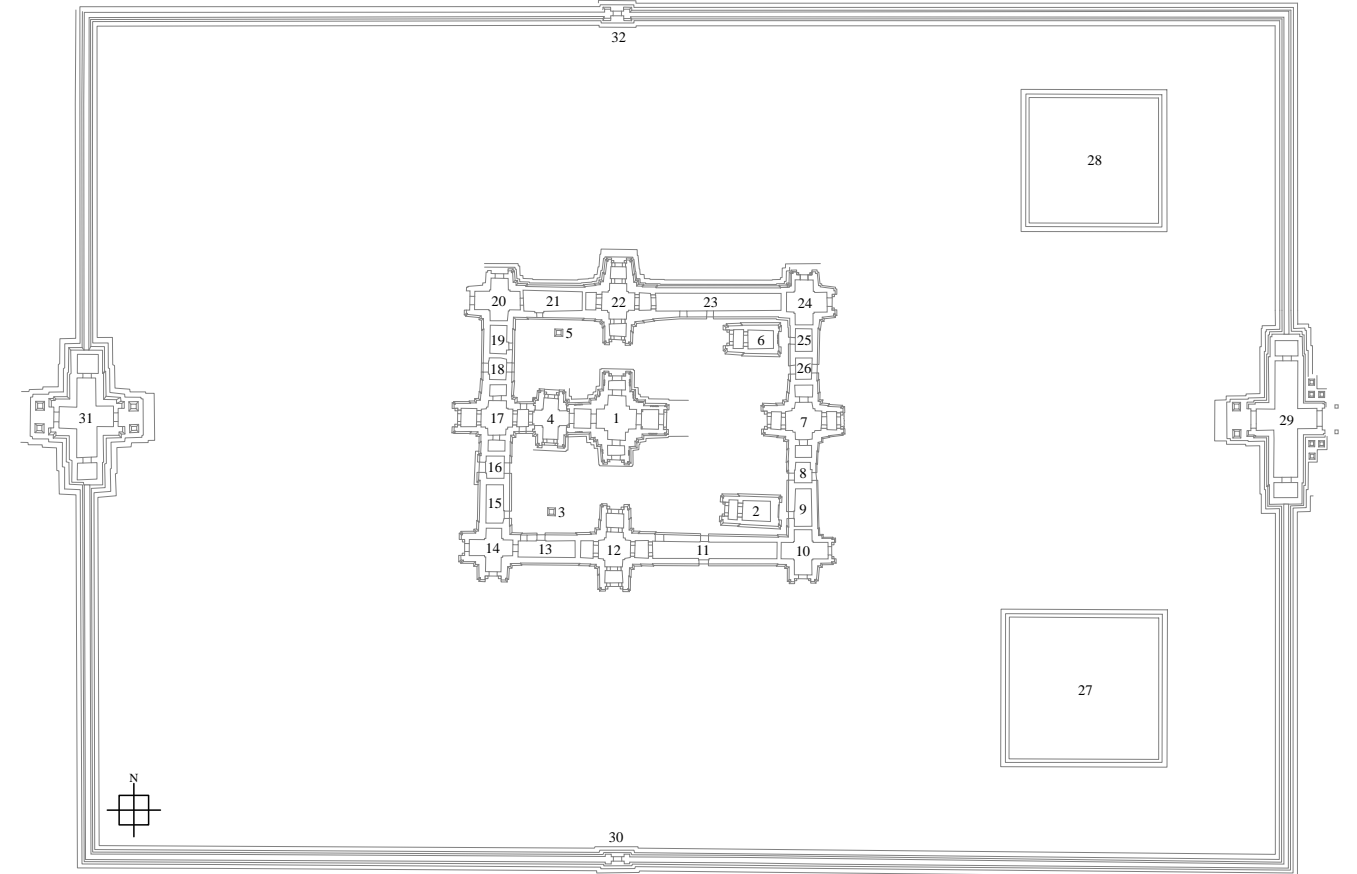


Fig. I-3-1-3.101 : Répartition des différents types de tableaux de porte dans la deuxième enceinte de Ta Prohm de Bati

0 5 10 20 50 m.

- Premier type de tableaux de porte
- Deuxième type de tableaux de porte
- Troisième type de tableaux de porte
- Quatrième type de tableaux de porte

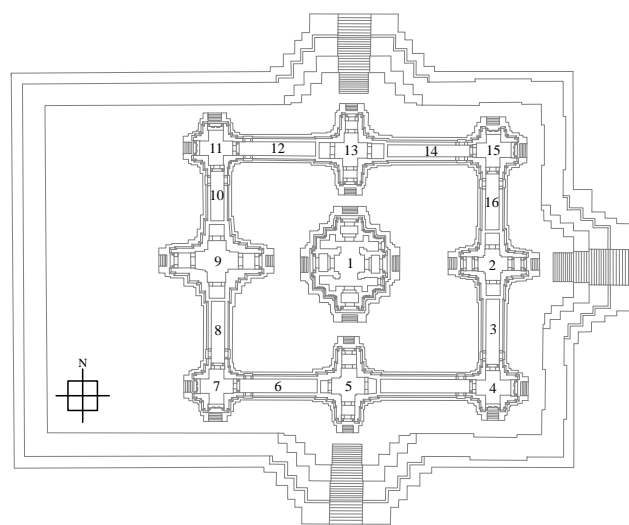


Fig. I-3-1-3.102 : Répartition des différents types de tableaux de porte à Vat Banon

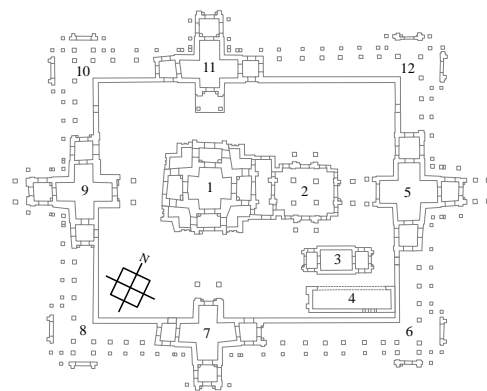


Fig. I-3-1-3.103 : Répartition des différents types de tableaux de porte à Prasat Preah Stung

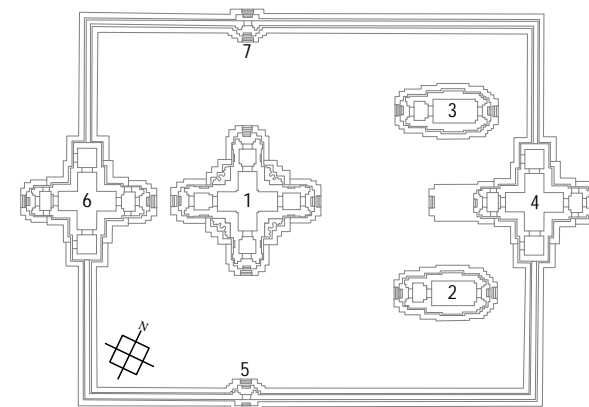


Fig. I-3-1-3.104 : Répartition des différents types de tableaux de porte à Prasat Preah Thkol

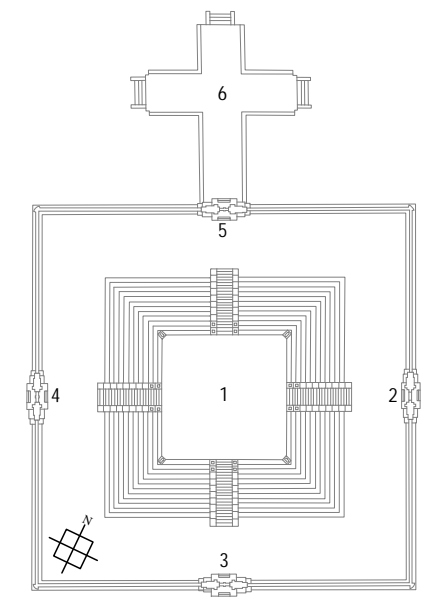


Fig. I-3-1-3.105 : Répartition des différents types de tableaux de porte à Prasat Damrei

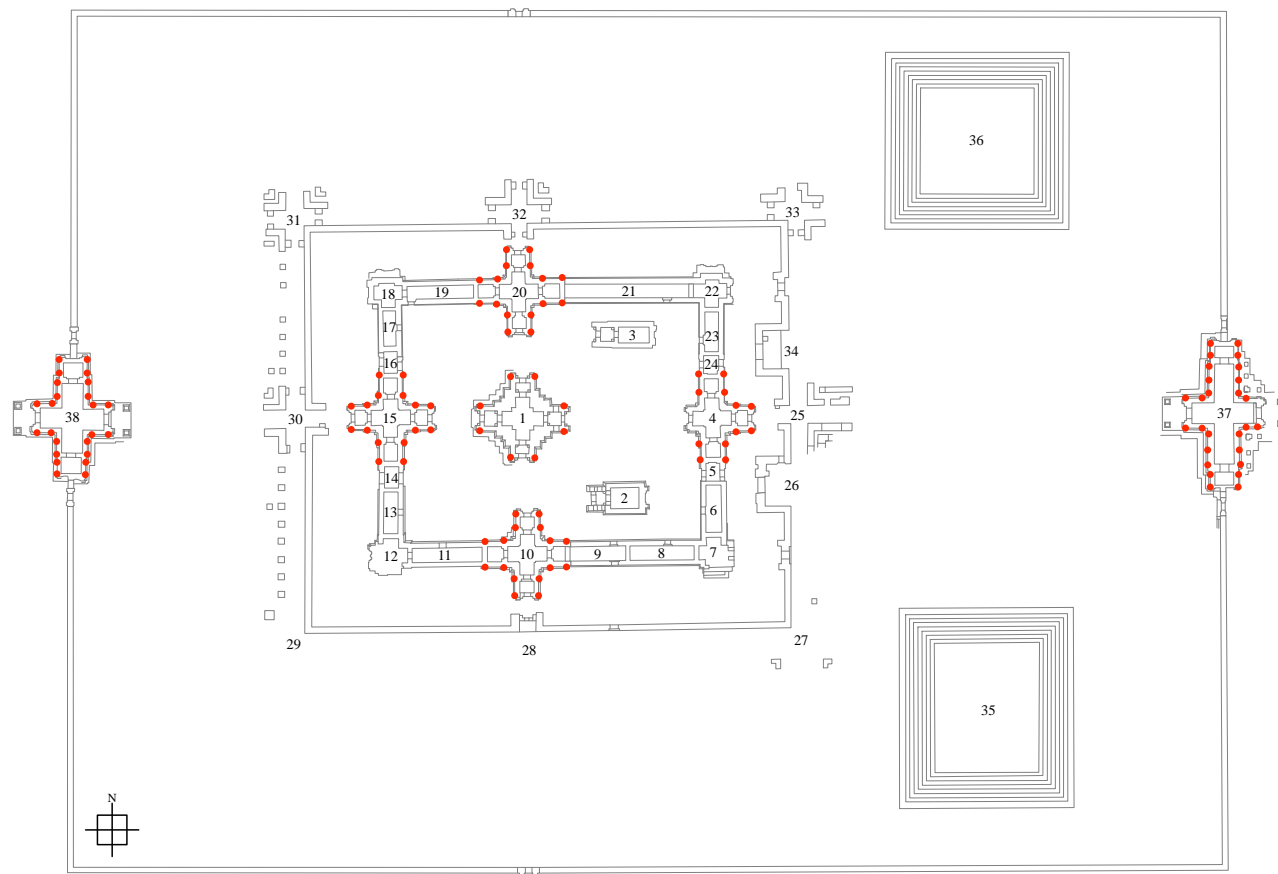


Fig. I-3-1-3.106 : Répartition des différents types de *devatā* dans la troisième enceinte de Vat Nokor

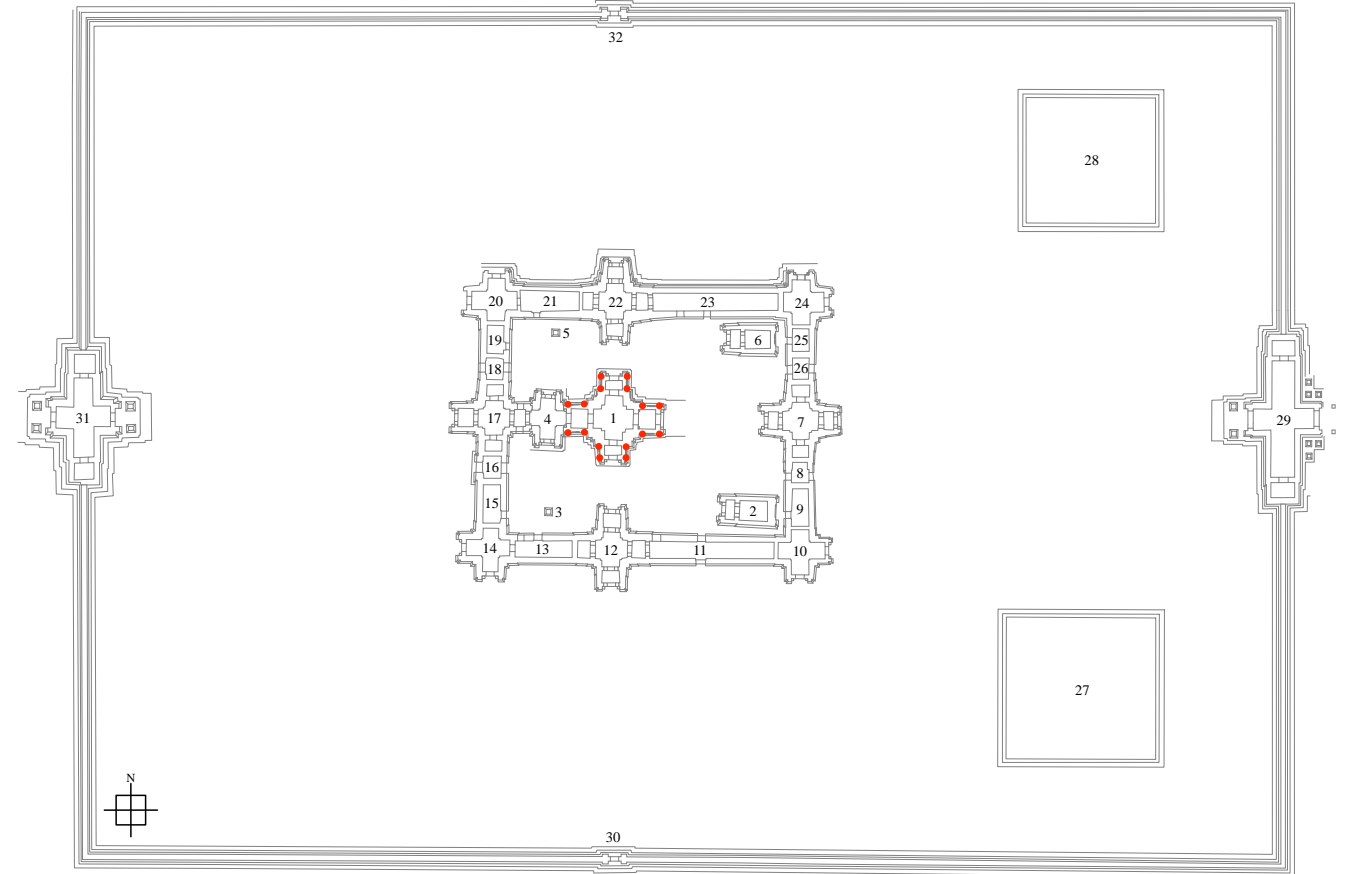
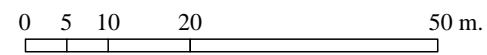


Fig. I-3-1-3.107 : Répartition des différents types de *devatā* dans la deuxième enceinte de Ta Prohm de Bati



- *Devatā* de type 1
- *Devatā* de type 2
- *Devatā* de type 3
- *Devatā* de type 4

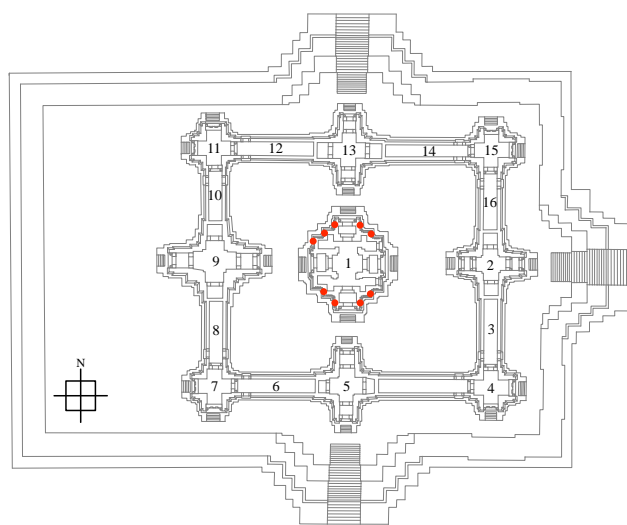


Fig. I-3-1-3.108 : Répartition des différents types de *devatā* à Vat Banon

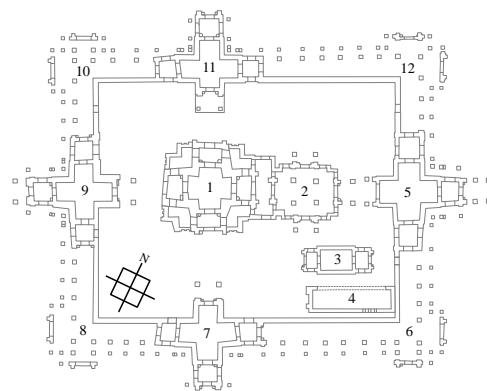


Fig. I-3-1-3.109 : Répartition des différents types de *devatā* à Prasat Preah Stung

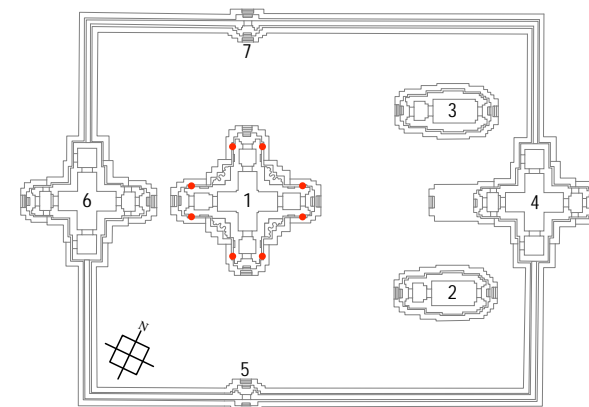


Fig. I-3-1-3.110 : Répartition des différents types de *devatā* à Prasat Preah Thkol

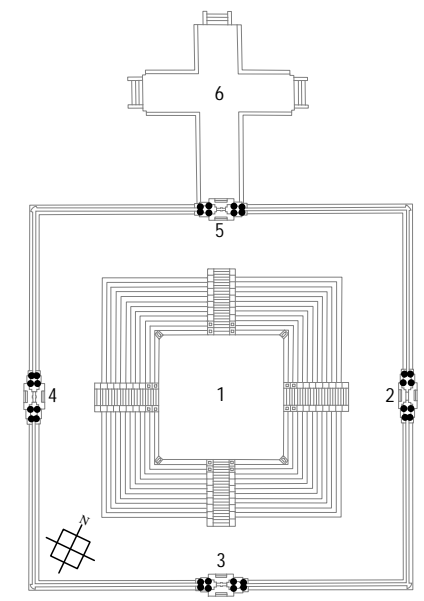


Fig. I-3-1-3.111 : Répartition des différents types de *devatā* à Prasat Damrei

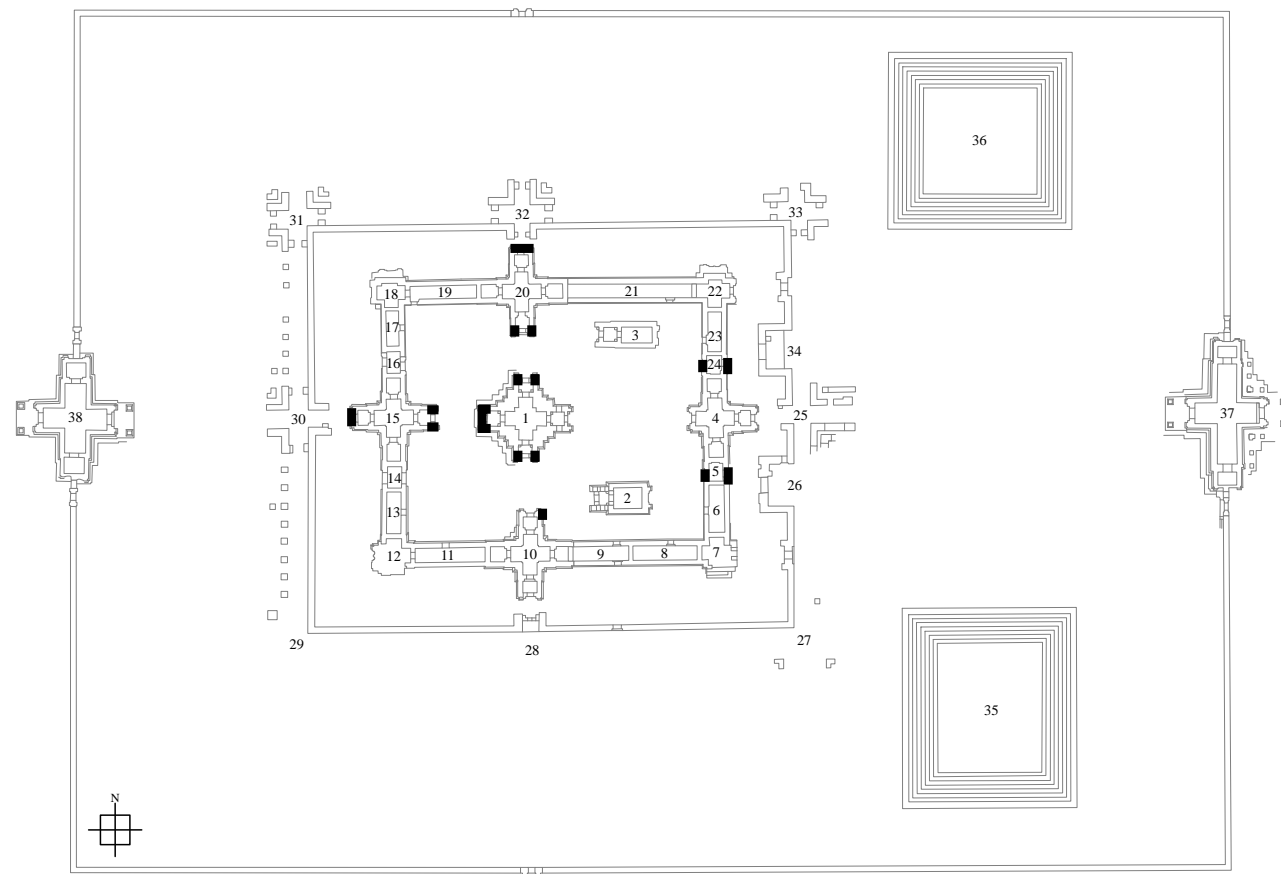


Fig. I-3-1-3.112 : Répartition des traces de structures en matériaux éphémères dans la troisième enceinte de Vat Nokor

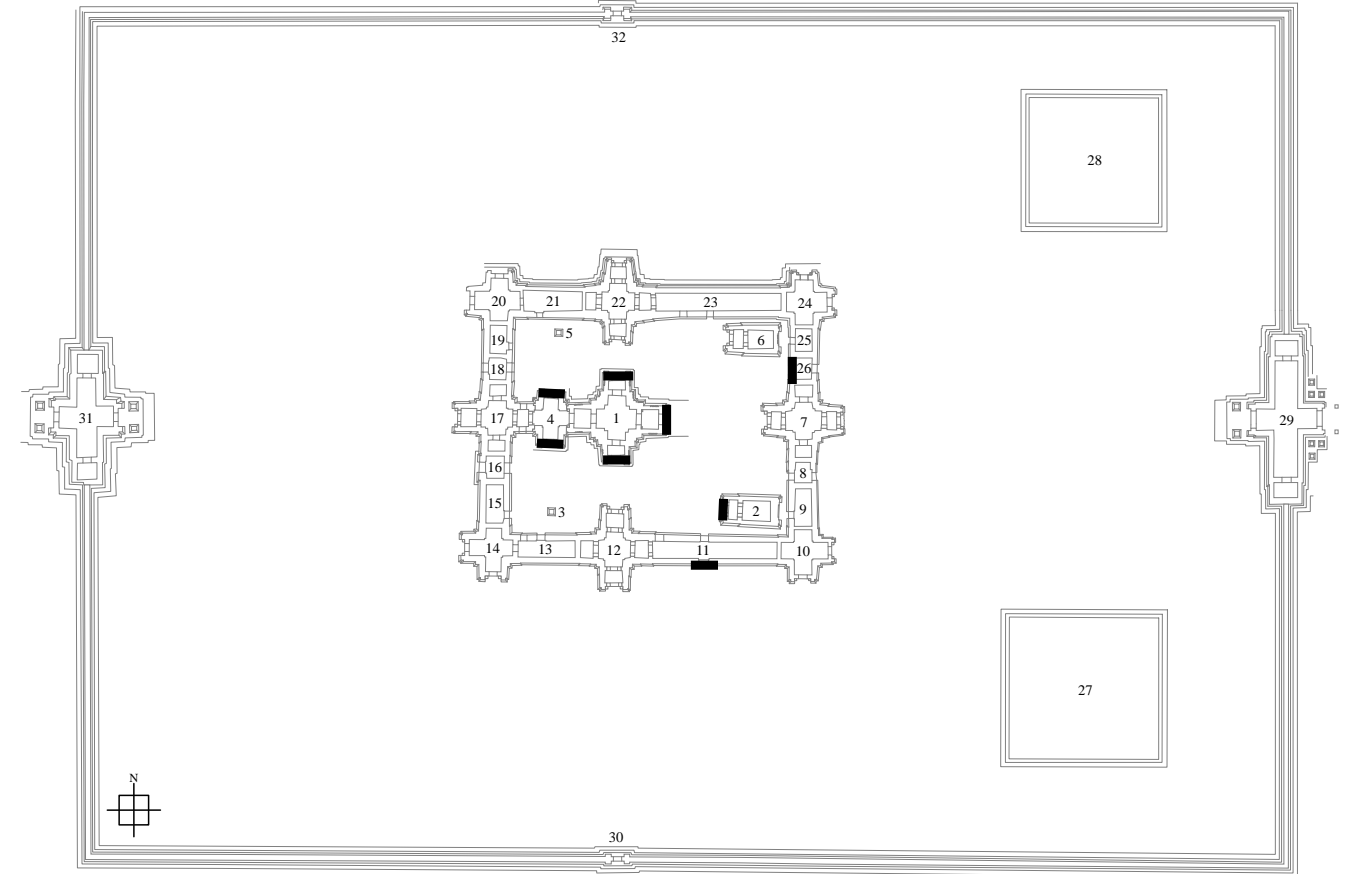
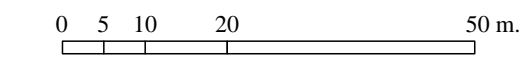




Fig. I-3-1-3.113 : Répartition des traces de structures en matériaux éphémères dans la deuxième enceinte de Ta Prohm de Bati



 Premier type de traces de structures en bois
 Deuxième type de traces de structures en bois

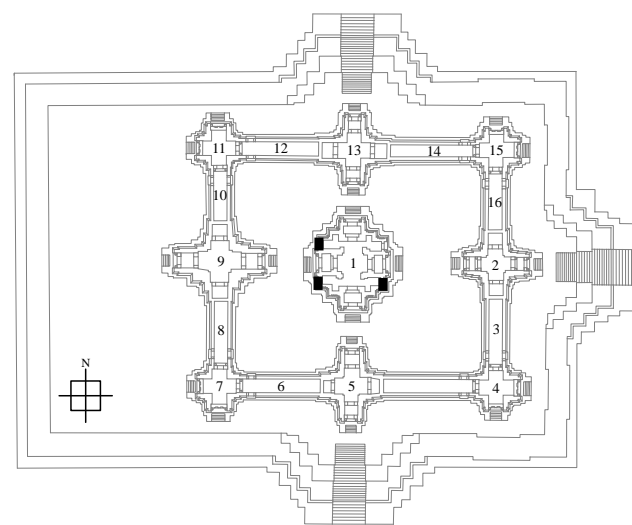


Fig. I-3-1-3.114 : Répartition des traces de structures en matériaux éphémères à Vat Banon

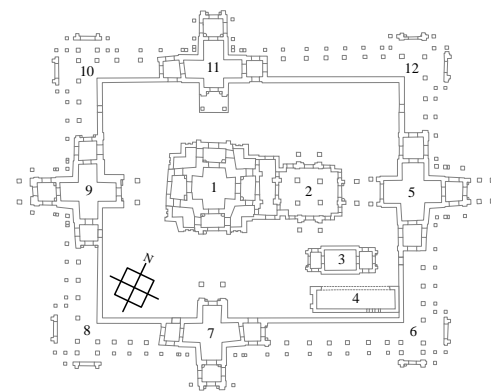


Fig. I-3-1-3.115 : Répartition des traces de structures en matériaux éphémères à Prasat Preah Stung

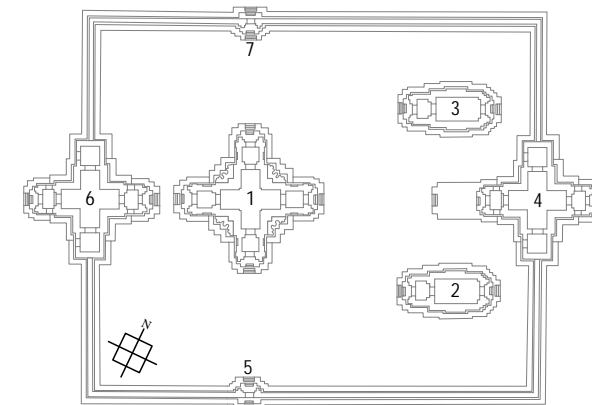


Fig. I-3-1-3.116 : Répartition des traces de structures en matériaux éphémères à Prasat Preah Thkol

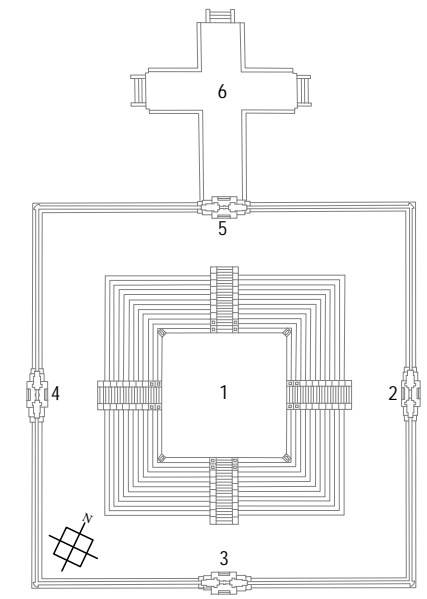


Fig. I-3-1-3.117 : Répartition des traces de structures en matériaux éphémères à Prasat Damrei

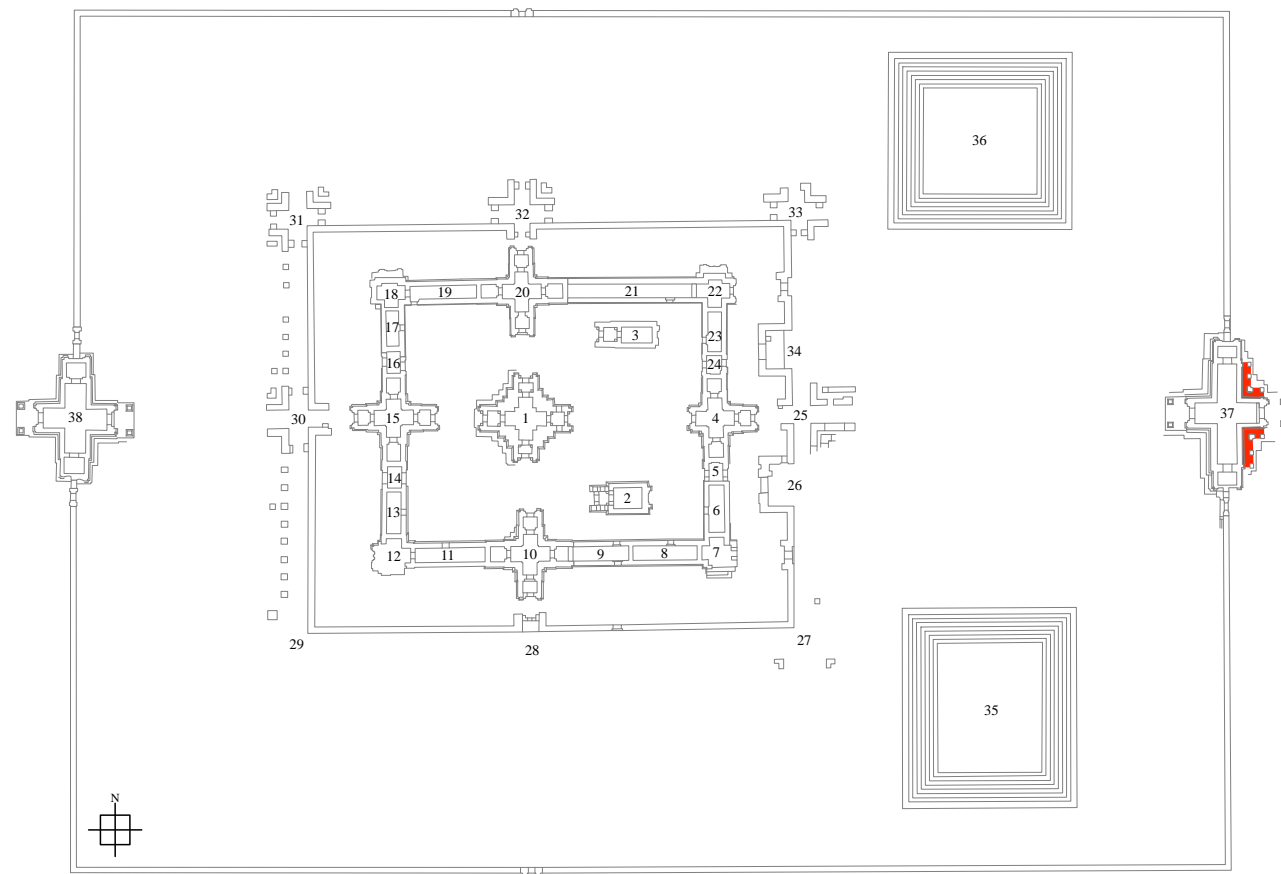


Fig. I-3-1-3.118 : Répartition des édifices présentant des étrépillons dans la troisième enceinte de Vat Nokor

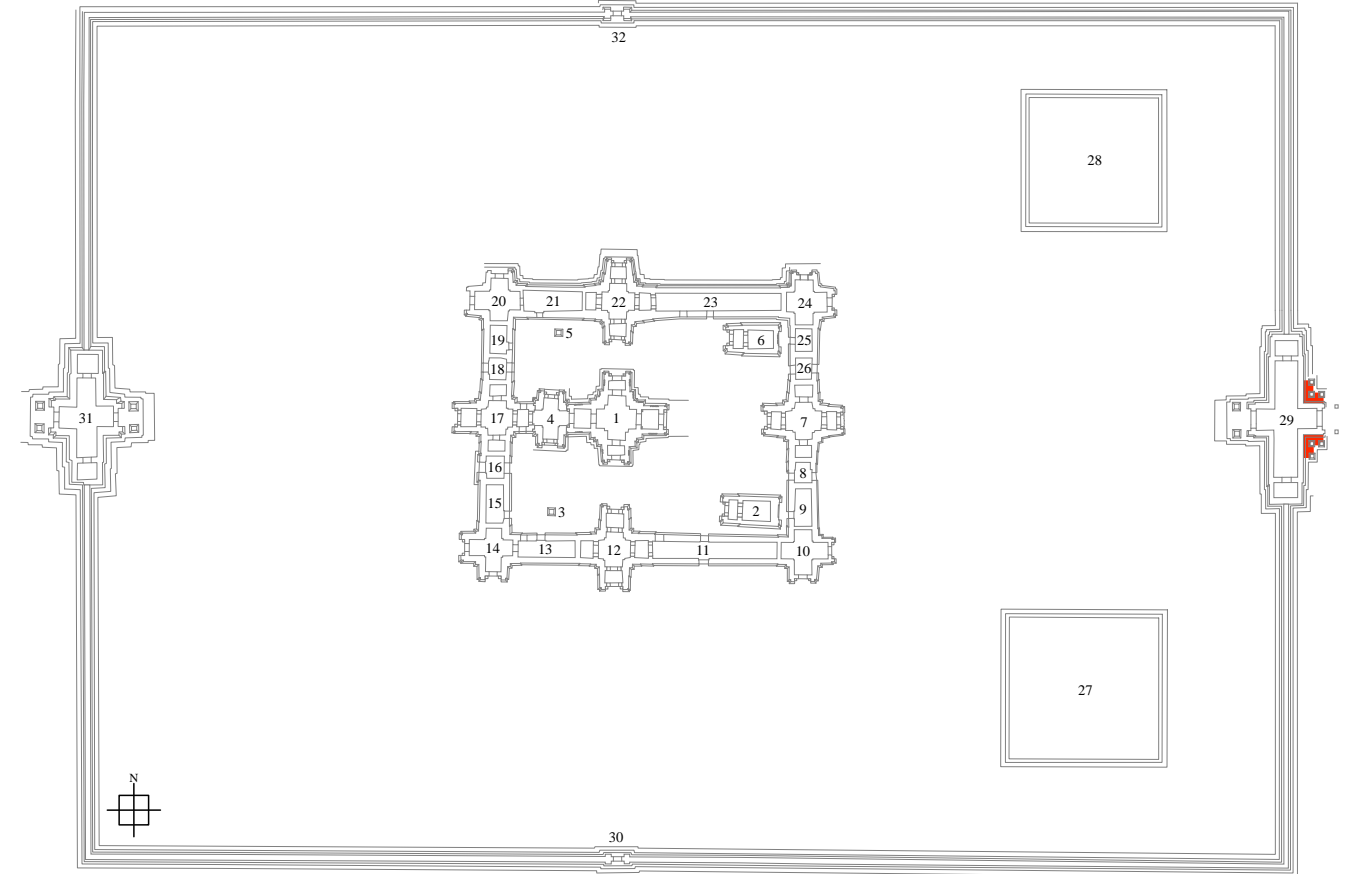
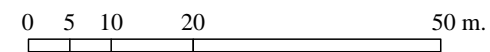



Fig. I-3-1-3.119 : Répartition des édifices présentant des étrépillons dans la deuxième enceinte de Ta Prohm de Bati



 Emplacement des étrépillons

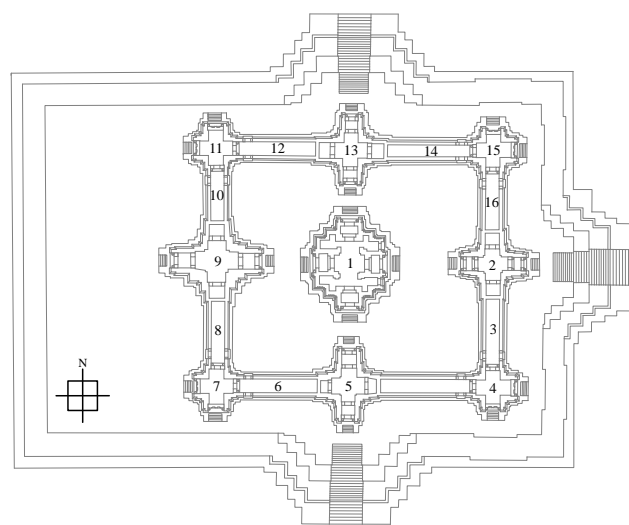


Fig. I-3-1-3.120 : Répartition des édifices présentant des étrépillons à Vat Banon

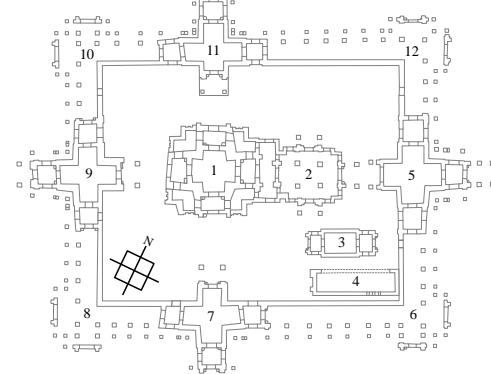


Fig. I-3-1-3.121 : Répartition des édifices présentant des étrépillons à Prasat Preah Stung

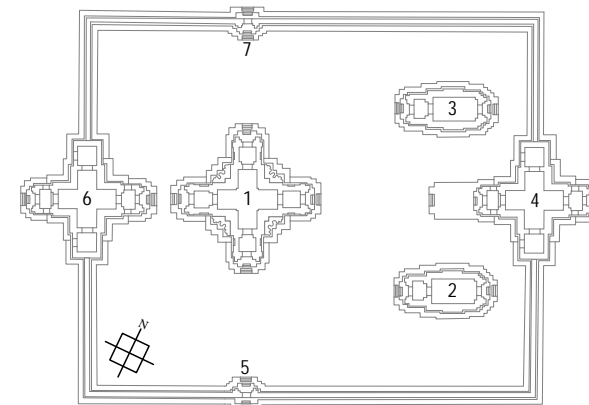


Fig. I-3-1-3.122 : Répartition des édifices présentant des étrépillons à Prasat Preah Thkol

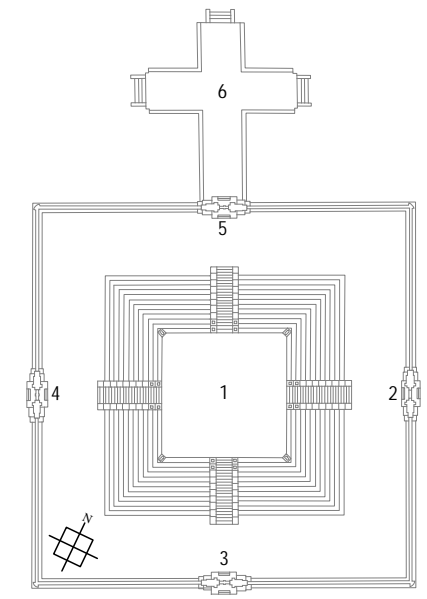


Fig. I-3-1-3.123 : Répartition des édifices présentant des étrépillons à Prasat Damrei

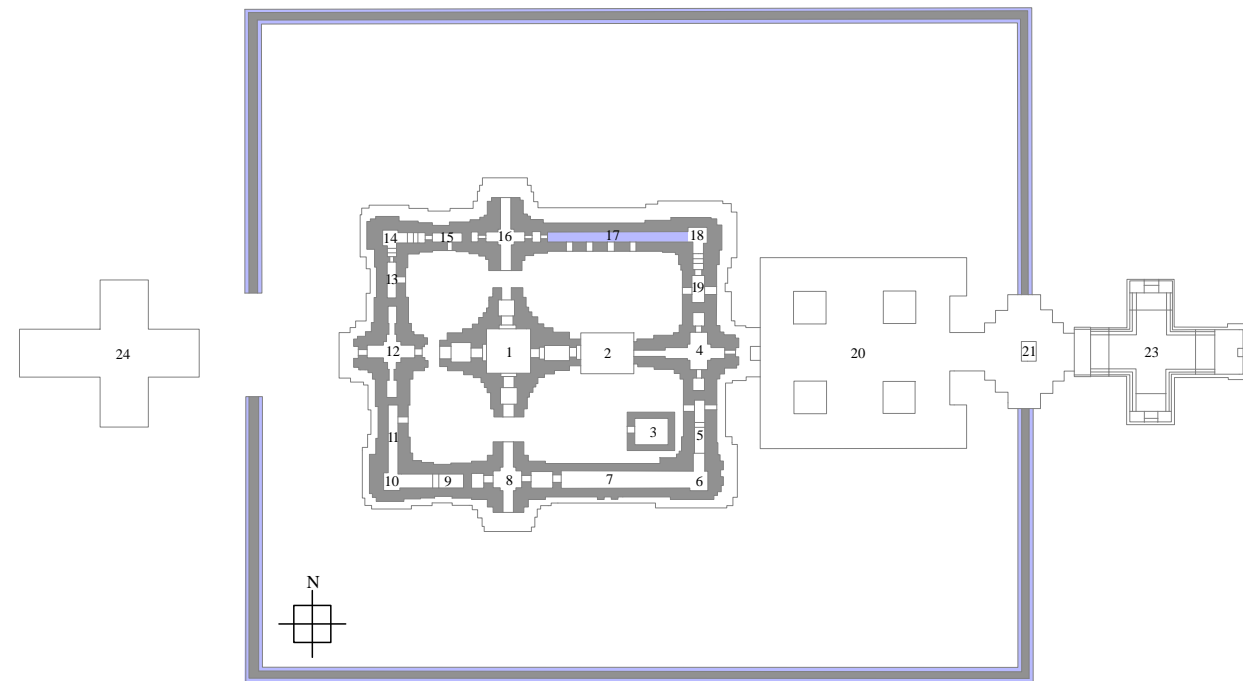


Fig. I-3-1-3.124 : Répartition des différents types de faîtages dans la deuxième enceinte de Prasat Muang Sing

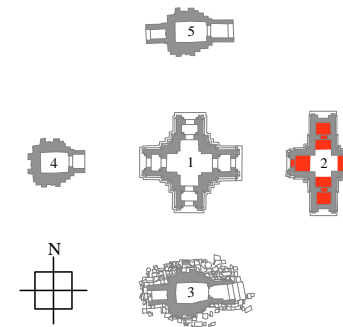


Fig. I-3-1-3.125 : Répartition des différents types de faîtages à Wat Kamphaeng Laeng

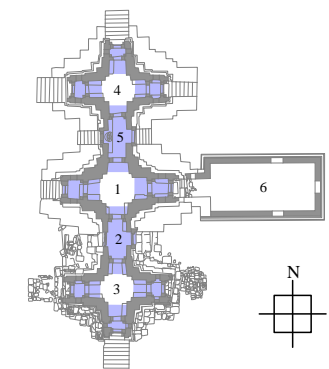
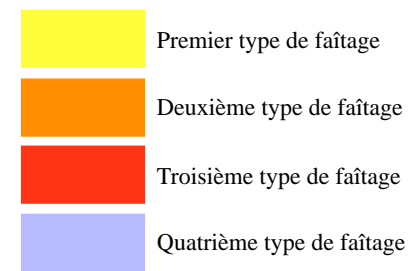
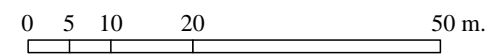


Fig. I-3-1-3.126 : Répartition des différents types de faîtages au Phra Prang Sam Yod



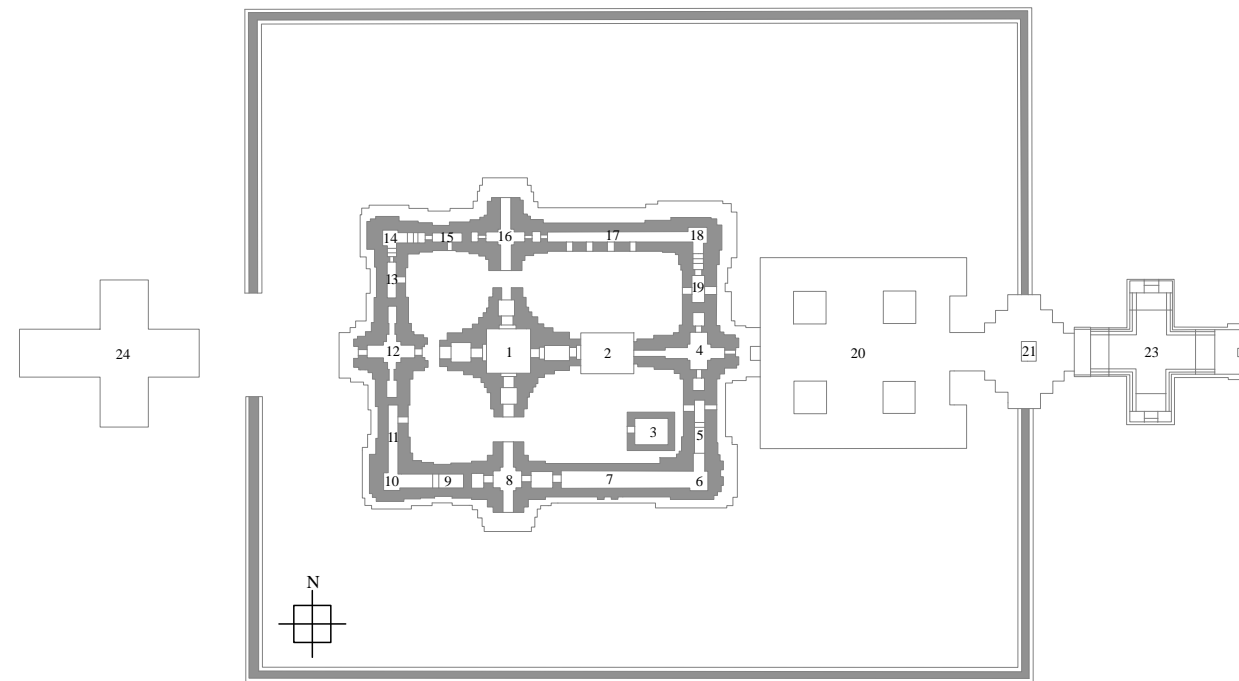


Fig. I-3-1-3.127 : Répartition des différents types de fausses-fenêtres dans la deuxième enceinte de Prasat Muang Sing

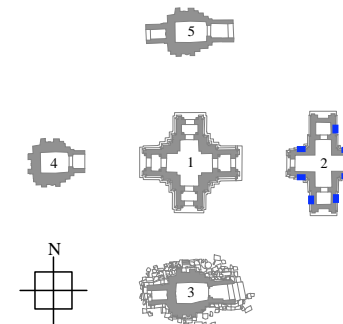


Fig. I-3-1-3.128 : Répartition des différents types de fausses-fenêtres à Wat Kamphaeng Laeng

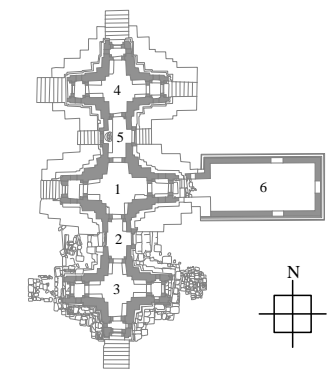
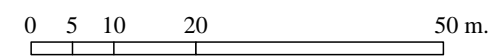


Fig. I-3-1-3.129 : Répartition des différents types de fausses-fenêtres au Phra Prang Sam Yod



- Premier type de fausse-fenêtre
- Deuxième type de fausse-fenêtre
- Troisième type de fausse-fenêtre
- Quatrième type de fausse-fenêtre

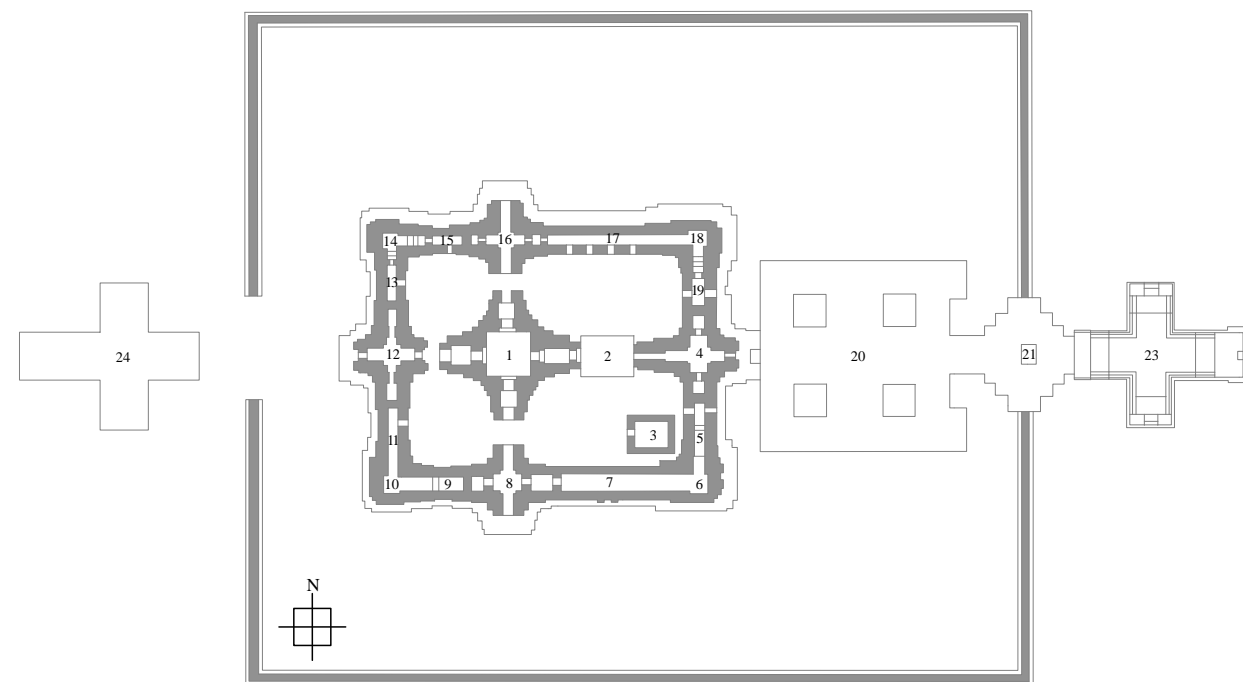


Fig. I-3-1-3.130 : Répartition des traces de structures en matériaux éphémères dans la deuxième enceinte de Prasat Muang Sing

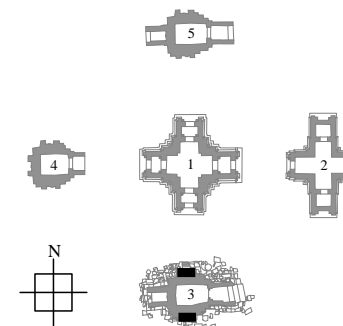


Fig. I-3-1-3.131 : Répartition des traces de structures en matériaux éphémères à Wat Kamphaeng Laeng

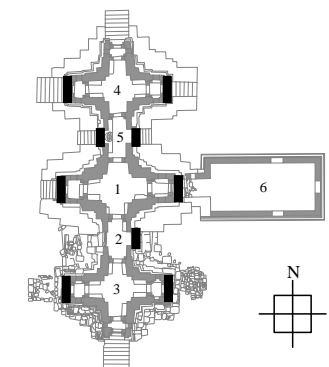
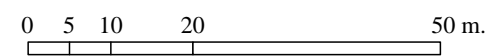




Fig. I-3-1-3.132 : Répartition des traces de structures en matériaux éphémères au Phra Prang Sam Yod



-  Premier type de traces de structures en bois
-  Deuxième type de traces de structures en bois

TRAITEMENT DES DONNÉES DE L'INVENTAIRES DES CRITÈRES STYLISTIQUES ET ARCHITECTONIQUES

Tableaux synoptiques de critères architectoniques et ornementaux :	
Ta Prohm	p. 179
Preah Khan d'Angkor	p. 180
Banteay Kdei	p. 181
Bayon	p. 182
Monuments secondaires à Angkor	p. 183
Monuments hors Angkor	p. 184
Matrices des critères architectoniques et ornementaux :	p. 185
Ta Prohm	p. 186
Preah Khan d'Angkor	p. 187
Banteay Kdei	p. 188
Bayon	p. 189
Découpage du style du Bayon	p. 190

Degré de reprise	N°ID	Fâchage (Type 1)	Fâchage (Type 2)	Fâchage (Type 3)	Fâchage (Type 4)	Fausses tuiles d'abouts (Type 1)	Fausses tuiles d'abouts (Type 2)	Fausse-fenêtre (Type 1)	Fausse-fenêtre (Type 2)	Fausse-fenêtre (Type 3)	Fausse-fenêtre (Type 4)	Motif de tableaux de porte (Type 1)	Motif de tableaux de porte (Type 2)	Motif de tableaux de porte (Type 3)	Motif de tableaux de porte (Type 4)	Présence d'étrésillons	Fenêtre avec colonnettes	Tour à faux-étages	Tour à visages	Devaia (Type 1)	Devaia (Type 2)	Devaia (Type 3)	Devaia (Type 4)	Traces de structures en bois (Type 1)	Traces de structures en bois (Type 2)	Ouverture de portes ou de fenêtres
<i>0</i>	1	■				■		■	■	■	■	■	■	■	■			■	■	■	■	■	■	■	■	■
	G1	■				■		■	■	■	■	■	■	■	■			■	■	■	■	■	■	■	■	■
	40																									
	42																									
	46																									
	48																									
	58																									
	47	■							■	■	■	■	■	■	■						■	■	■	■	■	■
	43	■							■	■	■	■	■	■	■						■	■	■	■	■	■
	54	■							■	■	■	■	■	■	■						■	■	■	■	■	■
	57	■							■	■	■	■	■	■	■						■	■	■	■	■	■
	60	■							■	■	■	■	■	■	■						■	■	■	■	■	■
	70	■							■	■	■	■	■	■	■						■	■	■	■	■	■
	G3	■							■	■	■	■	■	■	■						■	■	■	■	■	■
E4	■							■	■	■	■	■	■	■						■	■	■	■	■	■	
<i>1</i>	2																									
	5																									
	16																									
	19																									
	31-32		■																							
	29-30		■																							
	59																									
	44																									
	80																									
	61																									
	71																									
	CN		■																							
	CS		■																							
	SD		■																							
110		■																								
113		■																								
<i>2</i>	37																									
<i>3</i>	G2																									
	35																									
	36																									
Édifices hors séquences structurelles	3	■				■		■	■	■	■	■	■	■												
	49	■				■		■	■	■	■	■	■	■												
	50																									
	51																									
	52																									
	53																									
	55																									
	45																									
	56																									
	116																									
216																										
E5																										

Fig. I-3-1-3-2.1 : Tableau synoptique des critères architectoniques et ornementaux à Ta Prohm

Degré de reprise	N°ID	Faitage (Type 1)	Faitage (Type 2)	Faitage (Type 3)	Faitage (Type 4)	Fausses tuiles d'abouts (Type 1)	Fausses tuiles d'abouts (Type 2)	Fausse-fenêtre (Type 1)	Fausse-fenêtre (Type 2)	Fausse-fenêtre (Type 3)	Fausse-fenêtre (Type 4)	Motif de tableaux de porte (Type 1)	Motif de tableaux de porte (Type 2)	Motif de tableaux de porte (Type 3)	Motif de tableaux de porte (Type 4)	Présence d'étré sillons	Fenêtre avec colonnettes	Tour à faux-étages	Tour à visages	Devatā (Type 1)	Devatā (Type 2)	Devatā (Type 3)	Devatā (Type 4)	Traces de structures en bois (Type 1)	Traces de structures en bois (Type 2)	Ouverture de portes ou de fenêtres			
0	1-2																												
	6																												
	8																												
	10																												
	12																												
	27																												
	28																												
	31																												
	33																												
	G1																												
	63																												
	64																												
	67																												
	73																												
	E3																												
	120																												
	CO																												
	95																												
	119																												
	1	11																											
20																													
29																													
60																													
4																													
7																													
9																													
13																													
32																													
33N																													
33S																													
33O																													
34																													
15																													
16																													
17																													
22																													
23																													
24																													
39E																													
51E																													
63E1																													
SD																													
CS																													
CN																													
96																													
97																													
119S																													
115																													
116																													
2	11E																												
	11O																												
	20N																												
	20S																												
	29E																												
	29O																												
	G2																												
	63E2																												
	76																												
	74																												
	121																												
	123																												
	140																												
	141																												
	3	12E																											
13E																													
27E																													
28E																													
55																													
56																													
57																													
60																													
61																													
62																													
66																													
65																													
Édifices hors séquences structurales		3																											
		5																											
		14																											
	19																												
	21																												
	26																												
	30																												
	35																												
	75																												
	98																												
	117																												
	122																												
	144																												
	146																												
	170																												
E4																													

Fig. I-3-1-3-2.2 : Tableau synoptique des critères architectoniques et ornementaux au Preah Khan d'Angkor

Degré de reprise	N°ID	Faitage (Type 1)	Faitage (Type 2)	Faitage (Type 3)	Faitage (Type 4)	Fausses tuiles d'abouts (Type 1)	Fausses tuiles d'abouts (Type 2)	Fausse-fenêtre (Type 1)	Fausse-fenêtre (Type 2)	Fausse-fenêtre (Type 3)	Fausse-fenêtre (Type 4)	Motif de tableaux de porte (Type 1)	Motif de tableaux de porte (Type 2)	Motif de tableaux de porte (Type 3)	Motif de tableaux de porte (Type 4)	Présence d'étrésillons	Fenêtre avec colonnettes	Tour à faux-étages	Tour à visages	Devatā (Type 1)	Devatā (Type 2)	Devatā (Type 3)	Devatā (Type 4)	Traces de structures en bois (Type 1)	Traces de structures en bois (Type 2)	Ouverture de portes ou de fenêtres
0	1																									
	G1 E3																									
1	2																									
	5																									
	3-8																									
	4-12																									
	10																									
	14E																									
	16E																									
	28E																									
	40-33																									
	45																									
51																										
53																										
2	6																									
	30																									
	SD																									
3	13																									
	G2																									
4	35																									
Édifices hors séquences structurelles	7																									
	37																									
	44																									
	55																									
	56 E4																									

Fig. I-3-1-3-2.3 : Tableau synoptique des critères architectoniques et ornementaux à Banteay Kdei

Degré de reprise	N°ID	Fatage (Type 1) Fatage (Type 2) Fatage (Type 3) Fatage (Type 4)	Fausses tuiles d'abouts (Type 1) Fausses tuiles d'abouts (Type 2)	Fausse-fenêtre (Type 1) Fausse-fenêtre (Type 2) Fausse-fenêtre (Type 3) Fausse-fenêtre (Type 4)	Motif de tableaux de porte (Type 1) Motif de tableaux de porte (Type 2) Motif de tableaux de porte (Type 3) Motif de tableaux de porte (Type 4)	Présence d'étrépillons	Fenêtre avec colonnettes	Tour à faux-étages Tour à visages	Devaiaï (Type 1) Devaiaï (Type 2) Devaiaï (Type 3) Devaiaï (Type 4)	Traces de structures en bois (Type 1) Traces de structures en bois (Type 2)	Ouverture de portes ou de fenêtres
0	G1 G3										
1	BY.50 BY.C G2NE G2SE G2SO G2NO BY.52										
2	BY.51 BY.53 BYA-P										
3	BY.54										

Structures du premier et second étage

0	BY.1-2 BY.15 BY.16										
1	BY.3 BY.4 BY.5 BY.6 BY.7 BY.8 BY.9 BY.10 BY.11 BY.12-13 15N 15E 15S 16E										
2	BY.3/4 BY.4/5 BY.5/6 BY.6/7 BY.7/8 BY.8/9 12N 12S BY.14										
Édifices hors séquences structurelles	BY.17 BY.18 BY.19 BY.20 BY.21										

Structures du troisième étages

Fig. I-3-1-3-2.4 : Tableau synoptique des critères architectoniques et ornementaux au Bayon

Degré de reprise	N°ID	Faitage (Type 1)	Faitage (Type 2)	Faitage (Type 3)	Faitage (Type 4)	Fausses tuiles d'abouts (Type 1)	Fausses tuiles d'abouts (Type 2)	Fausse-fenêtre (Type 1)	Fausse-fenêtre (Type 2)	Fausse-fenêtre (Type 3)	Fausse-fenêtre (Type 4)	Motif de tableaux de porte (Type 1)	Motif de tableaux de porte (Type 2)	Motif de tableaux de porte (Type 3)	Motif de tableaux de porte (Type 4)	Présence d'étré sillons	Fenêtre avec colonnettes	Tour à faux-étages	Tour à visages	Devatā (Type 1)	Devatā (Type 2)	Devatā (Type 3)	Devatā (Type 4)	Traces de structures en bois (Type 1)	Traces de structures en bois (Type 2)	Ouverture de portes ou de fenêtres			
Édifices hors séquences structurelles	1																												
	2																												
	3																												
	G1																												
	G2																												
	E3																												
E4																													

Fig. I-3-1-3-2.21 : Tableau synoptique des critères architectoniques et ornementaux à Vat Nokor

0	1																												
	G1																												
1	4																												
	E2																												
Édifices hors séquences structurelles	2																												
	6																												

Fig. I-3-1-3-2.22 : Tableau synoptique des critères architectoniques et ornementaux à Ta Prohm de Bati

Édifices hors séquences structurelles	1																												
	G1																												

Fig. I-3-1-3-2.23 : Tableau synoptique des critères architectoniques et ornementaux à Vat Banon

Édifices hors séquences structurelles	1																														
	3																														
	4																														
	G1																														
	15																														
	16																														
	17																														
	18																														
	19																														
	20																														
	21																														
	22																														
	25																														
	26																														
	31																														
	32																														
	Gîte d'étape	33																													
34																															
35																															
36																															
G2																															
82																															
E3																															

Fig. I-3-1-3-2.24 : Tableau synoptique des critères architectoniques et ornementaux au Preah Khan de Kompong Svay

Degré de reprise	N°ID	Faitage (Type 1)	Faitage (Type 2)	Faitage (Type 3)	Faitage (Type 4)	Fausses tuiles d'abouts (Type 1)	Fausses tuiles d'abouts (Type 2)	Fausse-fenêtre (Type 1)	Fausse-fenêtre (Type 2)	Fausse-fenêtre (Type 3)	Fausse-fenêtre (Type 4)	Motif de tableaux de porte (Type 1)	Motif de tableaux de porte (Type 2)	Motif de tableaux de porte (Type 3)	Motif de tableaux de porte (Type 4)	Présence d'étré sillons	Fenêtre avec colonnettes	Tour à faux-étages	Tour à visages	Devatā (Type 1)	Devatā (Type 2)	Devatā (Type 3)	Devatā (Type 4)	Traces de structures en bois (Type 1)	Traces de structures en bois (Type 2)	Ouverture de portes ou de fenêtres				
Prasat Preah Stung	1																													
	2																													
	3																													
	4																													
	G1																													
Prasat Damrei	1																													
	E1																													
Prasat Preah Thkol	1																													
	2																													
	3																													
	E1																													

Fig. I-3-1-3-2.25 : Tableau synoptique des critères architectoniques et ornementaux des temples-satellites du Preah Khan de Kompong Svay

Édifices hors séquences structurelles	1																													
	3																													
	G1																													
	E2																													

Fig. I-3-1-3-2.26 : Tableau synoptique des critères architectoniques et ornementaux à Muang Sing

0	3																												
	5																												
1	3E																												
	3O																												
	5E																												
	5O																												
Édifices hors séquences structurelles	1																												
	2																												
	4																												

Fig. I-3-1-3-2.27 : Tableau synoptique des critères architectoniques et ornementaux à Wat Kamphaeng Laeng

0	1																												
	2																												
	3																												
	4																												
	5																												
1	6																												

Fig. I-3-1-3-2.28 : Tableau synoptique des critères architectoniques et ornementaux au Phra Prang Sam Yod

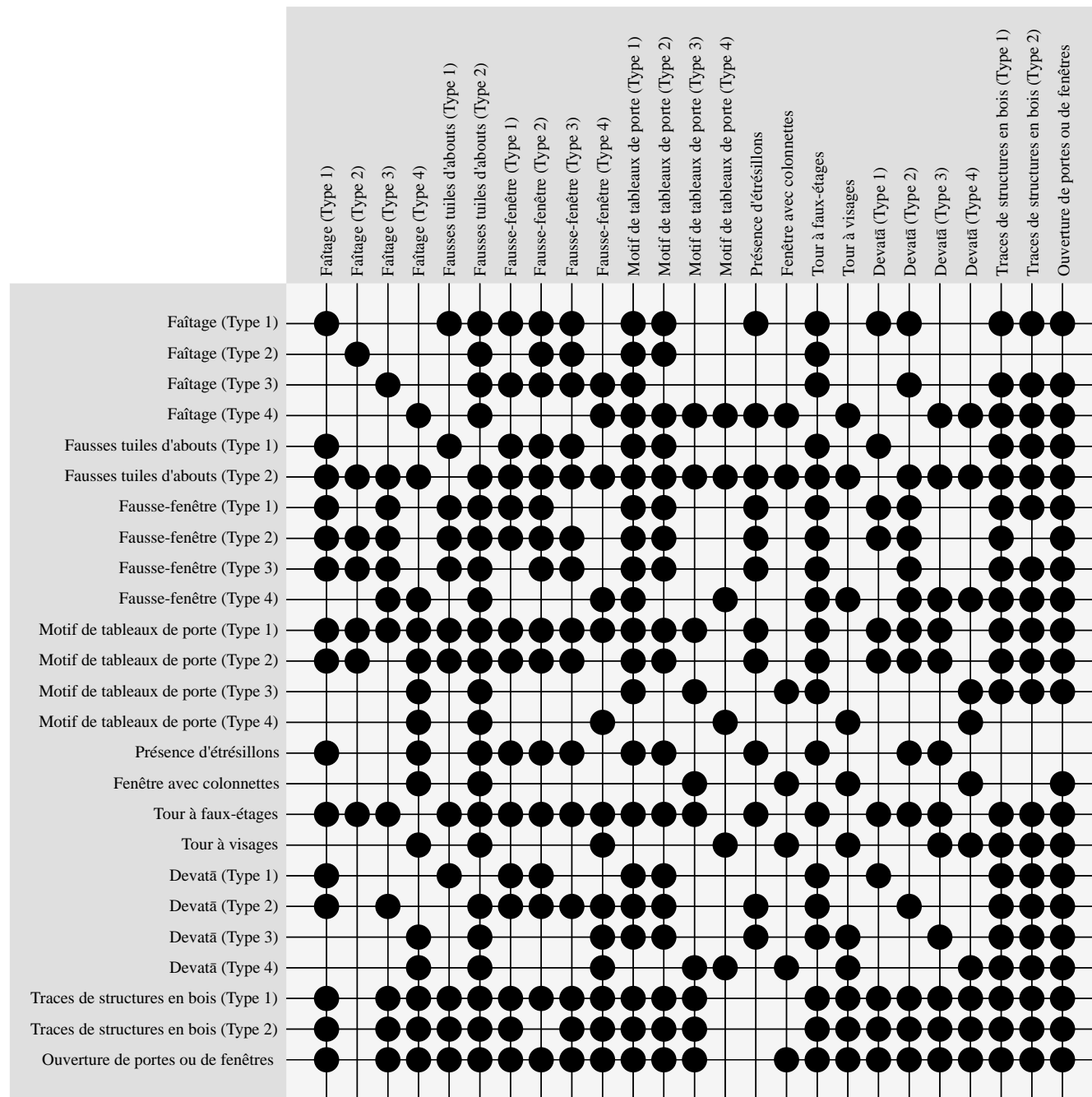


Fig. I-3-1-3-2.29 : Matrice récapitulant les corrélations des critères architectoniques et ornementaux

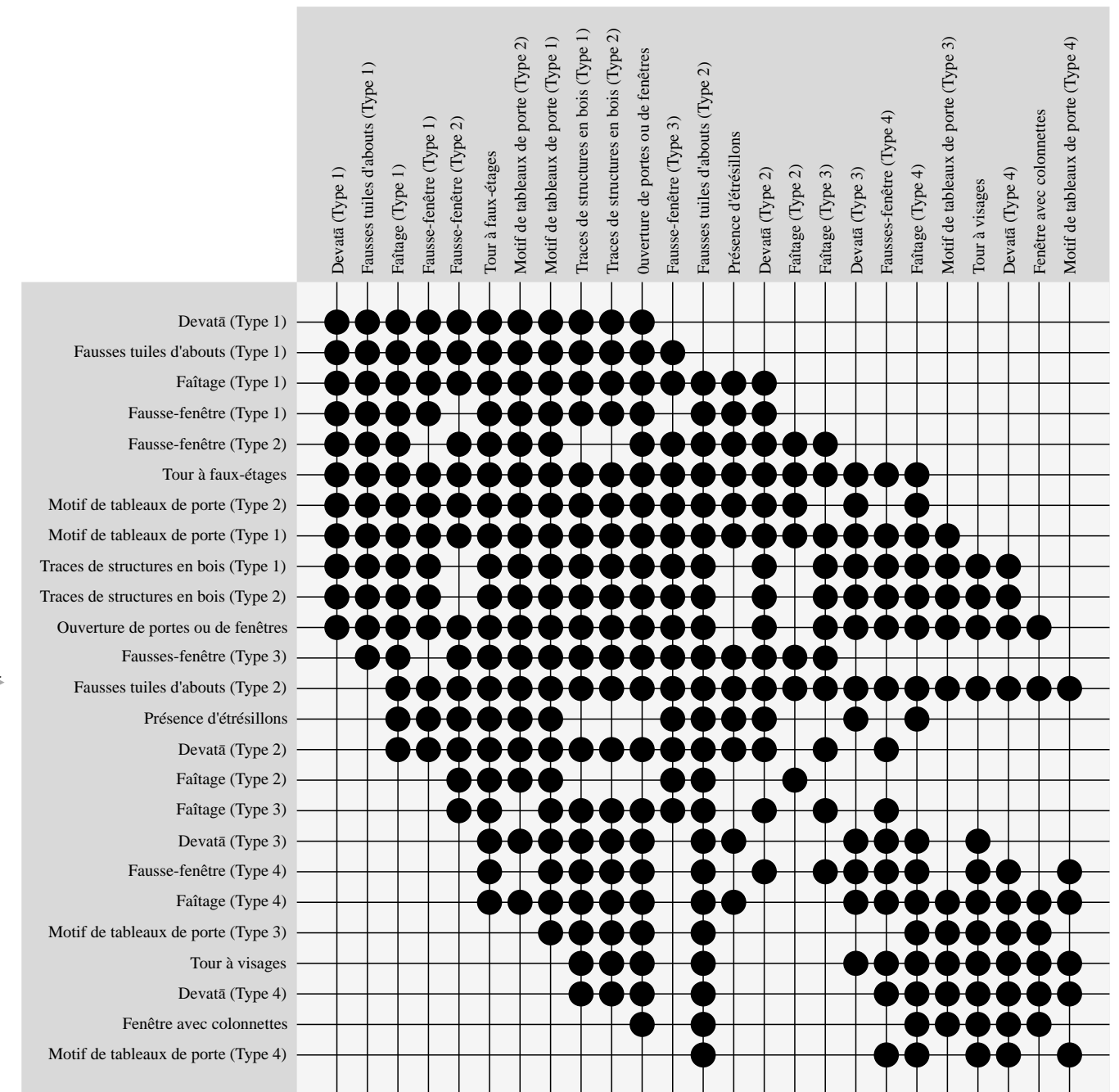
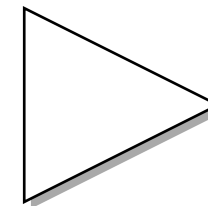


Fig. I-3-1-3-2.30 : Matrice ordonnée des corrélations des critères architectoniques et ornementaux après permutations

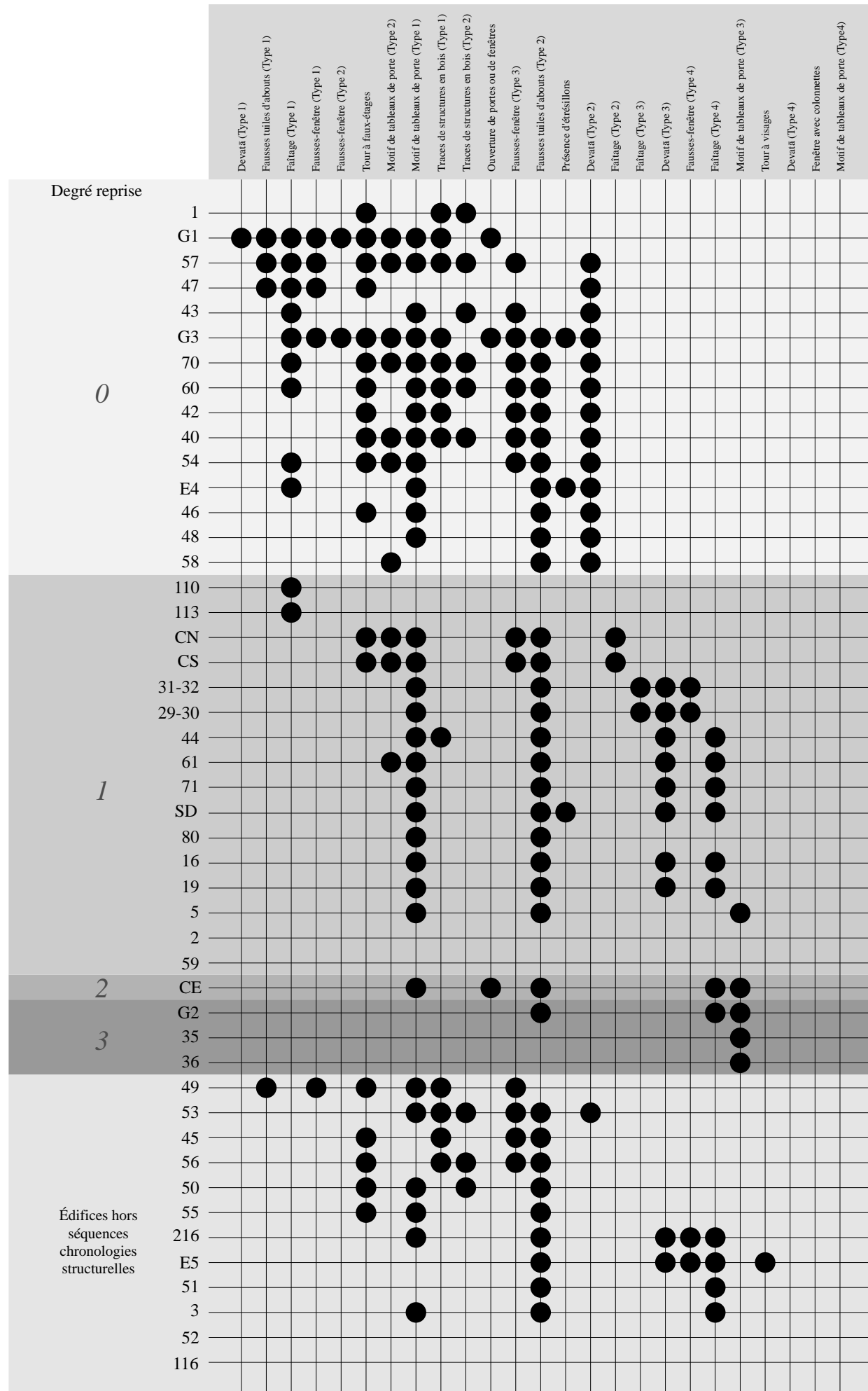


Fig. I-3-1-3-2.31 : Matrice des critères architectoniques et ornementaux à Ta Prohm

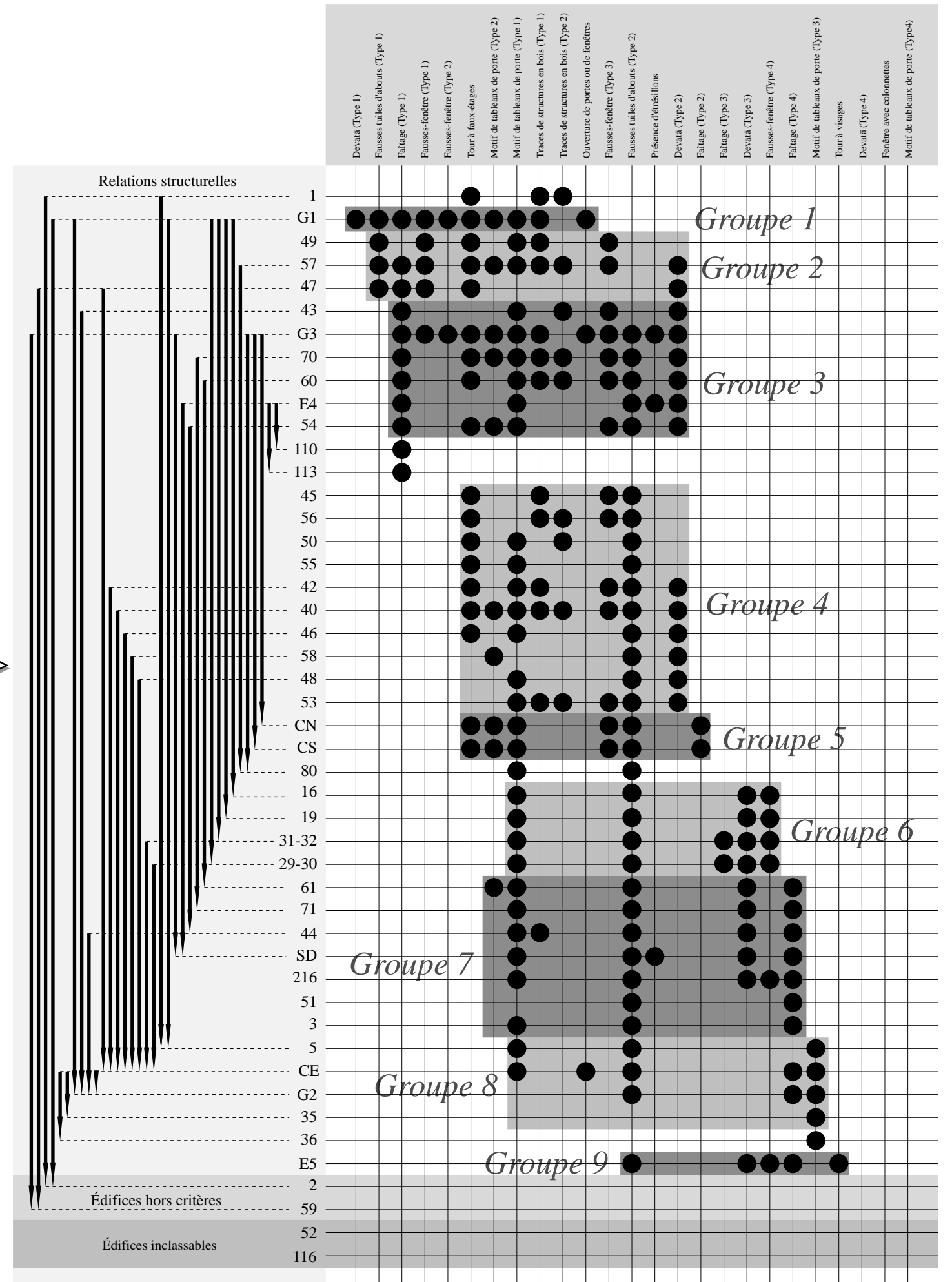


Fig. I-3-1-3-2.32 : Matrice chronologique des critères architectoniques et ornementaux à Ta Prohm ordonnée après permutation

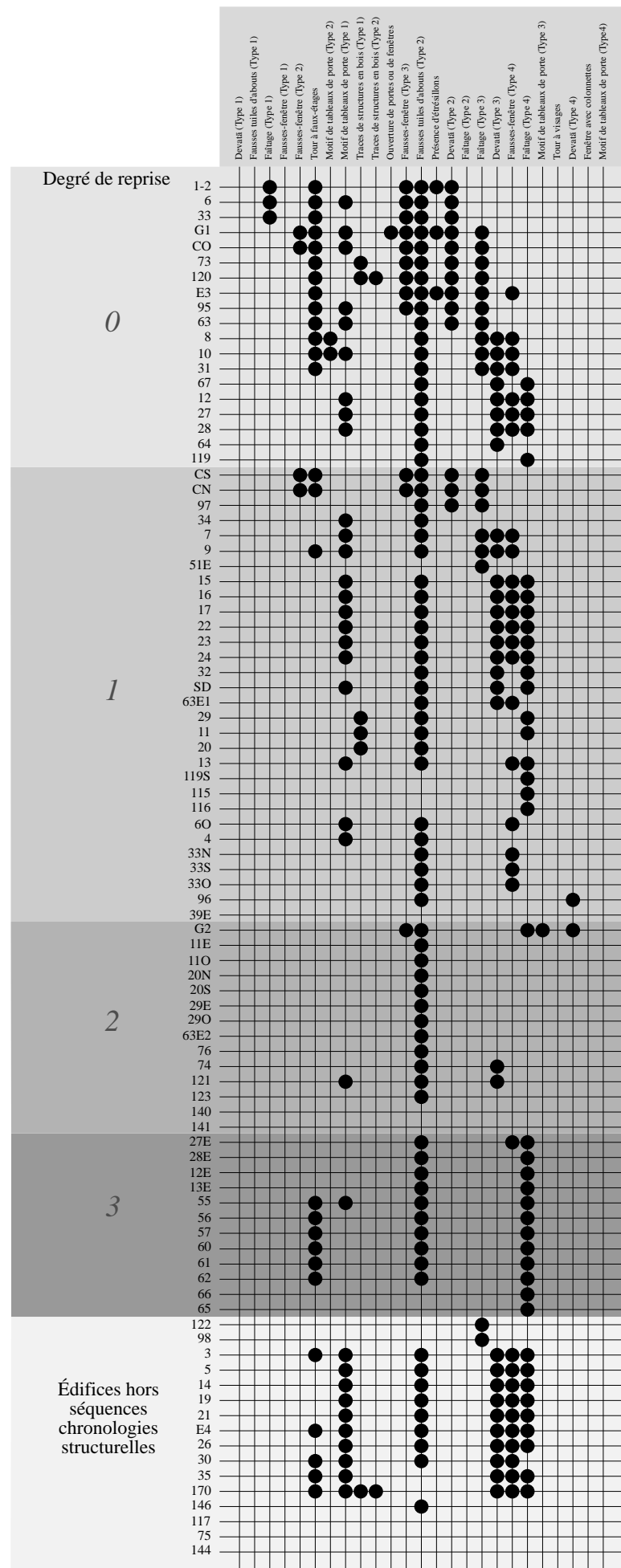


Fig. I-3-1-3-2.33 : Matrice des critères architectoniques et ornementaux au Preah Khan d'Angkor

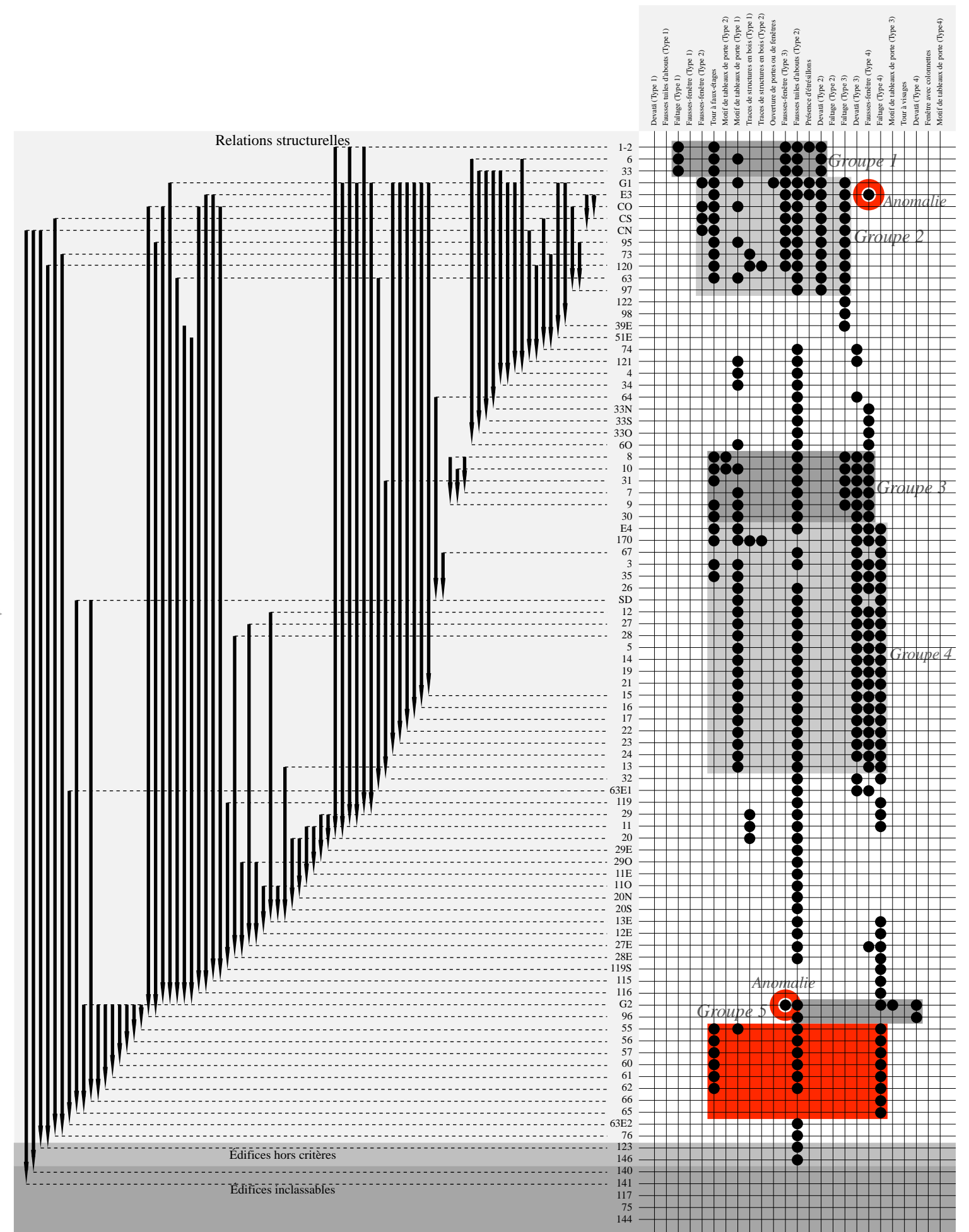


Fig. I-3-1-3-2.34 : Matrice chronologique des critères architectoniques et ornementaux au Preah Khan d'Angkor ordonnée après permutation

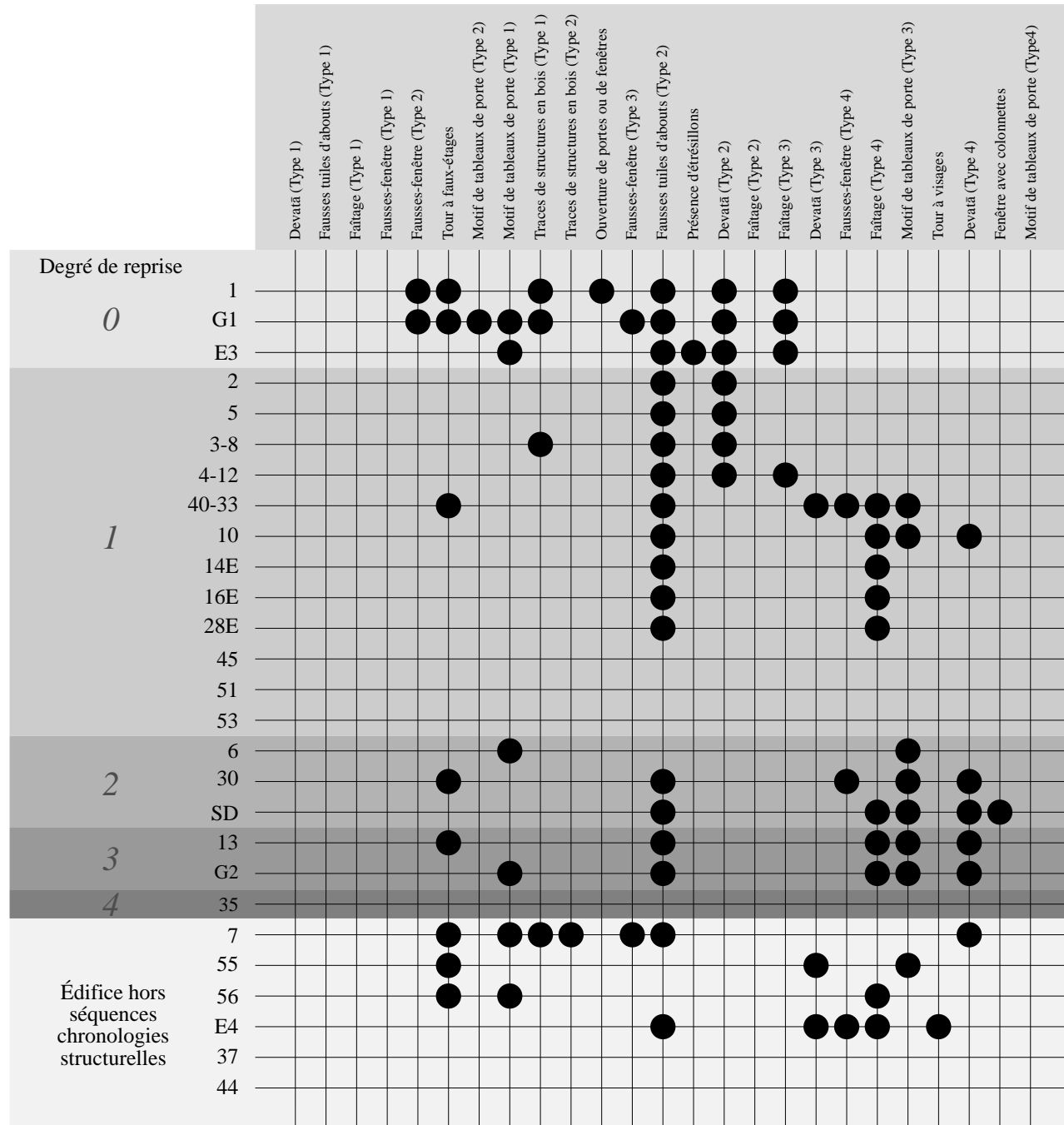


Fig. I-3-1-3-2.35 : Matrice des critères architectoniques et ornementaux à Banteay Kdei

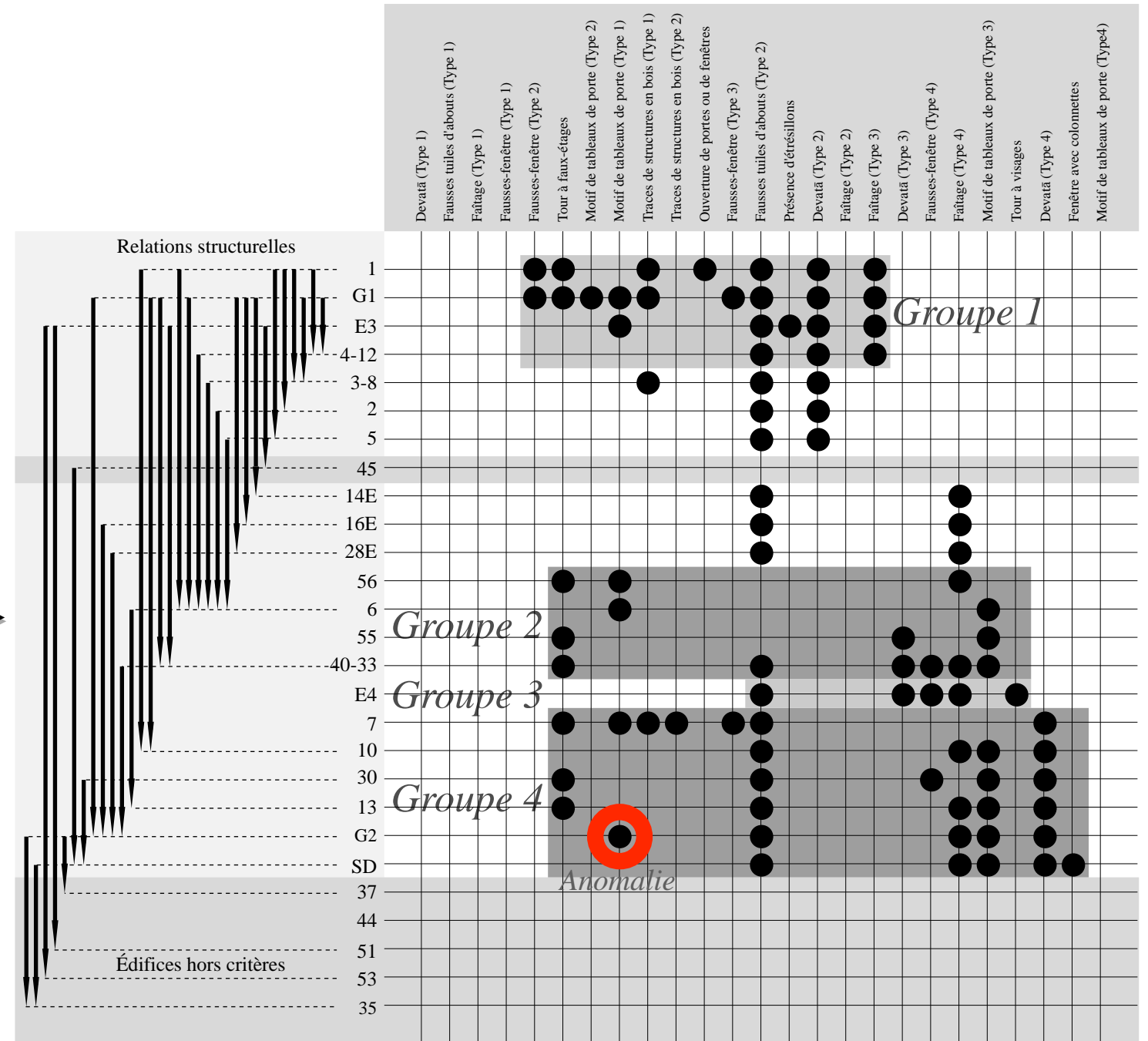


Fig. I-3-1-3-2.36 : Matrice chronologique des critères architectoniques et ornementaux à Banteay Kdei ordonnée après permutation

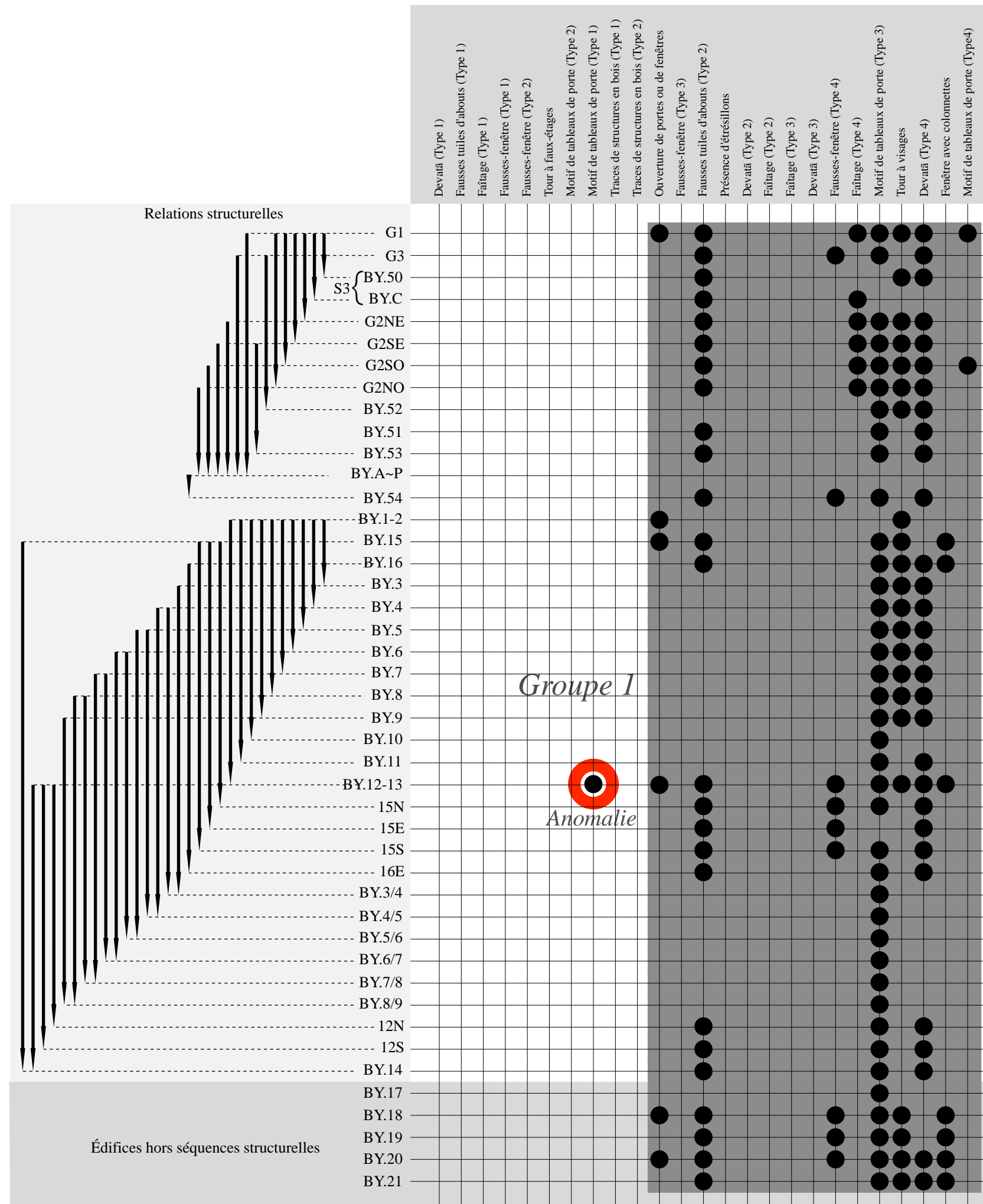


Fig. I-3-1-3-2.37 : Matrice chronologique des critères architectoniques et ornementaux au Bayon

DONNÉES ET TRAITEMENT DE LA SUSCEPTIBILITÉ MAGNÉTIQUE MOYENNE DU GRÈS DES MONUMENTS DU STYLE DU BAYON À ANGKOR

Ta Prohm	p. 192 à p. 195
Preah Khan d'Angkor	p. 196 à p. 199
Banteay Kdei	p. 200 à p. 203
Bayon	p. 204 à p. 207
Monuments secondaires d'Angkor	p. 208 à p. 216

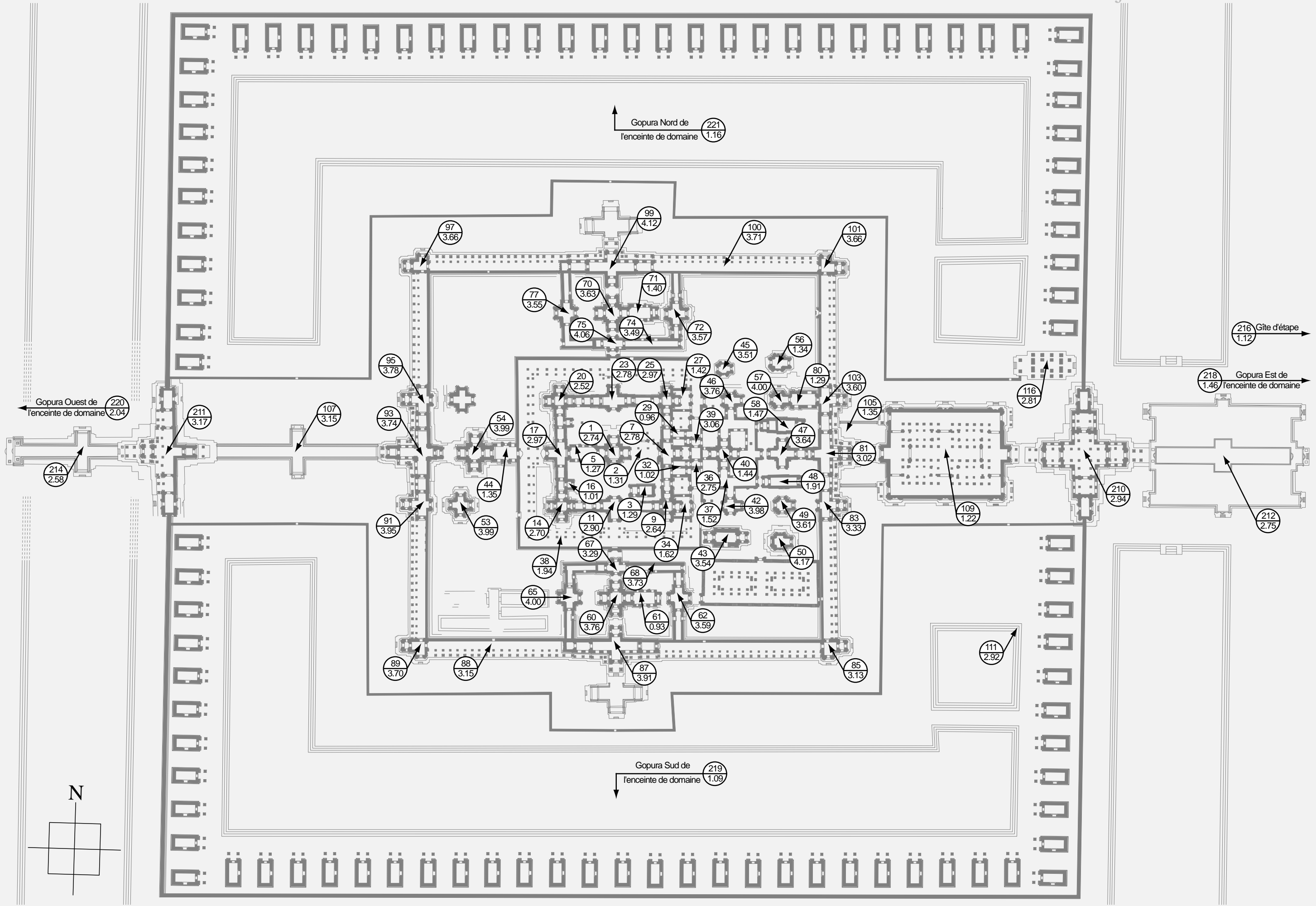


Fig. I-3-1-4.1 : Répartition de la susceptibilité magnétique moyenne du grès par 10^{-3} Unité SI dans la quatrième enceinte de Ta Prohm

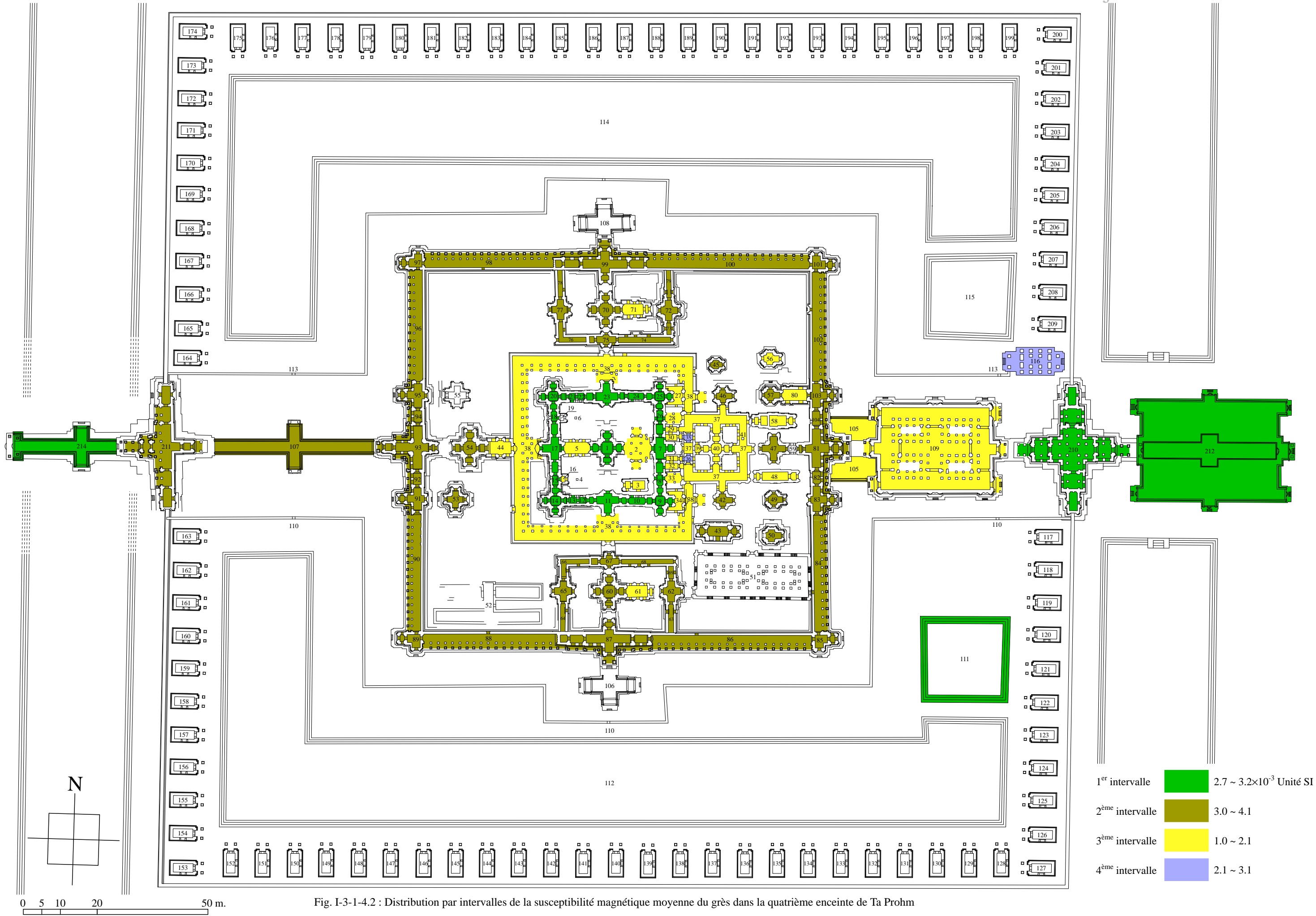


Fig. I-3-1-4.2 : Distribution par intervalles de la susceptibilité magnétique moyenne du grès dans la quatrième enceinte de Ta Prohm

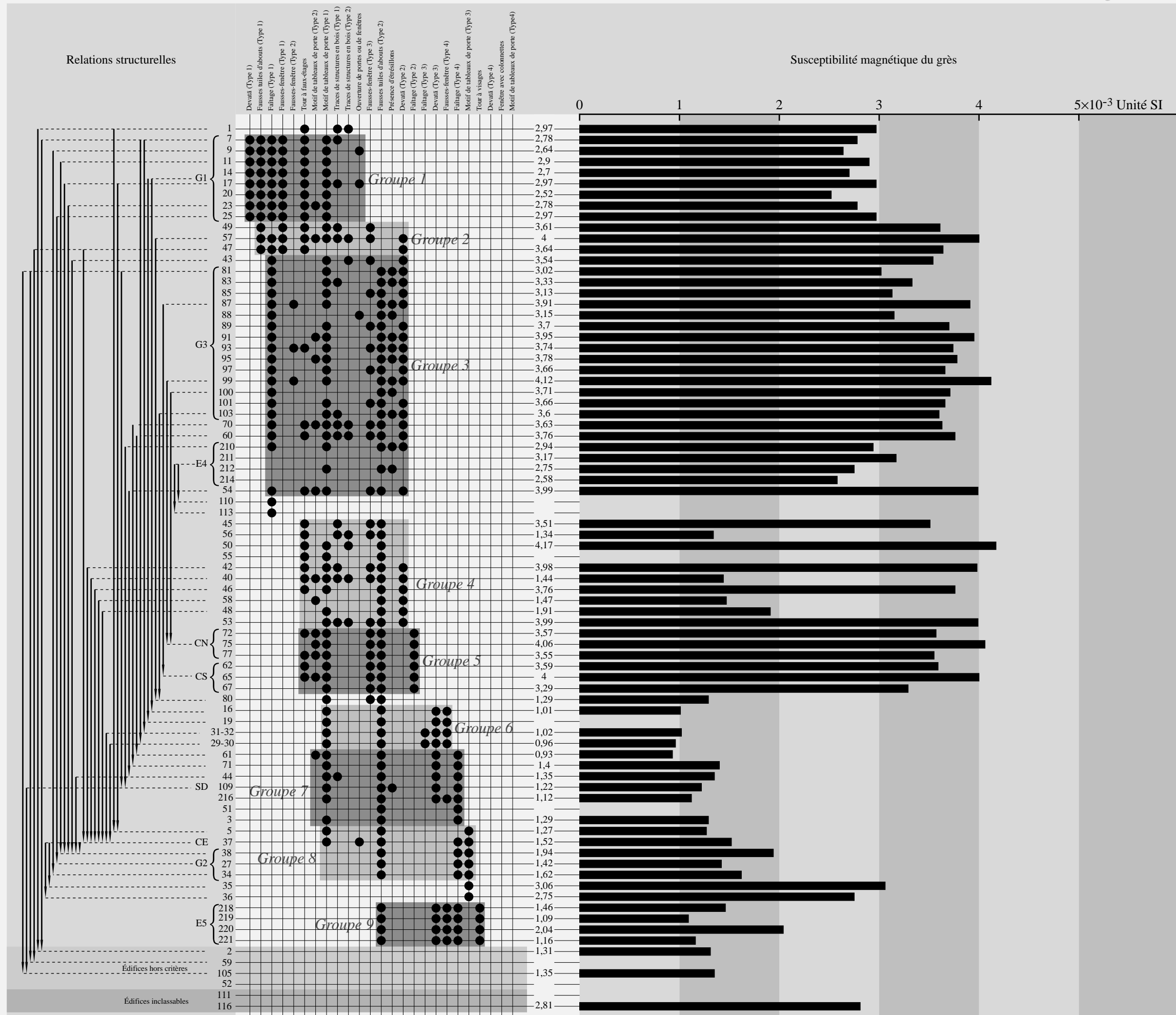


Fig. I-3-1-4.3 : Matrice chronologique des critères architectoniques et ornementaux de Ta Prohm adjointe des résultats de la susceptibilité magnétique moyenne du grès

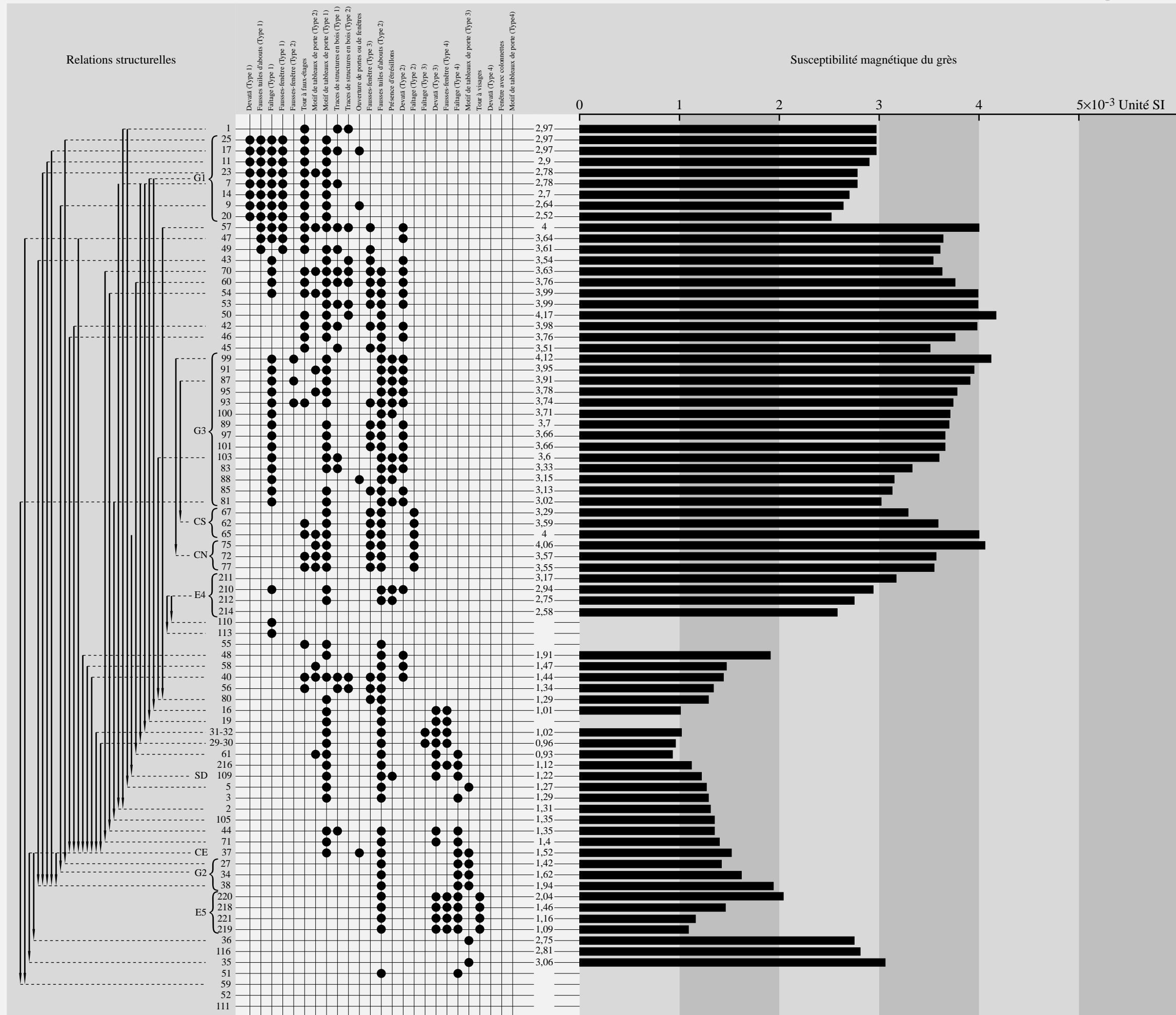


Fig. I-3-1-4.4 : Matrice chronologique ordonnée des critères architectoniques et ornementaux de Ta Prohm adjointe des résultats de la susceptibilité magnétique moyenne du grès

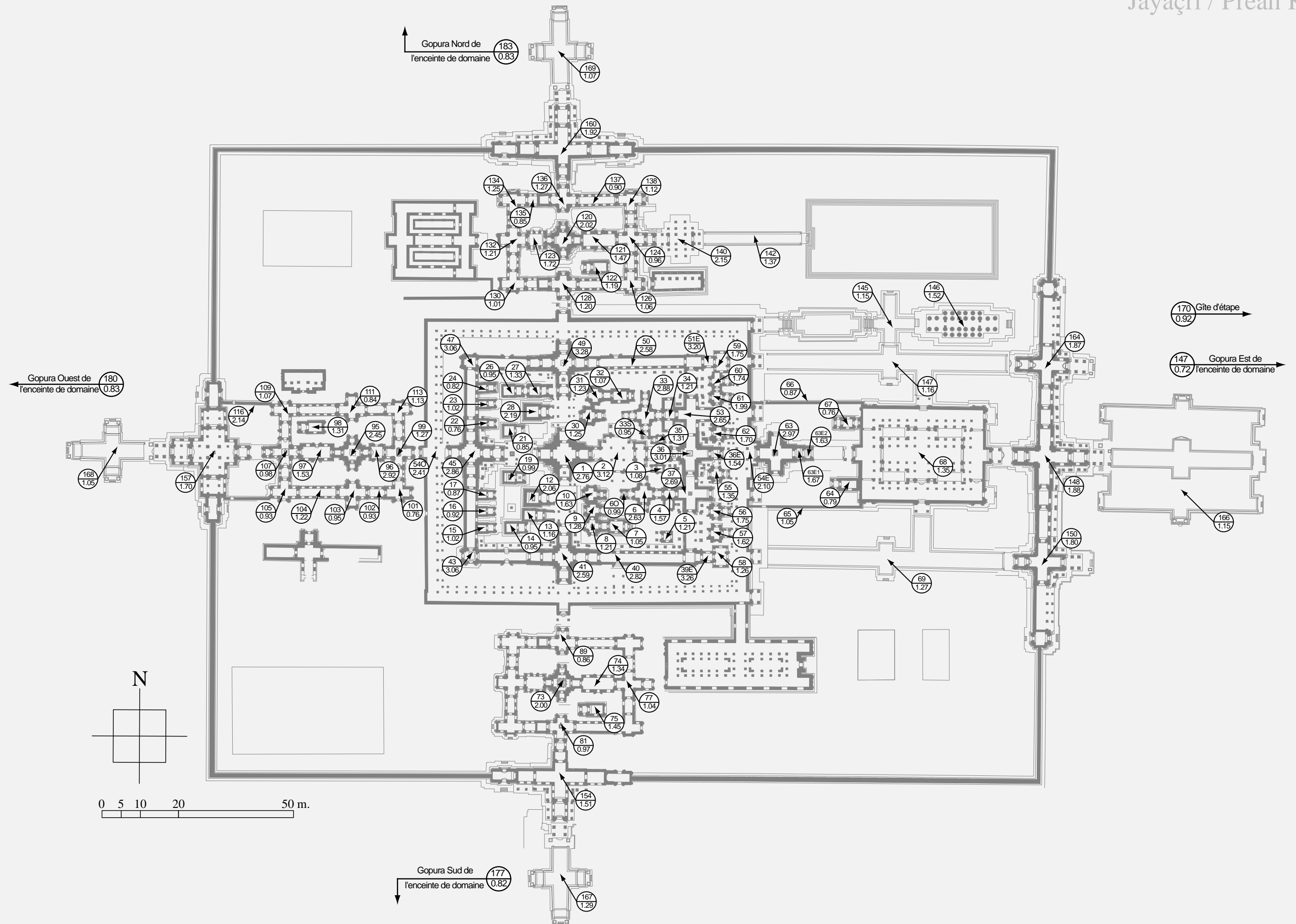


Fig. I-3-1-4.5 : Répartition de la susceptibilité magnétique moyenne du grès par 10^{-3} Unité SI dans la quatrième enceinte du Preah Khan d'Angkor

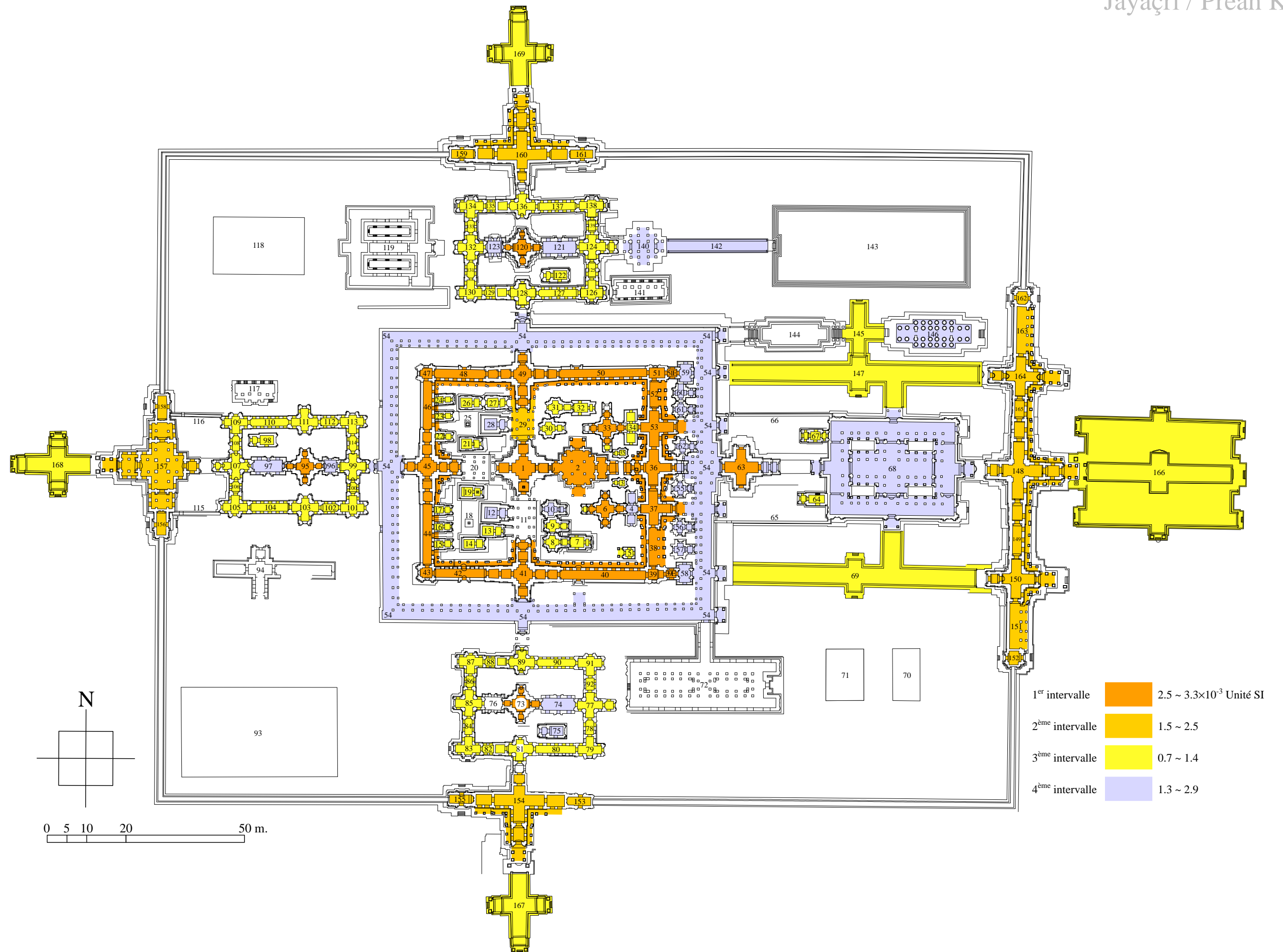


Fig. I-3-1-4.6



Fig. I-3-1-4.8 : Matrice chronologique ordonnée des critères architectoniques et ornementaux du Preah Khan d'Angkor adjointe des résultats de la susceptibilité magnétique moyenne du grès

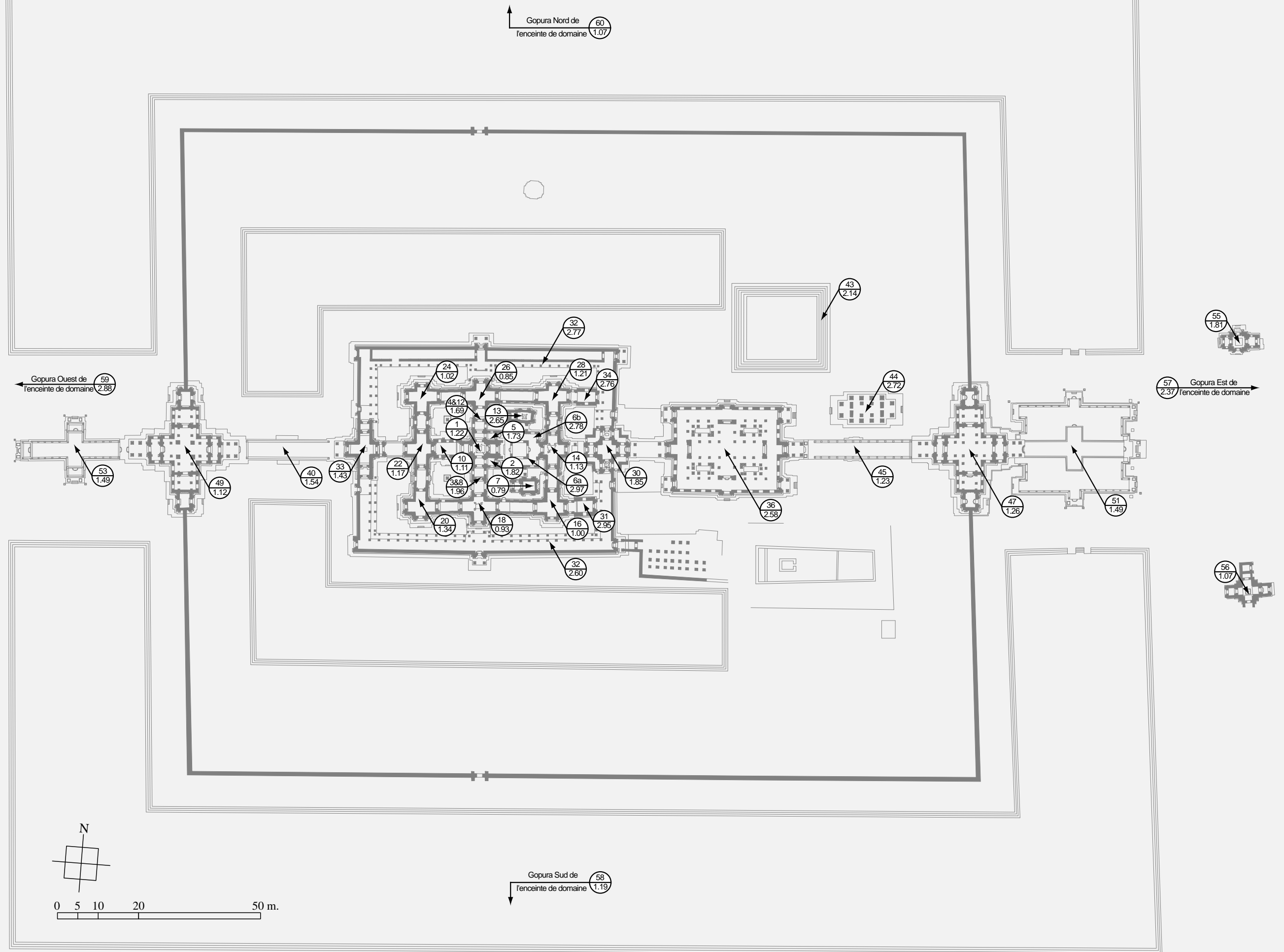


Fig. I-3-1-4.9 : Répartition de la susceptibilité magnétique moyenne du grès par 10^{-3} Unité SI dans la troisième enceinte de Banteay Kdei

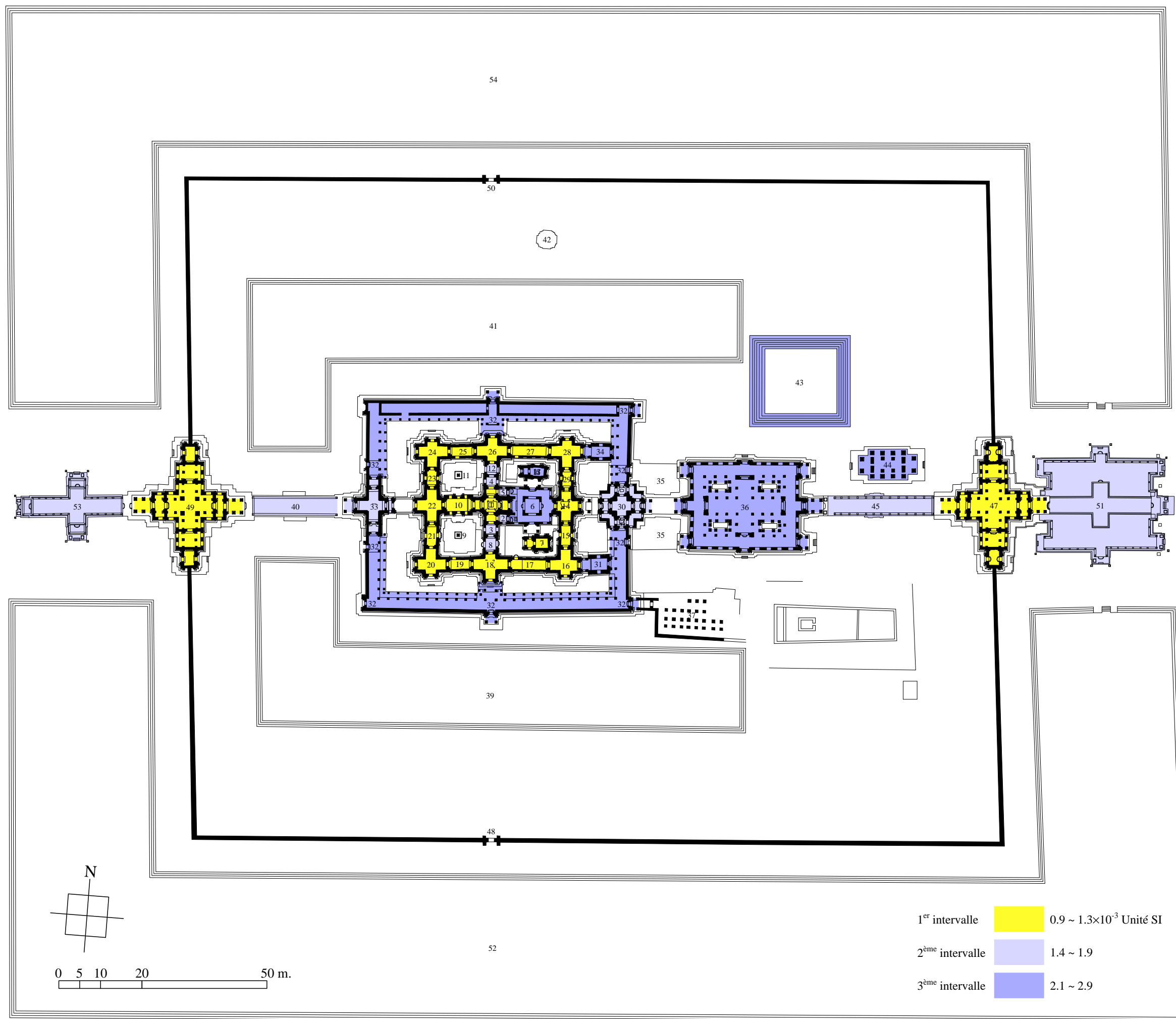


Fig. I-3-

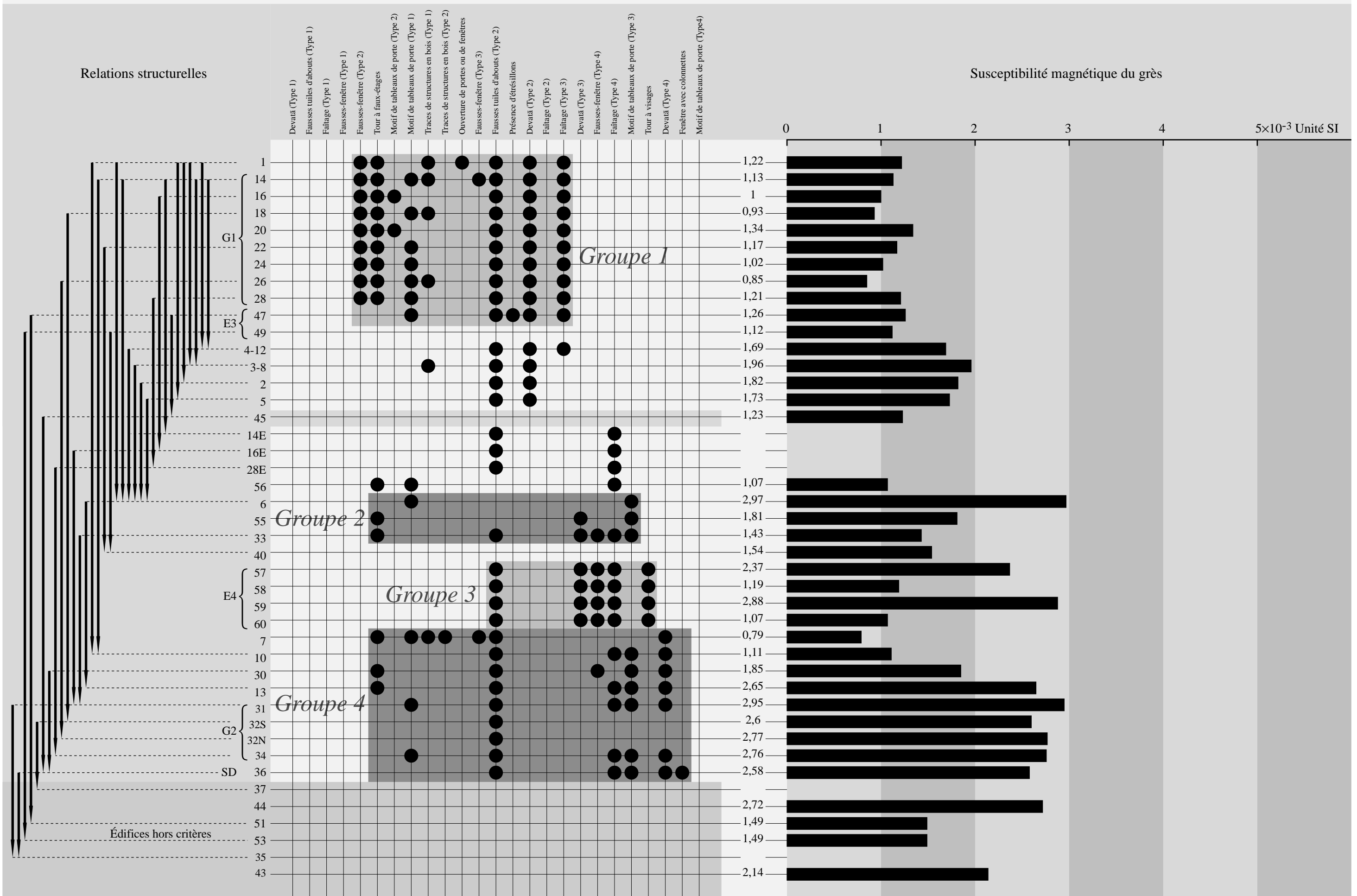


Fig. I-3-1-4.11 : Matrice chronologique des critères architectoniques et ornementaux de Banteay Kdei adjointe des résultats de la susceptibilité magnétique moyenne du grès

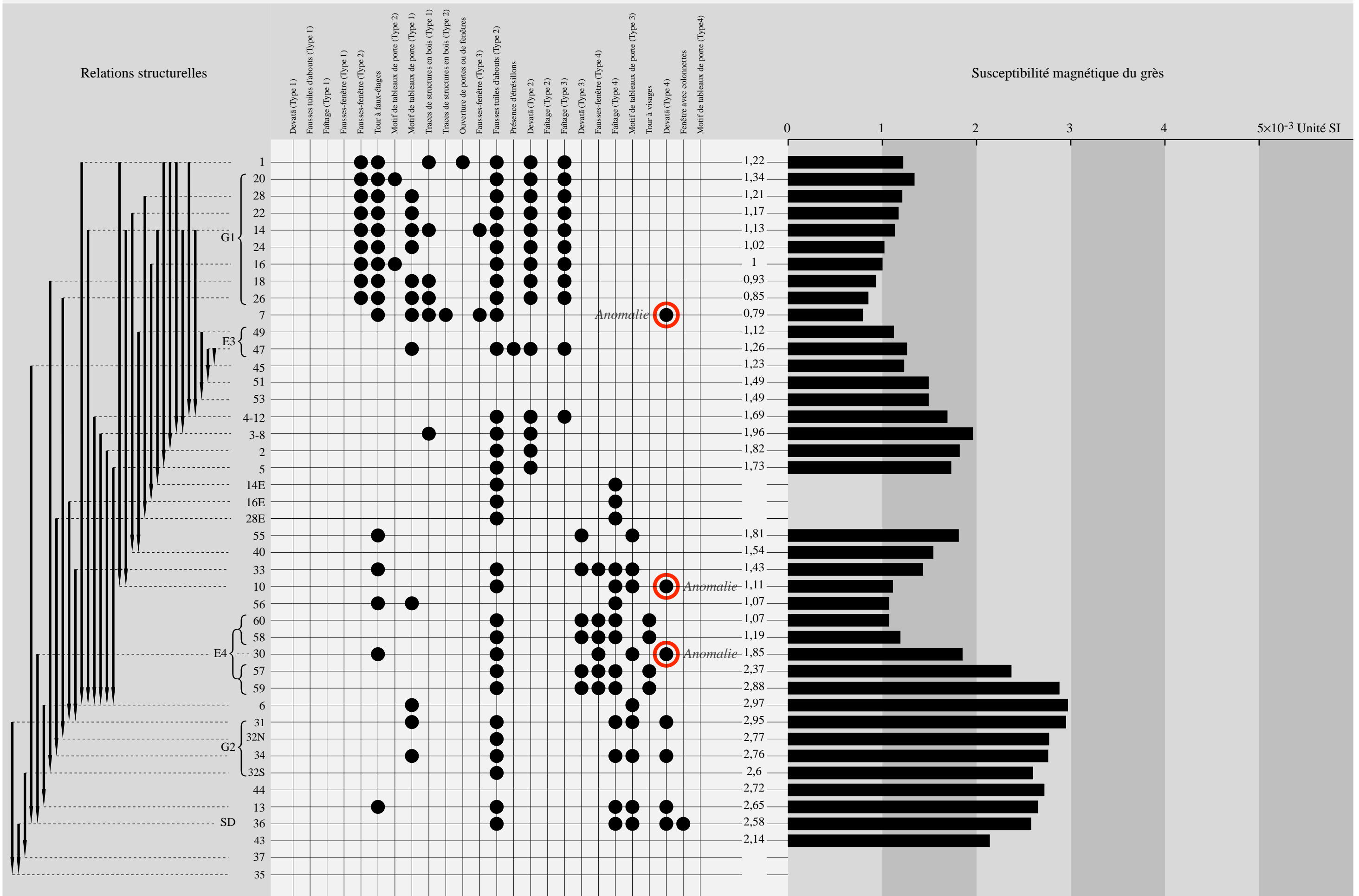


Fig. I-3-1-4.12 : Matrice chronologique ordonnée des critères architectoniques et ornementaux de Banteay Kdei adjointe des résultats de la susceptibilité magnétique moyenne du grès

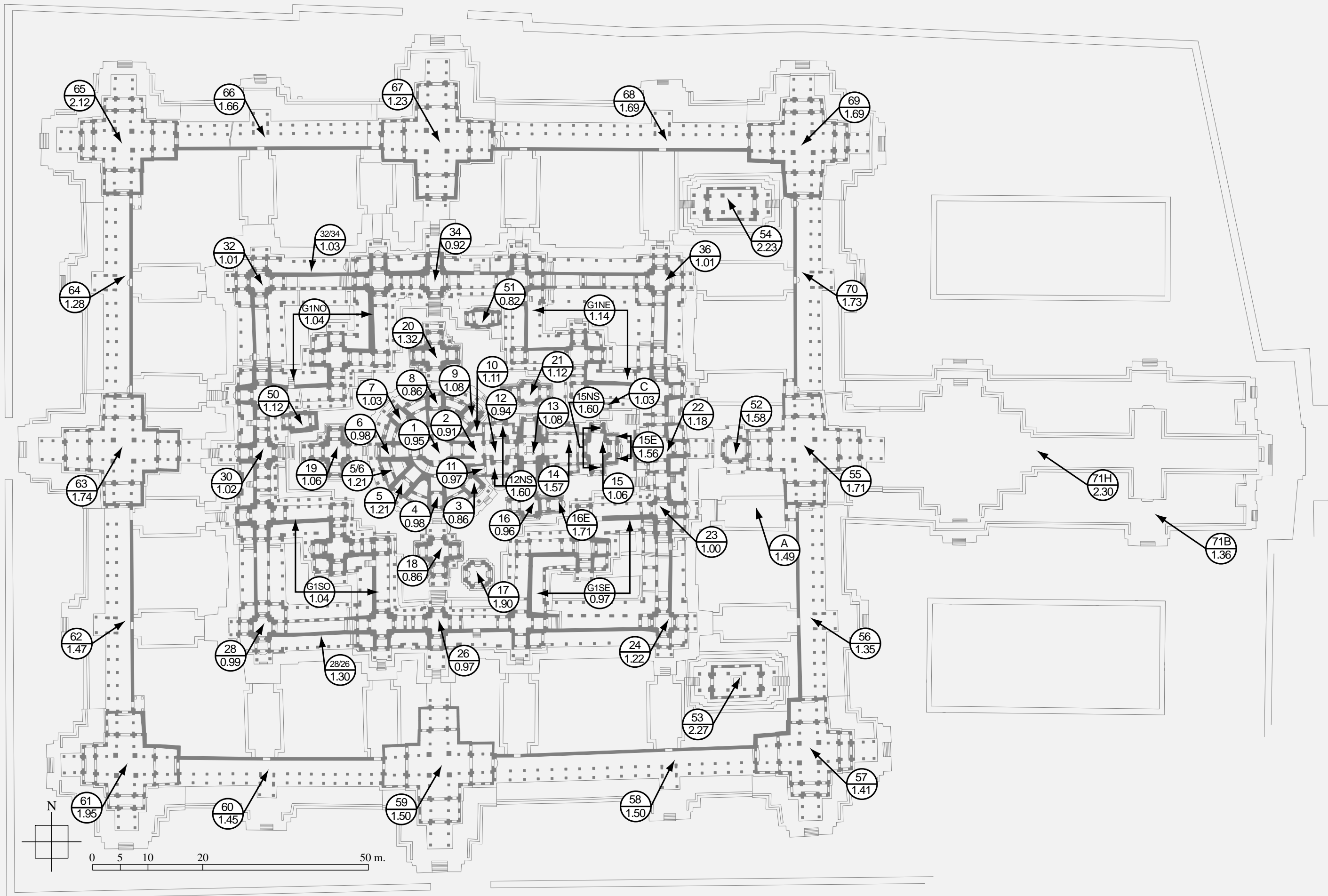


Fig. I-3-1-4.13 : Répartition de la susceptibilité magnétique moyenne du grès par 10^{-3} Unité SI au Bayon

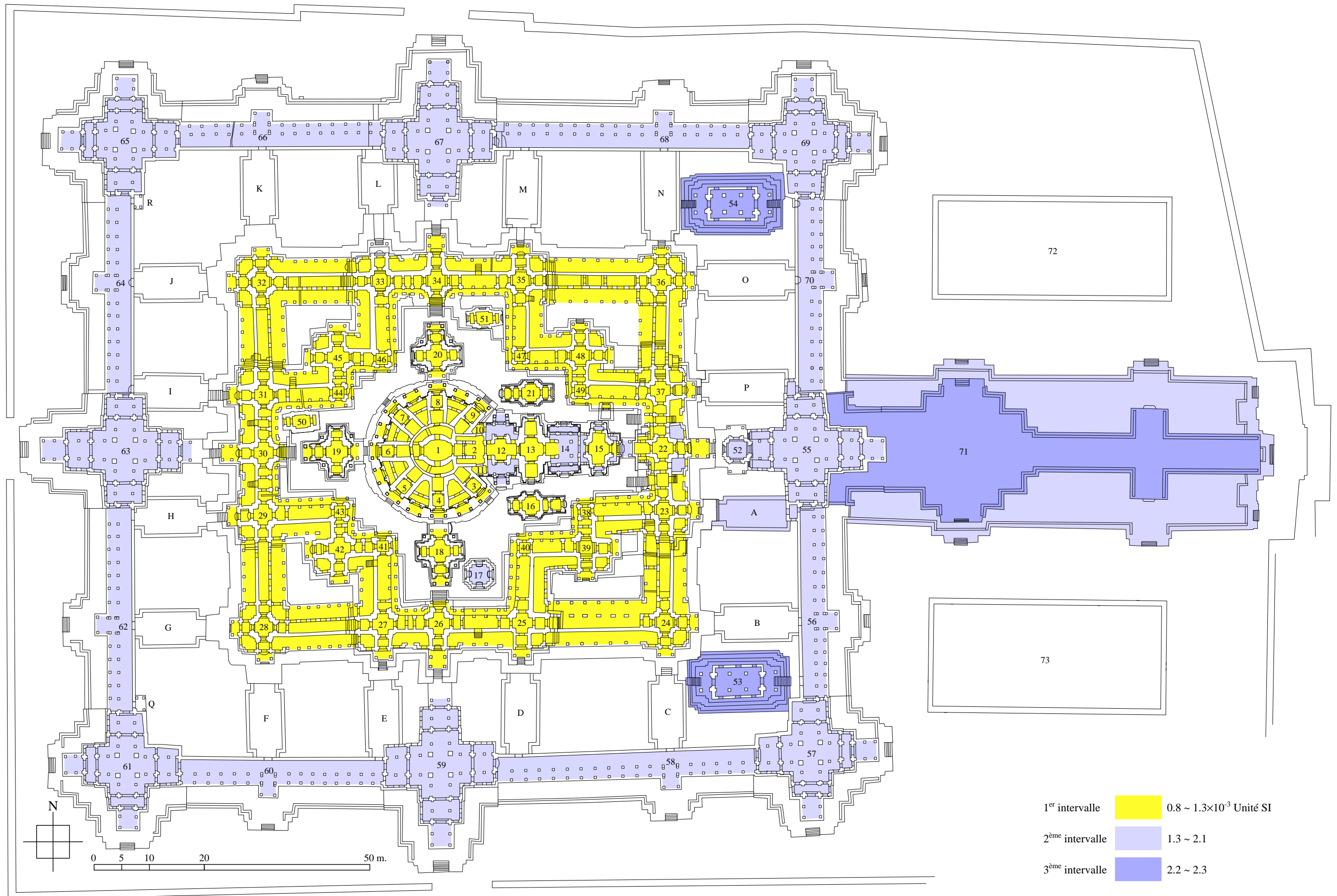


Fig. I-3-1-4.14 : Distribution par intervalles de la susceptibilité magnétique moyenne du grès au Bayon

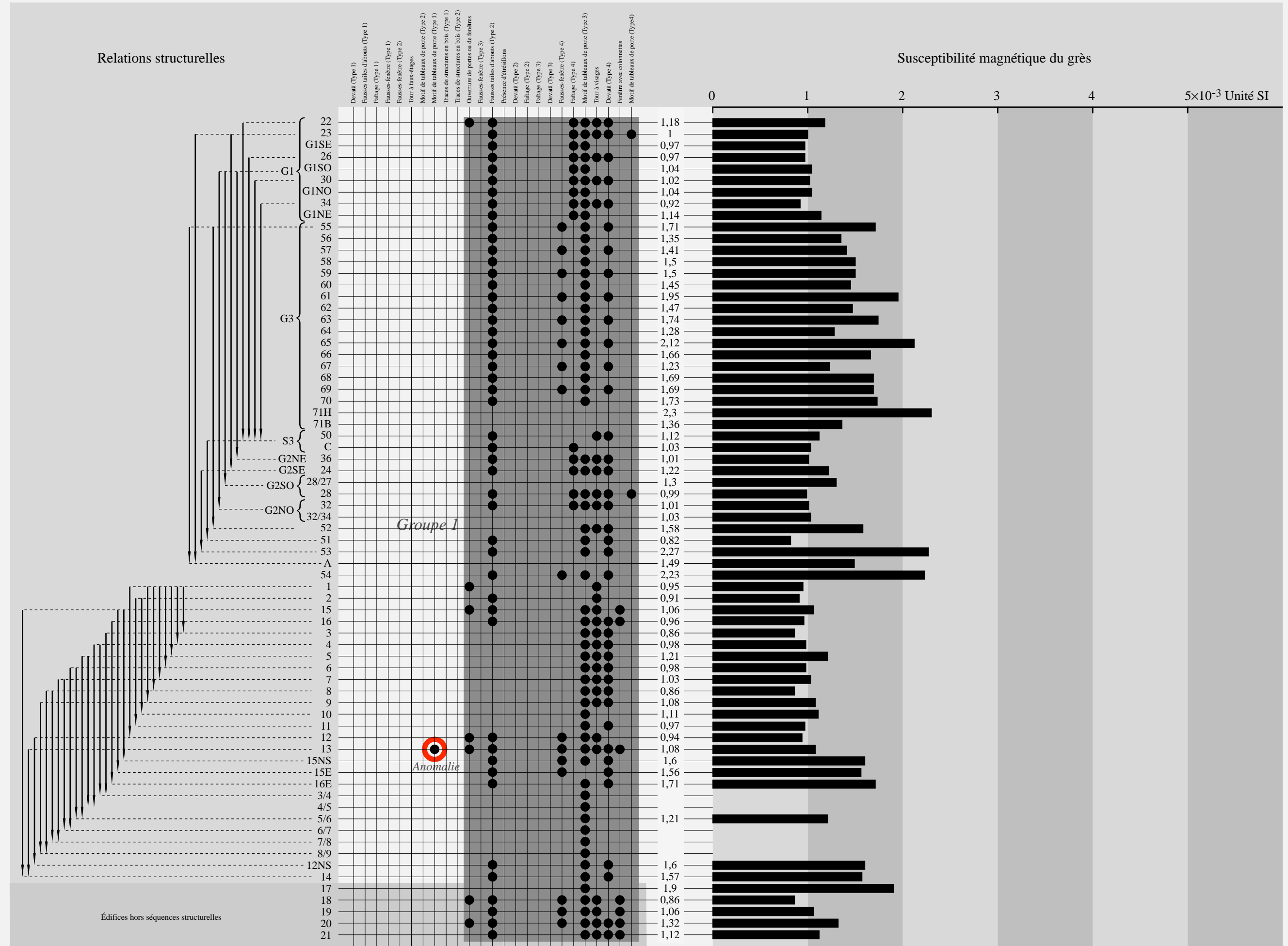


Fig. I-3-1-4.15 : Matrice chronologique des critères architectoniques et ornementaux du Bayon adjointe des résultats de la susceptibilité magnétique moyenne du grès

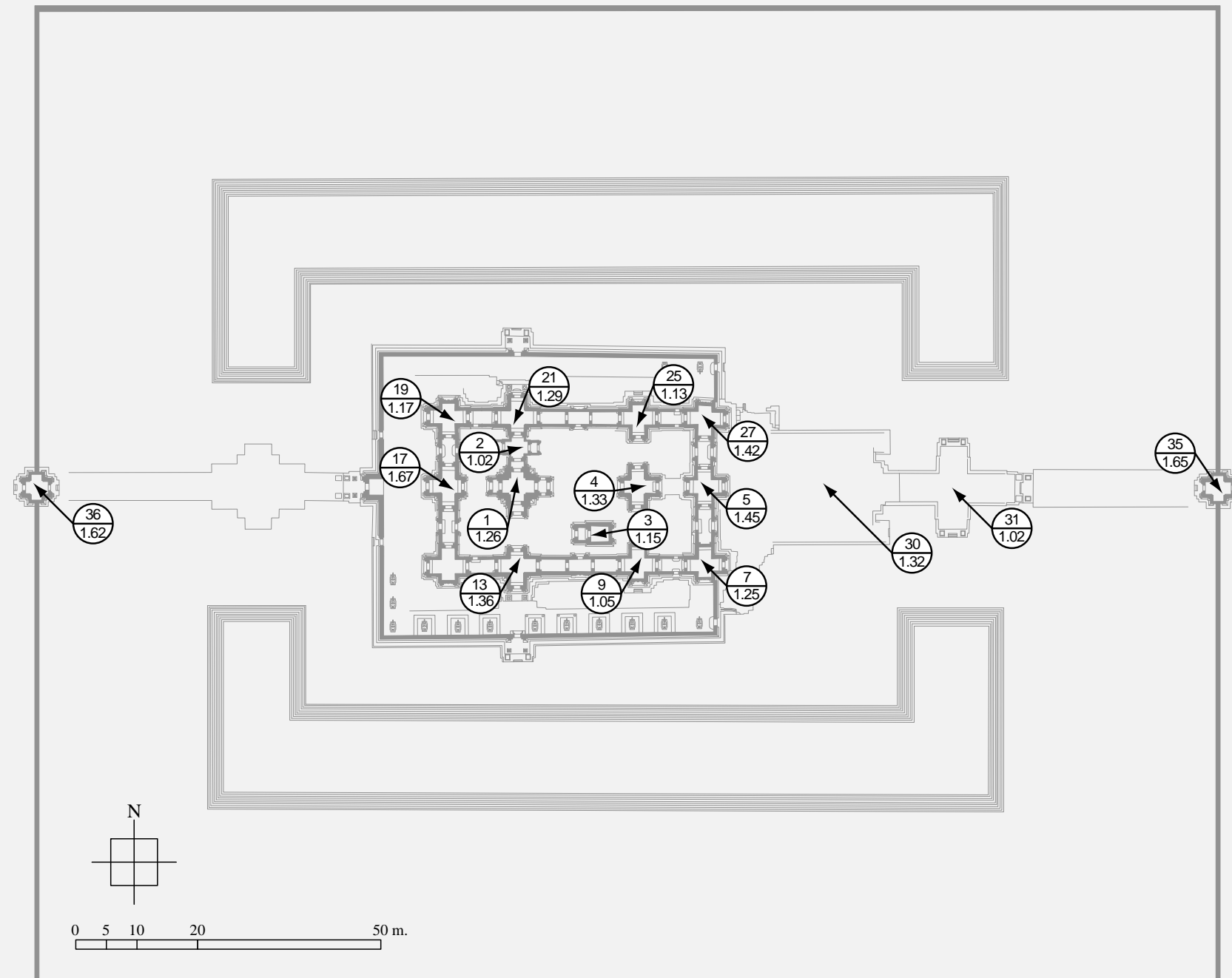


Fig. I-3-1-4.17 : Répartition de la susceptibilité magnétique moyenne du grès par 10^{-3} Unité SI de Ta Nei

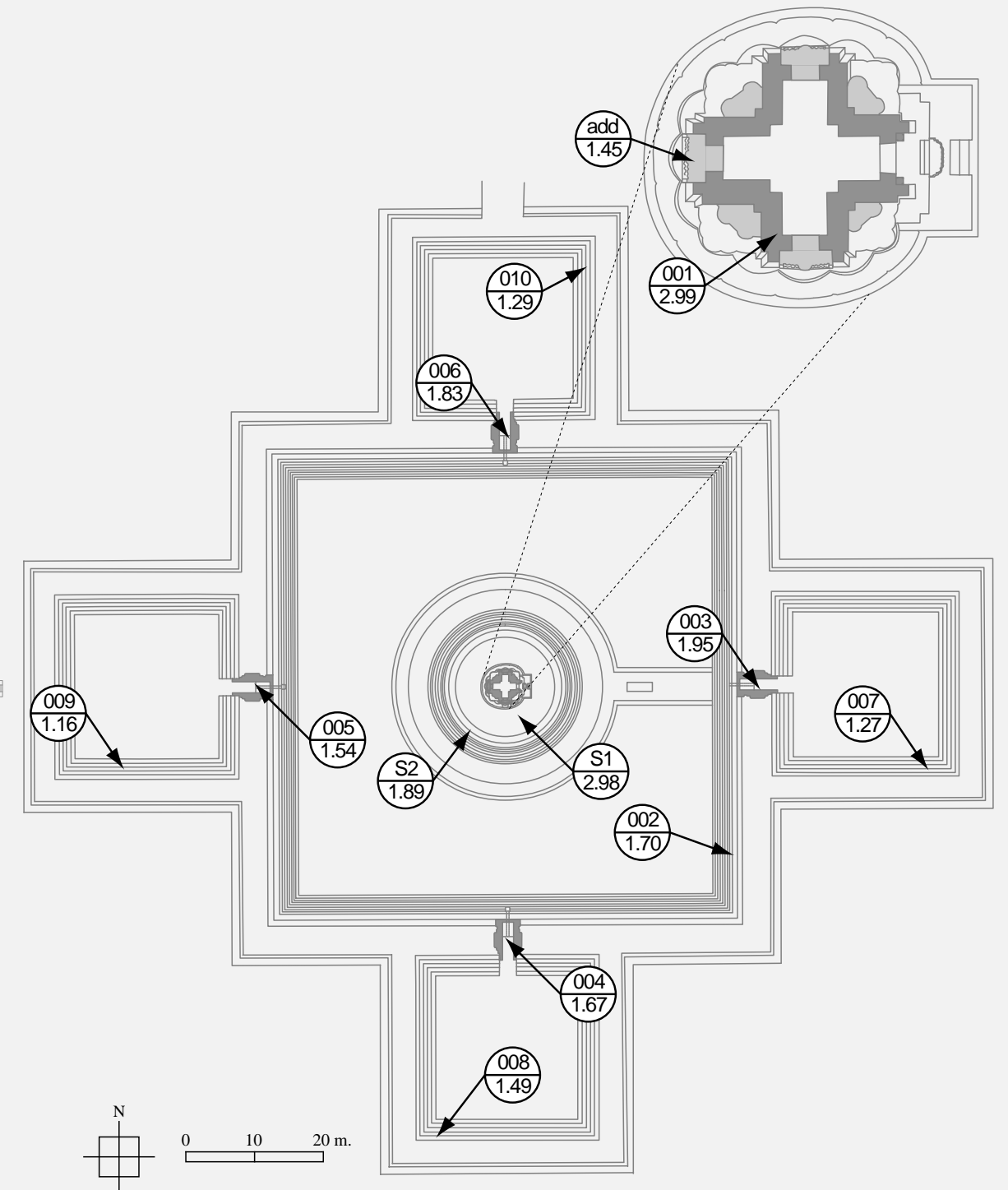


Fig. I-3-1-4.18 : Répartition de la susceptibilité magnétique moyenne du grès par 10^{-3} Unité SI au complexe central du Neak Pean

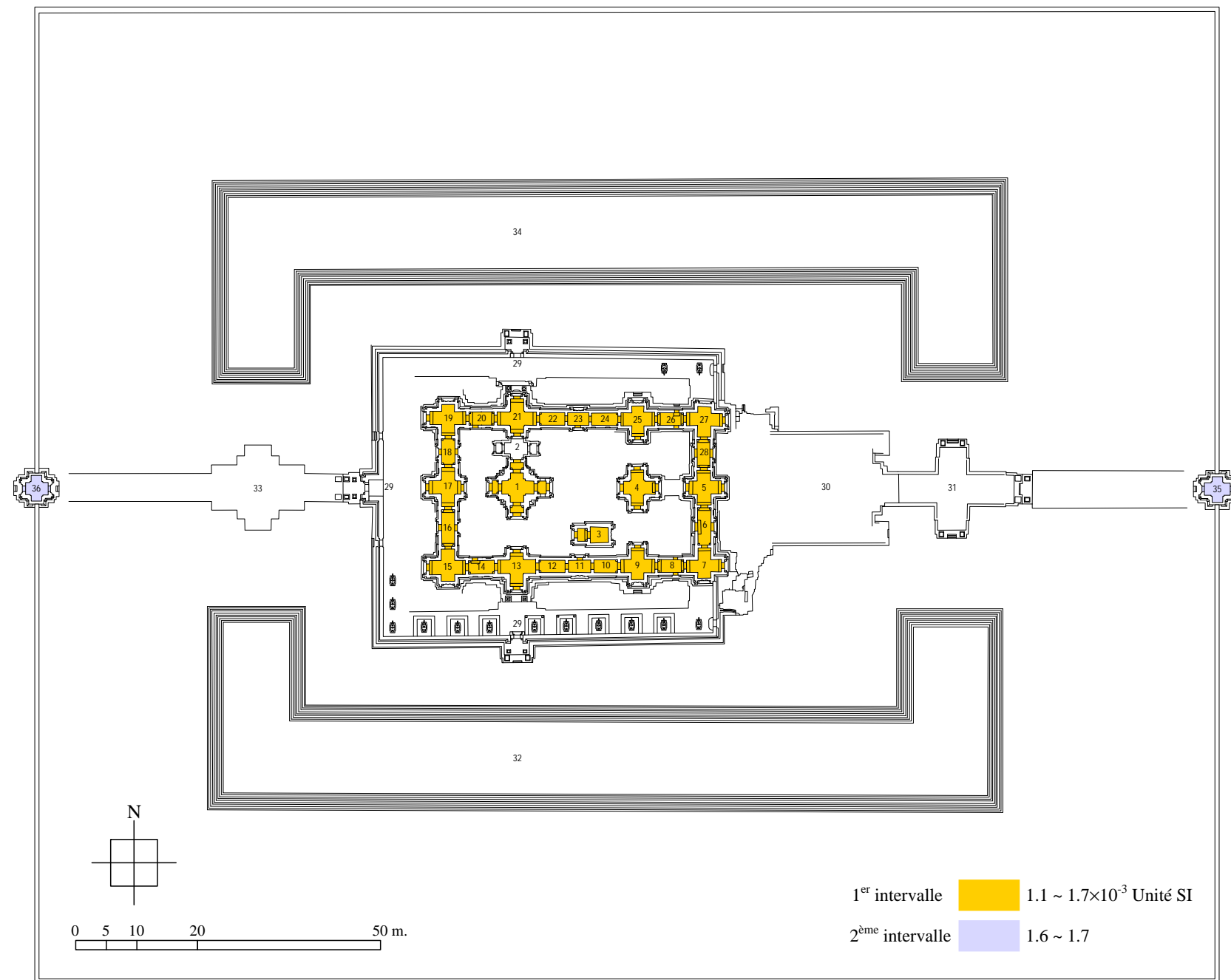


Fig. I-3-1-4.19 :istribution par intervalles de la susceptibilité magnétique moyenne du grès du complexe central du Ta Nei

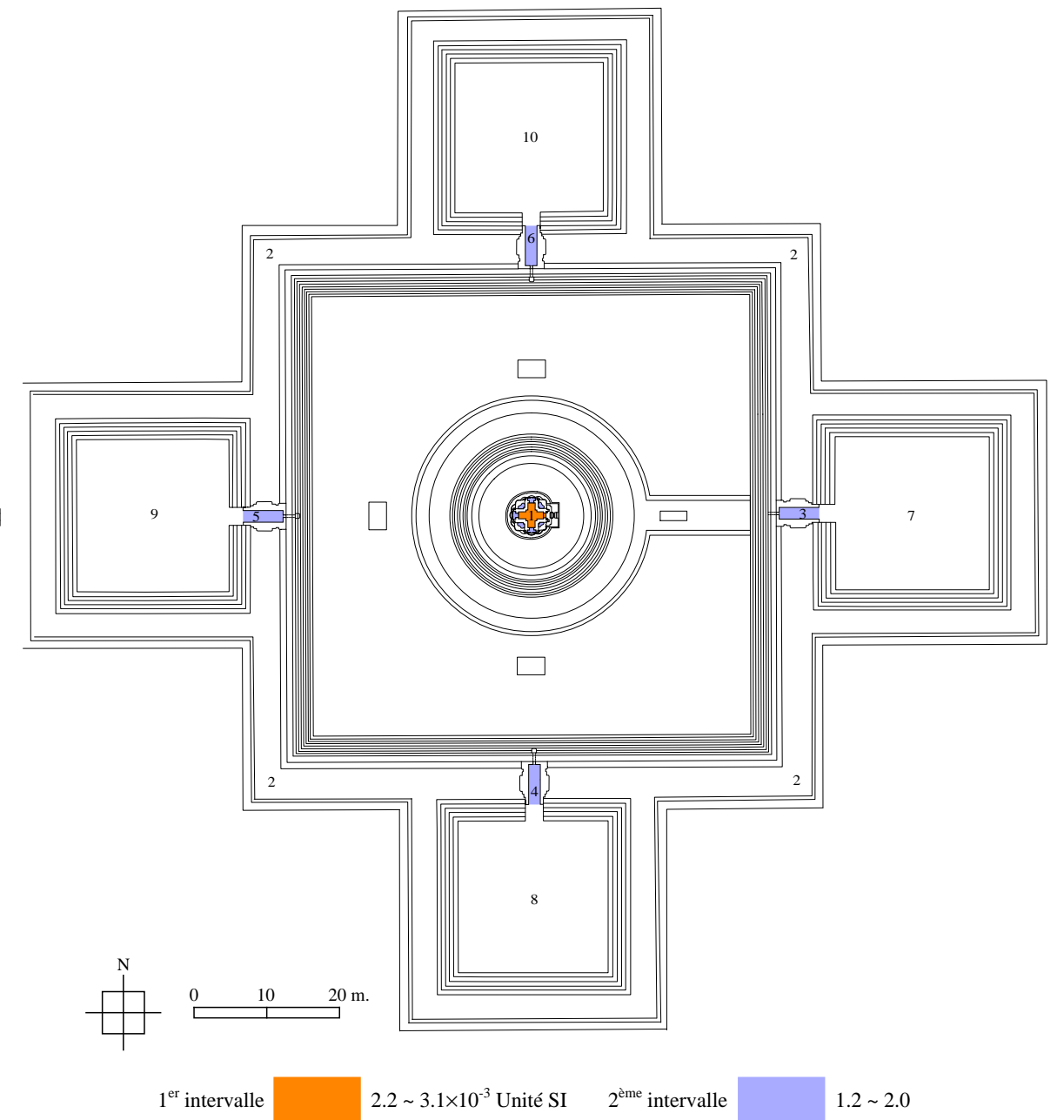


Fig. I-3-1-4.20 : Distribution par intervalles de la susceptibilité magnétique moyenne du grès du complexe central du Neak Pean

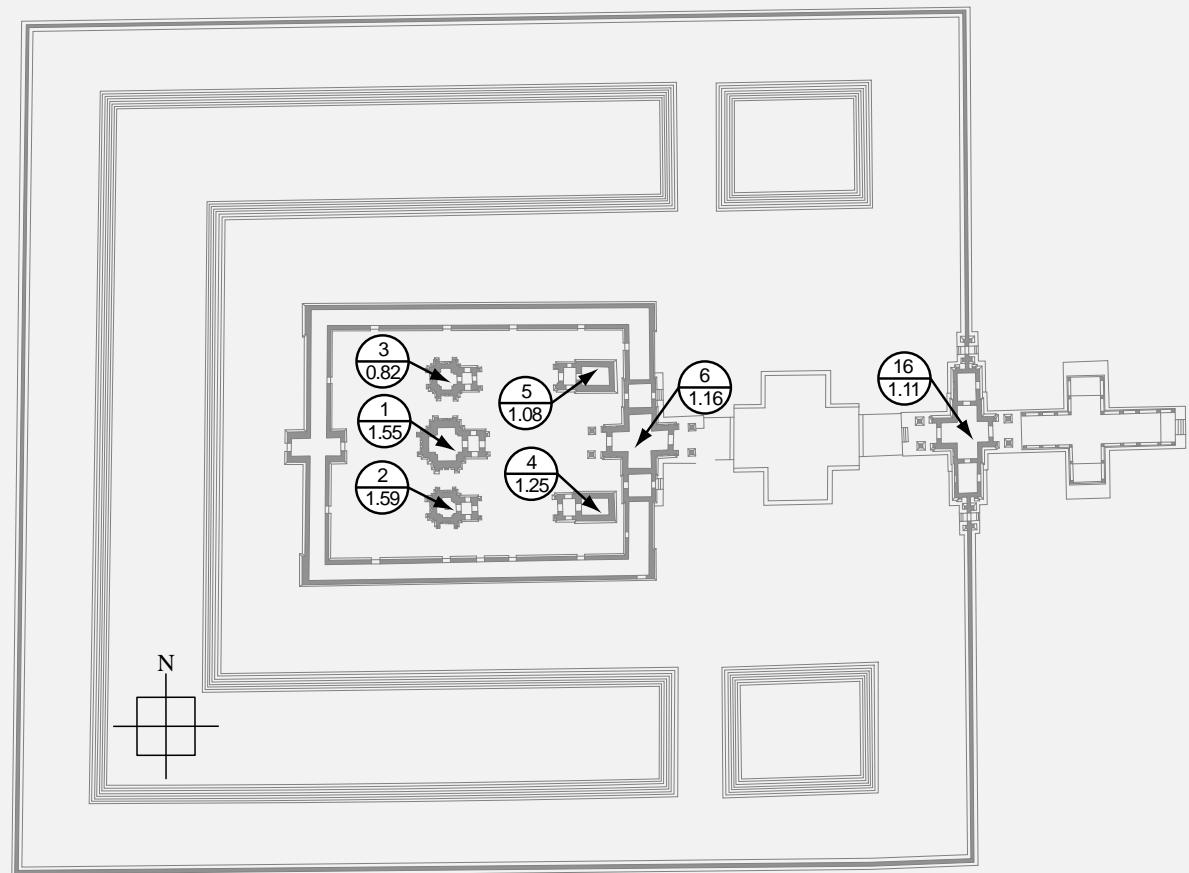


Fig. I-3-1-4.21 : Répartition de la susceptibilité magnétique moyenne du grès par 10^{-3} Unité SI à Banteay Thom

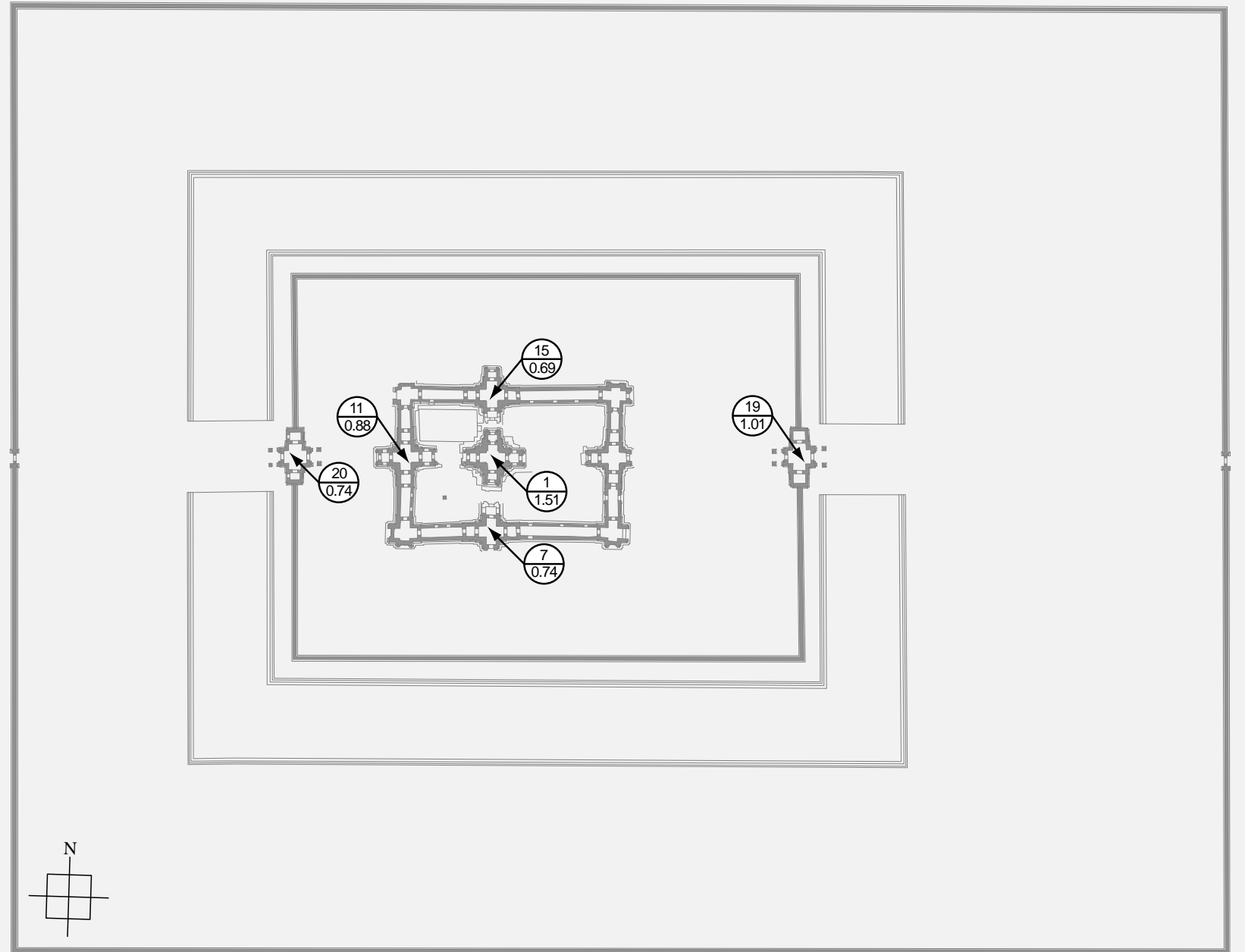


Fig. I-3-1-4.22 : Répartition de la susceptibilité magnétique moyenne du grès par 10^{-3} Unité SI à Banteay Prei

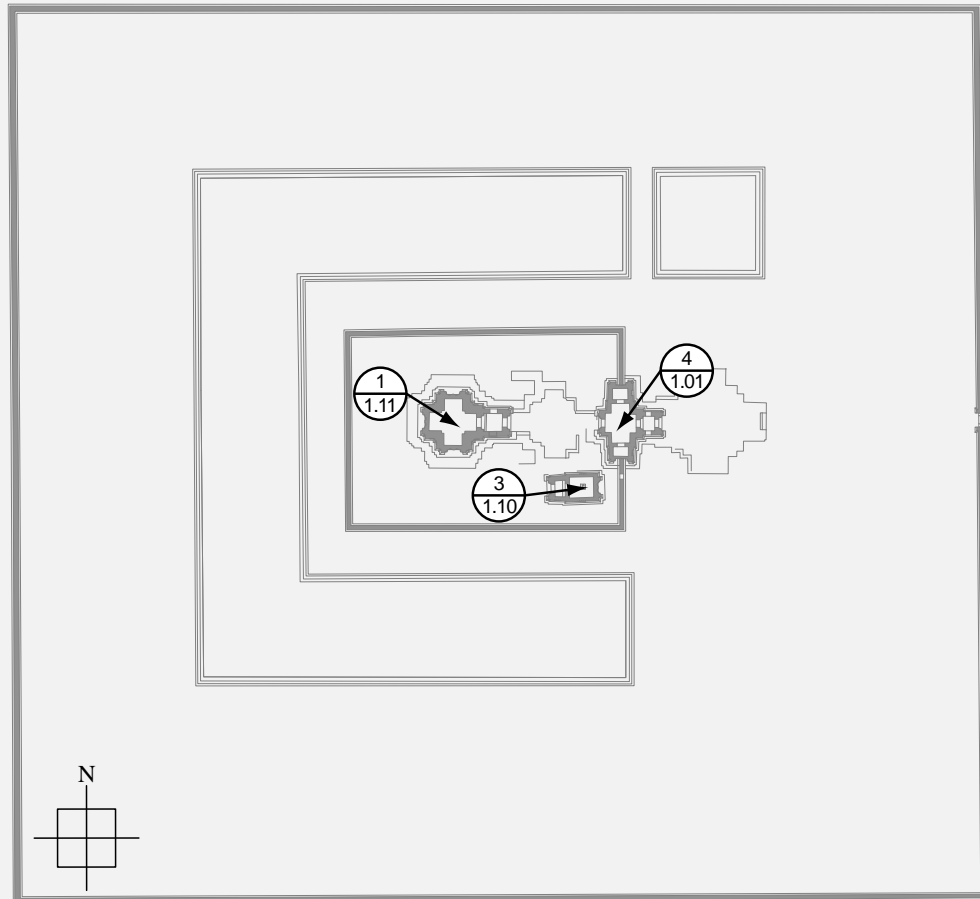


Fig. I-3-1-4.23 : Répartition de la susceptibilité magnétique moyenne du grès par 10^{-3} Unité SI à Krol Kô

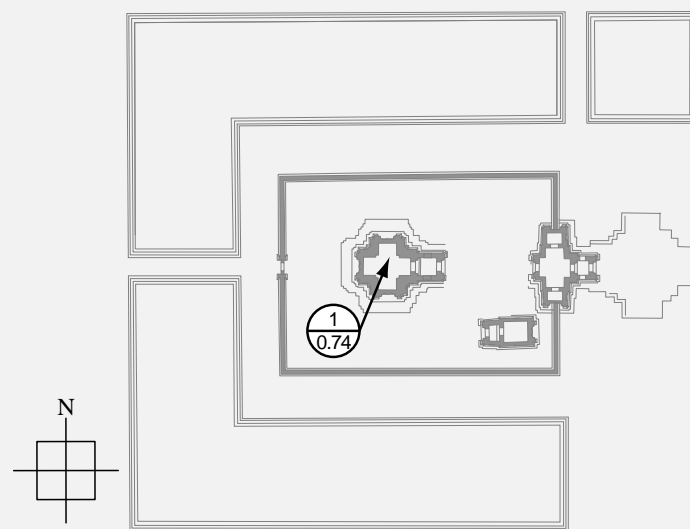


Fig. I-3-1-4.24 : Répartition de la susceptibilité magnétique moyenne du grès par 10^{-3} Unité SI à Prasat Prei Prasat

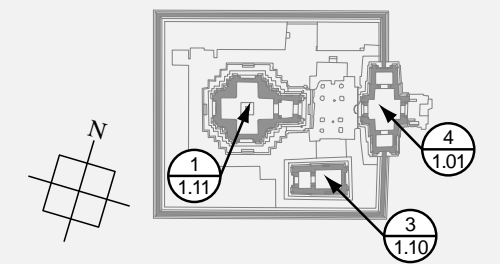


Fig. I-3-1-4.25 : Répartition de la susceptibilité magnétique moyenne du grès par 10^{-3} Unité SI à Prasat Prei

0 5 10 20 50 m.

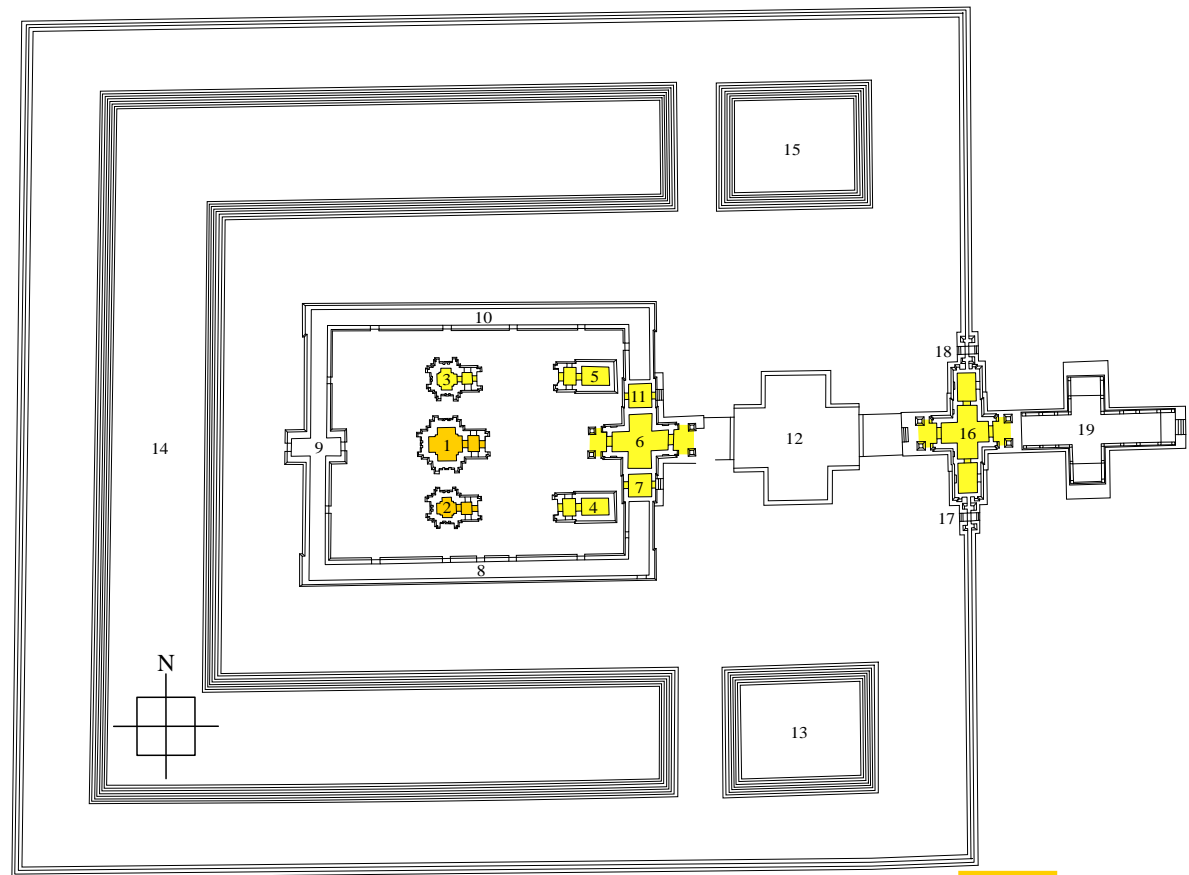


Fig. I-3-1-4.26 : Distribution par intervalles de la susceptibilité magnétique moyenne du grès à Banteay Thom
 1^{er} intervalle 1.6×10^{-3} Unité SI
 2^{ème} intervalle 0.8 ~ 1.3

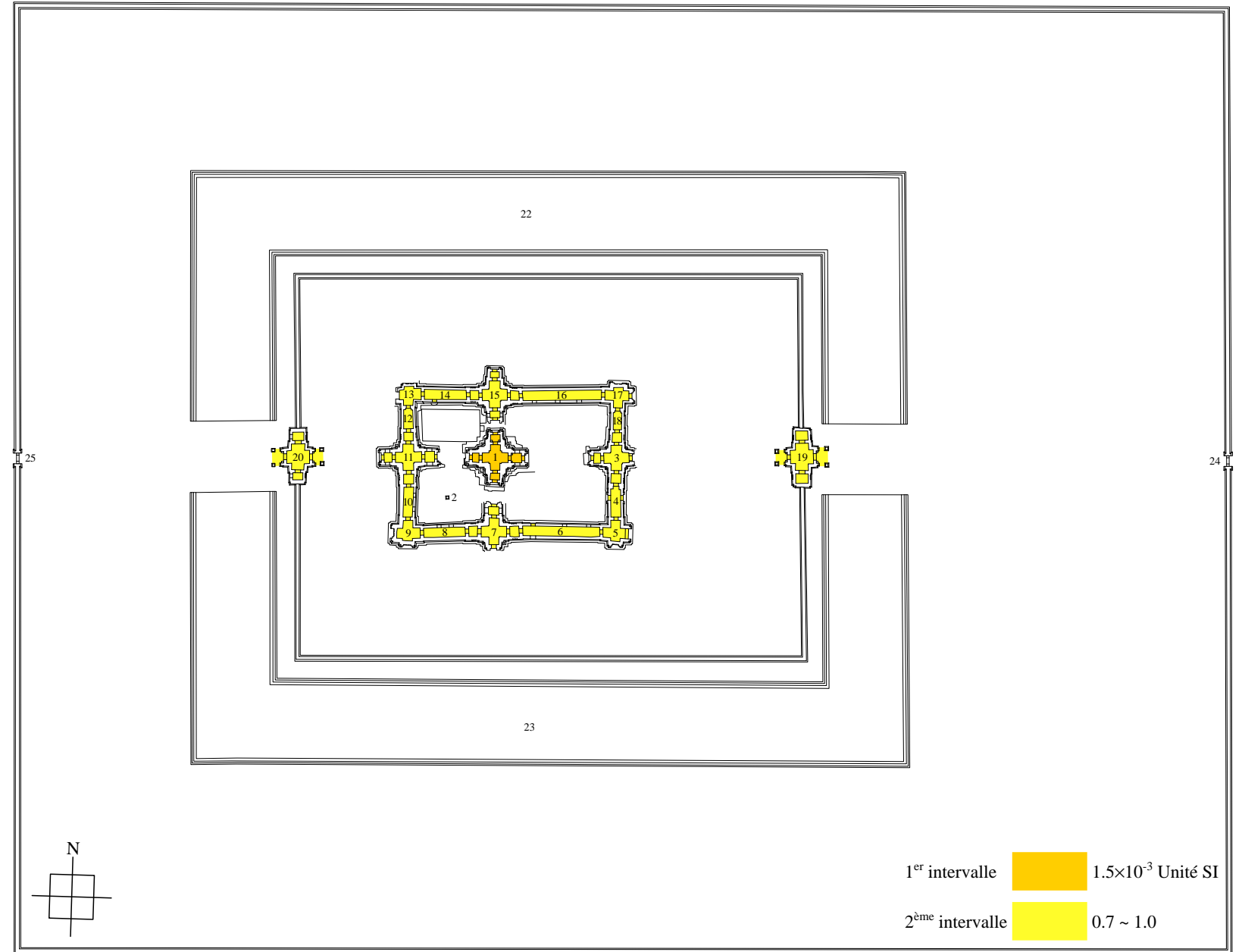


Fig. I-3-1-4.27 : Distribution par intervalles de la susceptibilité magnétique moyenne du grès à Banteay Prei
 1^{er} intervalle 1.5×10^{-3} Unité SI
 2^{ème} intervalle 0.7 ~ 1.0

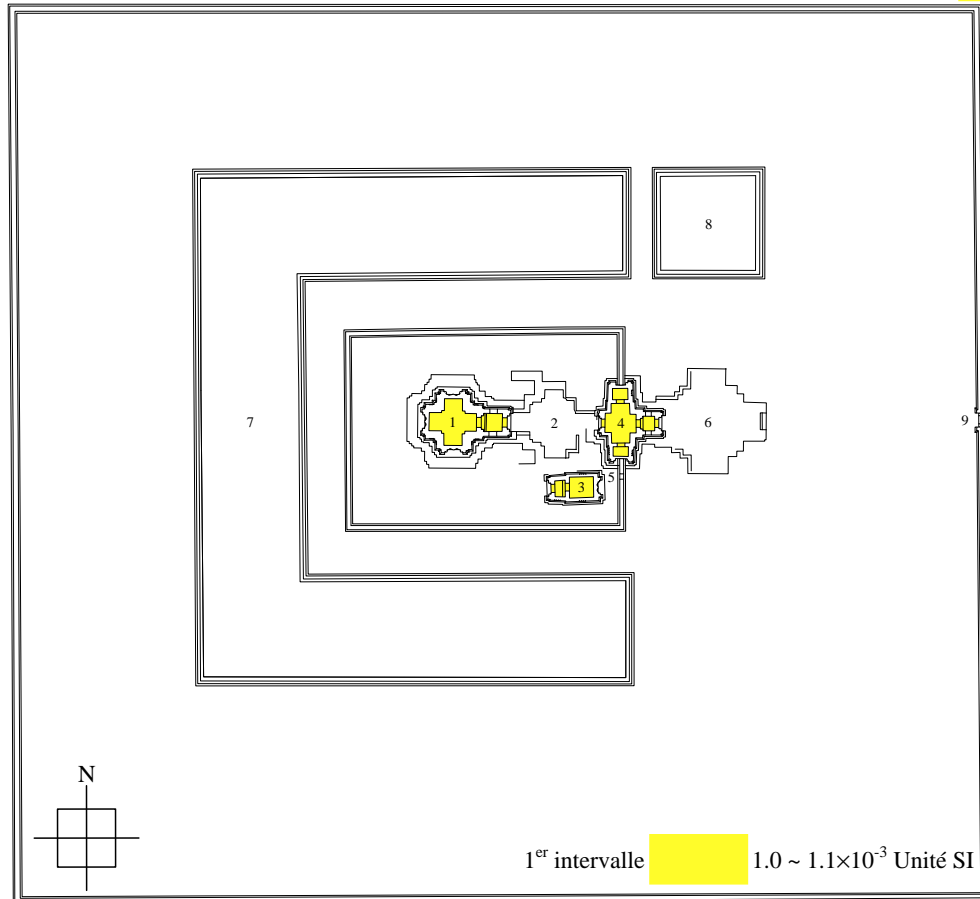


Fig. I-3-1-4.28 : Distribution par intervalles de la susceptibilité magnétique moyenne du grès à Krol Kô
 1^{er} intervalle $1.0 \sim 1.1 \times 10^{-3}$ Unité SI

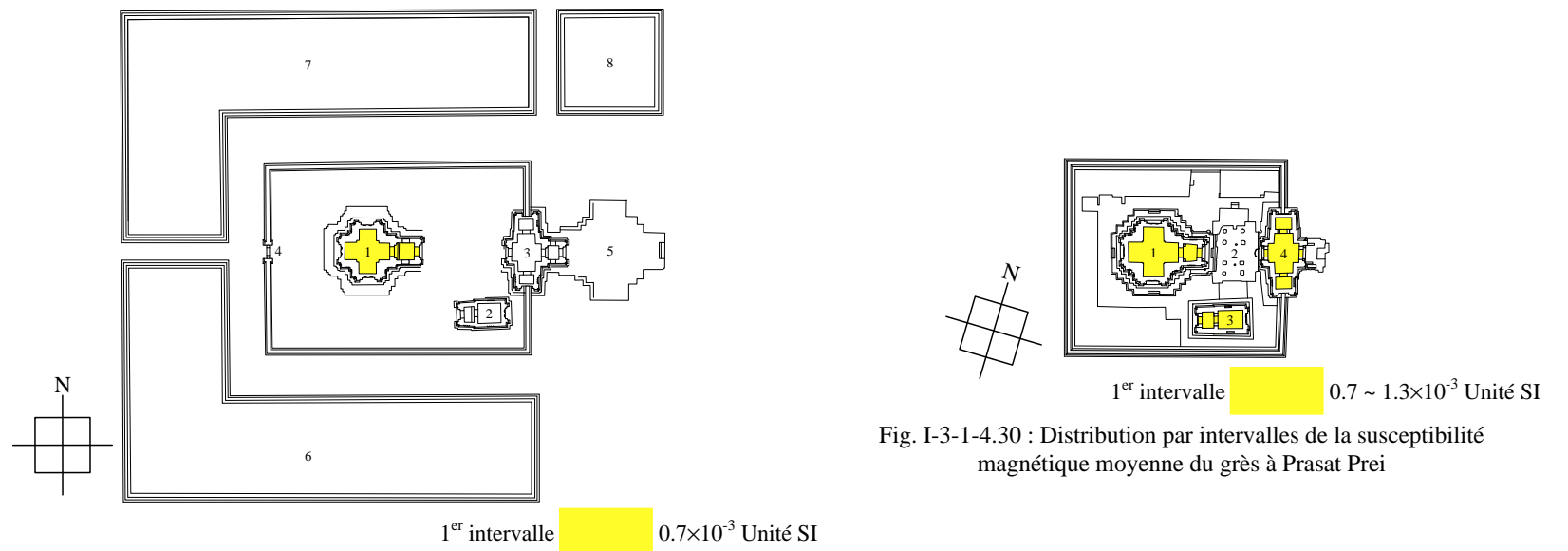


Fig. I-3-1-4.29 : Distribution par intervalles de la susceptibilité magnétique moyenne du grès à Prasat Prei Prasat
 1^{er} intervalle 0.7×10^{-3} Unité SI

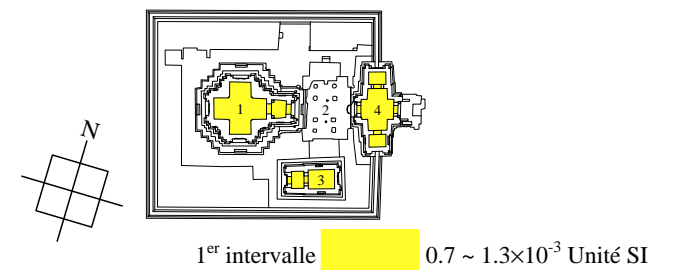
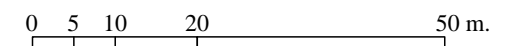


Fig. I-3-1-4.30 : Distribution par intervalles de la susceptibilité magnétique moyenne du grès à Prasat Prei
 1^{er} intervalle $0.7 \sim 1.3 \times 10^{-3}$ Unité SI



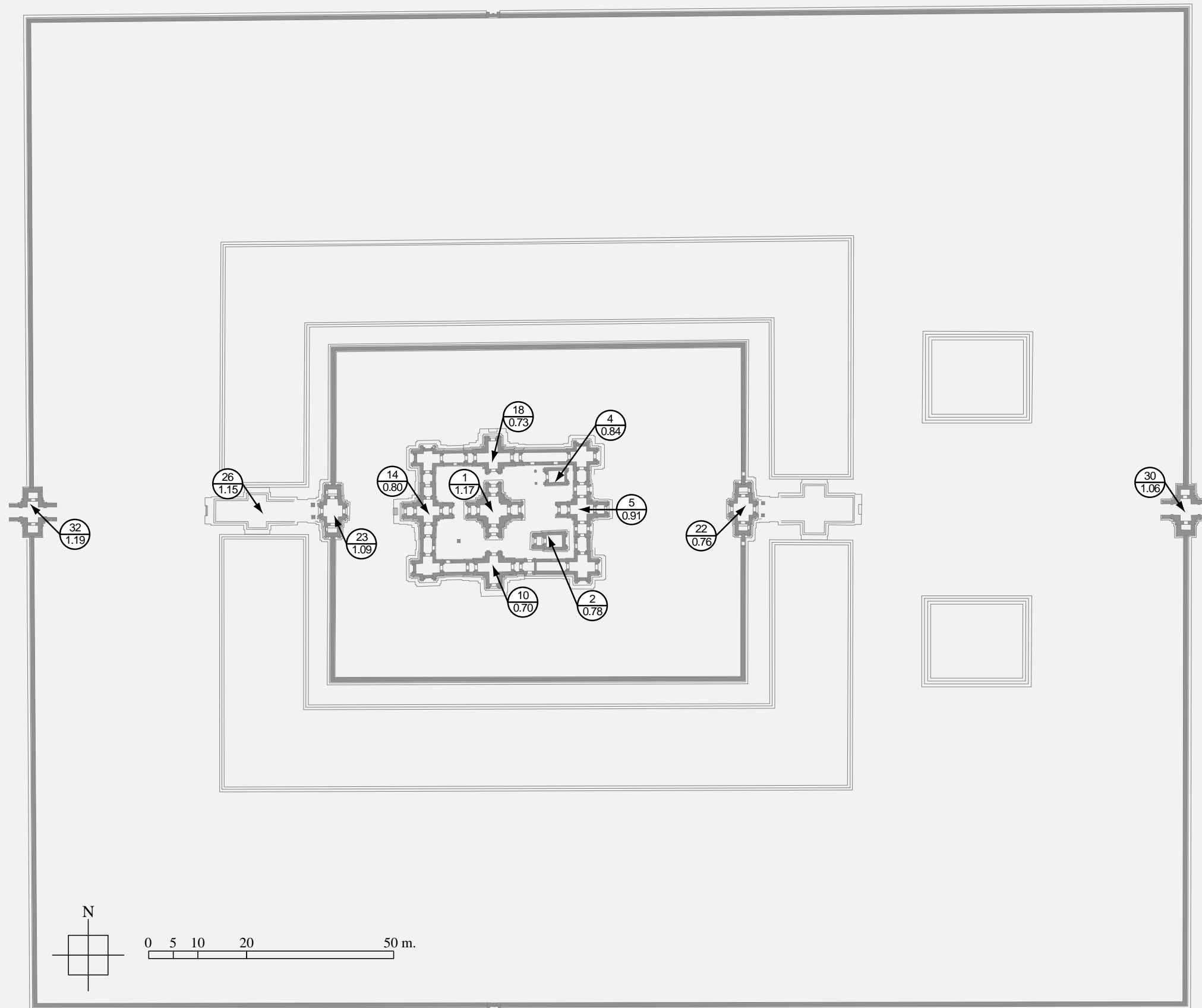


Fig. I-3-1-4.31 : Répartition de la susceptibilité magnétique moyenne du grès par 10^{-3} Unité SI à Ta Som

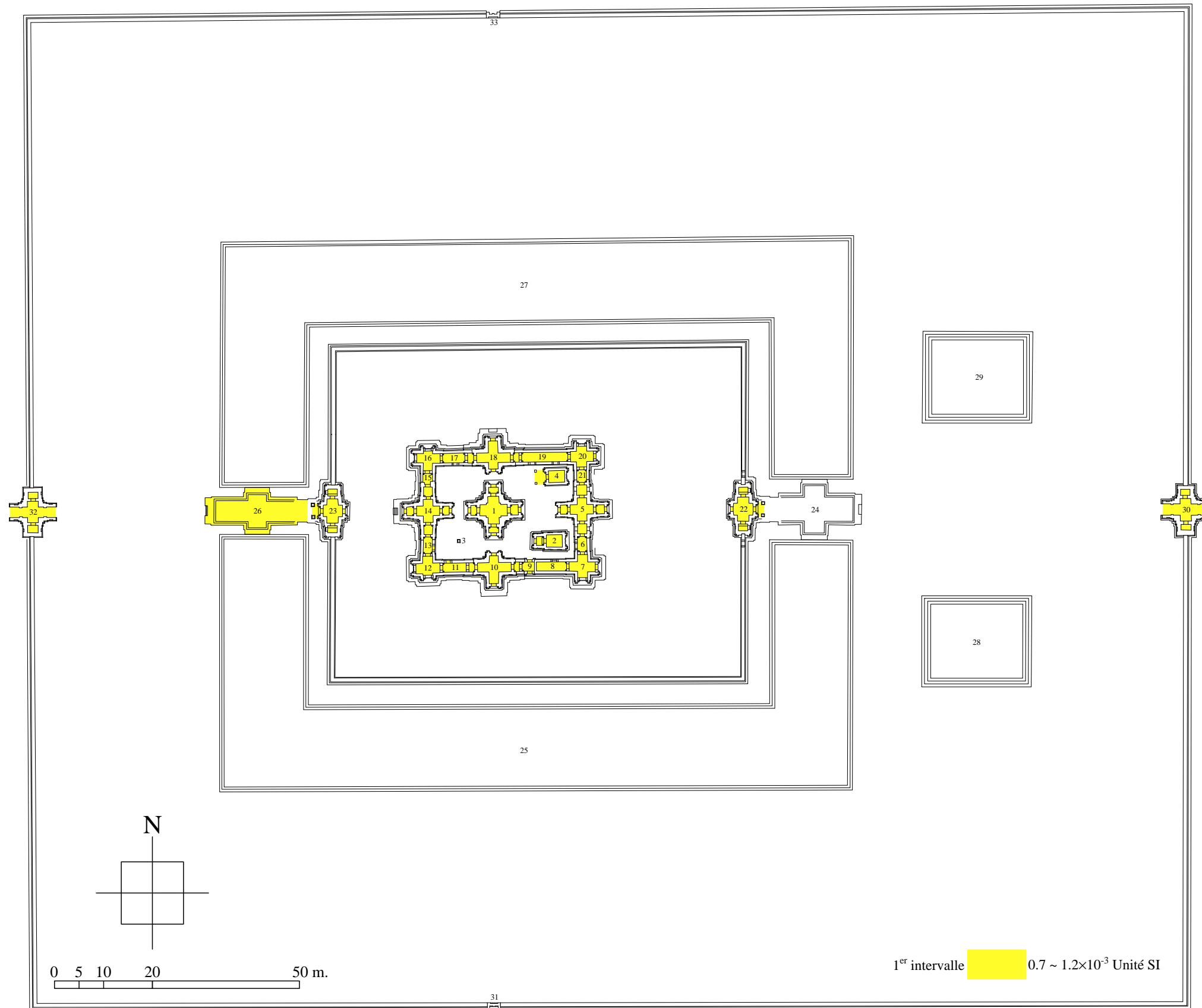


Fig. I-3-1-4.32 : Distribution par intervalles de la susceptibilité magnétique moyenne du grès à Ta Som

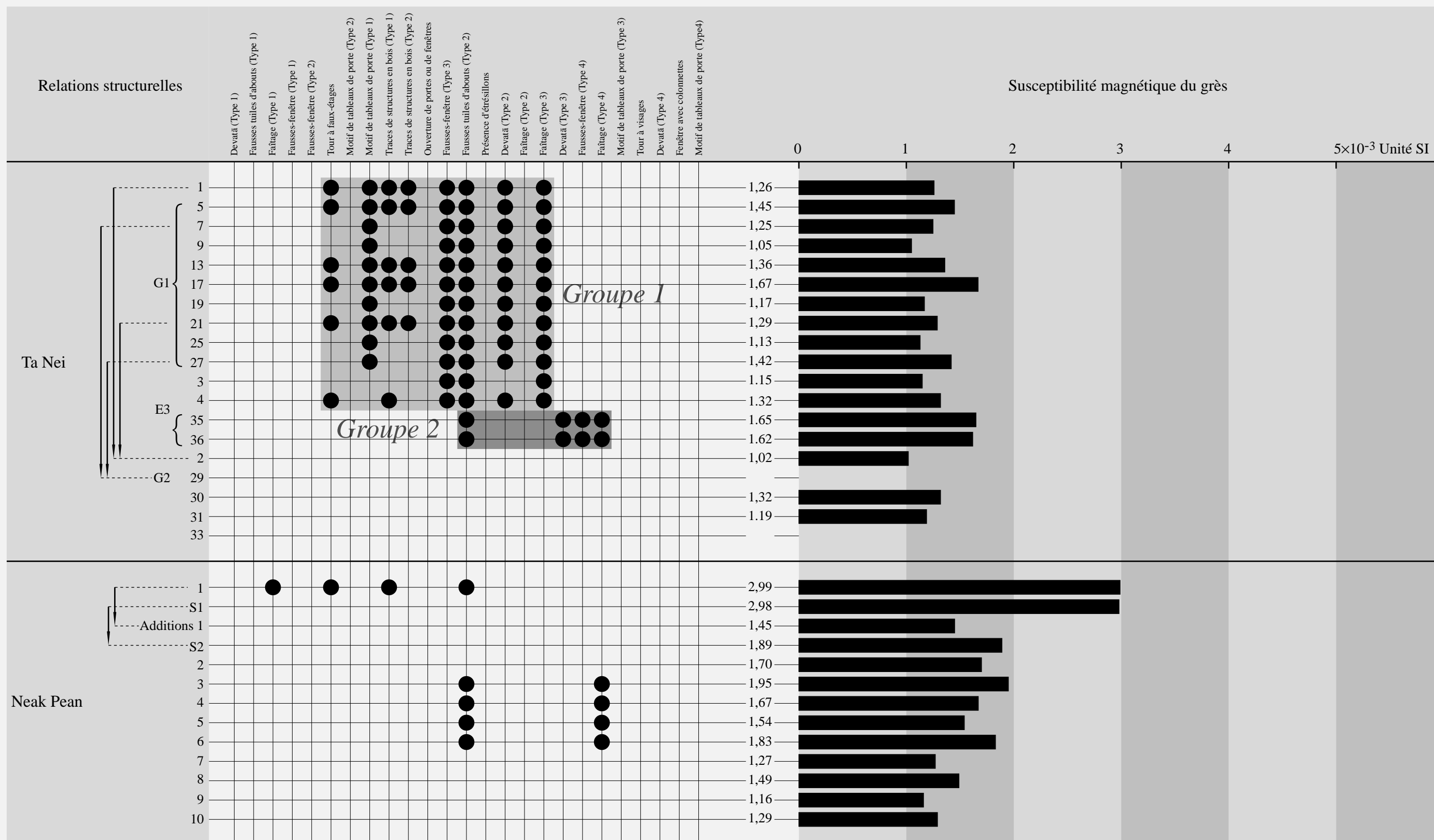


Fig. I-3-1-4.33 : Matrices chronologiques des critères architectoniques et ornementaux de Ta Nei et du Neak Pean adjointes des résultats de la susceptibilité magnétique moyenne du grès

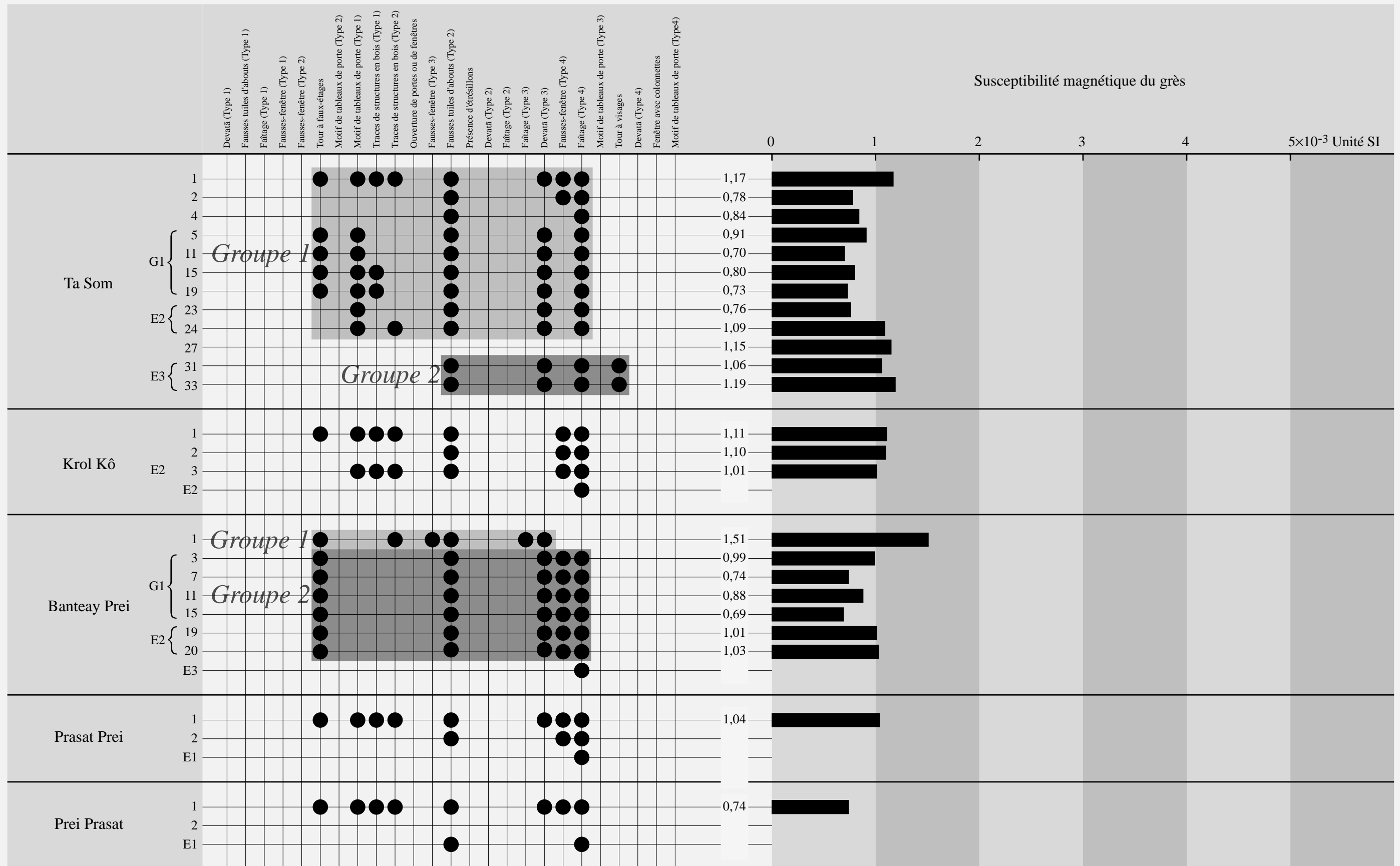


Fig. I-3-1-4.35 : Matrices chronologiques des critères architectoniques et ornementaux de Ta Som, de Krol Kô, de Banteay Prei, de Prasat Prei et de Prasat Prei Prasat adjointes des résultats de la susceptibilité magnétique moyenne du grès

CHRONOLOGIES RELATIVES DES PRINCIPAUX MONUMENTS DU STYLE DU BAYON

Ta Prohm	p. 218 à p. 230
Banteay Kdei	p. 231 à p. 238
Ta Nei.....	p. 239 à p. 243
Preah Khan d' Angkor	p. 244 à p. 252
Neak Pean.....	p. 253 à p. 254
Banteay Prei.....	p. 255 à p. 257
Krol Kô	p. 258 à p. 259
Ta Som.....	p. 260 à p. 261
Banteay Thom	p. 262 à p. 263
Bayon	p. 264 à p. 275
Banteay Chmar.....	p. 276 à p. 284
Vat Nokor.....	p. 285 à p. 289
Ta Prohm de Bati	p. 290 à p. 291
Wat Kamphaeng Laeng	p. 292
Phra Prang Sam Yod	p. 293

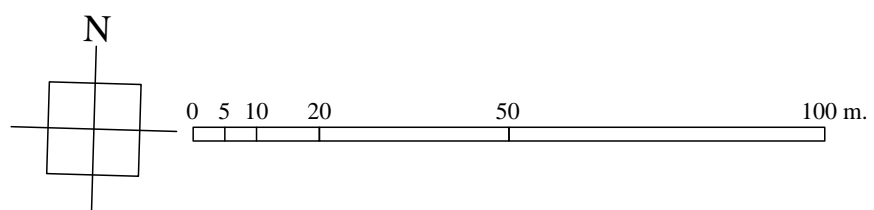
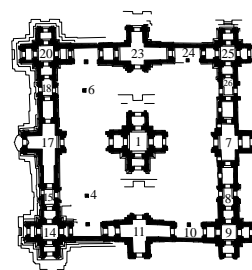


Fig. I-3-1-5.1 : Premier état de la première tranche des travaux de Rājavihāra (Ta Prohm)

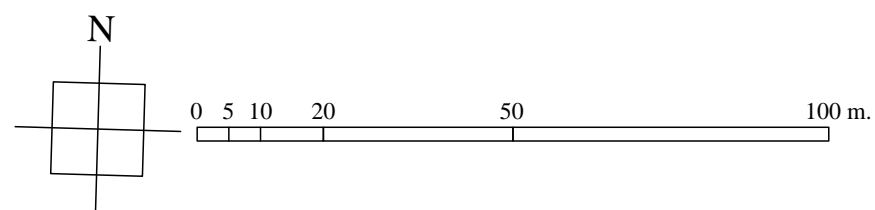
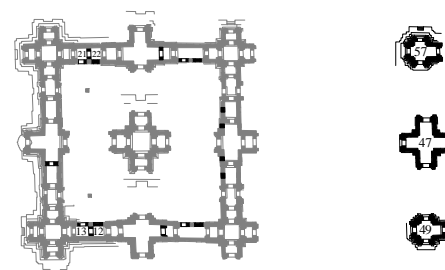


Fig. I-3-1-5.2 : Second état de la première tranche des travaux de Rājavihāra (Ta Prohm)

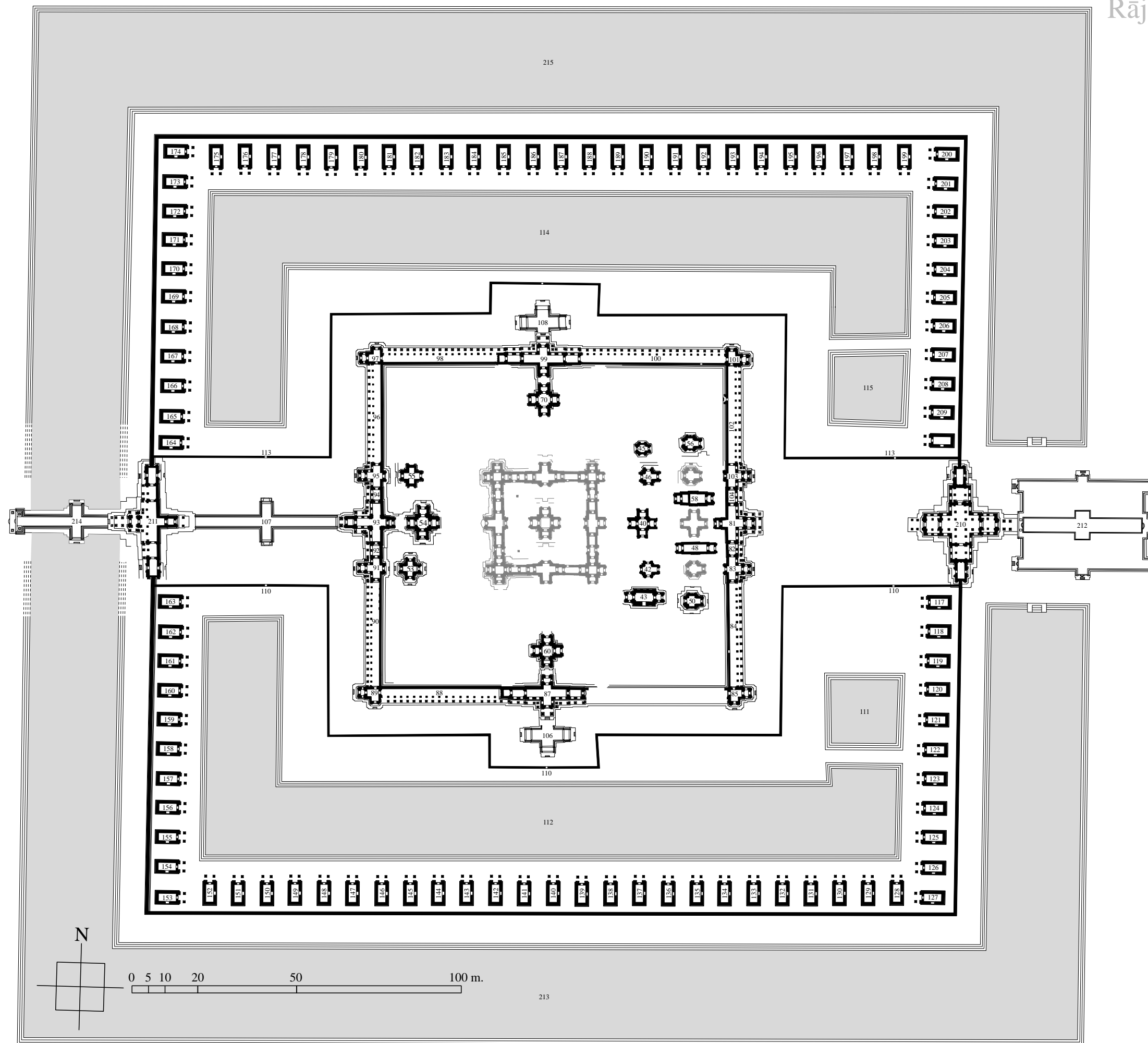


Fig. I-3-1-5.3 : Premier état de la deuxième tranche des travaux de Rājavihāra (Ta Prohm)

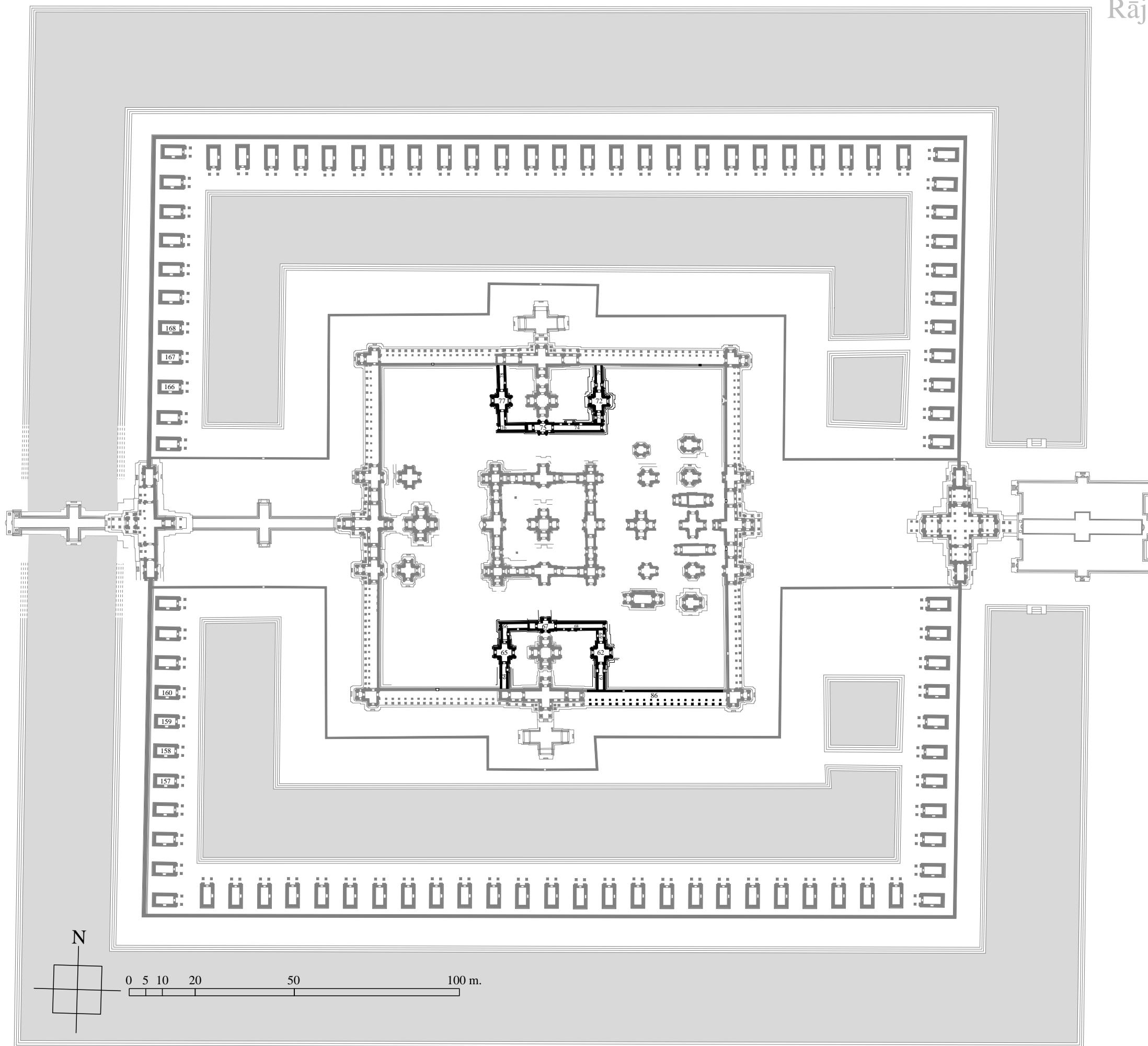


Fig. I-3-1-5.4 : Second état de la deuxième tranche des travaux de Rājavihāra (Ta Prohm)

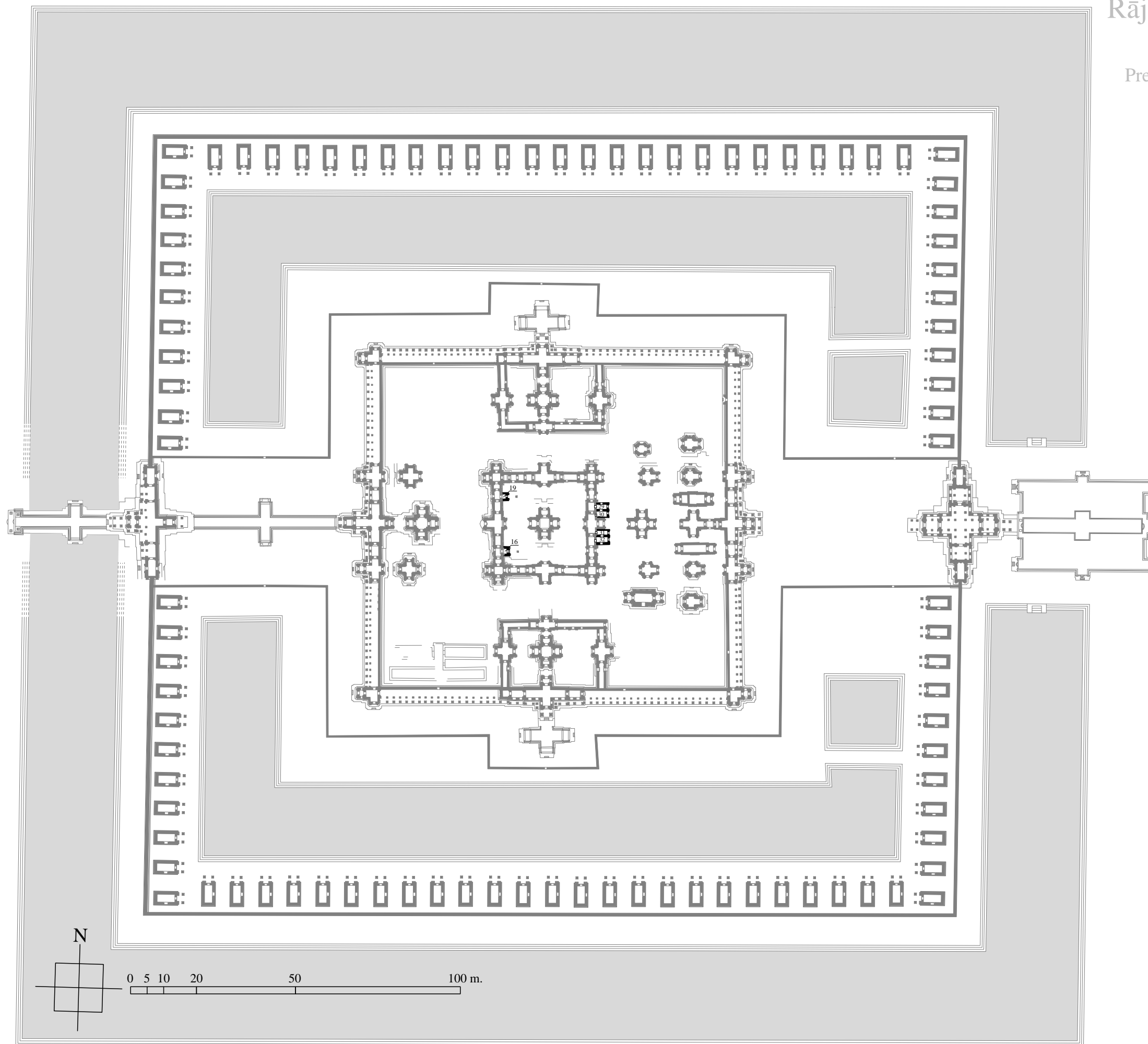


Fig. I-3-1-5.5 : Troisième tranche des travaux de Rājavihāra (Ta Prohm)

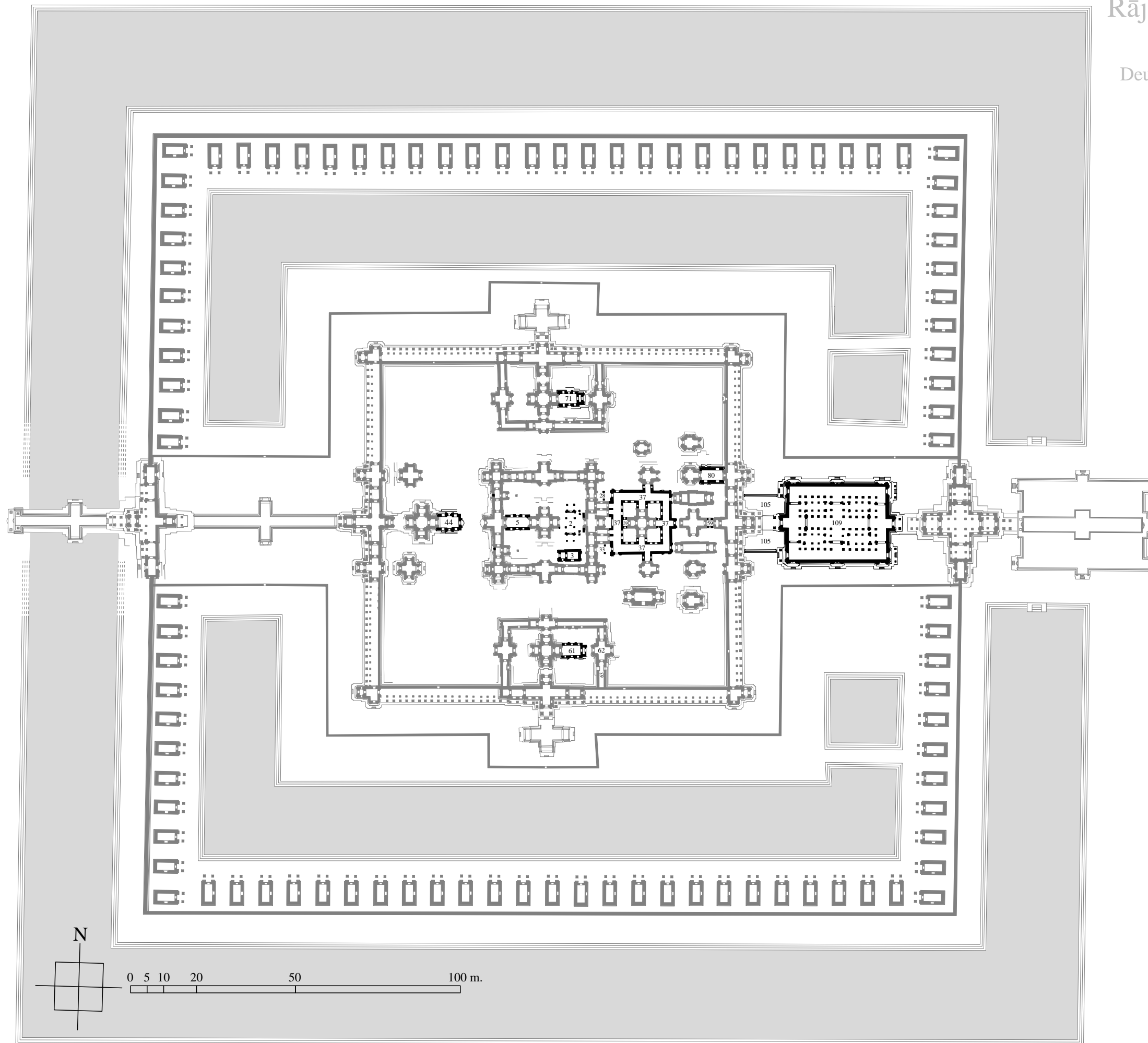


Fig. I-3-1-5.6 : Quatrième tranche des travaux de Rājavihāra (Ta Prohm)

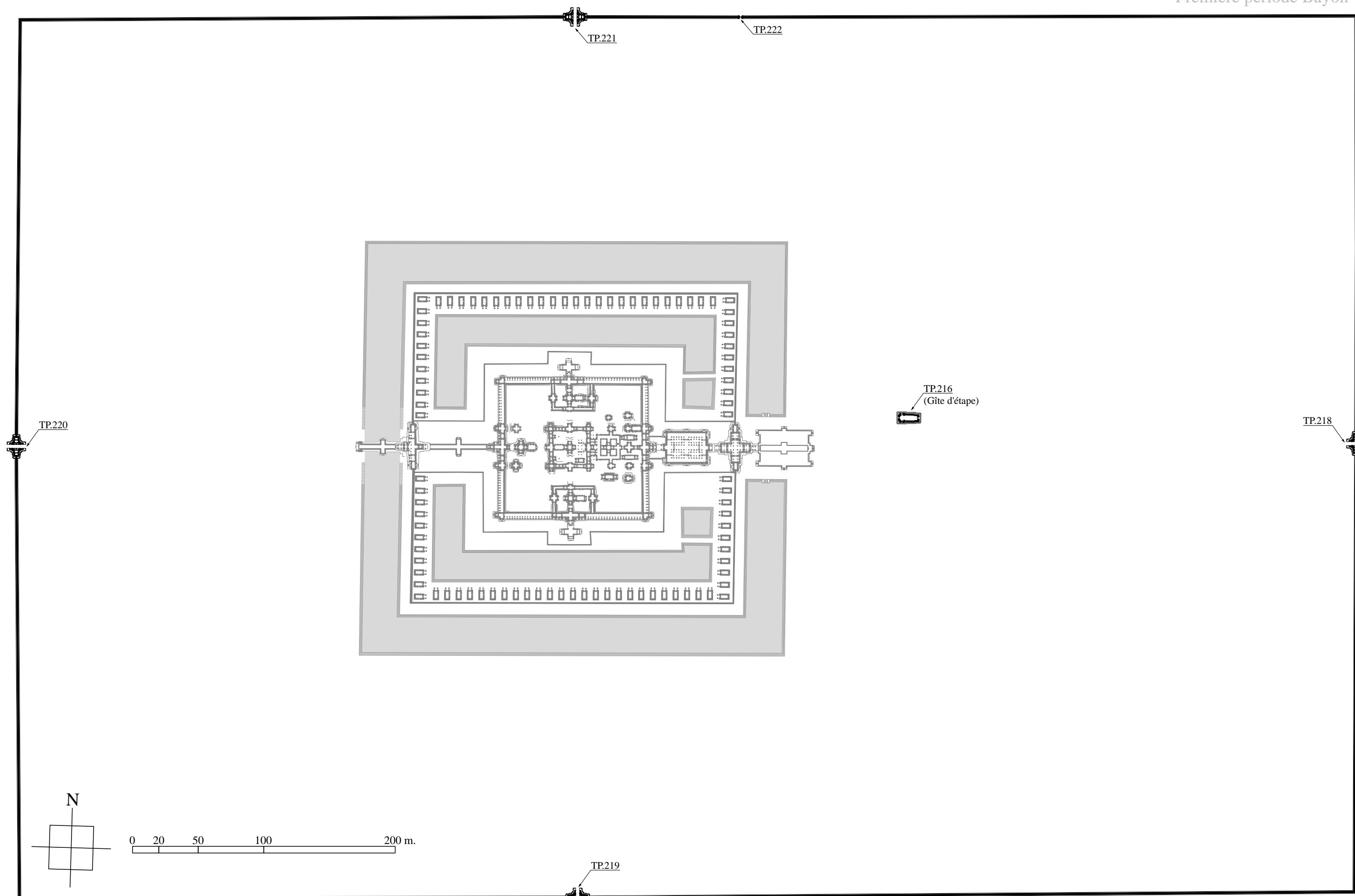


Fig. I-3-1-5.7 : Cinquième tranche des travaux de Rājavihāra (Ta Prohm)
— Création du domaine —

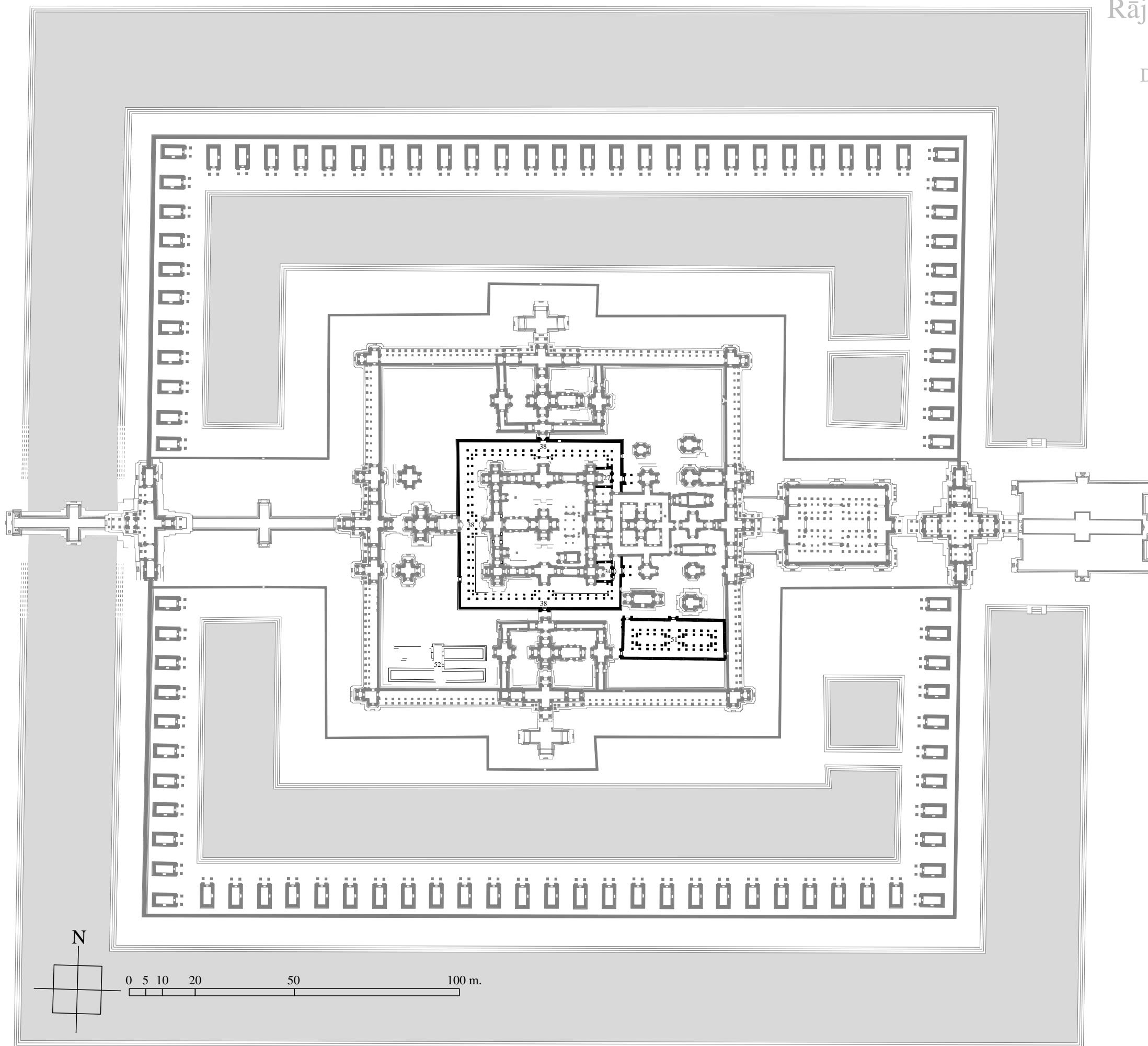


Fig. I-3-1-5.8 : Premier état de la sixième tranche des travaux de Rājavihāra (Ta Prohm)

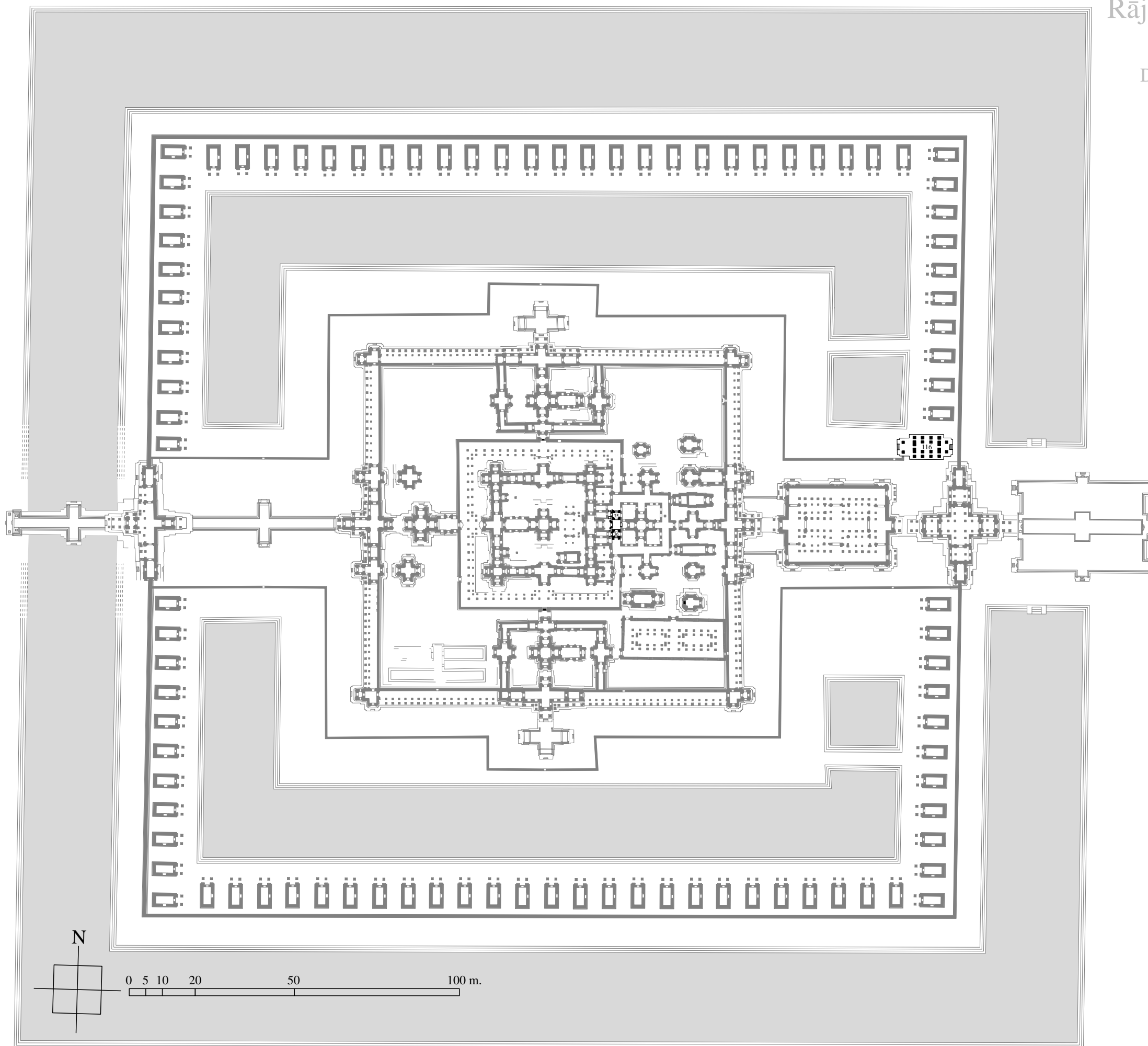


Fig. I-3-1-5.9 : Deuxième état de la sixième tranche des travaux de Rājavihāra (Ta Prohm)

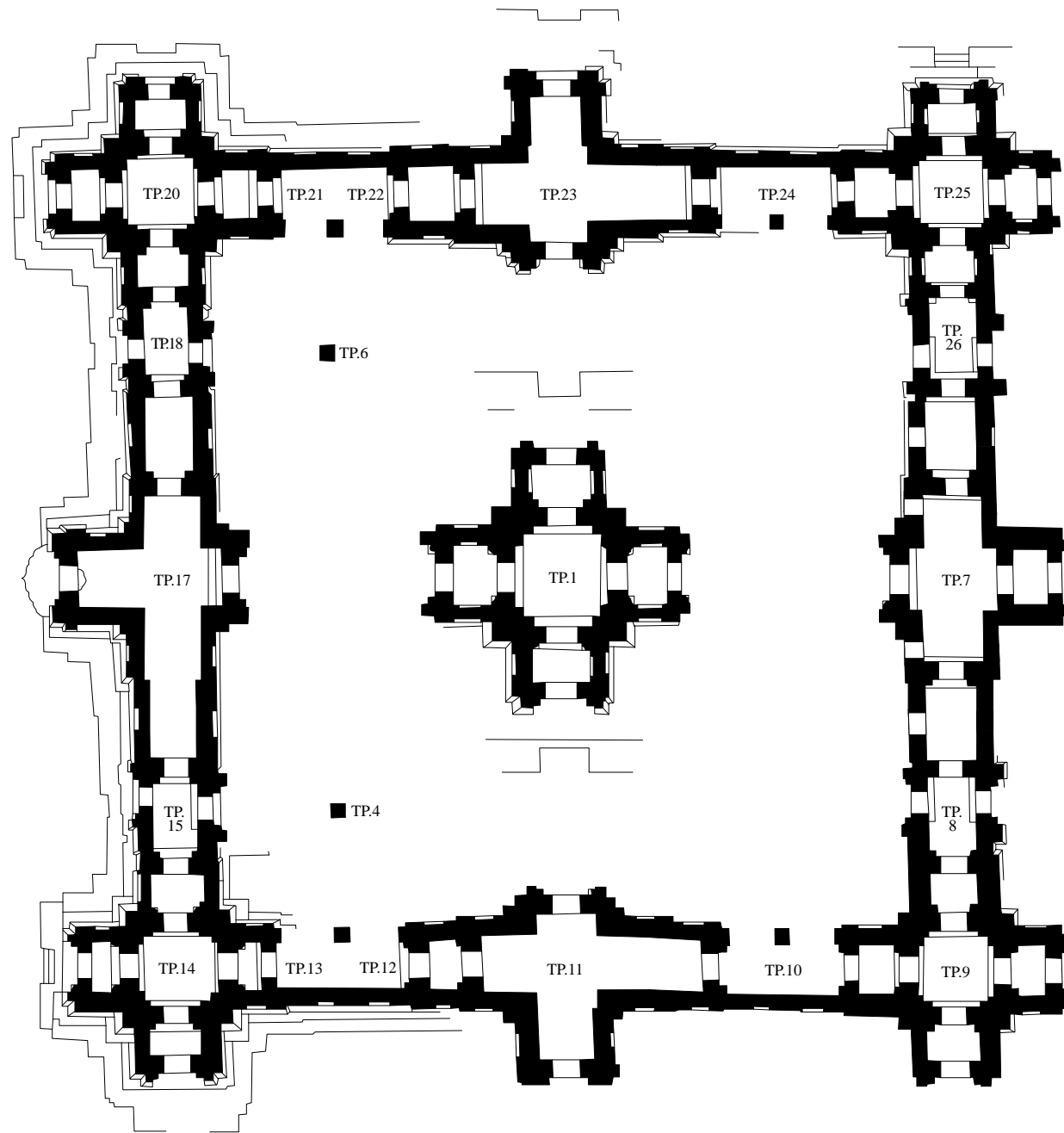


Fig. I-3-1-5.10 : Restitution du projet original de la première galerie-enceinte de Ta Prohm
— Pré-état de la première tranche des travaux de Rājavihāra (Ta Prohm) —

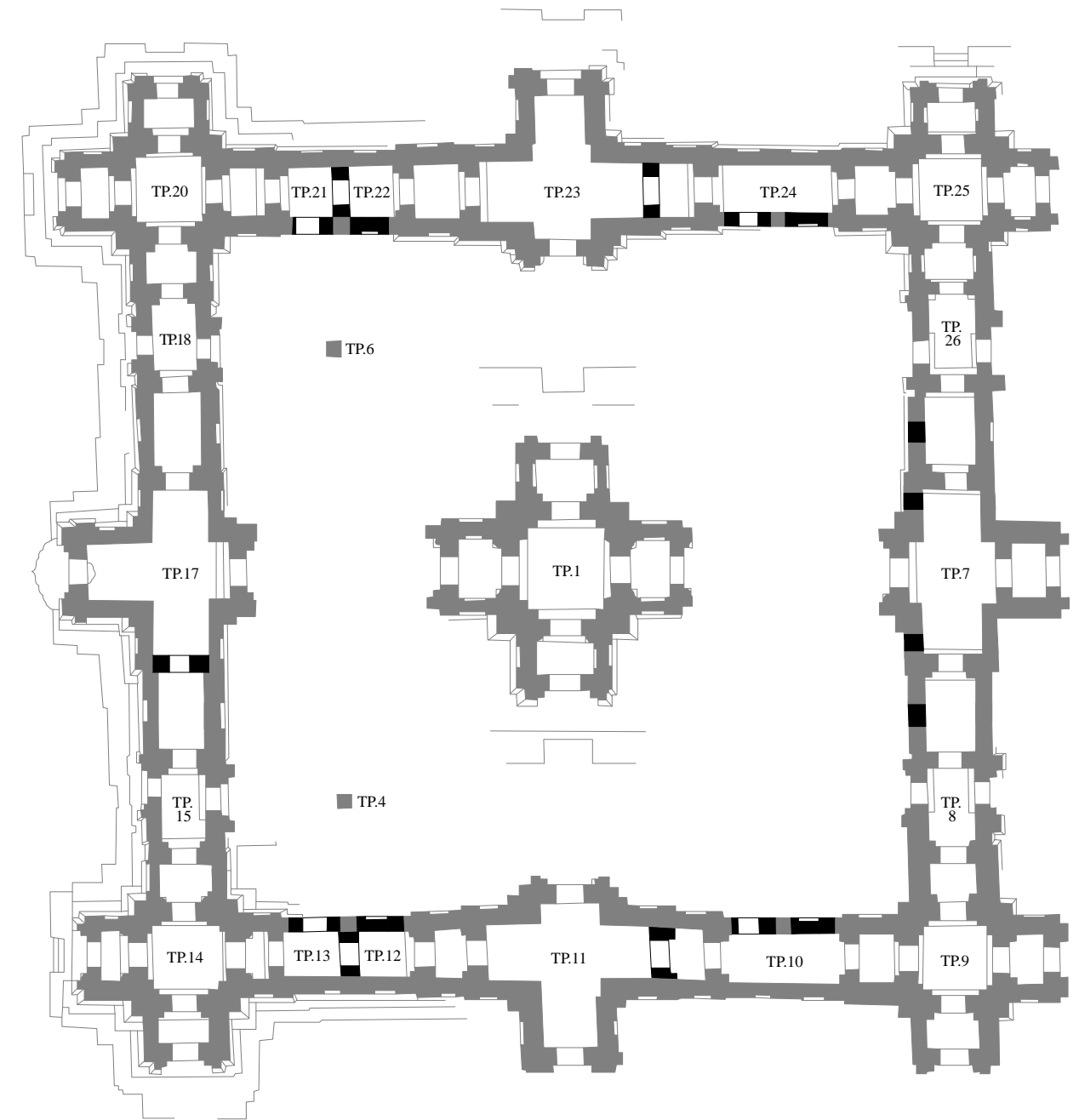
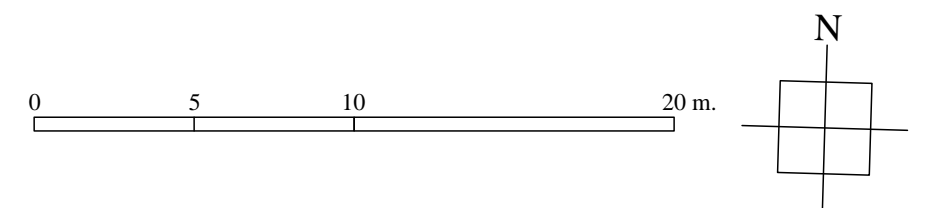


Fig. I-3-1-5.11 : État de la première galerie-enceinte après reprises
— État de la première tranche des travaux de Rājavihāra (Ta Prohm) —



Rājavihāra / Ta Prohm
 Phase 3 & 4
 Première et deuxième période
 Preah Khan
 (Première galerie-enceinte)

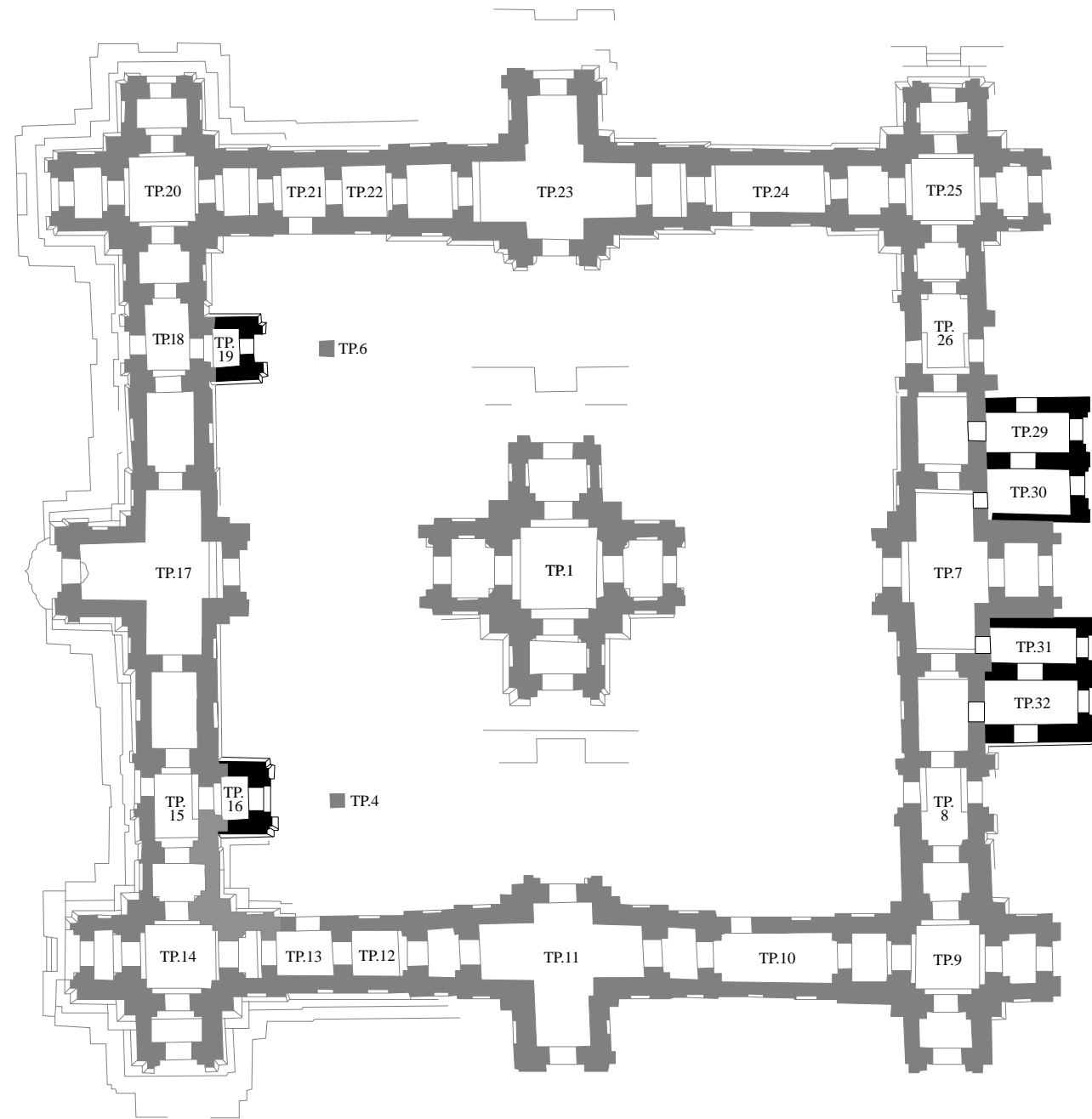


Fig. I-3-1-5.12 : Restitution de la troisième tranche des travaux de la première galerie-enceinte de Rājavihāra (Ta Prohm)

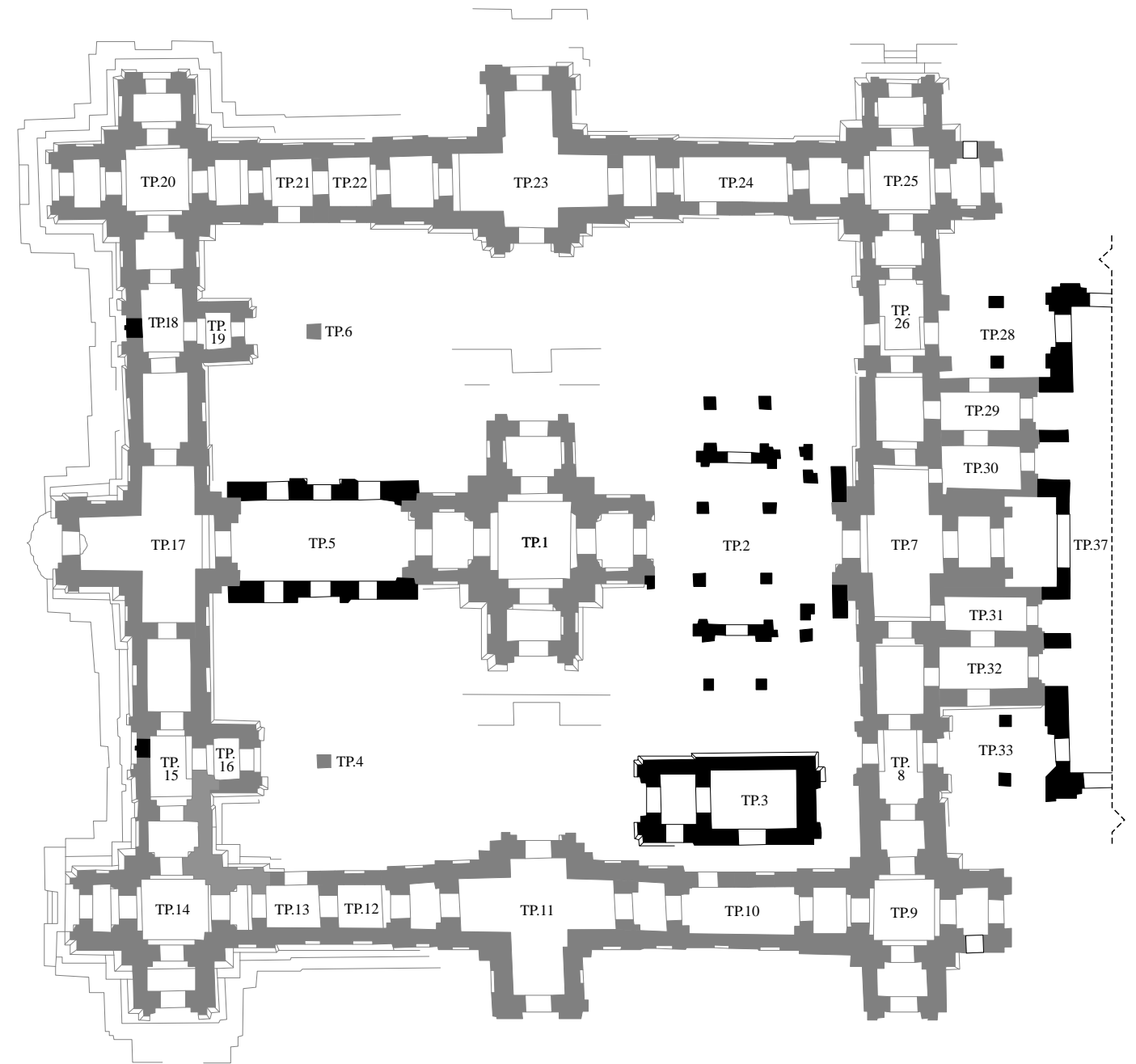
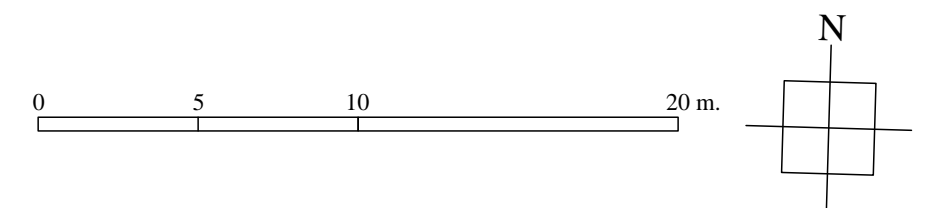


Fig. I-3-1-5.13 : Restitution de la quatrième tranche des travaux de la première galerie-enceinte de Rājavihāra (Ta Prohm)



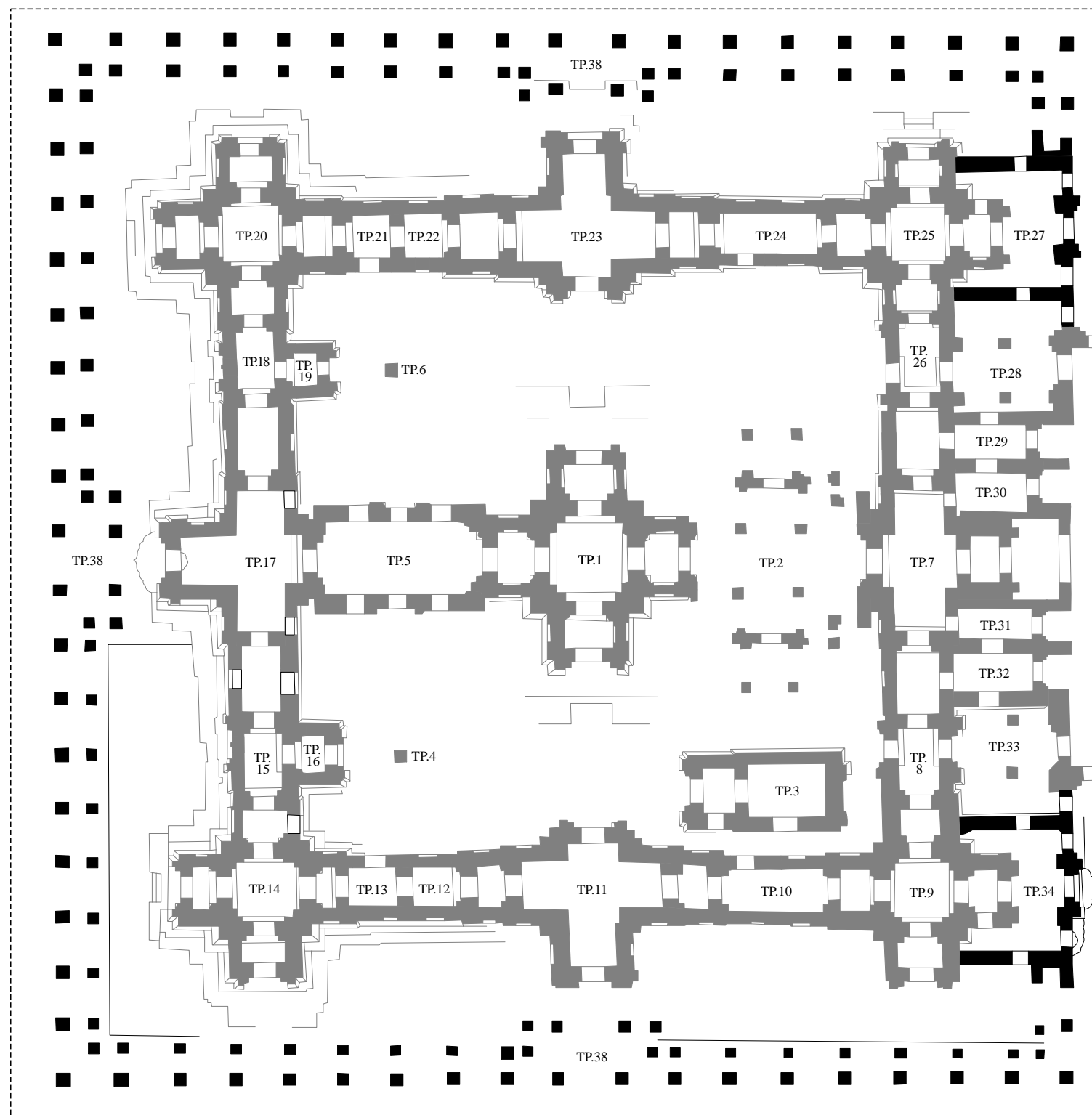
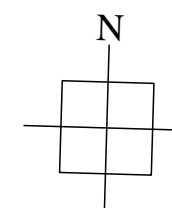


Fig. I-3-1-5.14 : Restitution de la sixième tranche des travaux de la première galerie-enceinte de Rājavihāra (Ta Prohm)

0 5 10 20 m.



Rājavihāra / Ta Prohm
 Phase 4 & 6-2
 Deuxième période Preah Khan
 et deuxième période Bayon
 (Cloître oriental)

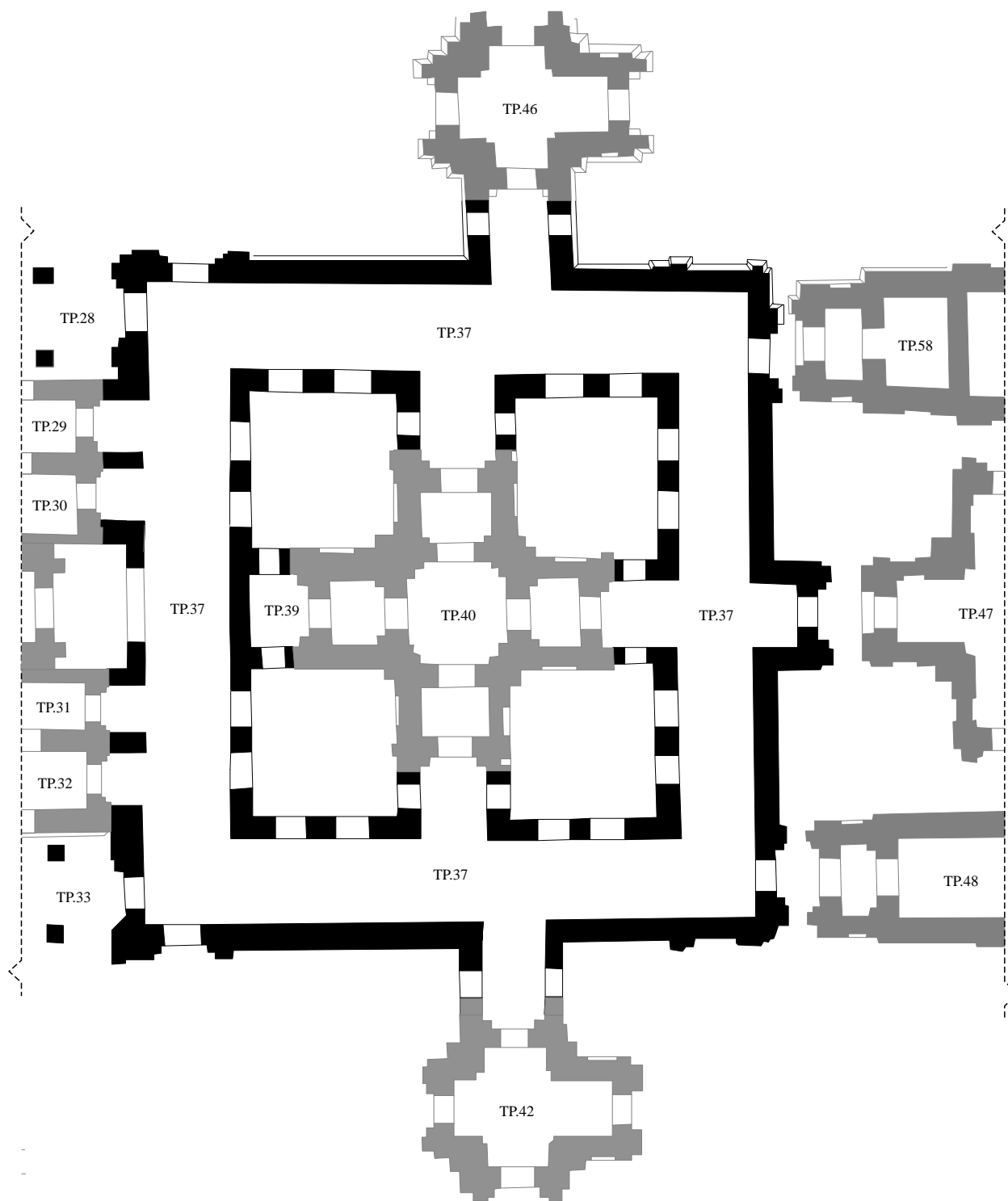


Fig. I-3-1-5.15 : Premier état du cloître oriental de Rājavihāra (Ta Prohm)
 — Quatrième tranche des travaux du monument —

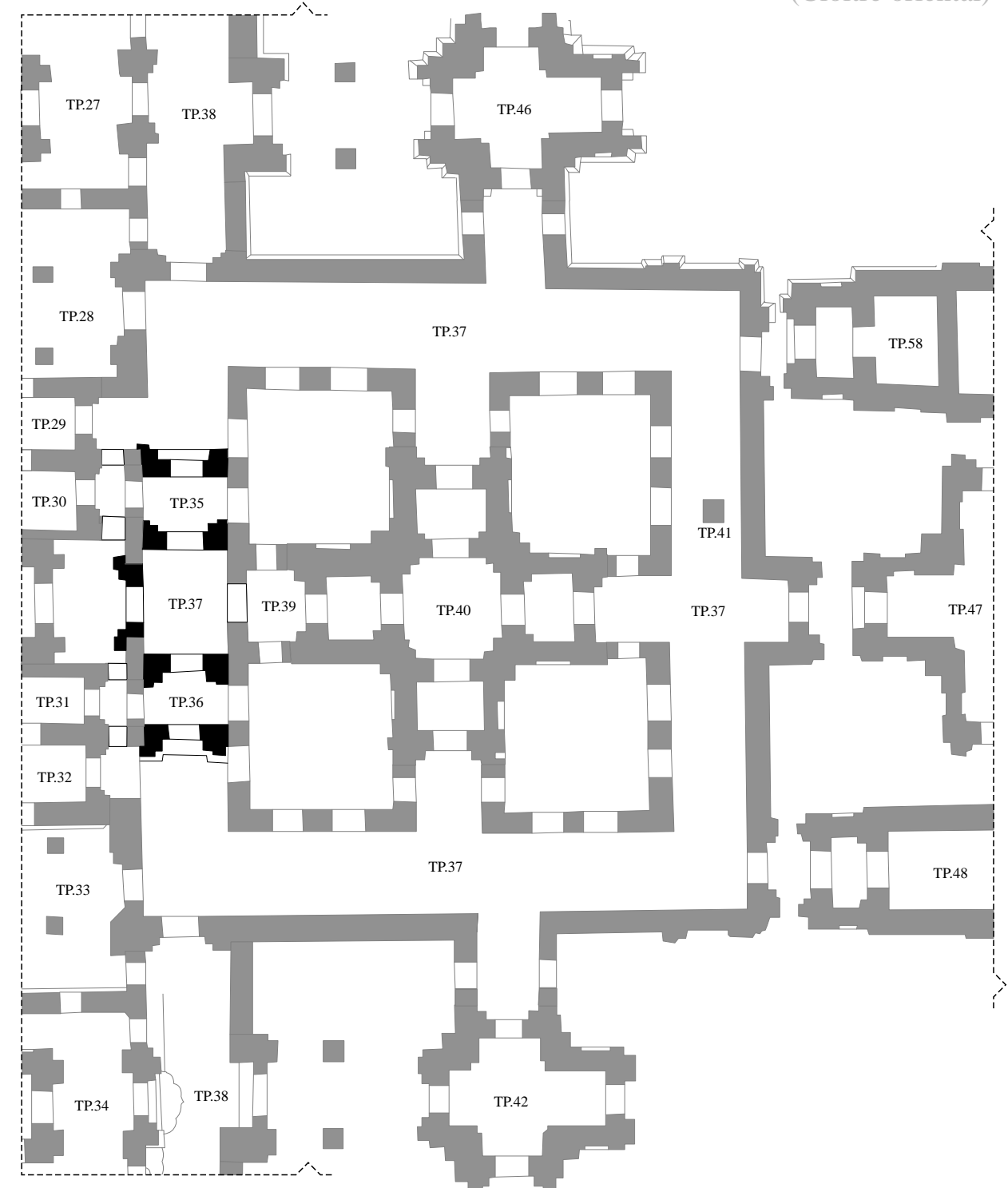
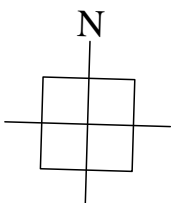


Fig. I-3-1-5.16 : Second état du cloître oriental de Rājavihāra (Ta Prohm)
 — Second état de la sixième tranche des travaux du monument —

0 5 10 m.



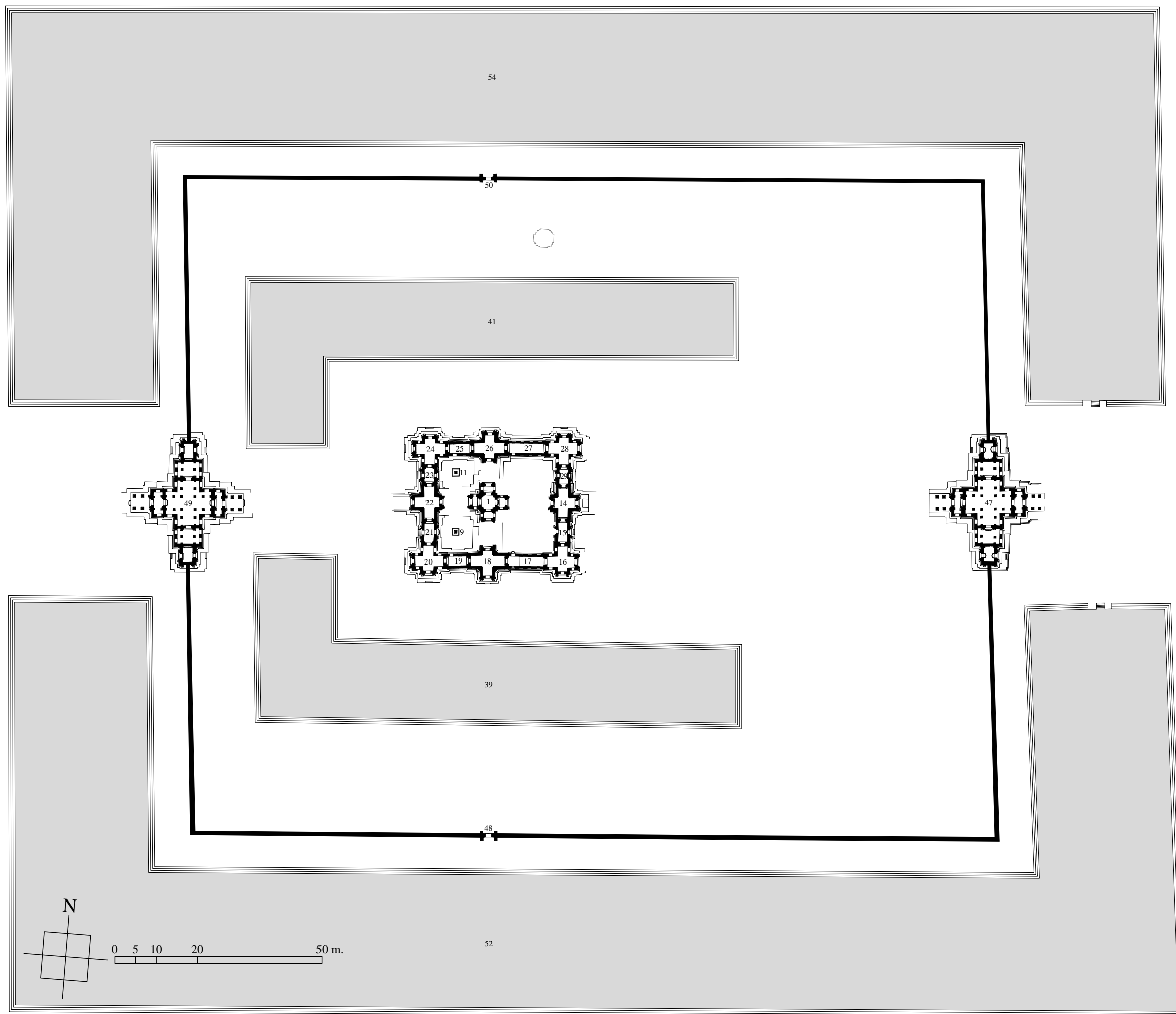


Fig. I-3-1-5.17 : Premier état de la première tranche des travaux de Banteay Kdei

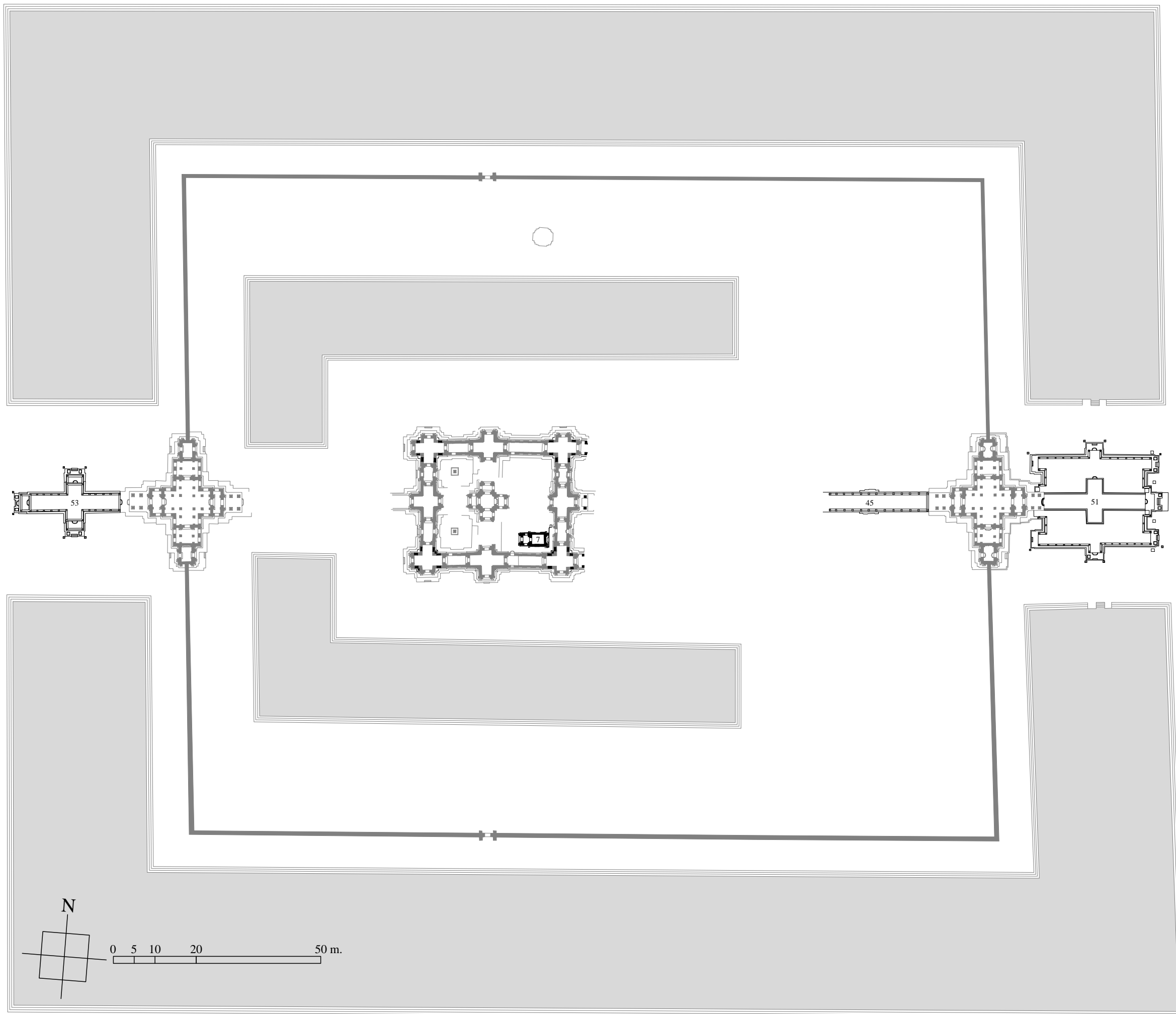


Fig. I-3-1-5.18 : Deuxième état de la première tranche des travaux de Banteay Kdei

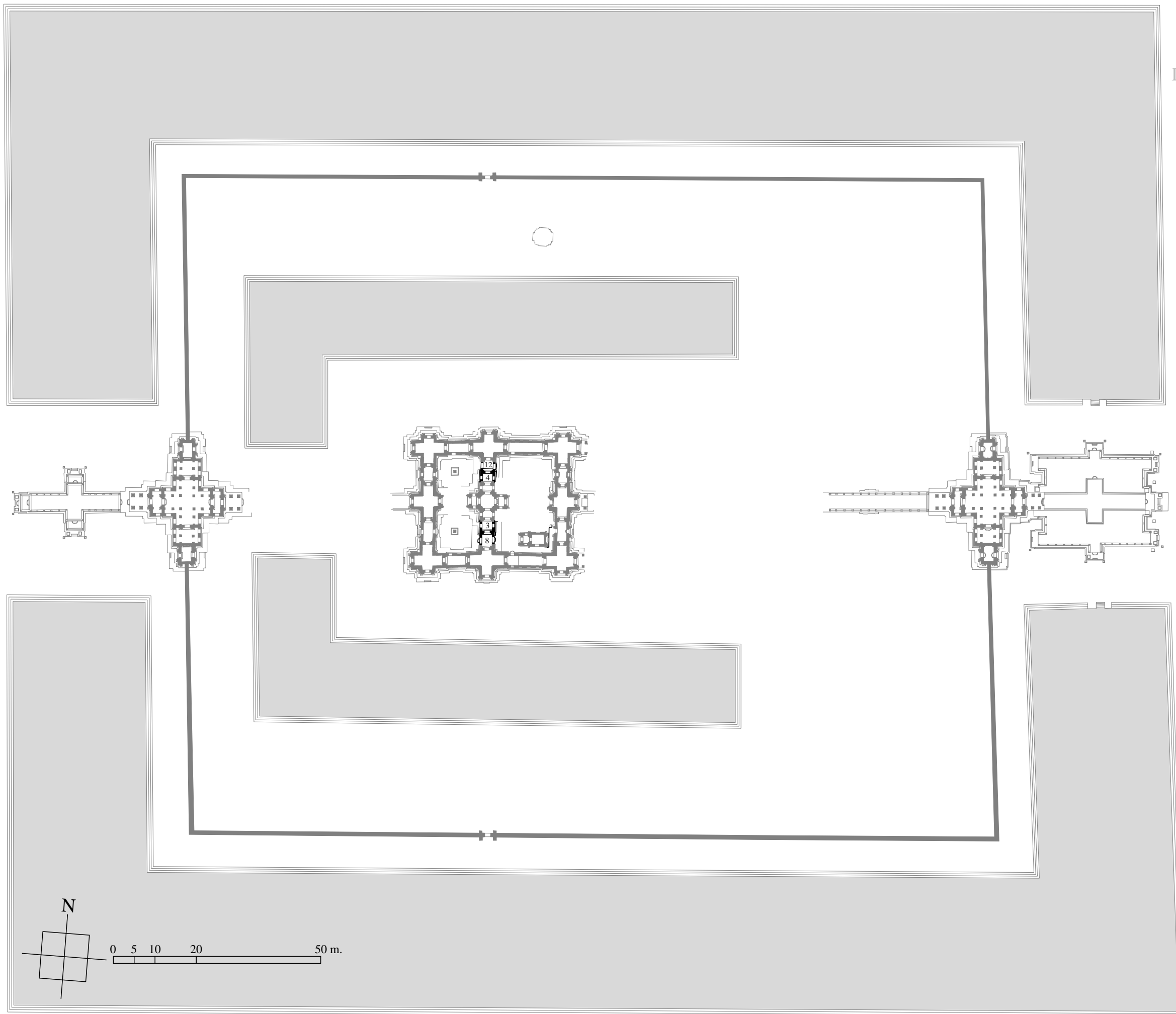


Fig. I-3-1-5.19 : Premier état de la deuxième tranche des travaux de Banteay Kdei

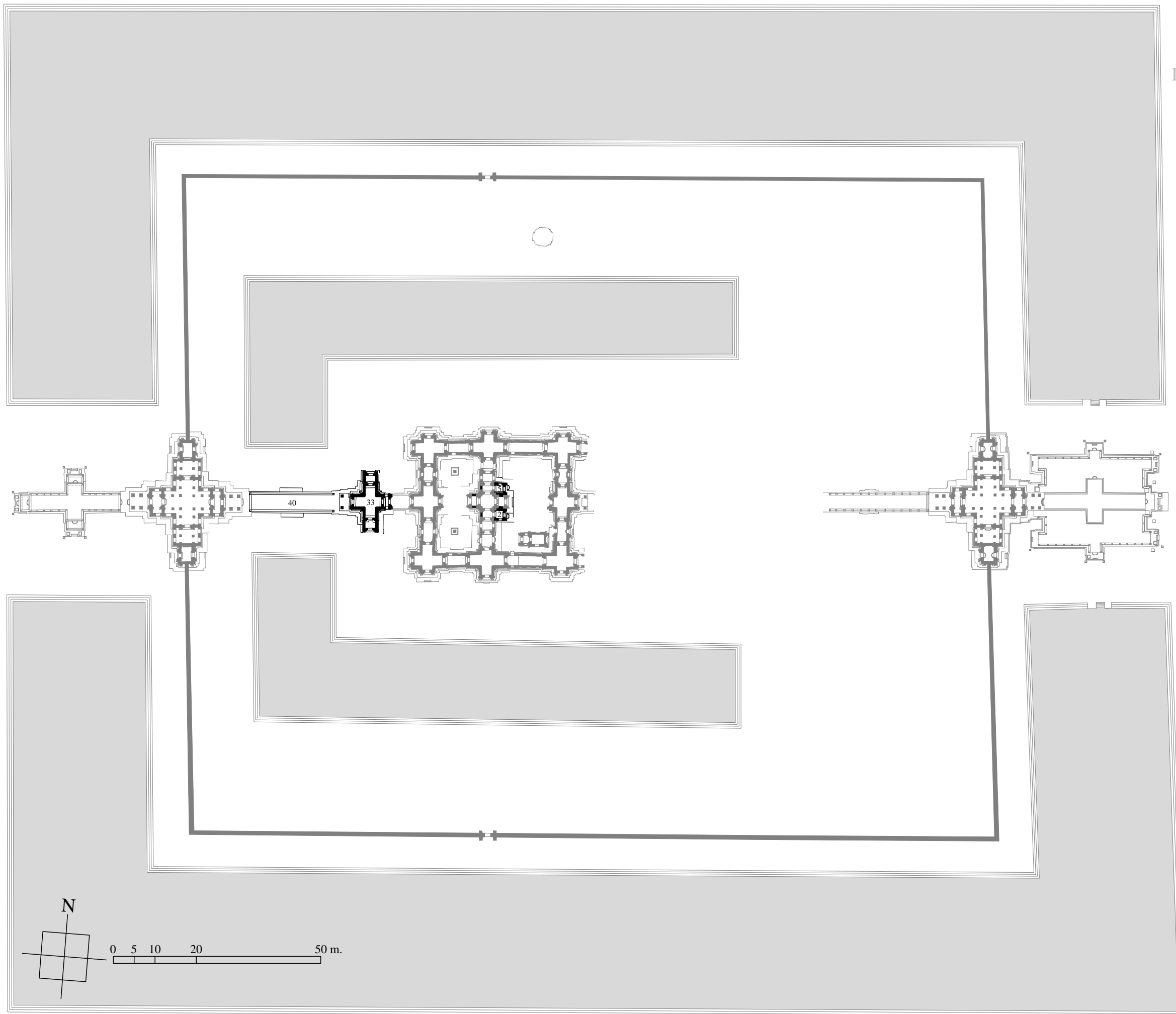


Fig. I-3-1-5.20 : Deuxième état de la deuxième tranche des travaux de Banteay Kdei

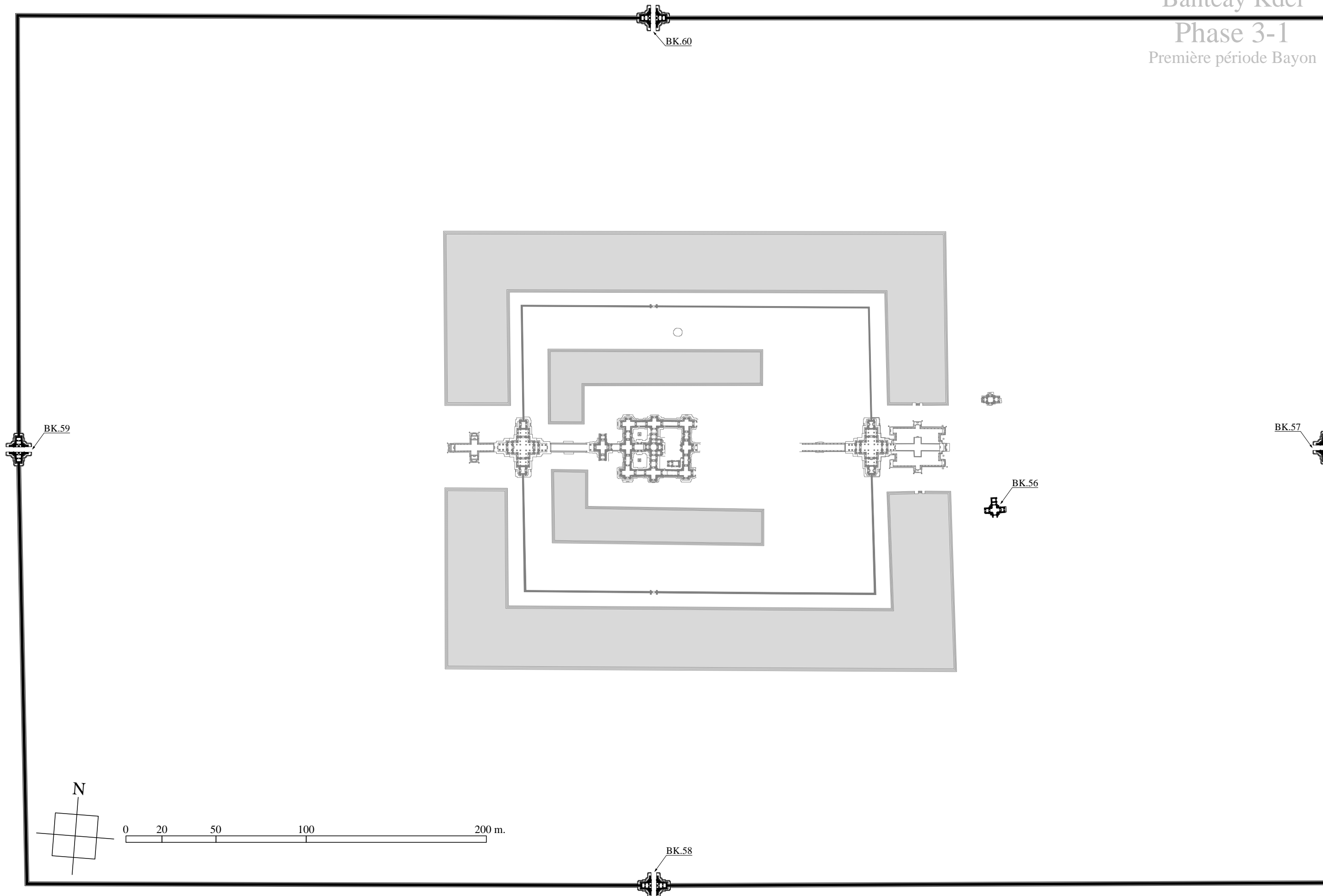


Fig. I-3-1-5.21 : Premier état de la troisième tranche des travaux de Banteay Kdei
— Création du domaine —

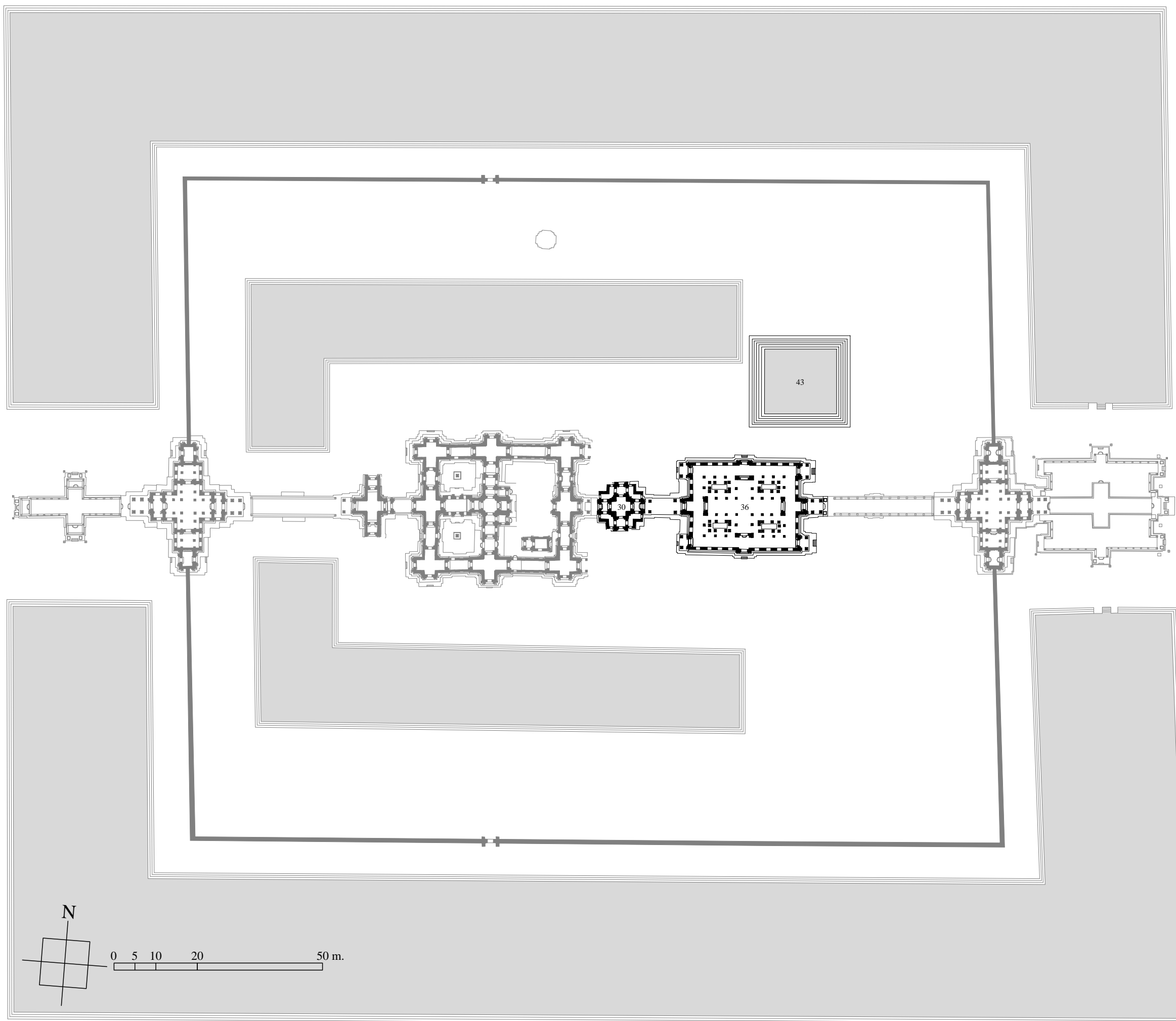


Fig. I-3-1-5.22 : Deuxième état de la troisième tranche des travaux de Banteay Kdei

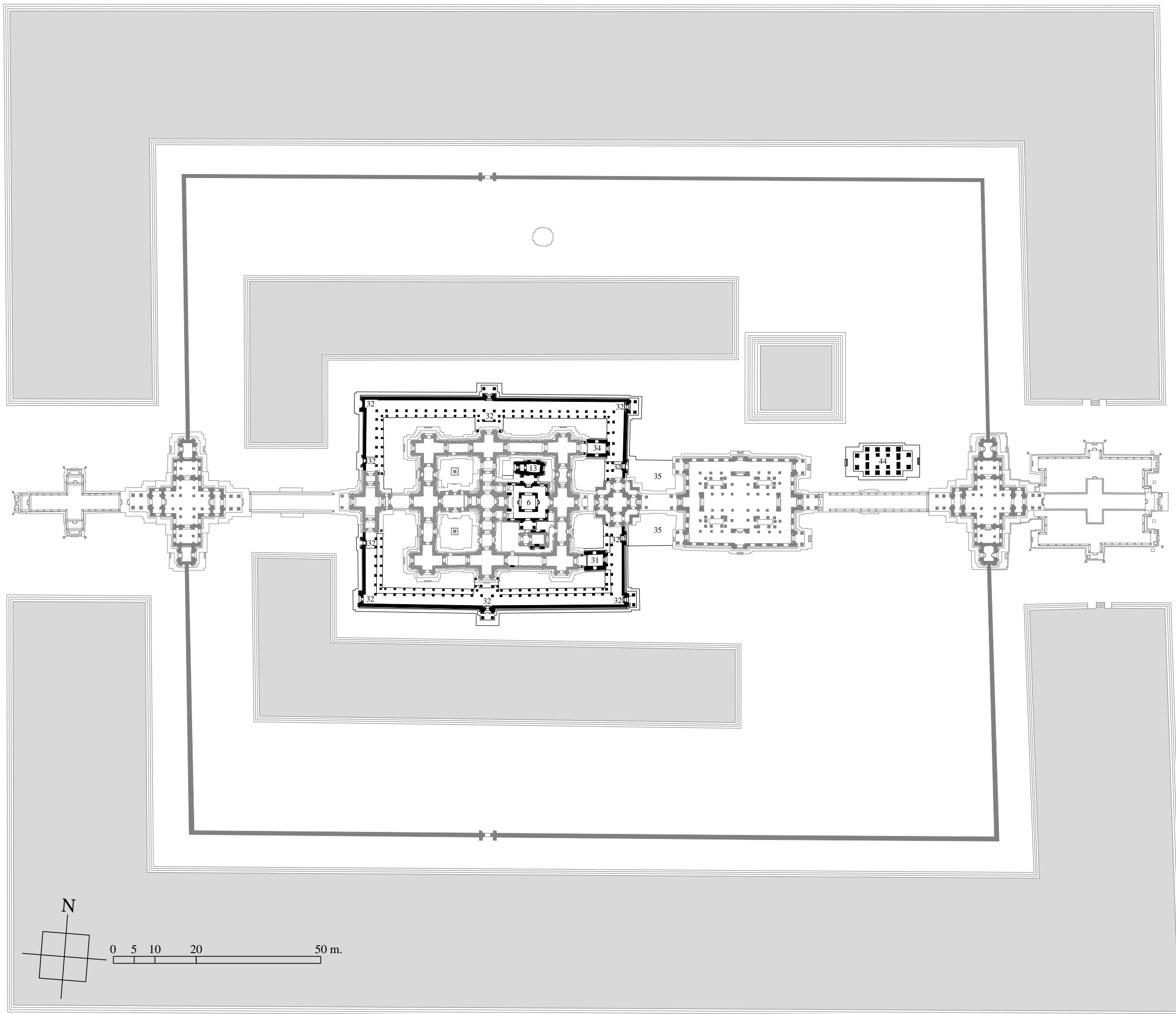


Fig. I-3-1-5.23 : Premier état de la quatrième tranche des travaux de Banteay Kdei

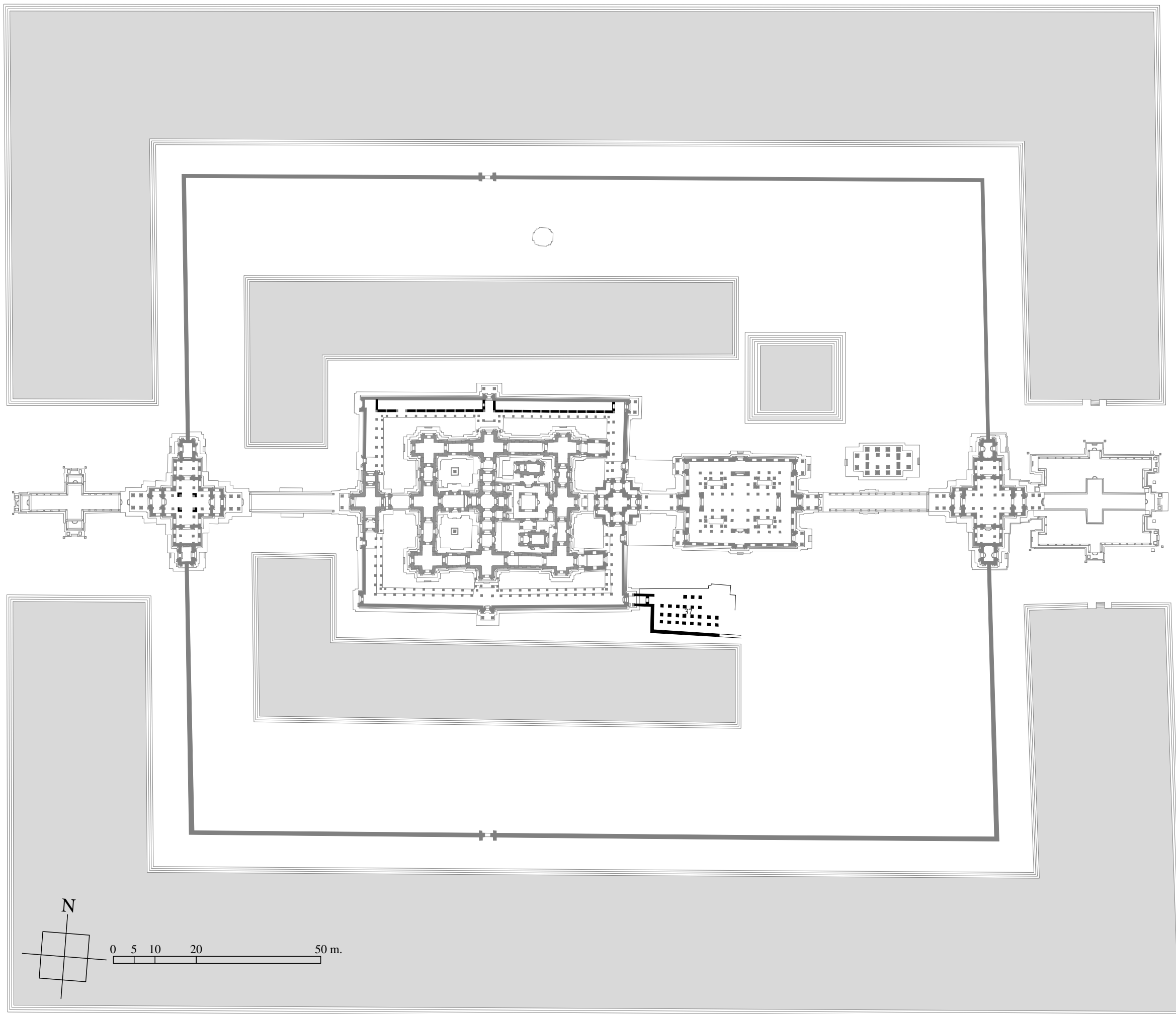


Fig. I-3-1-5.24 : Deuxième état de la quatrième tranche des travaux de Banteay Kdei

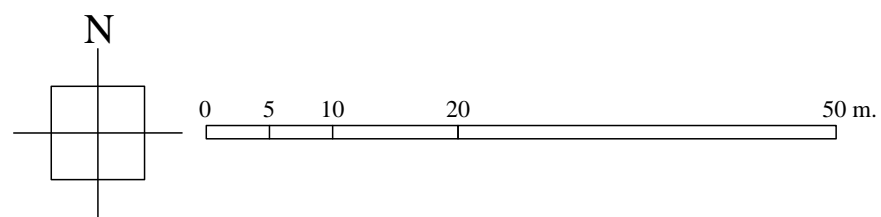
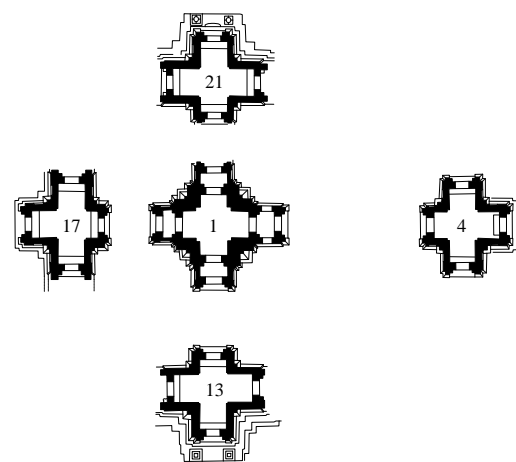


Fig. I-3-1-5.25 : Premier état de la première tranche des travaux de Ta Nei

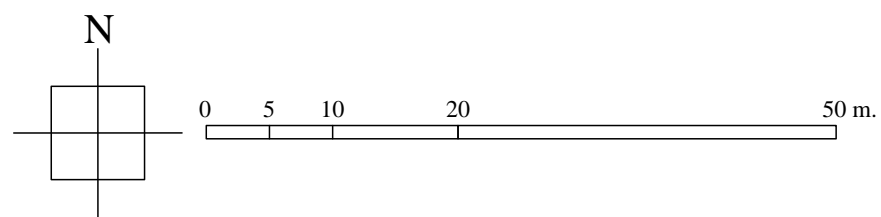
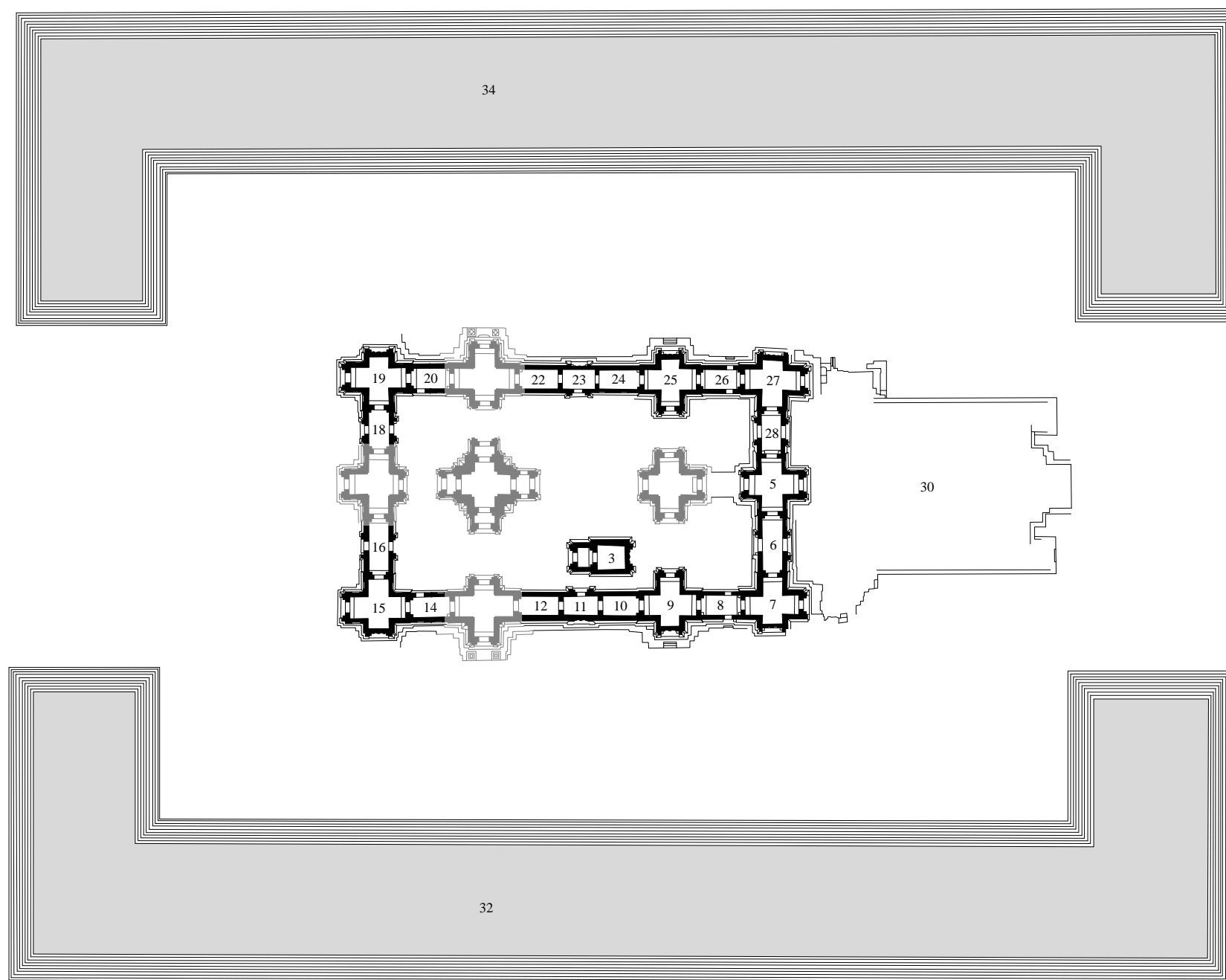


Fig. I-3-1-5.26 : Deuxième état de la première tranche des travaux de Ta Nei

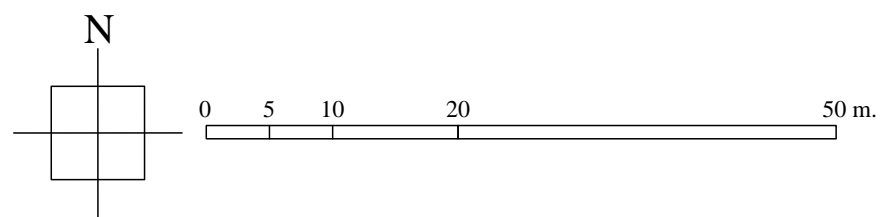
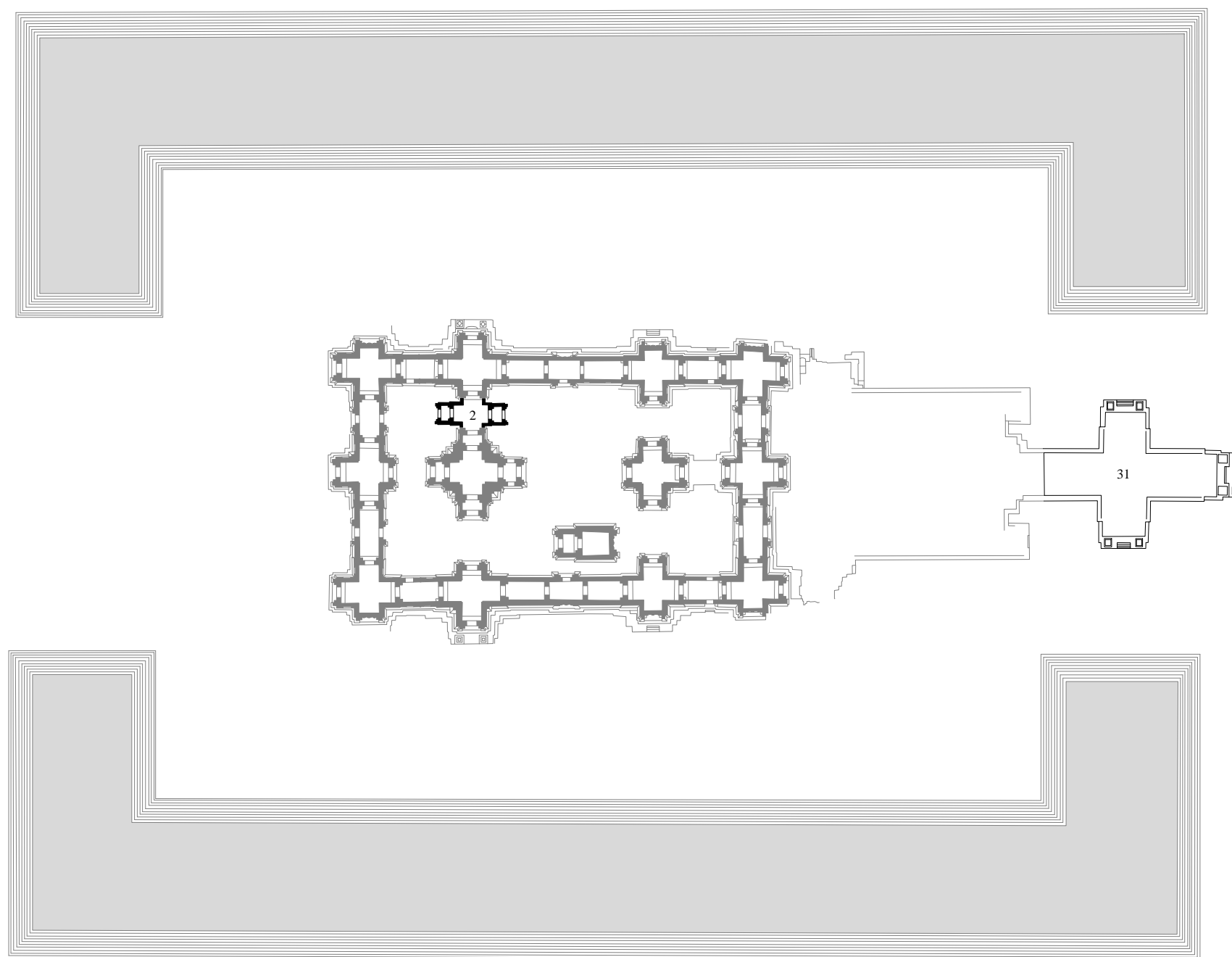


Fig. I-3-1-5.27 : Deuxième tranche des travaux de Ta Nei

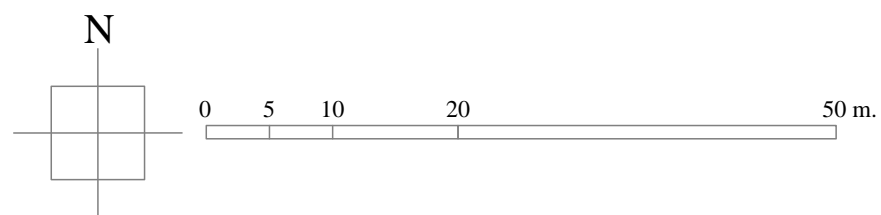
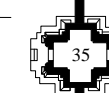
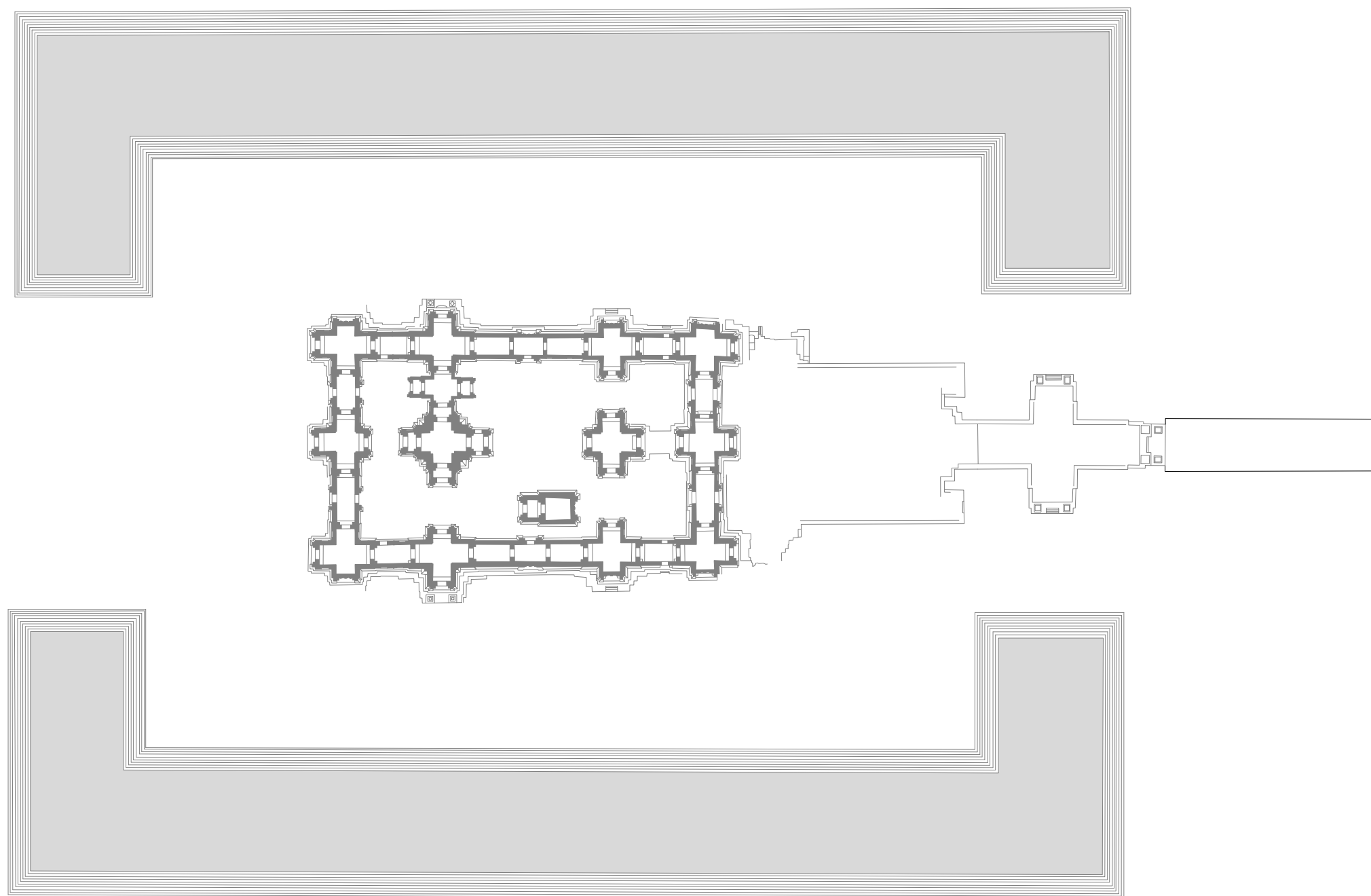
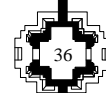


Fig. I-3-1-5.28 : Troisième tranche des travaux de Ta Nei
— Création du domaine —

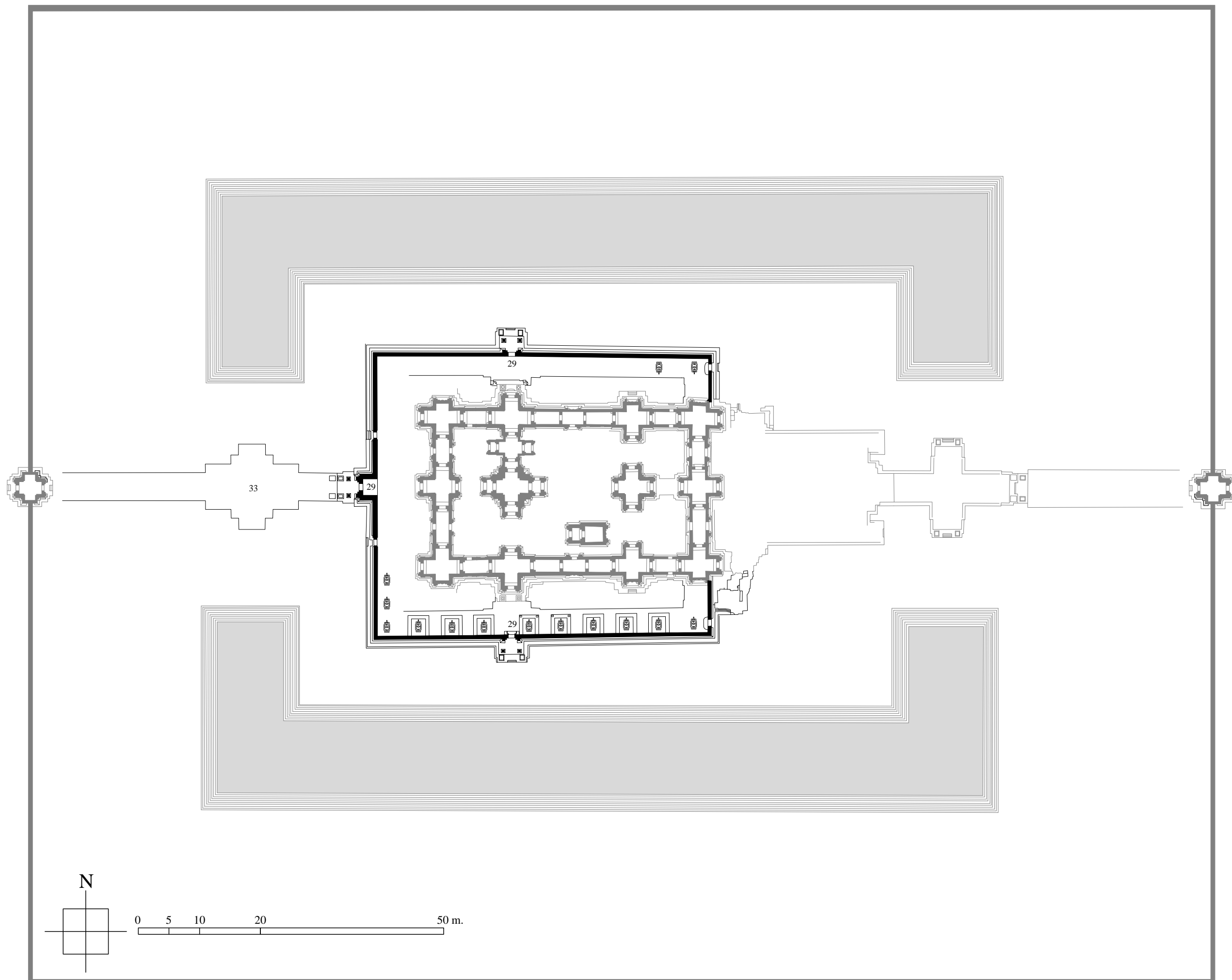


Fig. I-3-1-5.29 : Quatrième tranche des travaux de Ta Nei

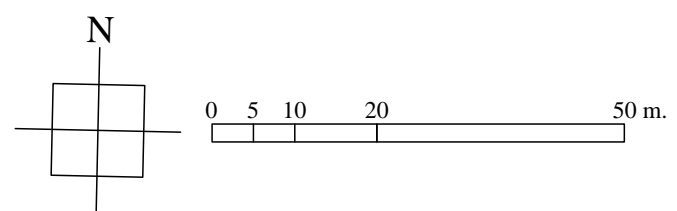
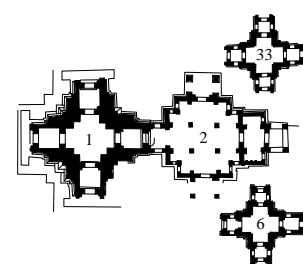


Fig. I-3-1-5.30 : Première tranche des travaux de Jayaçrī (Preah Khan d'Angkor)

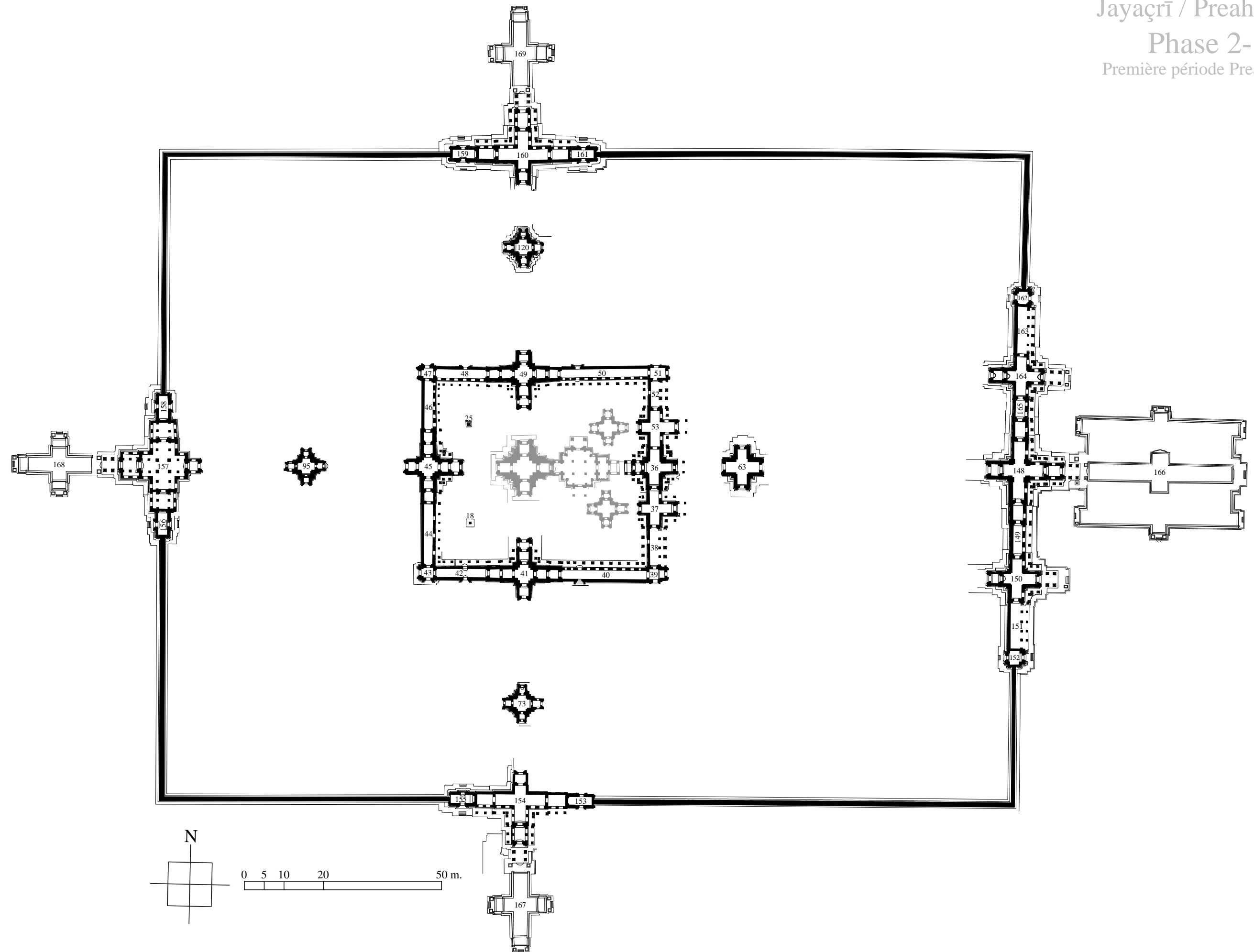


Fig. I-3-1-5.31 : Premier état de la deuxième tranche des travaux de Jayaçrī (Preah Khan d'Angkor)

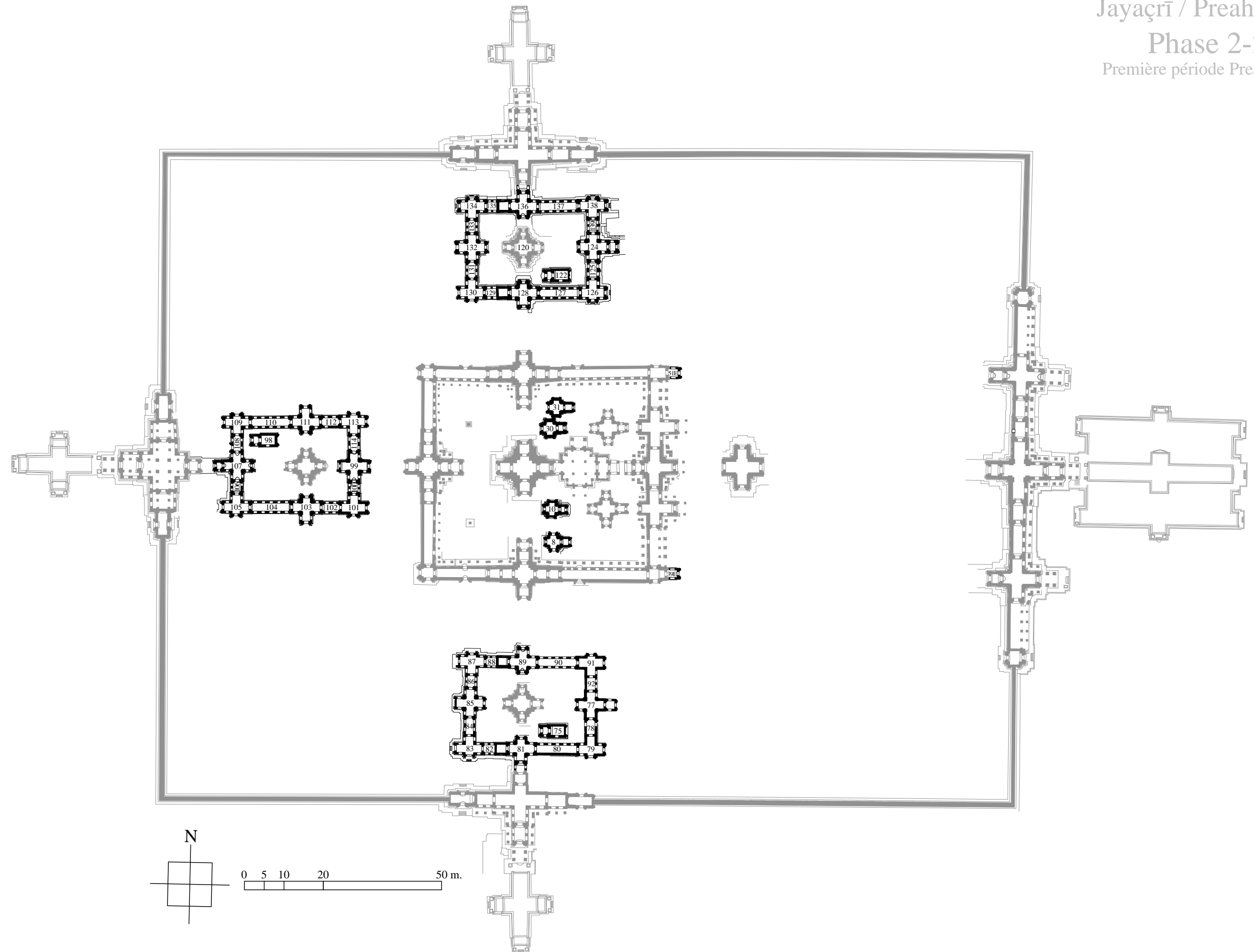


Fig. I-3-1-5.32 : Deuxième état de la deuxième tranche des travaux de Jayaçrī (Preah Khan d'Angkor)

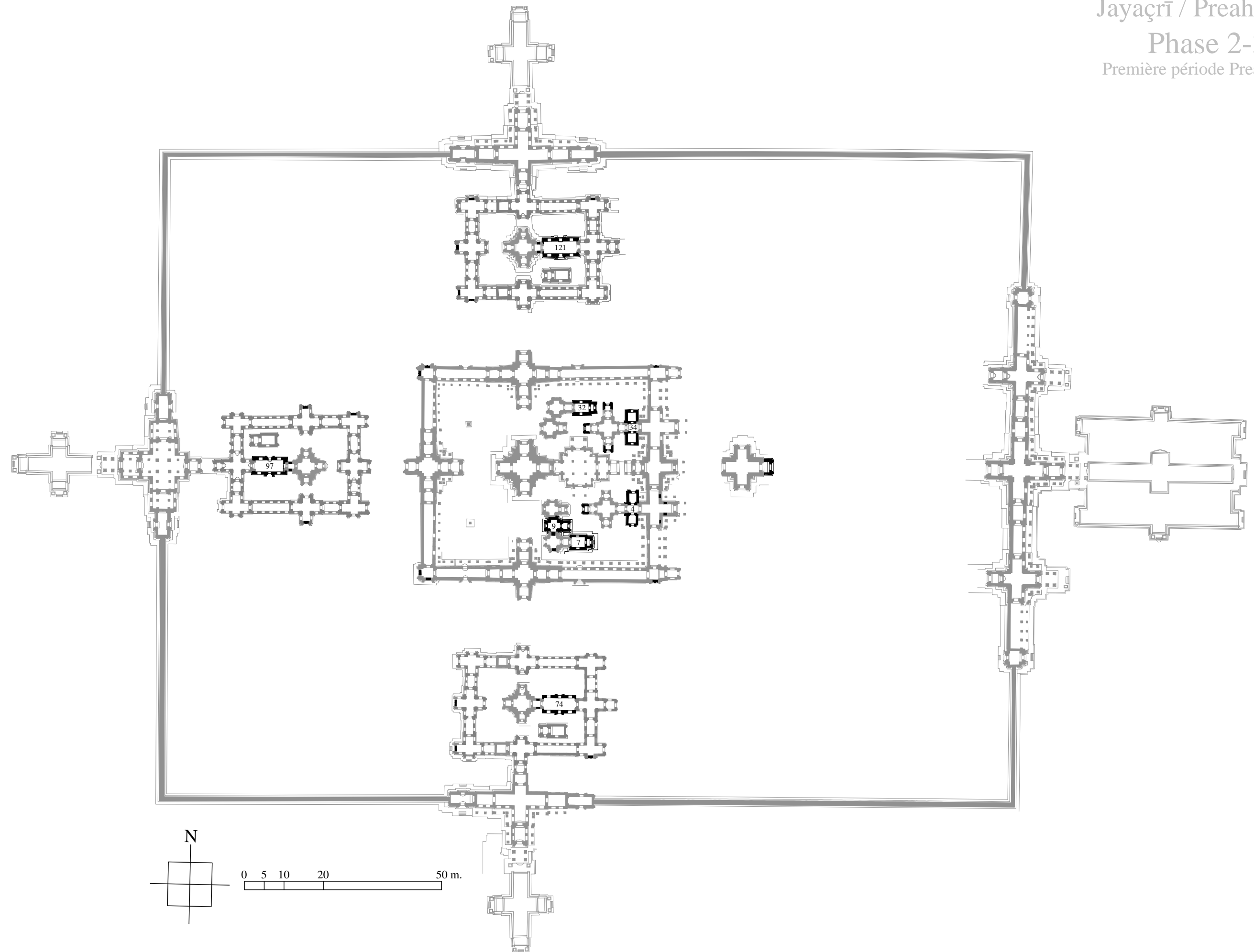


Fig. I-3-1-5.33 : Troisième état de la deuxième tranche des travaux de Jayaçrī (Preah Khan d'Angkor)

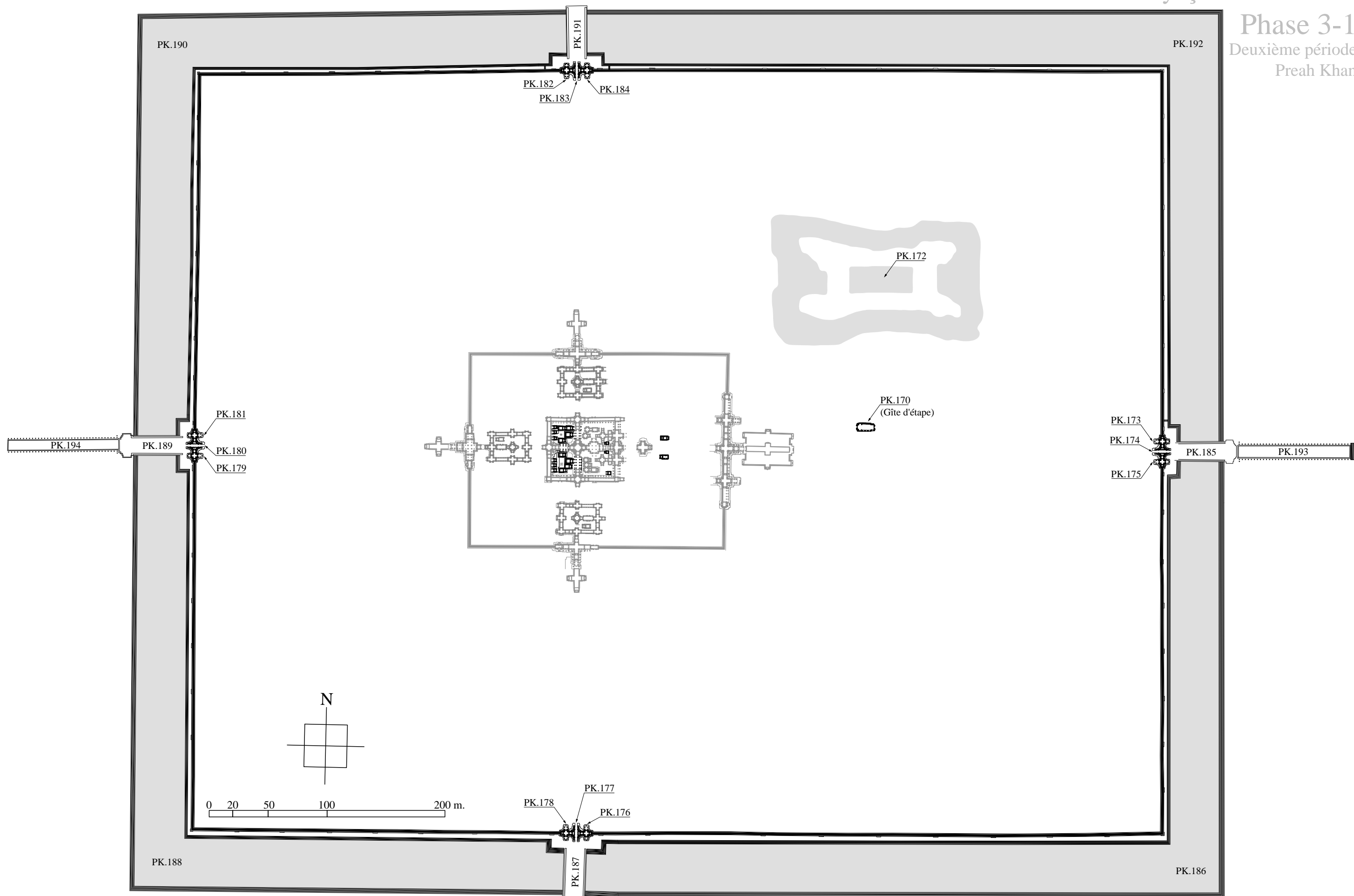


Fig. I-3-1-5.34 : Premier état de la troisième tranche des travaux de Jayaçrī (Preah Khan d'Angkor)
— Création du domaine —

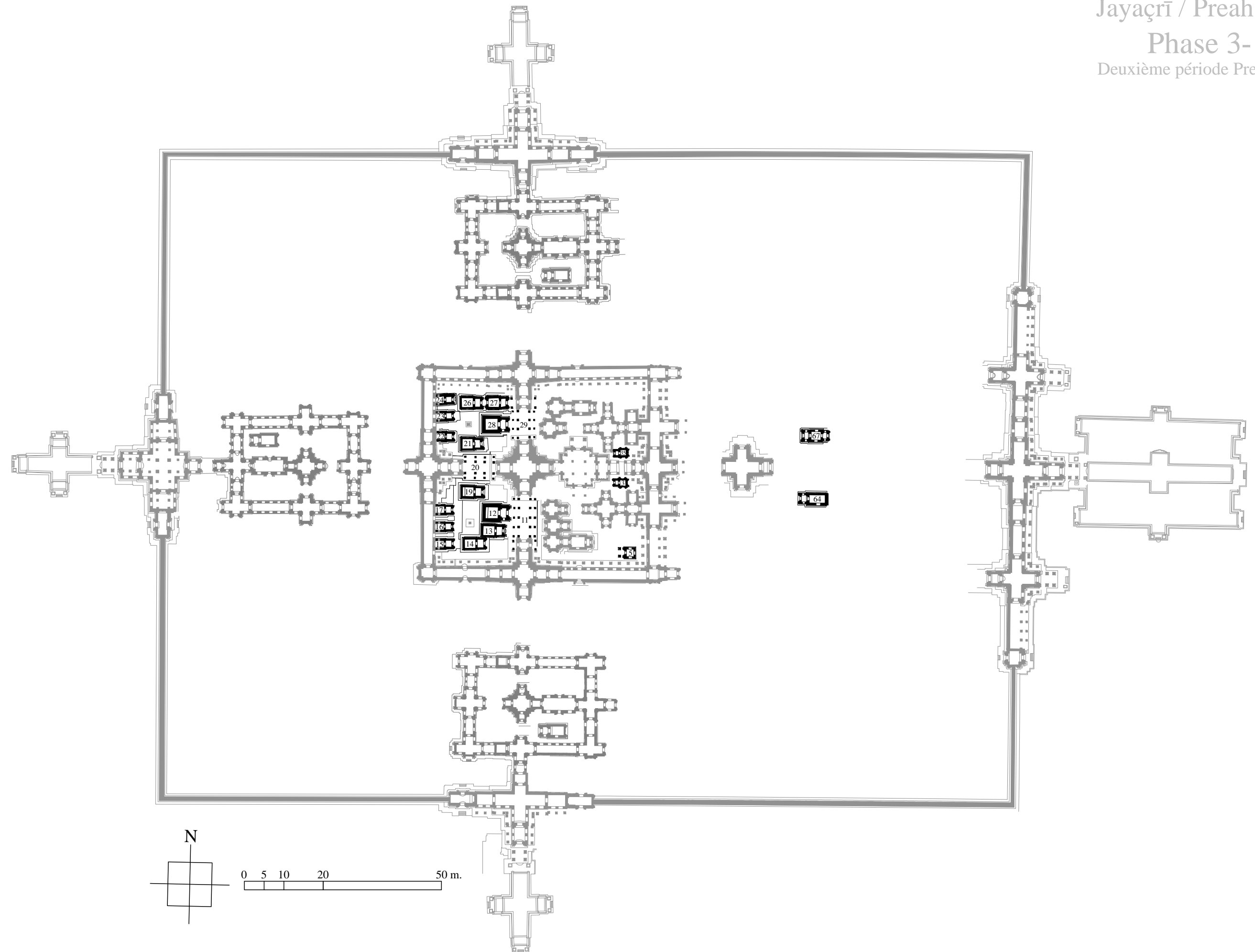


Fig. I-3-1-5.35 : Premier état de la troisième tranche des travaux de Jayaçrī (Preah Khan d'Angkor)
— Création du domaine —

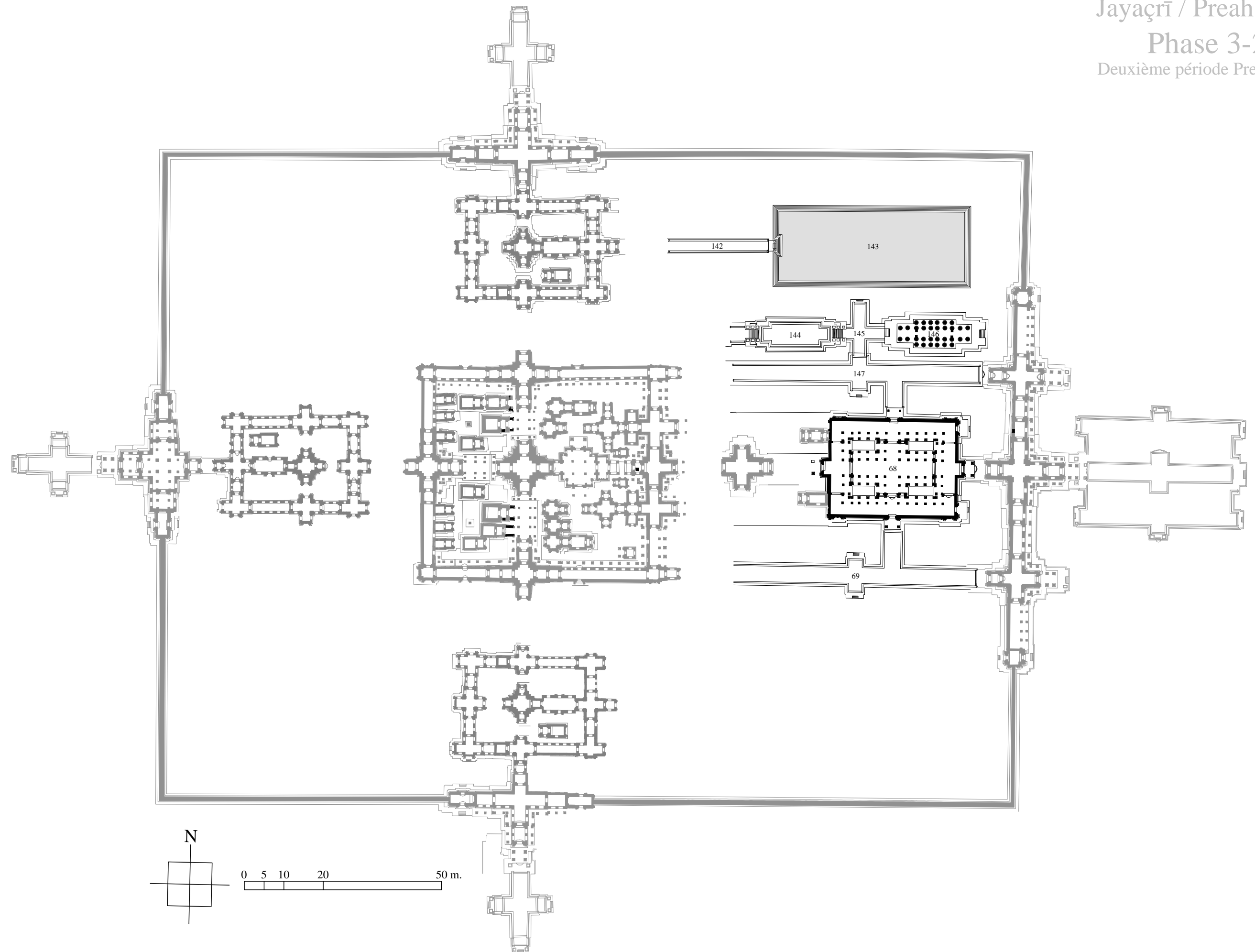


Fig. I-3-1-5.36 : Deuxième état de la troisième tranche des travaux de Jayaçrī (Preah Khan d'Angkor)

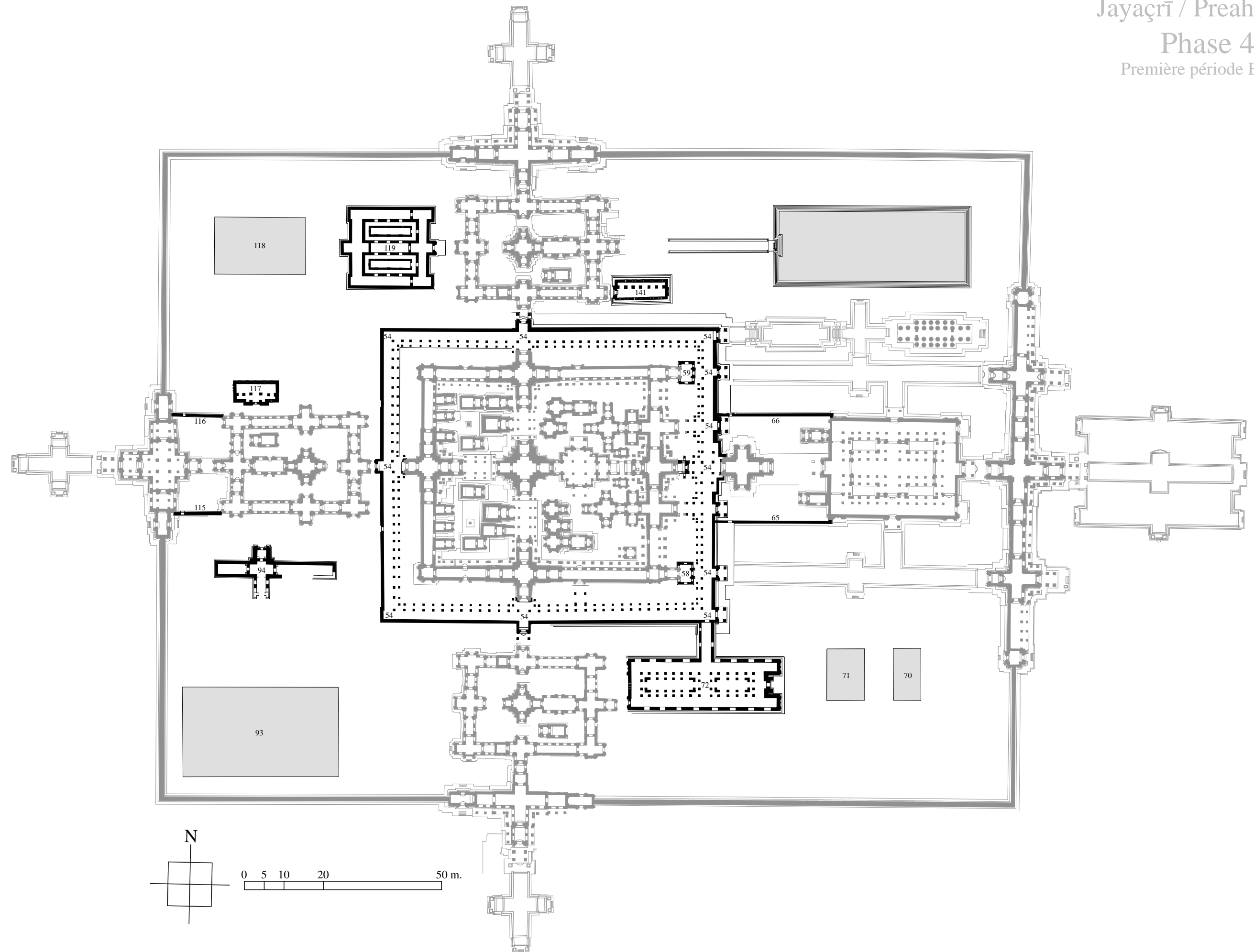


Fig. I-3-1-5.37 : Quatrième tranche des travaux de Jayaçrī (Preah Khan d'Angkor)

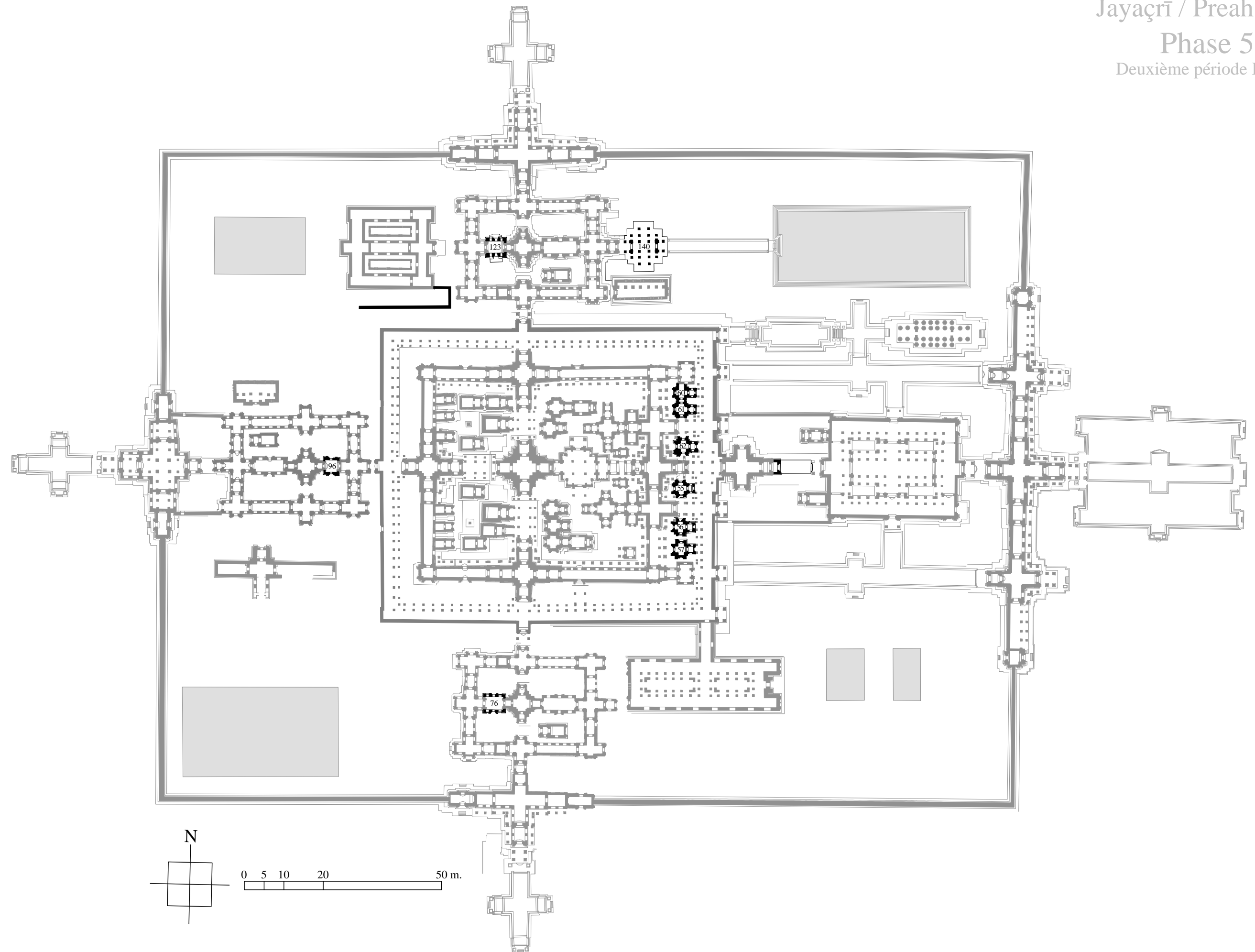


Fig. I-3-1-5.38 : Cinquième tranche des travaux de Jayaçrī (Preah Khan d'Angkor)

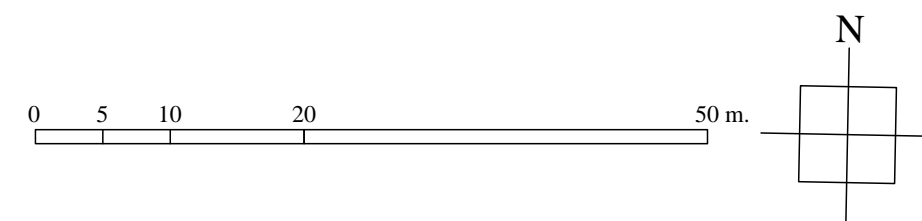
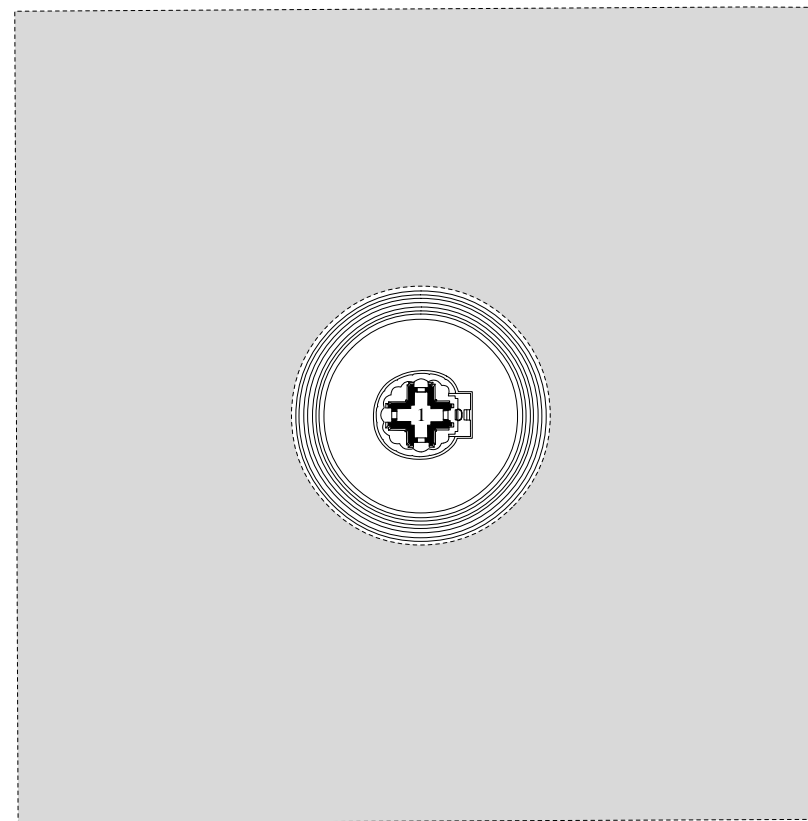


Fig. I-3-1-5.39 : Première tranche des travaux de Rājyaçrī (Neak Pean)

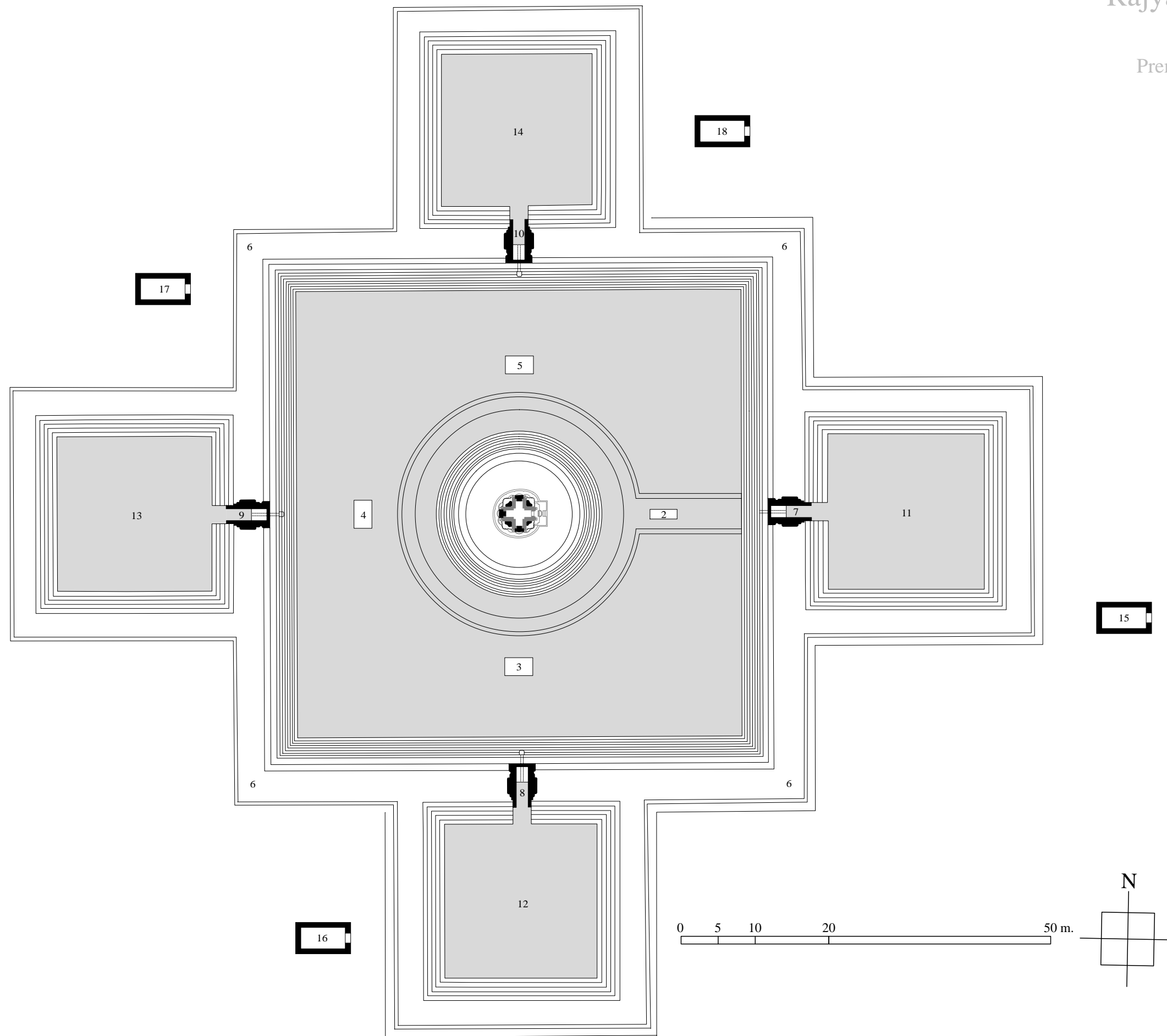


Fig. I-3-1-5.40 : Deuxième tranche des travaux de Rājyaçrī (Neak Pean)

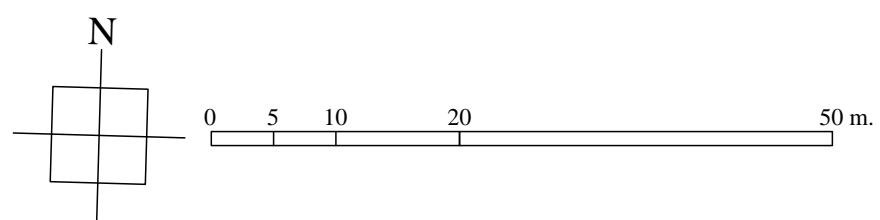


Fig. I-3-1-5.41 : Première tranche des travaux de Banteay Prei

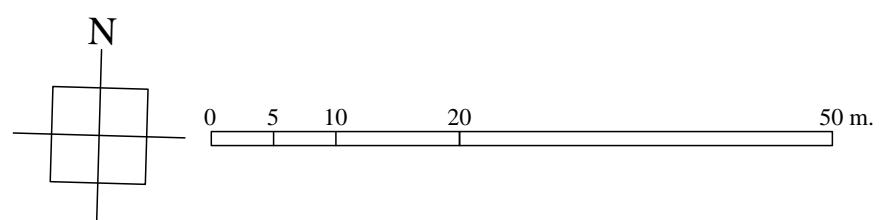
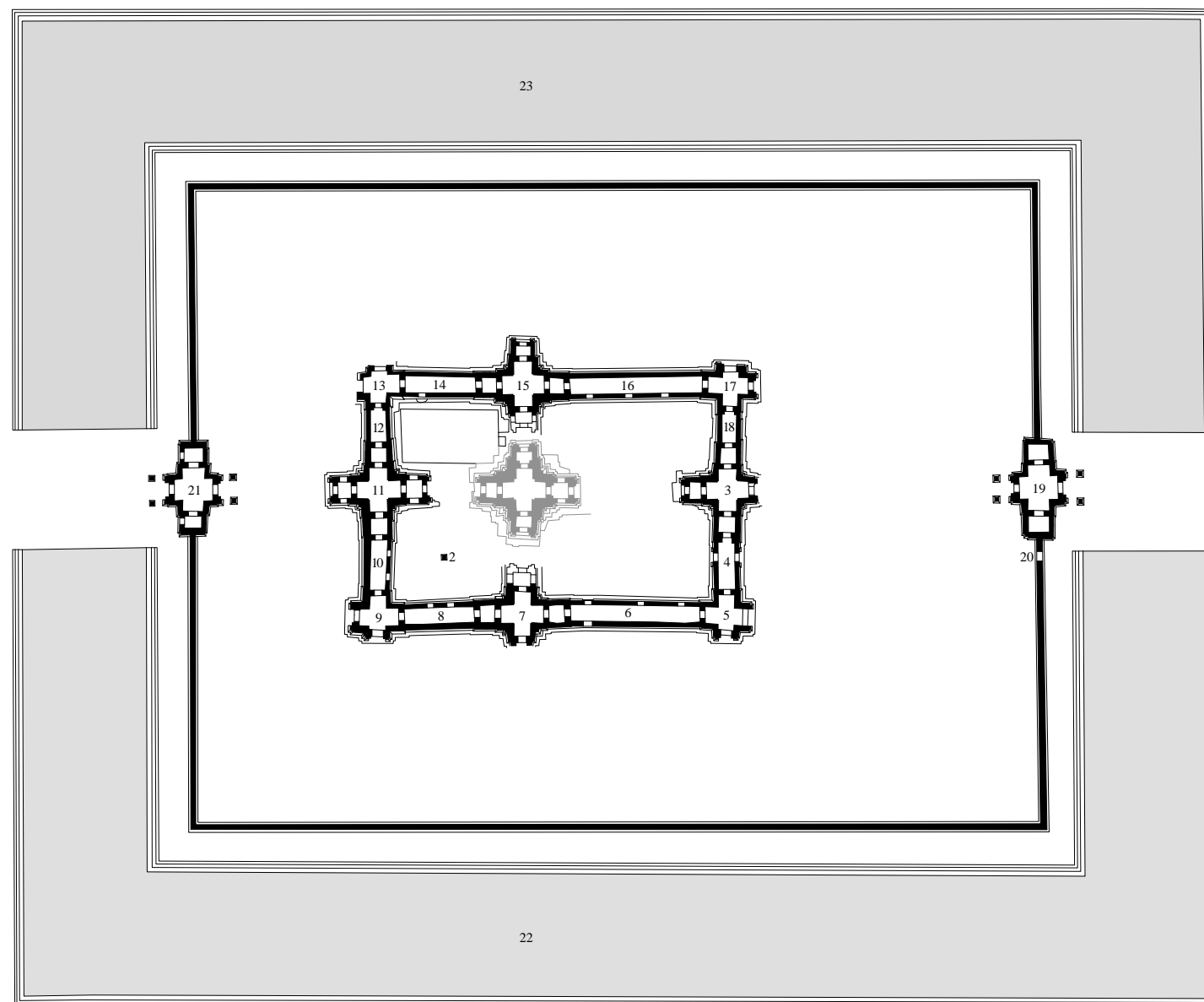


Fig. I-3-1-5.42 : Deuxième tranche des travaux de Banteay Prei

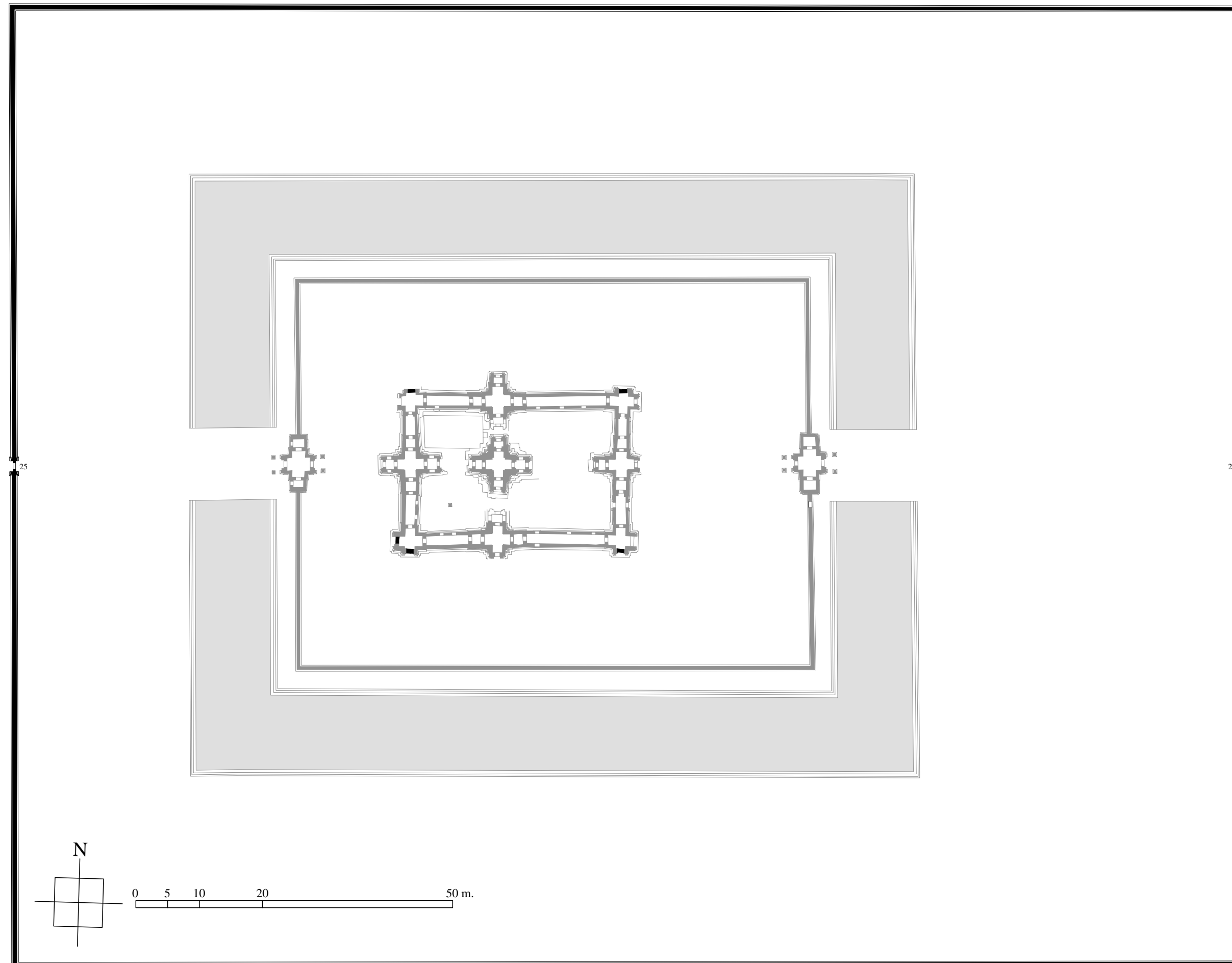


Fig. I-3-1-5.43 : Troisième tranche des travaux de Banteay Prei
— Création du domaine —

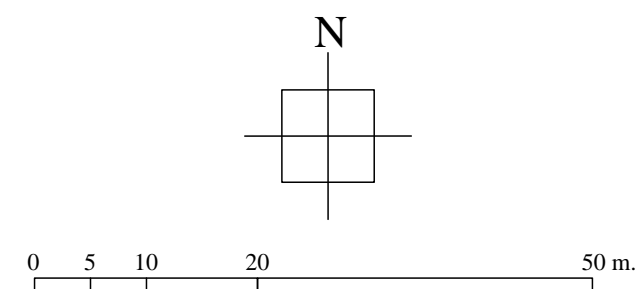
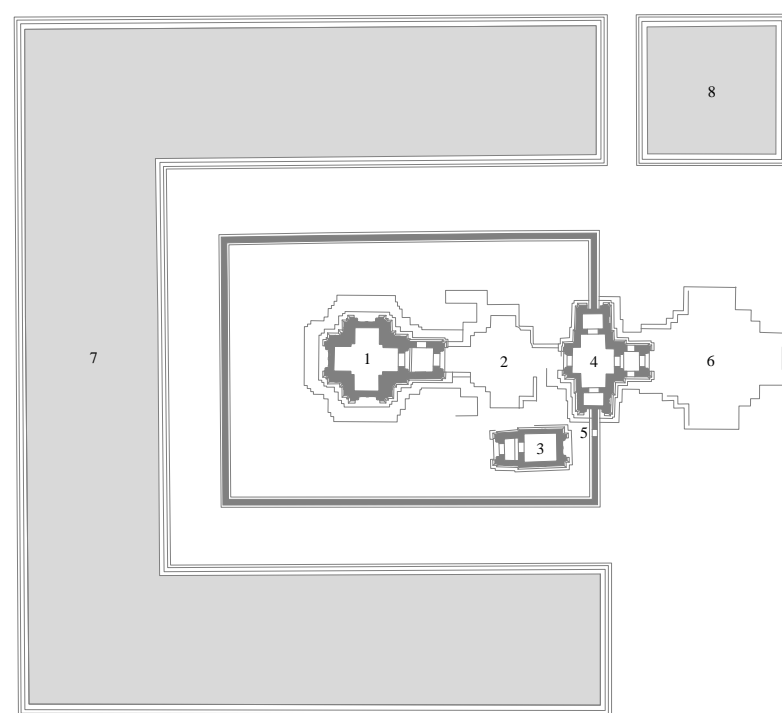


Fig. I-3-1-5.44 : Première tranche des travaux de Krol Kô

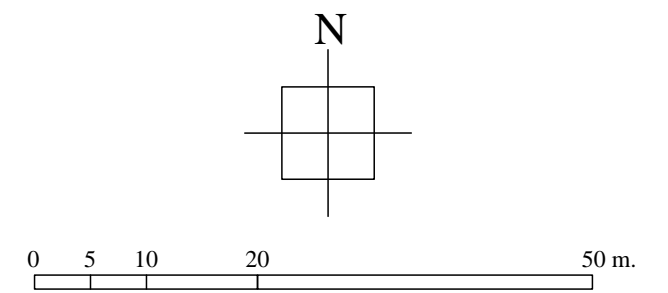
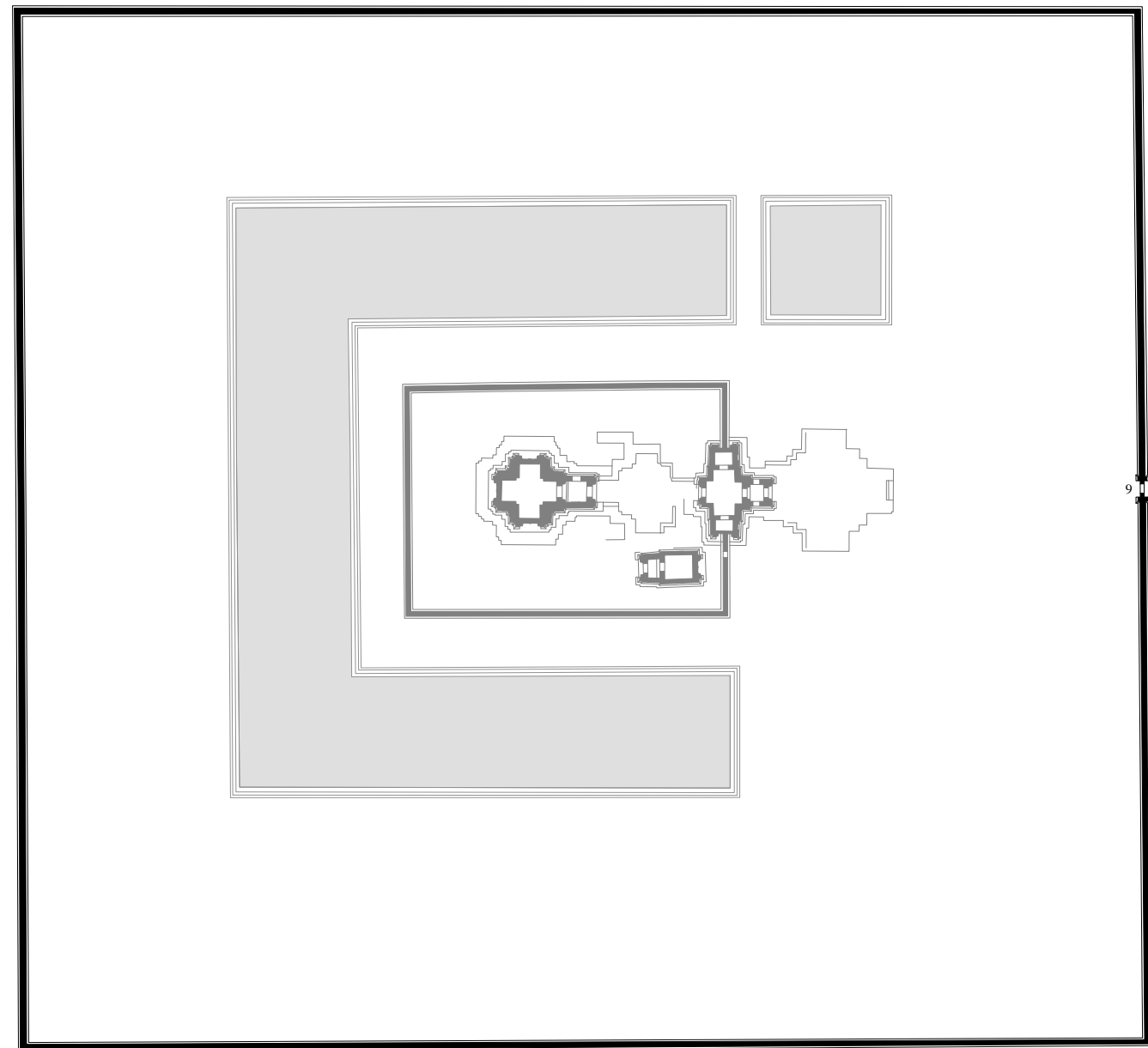


Fig. I-3-1-5.45 : Deuxième tranche des travaux de Krol Kô
— Création du domaine —

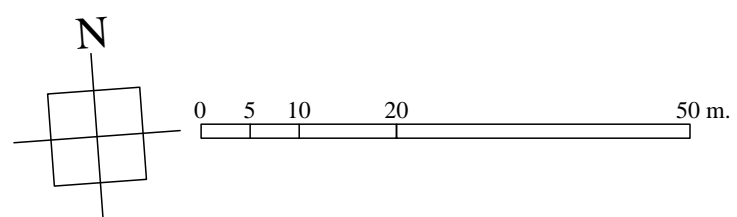
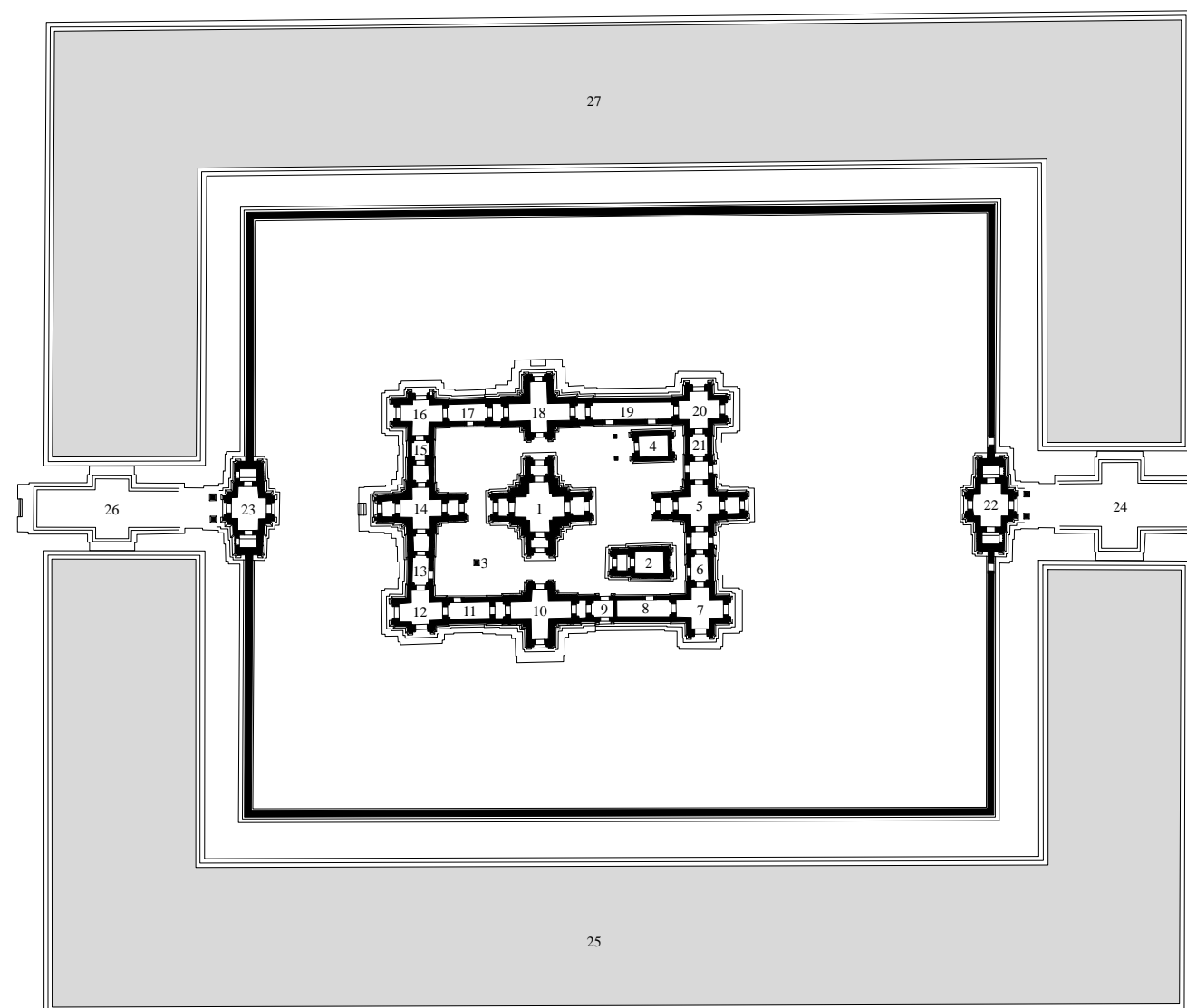


Fig. I-3-1-5.46 : Première tranche des travaux de Ta Som

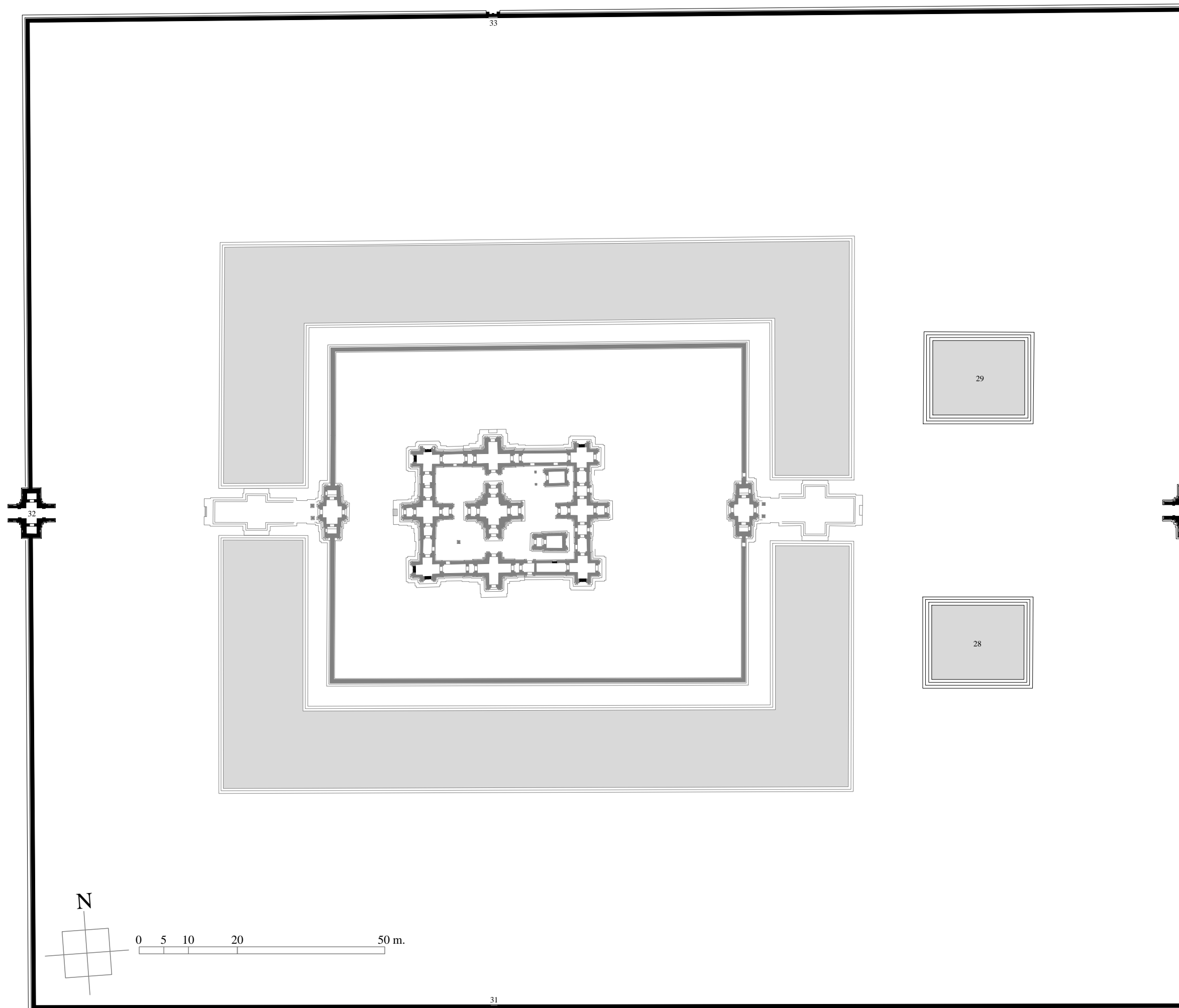


Fig. I-3-1-5.46 : Deuxième tranche des travaux de Ta Som
— Création du domaine —

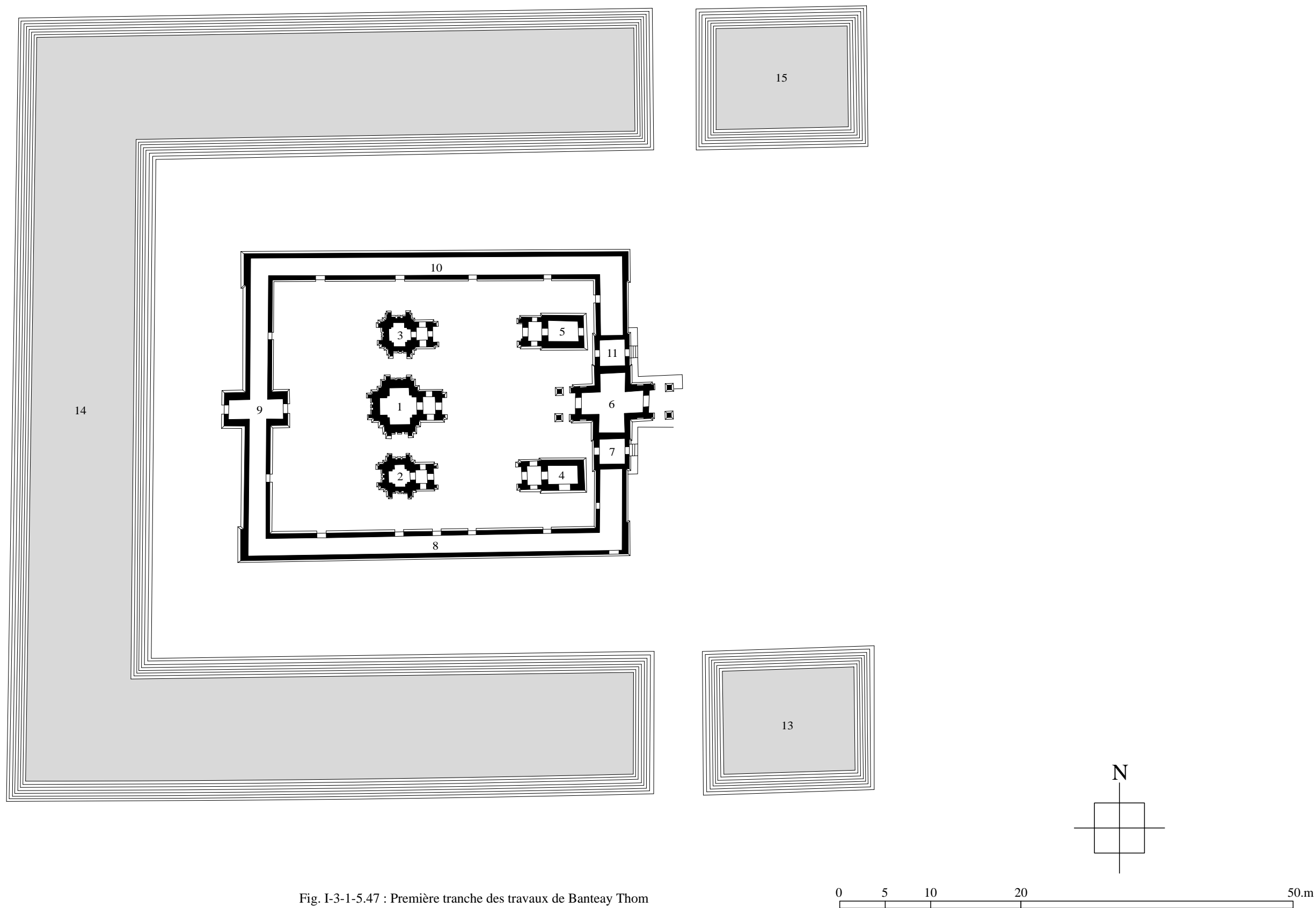


Fig. I-3-1-5.47 : Première tranche des travaux de Banteay Thom

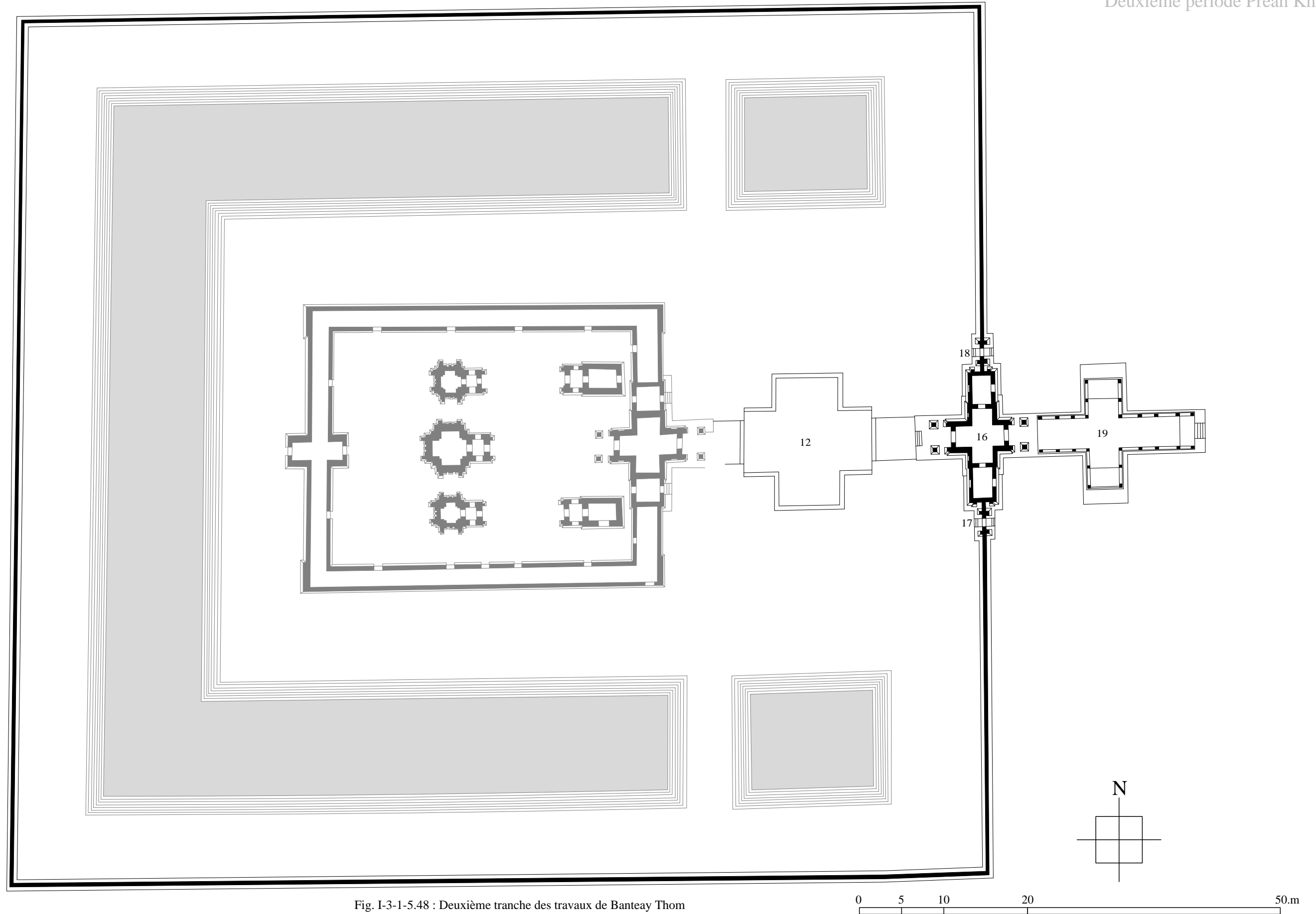


Fig. I-3-1-5.48 : Deuxième tranche des travaux de Banteay Thom

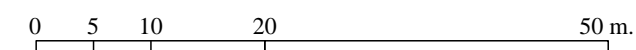
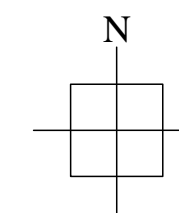
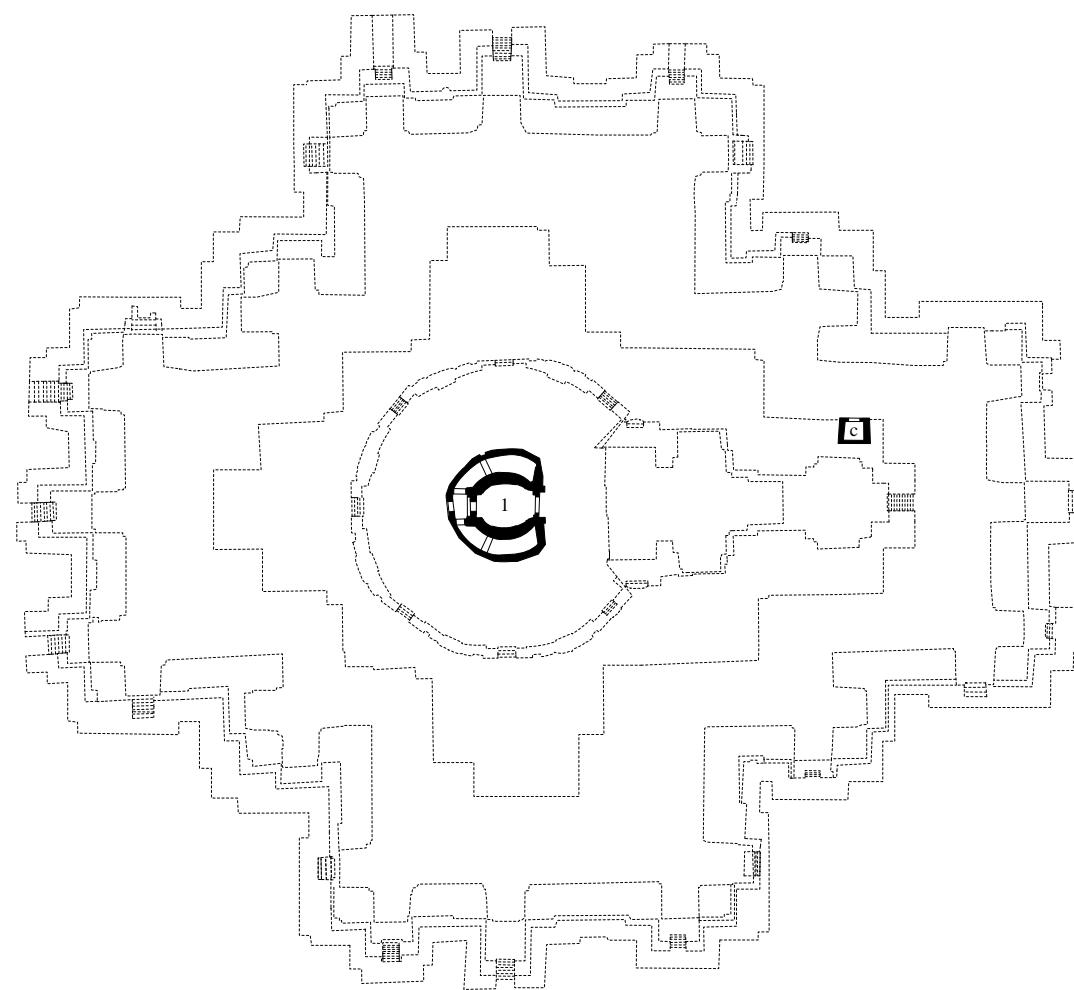
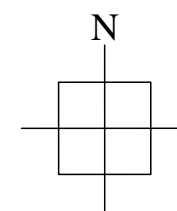
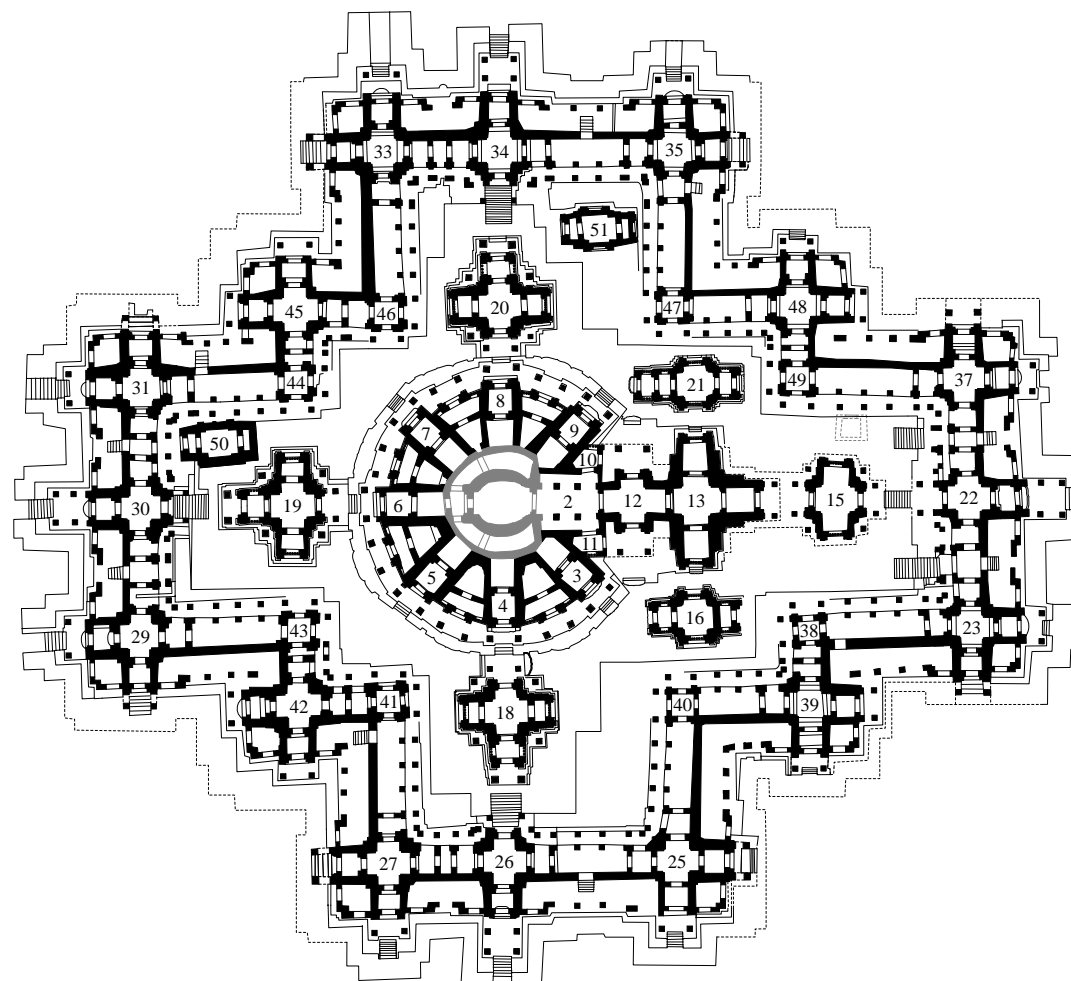


Fig. I-3-1-5.49 : Premier état de la première tranche des travaux du Bayon

Bayon
Phase 1-2
Deuxième période
Preah Khan



0 5 10 20 50 m.

Fig. I-3-1-5.50 : Deuxième état de la première tranche des travaux du Bayon

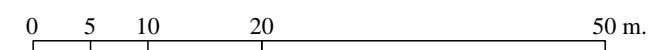
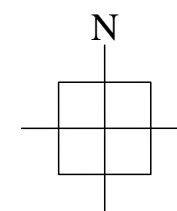
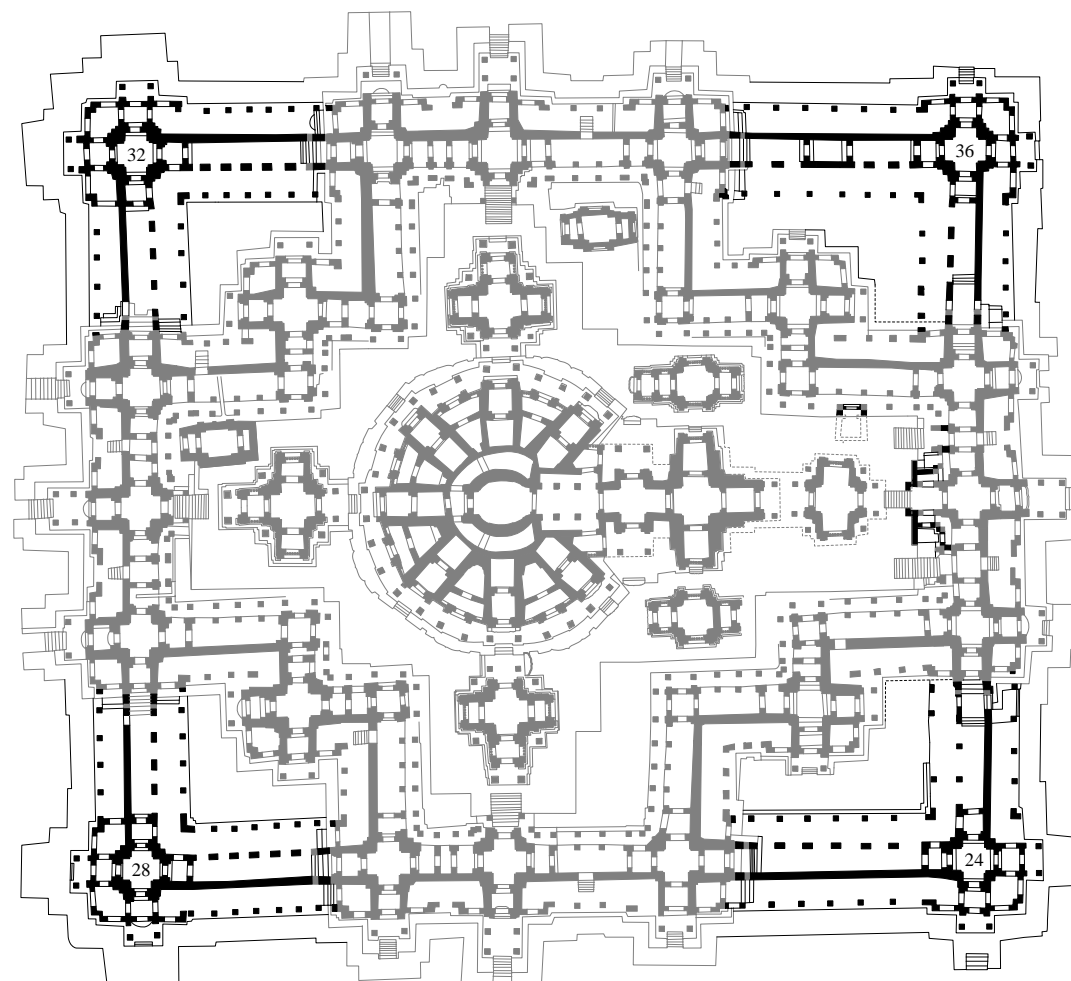


Fig. I-3-1-5.51 : Deuxième tranche des travaux du Bayon

Bayon
Phase 3-2
Deuxième période
Bayon

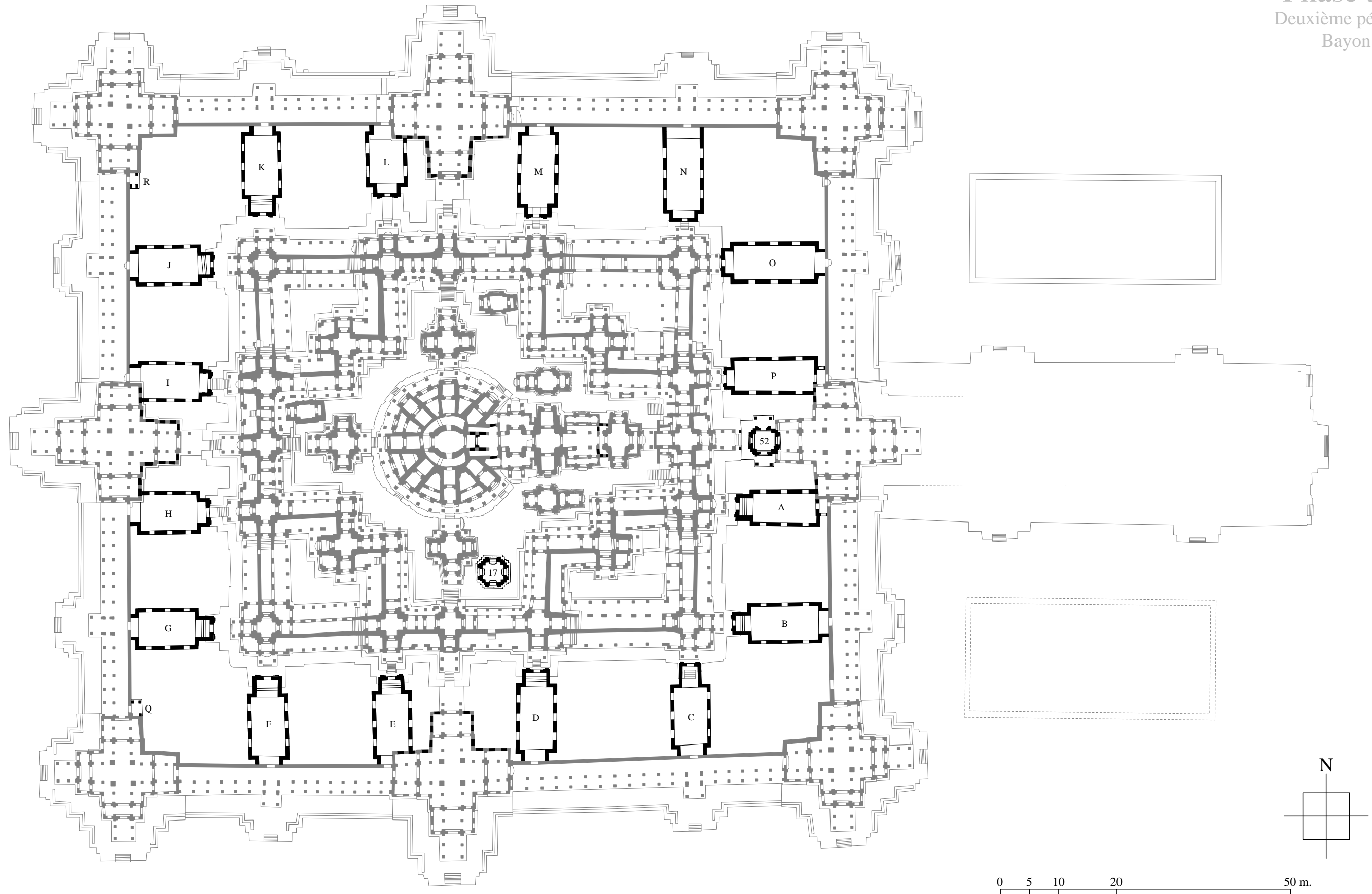


Fig. I-3-1-5.53 : Deuxième état de la troisième tranche des travaux du Bayon

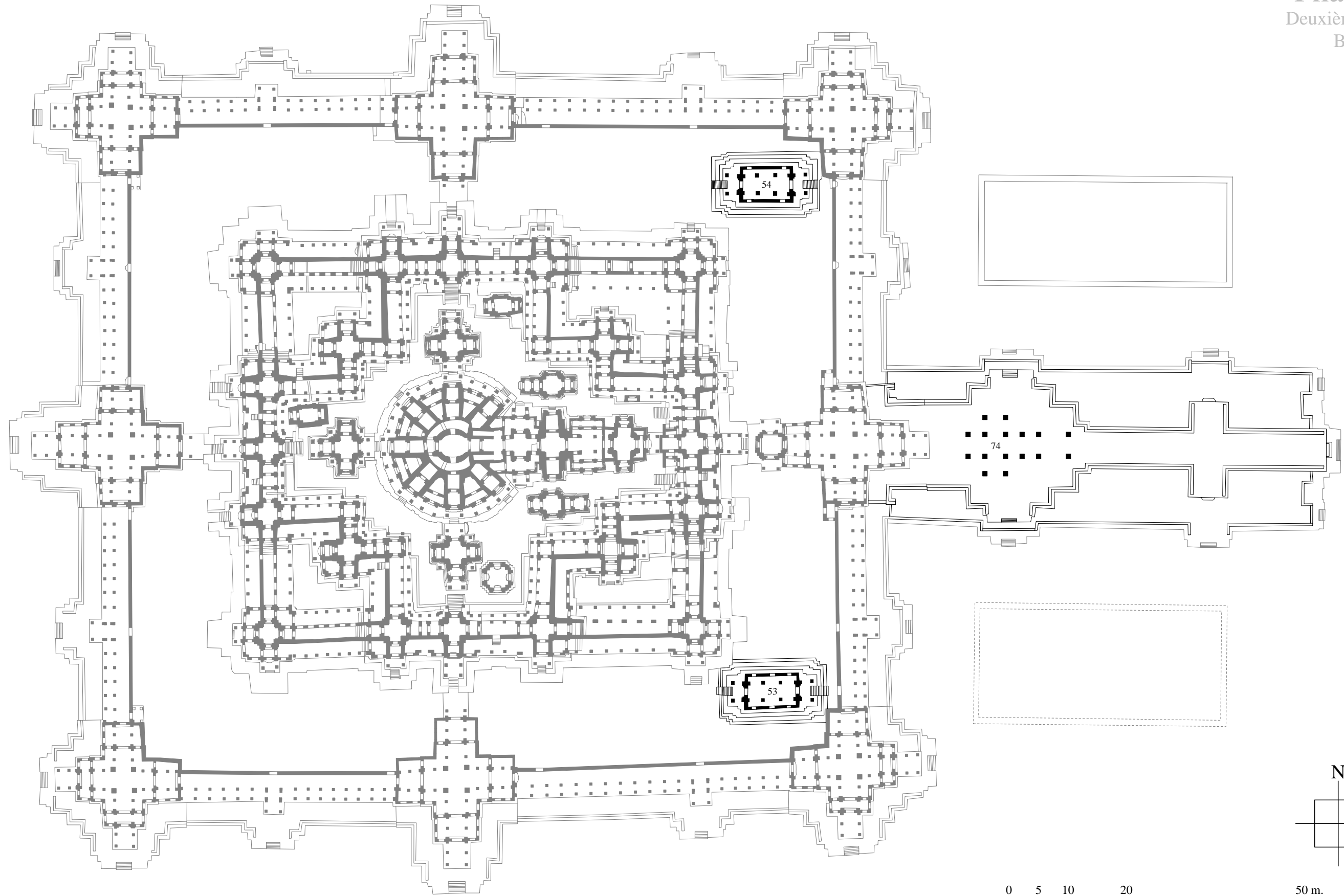


Fig. I-3-1-5.54 : Troisième état de la troisième tranche des travaux du Bayon

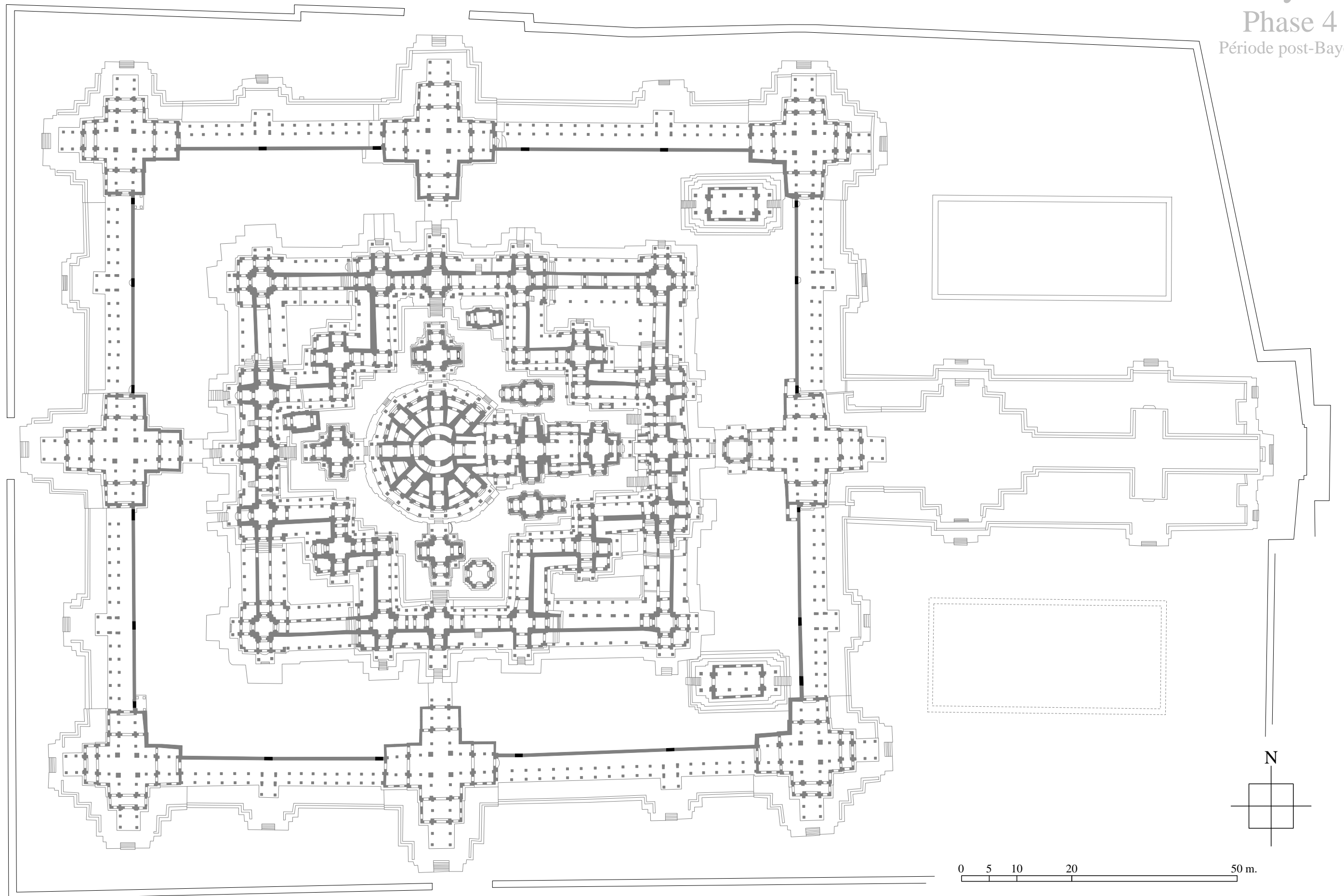


Fig. I-3-1-5.55 : Quatrième tranche des travaux du Bayon

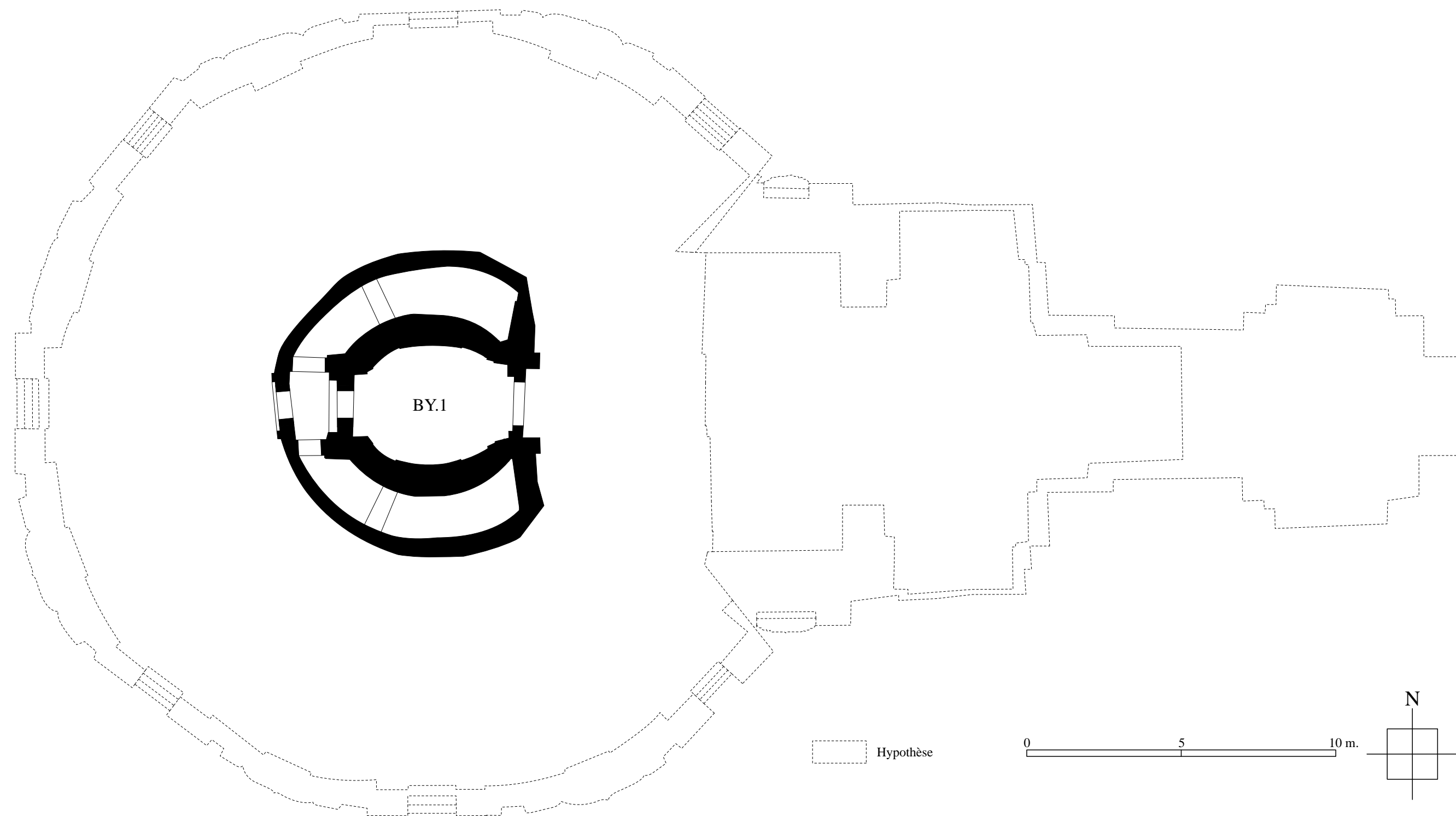


Fig. I-3-1-5.56 : Restitution de la première phase de chantier du massif central du Bayon

Bayon
Phase 1-2
Deuxième période
Preah Khan
(Massif central)

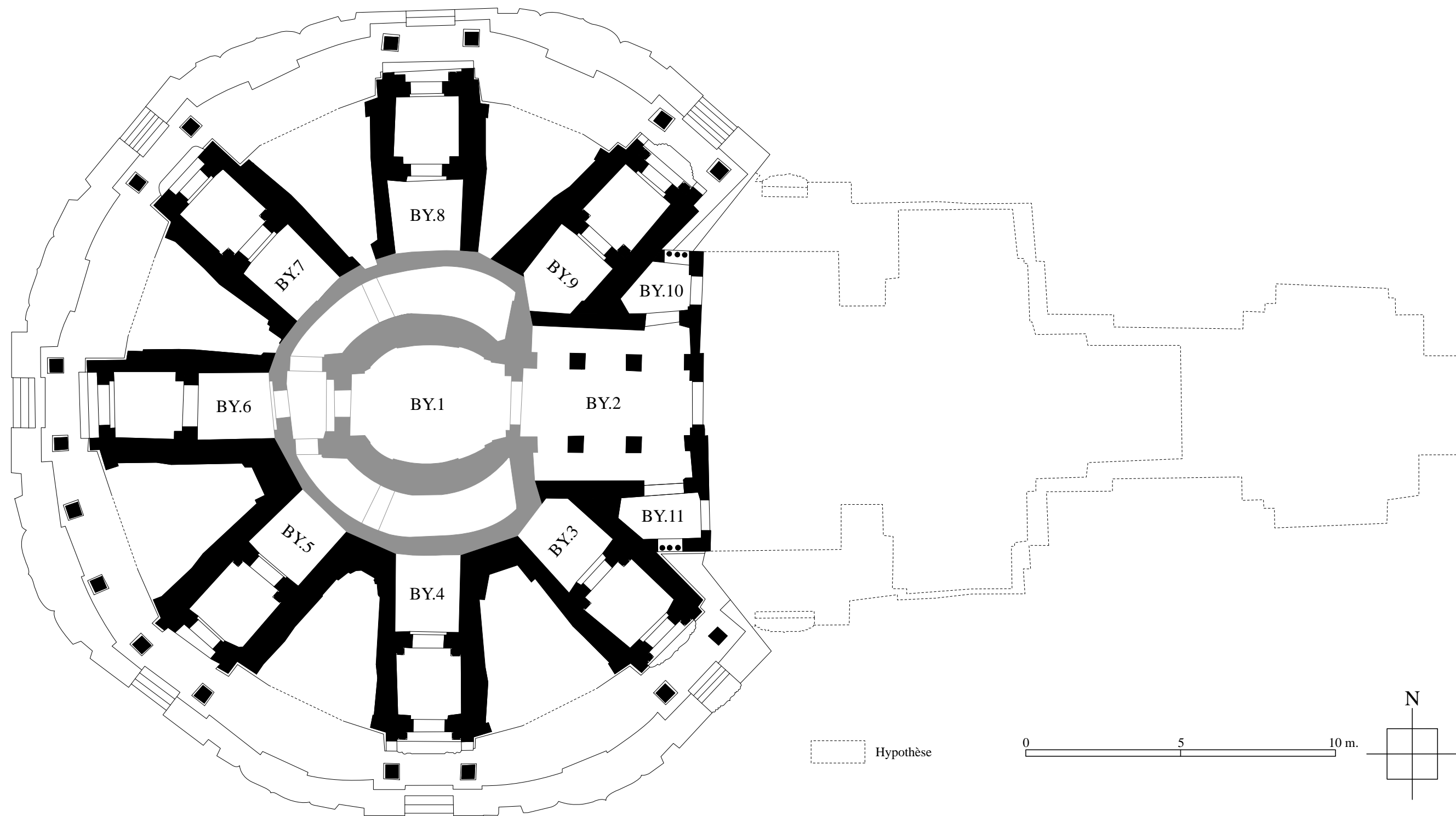


Fig. I-3-1-5.57 : Restitution de la deuxième phase de chantier du massif central du Bayon

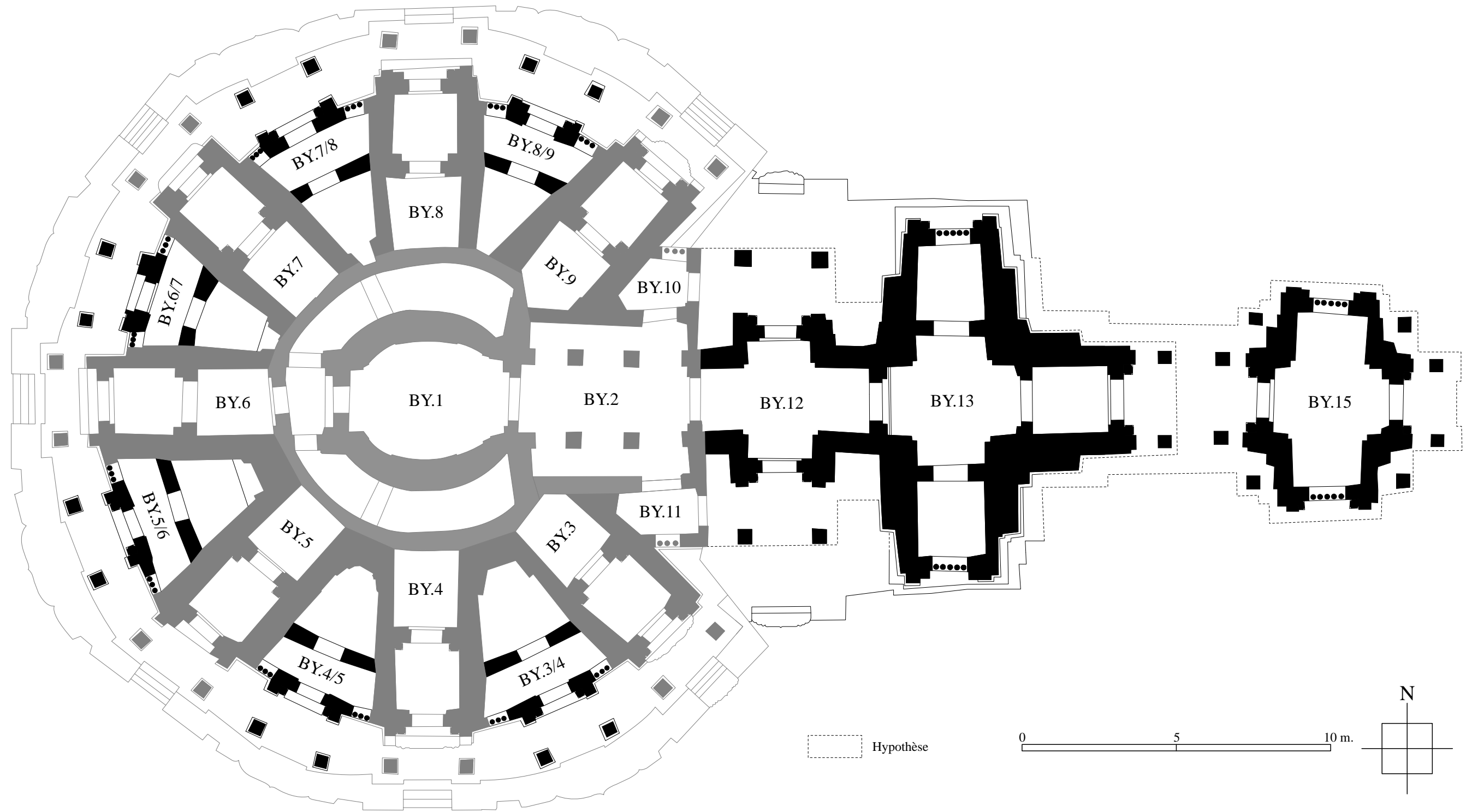


Fig. I-3-1-5.58 : Restitution de la troisième phase de chantier du massif central du Bayon

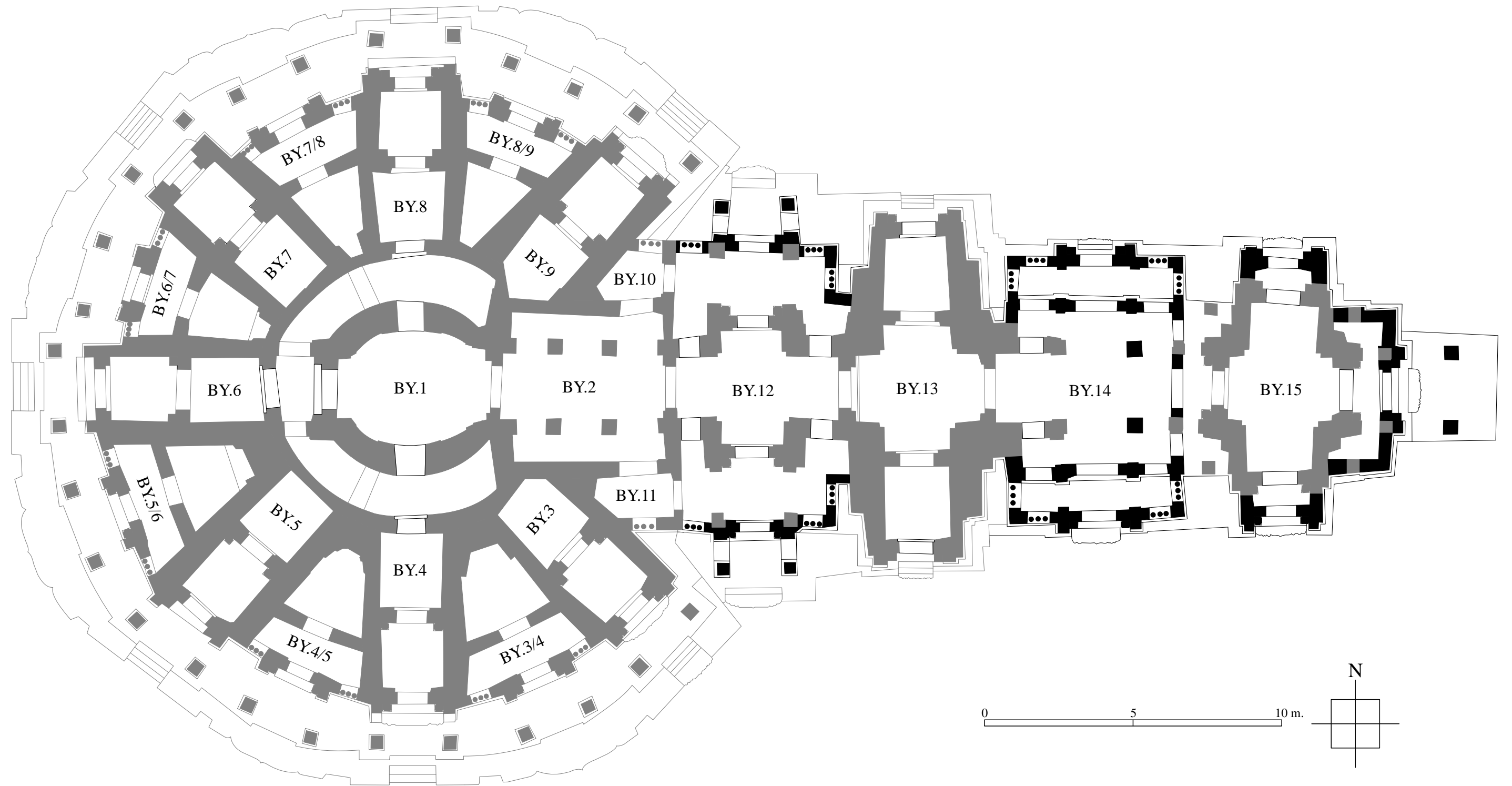


Fig. I-3-1-5.59 : Restitution de la première phase de la reprise du massif central du Bayon

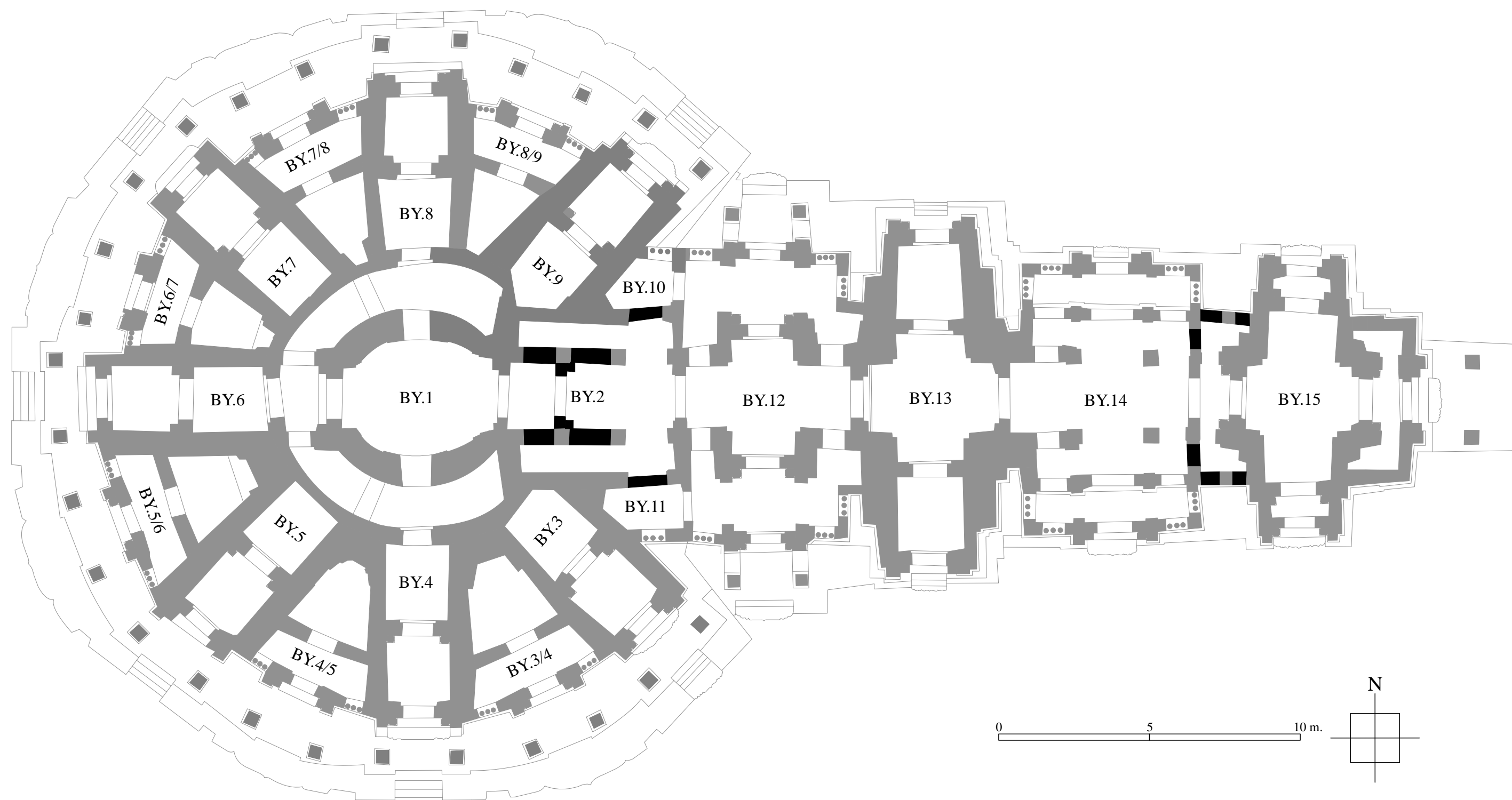


Fig. I-3-1-5.60 : Restitution de la deuxième phase de la reprise du massif central du Bayon

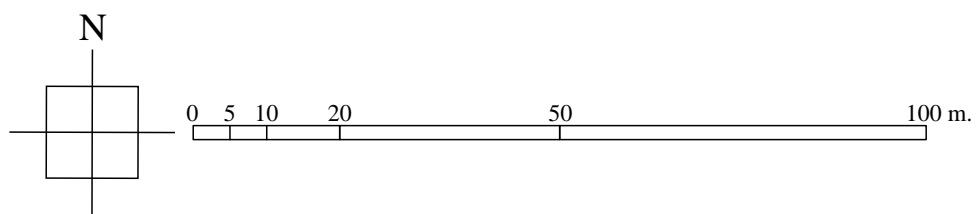
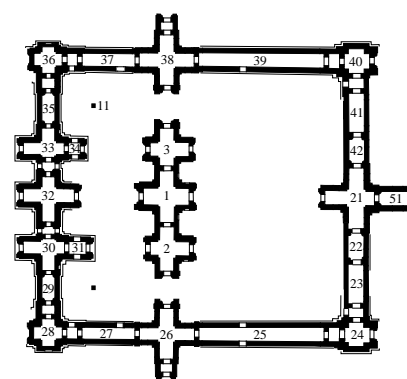


Fig. I-3-1-5.61 : Premier état de la première tranche des travaux de Banteay Chmar

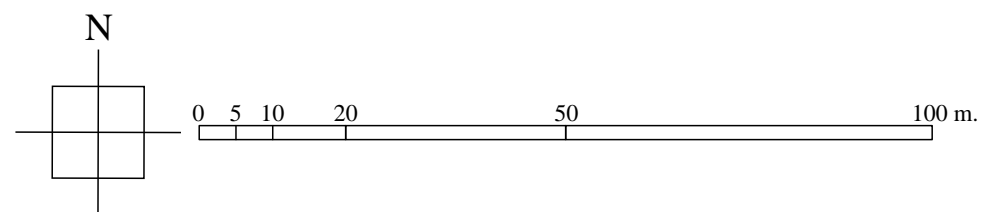
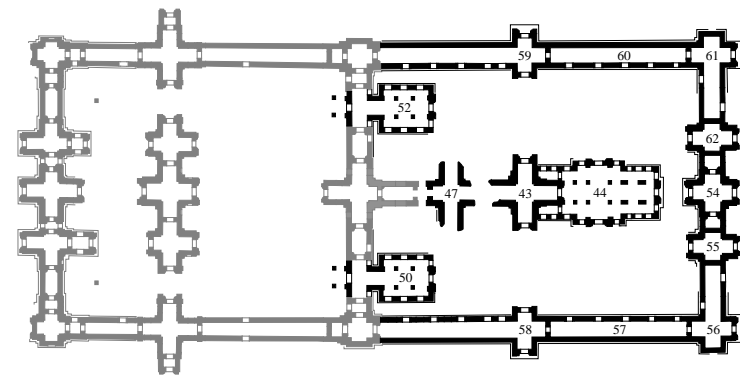


Fig. I-3-1-5.62 : Deuxième état de la première tranche des travaux de Banteay Chmar

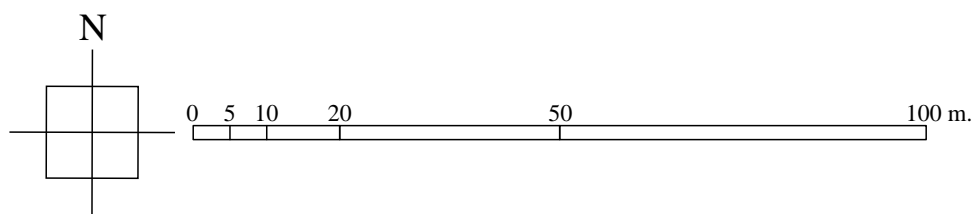
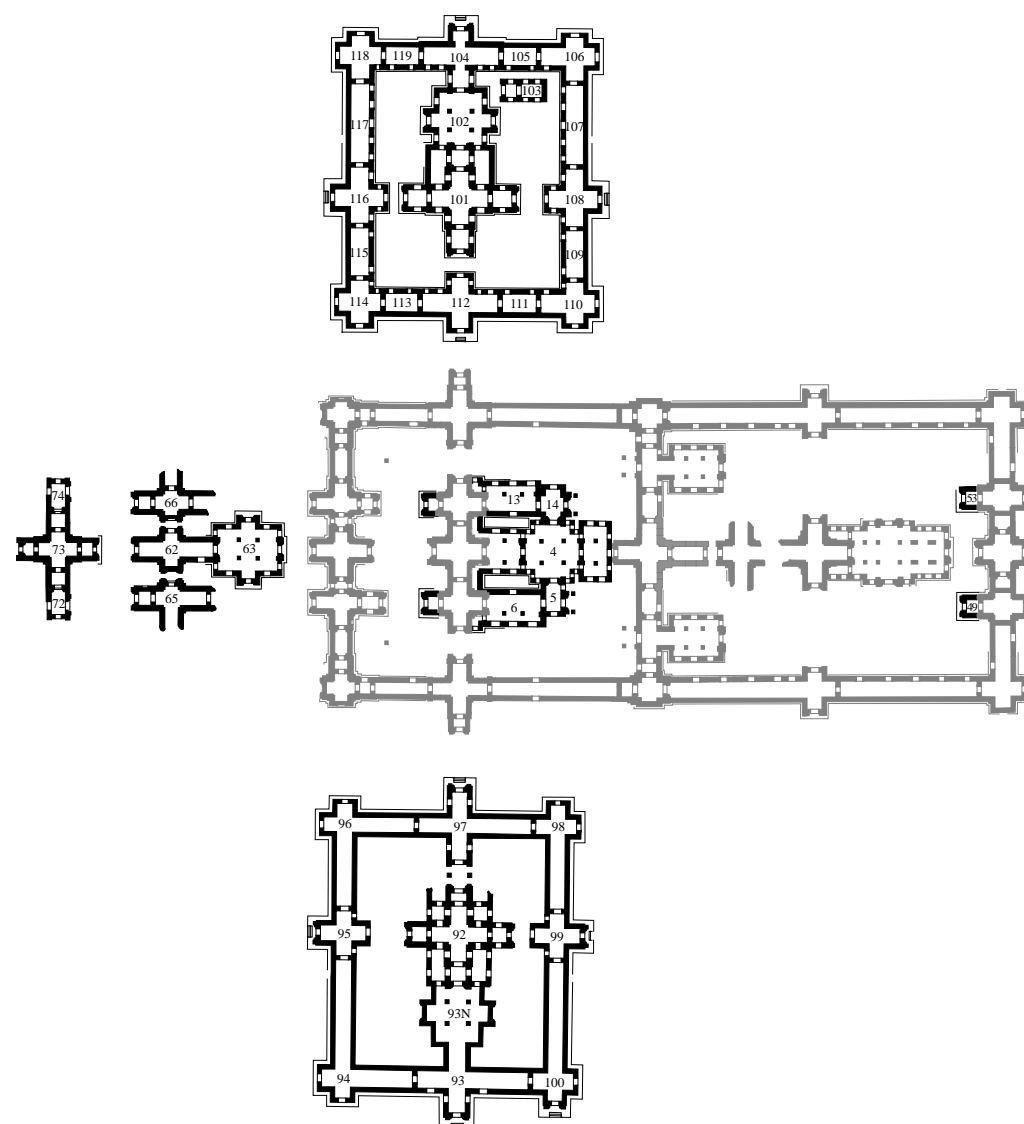


Fig. I-3-1-5.63 : Premier état de la deuxième tranche des travaux de Banteay Chmar

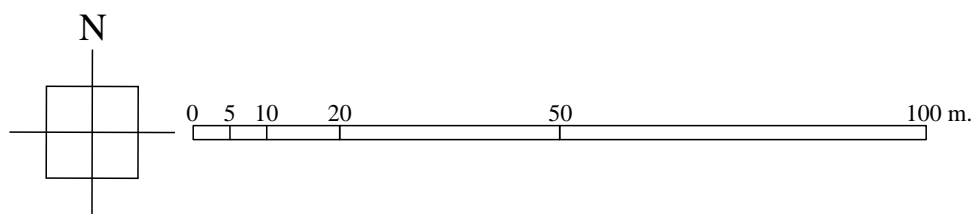
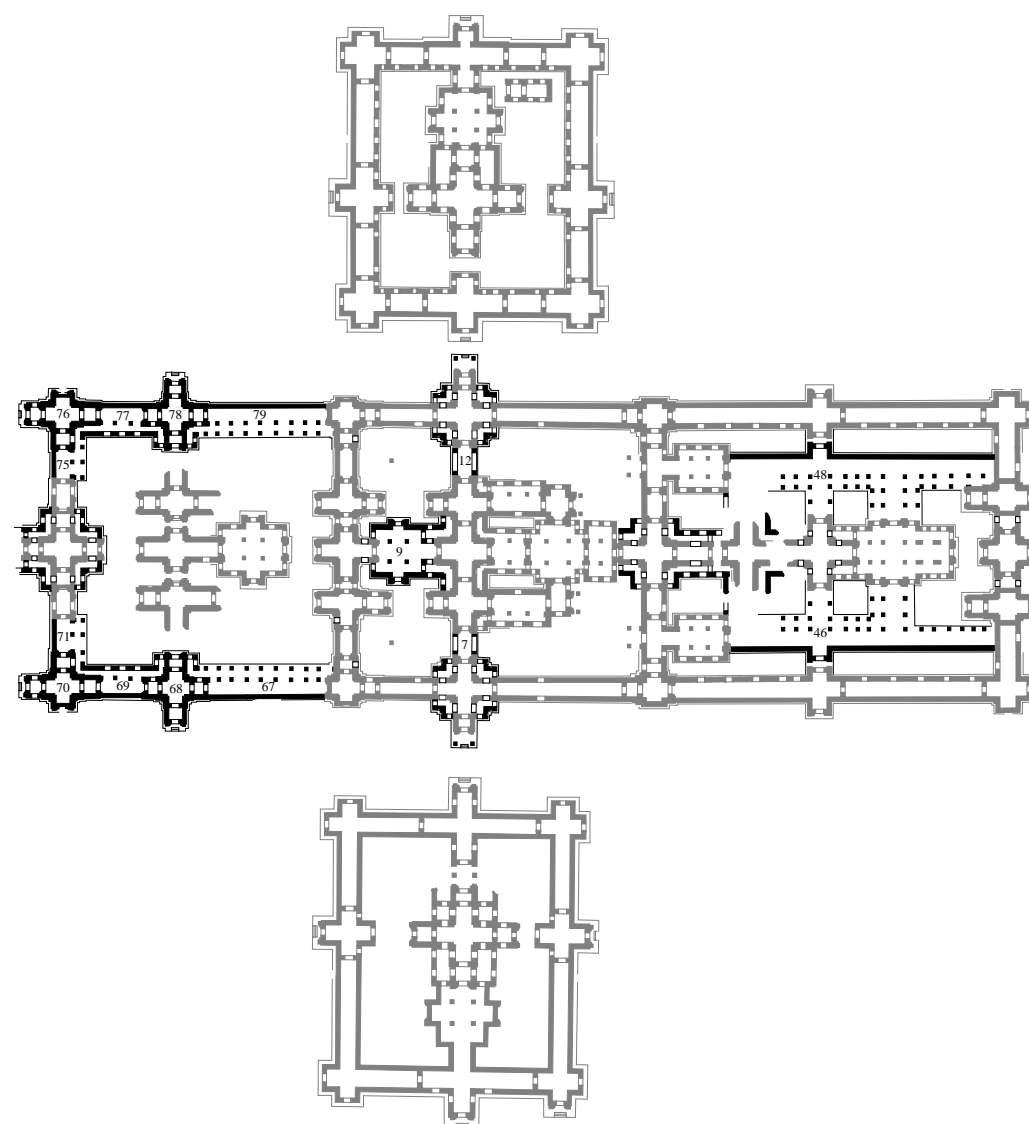


Fig. I-3-1-5.64 : Deuxième état de la deuxième tranche des travaux de Banteay Chmar

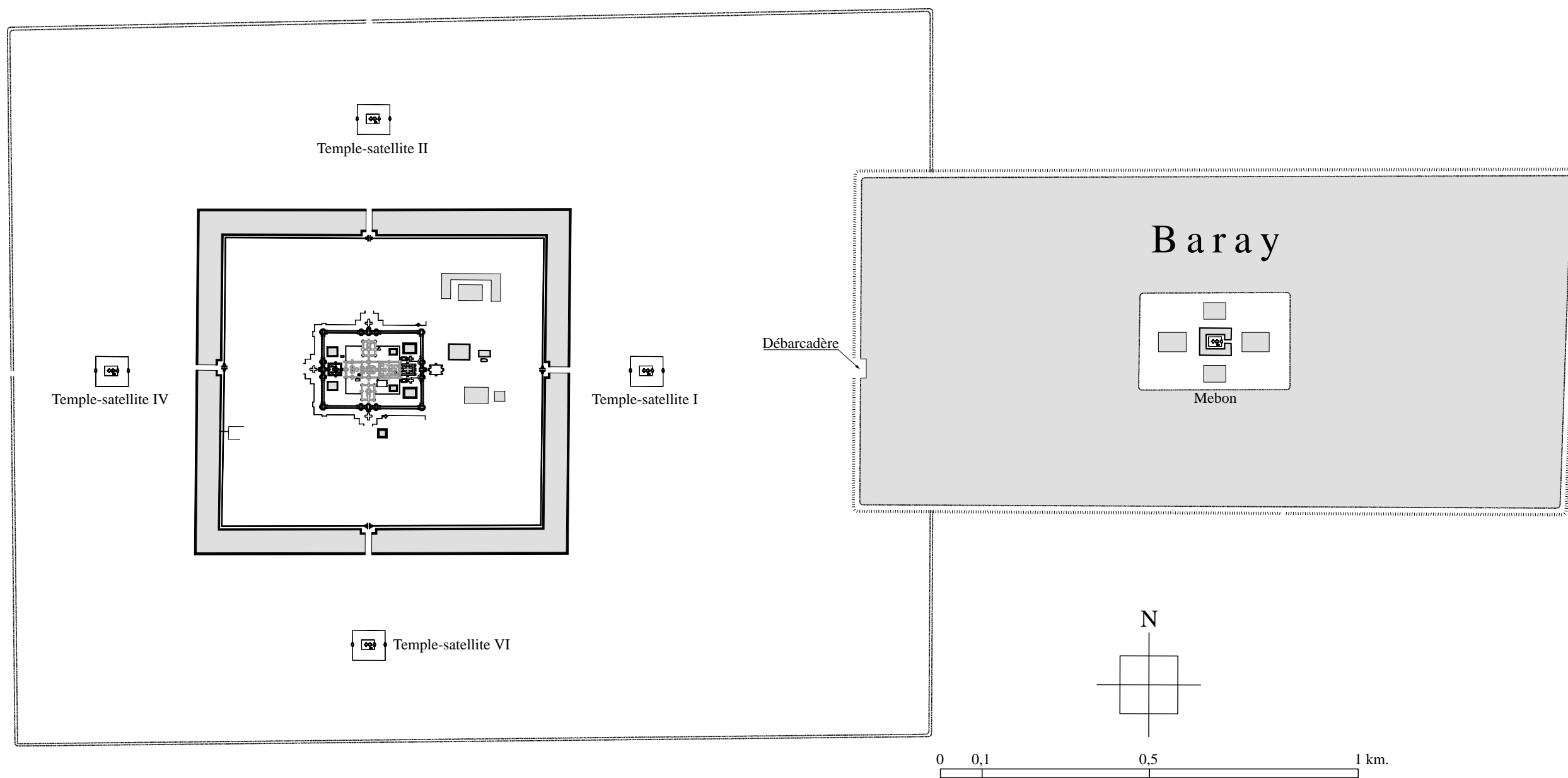


Fig. I-3-1-5.65 : Troisième tranche des travaux de Banteay Chmar
— Création de la première génération de temples-satellites, du mebon et du domaine —

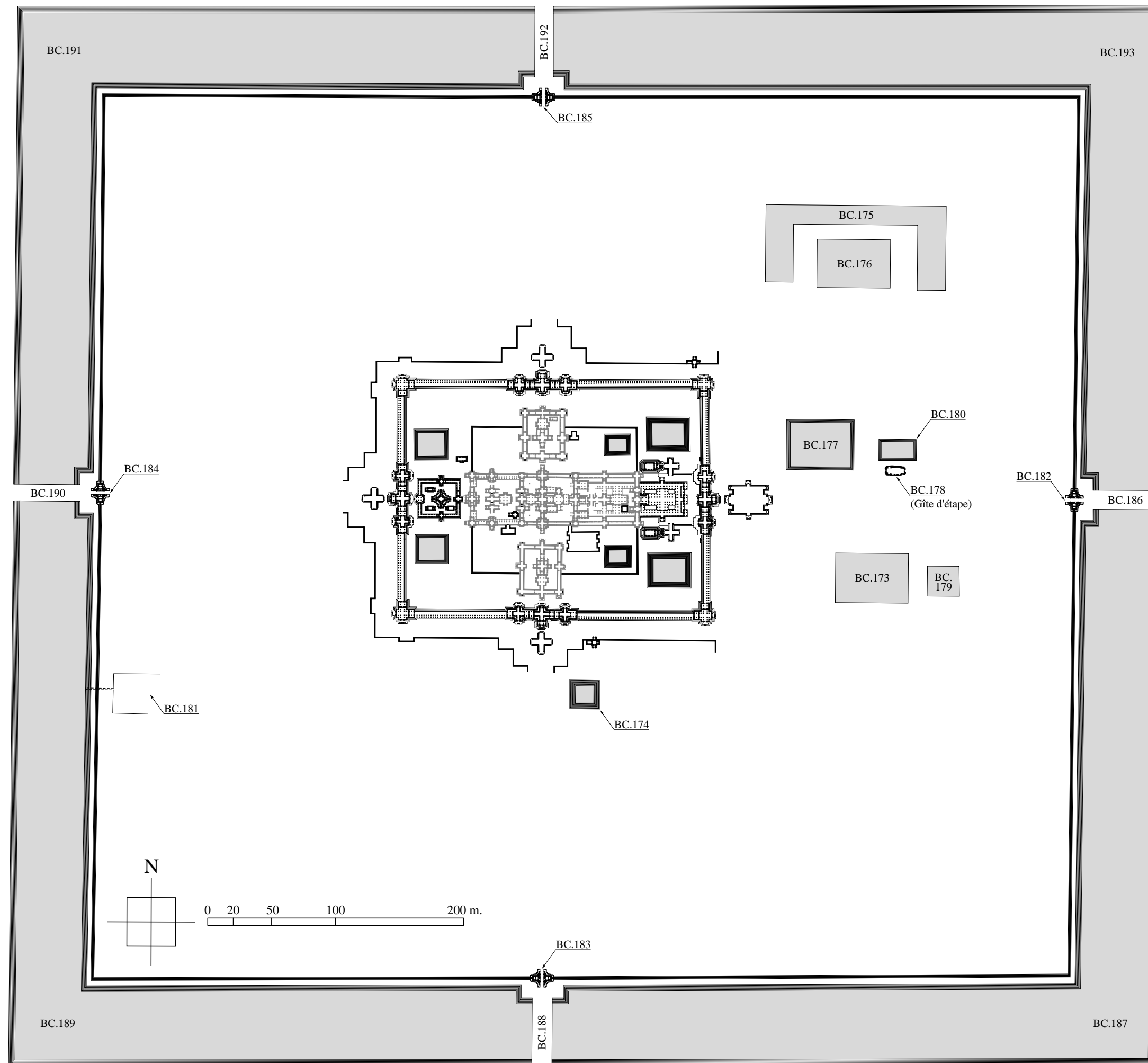


Fig. I-3-1-5.66 : Troisième tranche des travaux de Banteay Chmar
— Création de la première génération de temples-satellites, du mebon et du domaine —

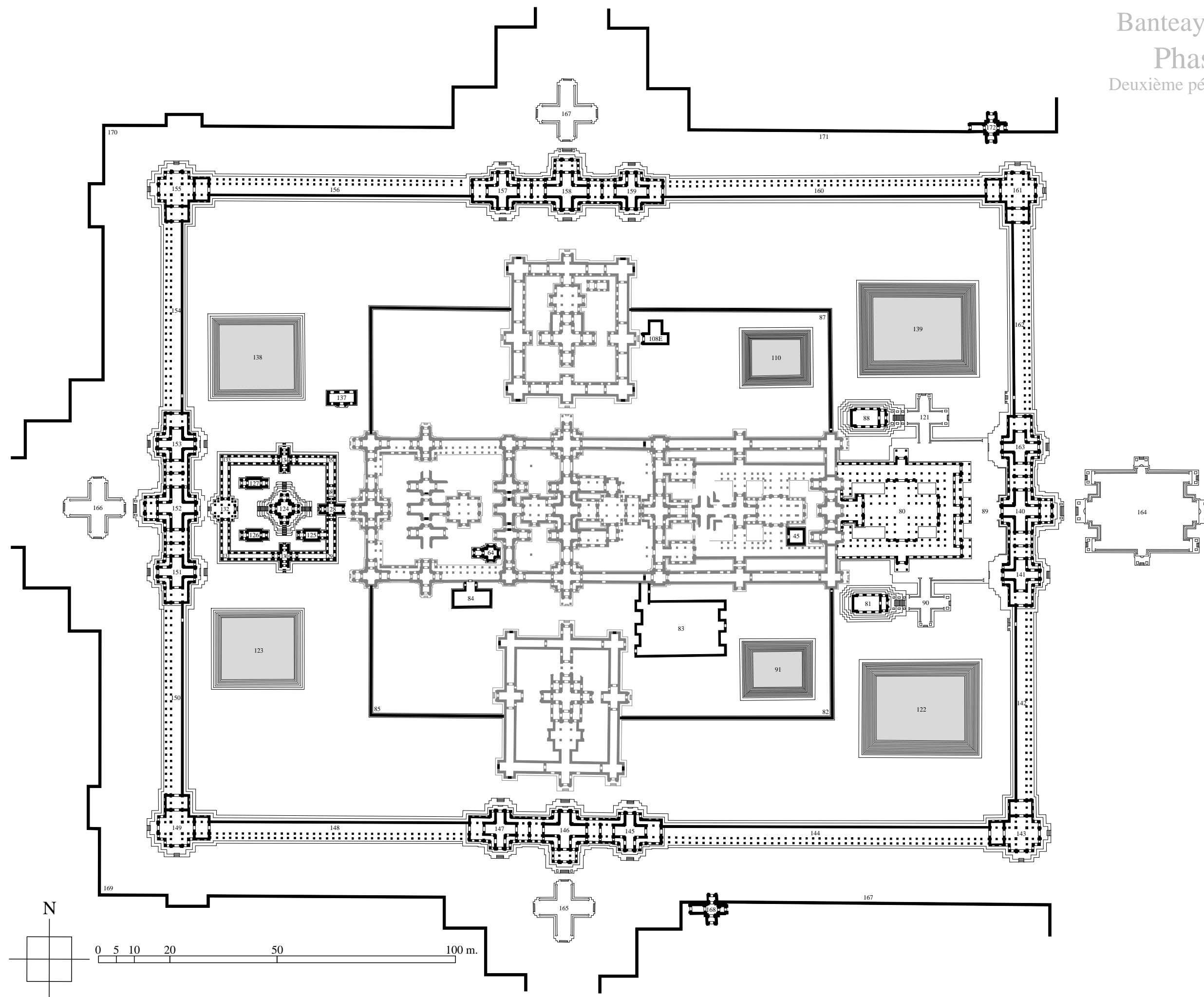


Fig. I-3-1-5.67 : Troisième tranche des travaux de Banteay Chmar

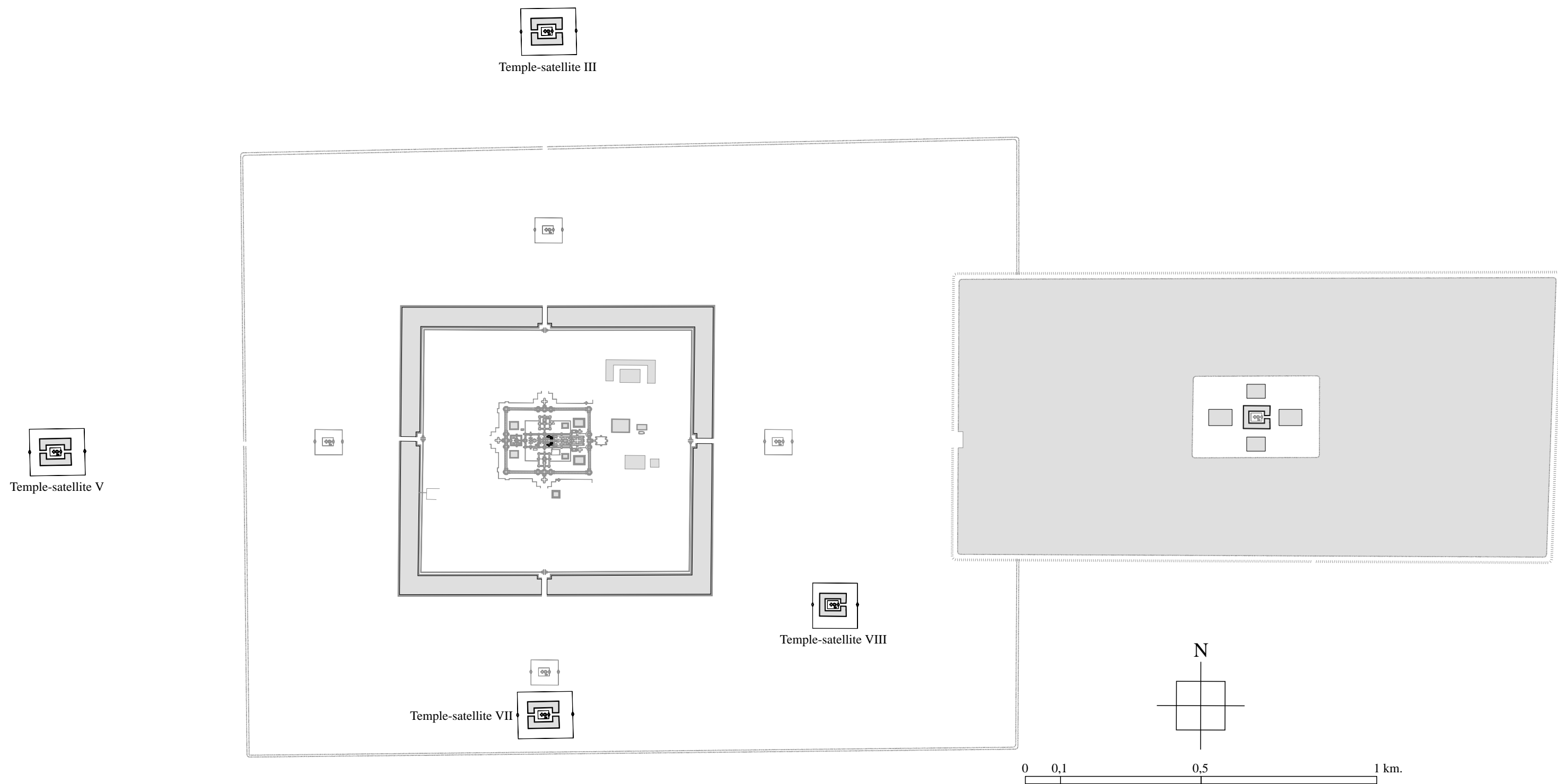


Fig. I-3-1-5.68 : Quatrième tranche des travaux de Banteay Chmar
— Création de la seconde génération de temples-satellites —

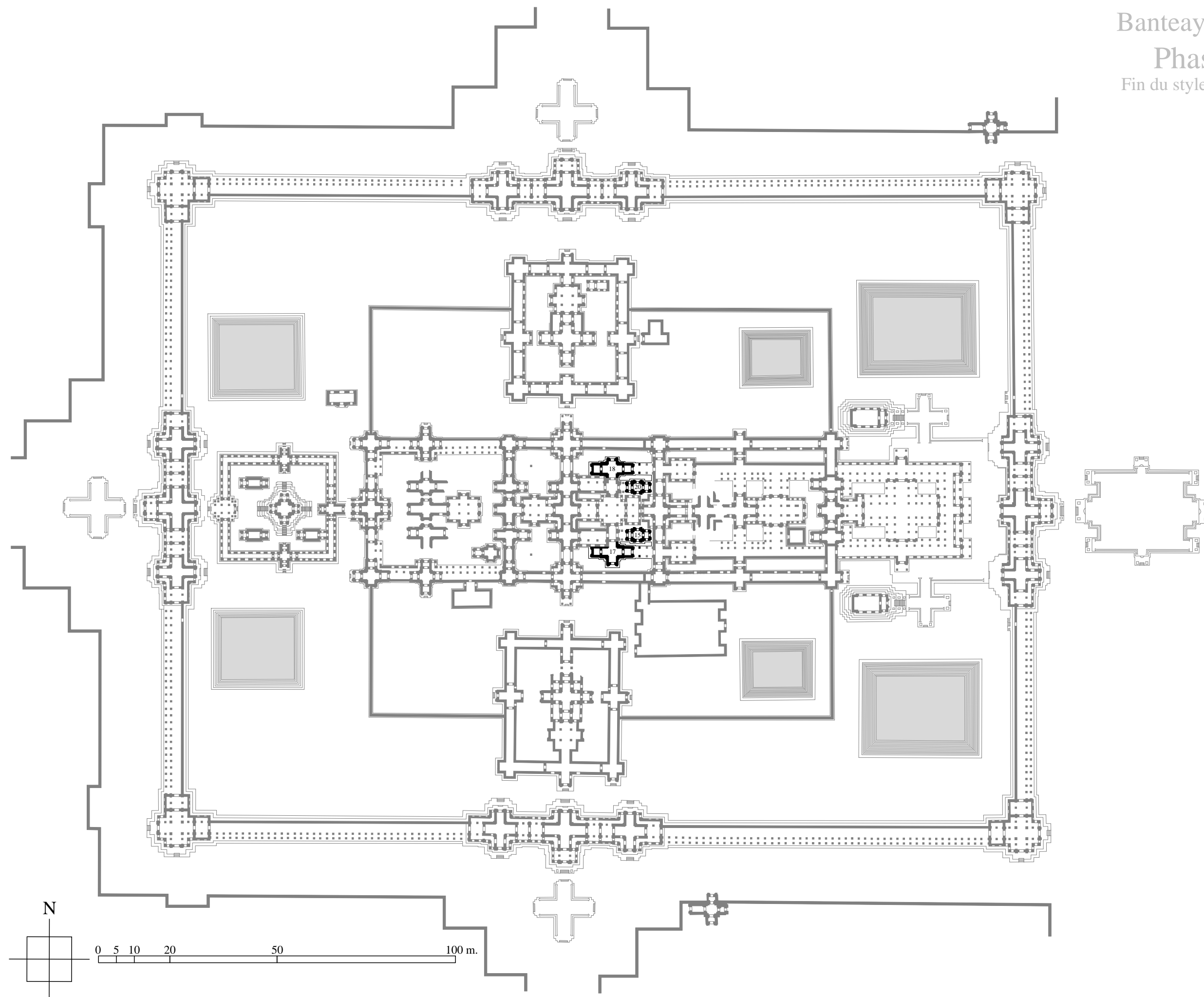


Fig. I-3-1-5.69 : Quatrième tranche des travaux de Banteay Chmar

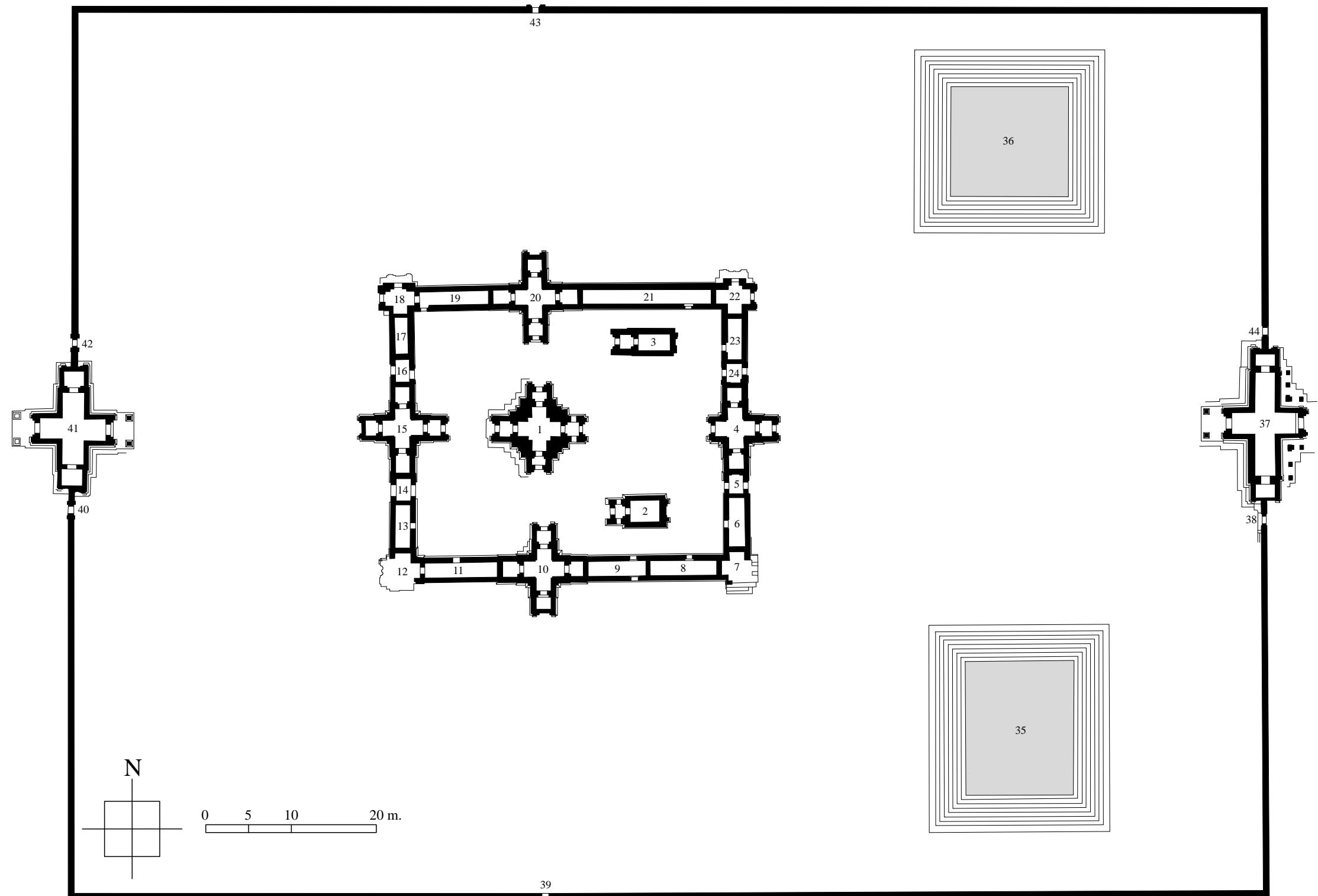


Fig. I-3-1-5.70 : Première tranche des travaux de Vat Nokor

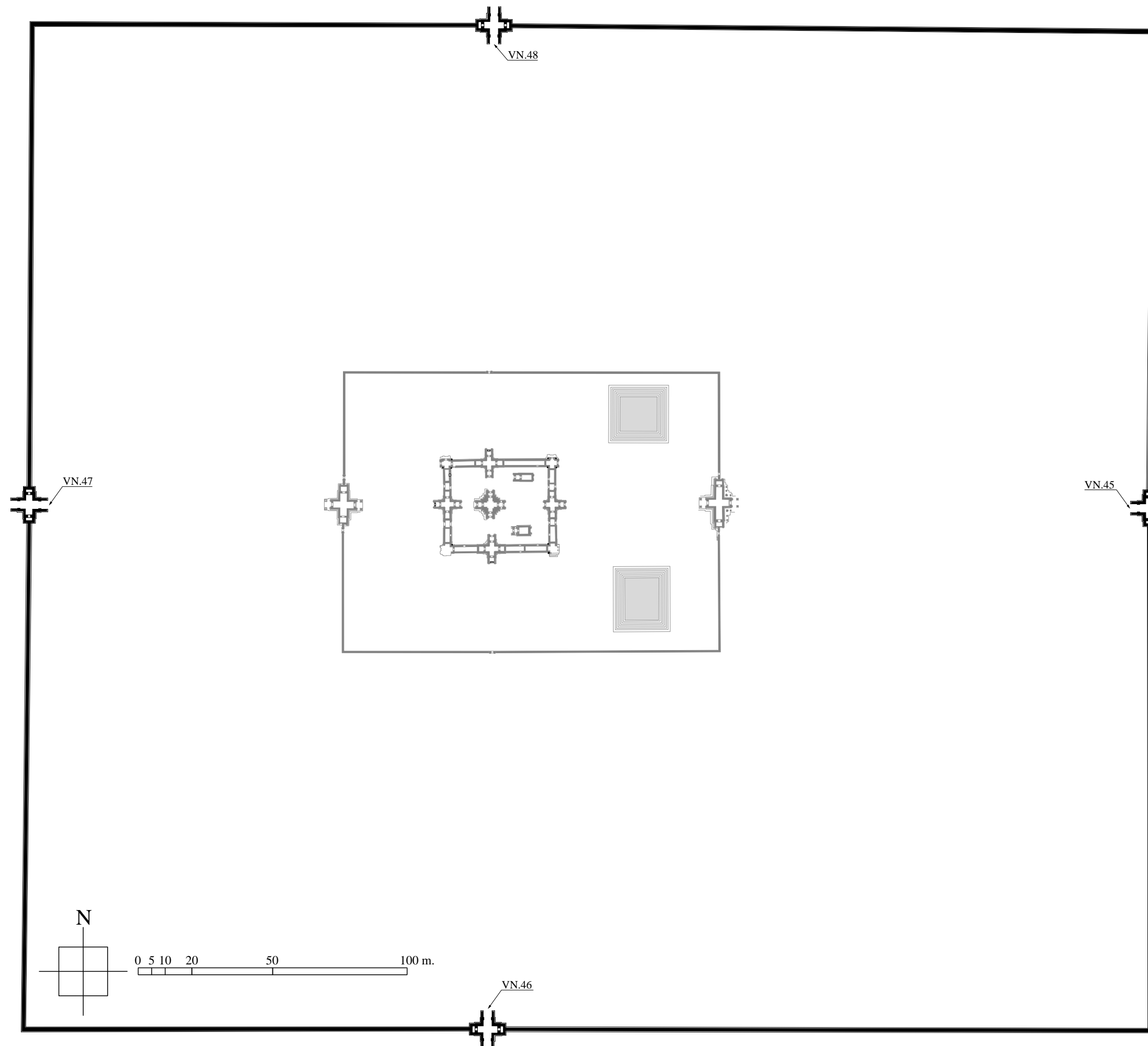


Fig. I-3-1-5.71 : Deuxième tranche des travaux de Vat Nokor
— Création du domaine —

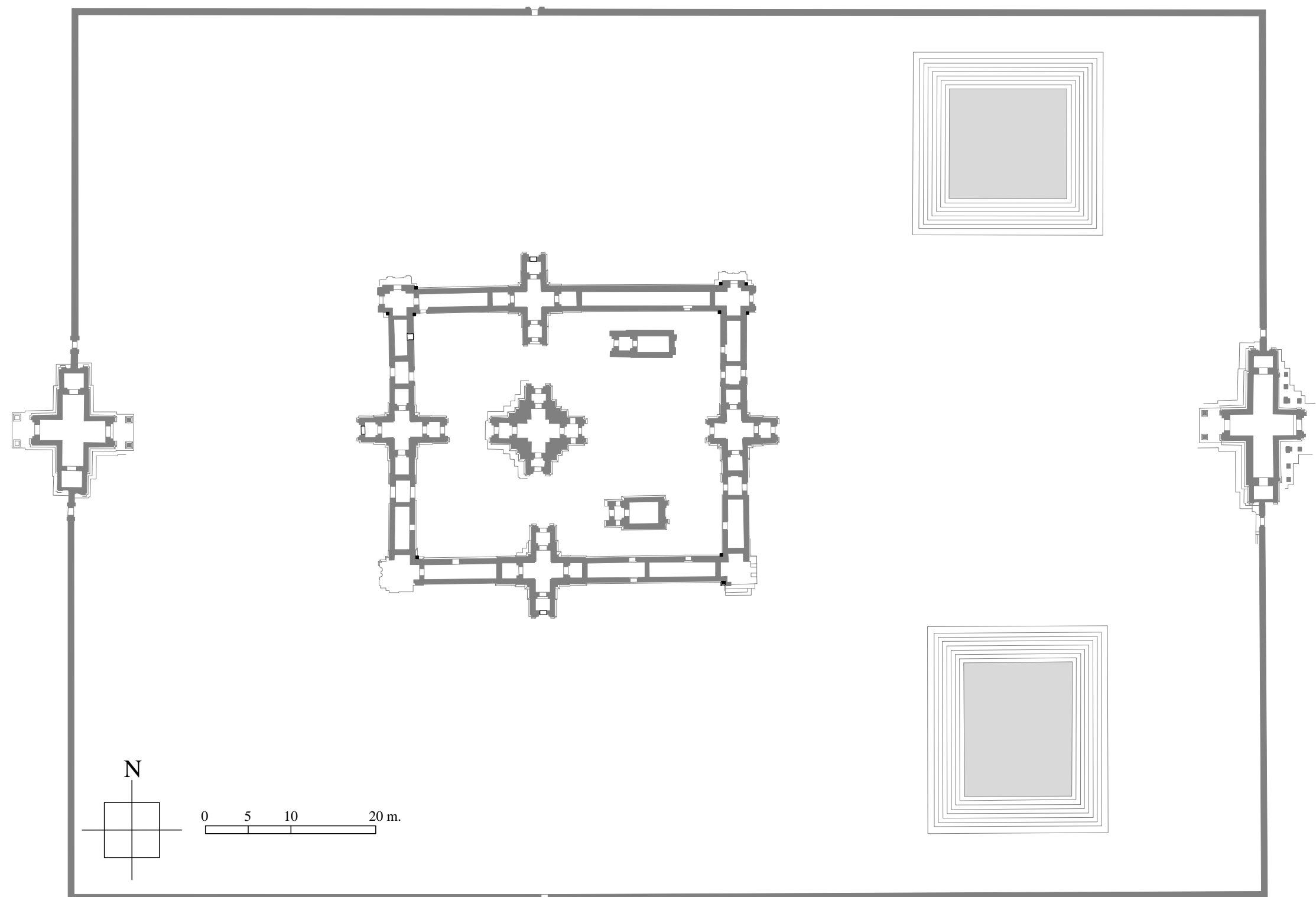


Fig. I-3-1-5.72 : Deuxième tranche des travaux de Vat Nokor

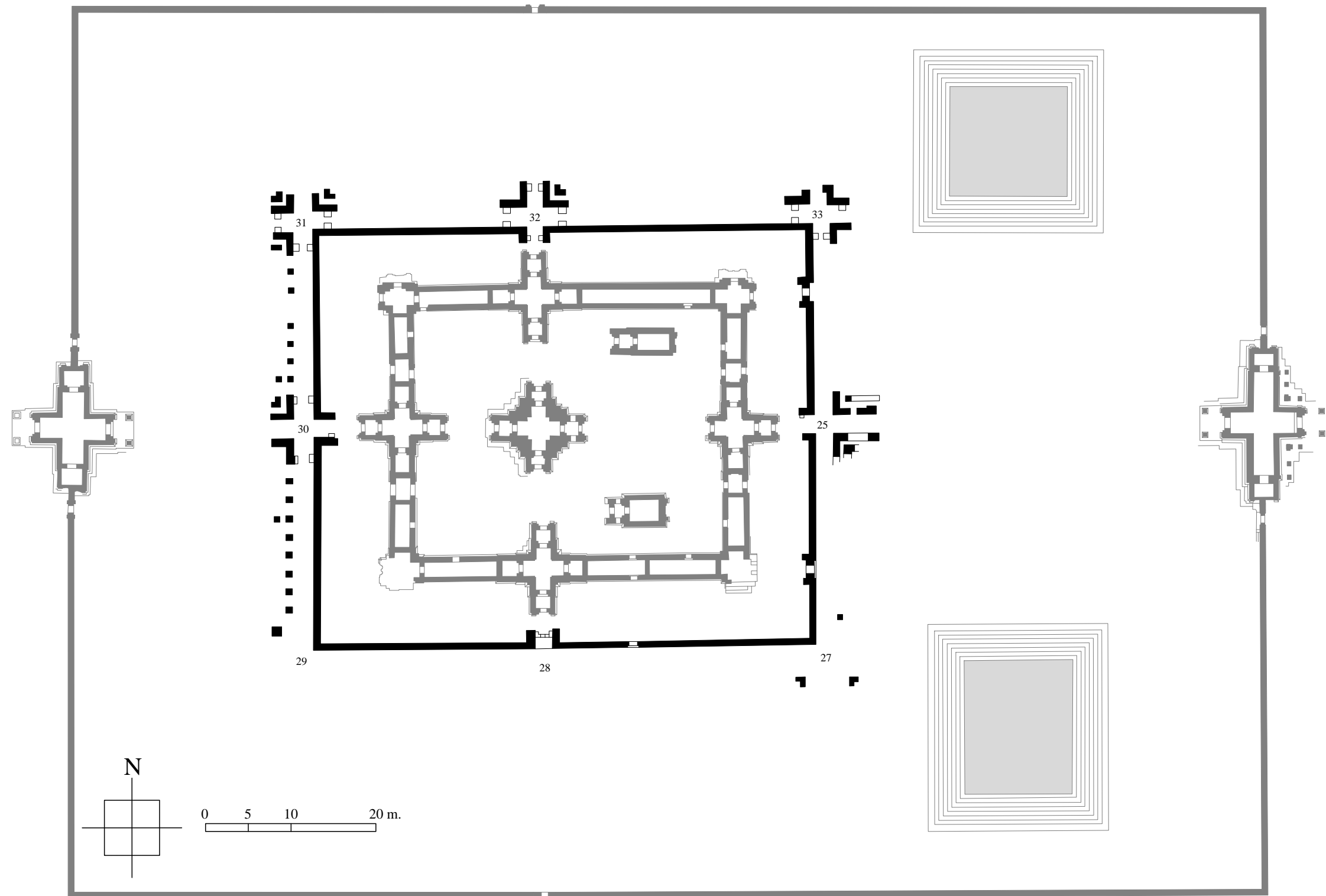


Fig. I-3-1-5.73 : Premier état de la troisième tranche des travaux de Vat Nokor

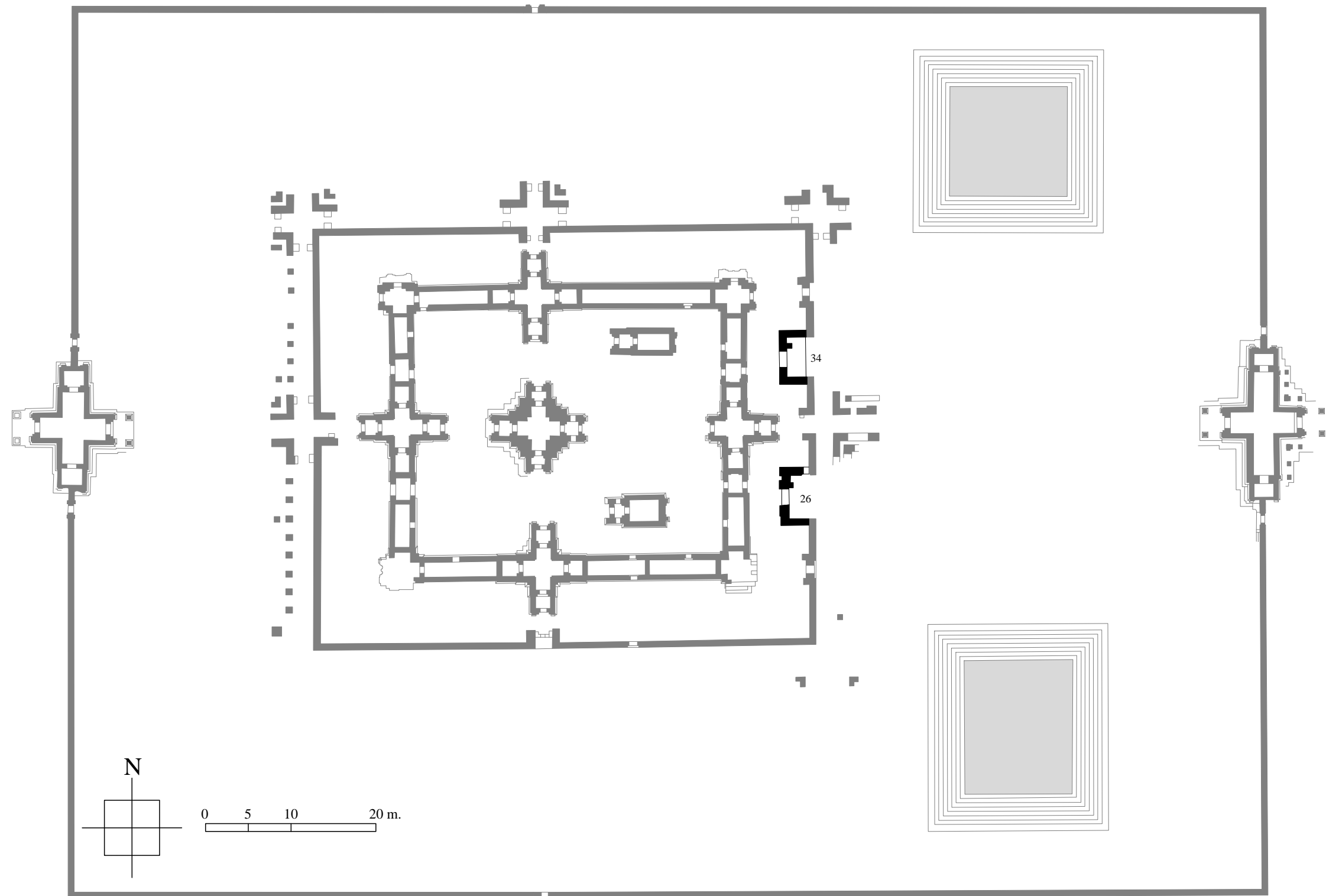


Fig. I-3-1-5.74 : Deuxième état de la troisième tranche des travaux de Vat Nokor

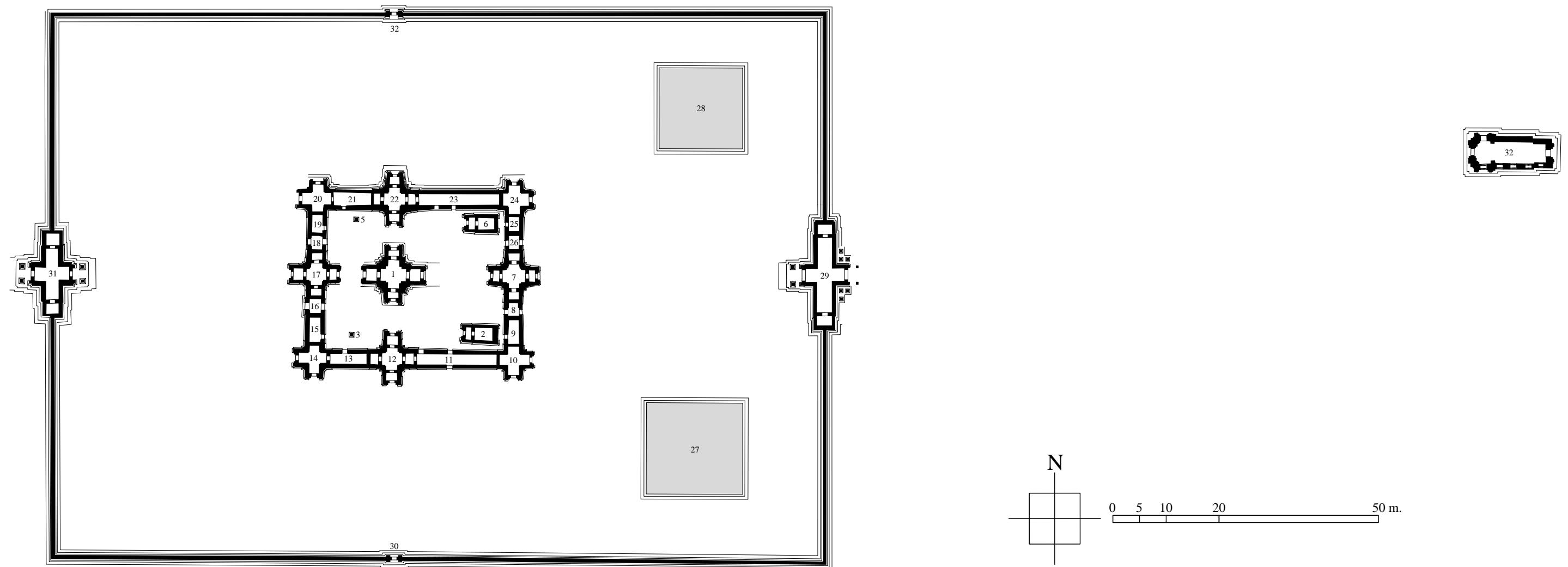


Fig. I-3-1-5.75 : Première tranche des travaux de Ta Prohm de Bati

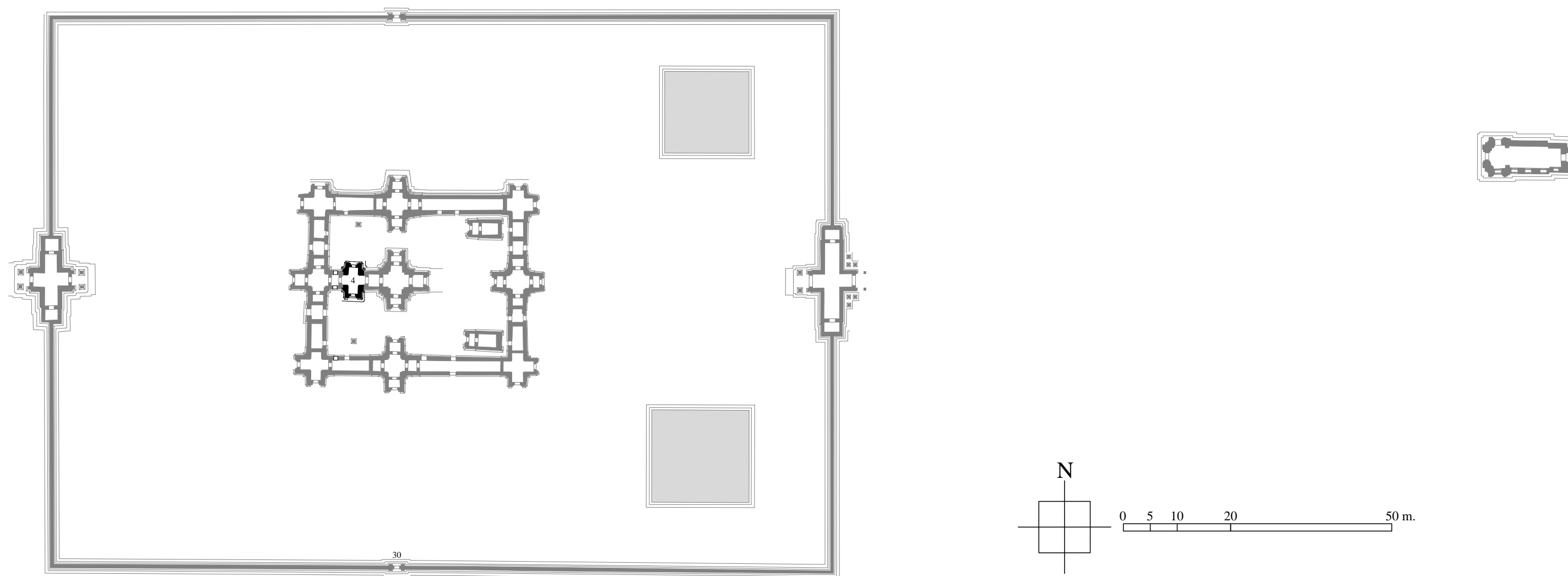


Fig. I-3-1-5.76 : Deuxième tranche des travaux de Ta Prohm de Bati

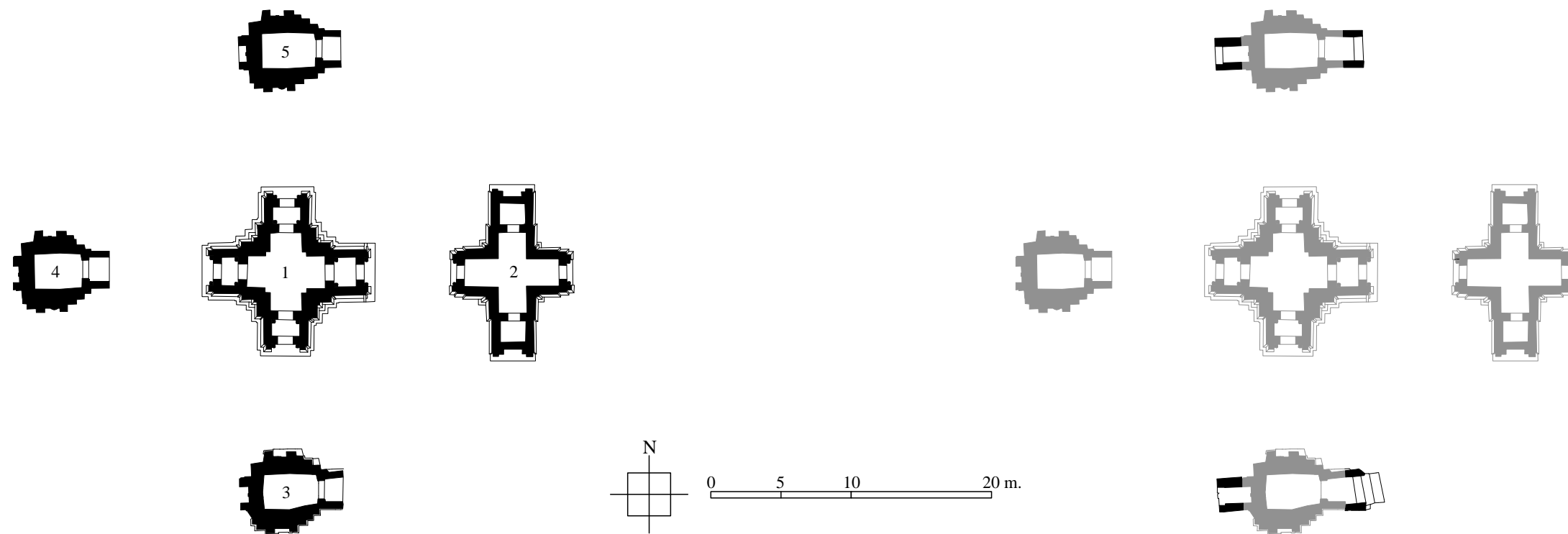


Fig. I-3-1-5.77 : Première tranche des travaux du Wat Kamphaeng Laeng
(Première période Preah Khan)

Fig. I-3-1-5.78 : Deuxième tranche des travaux du Wat Kamphaeng Laeng

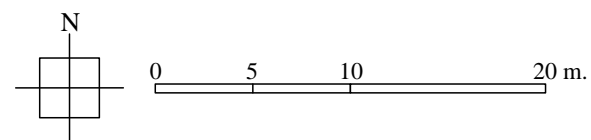
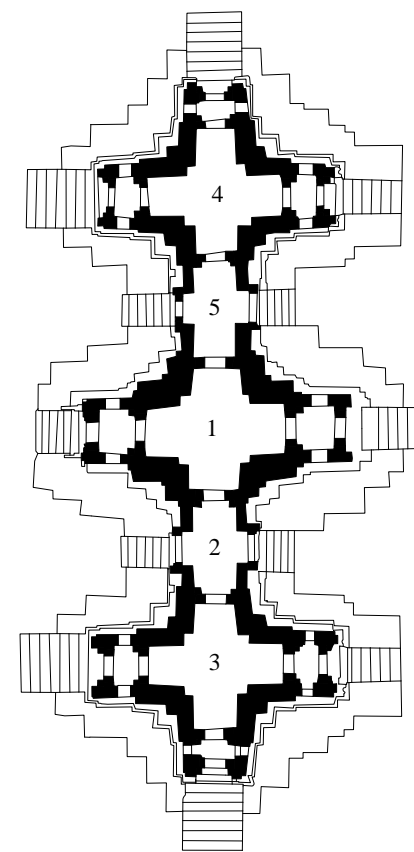


Fig. I-3-1-5.79 : Première tranche des travaux du Phra Prang Sam Yod

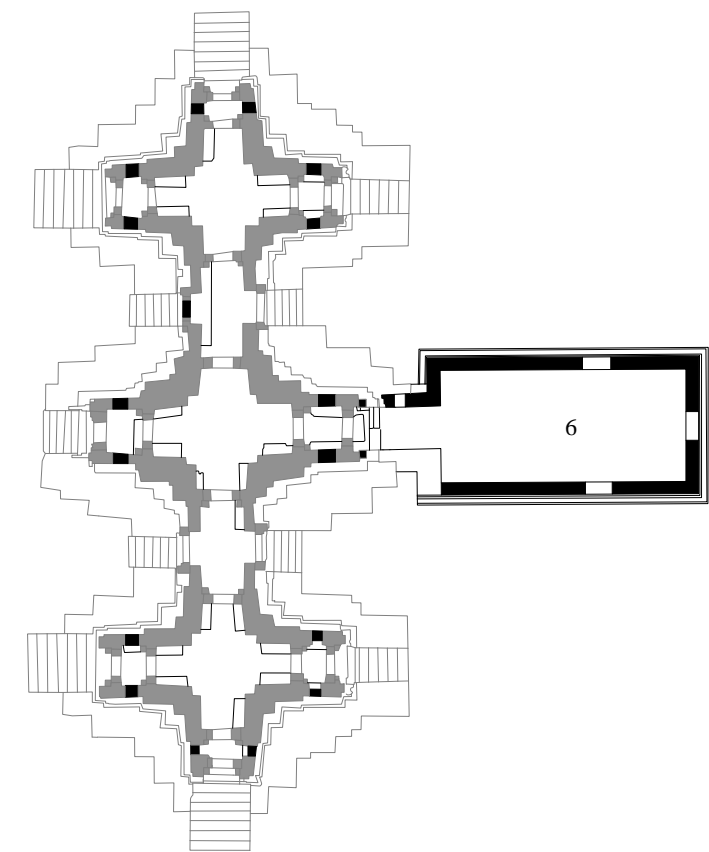


Fig. I-3-1-5.80 : Deuxième tranche des travaux du Phra Prang Sam Yod

CLASSEMENT TYPOLOGIQUE DES PRINCIPAUX MONUMENTS DU
STYLE DU BAYON

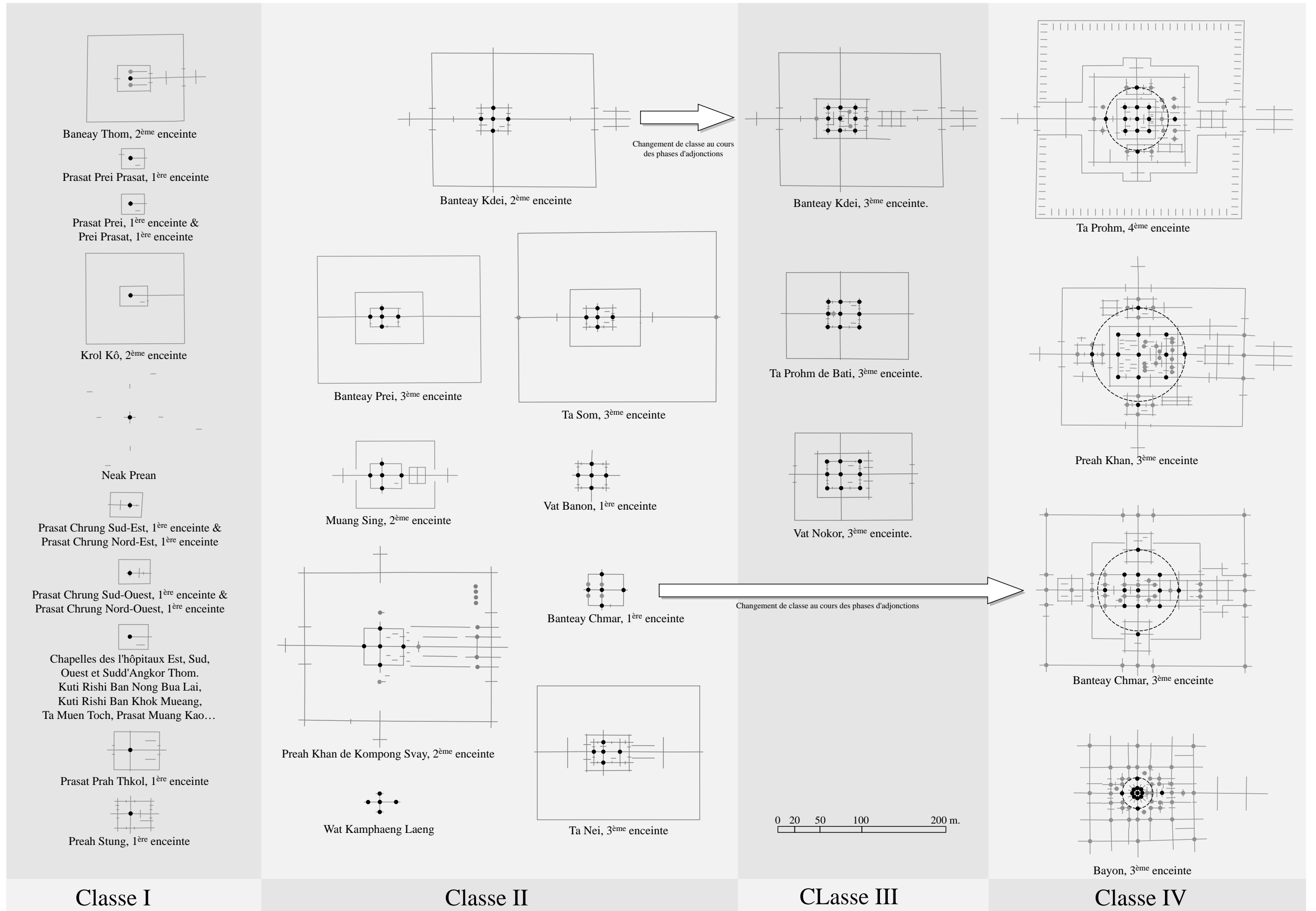


Fig. I-4-2-4.1 : Classement des principaux monuments du style du Bayon par leur modèle de distribution de leurs tours-sanctuaire

DOCUMENTATIONS POUR LA RESTITUTION DU BAYON DANS SON DERNIER ÉTAT

Tours à visages à Banteay Chmar.....	p. 295 à p. 298
Tours à visages au Bayon.....	p. 299 à p. 301
Cloisonnements en bois au Bayon.....	p. 302 à p. 304

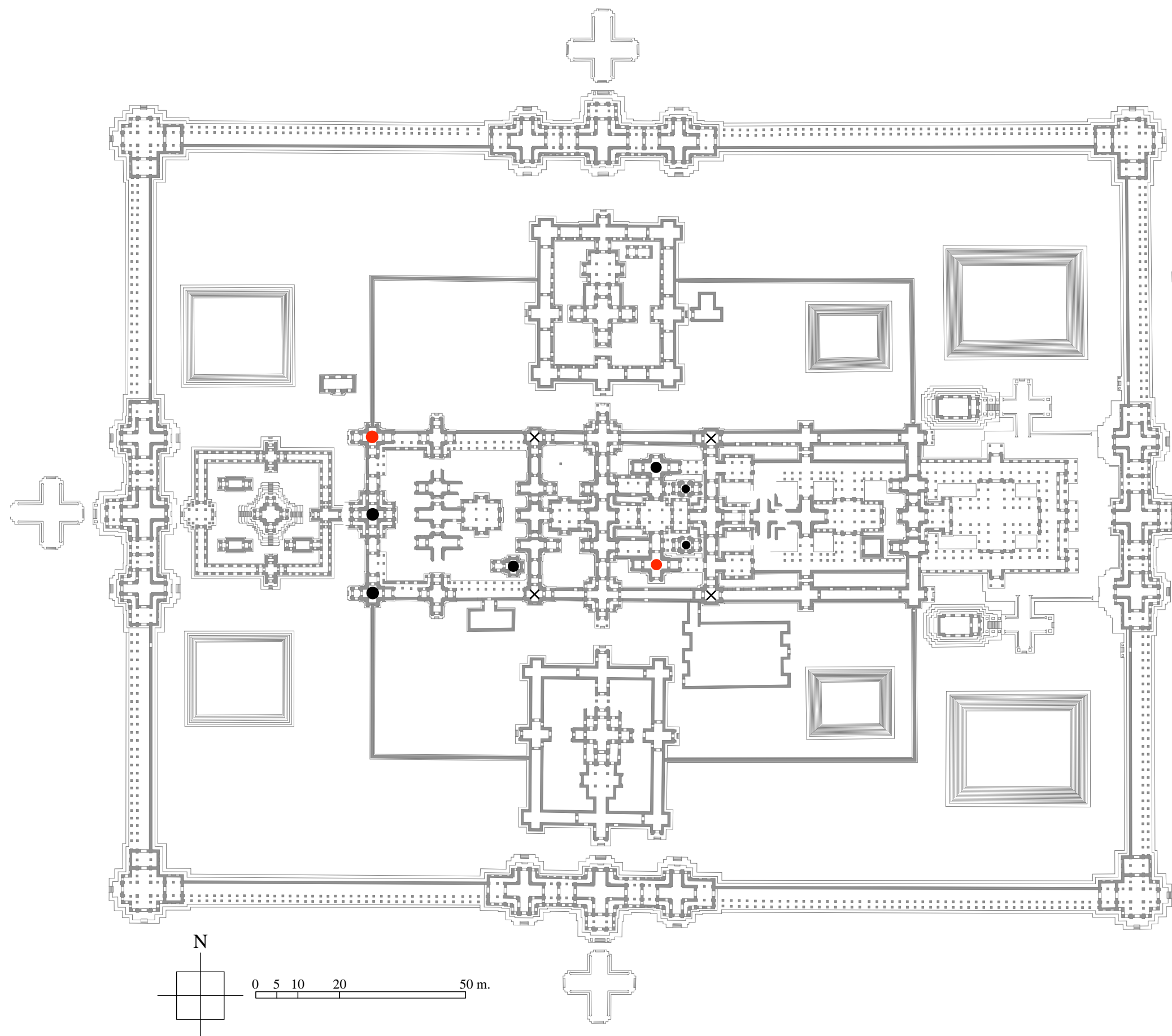


Fig. II-3-1-3.1 : Répartition des tours à visages dans la troisième enceinte de Banteay Chmar d'après C. Pottier

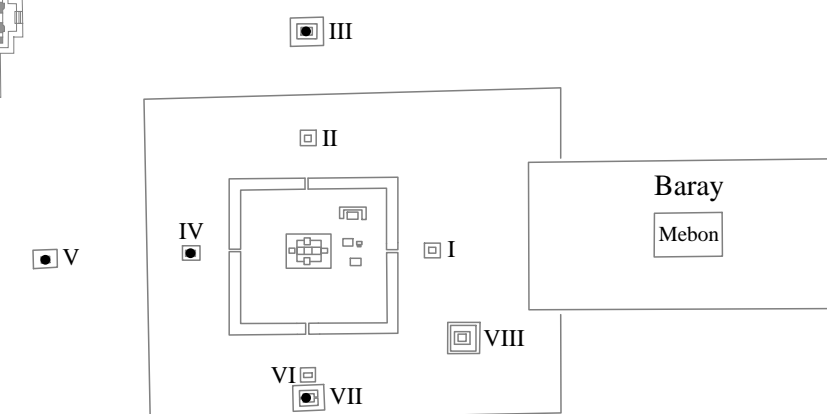
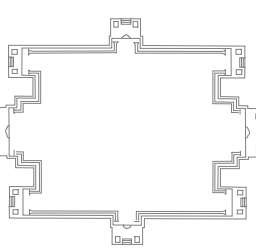


Fig. II-3-1-3.2 : Répartition des tours à visages dans les temples-satellites de Banteay Chmar aujourd'hui observables



- Tours à visages confirmées *in situ*
- Tours à visages hypothétiques restituées par symétrie
- × Tour à faux-étages "rajoutée" sur un croisement de voûtes

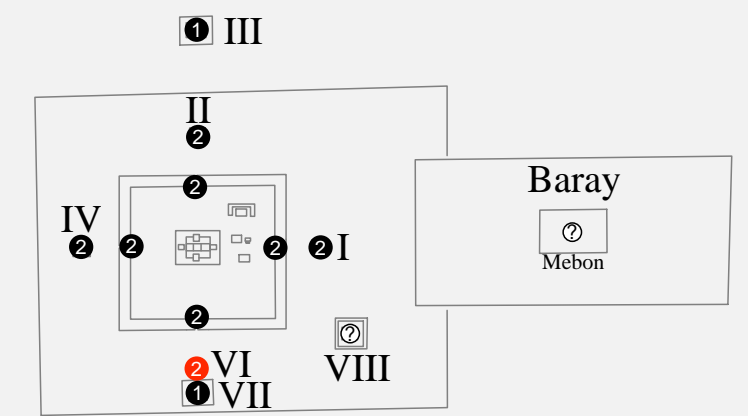
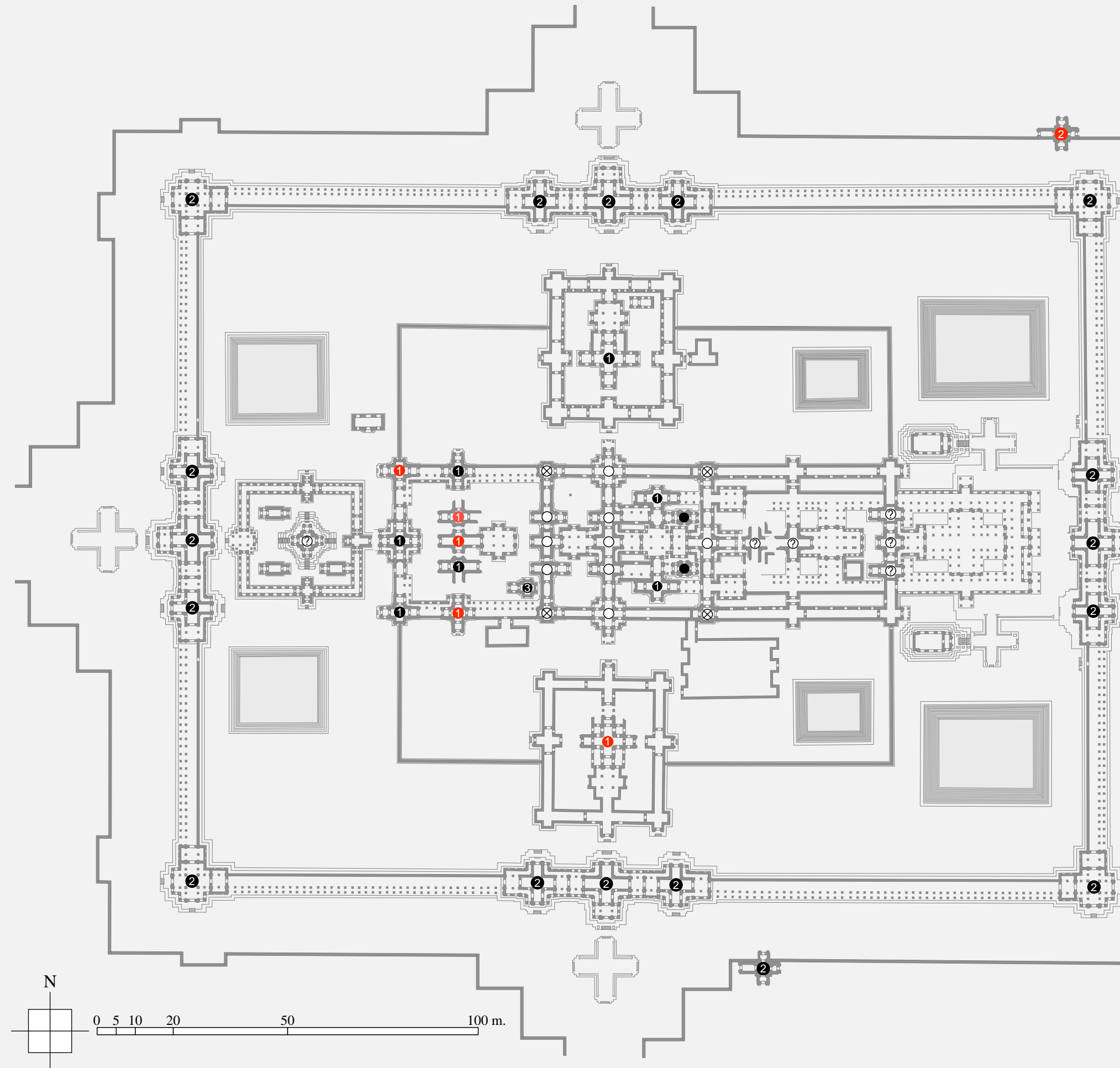


Fig. II-3-1-3.4 : Schéma de la répartition des tours dans les temples-satellites de Banteay Chmar

- Tours à faux-étages
- ⊗ Tours à faux-étages rajoutées sur croisement de voûtes
- ⊙ Tours de type non identifié
- Tours à visages confirmées *in situ*
- Tours à visages hypothétiques restituées par symétrie
- 1 Tours à visages simple avec couronnement en lotus
- 2 Tours à visages avec assise d'orant et couronnement en lotus
- 3 Tours à visages simple avec couronnement à orants

Nombre de tours à visages dans
 l'espace de l'enceinte de domaine : 4 à l'enceinte de domaine
 2 à la quatrième enceinte (annexes **BC.168** et **BC.172**)
 16 à la troisième enceinte
 15 dans l'espace de la seconde enceinte

Nombre de tours à visages dans
 le reste du site : 7 correspondant aux sanctuaires des temples-satellites

Total provisoire des tours à visages à Banteay Chmar :
 44 (Ce nombre est susceptible d'augmenter en fonction d'autres découvertes)

Répartition des tours à visages à Banteay Chmar

Fig. II-3-1-3.3 : Répartition des tours dans le complexe principal de Banteay Chmar

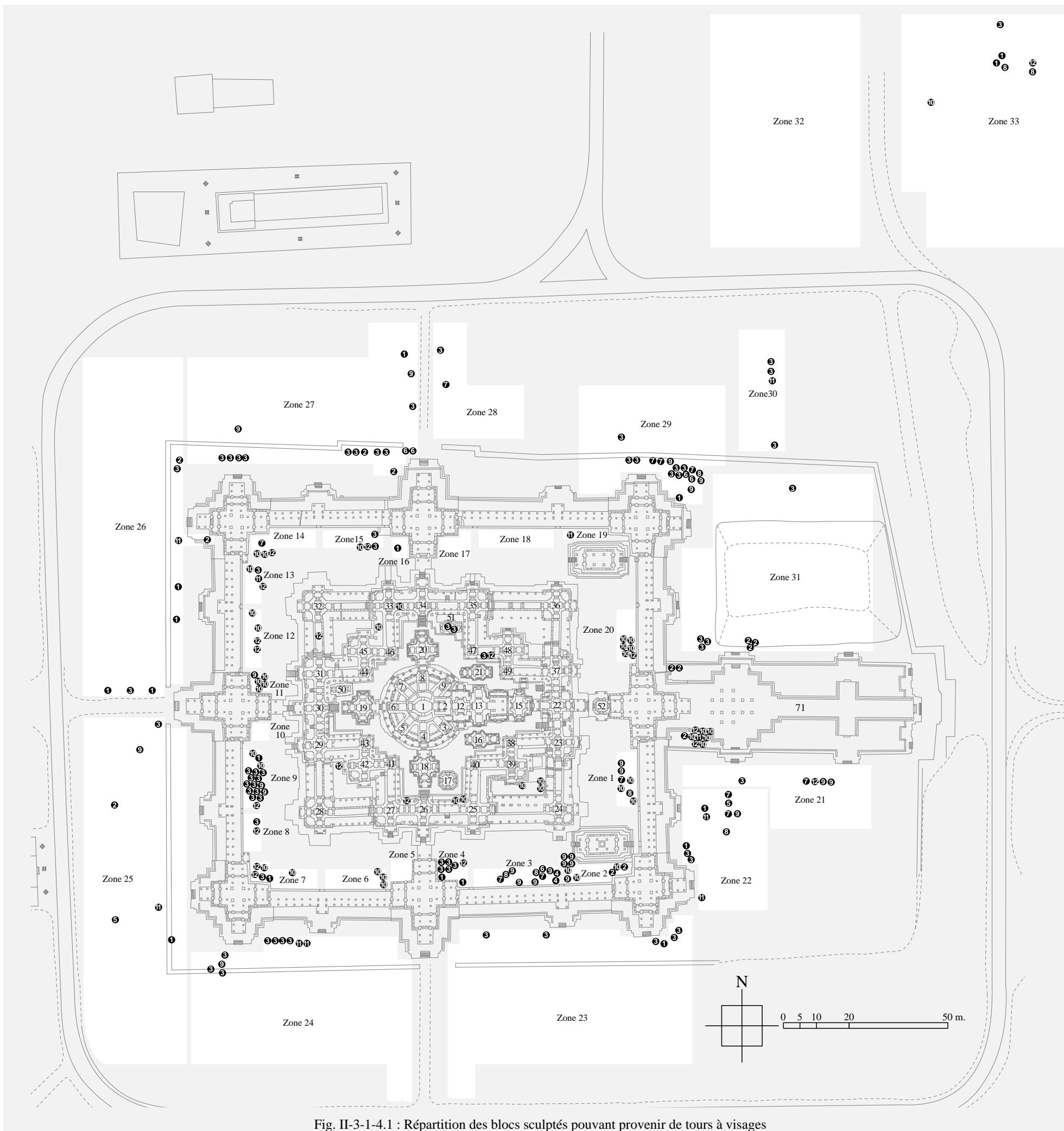


Fig. II-3-1-4.1 : Répartition des blocs sculptés pouvant provenir de tours à visages

Tours partiellement bûchées

	Orans d'assise ou de couronnement (1)	Élément d'angle (2)	Élément d'angle intérieur ou extérieur à garudad (3)	Cou (4)	Bouche (5)	Nez (6)	Oreille (7)	Œil (8)	Couronne et front (9)	Élément de couronnement en fous (10)	Élément de couronnement à orans ou autre (11)	Élément final de couronnement (12)
Tour 1										Oui *		
Tour 2				3	3	3	6	6	3	Oui *		
Tour 3				3	3	3	6	6	3			
Tour 4				1	1	1	2	2	1			
Tour 5				1	1	1	2	2	1			
Tour 6				2	2	2	4	4	2			
Tour 7				1	1	1	2	2	2			
Tour 8				3	3	3	6	6	3			
Tour 9				1	1	1	2	2	1			
Tour 12				2			4			Oui *		
Tour 13				2	1	1	4	1		Oui *		
Tour 15				4	4	4	8	8	4	Oui *		
Tour 16				4	4	4	8	8	4	Oui *		
Tour 18				4	4	4	8	8	4	Oui *		
Tour 19				4	4	4	8	8	4	Oui *		
Tour 20				4	4	4	8	8	4	Oui *		
Tour 21				4	4	4	8	8	3	Oui *		
Tour 50		Oui *		4	4	4	5	8	4	Oui *		
Tour 51				4	4	4	7	8	4	Oui *		
Tour 22				4	4	4*	3	7	4*	Oui *		
Tour 23												
Tour 38		Oui *		4	4*	4	8*	8	4	Oui *		
Tour 39				4	4	4	8	8	4	Oui *		
Tour 40		Oui *		4	4	4	8*	8	4	Oui *		
Tour 25				4	4	4	8	8	4	Oui *		
Tour 26				4	4	4	5	8	4	Oui *		
Tour 27				4*	4*	4*	7	7	4*	Oui *		
Tour 41		Oui *		4*	4*	4*	5	7	4*	Oui *		
Tour 42				4	4	4	8	8	4	Oui *		
Tour 43		Oui *		4	4	4	6*	8	4*	Oui *		
Tour 29				4	4	4	8	8	4	Oui *		
Tour 30				4	4	4	7*	8	4*	Oui *		
Tour 31				4	4	4	8	8	4	Oui *		
Tour 44		Oui *		4	4	4	8	8	4	Oui *		
Tour 45				4	4	4	8	8	4	Oui *		
Tour 46		Oui *		4	4	4	6*	8*	4*	Oui *		
Tour 33				4	4	4	8	8	4	Oui *		
Tour 34				4	4	4	8	8	4	Oui *		
Tour 35				4	4	4	8	8	4	Oui *		
Tour 47		Oui *		4	4	4	8	8	4	Oui *		
Tour 48				4	4	4	5*	8*	4*	Oui *		
Tour 49		Oui *		4	4	4	7*	8	4	Oui *		
Tour 37				4	4	4	4*	8*	4*	Oui *		
Tour 24				4	4	4*	8*	5				
Tour 28				4	4	4	8	8	4	Oui *		
Tour 32				4	4	4	8	8	4	Oui *		
Tour 36				4	4	4	8	8	4	Oui *		
Tour 52				4	4	4	8	8	4		Oui *	
71		3								5	1	2
Zone 1							1	1	2	2		
Zone 2		2							5	3		
Zone 3				2		1	2	2	4			
Zone 4		2										1
Zone 5			5									
Zone 6										3		
Zone 7		1		1						2		2
Zone 8				1								1
Zone 9		1		11					2	2		1
Zone 10												
Zone 11									1	4		
Zone 12										2		2
Zone 13				1						1	1	1
Zone 14							1			2		1
Zone 15				2						1		1
Zone 16		1										
Zone 17												
Zone 18												
Zone 19										1		
Zone 20									5			1
Zone 21				1			1		2			1
Zone 22		2		2		1			1		2	
Zone 23		1		5			2	1				
Zone 24				7						1		2
Zone 25		1	1	1		1				1		1
Zone 26		4	2	1								1
Zone 27		1	2	9			2			2		
Zone 28				1				1				
Zone 29		1		7			2	3	1	3		
Zone 30				3							1	
Zone 31				3	4							
Zone 32												
Zone 33		2		1				2		1		1

* État partiel

Fig. II-3-1-4.2 : Tableau synoptique des éléments constituant les tours à visages au Bayon

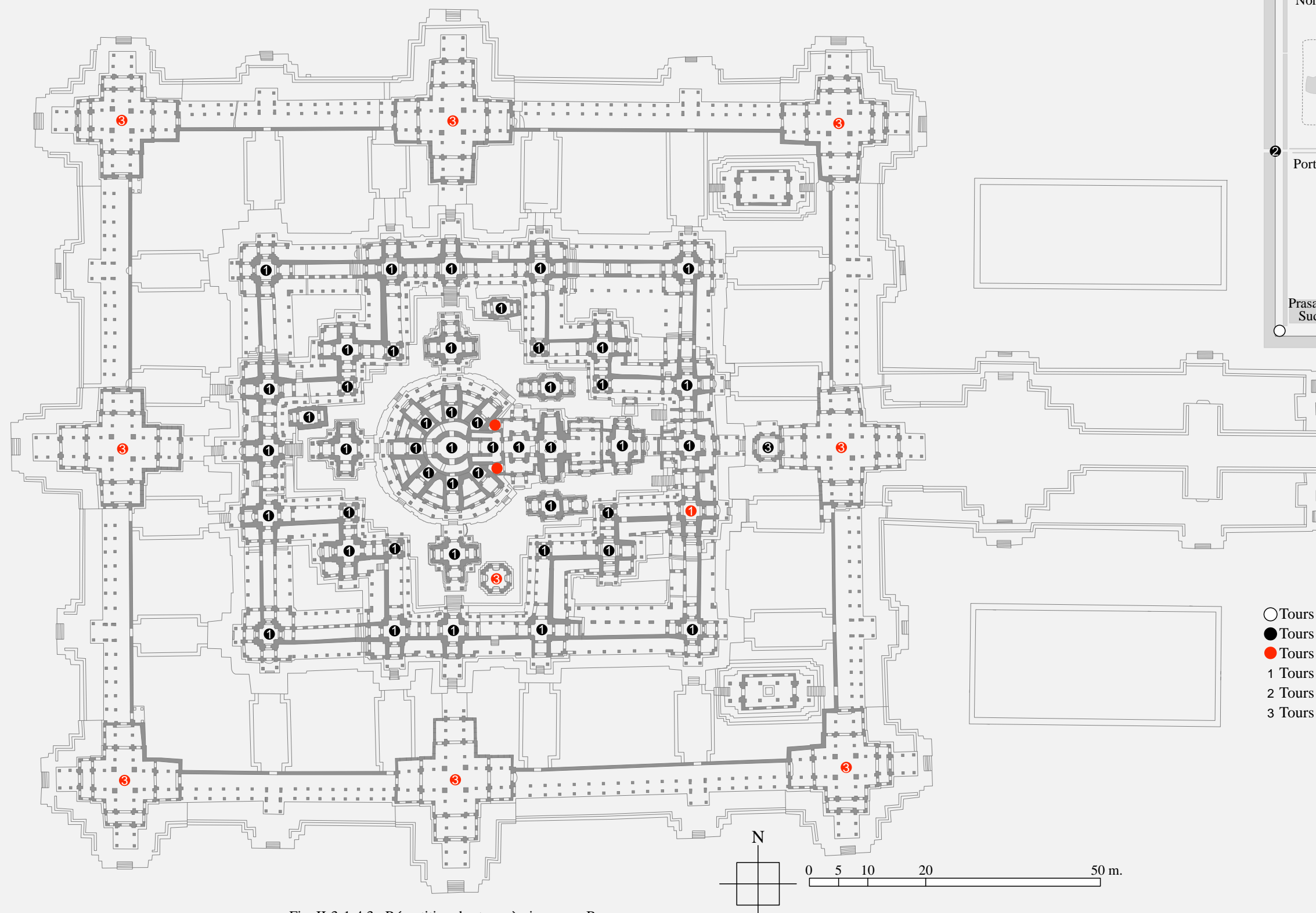


Fig. II-3-1-4.3 : Répartition des tours à visages au Bayon

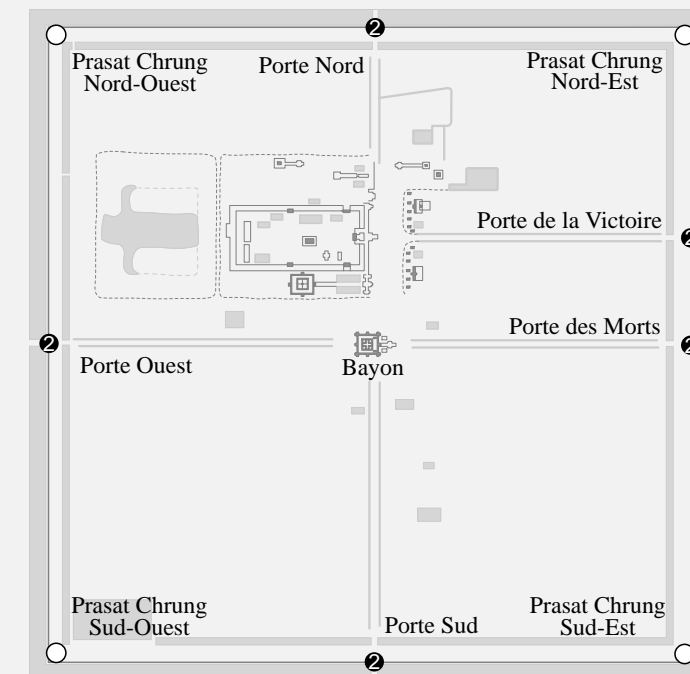


Fig. II-3-1-4.4 : Schéma de la répartition des tours à l'enceinte d'Angkor Thom

- Tours à faux-étages
- Tours à visages confirmées *in situ*
- Tours à visages hypothétiques
- 1 Tours à visages simple avec couronnement en lotus
- 2 Tours à visages avec assise d'orant et couronnement en lotus
- 3 Tours à visages simple avec couronnement à orants

Nombre de tours au troisième étage :	17 + 3 hypothétiques (tour BY.17 , tour BY.10 et BY.11)
Nombre de tours au deuxième étage :	30
Nombre de tours au premier étage :	1 + 8 hypothétiques aux pavillons BY.55 , BY.57 , BY.59 , BY.61 , BY.63 , BY.65 , BY.67 et BY.69
Total des tours à visages au Bayon :	48 59 en comptant les tours hypothétiques
Nombre de tours à l'enceinte d'Angkor Thom :	5
Total des tours à visages à Angkor Thom :	53 64 en comptant les tours hypothétiques

Fig. II-3-1-4.5 : Décompte des tours à visages au Bayon et à Angkor Thom

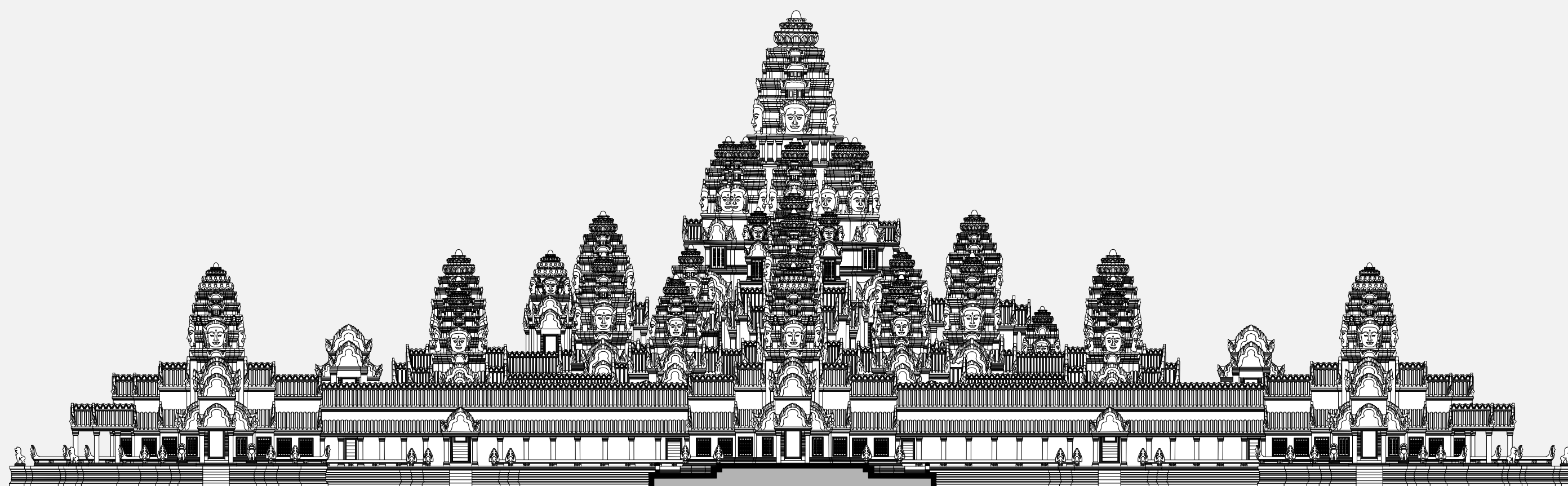


Fig. II-3-1-4.6 : Essai de restitution de la face orientale du Bayon

0 5 10 20 30 m.

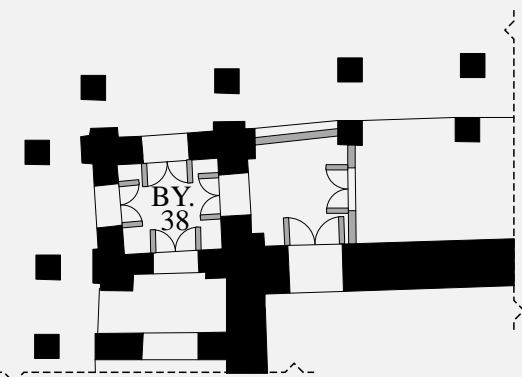


Fig. II-3-2.1 : Essai de restitution du vestibule oriental de la tour **BY.38**

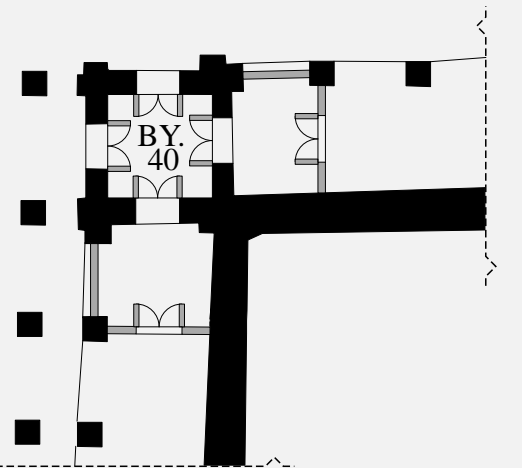


Fig. II-3-2.2 : Essai de restitution des vestibules Est et Sud de la tour **BY.40**

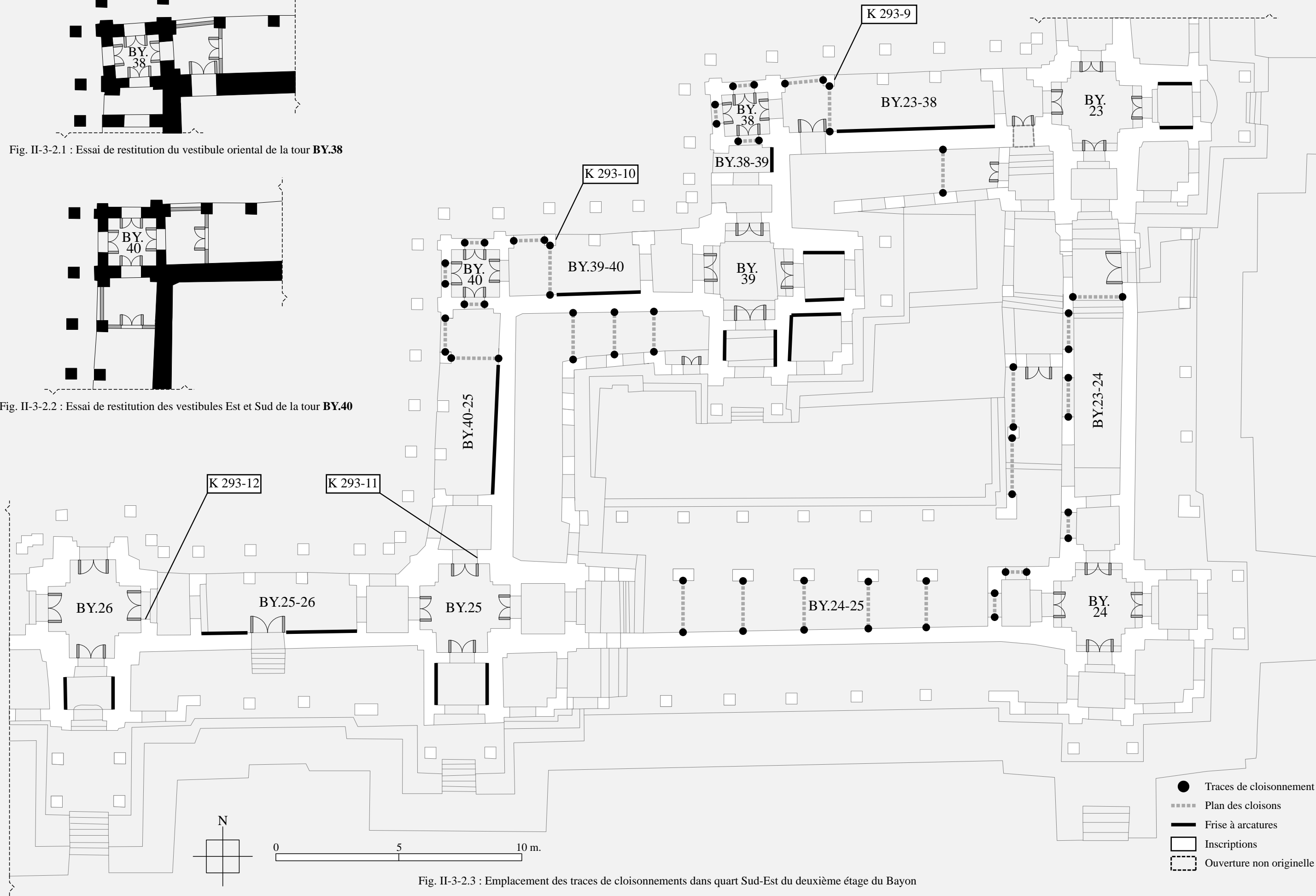


Fig. II-3-2.3 : Emplacement des traces de cloisonnements dans quart Sud-Est du deuxième étage du Bayon

- Traces de cloisonnement
- ⋯ Plan des cloisons
- Frise à arcatures
- Inscriptions
- ⋯ Ouverture non originelle

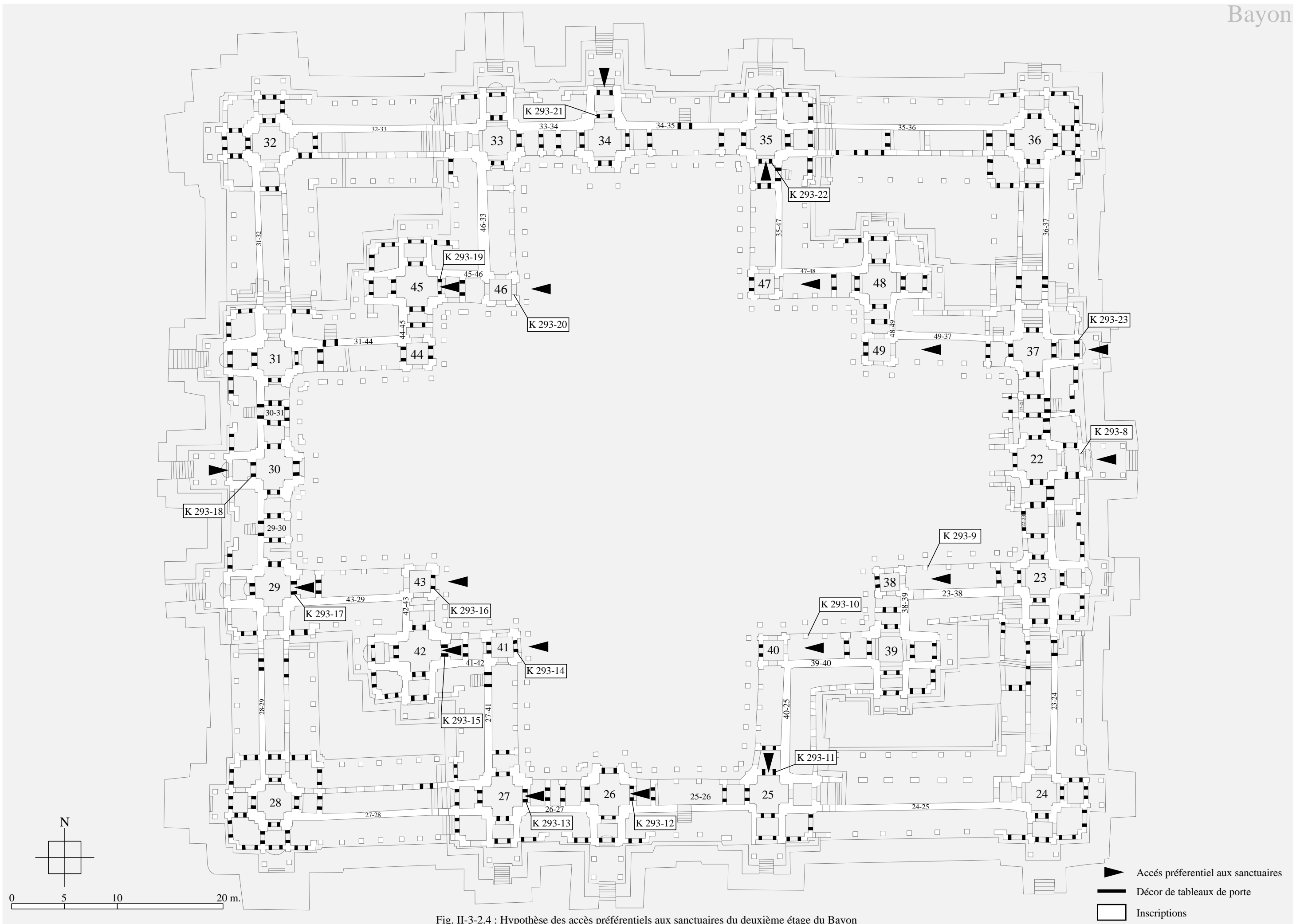


Fig. II-3-2.4 : Hypothèse des accès préférentiels aux sanctuaires du deuxième étage du Bayon

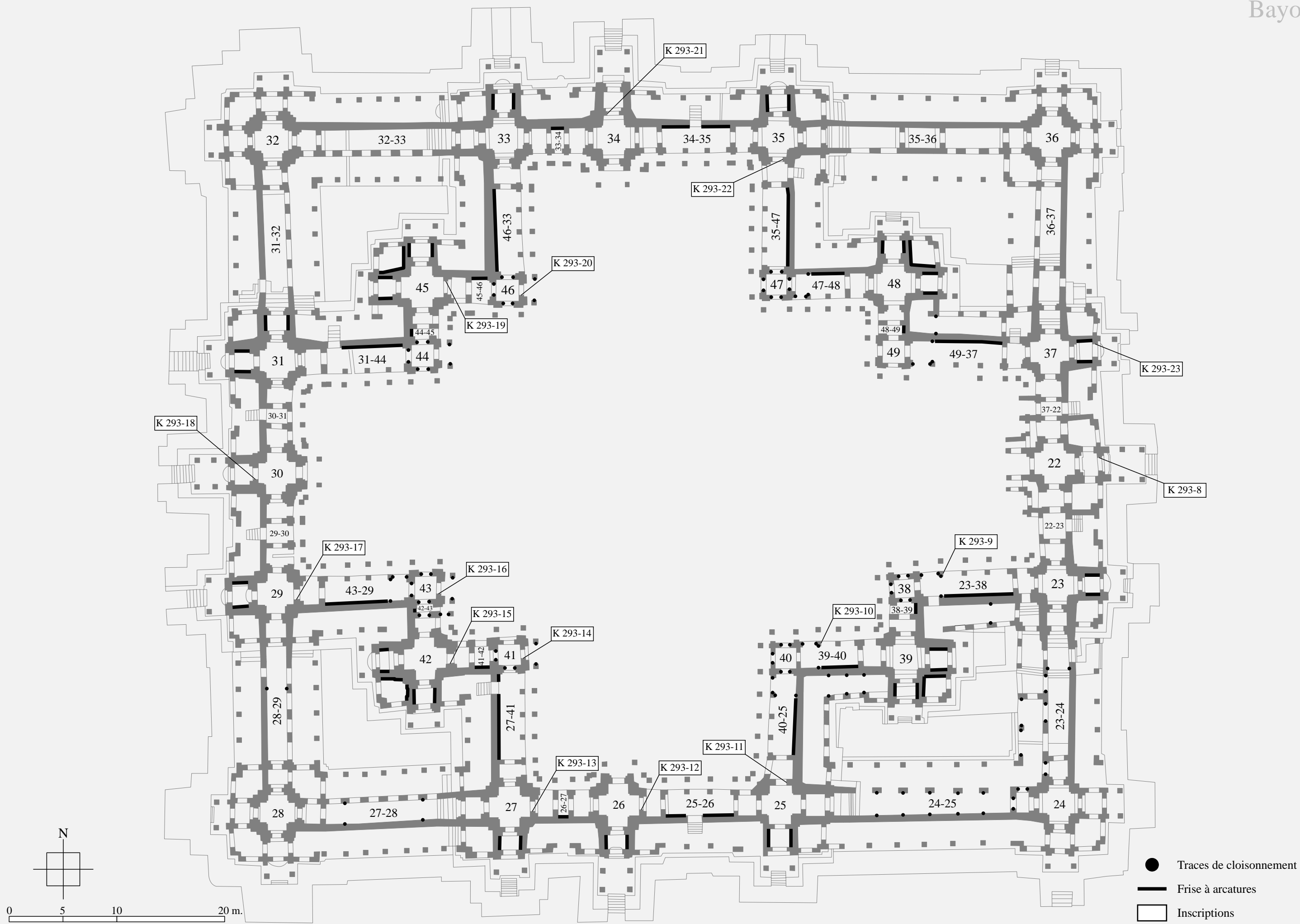


Fig. II-3-2.5 : Emplacement des traces de cloisonnements au deuxième étages du Bayon

SONDAGES DU BAYON

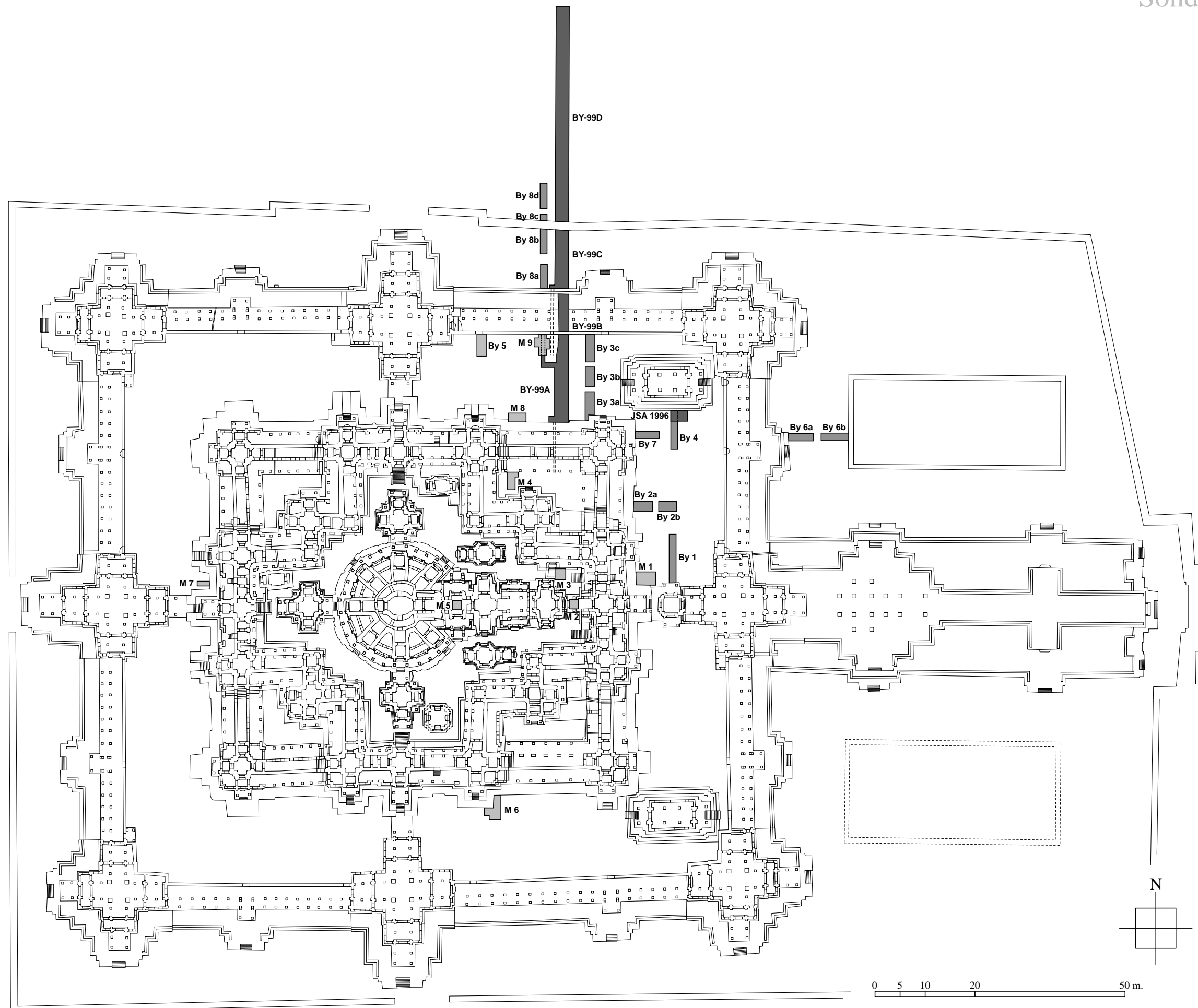


Fig. II-4.1 : Répartition des sondages effectués au Bayon

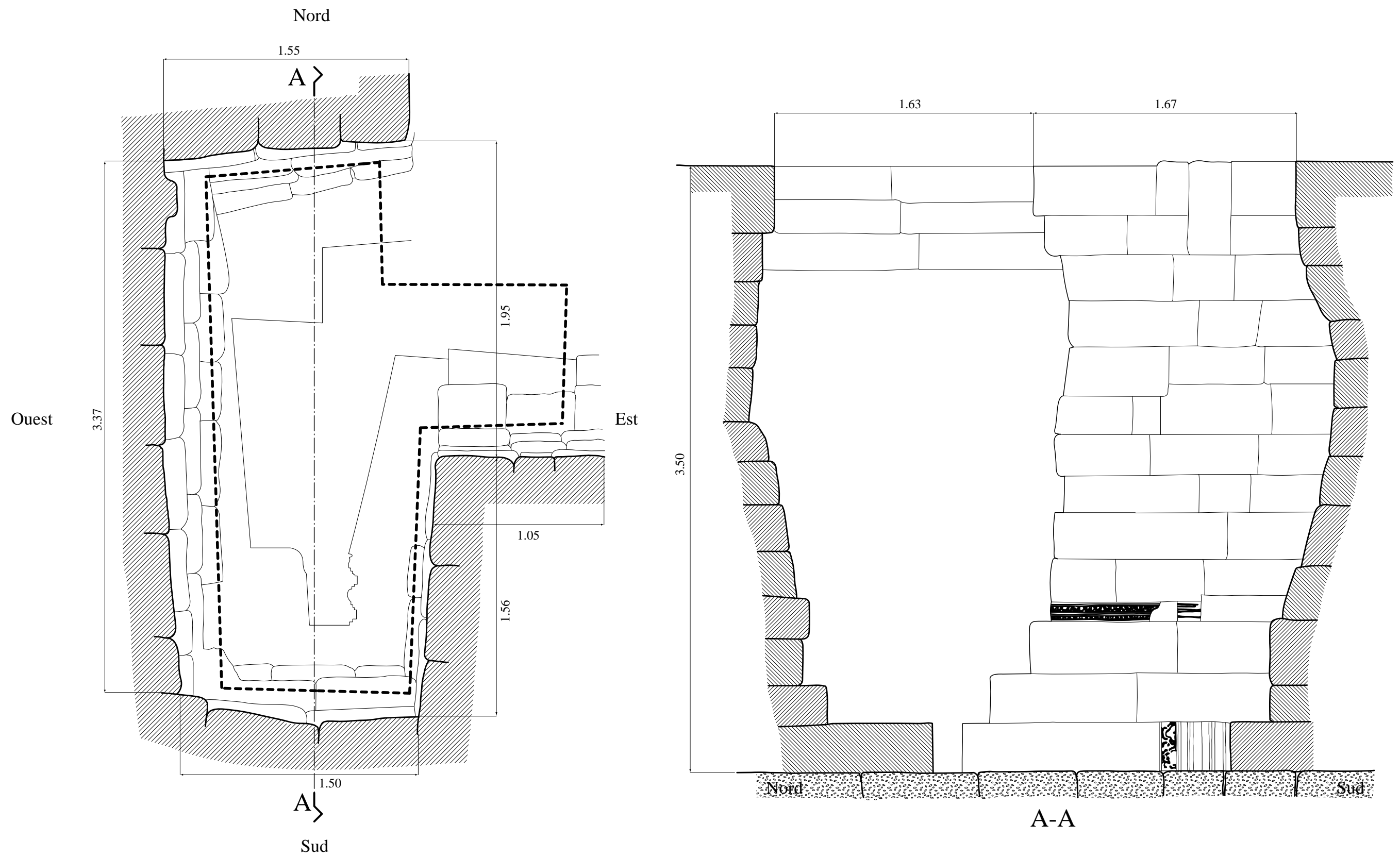


Fig. II-4.2 : Sondage M 4 de la cour intérieure d'angle Nord-Est du second étage du Bayon (d'après H. Marchal)

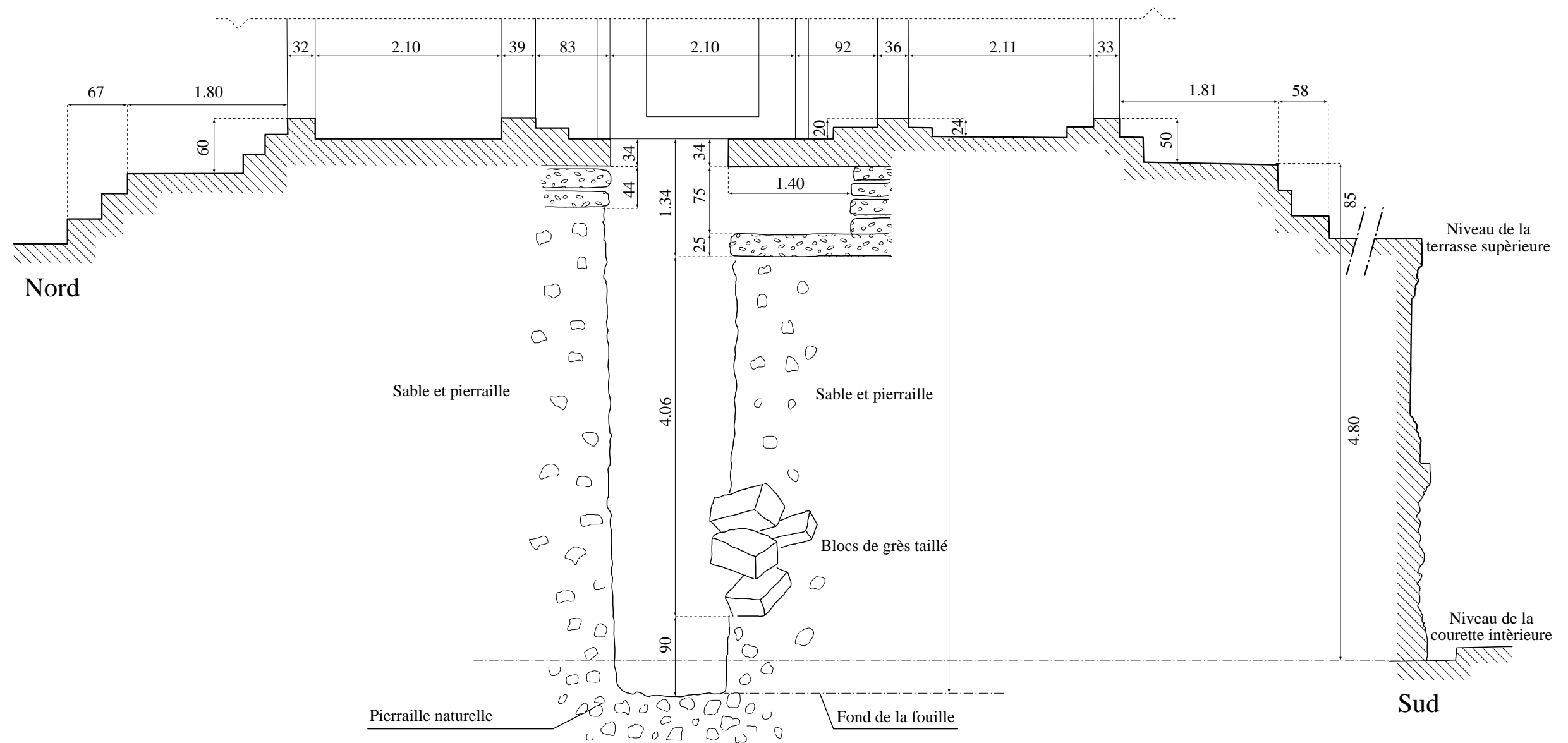


Fig. II-4.3 : Coupe Nord-Sud du sondage M 5 dans la tour **BY.12** (d'après H. Marchal)

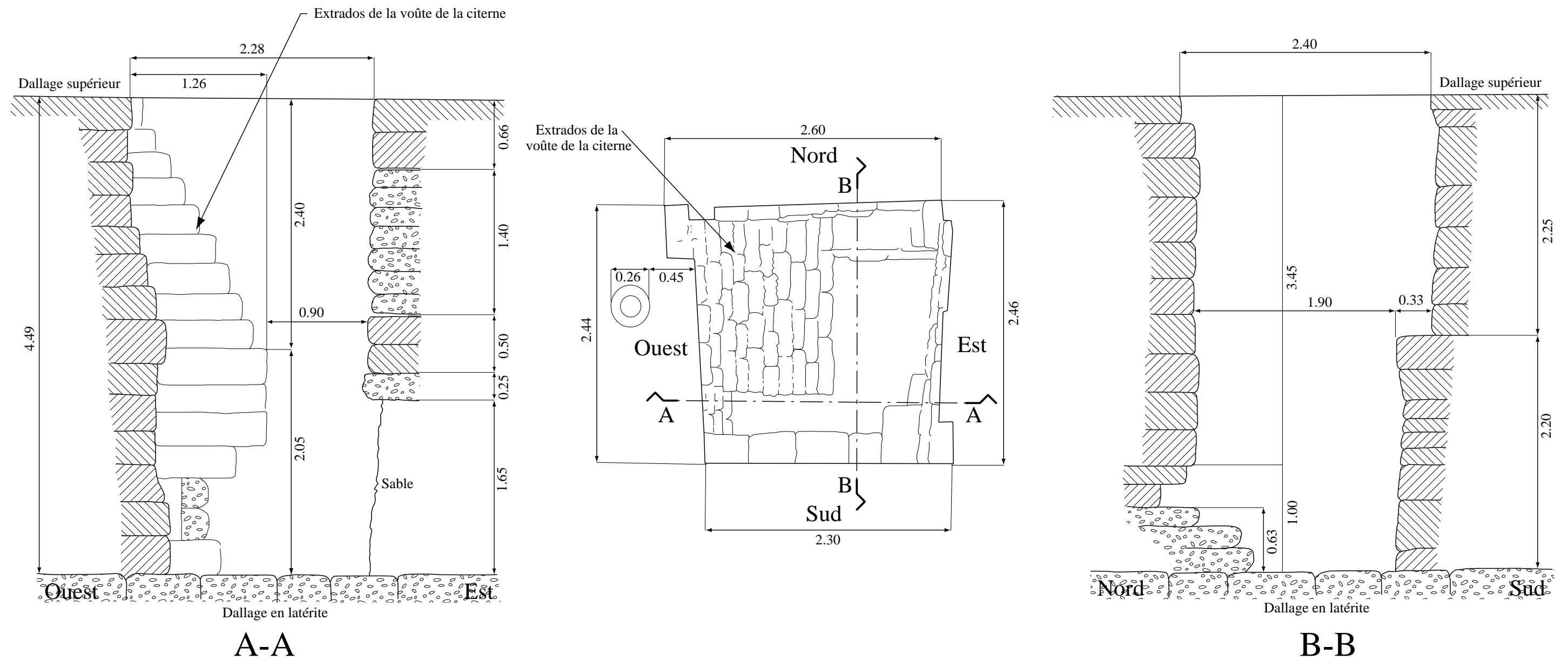


Fig. II-4.4 : Sondage M 3 à la terrasse du troisième étage au-dessus de l'extrados de la voûte de la "citerne" BY.C (d'après H. Marchal)

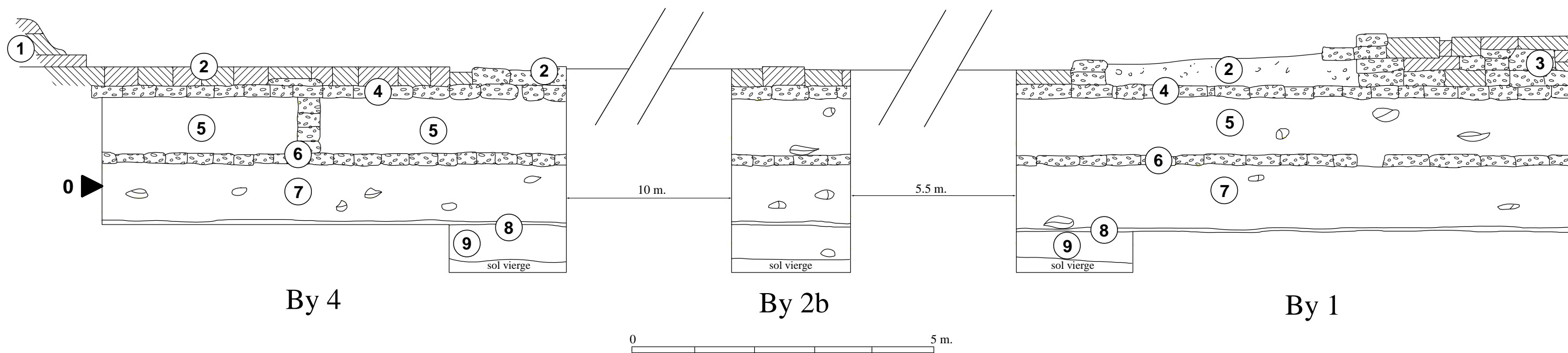


Fig. II-4.5 : Coupes stratigraphiques Nord-Sud vers l'Est des sondages By 4, By 2b et By 1 (d'après J. Dumarçay)

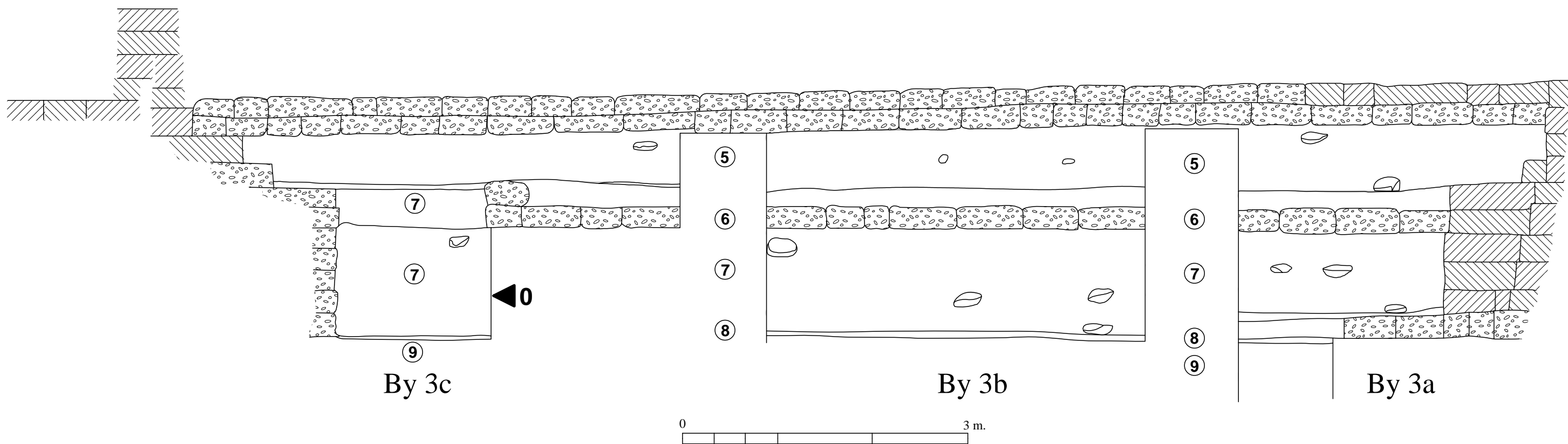


Fig. II-4.6 : Coupe stratigraphique Nord-Sud vers l'Est des sondages By 3a, By 3b et By 3c (d'après J. Dumarçay)

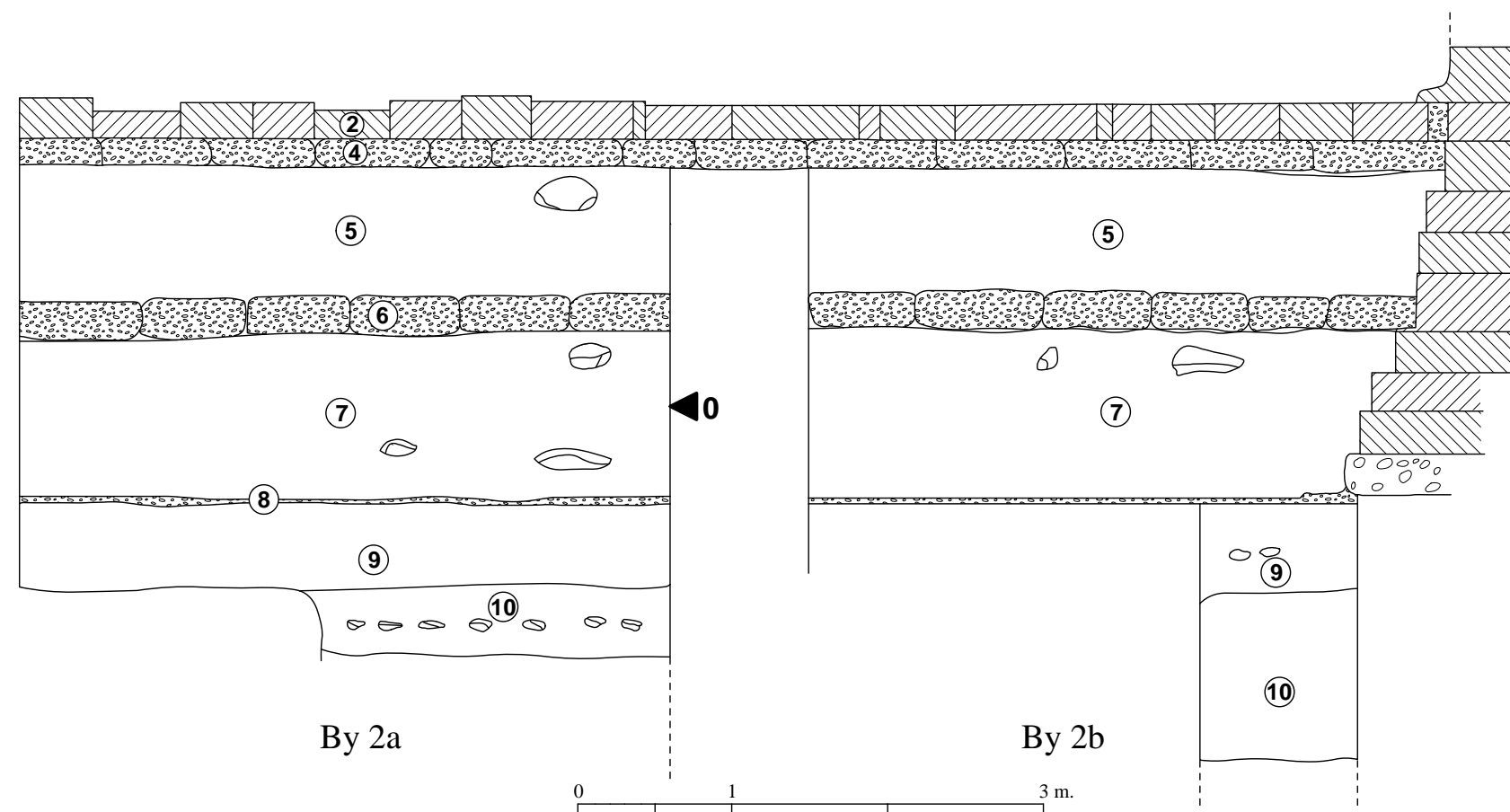


Fig. II-4.7 : Coupe stratigraphique Est-Ouest vers Sud des sondages By 2a et By 2b (d'après J. Dumarçay)

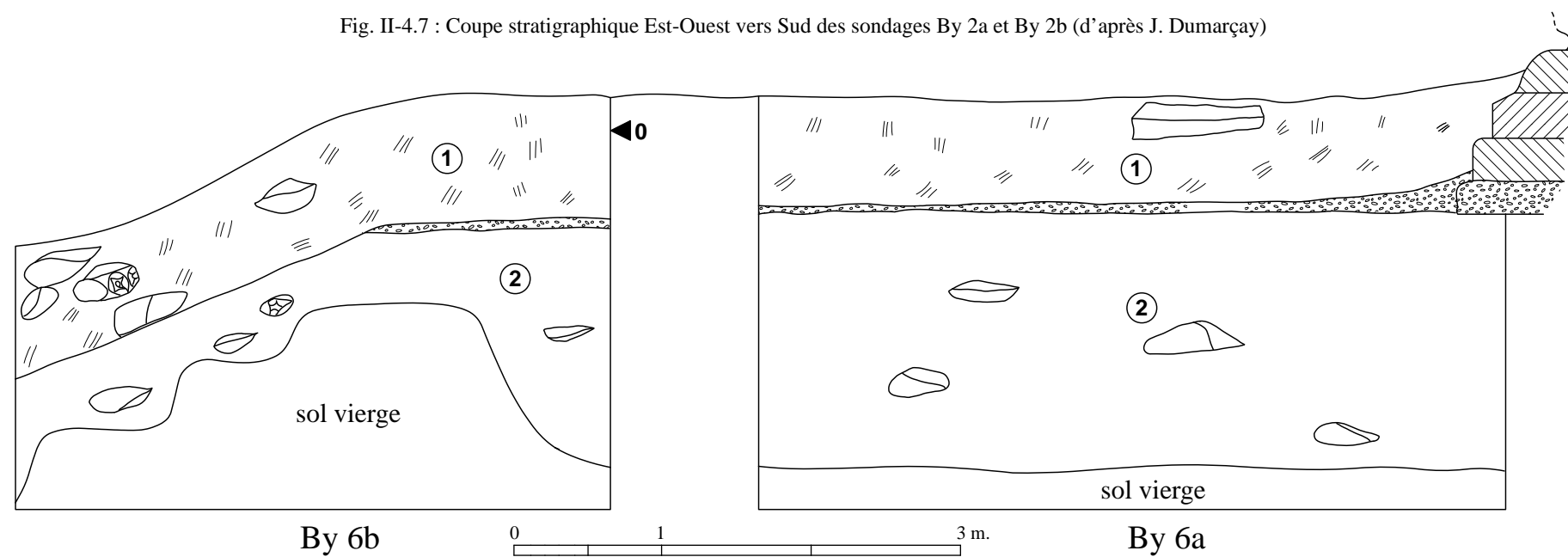


Fig. II-4.8 : Coupe stratigraphique Est-Ouest vers Sud des sondages By 6a et By 6b (d'après J. Dumarçay)

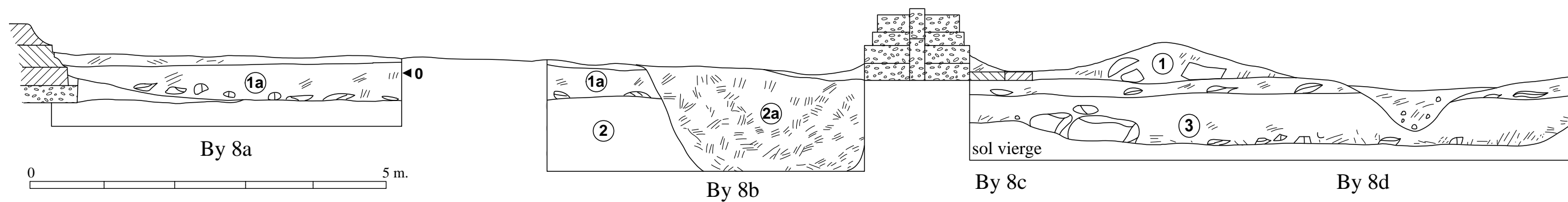


Fig. II-4.9 : Coupe stratigraphique Nord-Sud vers Ouest des sondages By 8a, By 8b, By 8c et By 8d (d'après J. Dumarçay)

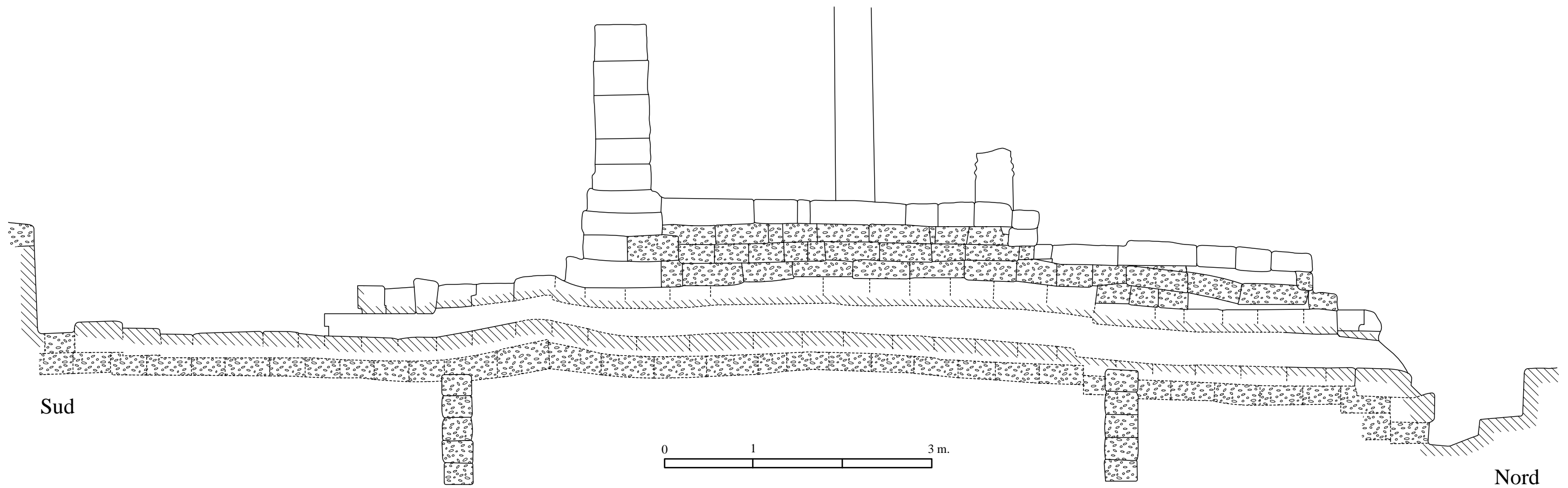


Fig. II-4.10 : Coupe Nord-Sud vers l'Ouest sur le drain de la galerie **BY.68** (d'après JSA)

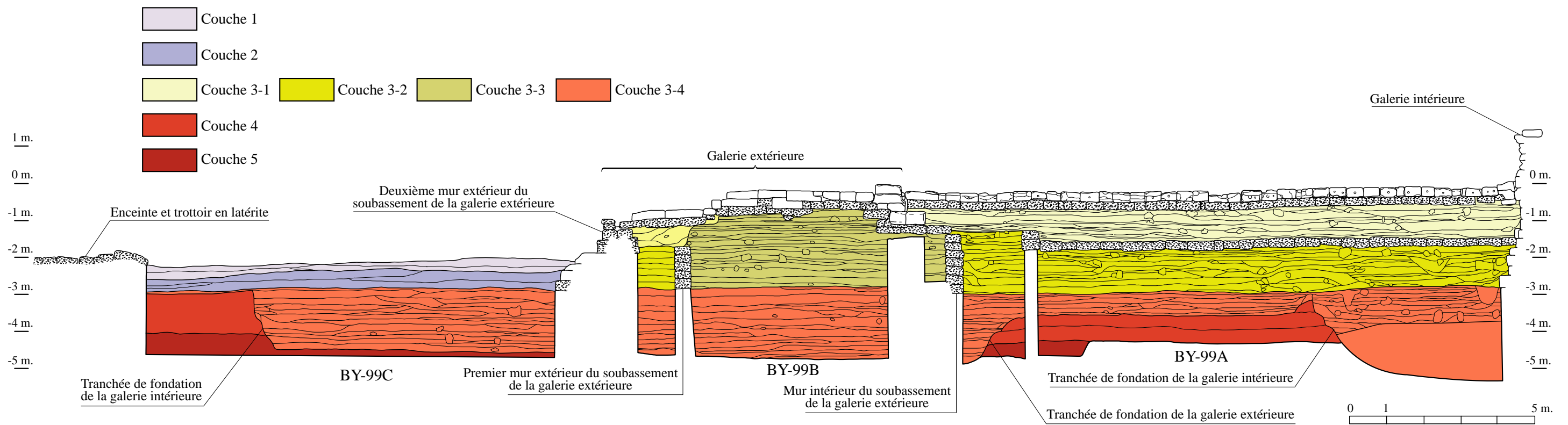


Fig. II-4.11 : Coupe stratigraphique Nord-Sud vers l'Est des sondages BY.99A, BY.99.B et BY.99C (d'après JSA)

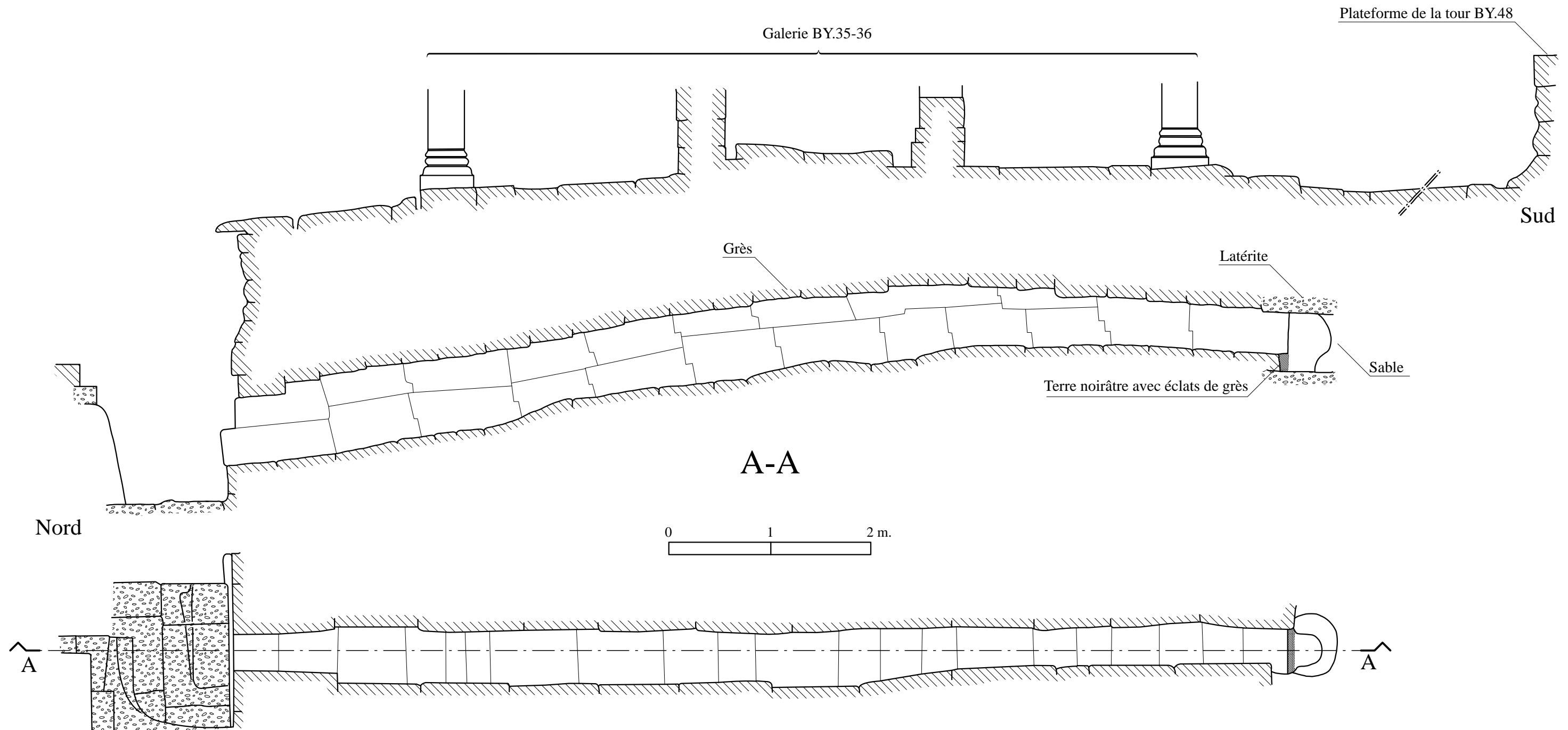


Fig. II-4.12 : Plan et coupe du système de drainage enfoui dans le soubassement de la galerie **BY.35-36** (d'après JSA)